



**PROVINCIA AUTONOMA DI TRENTO**

**AGENZIA PROVINCIALE PER LA  
PROTEZIONE DELL'AMBIENTE**



**U.O. Tutela dell'aria ed agenti fisici**

**PIANO PROVINCIALE DI TUTELA  
DELLA QUALITÀ DELL'ARIA**

## **ALLEGATO G**

# **ANALISI STATISTICA DEI DATI STORICI DI QUALITÀ DELL'ARIA PER LE CAMPAGNE DI MISURA CON MEZZO MOBILE**

Con la collaborazione di



**UNIVERSITÀ DEGLI STUDI DI TRENTO**

**Dipartimento di Ingegneria Civile  
e Ambientale**

# Introduzione

Nel presente allegato sono riportati grafici in formato box-plot, distribuzioni di frequenza, grafici di correlazione e rose dei venti. Segue una breve spiegazione della modalità di lettura ed interpretazione di queste tipologie di rappresentazioni grafiche.

## Box-plot

È una rappresentazione grafica in cui sono evidenziate alcune caratteristiche del campione. L'insieme dei valori del campione compresi tra il quartile inferiore e quello superiore, è rappresentato da un rettangolo (scatola) la cui mediana è indicata da una barra. Due linee si allungano dai bordi della scatola fino ai punti estremi, minimo e massimo della serie storica. Dato un campione ordinato, il percentile  $n$ -esimo è il valore che separa  $n\%$  dei dati dal resto, per esempio la mediana può essere interpretata come il 50-esimo percentile. È denominato quartile quello che separa un quarto dei dati, nello specifico: quartile inferiore = 25° percentile quartile superiore = 75° percentile La mediana, corrispondente al 50° percentile, indica l'evento con frequenza più elevata.

## Distribuzioni di frequenza

La rappresentazione con istogramma delle frequenze dei valori di una variabile numerica su un intervallo partizionato in categorie continue è la rappresentazione di una distribuzione di frequenza può essere interpretata come una approssimazione del grafico di una funzione che descrive come varia la frequenza di un valore rispetto al crescere (o decrescere) del valore stesso. La simmetria della distribuzione di frequenza è indicata dalla skewness o indice di asimmetria: un valore positivo indica una distribuzione in cui i valori sono raggruppati nel range dei valori bassi con una lunga coda che si estende verso i valori maggiori; un valore negativo indica la situazione opposta. L'asimmetria misura quanto i dati sono distribuiti da un lato della distribuzione rispetto alla media aritmetica, cioè se da un lato sono tutti molto vicini e dall'altro molto distesi verso valori lontani dalla media. La skewness assume valore nullo se c'è simmetria, presenta valori negativi con asimmetria negativa e maggiori di 0 in caso di asimmetria positiva. La misura della forma della distribuzione è dato dalla curtosi, graficamente rappresentata dalla "pesantezza" delle code di una distribuzione: una curtosi positiva indica che ci sono molti valori agli estremi della distribuzione, una curtosi negativa indica ci sono pochi valori agli estremi della distribuzione. In altre parole, è la misura il grado di appiattimento, ovvero l'indicazione della concentrazione o dispersione dei dati attorno al valore centrale, la media aritmetica.

## Grafici di correlazione

I grafici di correlazione a dispersione in due dimensioni servono a rappresentare l'andamento relativo di due variabili quantitative. La dispersione dei punti sul piano cartesiano è l'indicatore del grado di correlazione delle due variabili. Se i punti si localizzano molto prossimi ad una funzione continua (curva interpolante), la correlazione tra i due parametri è buona; nel caso opposto le due variabili sono scorrelate.

## Rosa dei venti

La rosa dei venti serve a rappresentare in maniera grafica le frequenze di direzione e velocità del vento suddivise per classi di vento (in genere 6 compresa la cosiddetta “calma di vento”) e per classi di direzione (generalmente 16 con ampiezza  $22.5^\circ$ ). Per ogni singola direzione viene effettuata una ulteriore suddivisione in classi di velocità, identificate da colori diversi. Il grafico è poi ottenibile nel seguente modo: ogni settore circolare del grafico ha un raggio proporzionale alla percentuale dei venti che spirano da quel settore. Ogni corona circolare di un settore si riferisce quindi ad una specifica classe di velocità del vento, e il suo raggio è proporzionale alla percentuale di insistenza del vento che spira da quel settore con una velocità corrispondente a quella classe.

# 1 Campagna di misura a Rovereto via Saibanti

**Campagna di misura** dal 07/02/01 al 20/02/01

**Inquinanti rilevati:**  $CO$ ,  $NO_x$ ,  $O_3$ ,  $NMHC$ ,  $SO_2$

**Parametri meteorologici misurati:** velocità del vento, direzione del vento, temperatura, umidità relativa, pioggia, radiazione globale

**Note:** I dati raccolti durante la campagna di monitoraggio mostrano, per tutti gli inquinanti misurati, il tipico ciclo giornaliero con i picchi tra le ore 6 e le ore 8 del mattino e tra le ore 16 e le ore 18 del pomeriggio e il tipico andamento settimanale con i valori massimi che si registrano nel mezzo della settimana (mercoledì) e il minimo che si registra di domenica. L'ozono presenta il comportamento opposto, con il minimo nei giorni e nelle ore caratterizzati da più traffico e i massimi che si registrano nelle ore con maggiore insolazione (12-13). Restano dei dubbi sulla misura della  $SO_2$  che presenta un comportamento settimanale anomalo.

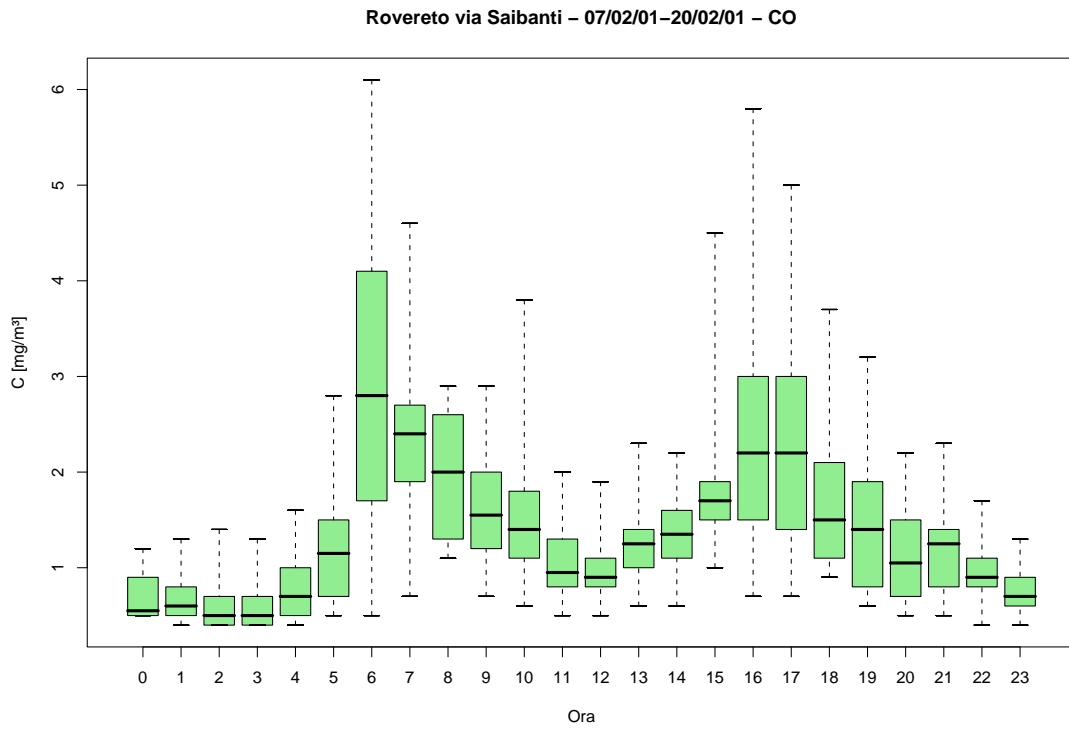


Figura 1.1: Campagna di misura a Rovereto via Saibanti (07/02/01-20/02/01), inquinante: *CO*. Box-plot relativo all'ora del giorno.

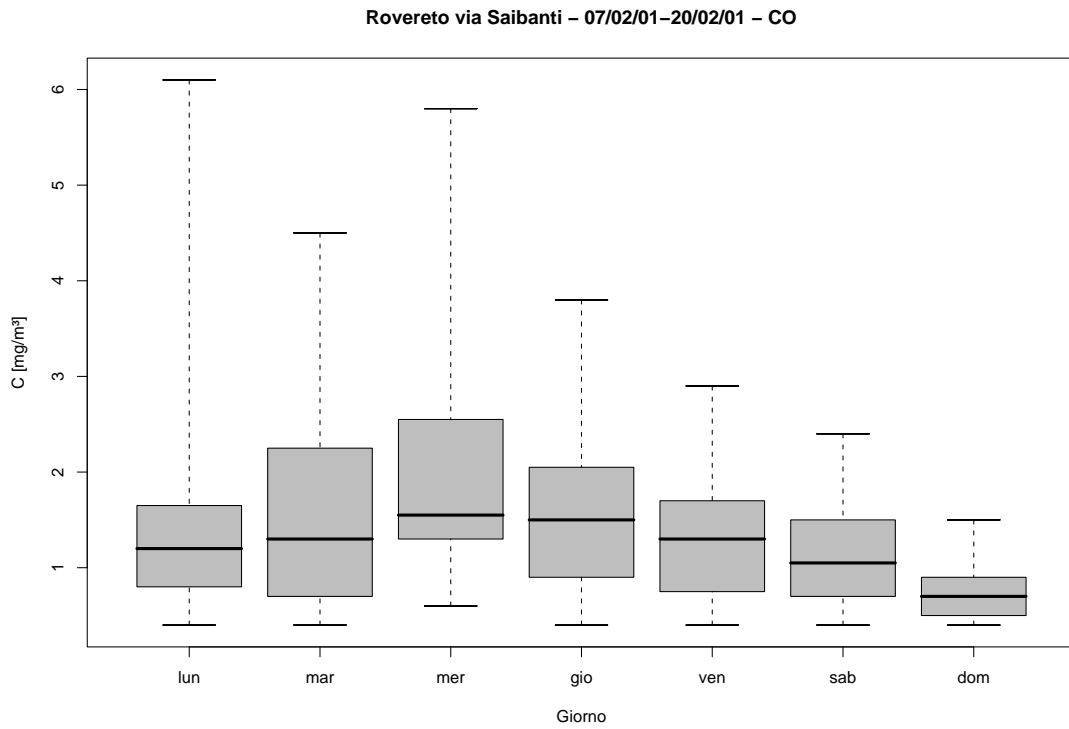


Figura 1.2: Campagna di misura a Rovereto via Saibanti (07/02/01-20/02/01), inquinante: *CO*. Box-plot relativo al giorno della settimana.

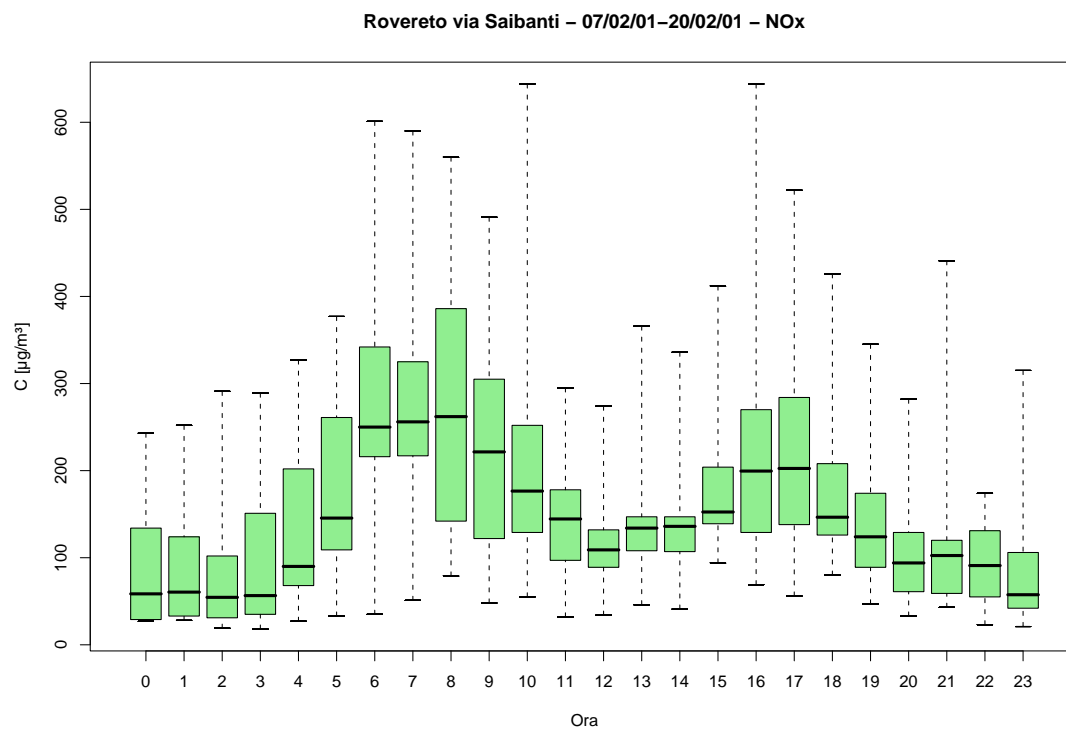


Figura 1.3: Campagna di misura a Rovereto via Saibanti (07/02/01-20/02/01), inquinante:  $NO_x$ . Box-plot relativo all'ora del giorno.

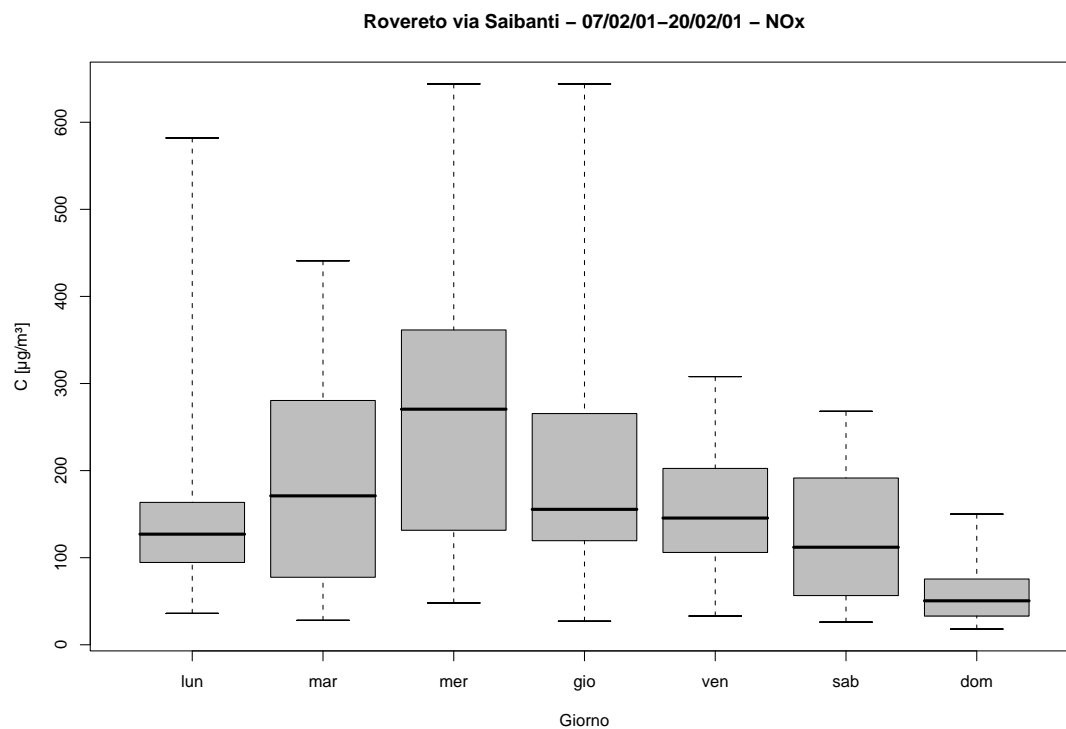


Figura 1.4: Campagna di misura a Rovereto via Saibanti (07/02/01-20/02/01), inquinante:  $NO_x$ . Box-plot relativo al giorno della settimana.

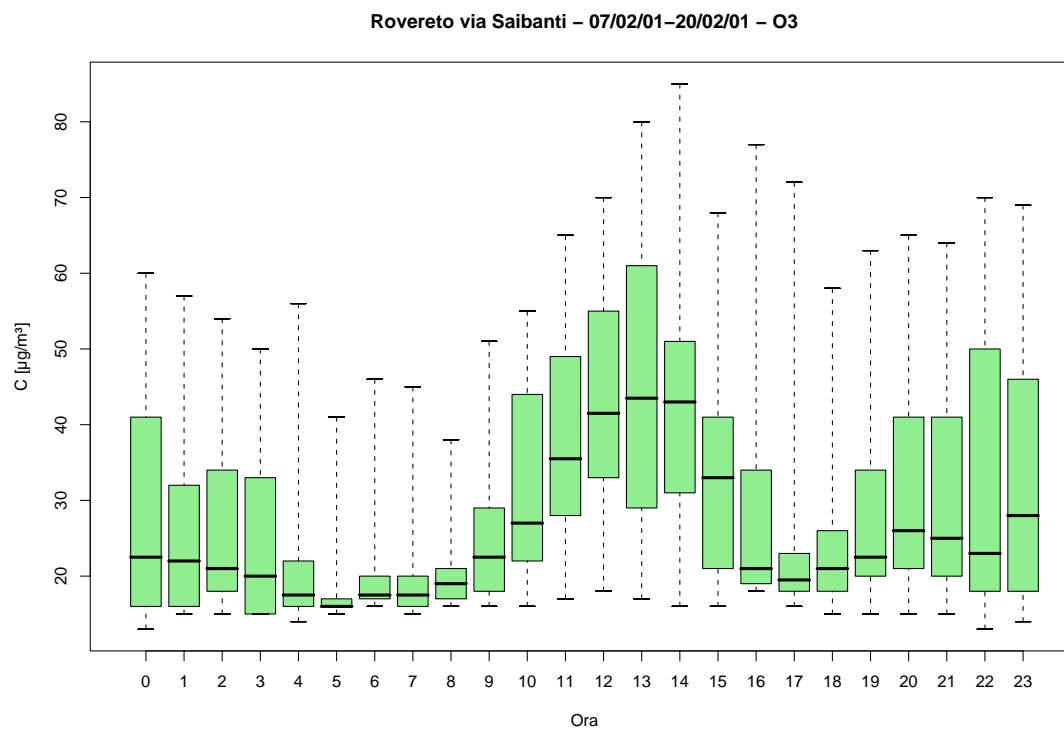


Figura 1.5: Campagna di misura a Rovereto via Saibanti (07/02/01-20/02/01), inquinante:  $O_3$ . Box-plot relativo all'ora del giorno.

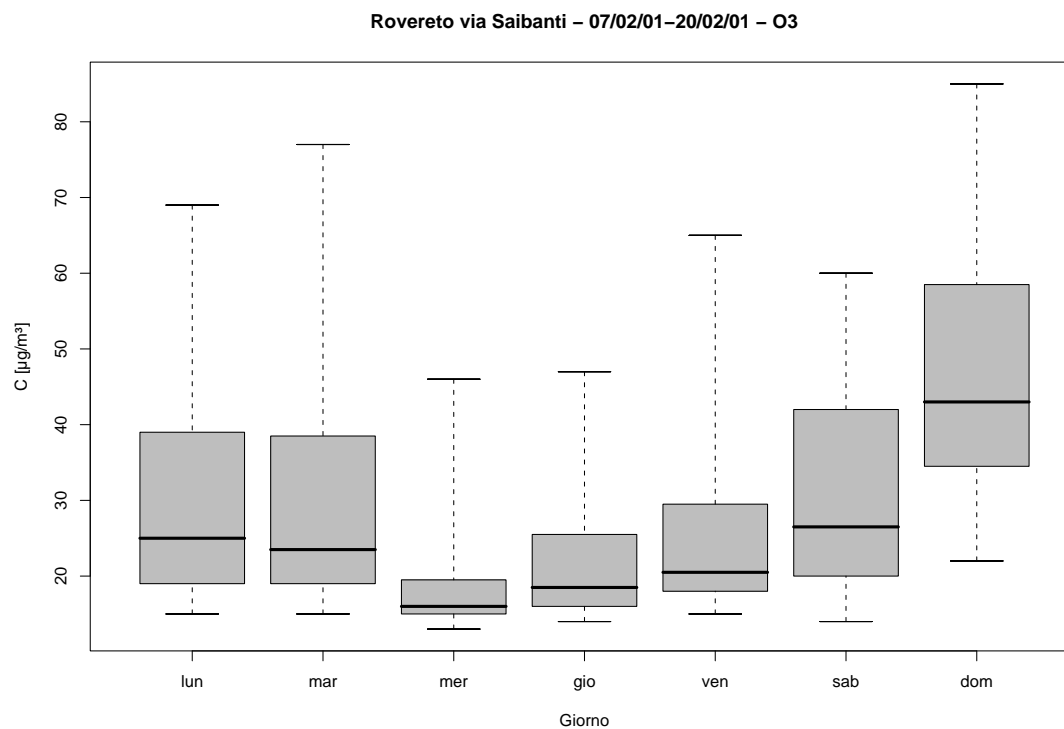


Figura 1.6: Campagna di misura a Rovereto via Saibanti (07/02/01-20/02/01), inquinante:  $O_3$ . Box-plot relativo al giorno della settimana.

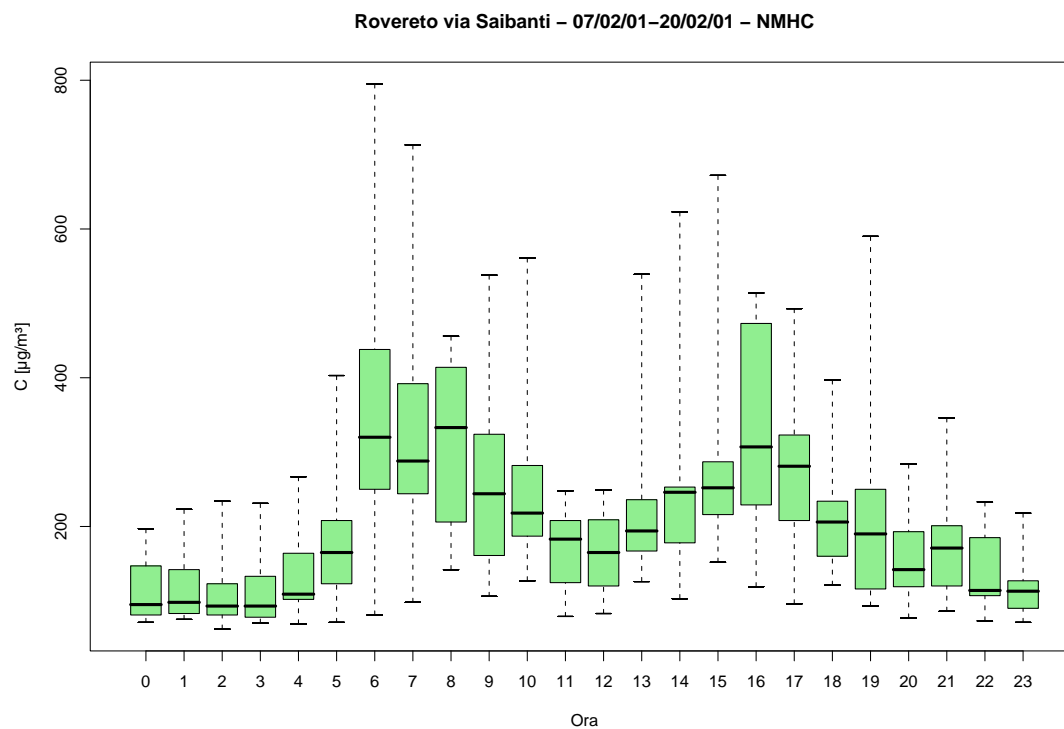


Figura 1.7: Campagna di misura a Rovereto via Saibanti (07/02/01-20/02/01), inquinante: *NMHC*. Box-plot relativo all'ora del giorno.

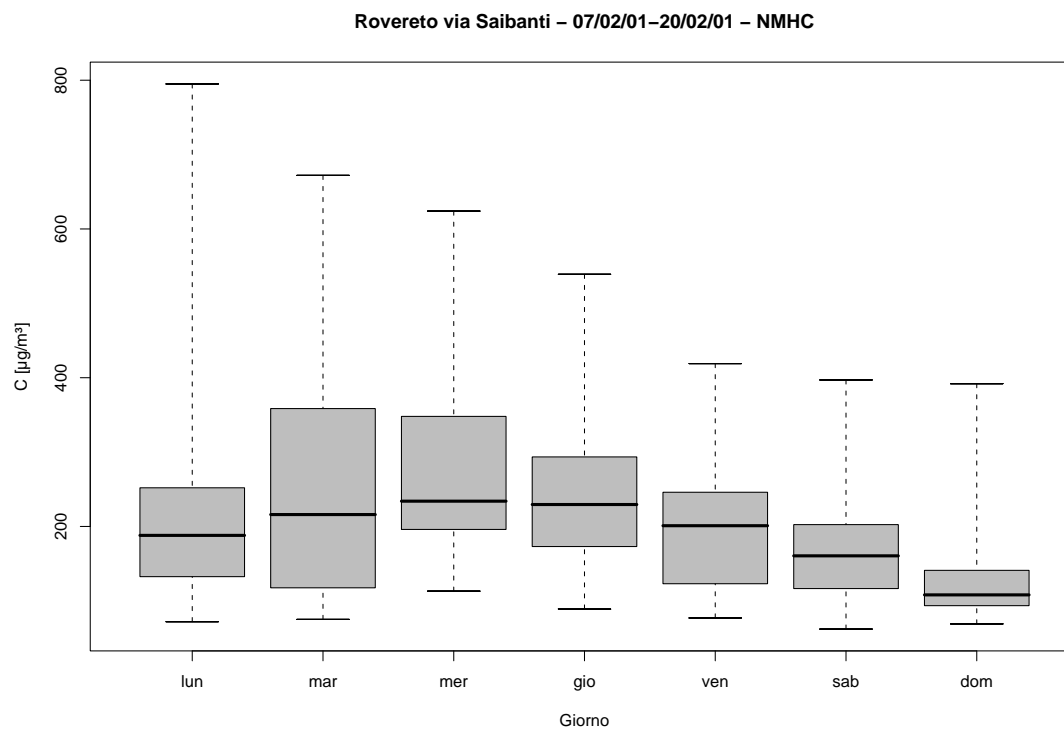


Figura 1.8: Campagna di misura a Rovereto via Saibanti (07/02/01-20/02/01), inquinante: *NMHC*. Box-plot relativo al giorno della settimana.



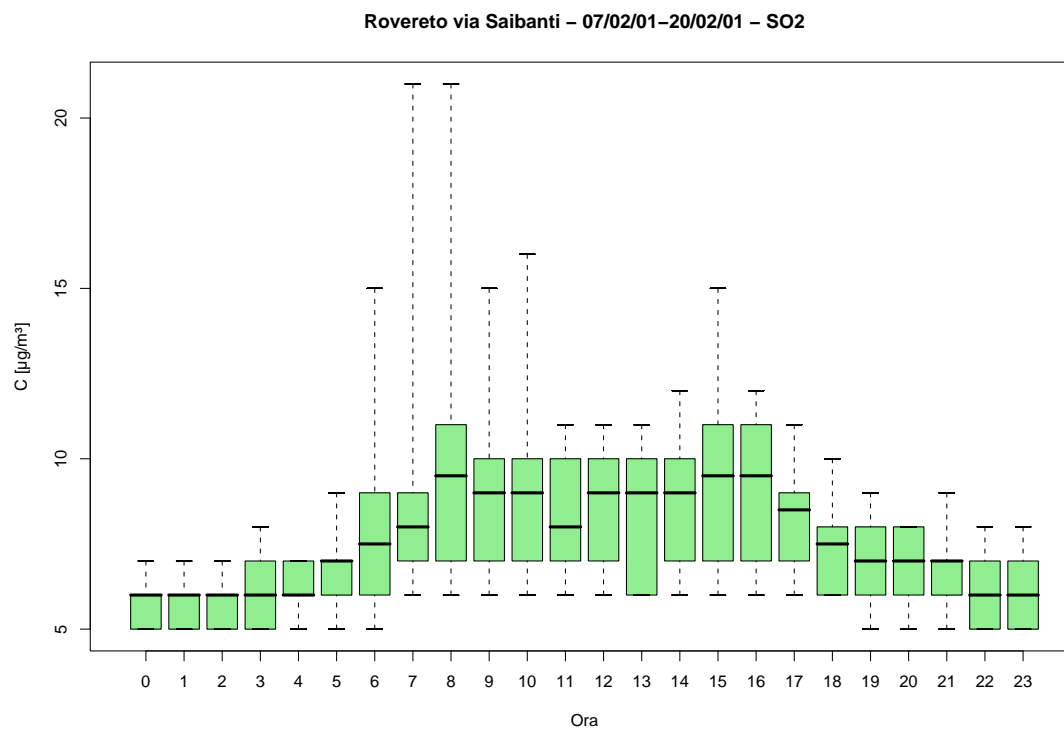


Figura 1.9: Campagna di misura a Rovereto via Saibanti (07/02/01-20/02/01), inquinante:  $\text{SO}_2$ . Box-plot relativo all'ora del giorno.

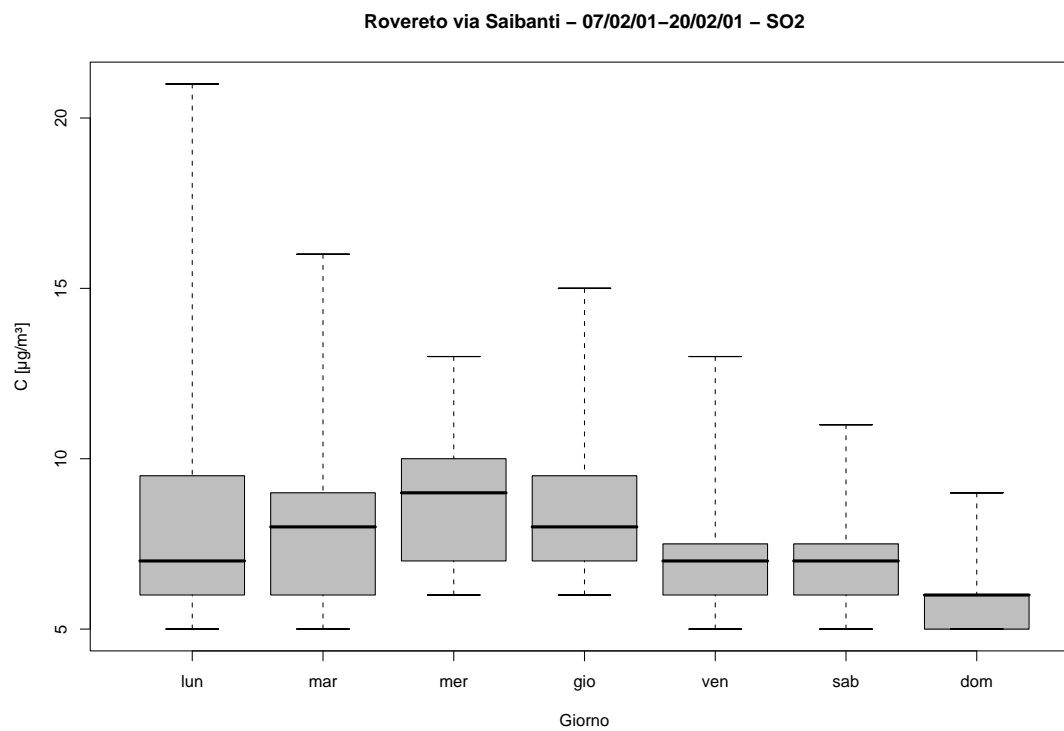


Figura 1.10: Campagna di misura a Rovereto via Saibanti (07/02/01-20/02/01), inquinante:  $\text{SO}_2$ . Box-plot relativo al giorno della settimana.

Rovereto via Saibanti - 07/02/01 -20/02/01  
distribuzioni in frequenza e correlazioni

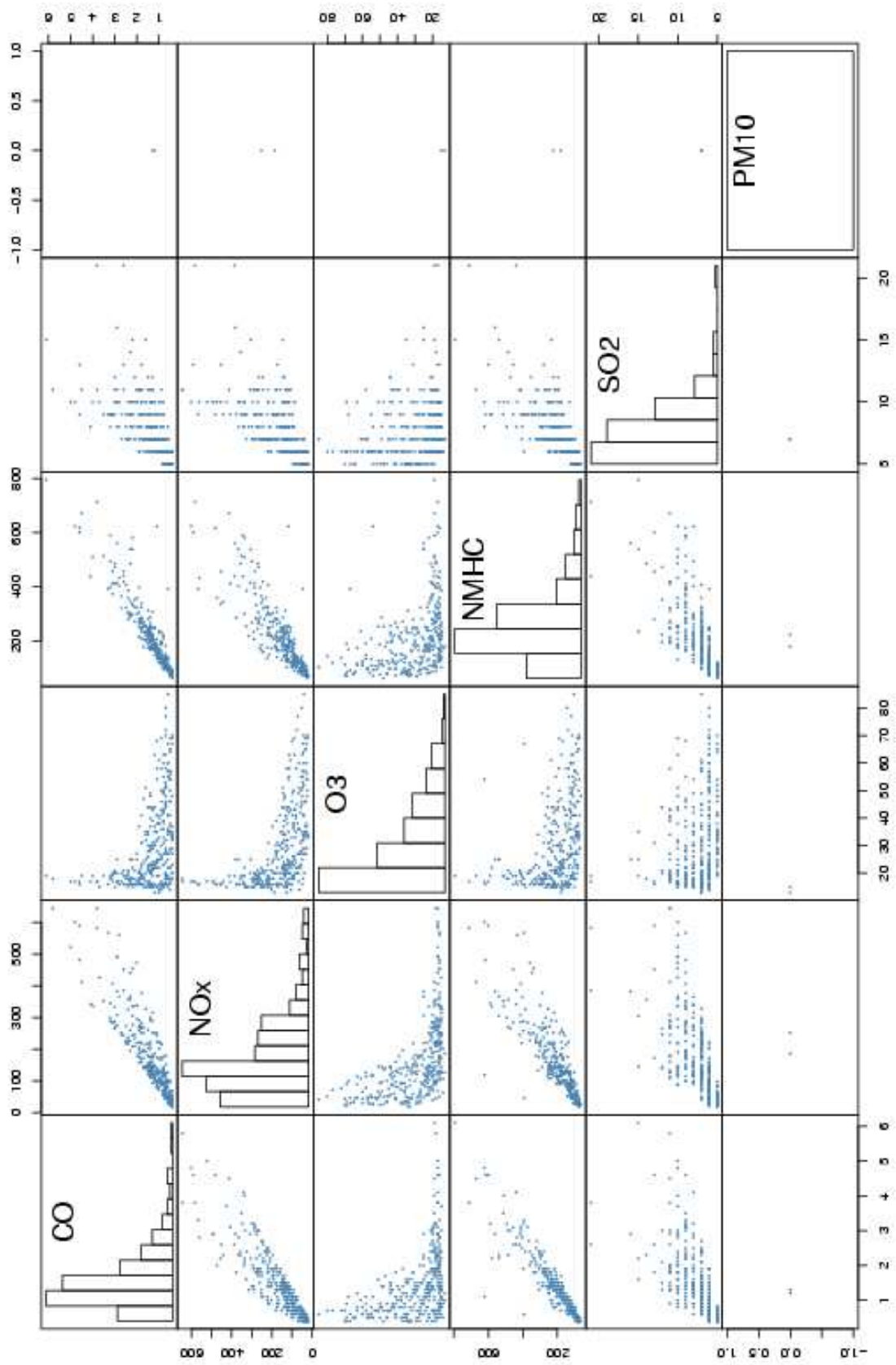
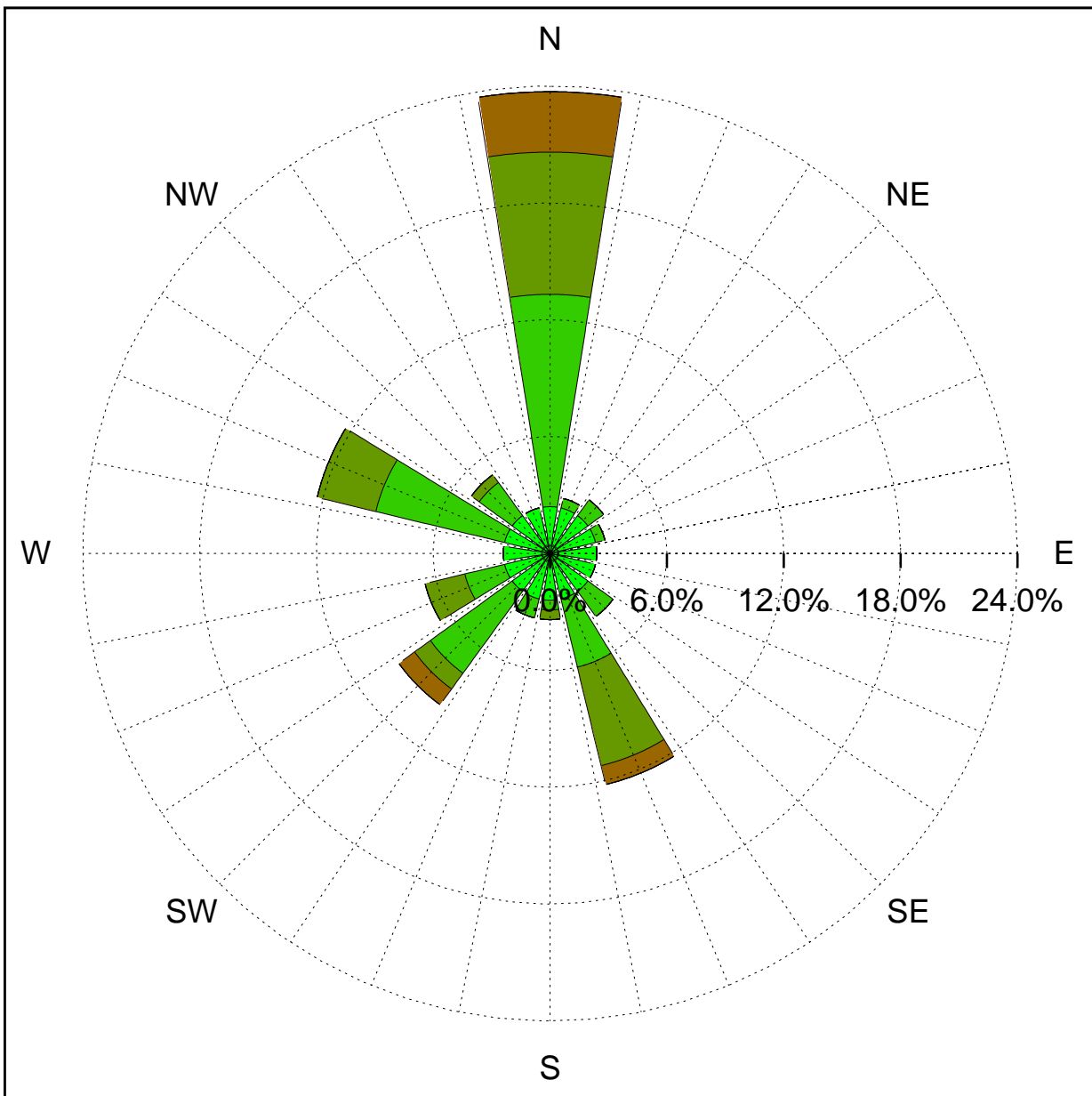


Figura 1.11: Campagna di misura a Rovereto via Saibanti (07/02/01-20/02/01). Distribuzioni in frequenza e correlazioni.

Sito di misura: Rovereto via Saibanti



Legenda - velocità [m/s]	
$v \geq 5.0$	
$3.0 \leq v < 5.0$	
$2.0 \leq v < 3.0$	
$1.0 \leq v < 2.0$	
$0.5 \leq v < 1.0$	
calma ( $v < 0.5$ )	

Figura 1.12: Campagna di misura a Rovereto via Saibanti (07/02/01-20/02/01). Rosa dei venti.

## 2 Campagna di misura a Rovereto via Paoli

**Campagna di misura** dal 24/02/01 al 09/05/01

**Inquinanti rilevati:**  $CO$ ,  $NO_x$ ,  $O_3$ ,  $NMHC$ ,  $SO_2$

**Parametri meteorologici misurati:** velocità del vento, direzione del vento, temperatura, umidità relativa, pioggia, radiazione globale

**Note:** I dati raccolti mostrano i cicli giornalieri degli inquinanti, le concentrazioni maggiori si registrano tra le ore 7 e le ore 8 del mattino e tra le ore 17 del pomeriggio. I cicli settimanali non sono ben evidenti anche se si nota di domenica un valore sensibilmente più basso di concentrazione. L' $O_3$  non sembra presentare un ciclo settimanale mentre si nota che durante il giorno la concentrazione di questo inquinante fa registrare un minimo tra le ore 5 e le ore 8. Non particolarmente significativi sono invece i dati relativi alla  $SO_2$ .

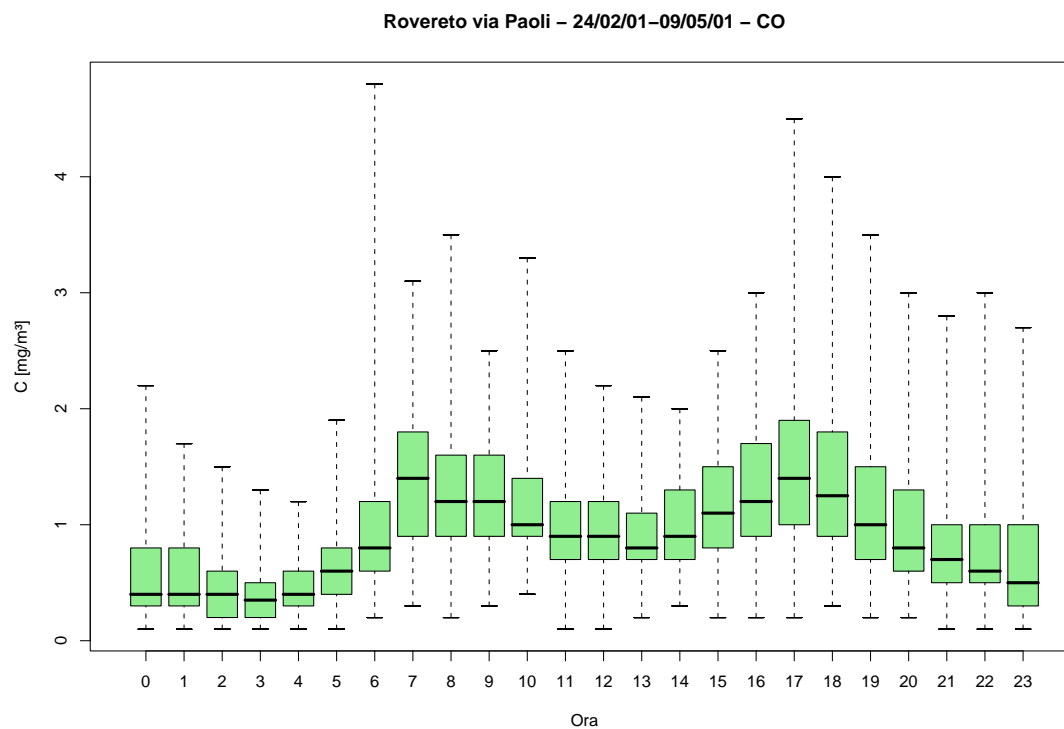


Figura 2.1: Campagna di misura a Rovereto via Paoli (24/02/01-09/05/01), inquinante: *CO*. Box-plot relativo all'ora del giorno.

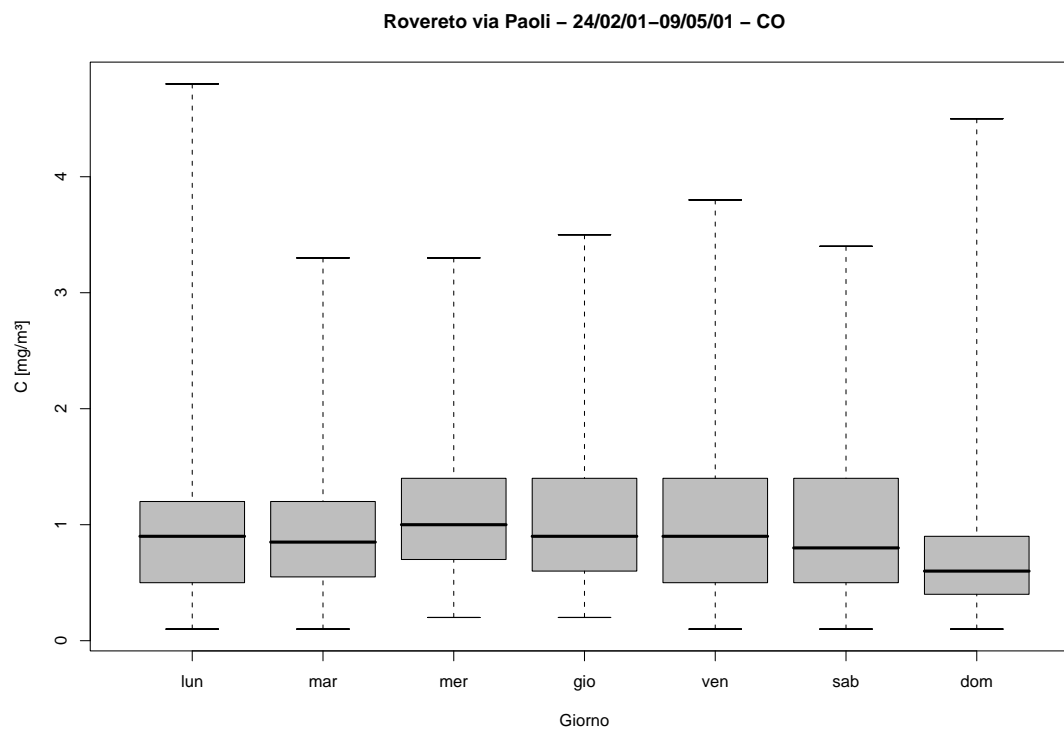


Figura 2.2: Campagna di misura a Rovereto via Paoli (24/02/01-09/05/01), inquinante: *CO*. Box-plot relativo al giorno della settimana.

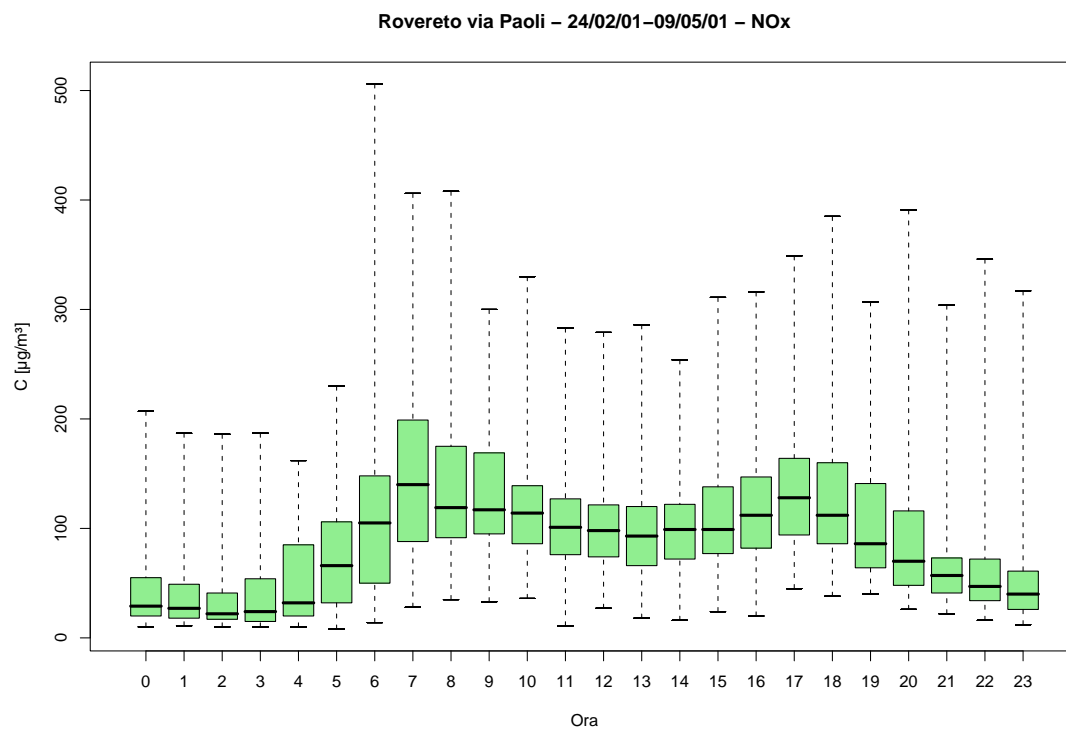


Figura 2.3: Campagna di misura a Rovereto via Paoli (24/02/01-09/05/01), inquinante:  $NO_x$ .  
Box-plot relativo all'ora del giorno.

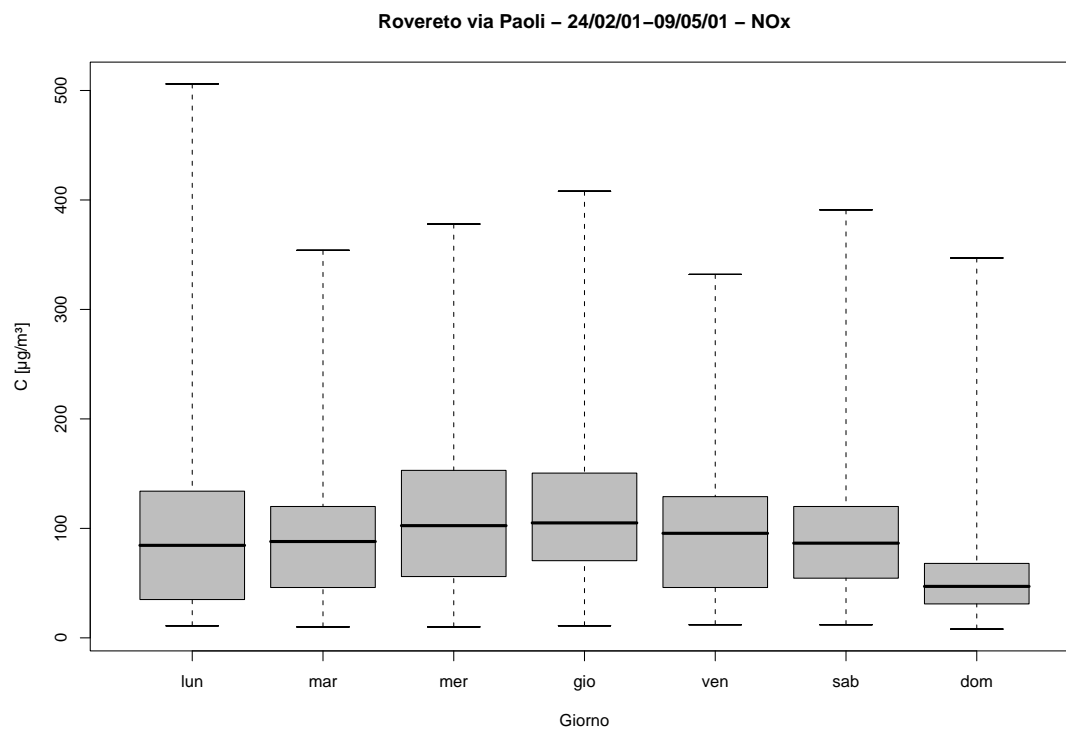


Figura 2.4: Campagna di misura a Rovereto via Paoli (24/02/01-09/05/01), inquinante:  $NO_x$ .  
Box-plot relativo al giorno della settimana.

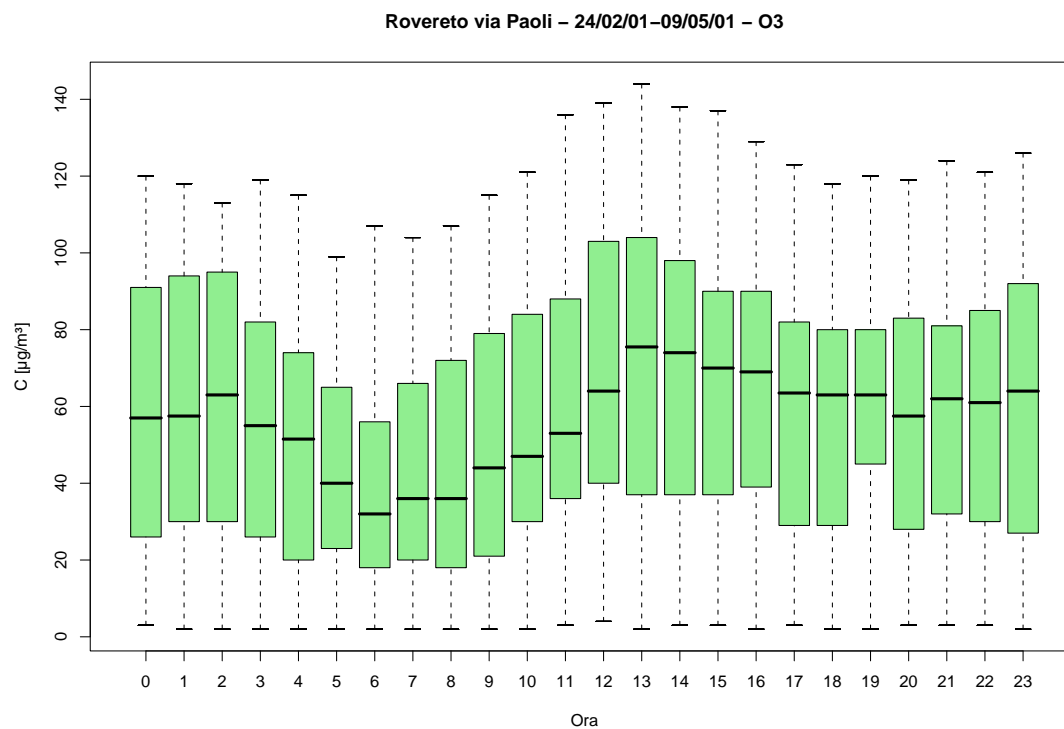


Figura 2.5: Campagna di misura a Rovereto via Paoli (24/02/01-09/05/01), inquinante:  $O_3$ .  
Box-plot relativo all'ora del giorno.

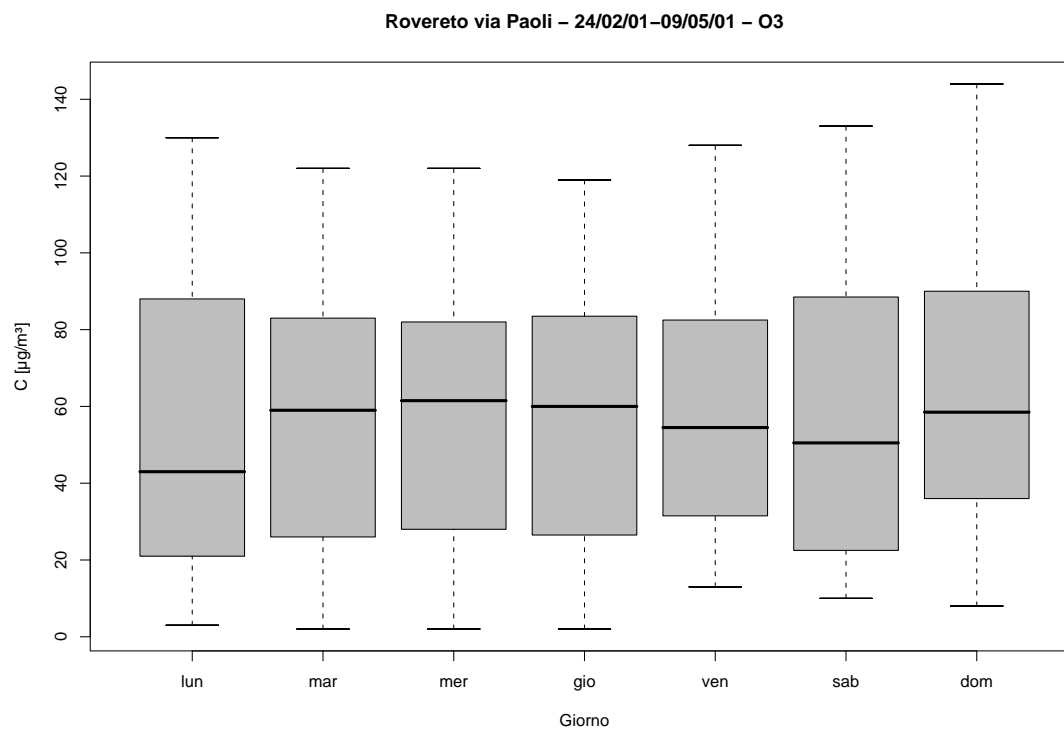


Figura 2.6: Campagna di misura a Rovereto via Paoli (24/02/01-09/05/01), inquinante:  $O_3$ .  
Box-plot relativo al giorno della settimana.

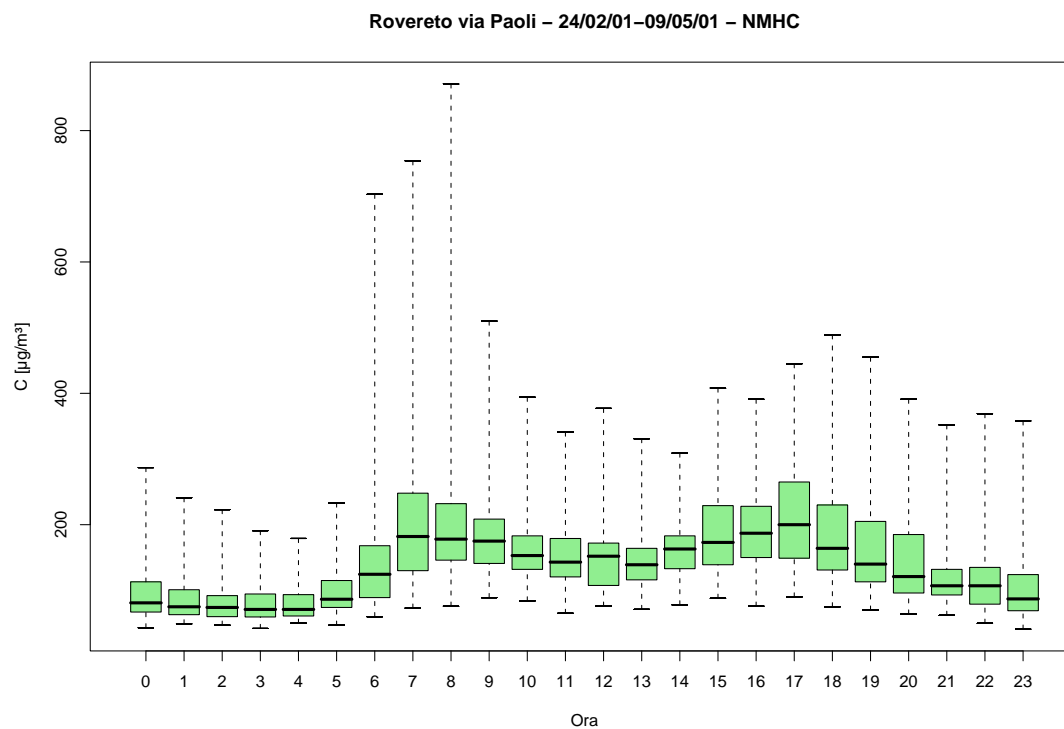


Figura 2.7: Campagna di misura a Rovereto via Paoli (24/02/01-09/05/01), inquinante: *NMHC*. Box-plot relativo all'ora del giorno.

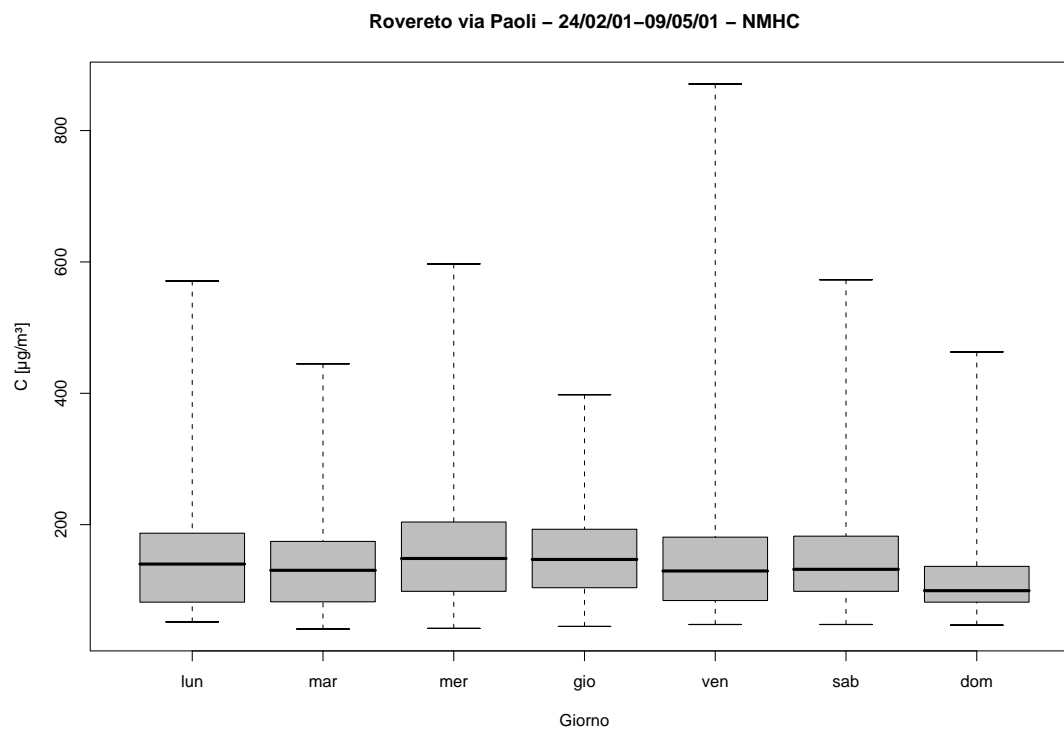


Figura 2.8: Campagna di misura a Rovereto via Paoli (24/02/01-09/05/01), inquinante: *NMHC*. Box-plot relativo al giorno della settimana.



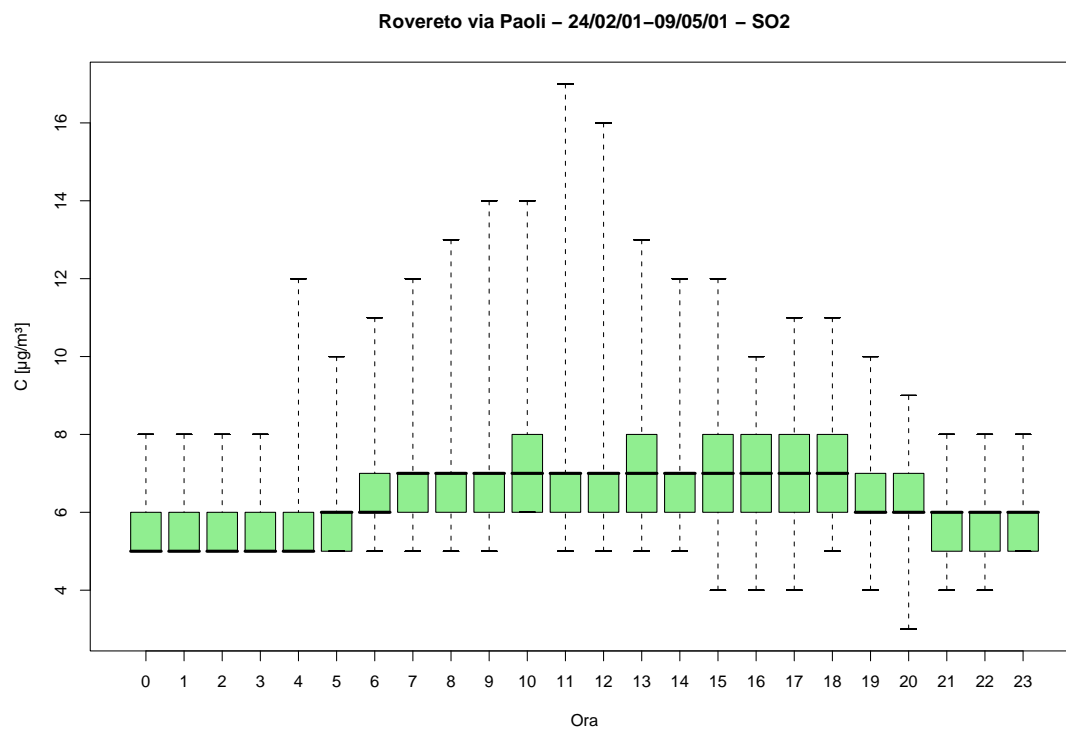


Figura 2.9: Campagna di misura a Rovereto via Paoli (24/02/01-09/05/01), inquinante:  $SO_2$ . Box-plot relativo all'ora del giorno.

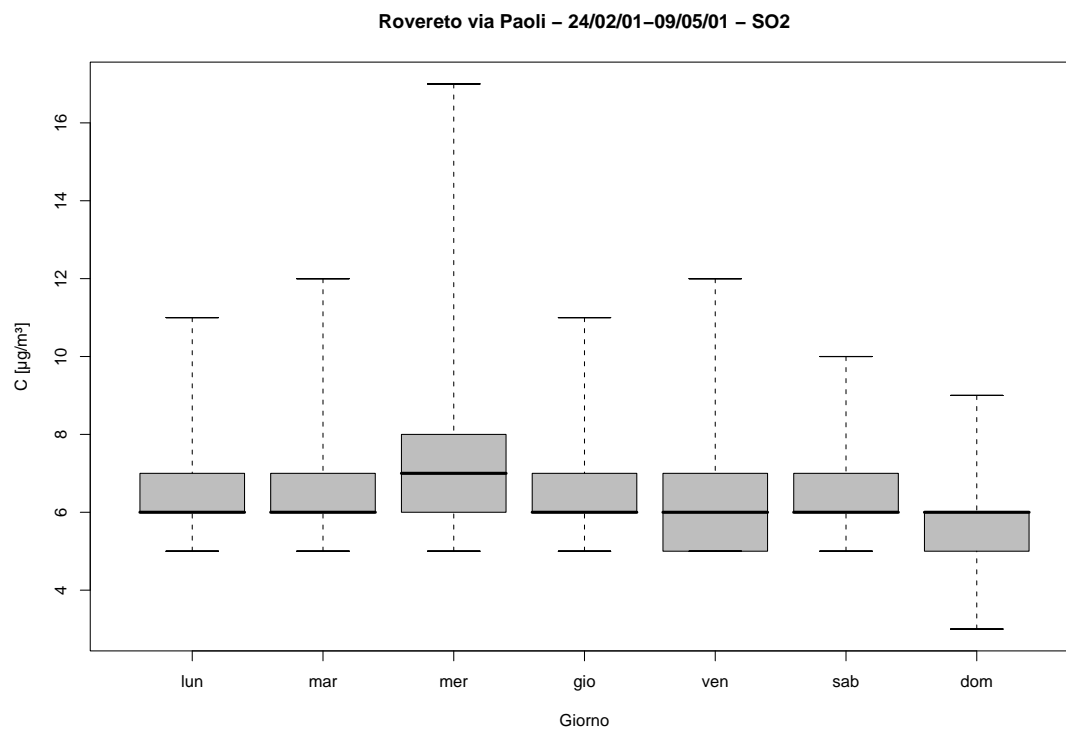


Figura 2.10: Campagna di misura a Rovereto via Paoli (24/02/01-09/05/01), inquinante:  $SO_2$ . Box-plot relativo al giorno della settimana.

Rovereto via Paoli - 24/02/01 - 09/05/01  
distribuzioni in frequenza e correlazioni

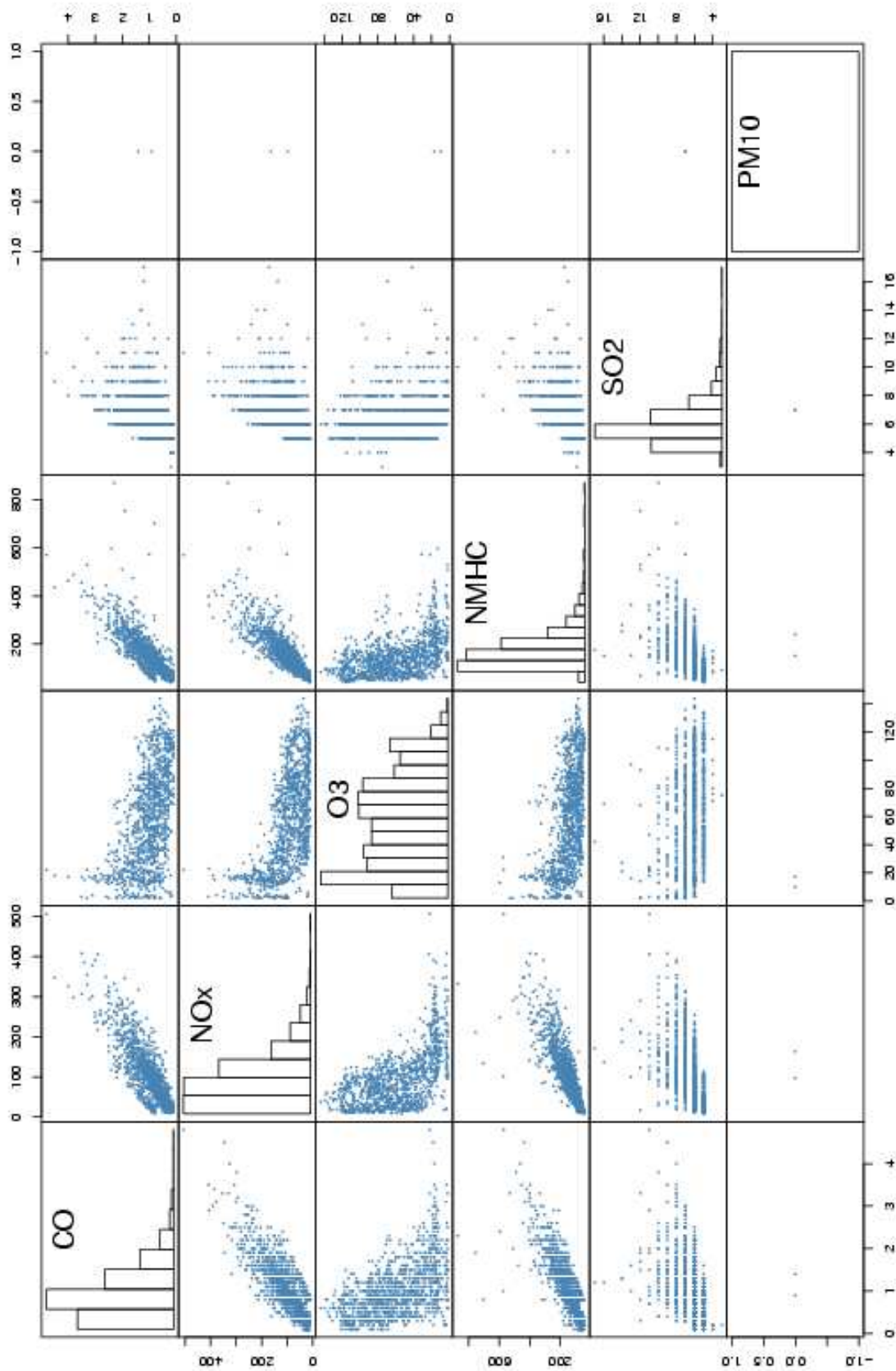
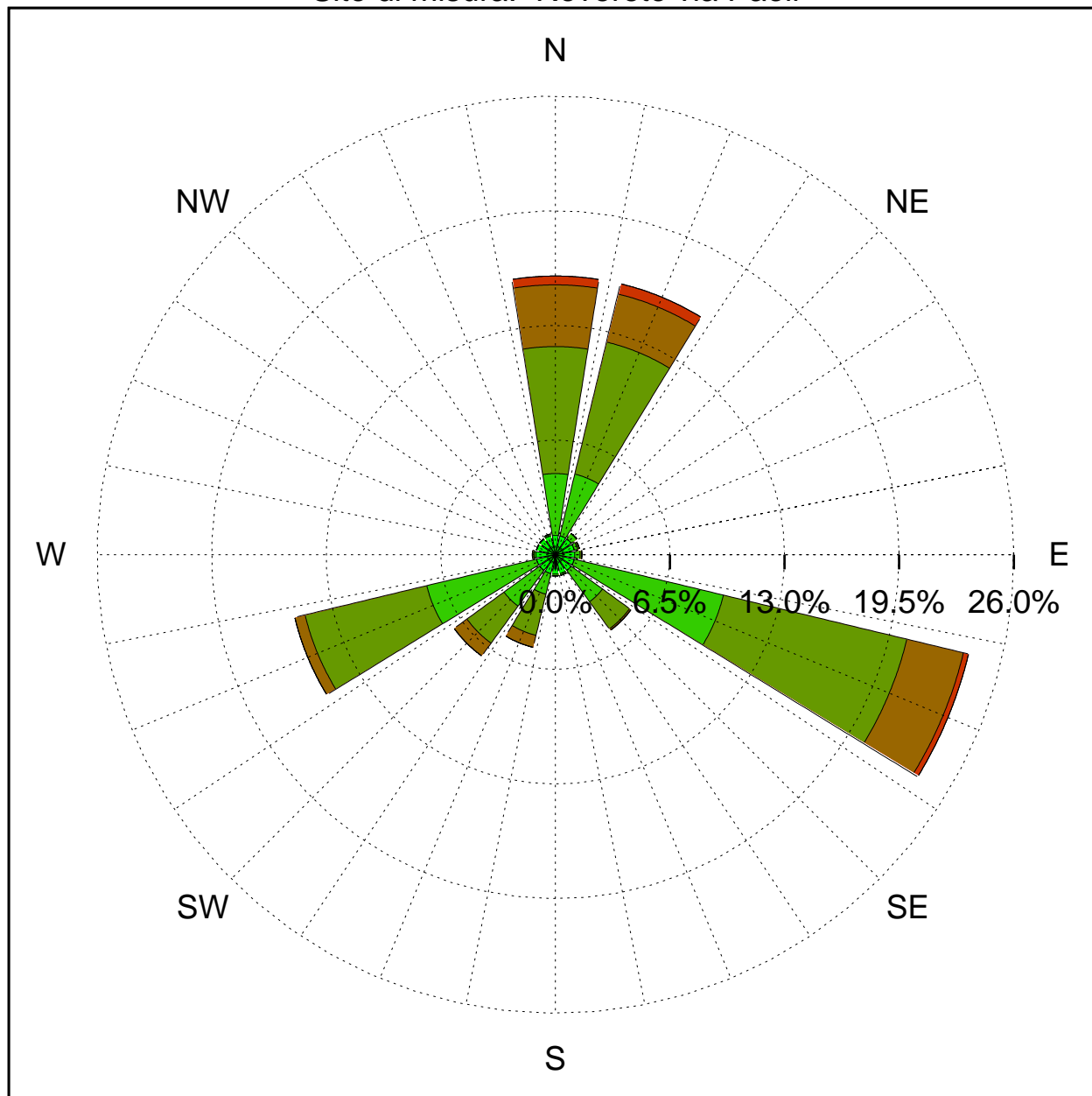


Figura 2.11: Campagna di misura a Rovereto via Paoli (24/02/01-09/05/01). Distribuzioni in frequenza e correlazioni.

Sito di misura: Rovereto via Paoli



Legenda - velocità [m/s]	
$v \geq 5.0$	
$3.0 \leq v < 5.0$	
$2.0 \leq v < 3.0$	
$1.0 \leq v < 2.0$	
$0.5 \leq v < 1.0$	
calma ( $v < 0.5$ )	

Figura 2.12: Campagna di misura a Rovereto via Paoli (24/02/01-09/05/01). Rosa dei venti.

# 3 Campagna di misura a Lavis via Filzi

**Campagna di misura** dal 07/03/01 al 20/03/01

**Inquinanti rilevati:**  $CO$ ,  $NO_x$ ,  $NMHC$ ,  $SO_2$

**Parametri meteorologici misurati:** velocità del vento, direzione del vento, temperatura, umidità relativa

**Note:** Dai dati ottenuti dalla campagna di misura emergono per gli inquinanti dei cicli giornalieri abbastanza differenti da quelli usuali. Si nota infatti che i valori più elevati di concentrazione si ottengono dalle ore 8 alle ore 12, non è molto evidente invece il picco serale. Anche il ciclo settimanale è particolare, i valori minimi di concentrazione si ottengono il martedì. Non particolarmente significativi sono invece i dati relativi alla  $SO_2$ .

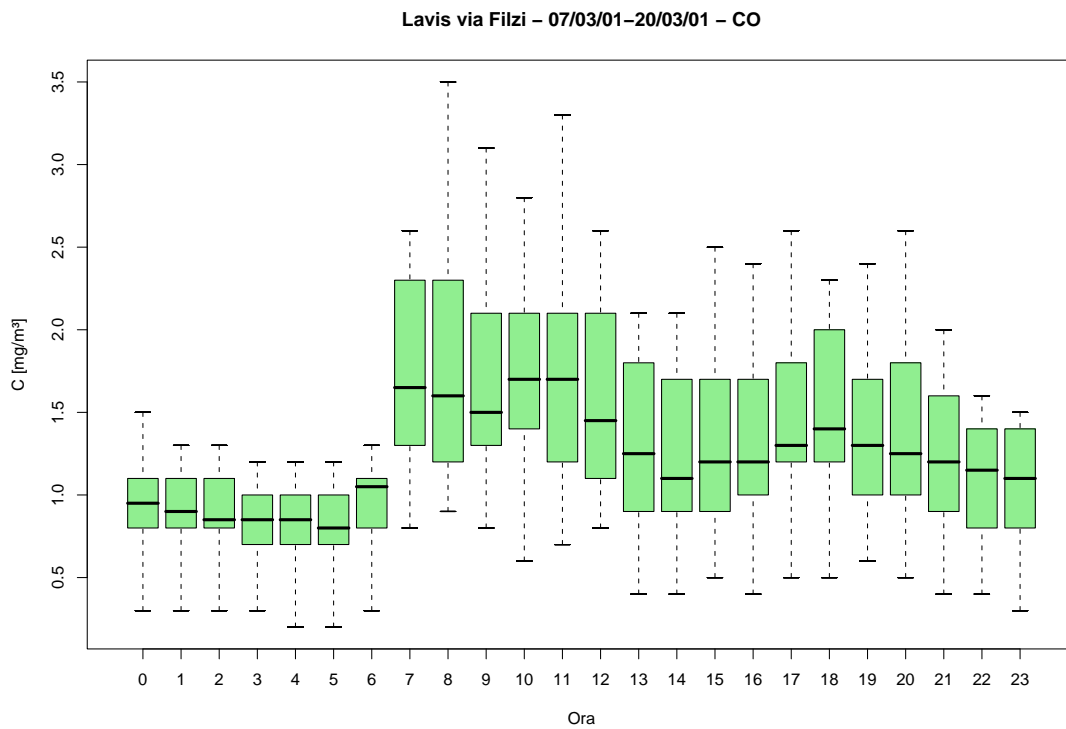


Figura 3.1: Campagna di misura a Lavis via Filzi (07/03/01-20/03/01), inquinante: *CO*. Box-plot relativo all'ora del giorno.

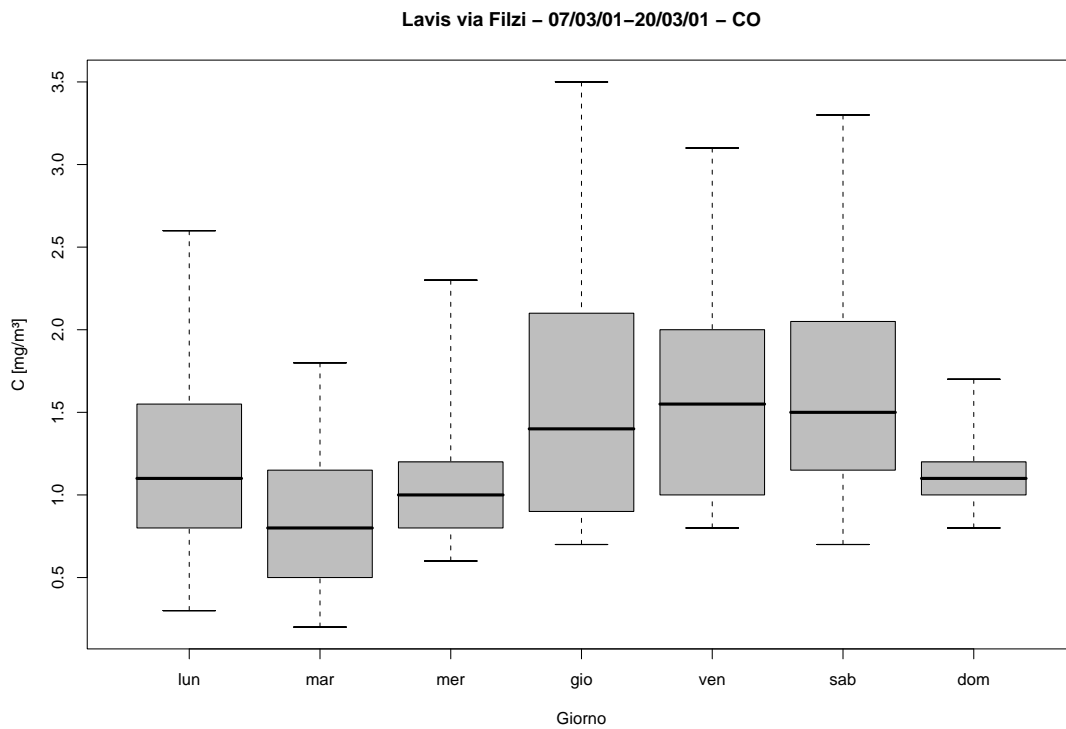


Figura 3.2: Campagna di misura a Lavis via Filzi (07/03/01-20/03/01), inquinante: *CO*. Box-plot relativo al giorno della settimana.

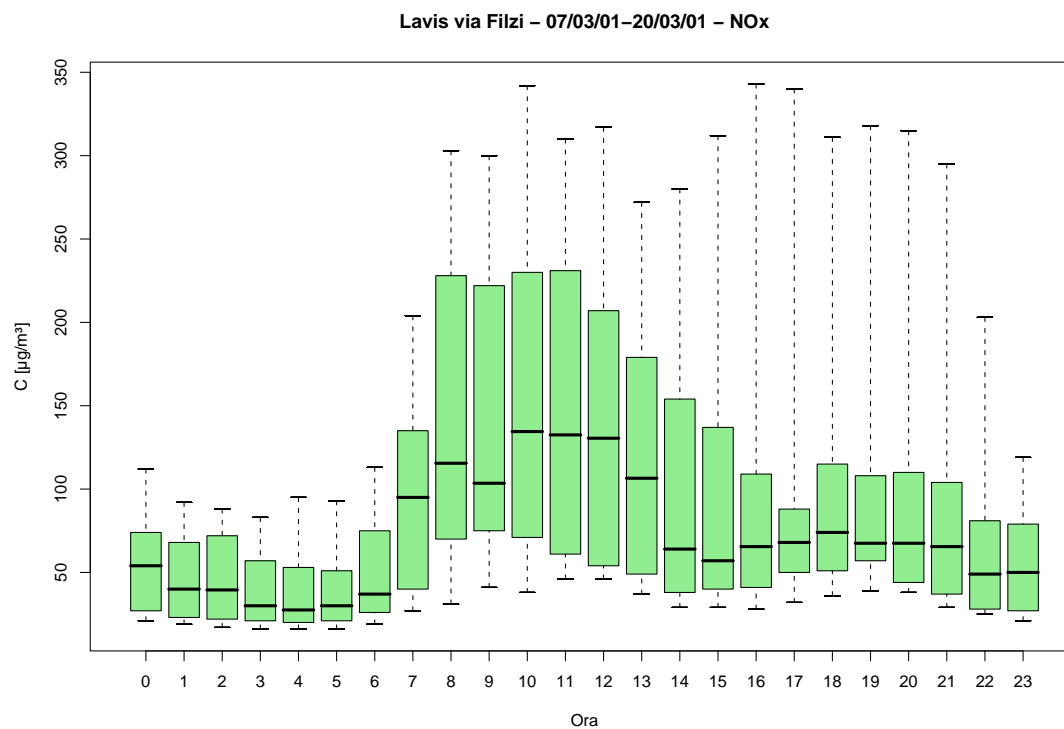


Figura 3.3: Campagna di misura a Lavis via Filzi (07/03/01-20/03/01), inquinante:  $NO_x$ . Box-plot relativo all'ora del giorno.

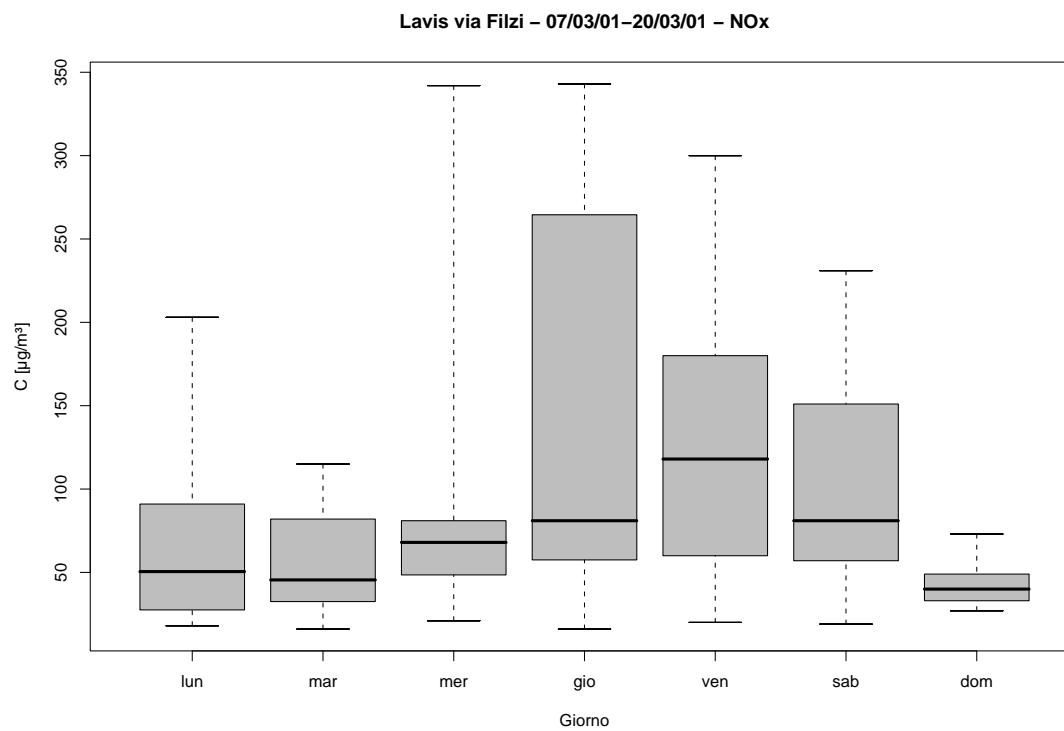


Figura 3.4: Campagna di misura a Lavis via Filzi (07/03/01-20/03/01), inquinante:  $NO_x$ . Box-plot relativo al giorno della settimana.

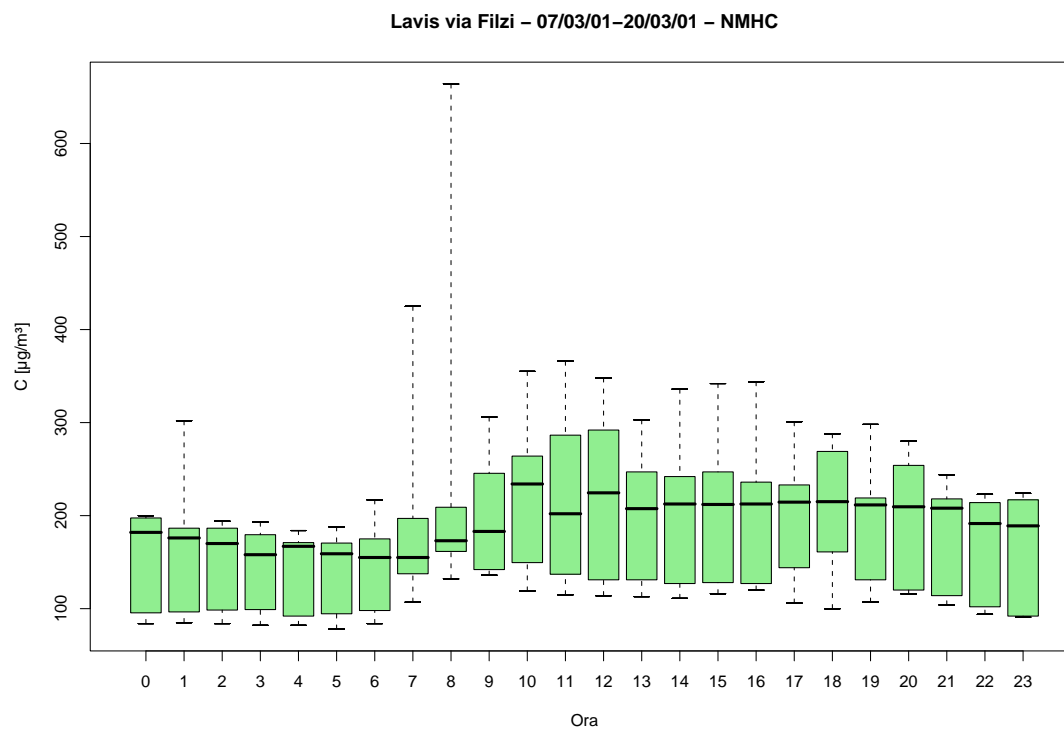


Figura 3.5: Campagna di misura a Lavis via Filzi (07/03/01-20/03/01), inquinante: *NMHC*. Box-plot relativo all'ora del giorno.

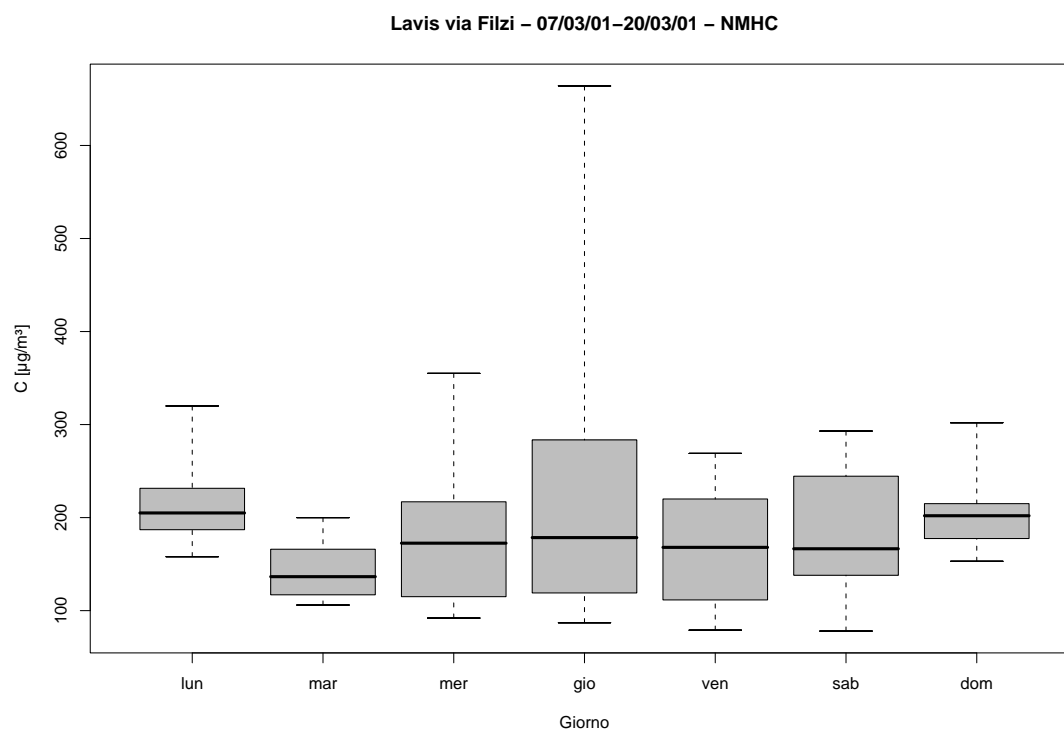


Figura 3.6: Campagna di misura a Lavis via Filzi (07/03/01-20/03/01), inquinante: *NMHC*. Box-plot relativo al giorno della settimana.

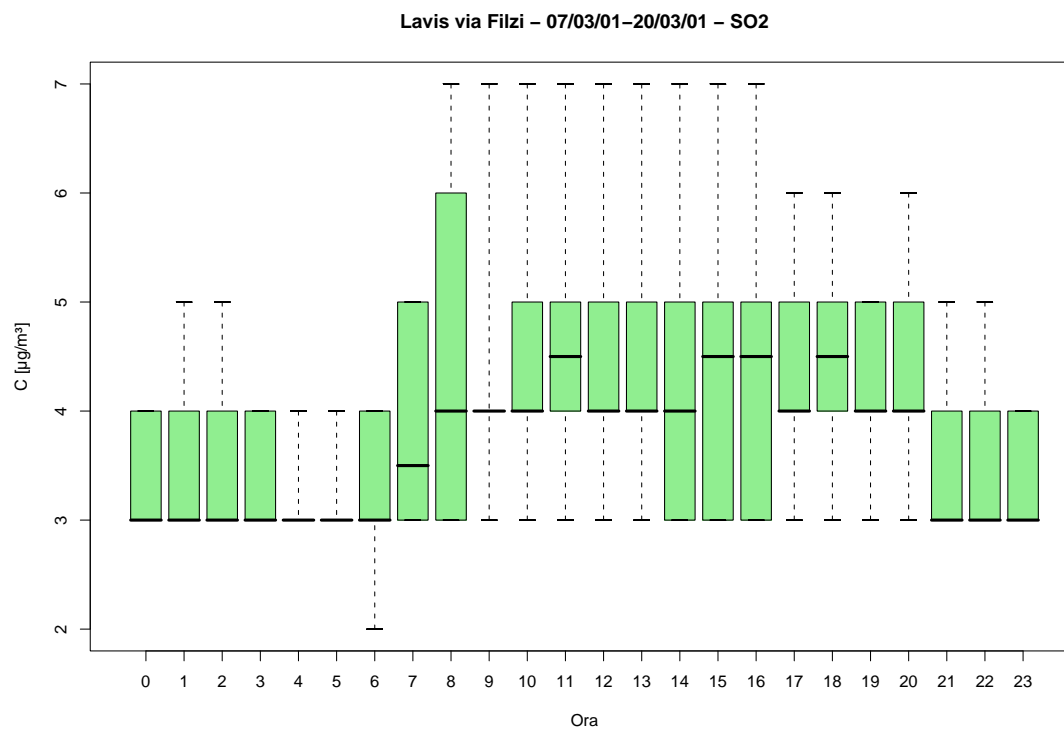


Figura 3.7: Campagna di misura a Lavis via Filzi (07/03/01-20/03/01), inquinante:  $SO_2$ . Boxplot relativo all'ora del giorno.

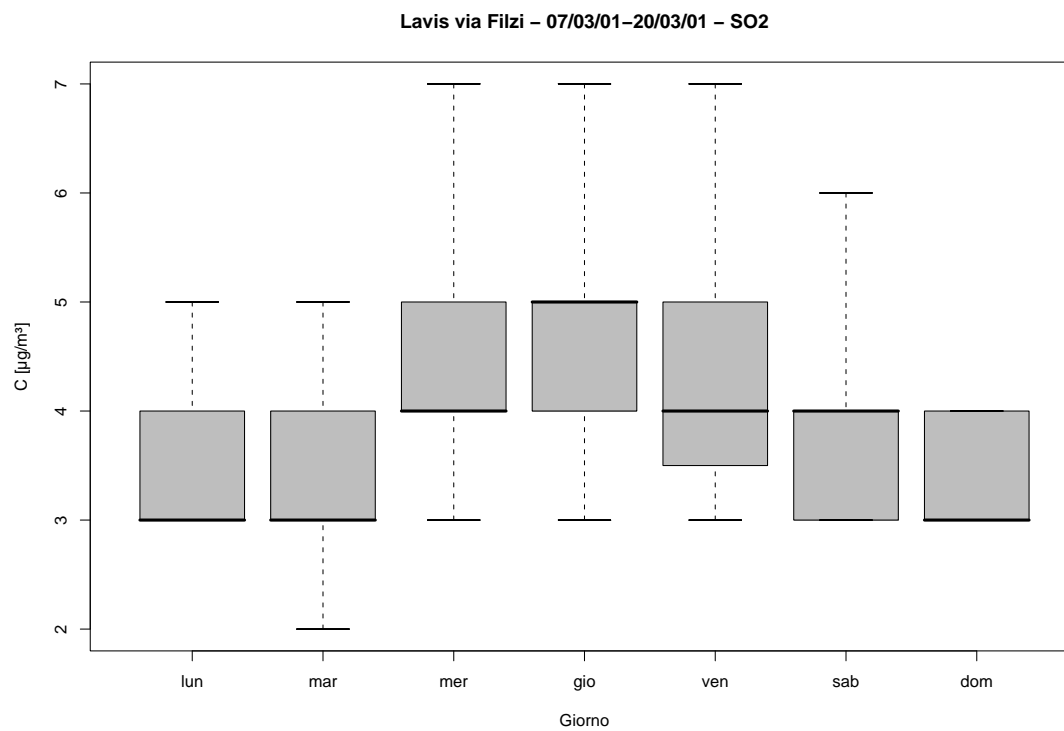


Figura 3.8: Campagna di misura a Lavis via Filzi (07/03/01-20/03/01), inquinante:  $SO_2$ . Boxplot relativo al giorno della settimana.



Lavis via Filzi - 07/03/01 - 20/03/01  
distribuzioni in frequenza e correlazioni

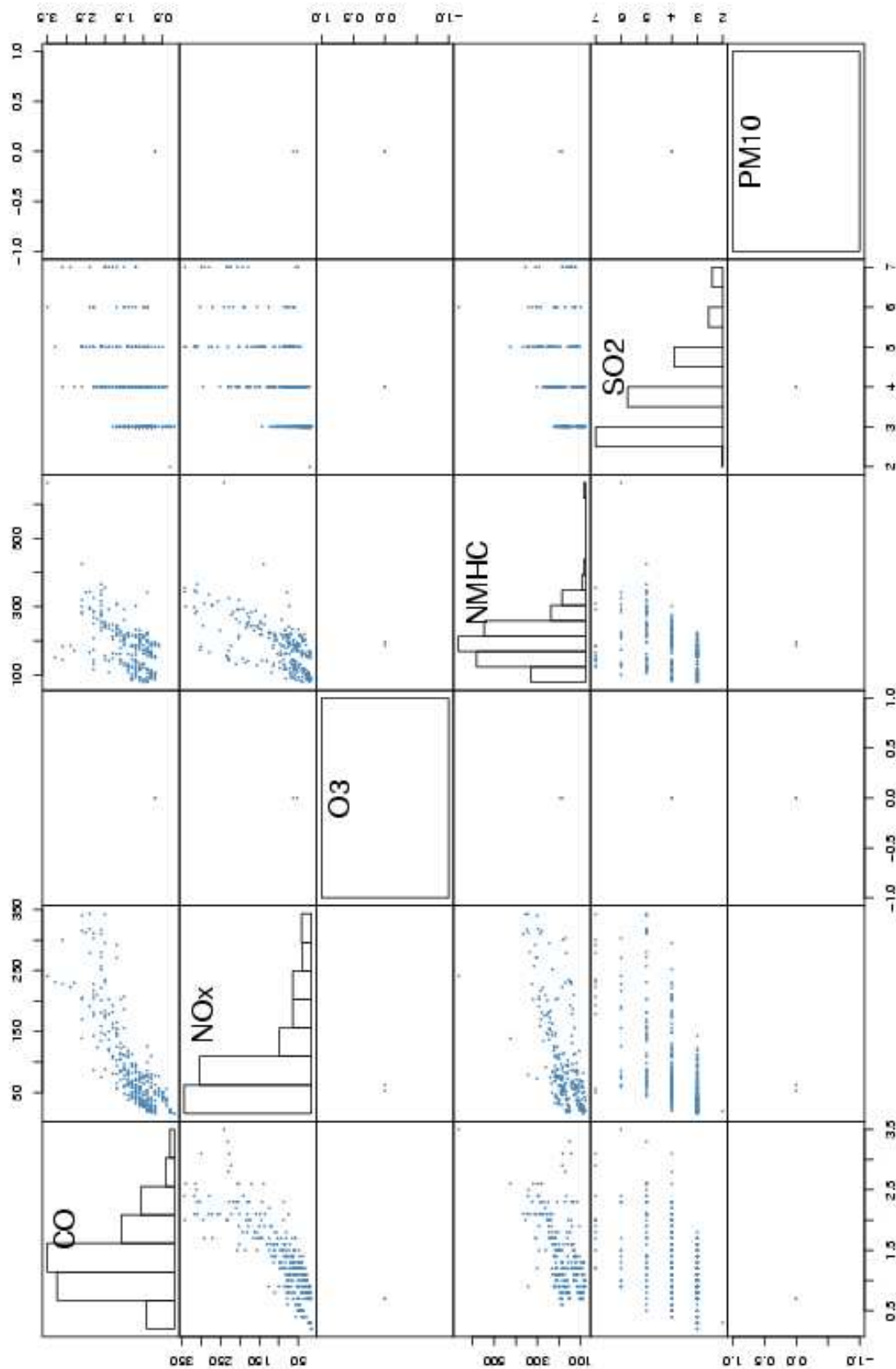


Figura 3.9: Campagna di misura a Lavis via Filzi (07/03/01-20/03/01). Distribuzioni in frequenza e correlazioni.

Sito di misura: Lavis via Filzi

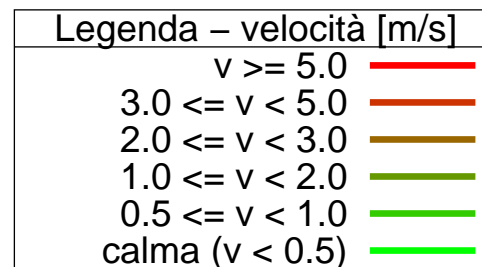
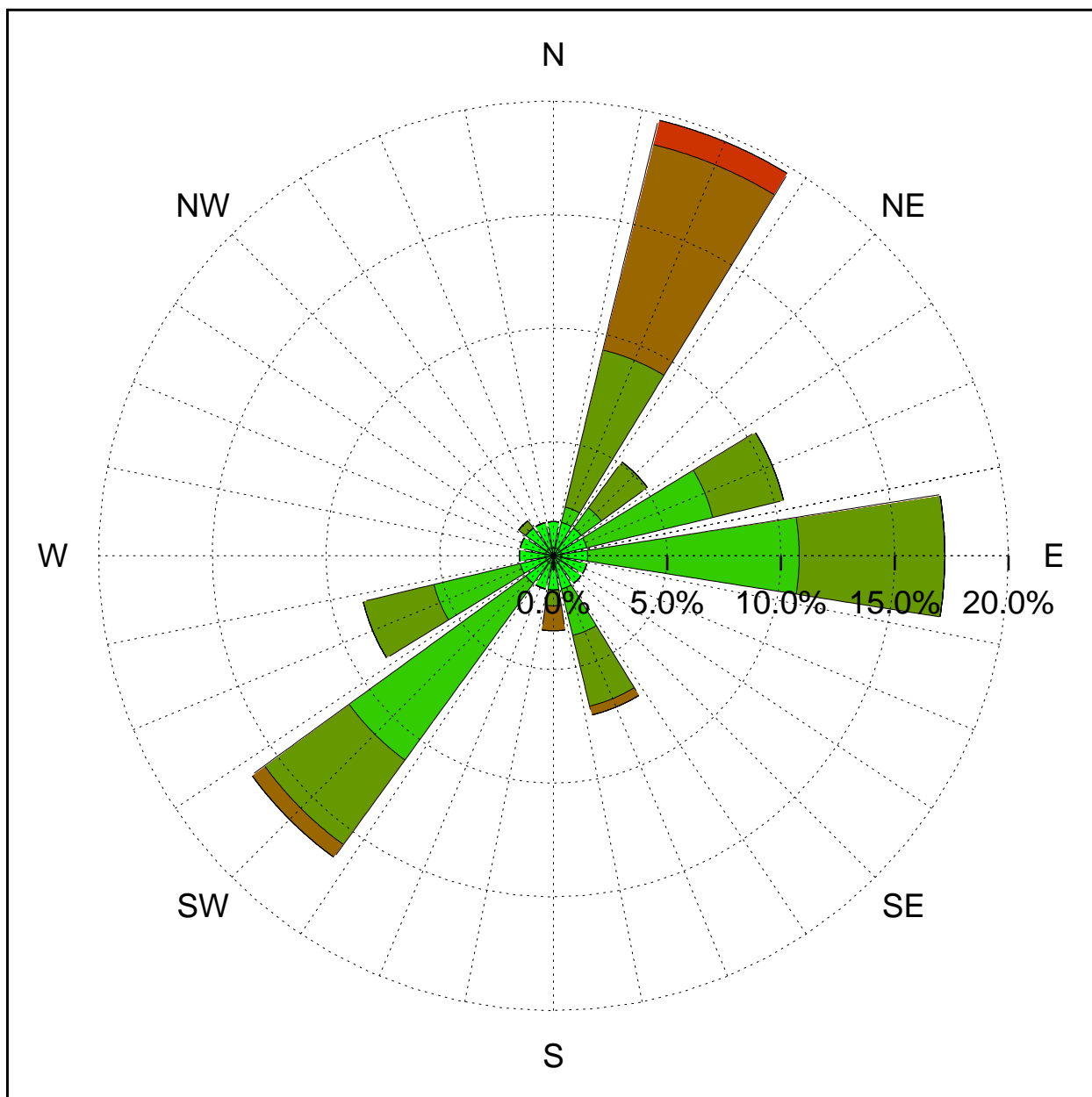


Figura 3.10: Campagna di misura a Lavis via Filzi (07/03/01-20/03/01). Rosa dei venti.

## 4 Campagna di misura a Lavis via Nazionale

**Campagna di misura** dal 22/03/01 al 17/04/01

**Inquinanti rilevati:**  $CO$ ,  $NO_x$ ,  $O_3$ ,  $NMHC$ ,  $SO_2$

**Parametri meteorologici misurati:** velocità del vento, direzione del vento, temperatura, umidità relativa

**Note:** I dati raccolti mostrano i cicli giornalieri degli inquinanti, le concentrazioni maggiori si registrano tra le ore 7 e le ore 8 del mattino, i valori di concentrazione restano poi quasi costanti fino alle ore 17 del pomeriggio per poi ridursi sensibilmente per tutta la notte. I cicli settimanali non sono ben evidenti anche se si nota di domenica un valore sensibilmente più basso di concentrazione. L' $O_3$  non sembra presentare un ciclo settimanale ben evidente mentre si nota che durante il giorno la concentrazione di questo inquinante fa registrare un minimo tra le ore 5 e le ore 9. Non particolarmente significativi sono invece i dati relativi alla  $SO_2$ .

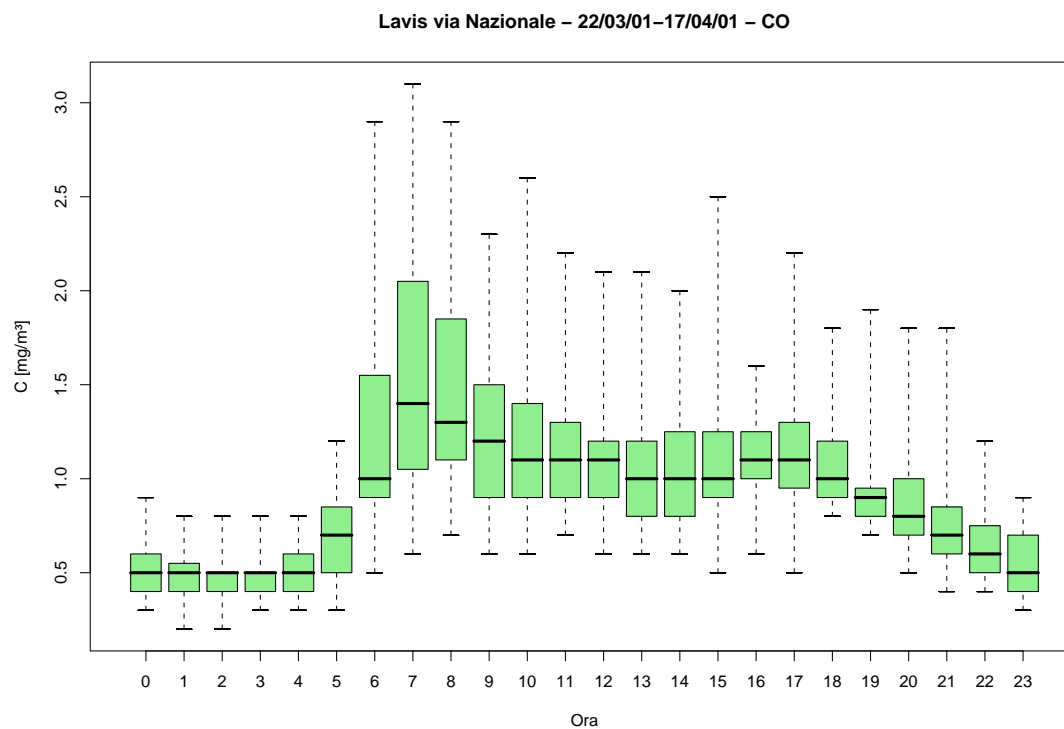


Figura 4.1: Campagna di misura a Lavis via Nazionale (22/03/01-17/04/01), inquinante: *CO*. Box-plot relativo all'ora del giorno.

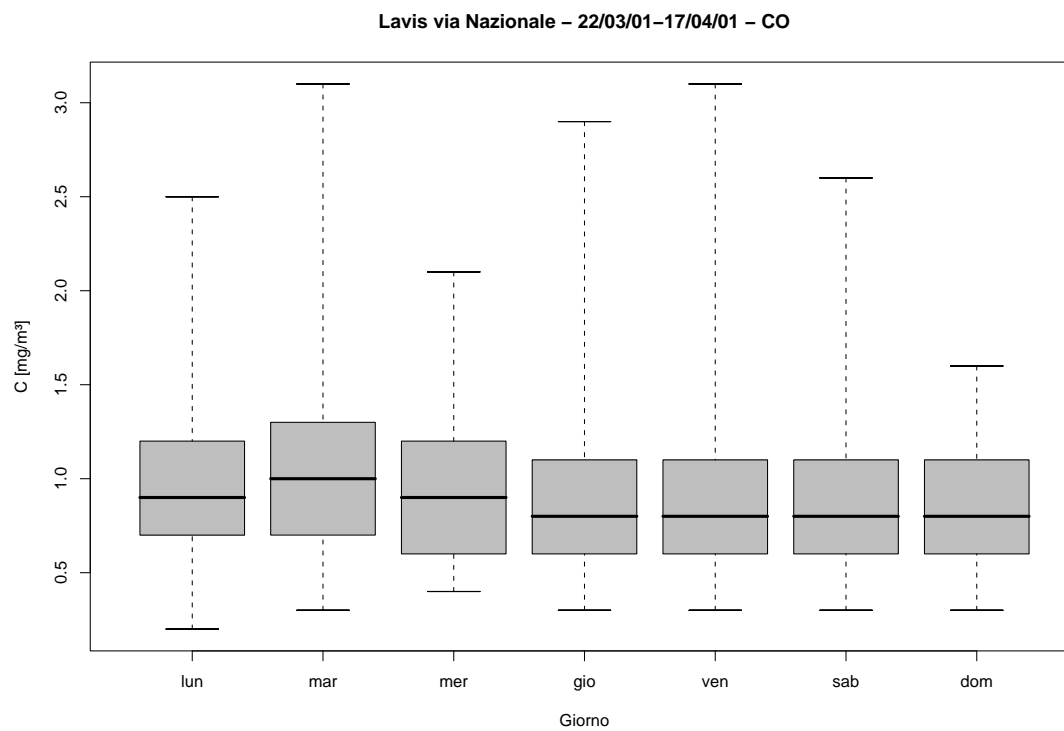


Figura 4.2: Campagna di misura a Lavis via Nazionale (22/03/01-17/04/01), inquinante: *CO*. Box-plot relativo al giorno della settimana.

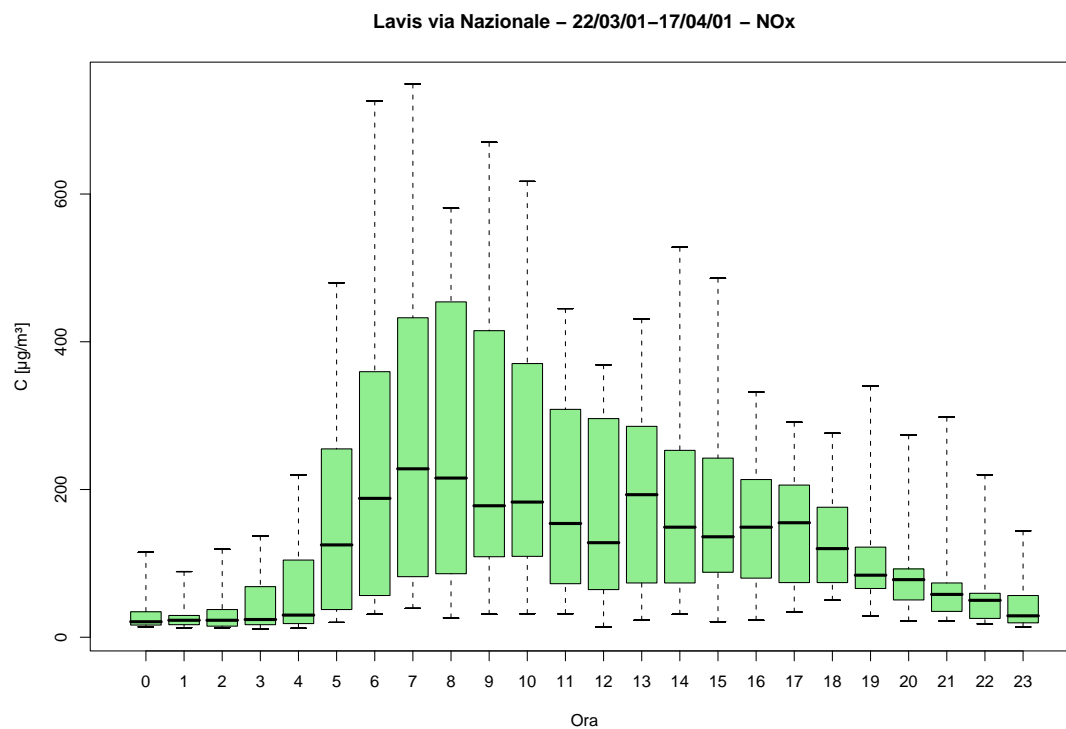


Figura 4.3: Campagna di misura a Lavis via Nazionale (22/03/01-17/04/01), inquinante:  $NO_x$ .  
Box-plot relativo all'ora del giorno.

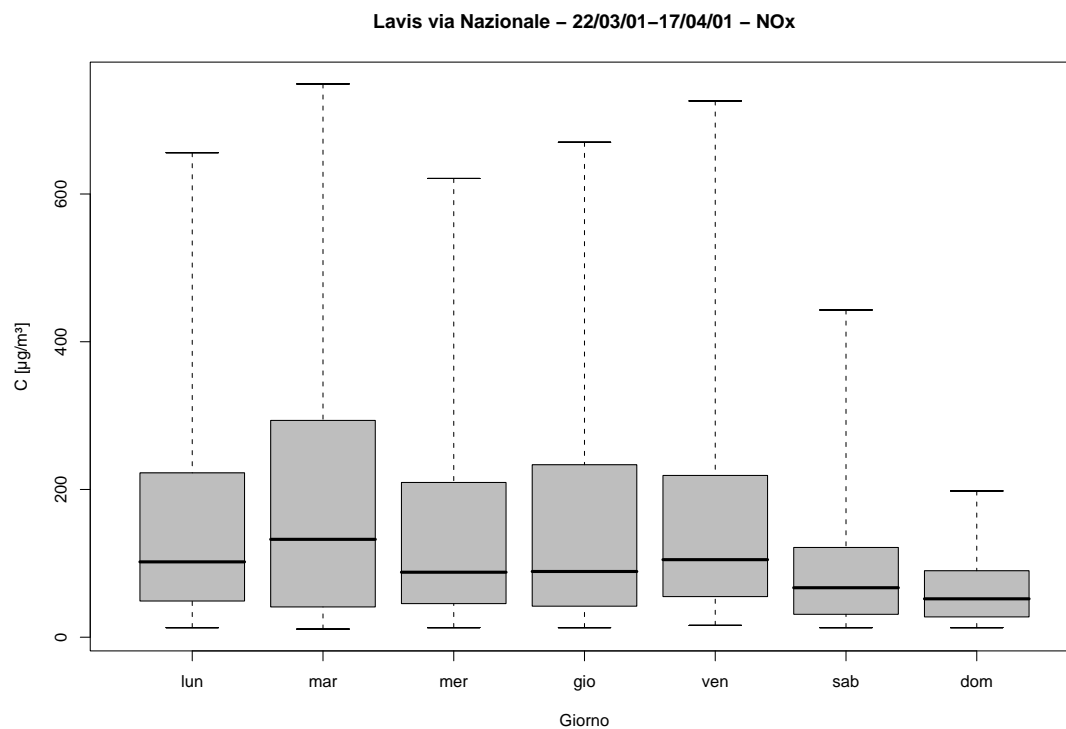


Figura 4.4: Campagna di misura a Lavis via Nazionale (22/03/01-17/04/01), inquinante:  $NO_x$ .  
Box-plot relativo al giorno della settimana.

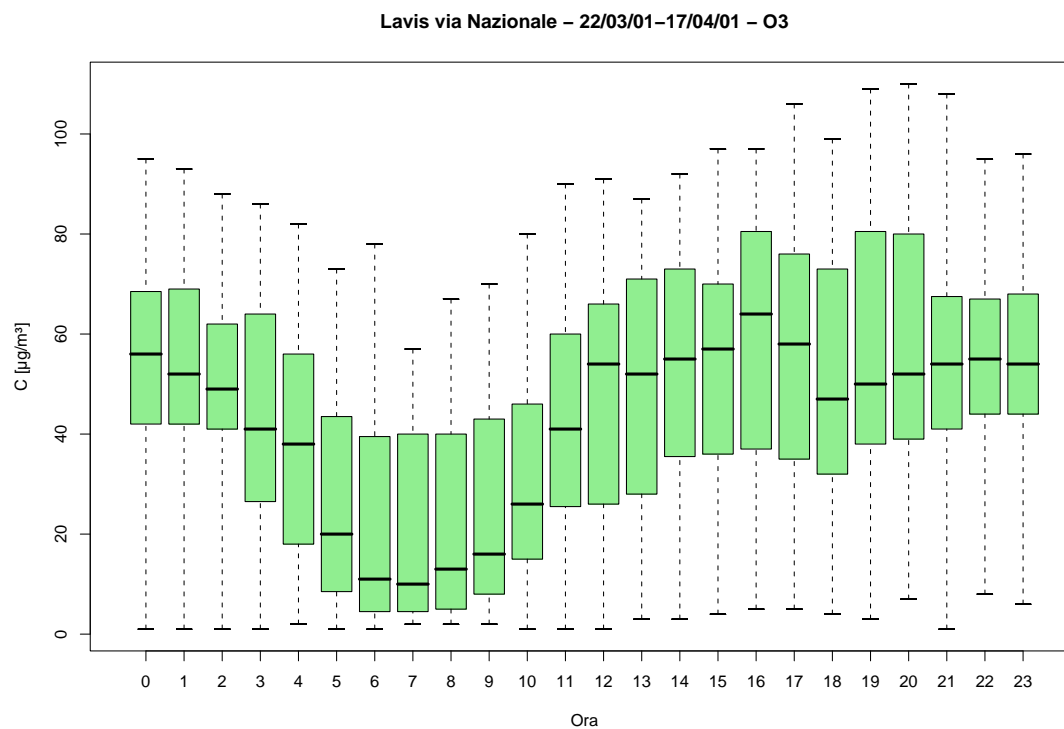


Figura 4.5: Campagna di misura a Lavis via Nazionale (22/03/01-17/04/01), inquinante:  $O_3$ .  
Box-plot relativo all'ora del giorno.

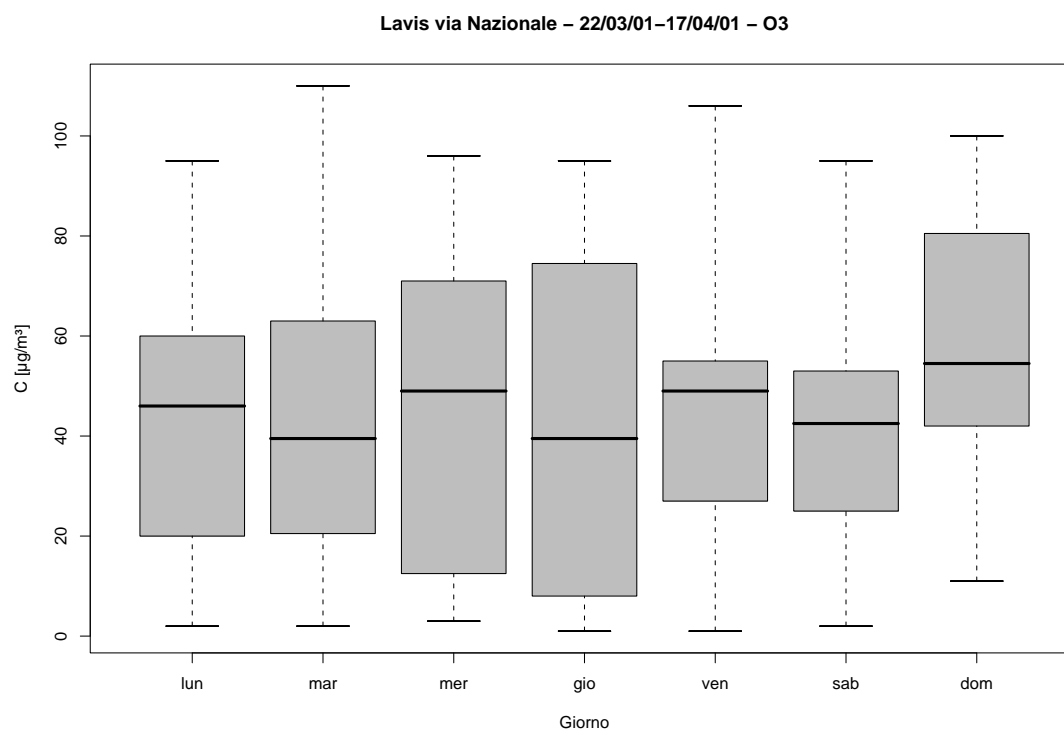


Figura 4.6: Campagna di misura a Lavis via Nazionale (22/03/01-17/04/01), inquinante:  $O_3$ .  
Box-plot relativo al giorno della settimana.

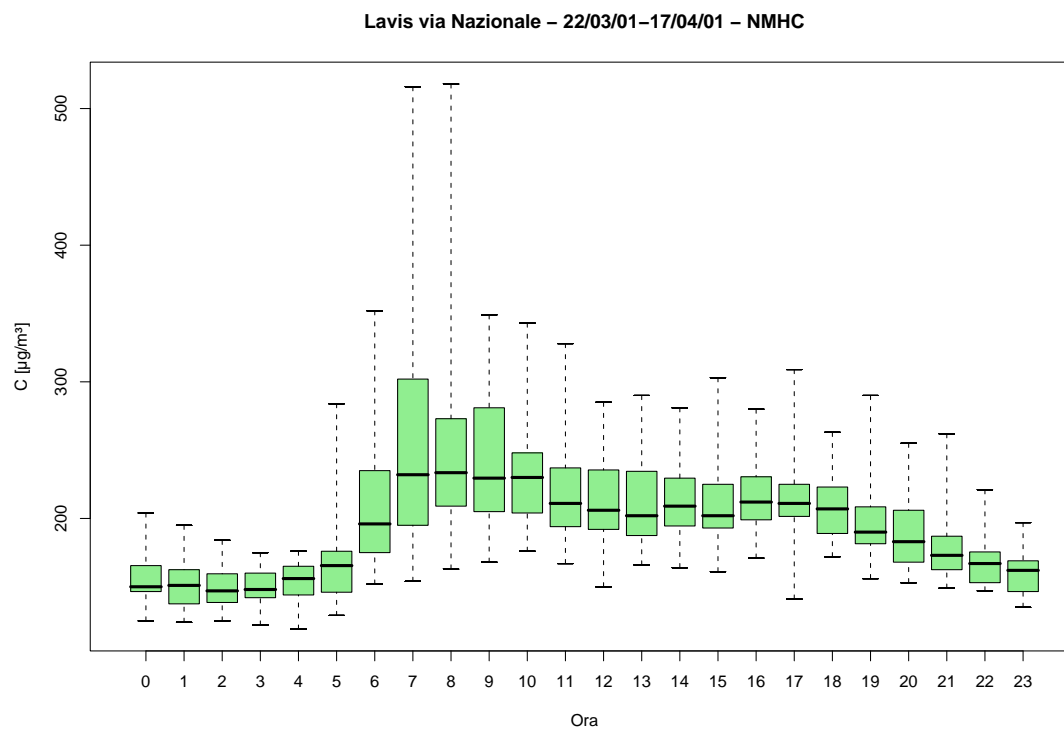


Figura 4.7: Campagna di misura a Lavis via Nazionale (22/03/01-17/04/01), inquinante: *NMHC*. Box-plot relativo all'ora del giorno.

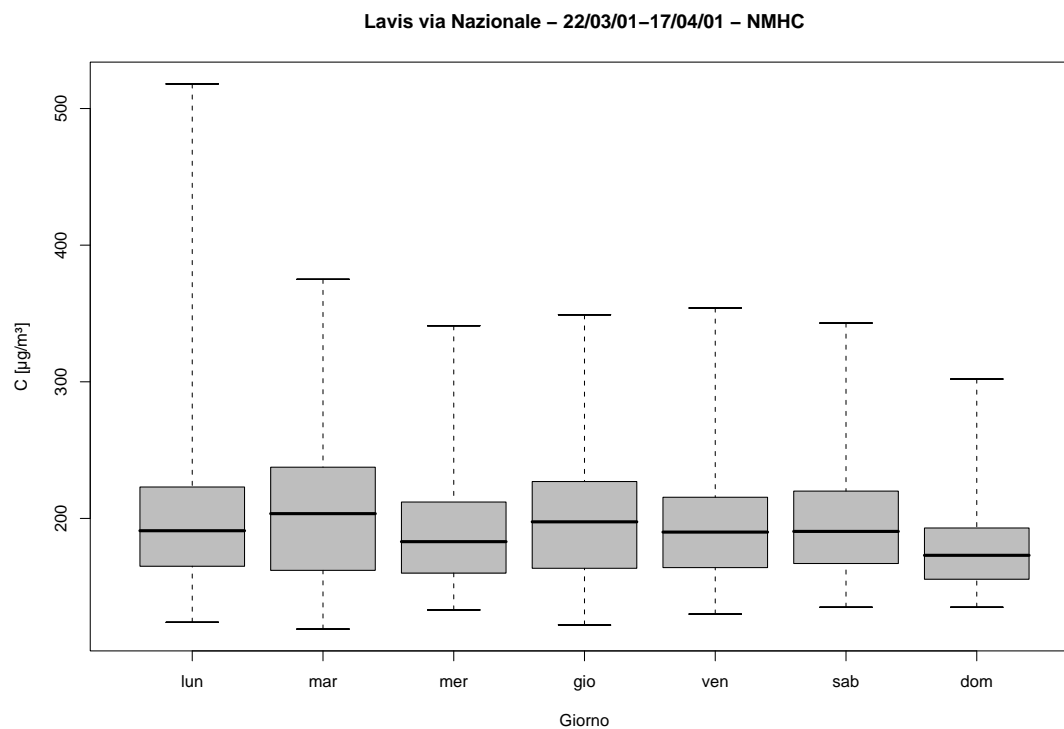


Figura 4.8: Campagna di misura a Lavis via Nazionale (22/03/01-17/04/01), inquinante: *NMHC*. Box-plot relativo al giorno della settimana.

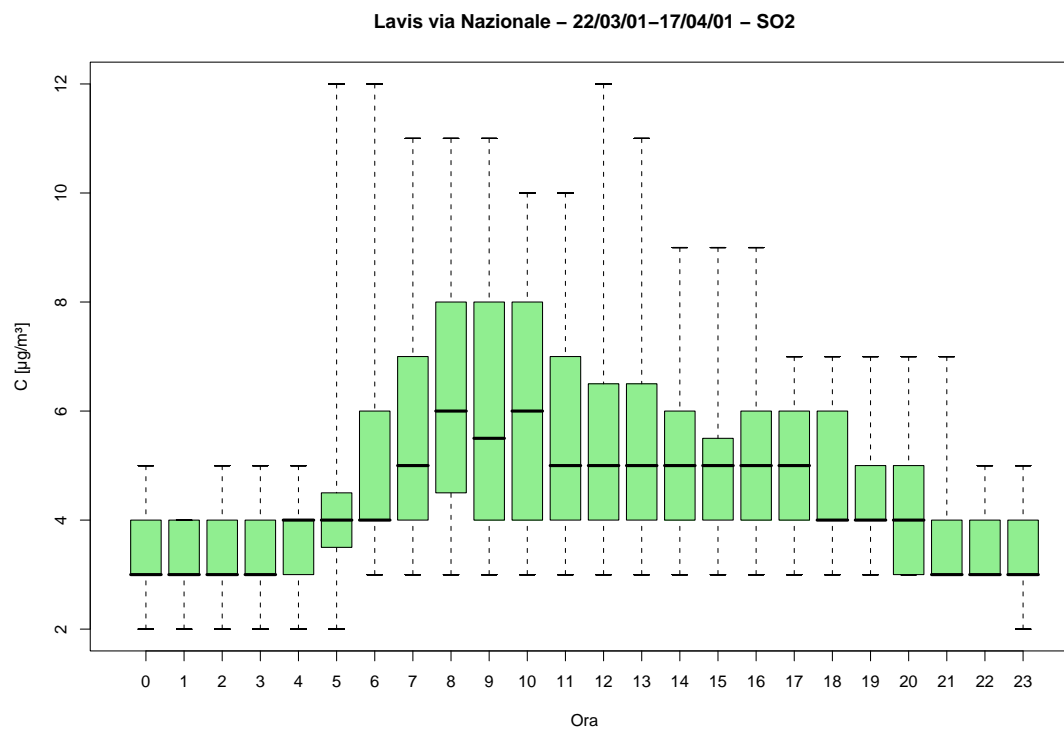


Figura 4.9: Campagna di misura a Lavis via Nazionale (22/03/01-17/04/01), inquinante:  $SO_2$ . Box-plot relativo all'ora del giorno.

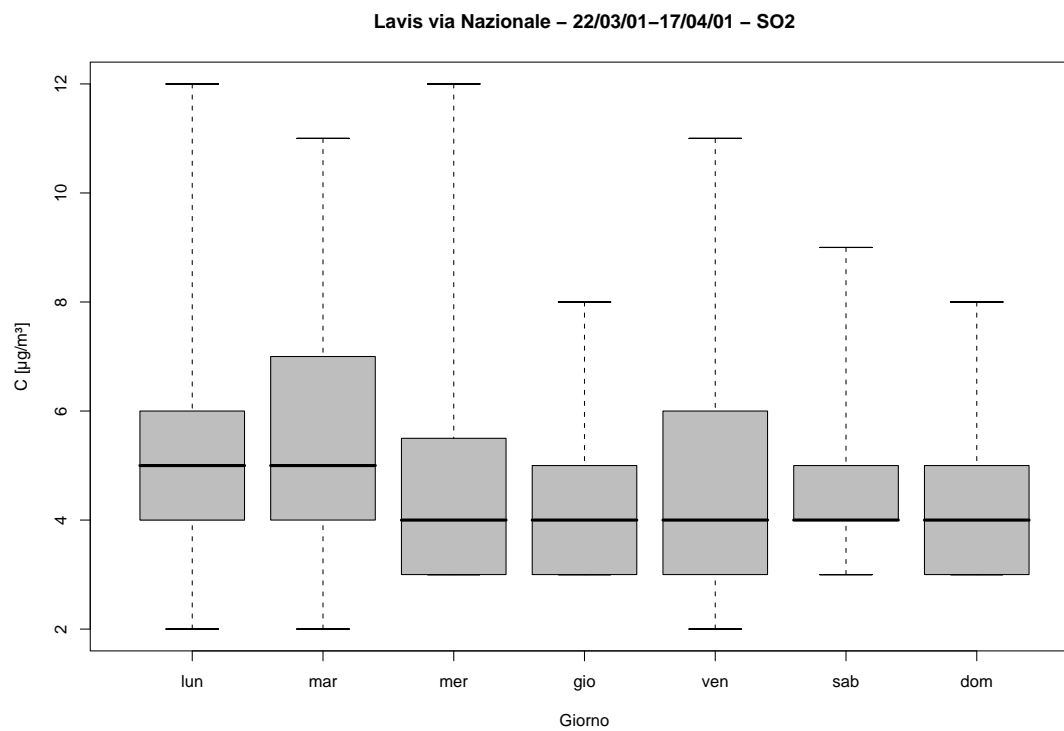


Figura 4.10: Campagna di misura a Lavis via Nazionale (22/03/01-17/04/01), inquinante:  $SO_2$ . Box-plot relativo al giorno della settimana.



Lavis via Nazionale - 22/03/01 - 17/04/01  
distribuzioni in frequenza e correlazioni

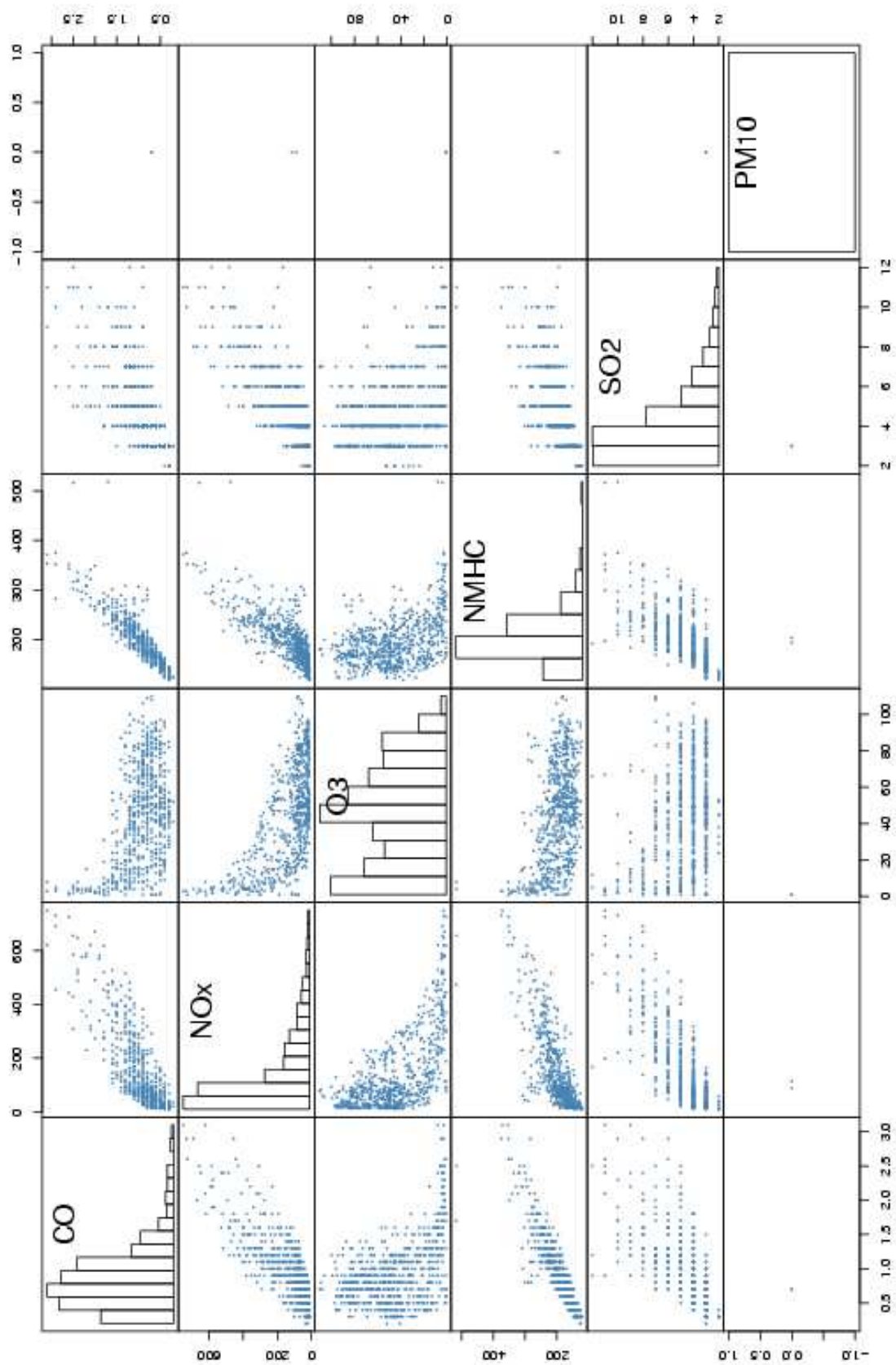
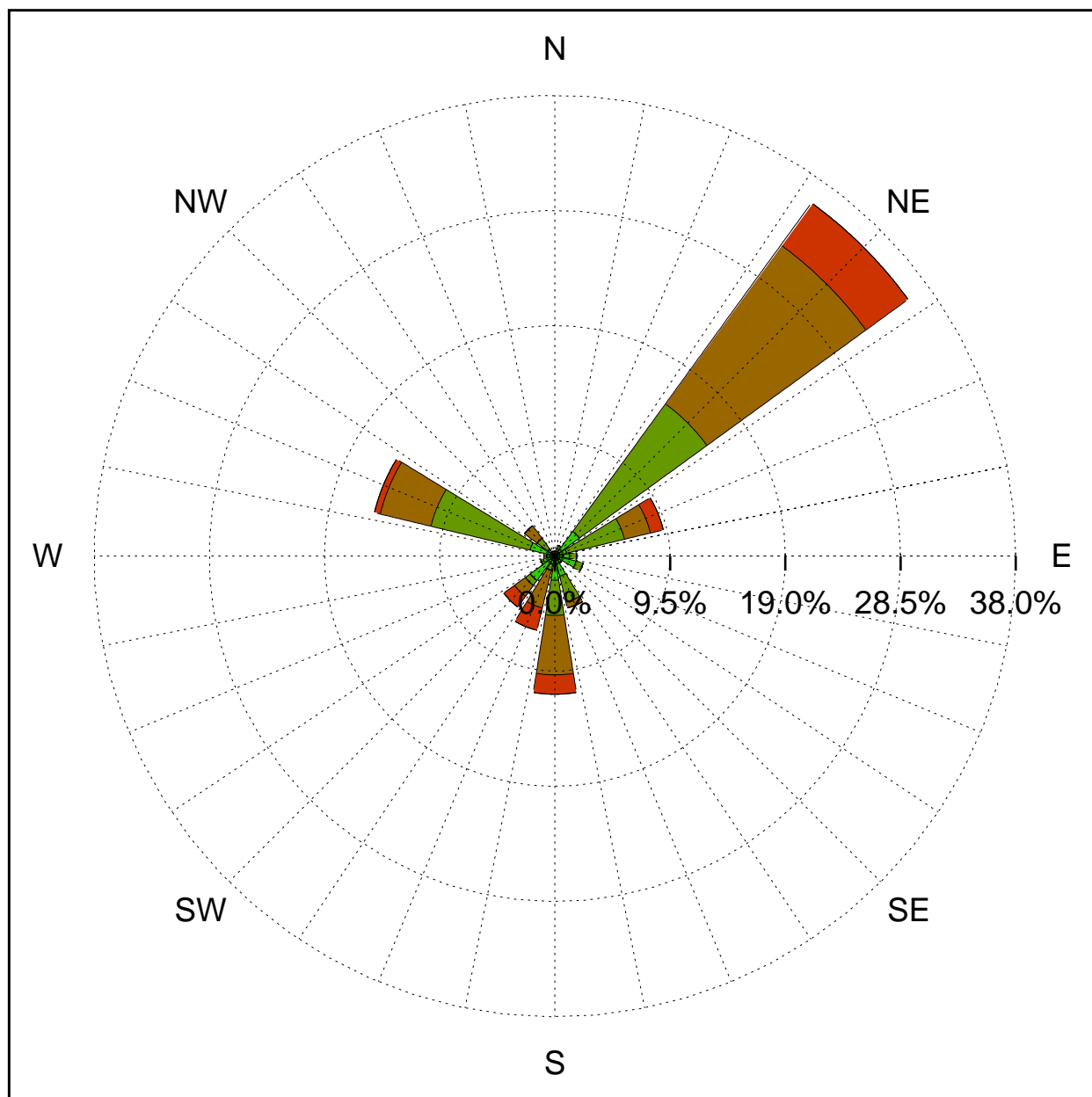


Figura 4.11: Campagna di misura a Lavis via Nazionale (22/03/01-17/04/01). Distribuzioni in frequenza e correlazioni.

Sito di misura: Lavis via Nazionale



Legenda – velocità [m/s]	
$v \geq 5.0$	
$3.0 \leq v < 5.0$	
$2.0 \leq v < 3.0$	
$1.0 \leq v < 2.0$	
$0.5 \leq v < 1.0$	
calma ( $v < 0.5$ )	

Figura 4.12: Campagna di misura a Lavis via Nazionale (22/03/01-17/04/01). Rosa dei venti.

## 5 Campagna di misura a Rovereto via Saibanti

**Campagna di misura** dal 11/05/01 al 24/05/01

**Inquinanti rilevati:**  $CO$ ,  $NO_x$ ,  $O_3$ ,  $NMHC$ ,  $SO_2$

**Parametri meteorologici misurati:** velocità del vento, direzione del vento, temperatura, umidità relativa, pioggia, radiazione globale

**Note:** I dati raccolti durante la campagna di monitoraggio mostrano, per tutti gli inquinanti misurati, il tipico ciclo giornaliero con i picchi tra le ore 6 e le ore 8 del mattino e tra le ore 16 e le ore 19 del pomeriggio e il tipico andamento settimanale con i valori massimi che si registrano durante i primo giorni della settimana e il minimo che si registra di domenica. L'ozono presenta il comportamento opposto, con il minimo nei giorni e nelle ore caratterizzati da più traffico e i massimi durante il fine settimana; il ciclo giornaliero è quello tipico, i minimi si registrano tra le 5 e le 7 e i massimi si registrano nelle ore con maggiore insolazione (12-13) per poi mantenersi su valori elevati durante tutto il pomeriggio. Restano dei dubbi sulla misura della  $SO_2$ .

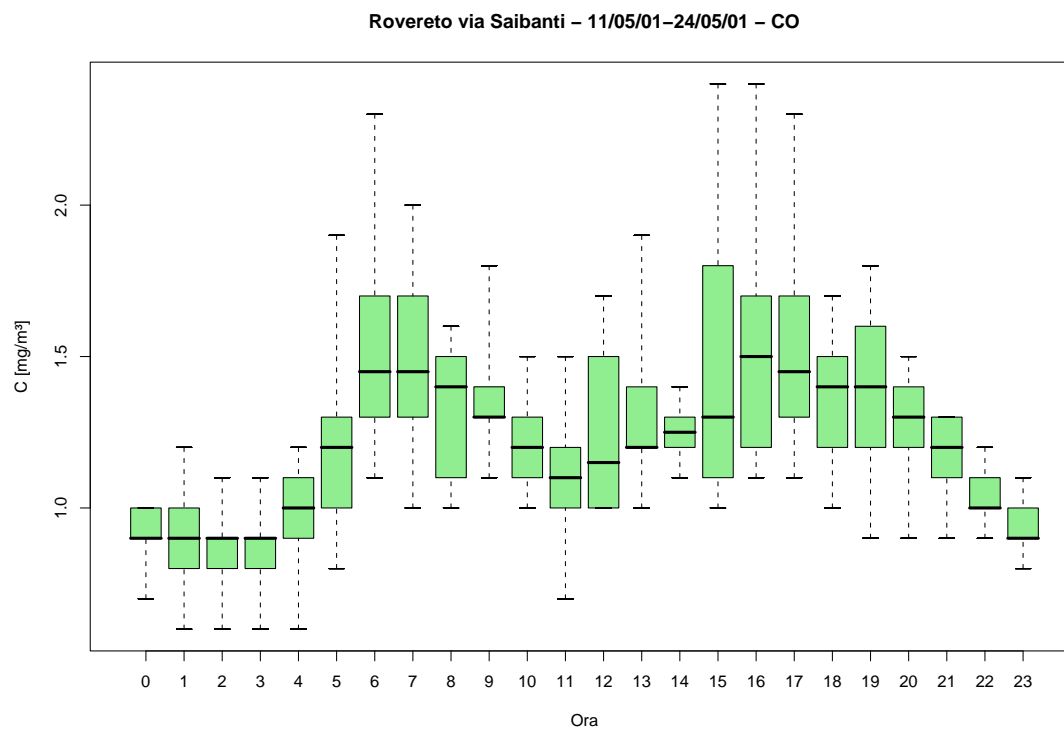


Figura 5.1: Campagna di misura a Rovereto via Saibanti (11/05/01-24/05/01), inquinante: *CO*. Box-plot relativo all'ora del giorno.

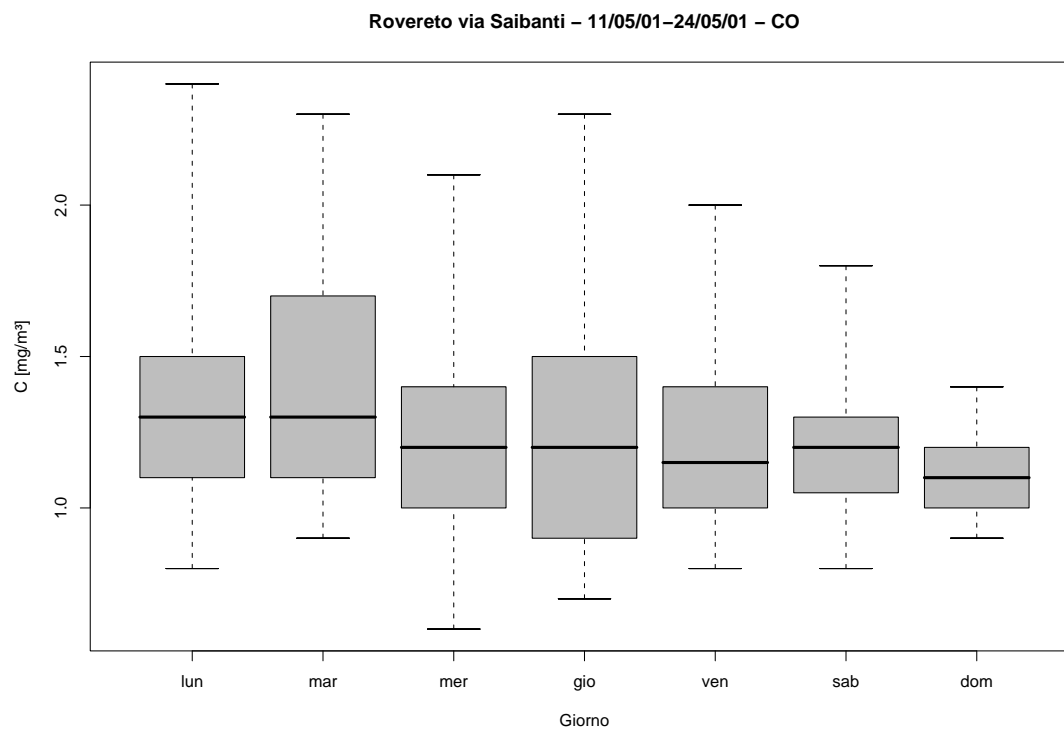


Figura 5.2: Campagna di misura a Rovereto via Saibanti (11/05/01-24/05/01), inquinante: *CO*. Box-plot relativo al giorno della settimana.

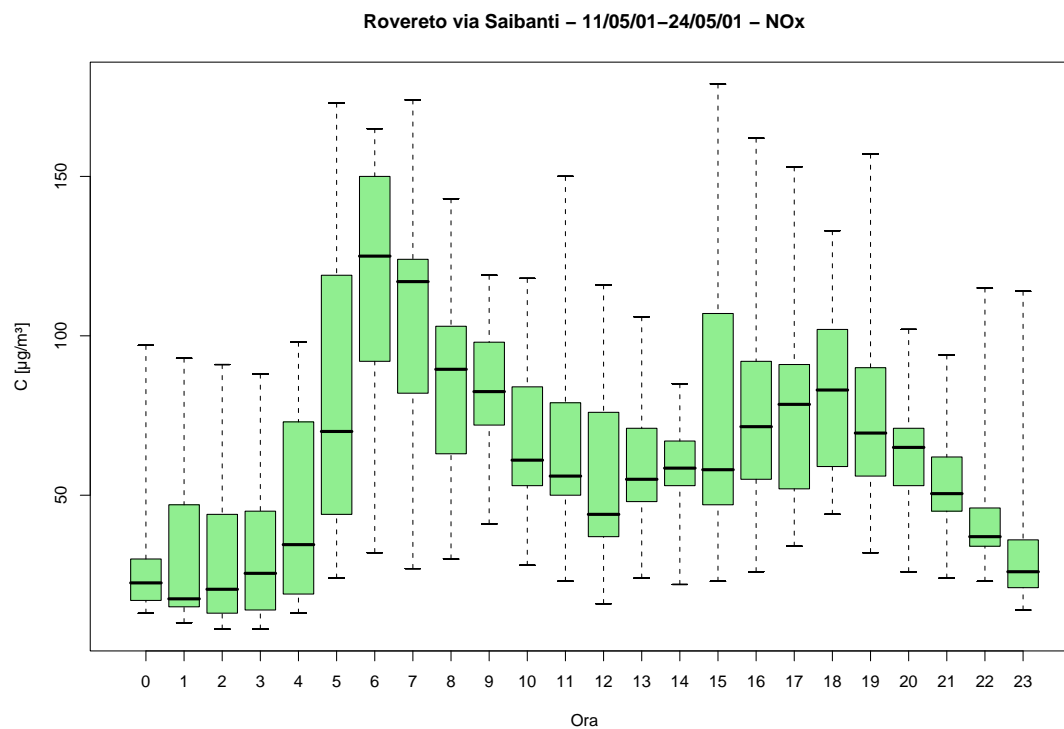


Figura 5.3: Campagna di misura a Rovereto via Saibanti (11/05/01-24/05/01), inquinante:  $NO_x$ . Box-plot relativo all'ora del giorno.

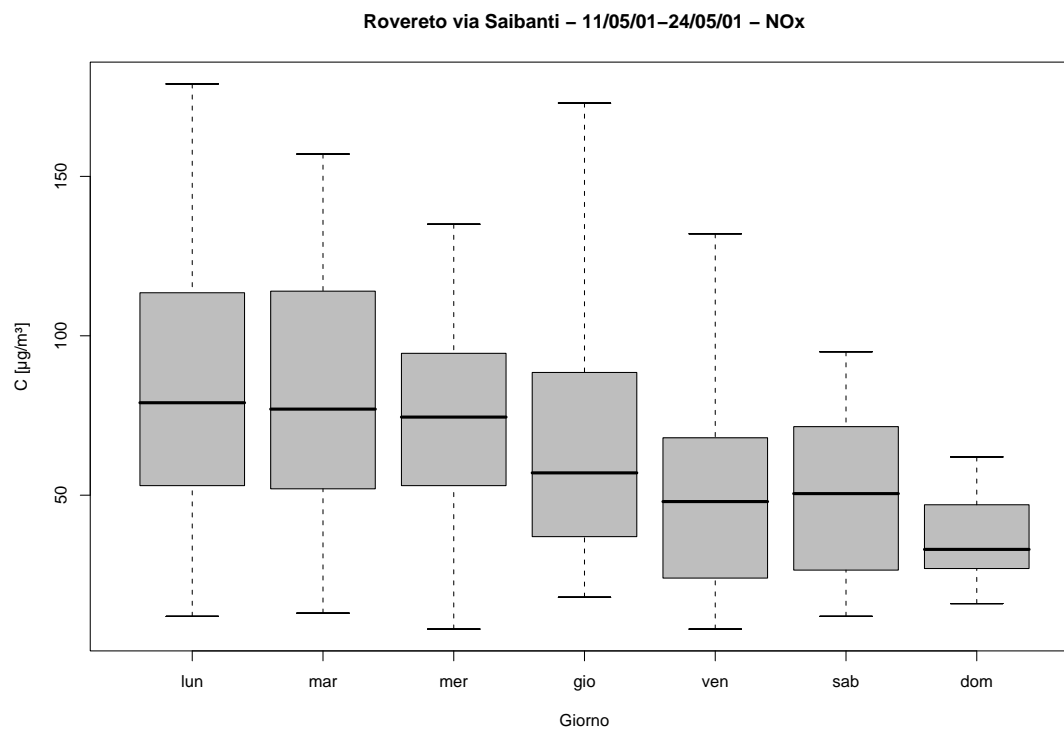


Figura 5.4: Campagna di misura a Rovereto via Saibanti (11/05/01-24/05/01), inquinante:  $NO_x$ . Box-plot relativo al giorno della settimana.

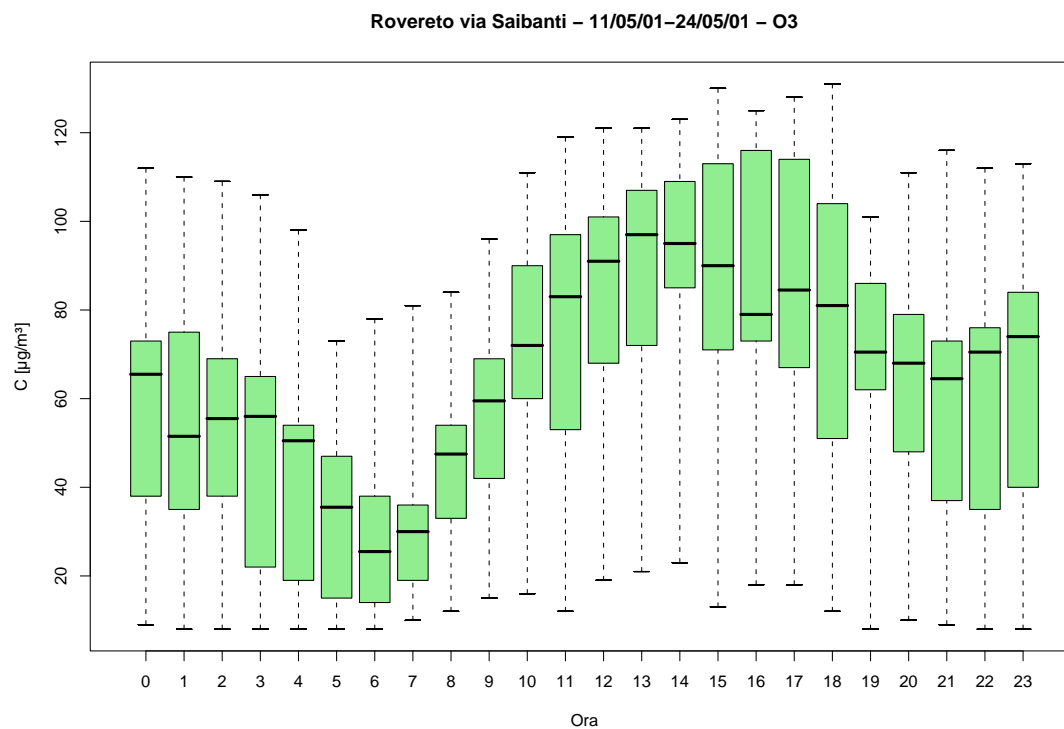


Figura 5.5: Campagna di misura a Rovereto via Saibanti (11/05/01-24/05/01), inquinante:  $O_3$ . Box-plot relativo all'ora del giorno.

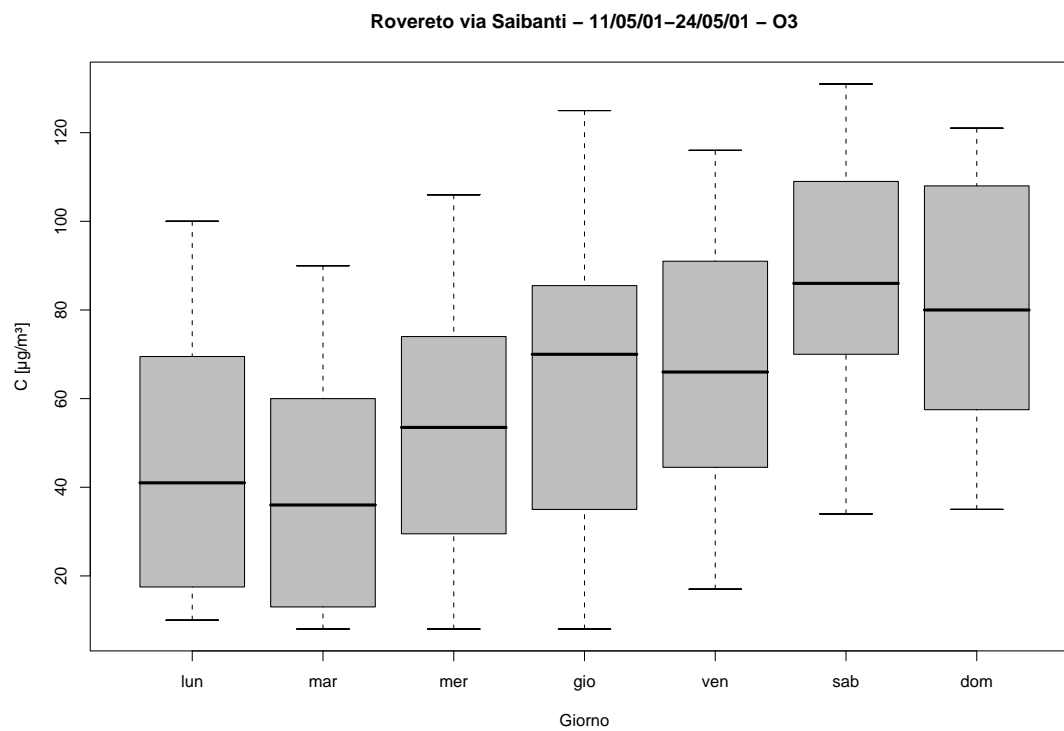


Figura 5.6: Campagna di misura a Rovereto via Saibanti (11/05/01-24/05/01), inquinante:  $O_3$ . Box-plot relativo al giorno della settimana.

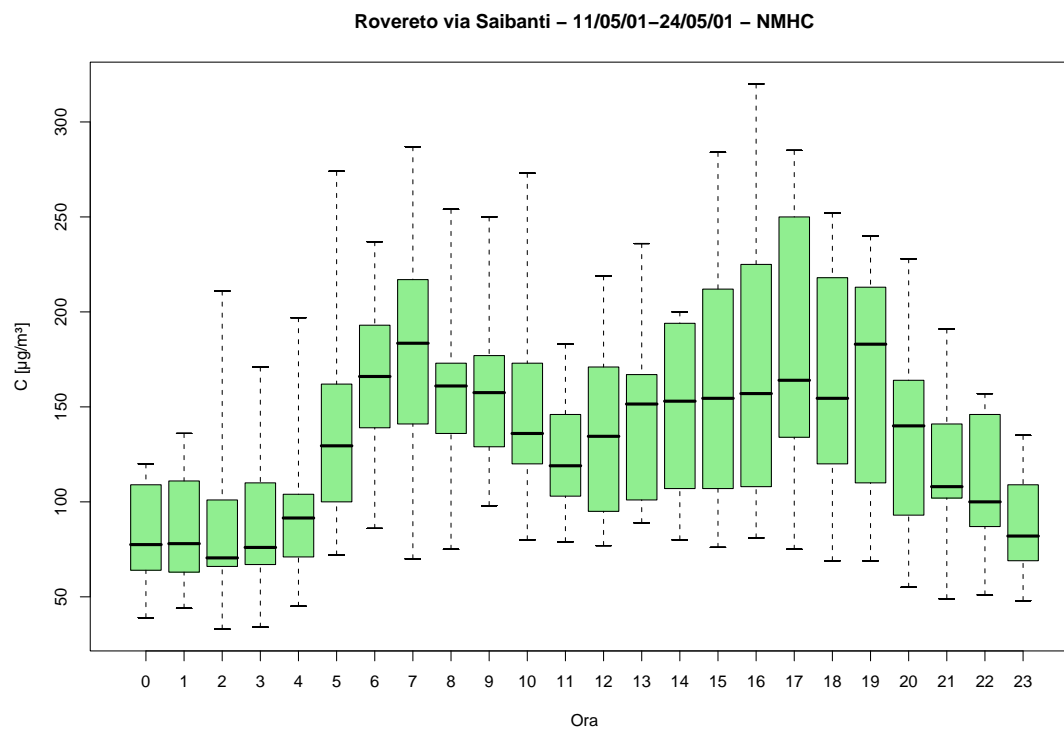


Figura 5.7: Campagna di misura a Rovereto via Saibanti (11/05/01-24/05/01), inquinante: *NMHC*. Box-plot relativo all'ora del giorno.

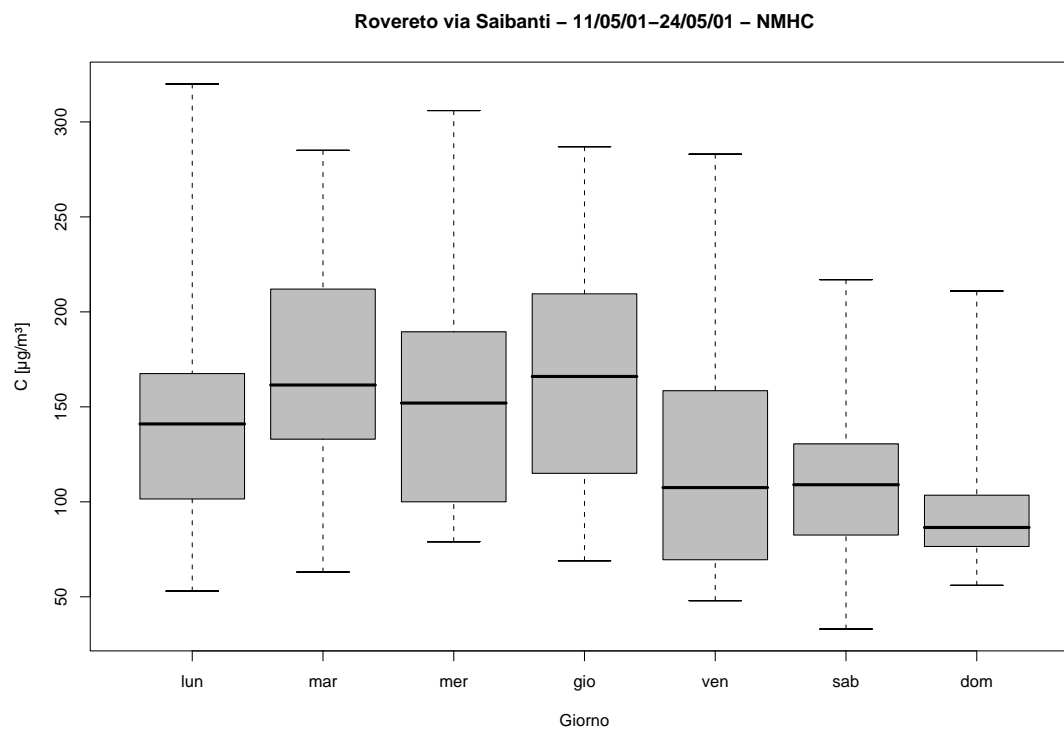


Figura 5.8: Campagna di misura a Rovereto via Saibanti (11/05/01-24/05/01), inquinante: *NMHC*. Box-plot relativo al giorno della settimana.

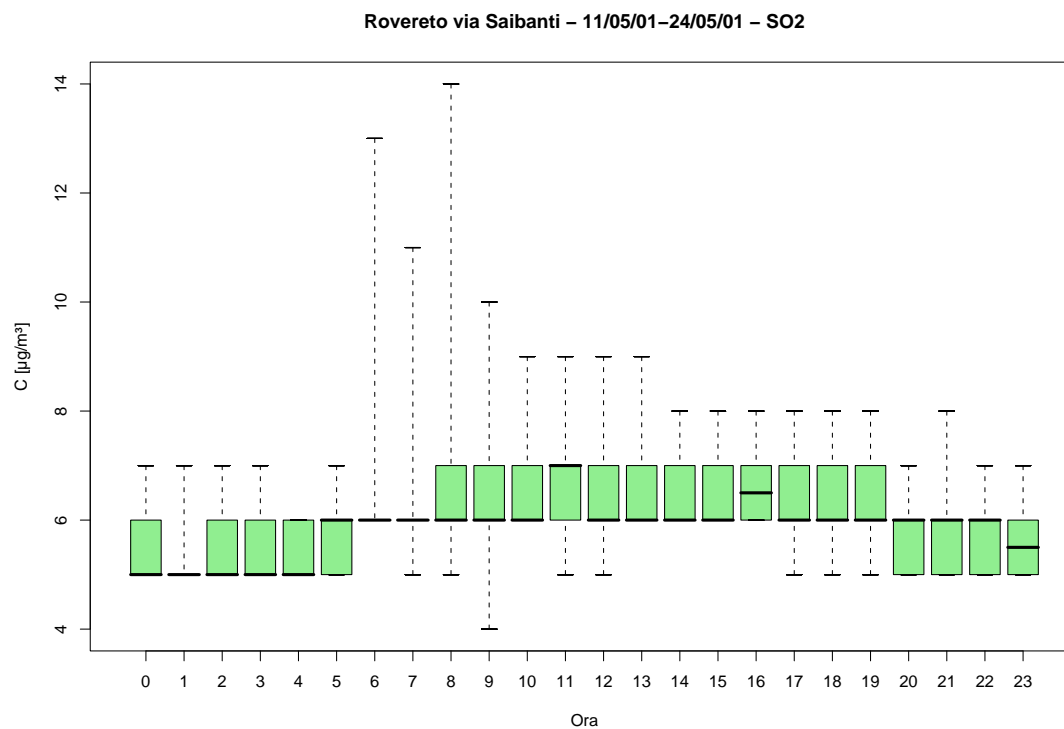


Figura 5.9: Campagna di misura a Rovereto via Saibanti (11/05/01-24/05/01), inquinante: SO<sub>2</sub>. Box-plot relativo all'ora del giorno.

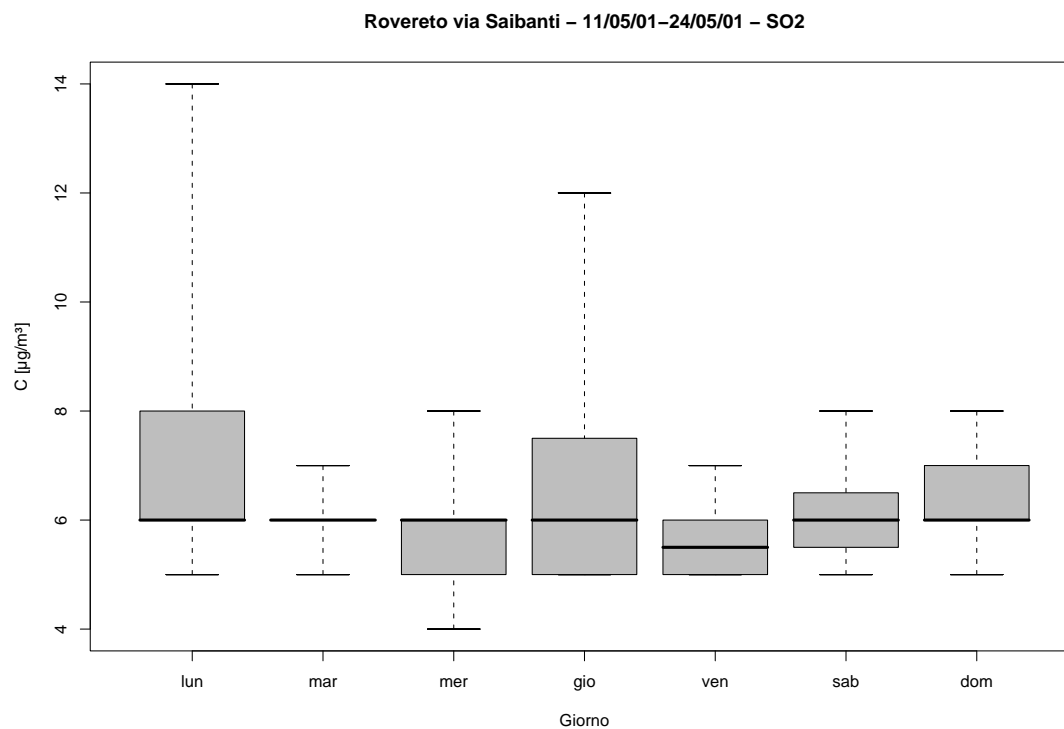


Figura 5.10: Campagna di misura a Rovereto via Saibanti (11/05/01-24/05/01), inquinante: SO<sub>2</sub>. Box-plot relativo al giorno della settimana.



Rovereto via Saibanti - 11/05/01 -24/05/01  
distribuzioni in frequenza e correlazioni

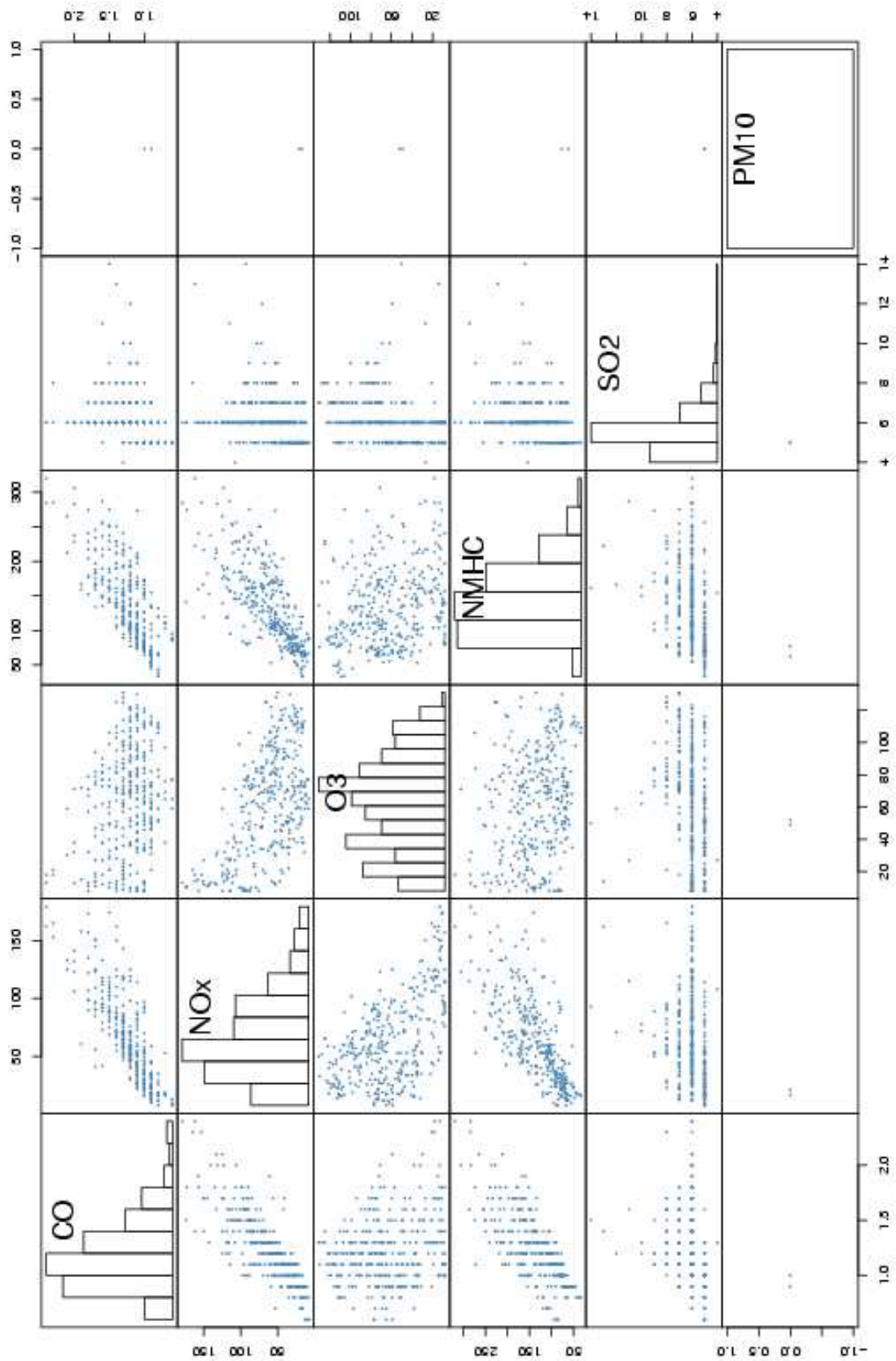
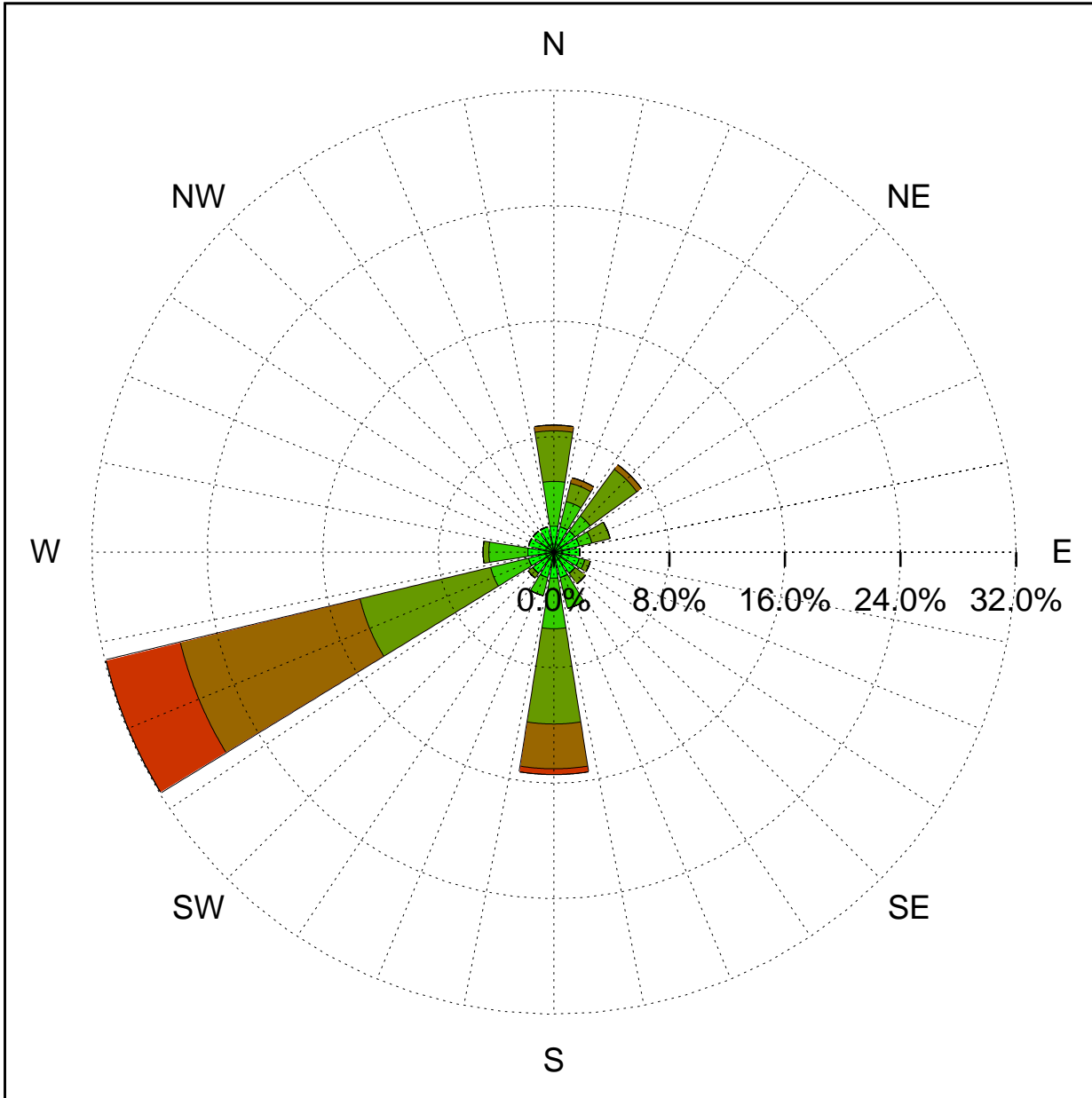


Figura 5.11: Campagna di misura a Rovereto via Saibanti (11/05/01-24/05/01). Distribuzioni in frequenza e correlazioni.

Sito di misura: Rovereto via Saibanti



Legenda - velocità [m/s]	
$v \geq 5.0$	Red
$3.0 \leq v < 5.0$	Orange
$2.0 \leq v < 3.0$	Brown
$1.0 \leq v < 2.0$	Light Green
$0.5 \leq v < 1.0$	Green
calma ( $v < 0.5$ )	Light Green

Figura 5.12: Campagna di misura a Rovereto via Saibanti (11/05/01-24/05/01). Rosa dei venti.

## 6 Campagna di misura a Cavalese piazza Dante

**Campagna di misura** dal 22/05/01 al 04/06/01

**Inquinanti rilevati:** *CO*, *NO<sub>x</sub>*, *O<sub>3</sub>*, *NMHC*, *SO<sub>2</sub>*

**Parametri meteorologici misurati:** velocità del vento, direzione del vento, temperatura, umidità relativa

**Note:** I dati raccolti mostrano i cicli giornalieri degli inquinanti, le concentrazioni maggiori si registrano tra le ore 7 e le ore 8 del mattino, i valori di concentrazione restano poi quasi costanti fino alle ore 12 per poi aumentare tra le ore 17 e 19. Durante la notte i valori di concentrazione sono molto bassi. I cicli settimanali variano a seconda dell'inquinante preso in considerazione e ciò è probabilmente dovuto alla breve durata della campagna

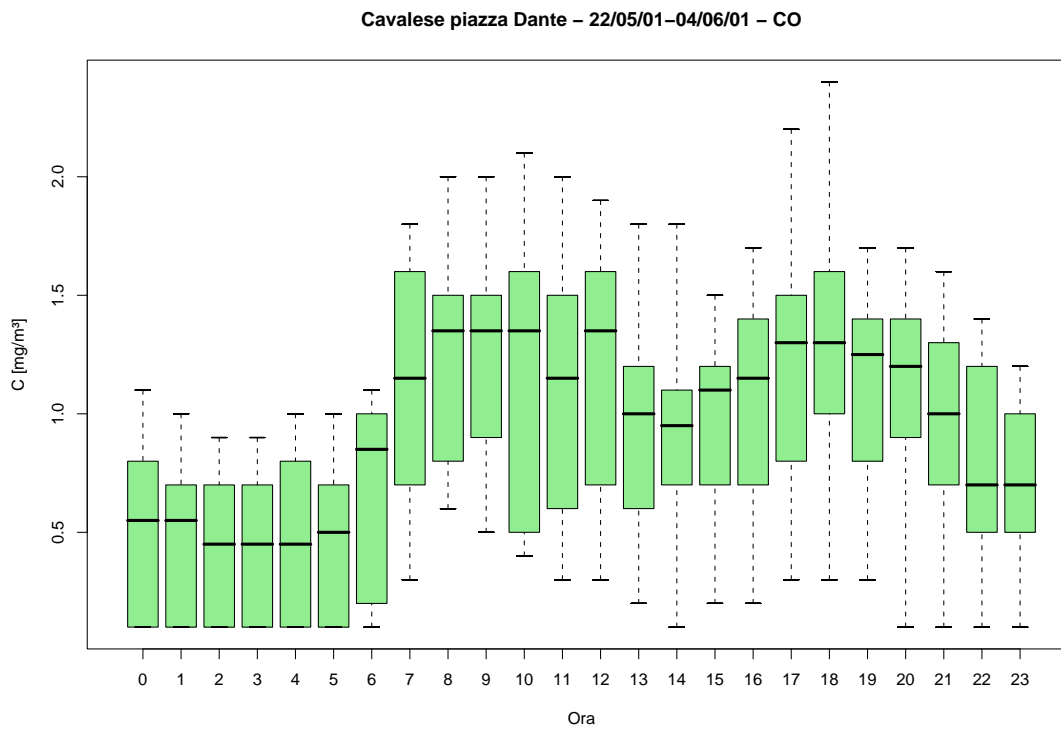


Figura 6.1: Campagna di misura a Cavalese piazza Dante (22/05/01-04/06/01), inquinante: *CO*. Box-plot relativo all'ora del giorno.

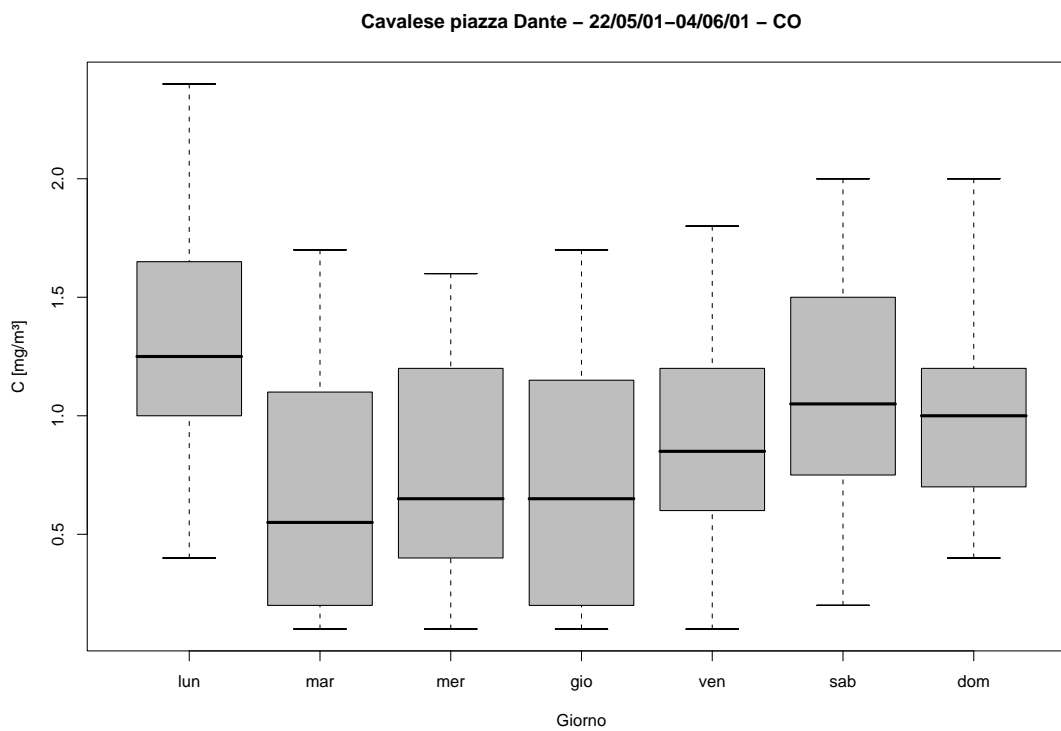


Figura 6.2: Campagna di misura a Cavalese piazza Dante (22/05/01-04/06/01), inquinante: *CO*. Box-plot relativo al giorno della settimana.

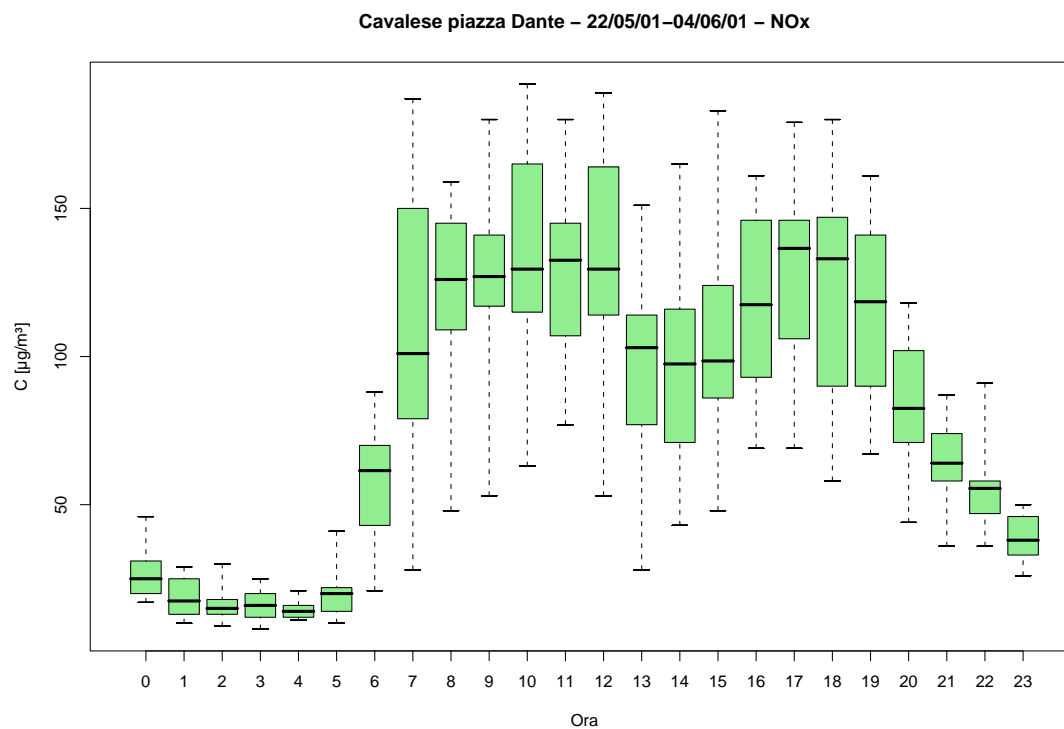


Figura 6.3: Campagna di misura a Cavalese piazza Dante (22/05/01-04/06/01), inquinante:  $NO_x$ . Box-plot relativo all'ora del giorno.

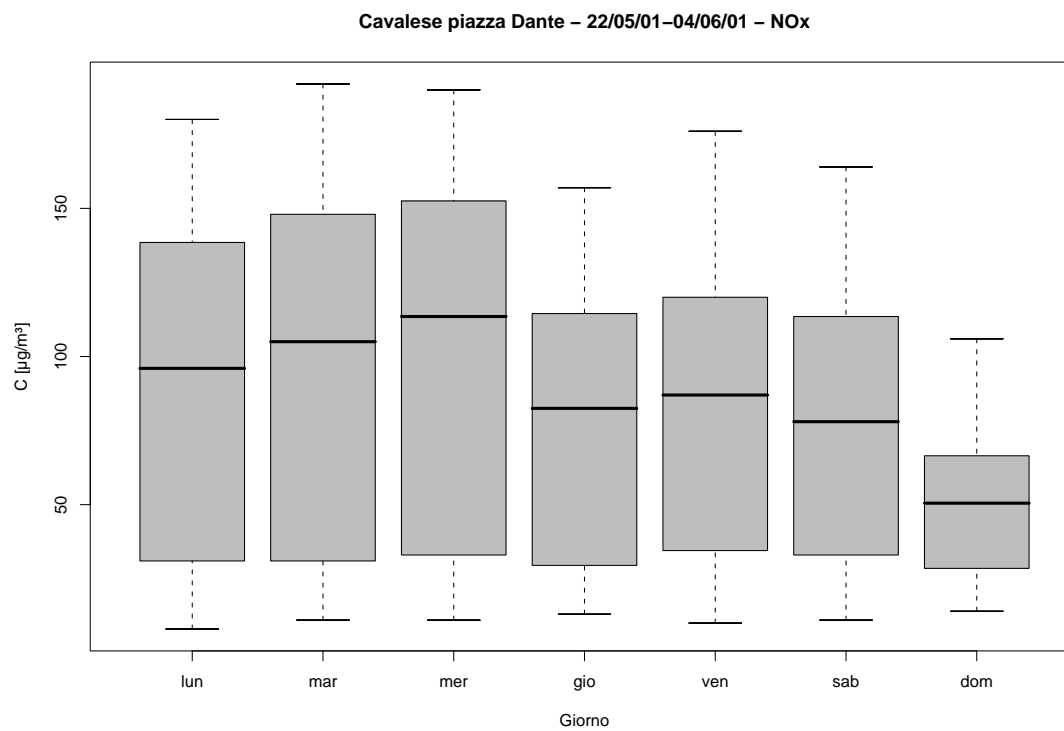


Figura 6.4: Campagna di misura a Cavalese piazza Dante (22/05/01-04/06/01), inquinante:  $NO_x$ . Box-plot relativo al giorno della settimana.

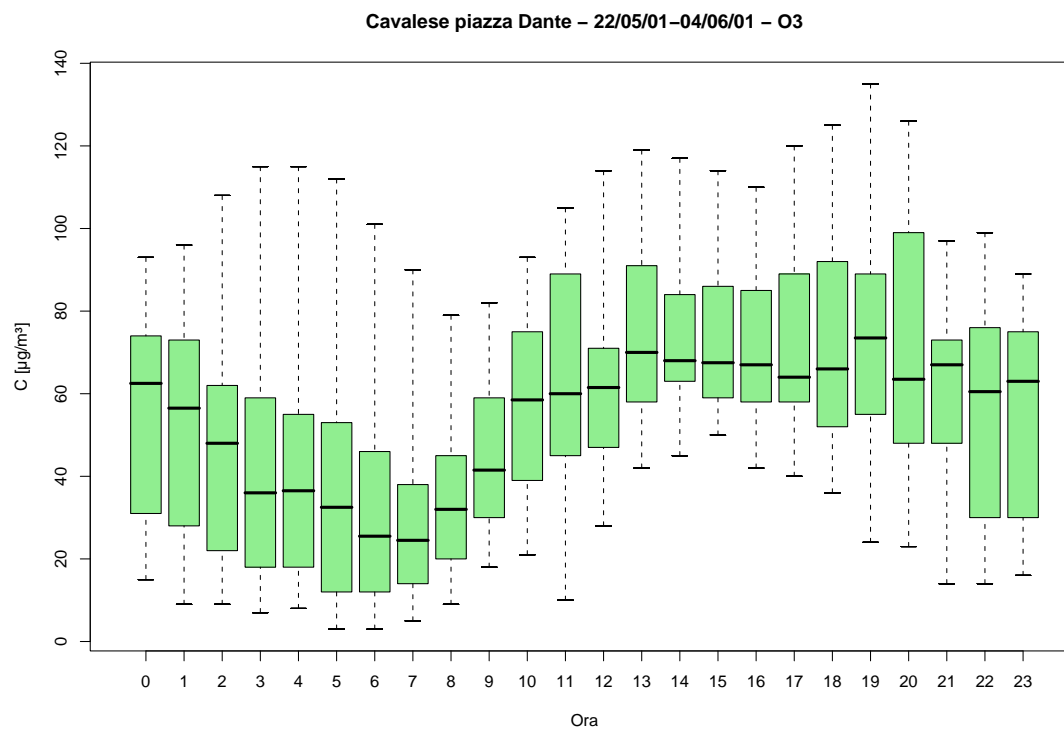


Figura 6.5: Campagna di misura a Cavalese piazza Dante (22/05/01-04/06/01), inquinante: O<sub>3</sub>. Box-plot relativo all'ora del giorno.

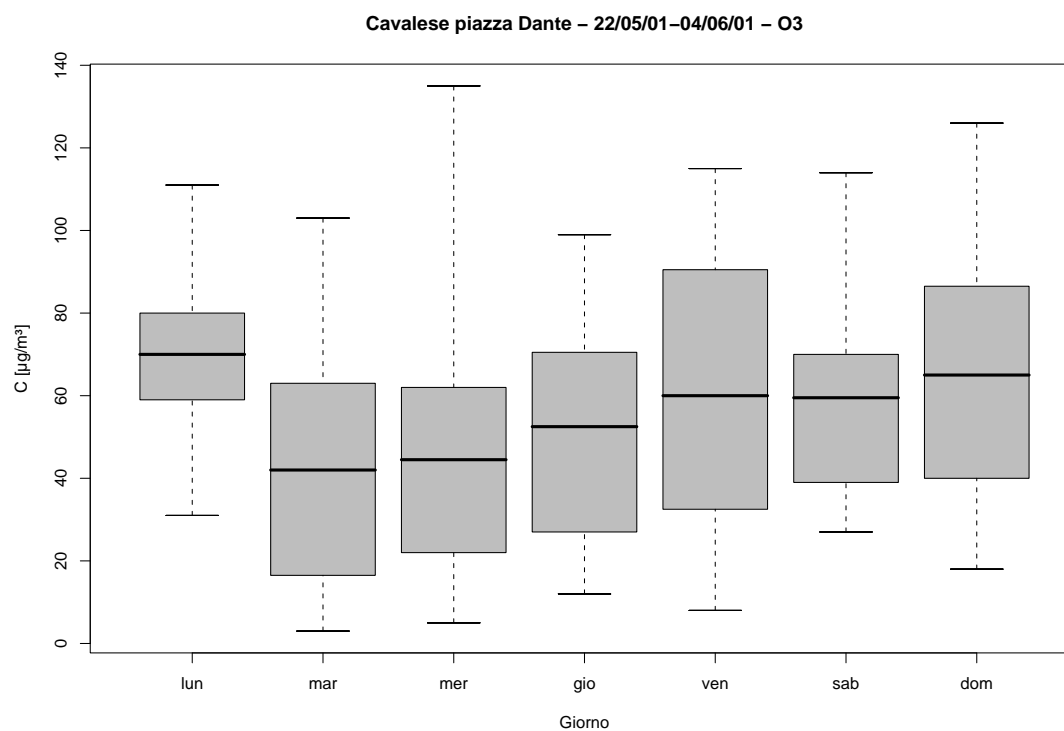


Figura 6.6: Campagna di misura a Cavalese piazza Dante (22/05/01-04/06/01), inquinante: O<sub>3</sub>. Box-plot relativo al giorno della settimana.

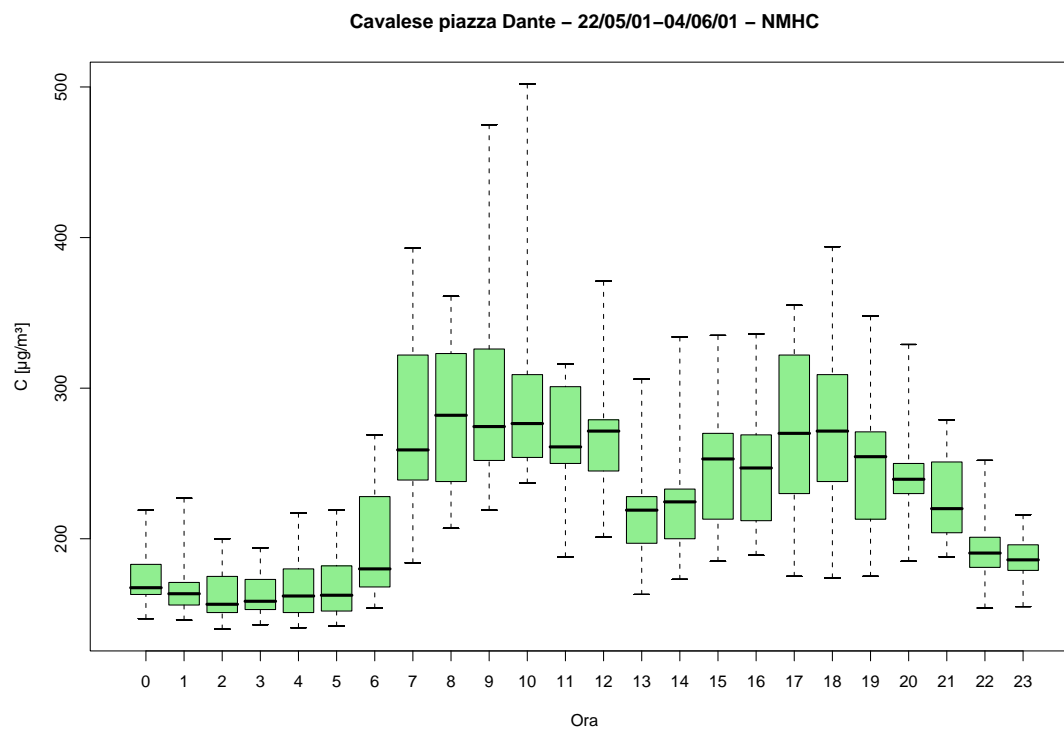


Figura 6.7: Campagna di misura a Cavalese piazza Dante (22/05/01-04/06/01), inquinante: *NMHC*. Box-plot relativo all'ora del giorno.

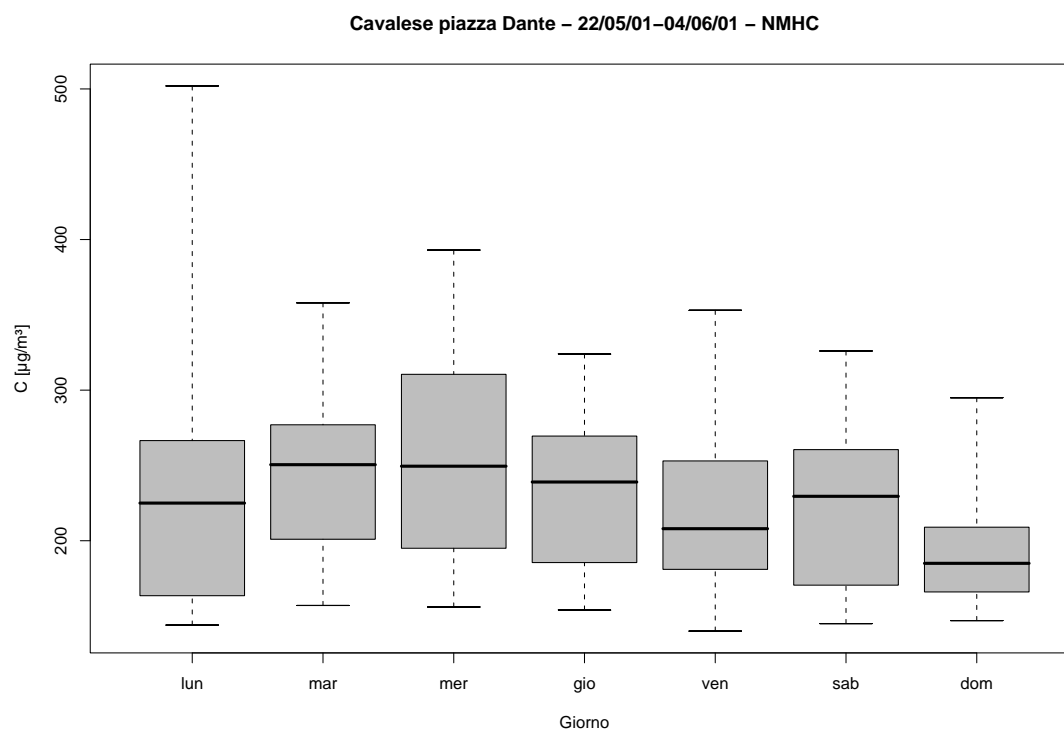


Figura 6.8: Campagna di misura a Cavalese piazza Dante (22/05/01-04/06/01), inquinante: *NMHC*. Box-plot relativo al giorno della settimana.

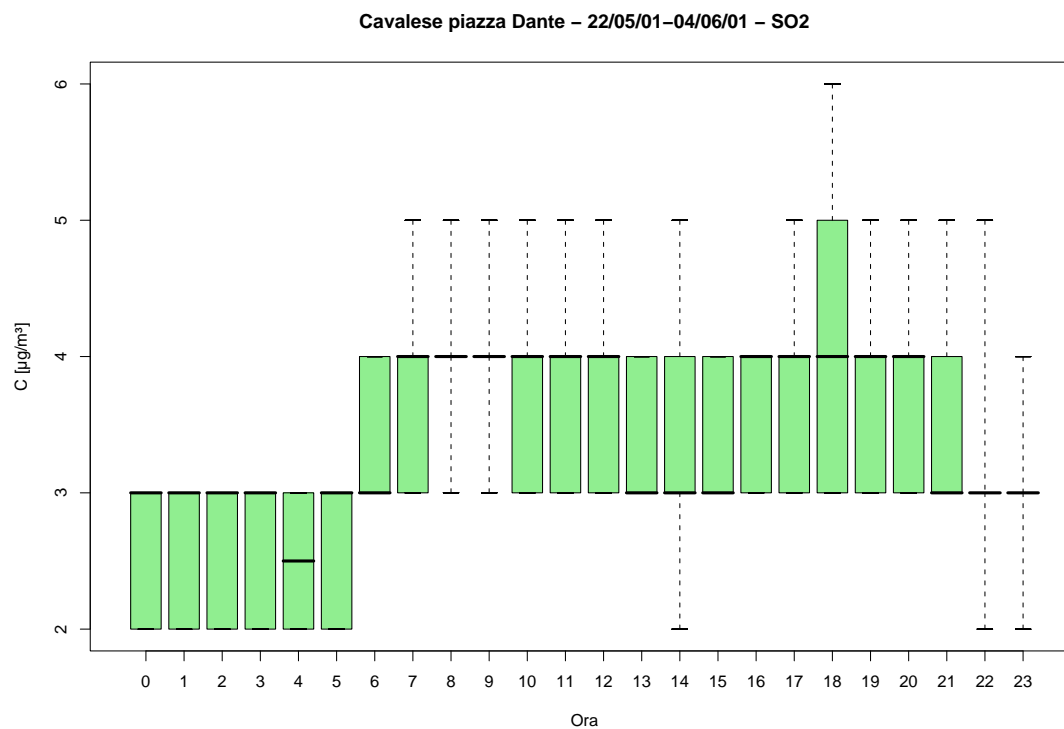


Figura 6.9: Campagna di misura a Cavalese piazza Dante (22/05/01-04/06/01), inquinante: SO<sub>2</sub>. Box-plot relativo all'ora del giorno.

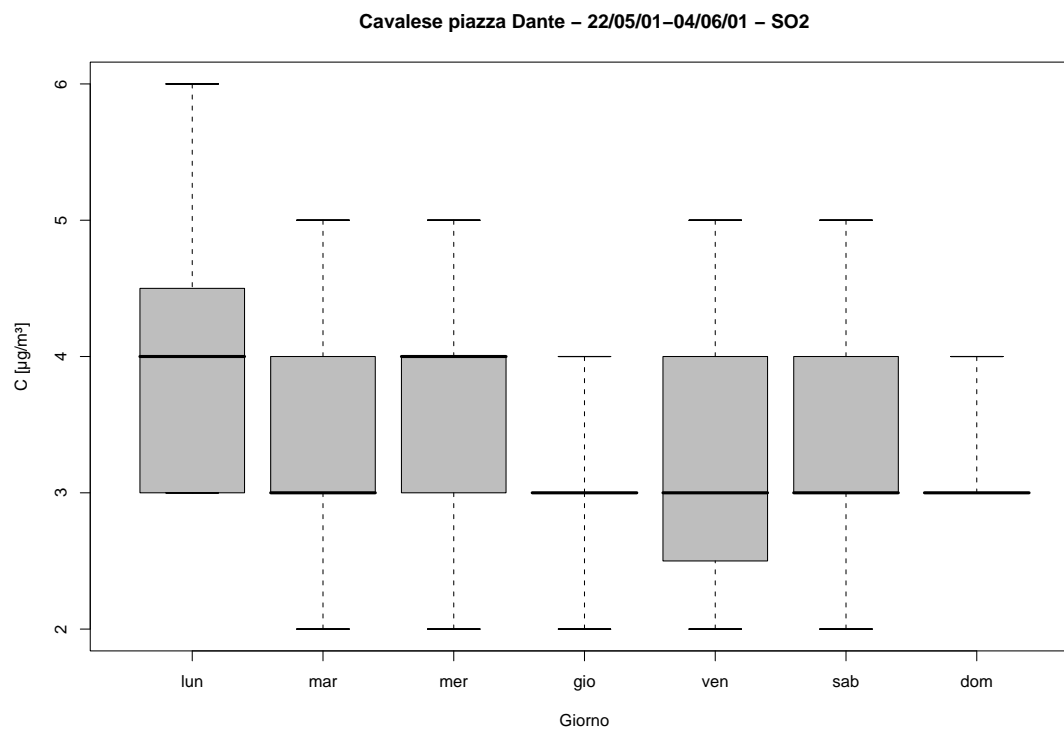


Figura 6.10: Campagna di misura a Cavalese piazza Dante (22/05/01-04/06/01), inquinante: SO<sub>2</sub>. Box-plot relativo al giorno della settimana.



Cavalese piazza Dante - 22/05/01 -04/06/01  
distribuzioni in frequenza e correlazioni

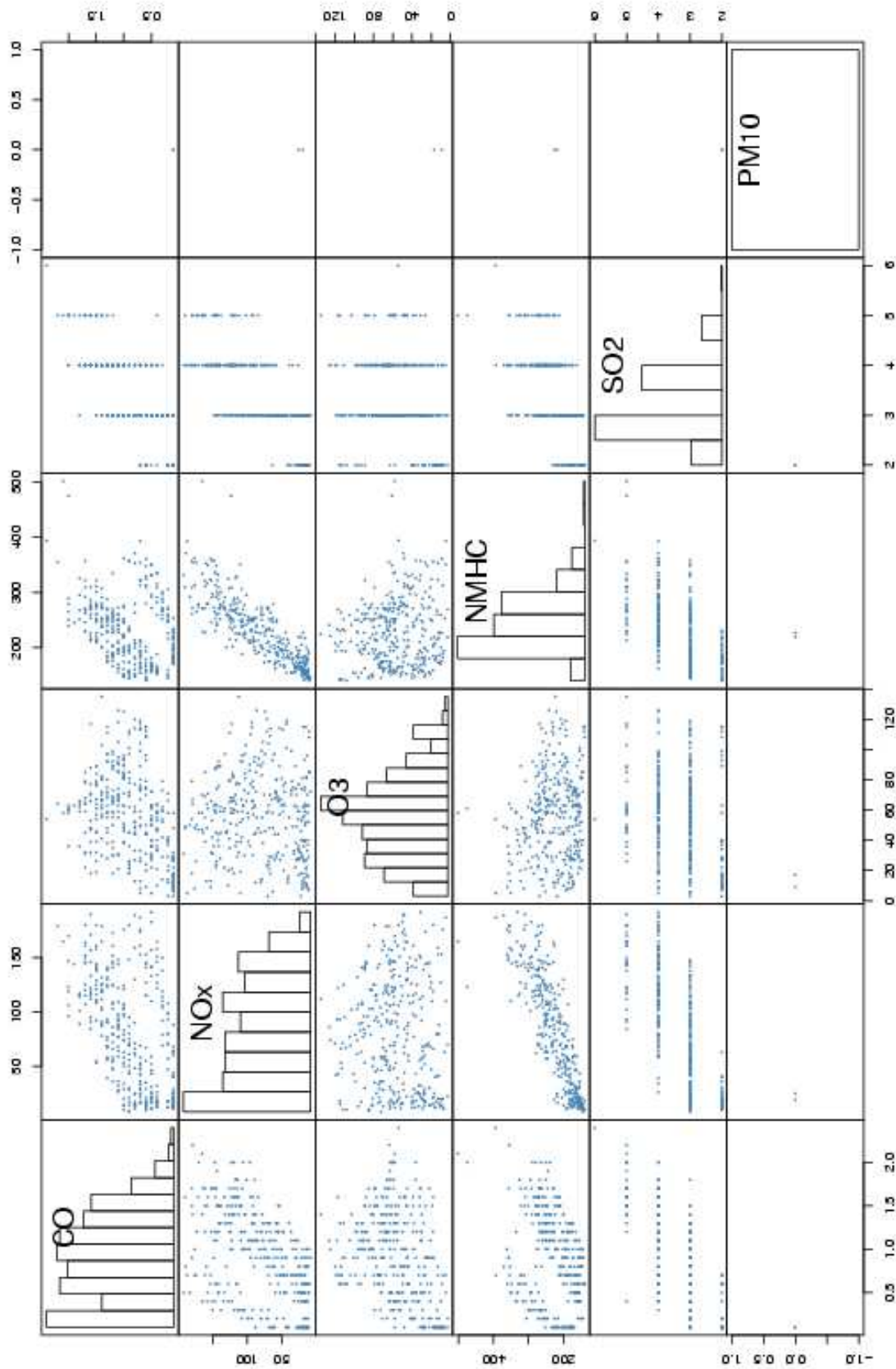
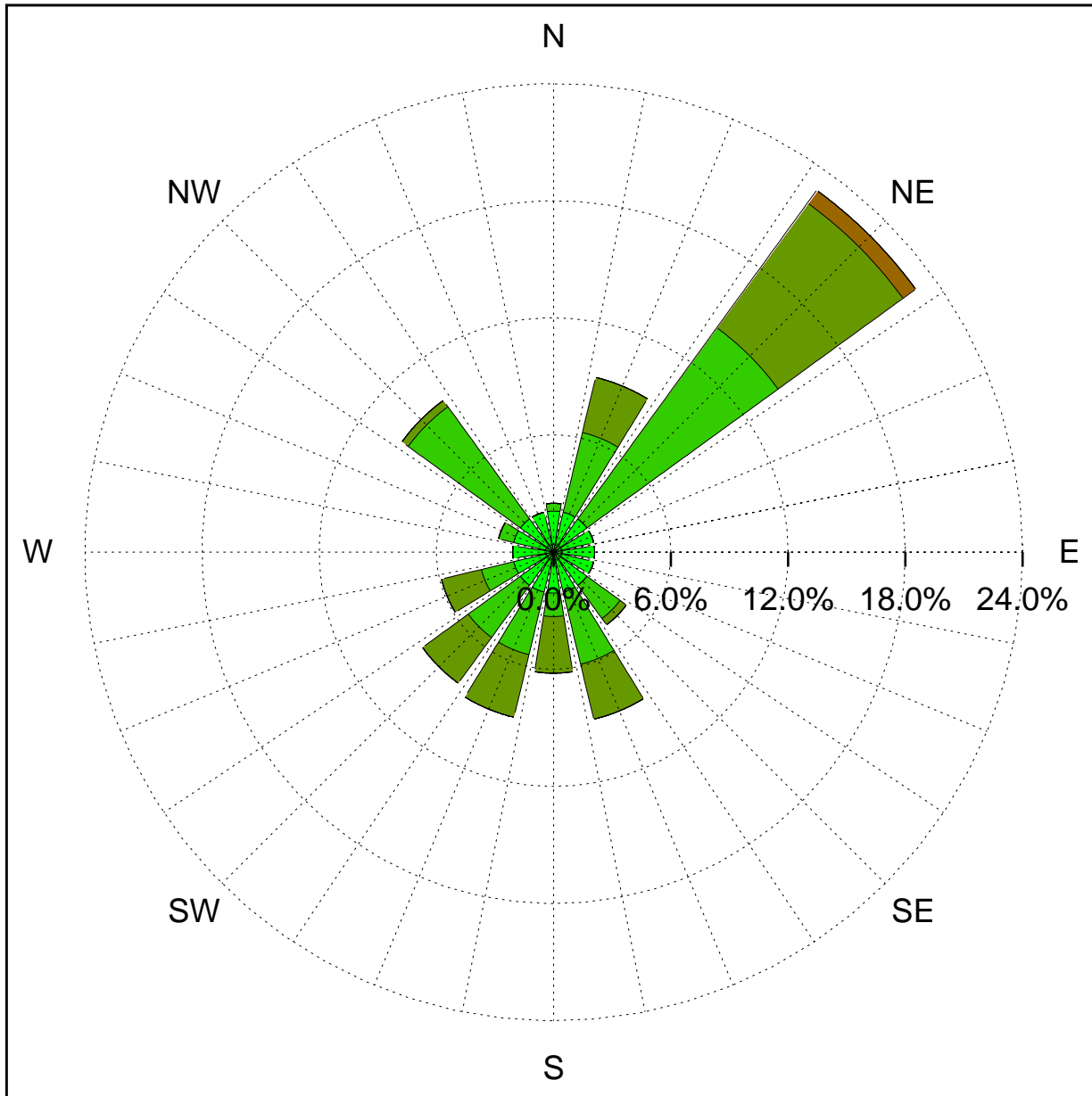


Figura 6.11: Campagna di misura a Cavalese piazza Dante (22/05/01-04/06/01). Distribuzioni in frequenza e correlazioni.

Sito di misura: Cavalese piazza Dante



Legenda - velocità [m/s]	
$v \geq 5.0$	
$3.0 \leq v < 5.0$	
$2.0 \leq v < 3.0$	
$1.0 \leq v < 2.0$	
$0.5 \leq v < 1.0$	
calma ( $v < 0.5$ )	

Figura 6.12: Campagna di misura a Cavalese piazza Dante (22/05/01-04/06/01). Rosa dei venti.

## 7 Campagna di misura a Rovereto zona industriale via Marconi

**Campagna di misura** dal 01/06/01 al 06/11/01

**Inquinanti rilevati:**  $CO$ ,  $NO_x$ ,  $O_3$ ,  $NMHC$ ,  $SO_2$

**Parametri meteorologici misurati:** velocità del vento, direzione del vento, temperatura, umidità relativa, pioggia, radiazione globale

**Note:** Dai dati ottenuti si nota che i cicli settimanali e giornalieri non sono molto marcati ad eccezione di quello degli  $NO_x$  che presenta un picco tra le ore 5 e le ore 7. La concentrazione degli ossidi di azoto resta molto bassa per tutto il pomeriggio per aumentare poi dopo le ore 20. L'ozono mostra invece il tipico ciclo giornaliero con il picco che si registra tra le 14 e le 17 di pomeriggio. Non particolarmente significativi sono invece i dati relativi alla  $SO_2$ .

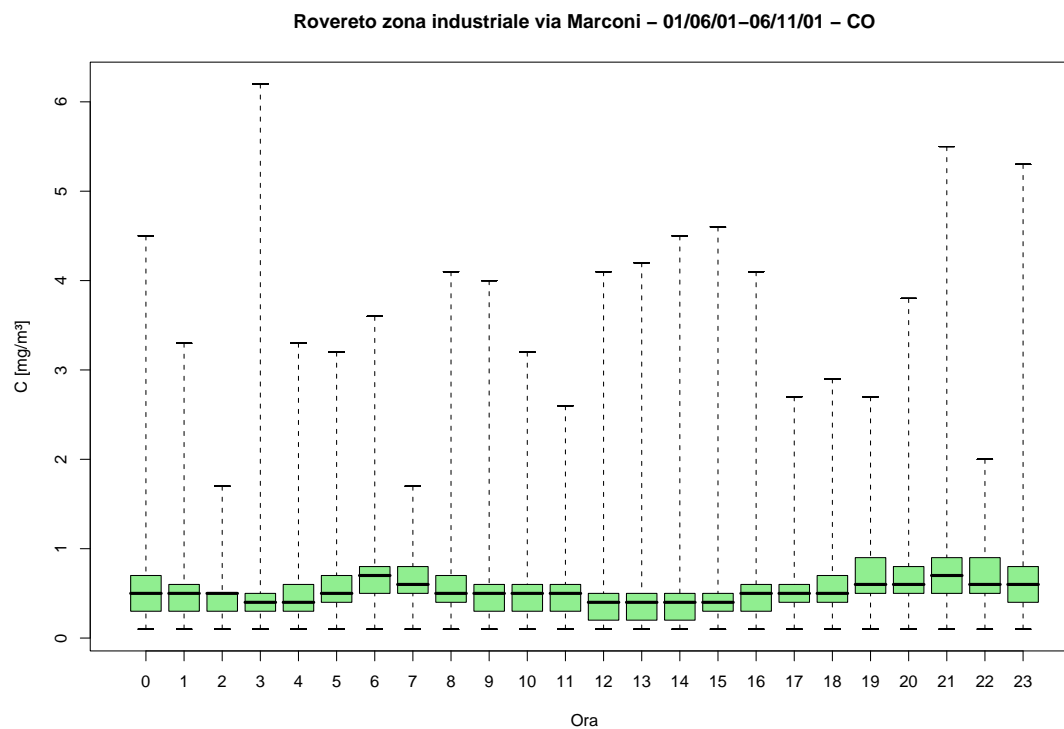


Figura 7.1: Campagna di misura a Rovereto zona industriale via Marconi (01/06/01-06/11/01), inquinante: CO. Box-plot relativo all'ora del giorno.

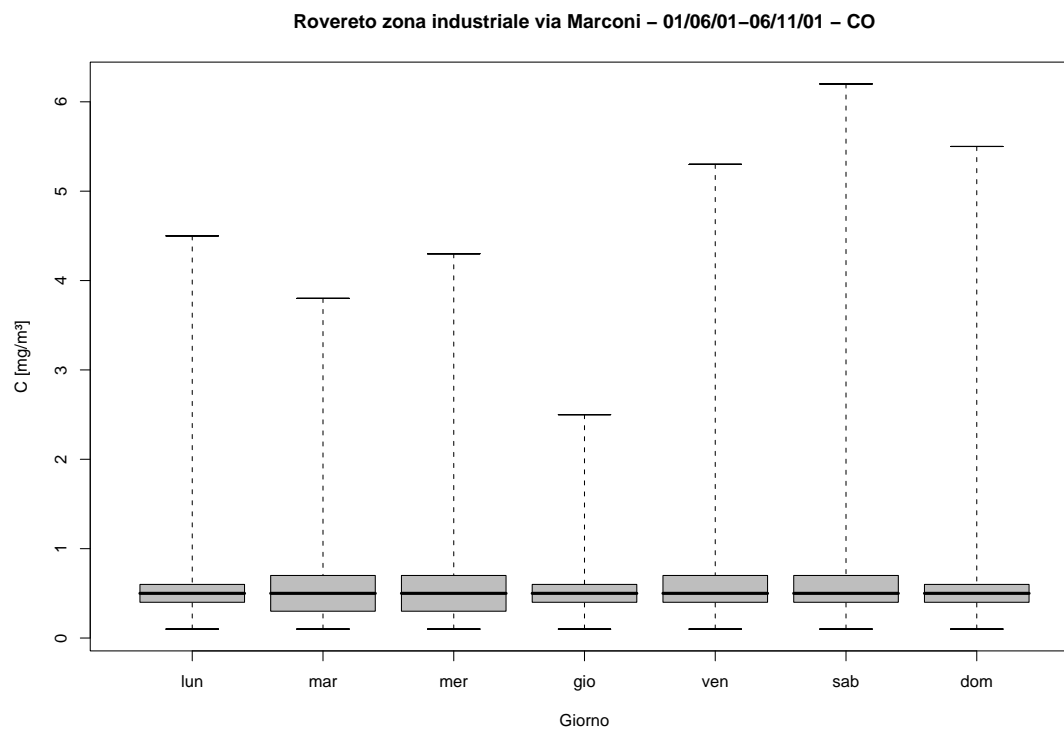


Figura 7.2: Campagna di misura a Rovereto zona industriale via Marconi (01/06/01-06/11/01), inquinante: CO. Box-plot relativo al giorno della settimana.

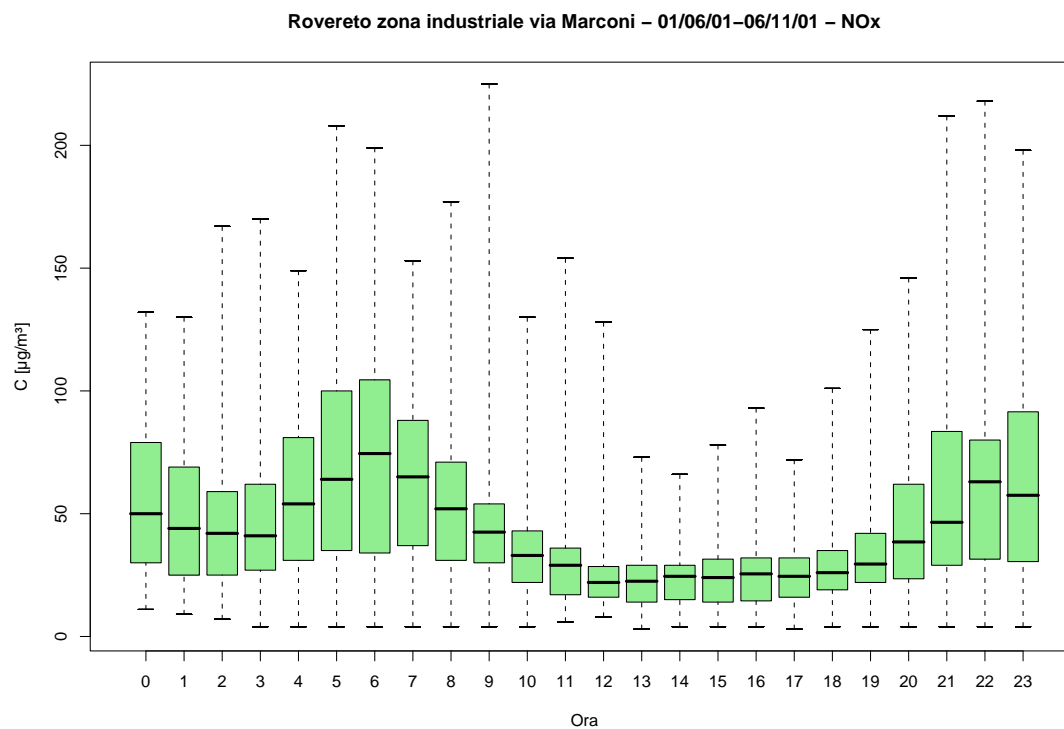


Figura 7.3: Campagna di misura a Rovereto zona industriale via Marconi (01/06/01-06/11/01), inquinante:  $NO_x$ . Box-plot relativo all'ora del giorno.

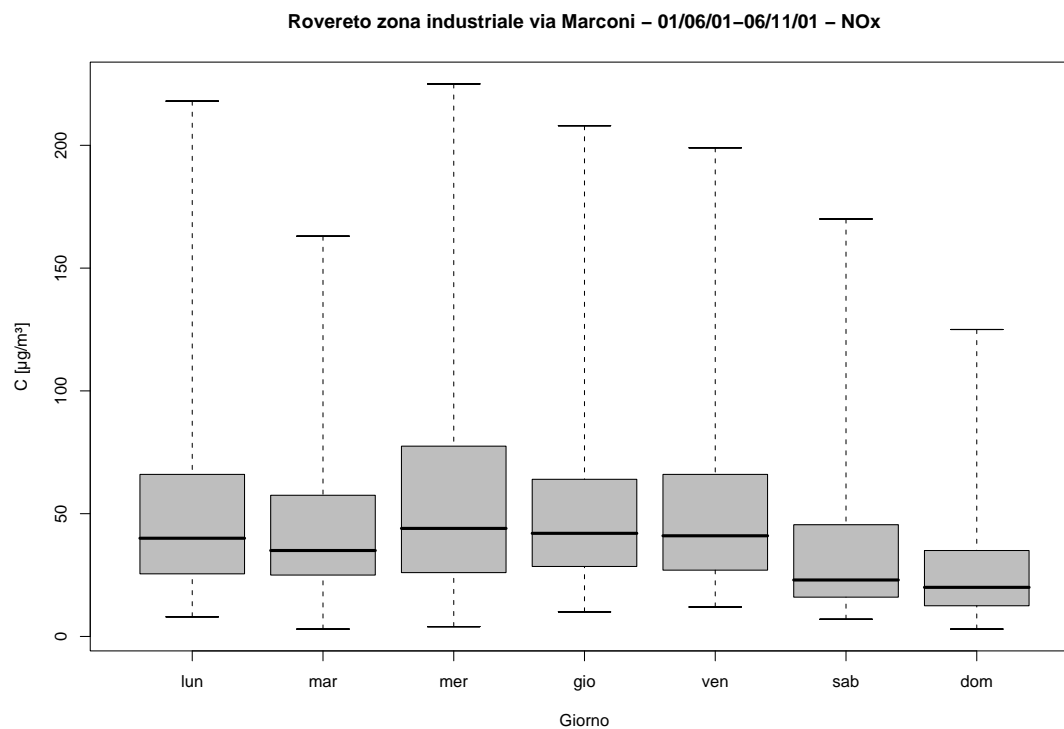


Figura 7.4: Campagna di misura a Rovereto zona industriale via Marconi (01/06/01-06/11/01), inquinante:  $NO_x$ . Box-plot relativo al giorno della settimana.

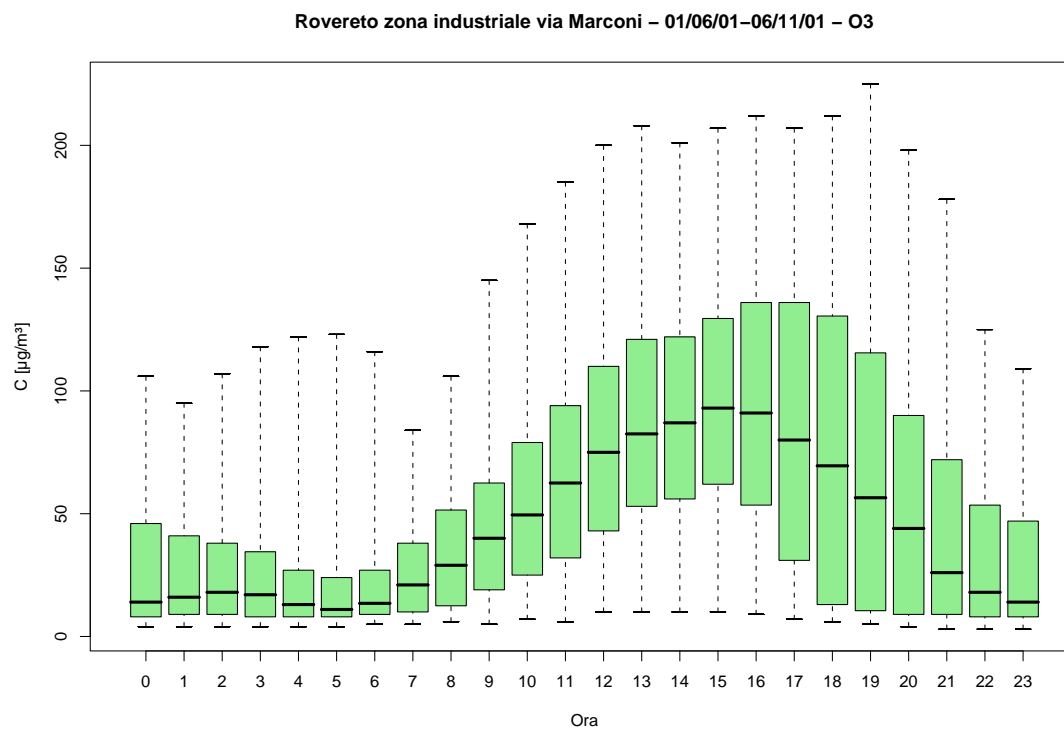


Figura 7.5: Campagna di misura a Rovereto zona industriale via Marconi (01/06/01-06/11/01), inquinante: O<sub>3</sub>. Box-plot relativo all'ora del giorno.

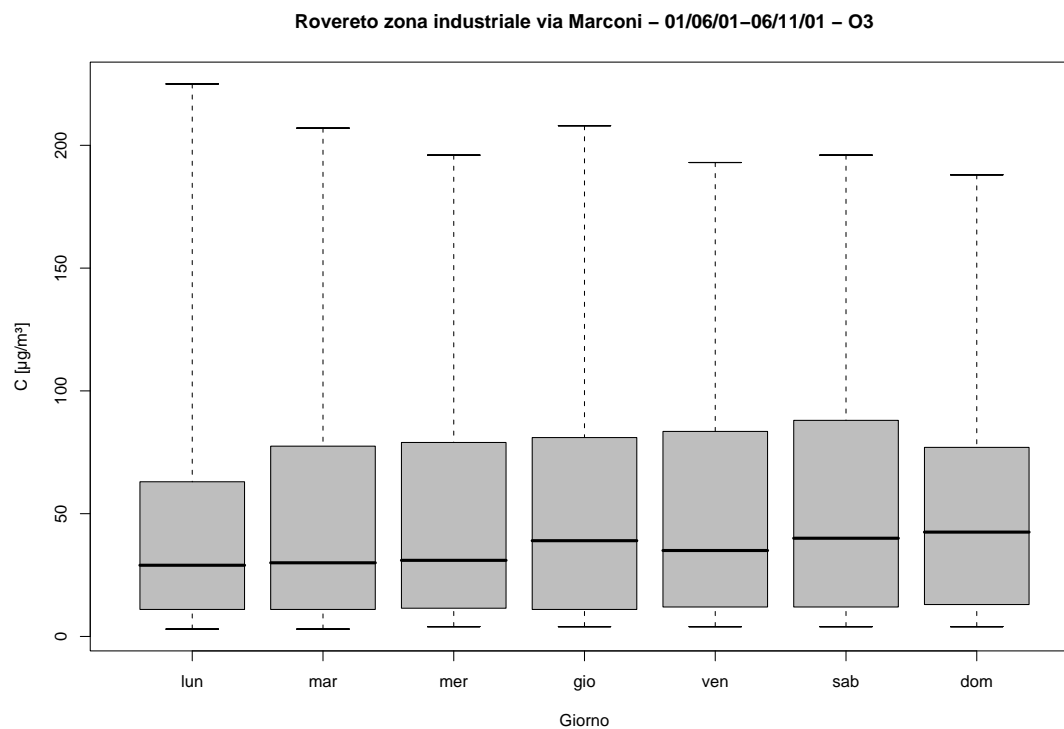


Figura 7.6: Campagna di misura a Rovereto zona industriale via Marconi (01/06/01-06/11/01), inquinante: O<sub>3</sub>. Box-plot relativo al giorno della settimana.

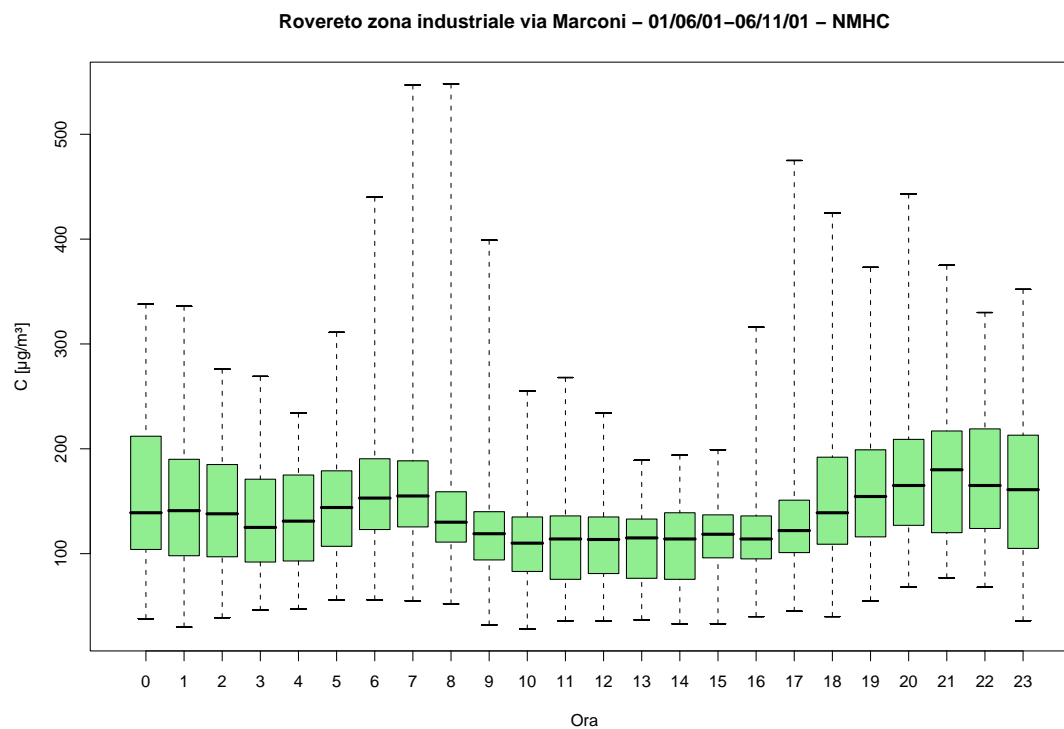


Figura 7.7: Campagna di misura a Rovereto zona industriale via Marconi (01/06/01-06/11/01), inquinante: *NMHC*. Box-plot relativo all'ora del giorno.

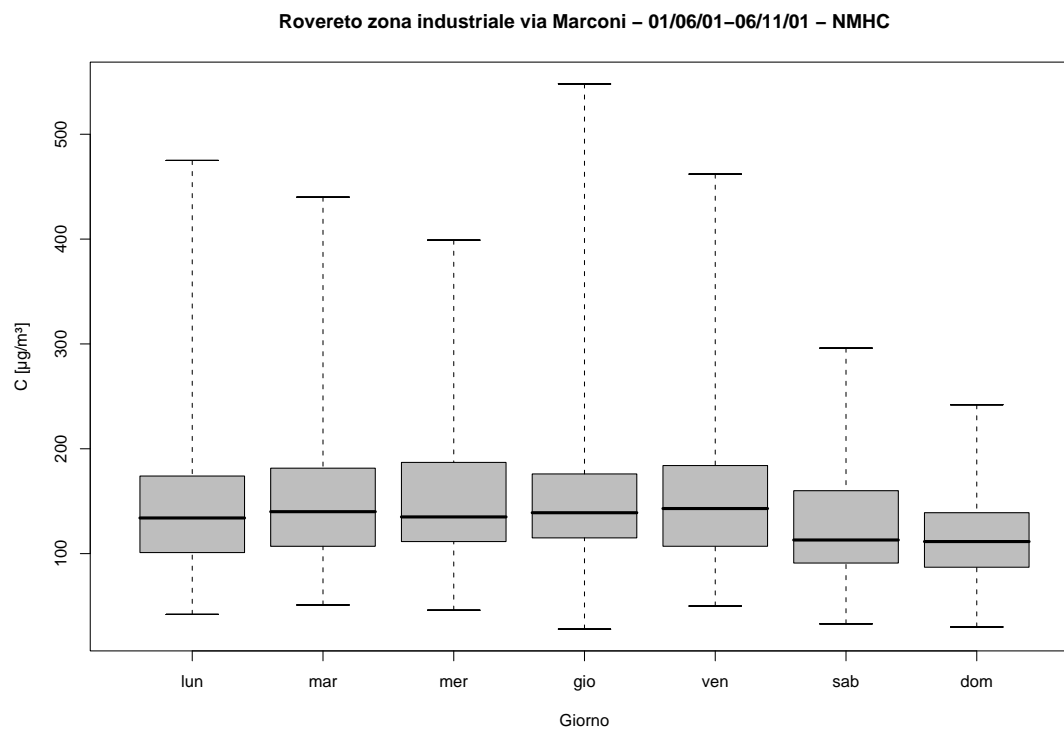


Figura 7.8: Campagna di misura a Rovereto zona industriale via Marconi (01/06/01-06/11/01), inquinante: *NMHC*. Box-plot relativo al giorno della settimana.

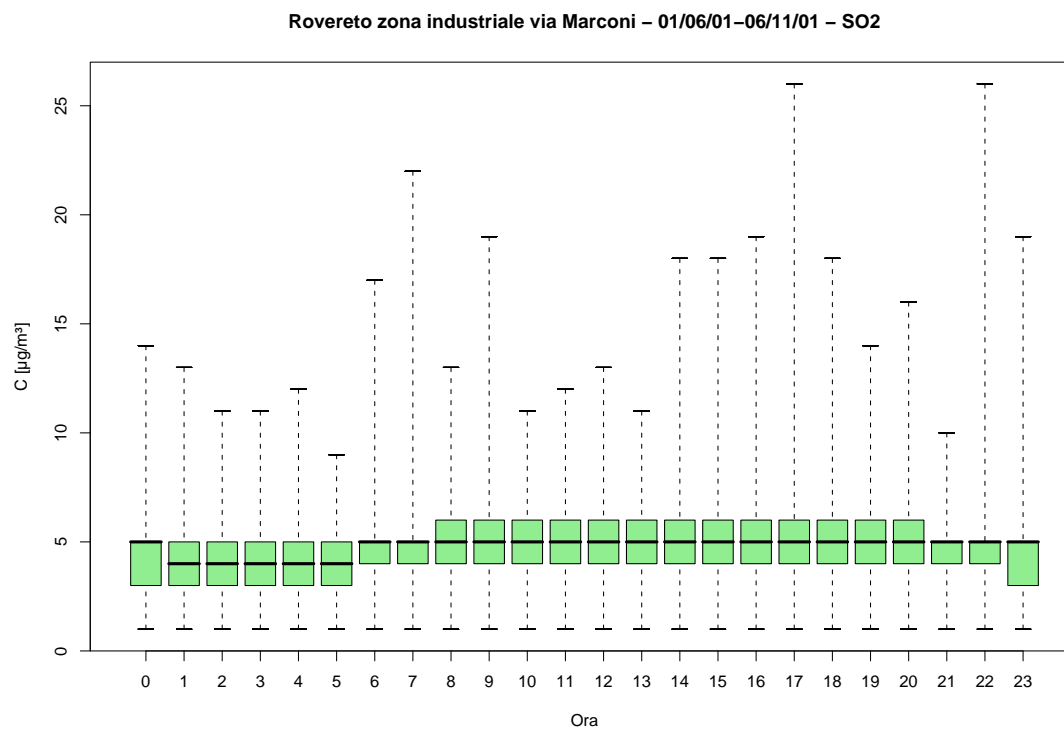


Figura 7.9: Campagna di misura a Rovereto zona industriale via Marconi (01/06/01-06/11/01), inquinante:  $\text{SO}_2$ . Box-plot relativo all'ora del giorno.

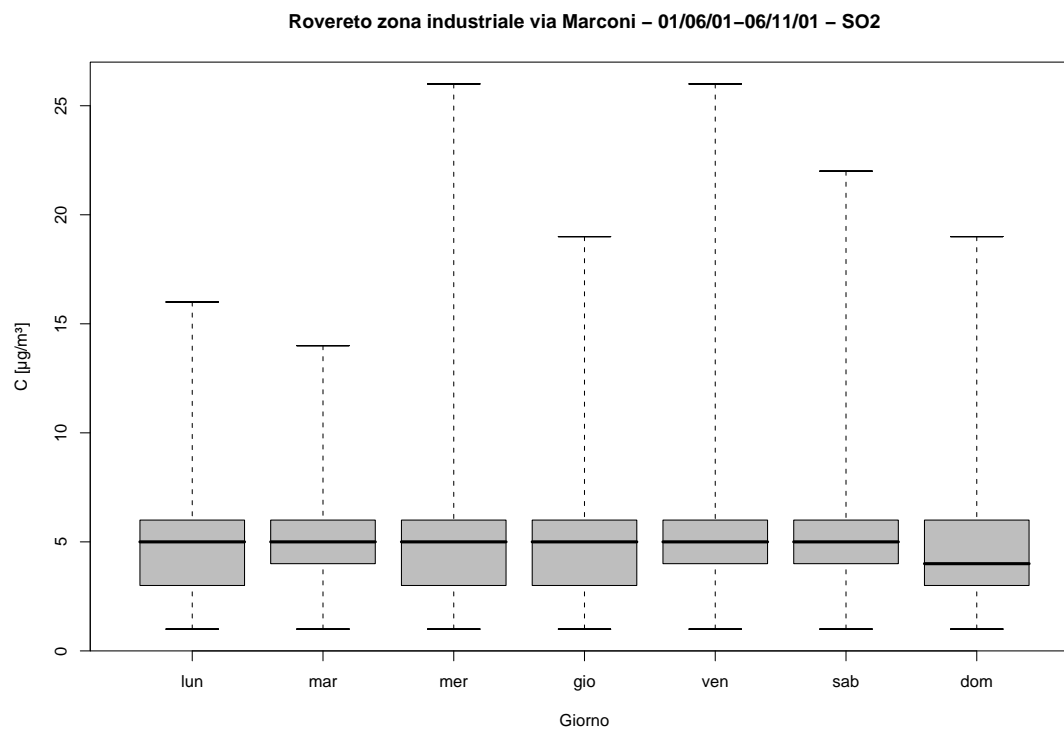


Figura 7.10: Campagna di misura a Rovereto zona industriale via Marconi (01/06/01-06/11/01), inquinante:  $\text{SO}_2$ . Box-plot relativo al giorno della settimana.



Rovereto zona Industriale via Marconi – 01/06/01–06/11/01  
distribuzioni in frequenza e correlazioni

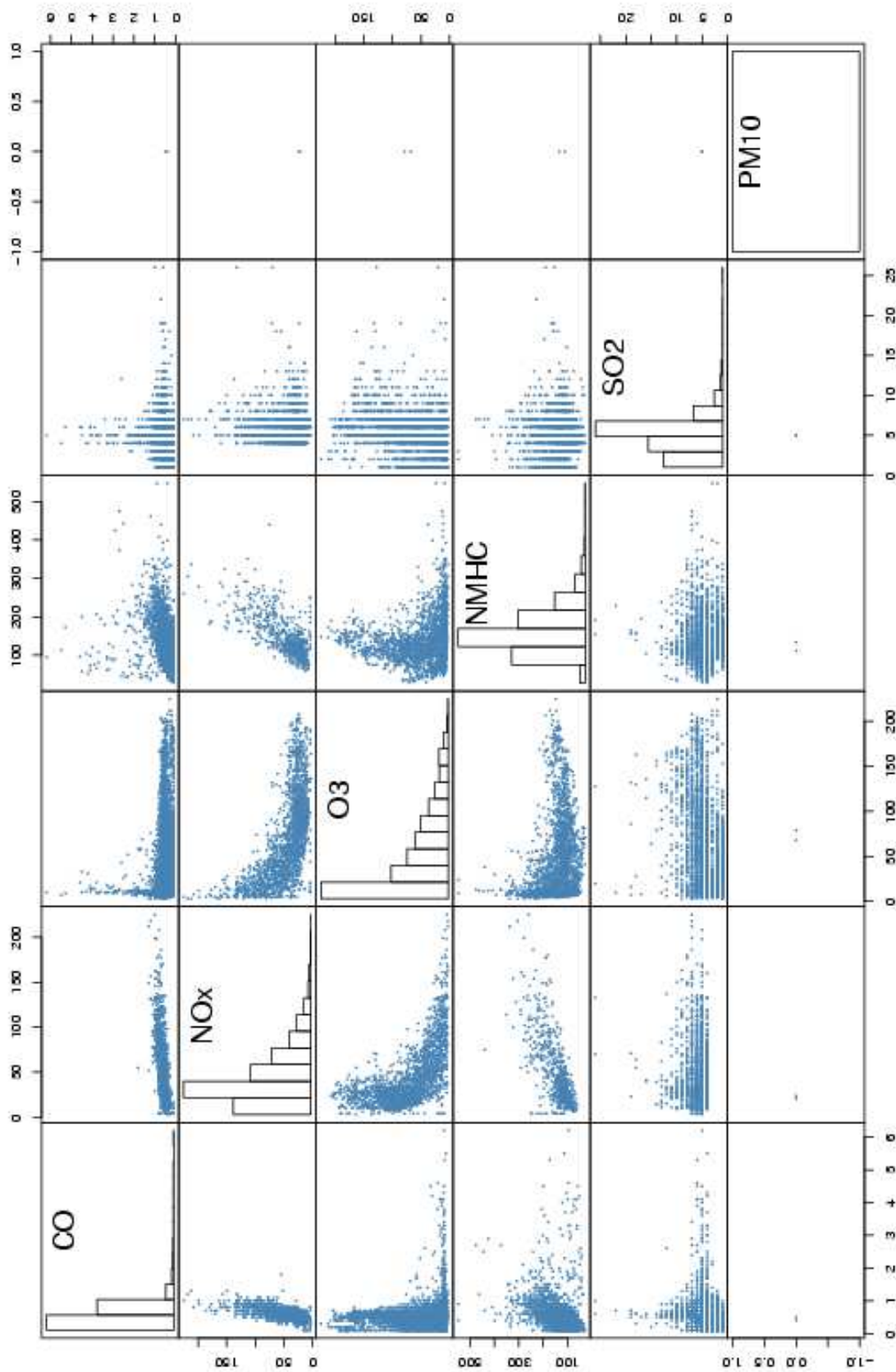
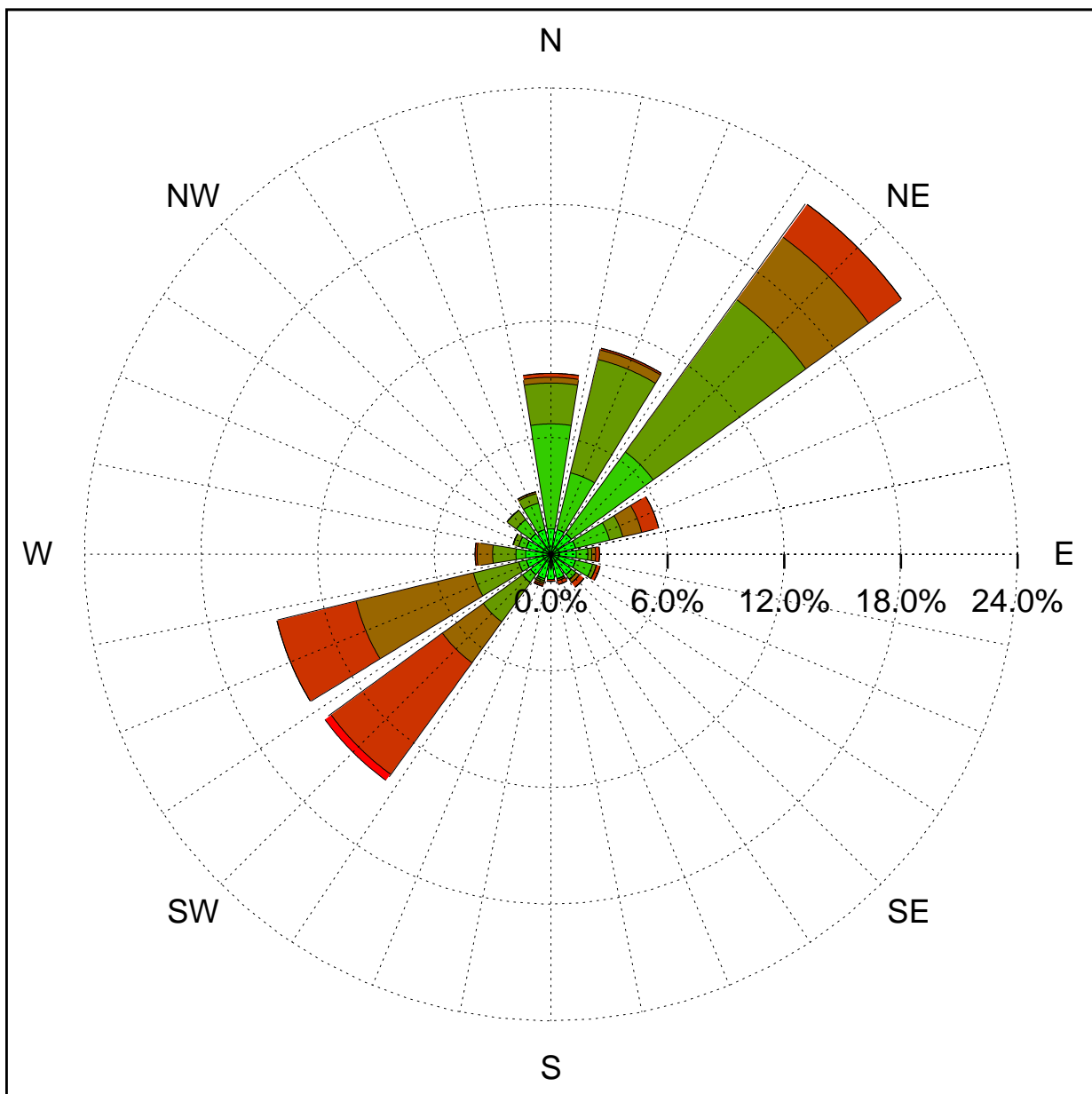


Figura 7.11: Campagna di misura a Rovereto zona industriale via Marconi (01/06/01-06/11/01). Distribuzioni in frequenza e correlazioni.

Sito di misura: Rovereto zona industriale



Legenda - velocità [m/s]	
$v \geq 5.0$	
$3.0 \leq v < 5.0$	
$2.0 \leq v < 3.0$	
$1.0 \leq v < 2.0$	
$0.5 \leq v < 1.0$	
calma ( $v < 0.5$ )	

Figura 7.12: Campagna di misura a Rovereto zona industriale via Marconi (01/06/01-06/11/01). Rosa dei venti.

## 8 Campagna di misura a Tesero località Lago

**Campagna di misura** dal 06/06/01 al 19/06/01

**Inquinanti rilevati:**  $CO$ ,  $NO_x$ ,  $O_3$ ,  $NMHC$ ,  $SO_2$

**Parametri meteorologici misurati:** velocità del vento, direzione del vento, temperatura, umidità relativa

**Note:** Dai dati ottenuti non risultano cicli giornalieri e settimanali simili a quelli riscontrati per stazioni in località urbane. Solo gli  $NO_X$  presentano un picco significativo tra le ore 6 e le ore 7. L'ozono mostra invece un chiaro ciclo giornaliero con i valori che restano elevati per tutto il giorno e scendono durante la notte. Non particolarmente significativi sono invece i dati relativi alla  $SO_2$ .

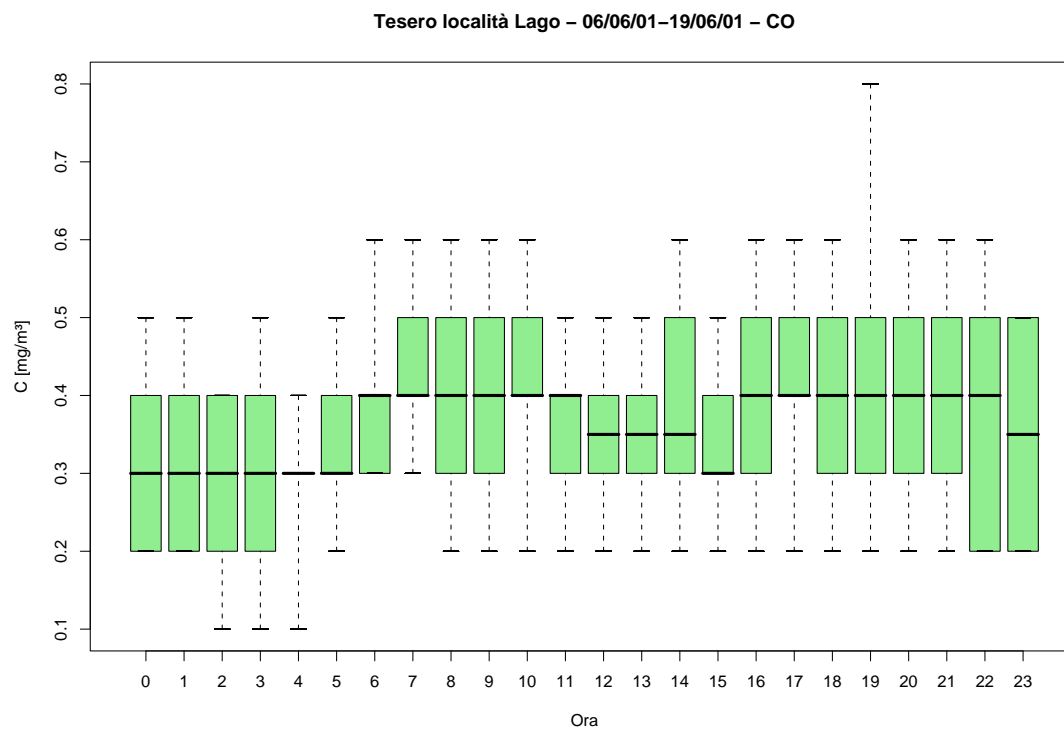


Figura 8.1: Campagna di misura a Tesero località Lago (06/06/01-19/06/01), inquinante: *CO*. Box-plot relativo all'ora del giorno.

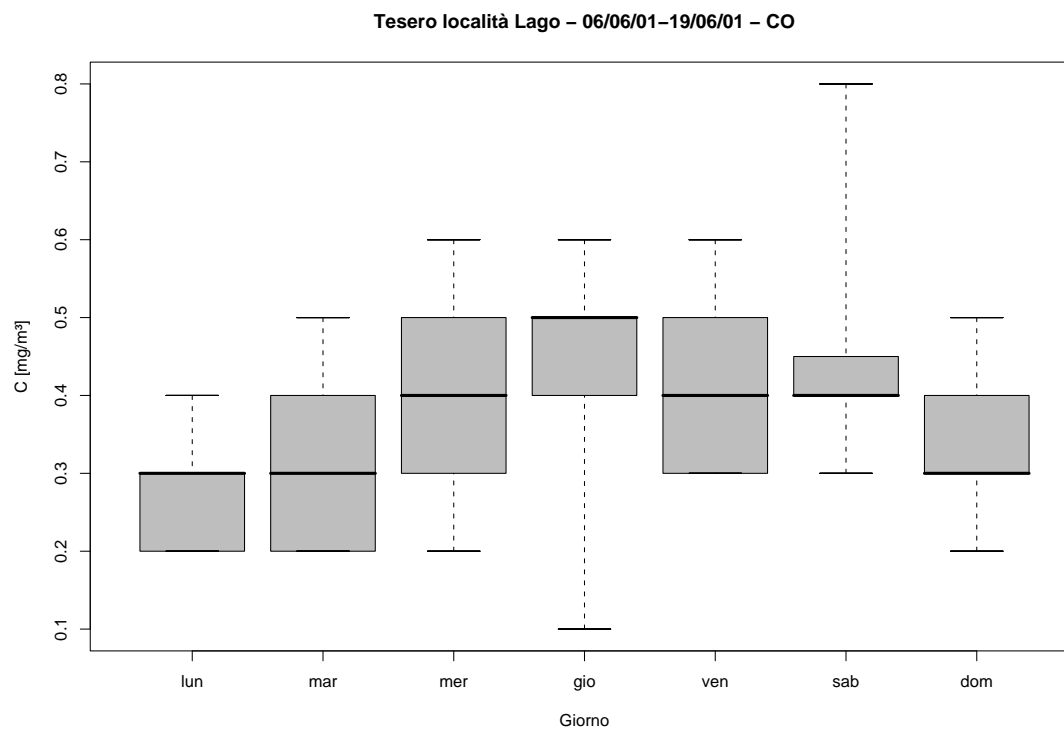


Figura 8.2: Campagna di misura a Tesero località Lago (06/06/01-19/06/01), inquinante: *CO*. Box-plot relativo al giorno della settimana.

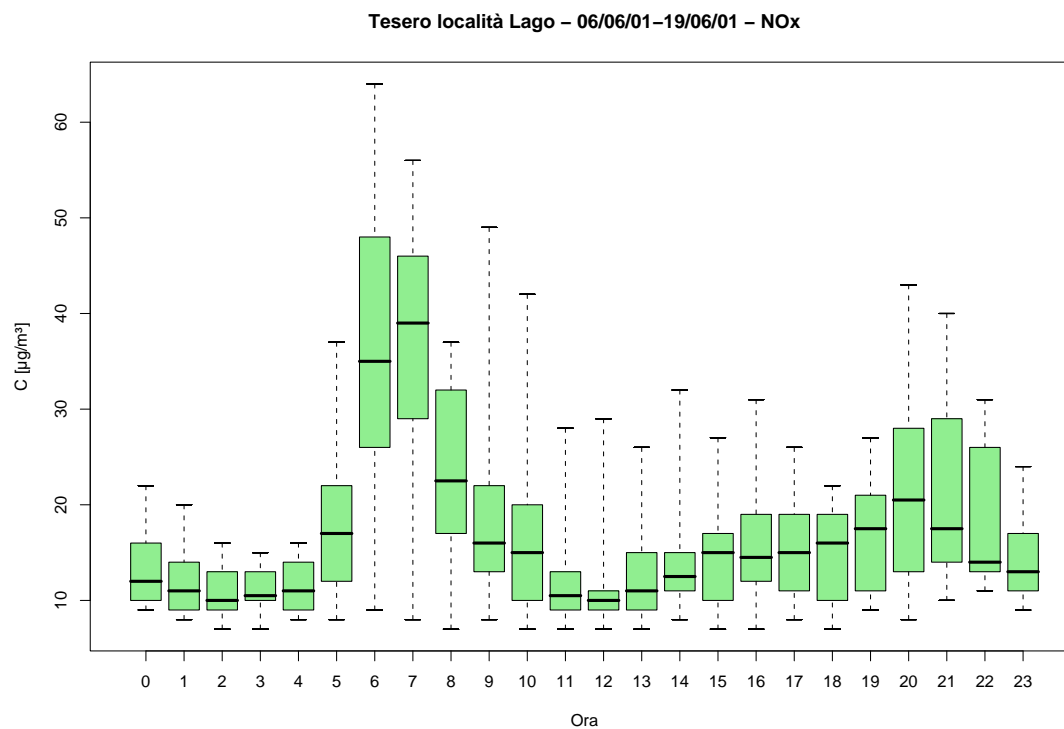


Figura 8.3: Campagna di misura a Tesero località Lago (06/06/01-19/06/01), inquinante:  $\text{NO}_x$ .  
Box-plot relativo all'ora del giorno.

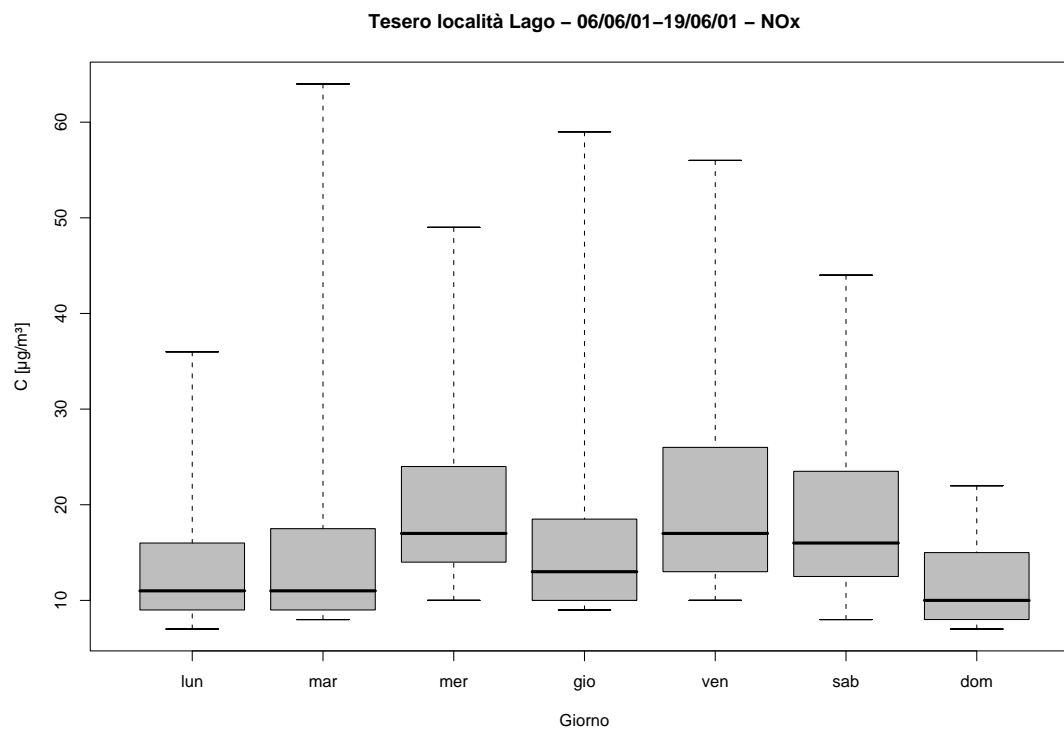


Figura 8.4: Campagna di misura a Tesero località Lago (06/06/01-19/06/01), inquinante:  $\text{NO}_x$ .  
Box-plot relativo al giorno della settimana.

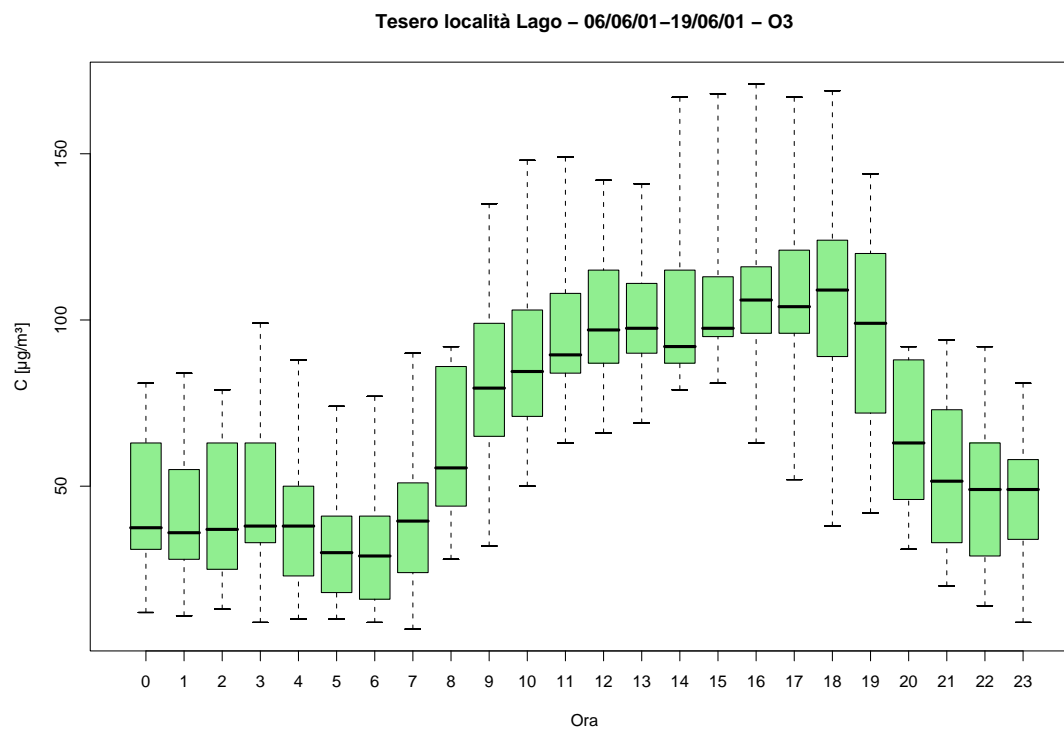


Figura 8.5: Campagna di misura a Tesero località Lago (06/06/01-19/06/01), inquinante:  $O_3$ . Box-plot relativo all'ora del giorno.

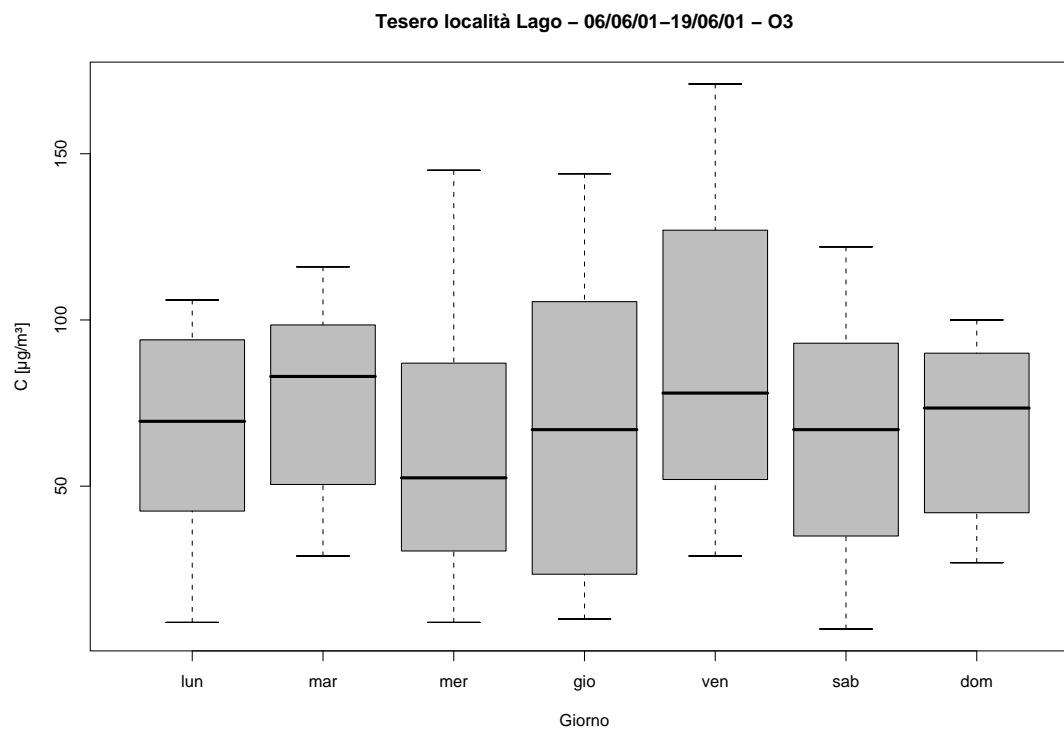


Figura 8.6: Campagna di misura a Tesero località Lago (06/06/01-19/06/01), inquinante:  $O_3$ . Box-plot relativo al giorno della settimana.

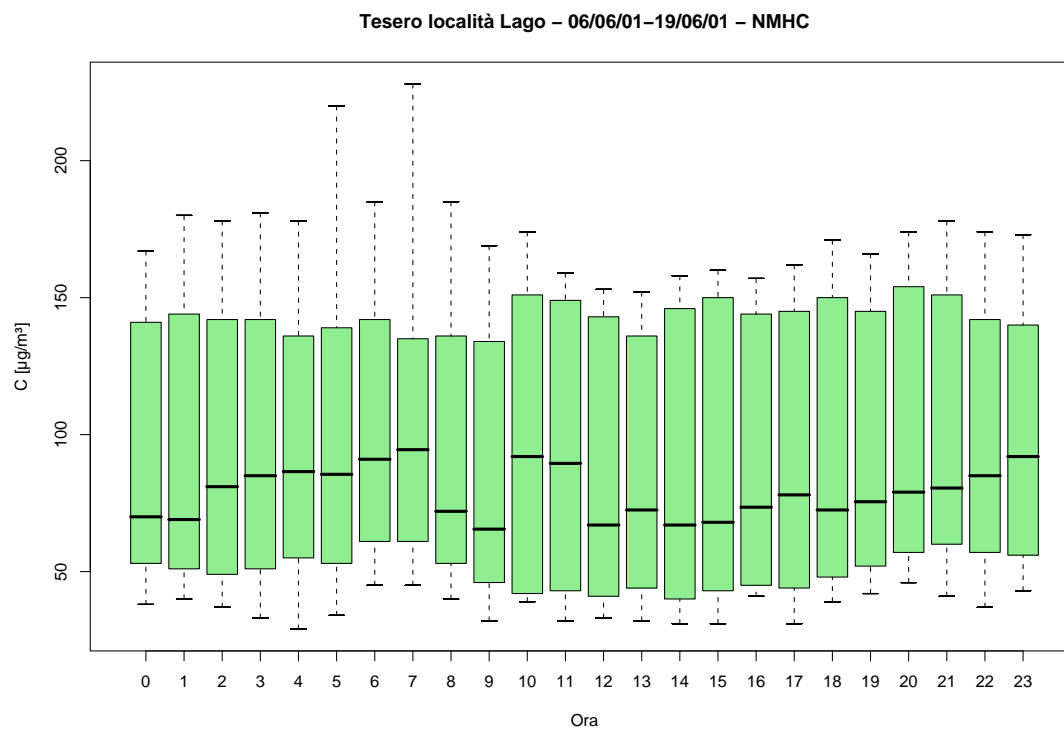


Figura 8.7: Campagna di misura a Tesero località Lago (06/06/01-19/06/01), inquinante: *NMHC*. Box-plot relativo all'ora del giorno.

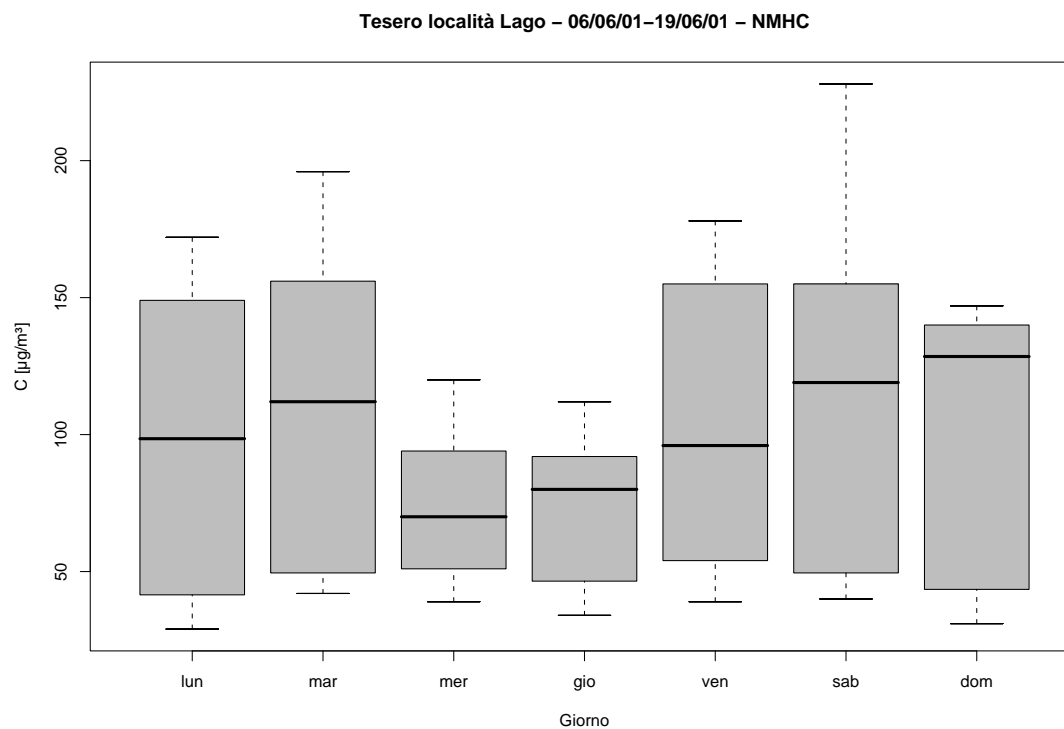


Figura 8.8: Campagna di misura a Tesero località Lago (06/06/01-19/06/01), inquinante: *NMHC*. Box-plot relativo al giorno della settimana.

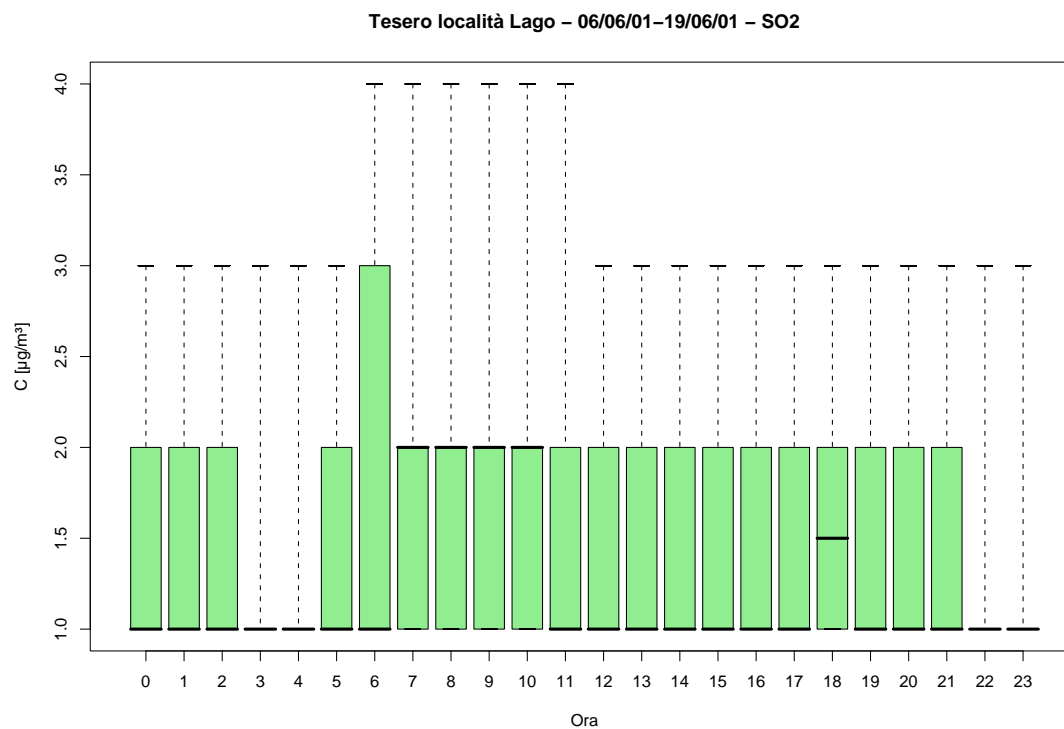


Figura 8.9: Campagna di misura a Tesero località Lago (06/06/01-19/06/01), inquinante:  $SO_2$ . Box-plot relativo all'ora del giorno.

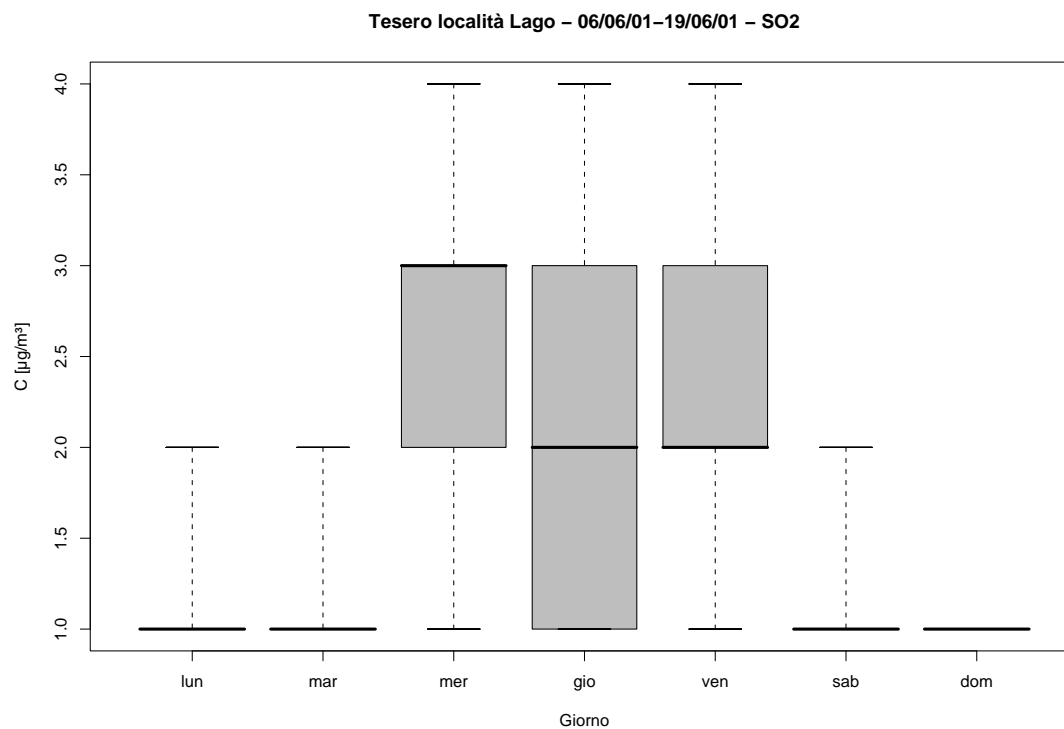


Figura 8.10: Campagna di misura a Tesero località Lago (06/06/01-19/06/01), inquinante:  $SO_2$ . Box-plot relativo al giorno della settimana.



Tesero località Lago - 06/06/01 - 19/06/01  
distribuzioni in frequenza e correlazioni

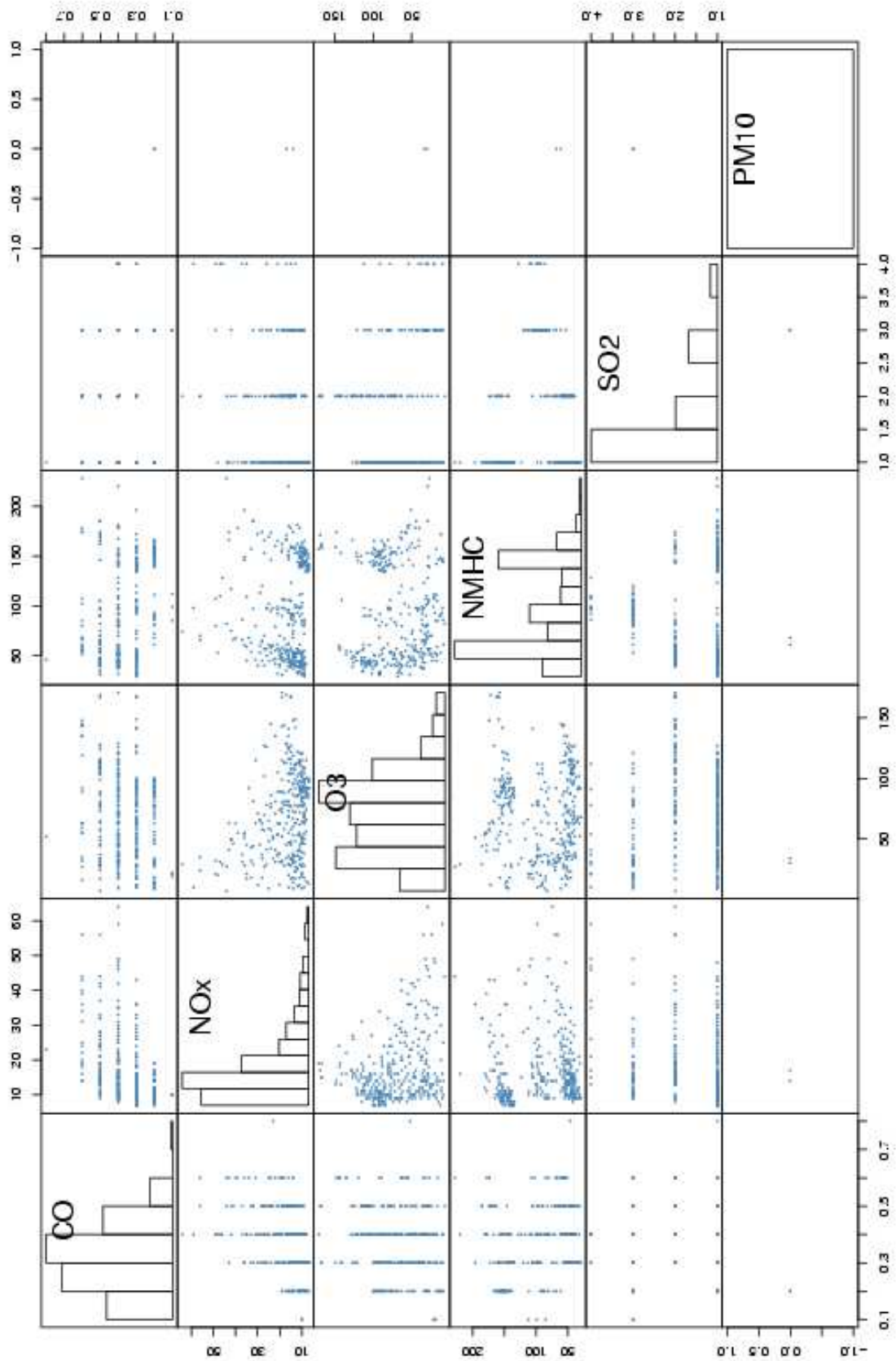


Figura 8.11: Campagna di misura a Tesero località Lago (06/06/01-19/06/01). Distribuzioni in frequenza e correlazioni.

Sito di misura: tesero località Lago

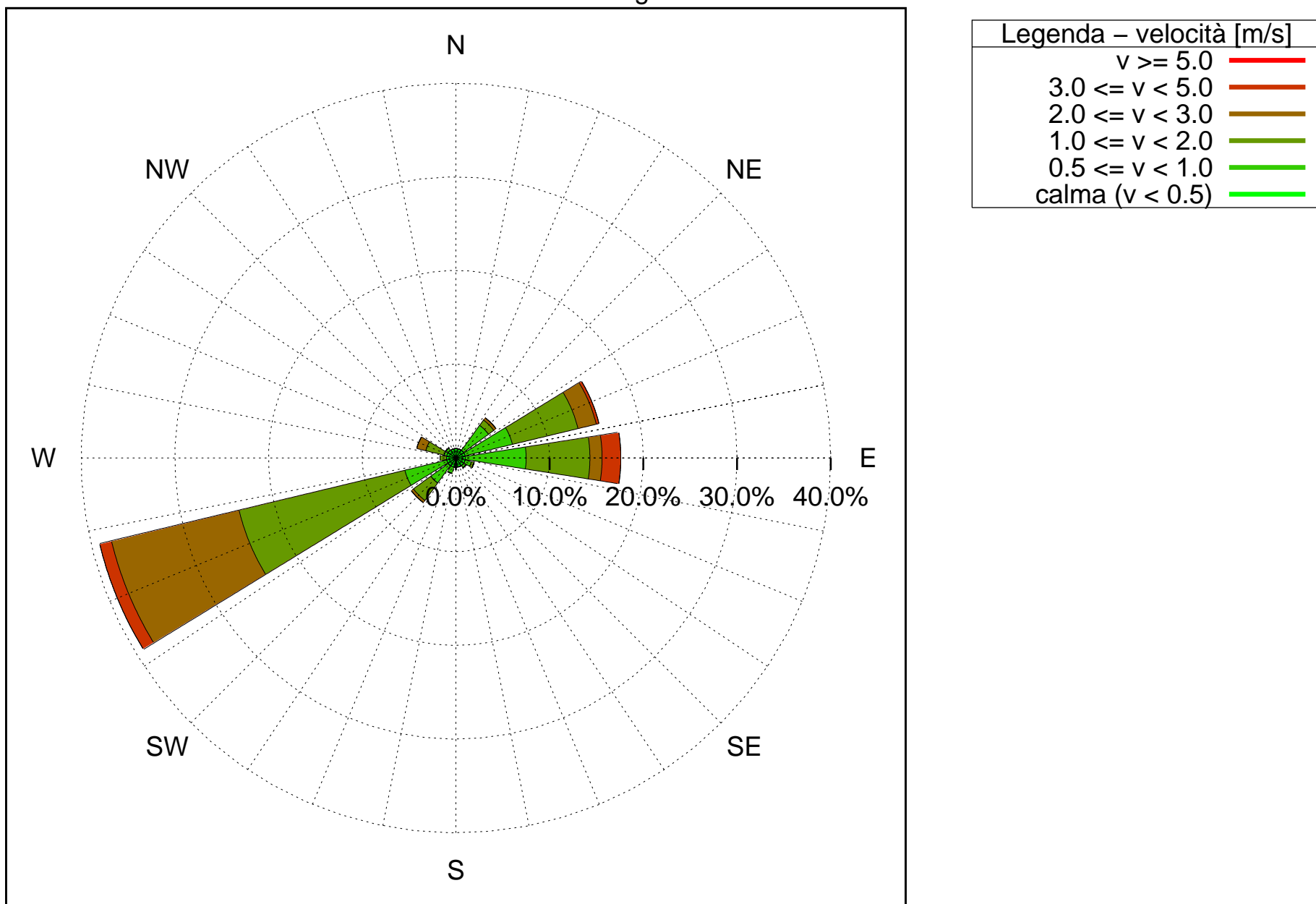


Figura 8.12: Campagna di misura a Tesero località Lago (06/06/01-19/06/01). Rosa dei venti.

# 9 Campagna di misura a Cavalese piazza Dante

**Campagna di misura** dal 18/07/01 al 01/08/01

**Inquinanti rilevati:**  $CO$ ,  $NO_x$ ,  $O_3$ ,  $NMHC$ ,  $SO_2$

**Parametri meteorologici misurati:** velocità del vento, direzione del vento, temperatura, umidità relativa

**Note:** I dati campionati mostrano per gli inquinanti un ciclo giornaliero ben definito, con un picco di concentrazione tra le 10 e le 11 di mattina e uno tra le 16 e le 17. Non sono messi in evidenza cicli settimanali. Anche l'ozono mostra un andamento giornaliero caratteristico, nel quale si nota la concentrazione che aumenta dopo le ore 12 e presenta un minimo tra le ore 5 e le ore 7 del mattino. Non particolarmente significativi sono invece i dati relativi alla  $SO_2$ .

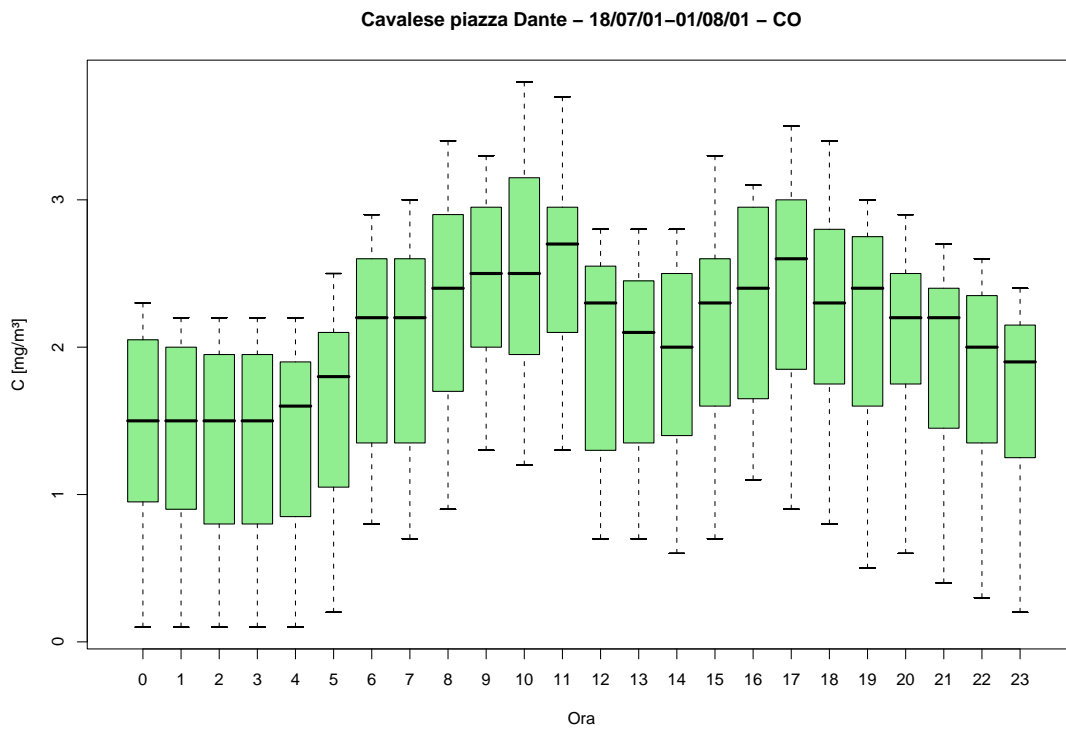


Figura 9.1: Campagna di misura a Cavalese piazza Dante (18/07/01-01/08/01), inquinante: *CO*. Box-plot relativo all'ora del giorno.

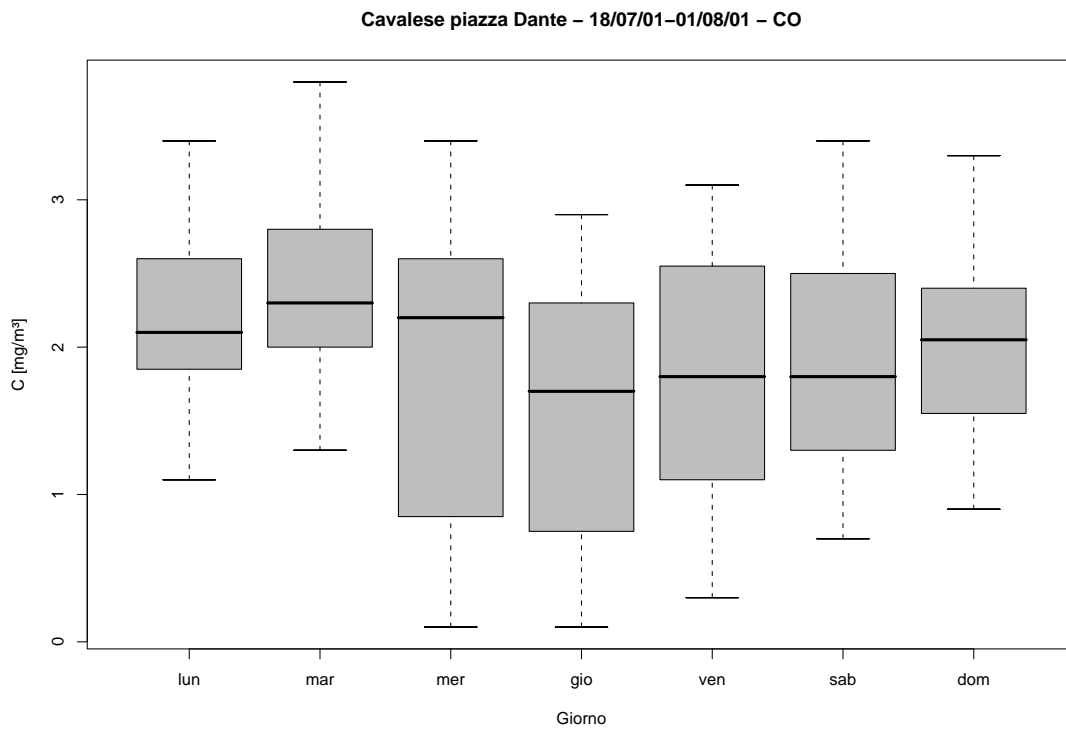


Figura 9.2: Campagna di misura a Cavalese piazza Dante (18/07/01-01/08/01), inquinante: *CO*. Box-plot relativo al giorno della settimana.

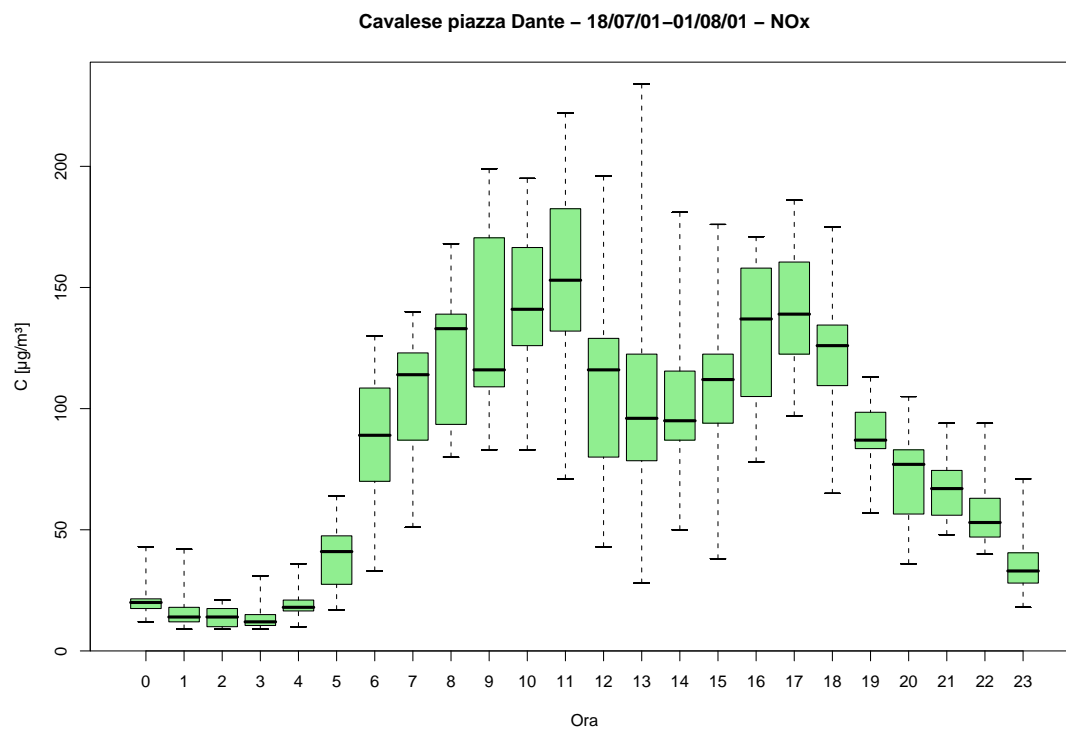


Figura 9.3: Campagna di misura a Cavalese piazza Dante (18/07/01-01/08/01), inquinante:  $NO_x$ . Box-plot relativo all'ora del giorno.

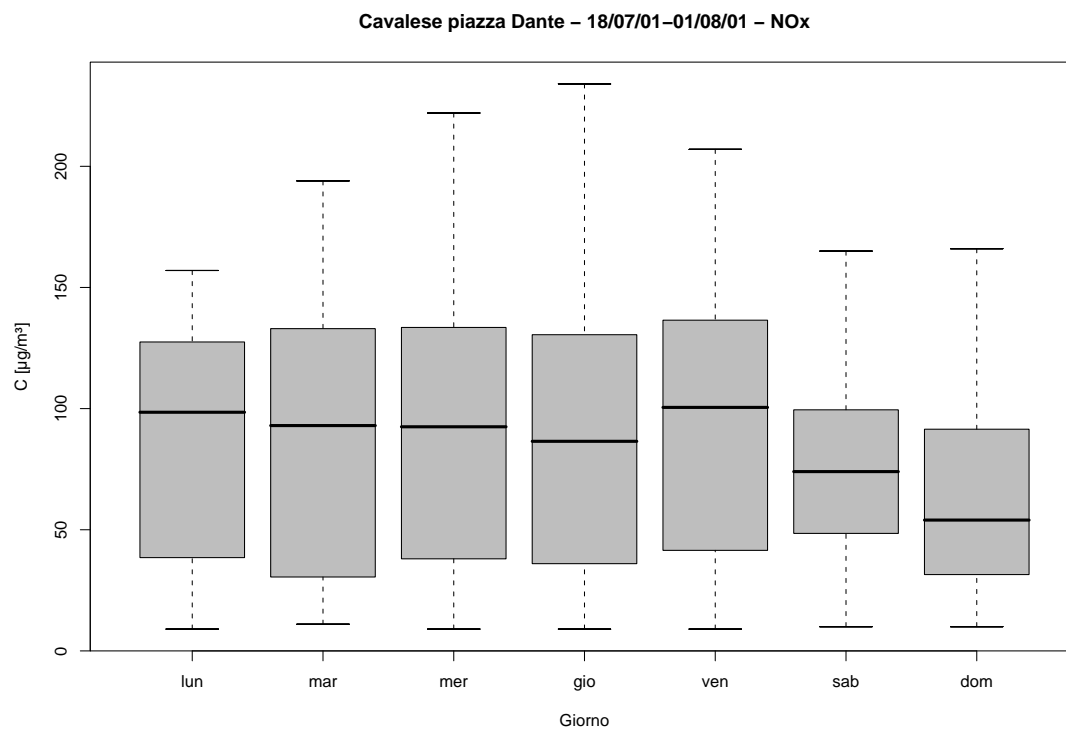


Figura 9.4: Campagna di misura a Cavalese piazza Dante (18/07/01-01/08/01), inquinante:  $NO_x$ . Box-plot relativo al giorno della settimana.

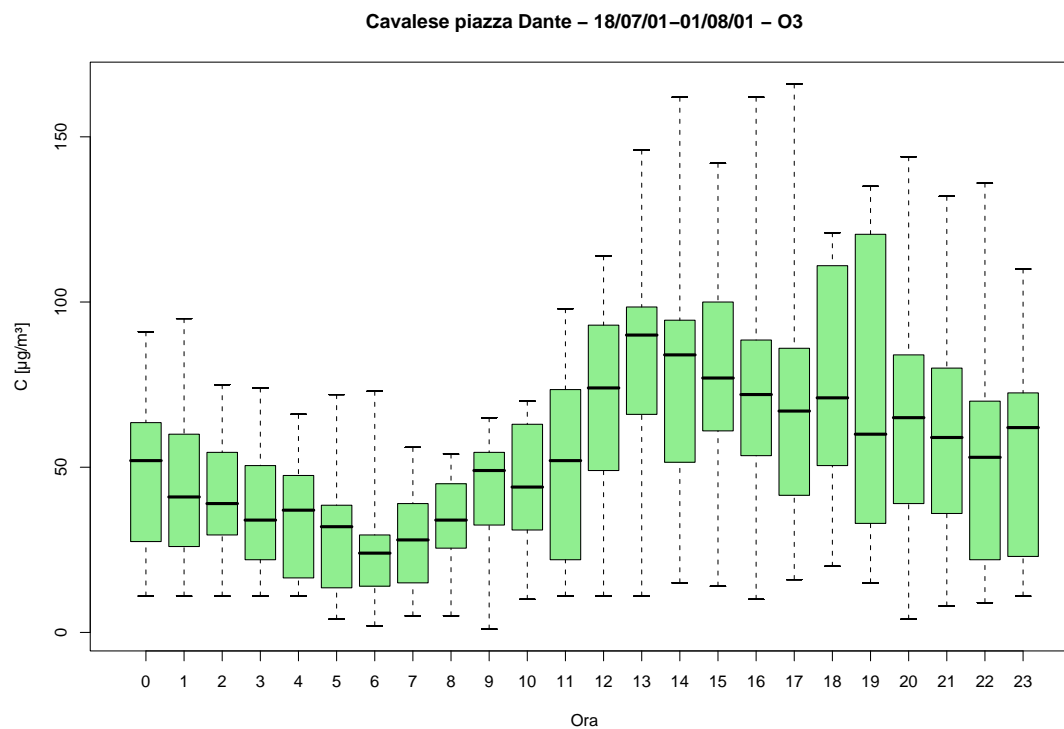


Figura 9.5: Campagna di misura a Cavalese piazza Dante (18/07/01-01/08/01), inquinante:  $O_3$ . Box-plot relativo all'ora del giorno.

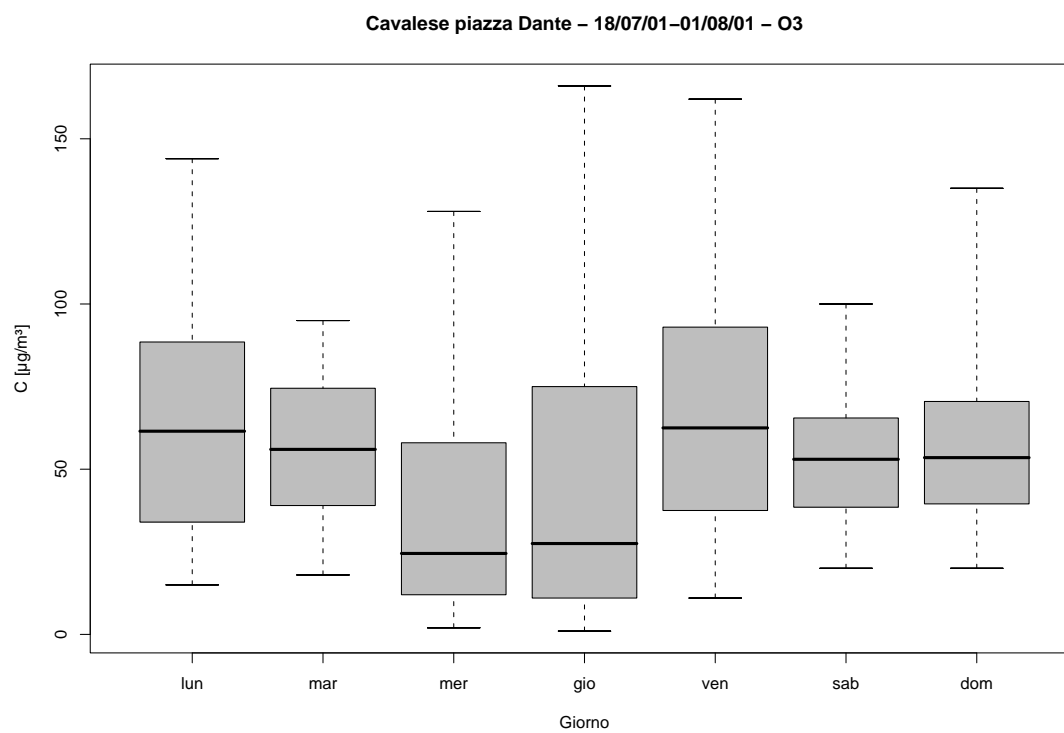


Figura 9.6: Campagna di misura a Cavalese piazza Dante (18/07/01-01/08/01), inquinante:  $O_3$ . Box-plot relativo al giorno della settimana.

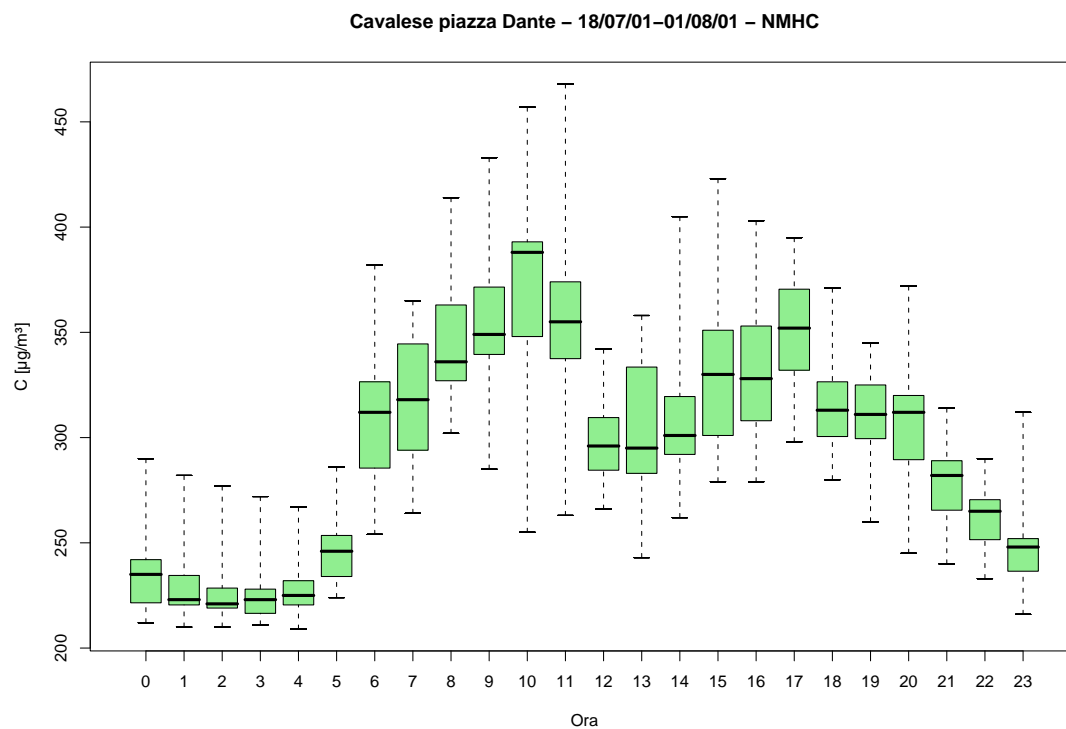


Figura 9.7: Campagna di misura a Cavalese piazza Dante (18/07/01-01/08/01), inquinante: *NMHC*. Box-plot relativo all'ora del giorno.

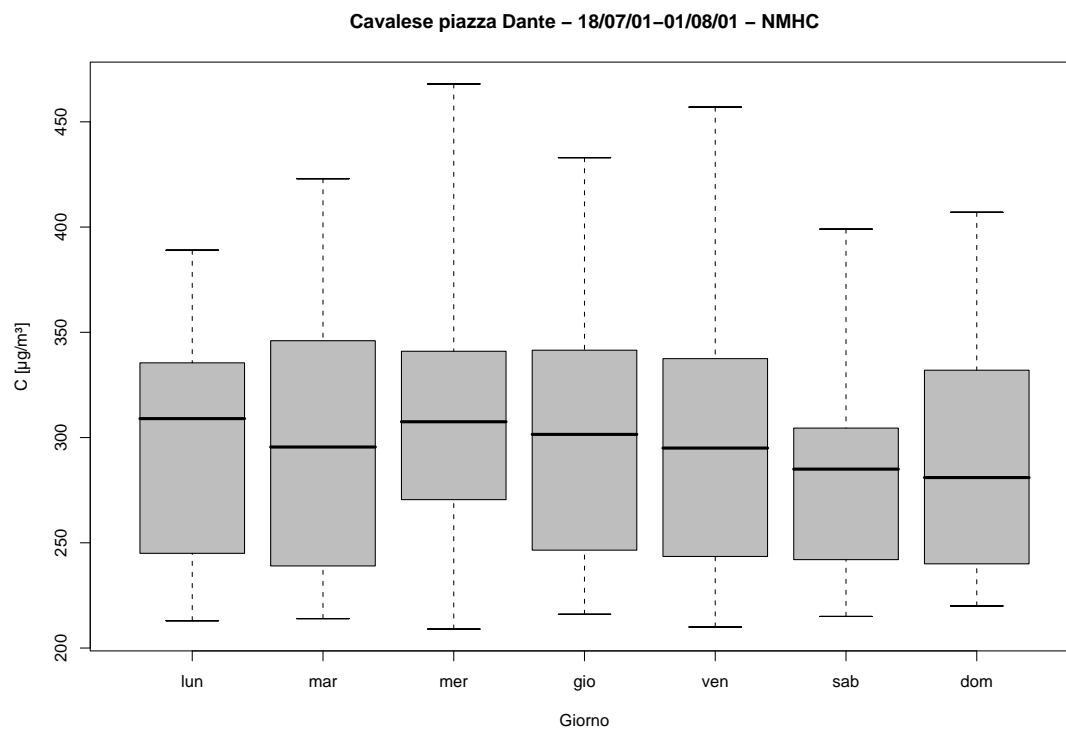


Figura 9.8: Campagna di misura a Cavalese piazza Dante (18/07/01-01/08/01), inquinante: *NMHC*. Box-plot relativo al giorno della settimana.

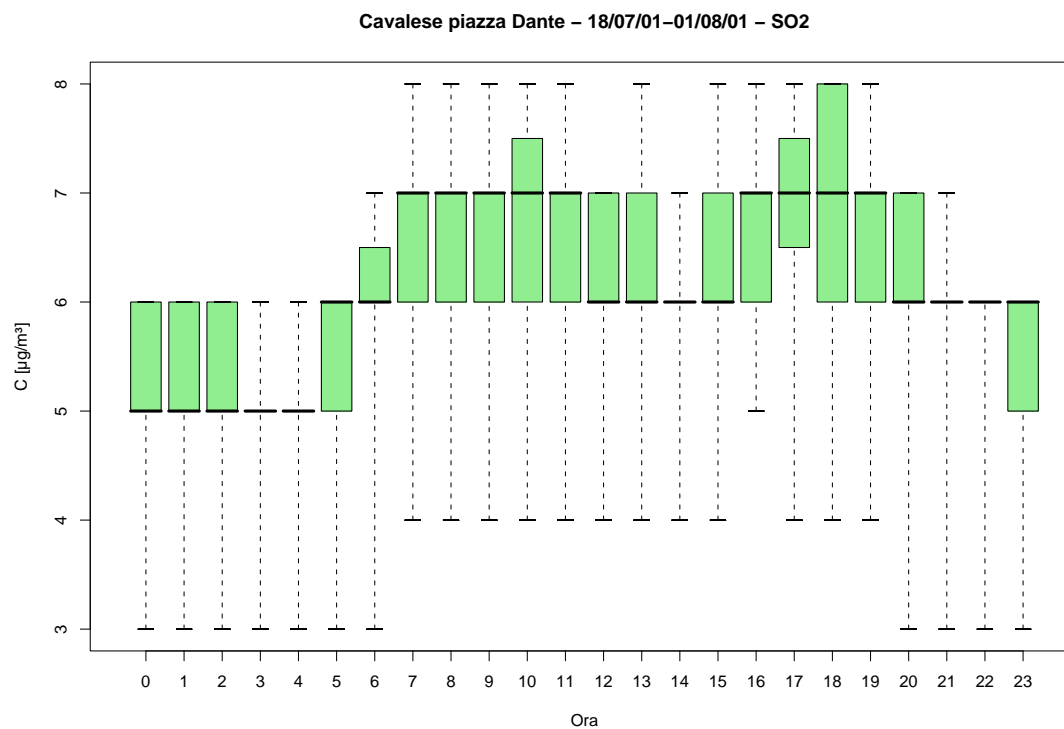


Figura 9.9: Campagna di misura a Cavalese piazza Dante (18/07/01-01/08/01), inquinante:  $SO_2$ . Box-plot relativo all'ora del giorno.

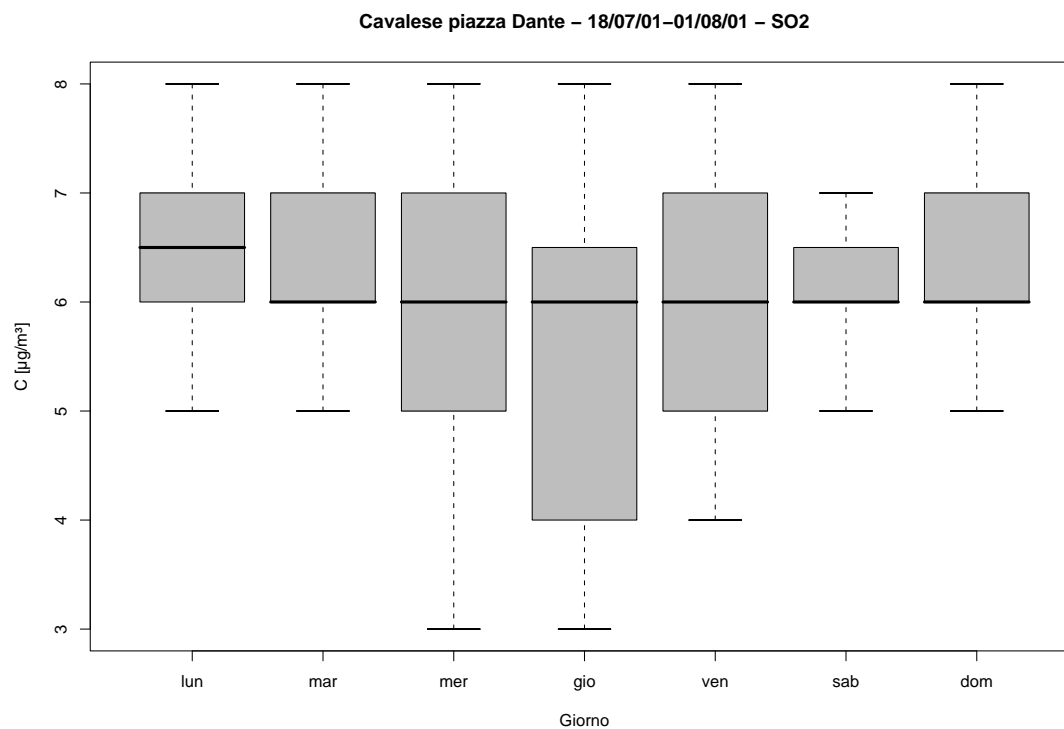


Figura 9.10: Campagna di misura a Cavalese piazza Dante (18/07/01-01/08/01), inquinante:  $SO_2$ . Box-plot relativo al giorno della settimana.



**Cavalese piazza Dante – 18/07/01 –01/08/01**  
**distribuzioni in frequenza e correlazioni**

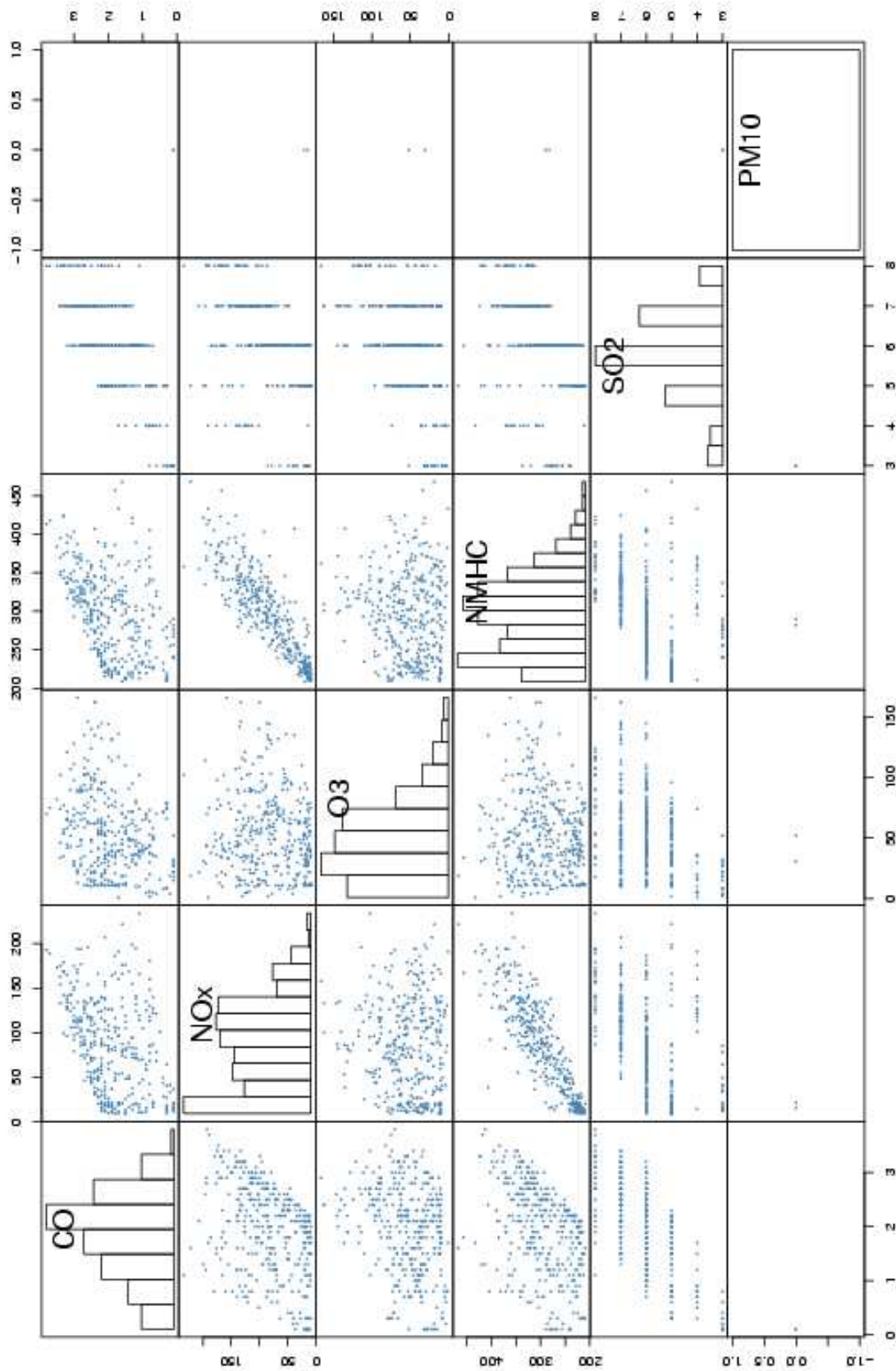
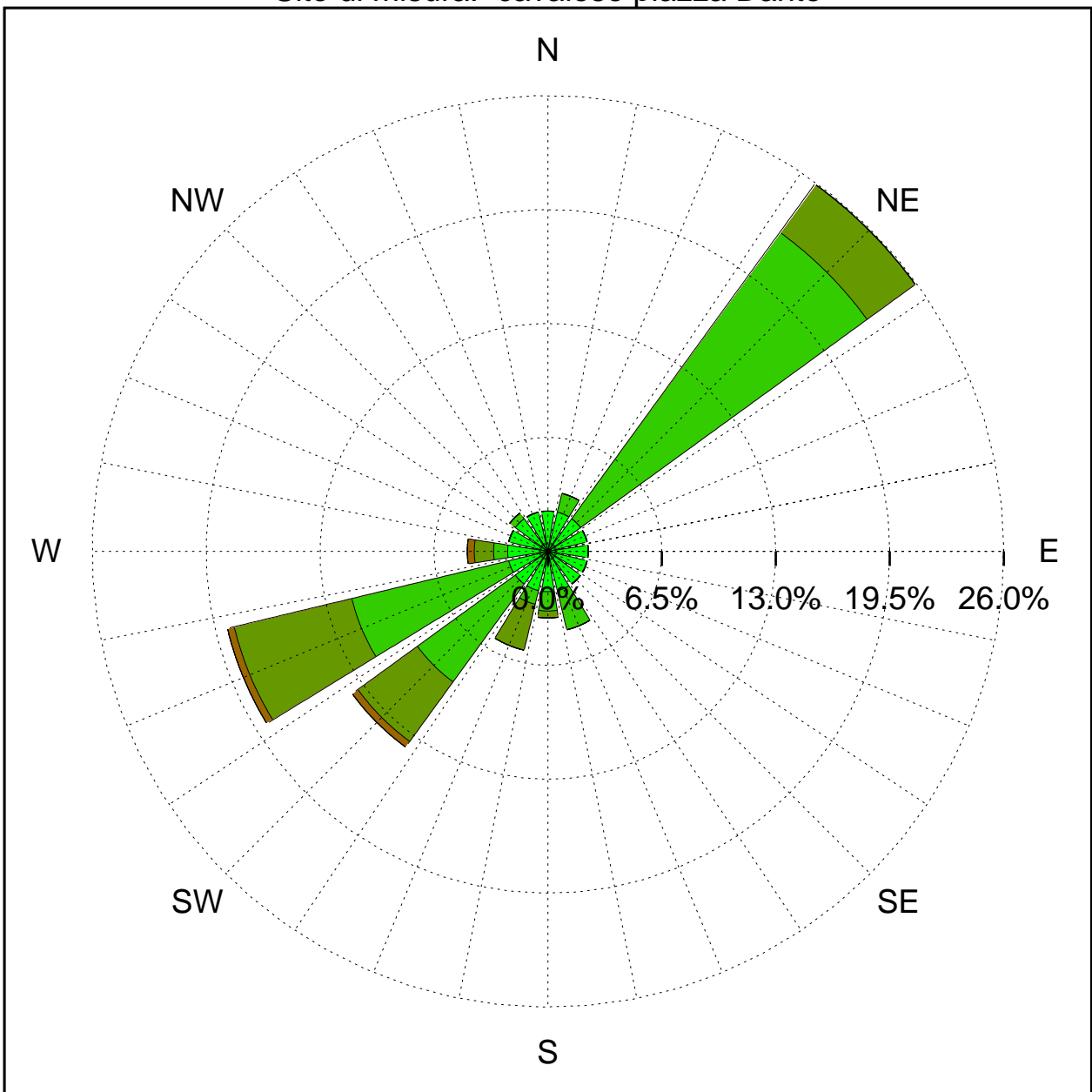


Figura 9.11: Campagna di misura a Cavalese piazza Dante (18/07/01-01/08/01). Distribuzioni in frequenza e correlazioni.

Sito di misura: cavalese piazza Dante



Legenda - velocità [m/s]	
$v \geq 5.0$	
$3.0 \leq v < 5.0$	
$2.0 \leq v < 3.0$	
$1.0 \leq v < 2.0$	
$0.5 \leq v < 1.0$	
calma ( $v < 0.5$ )	

Figura 9.12: Campagna di misura a Cavalese piazza Dante (18/07/01-01/08/01). Rosa dei venti.

# 10 Campagna di misura a Tesero località Lago

**Campagna di misura** dal 03/08/01 al 20/08/01

**Inquinanti rilevati:**  $CO$ ,  $NO_x$ ,  $O_3$ ,  $NMHC$ ,  $SO_2$ ,  $PM_{10}$

**Parametri meteorologici misurati:** velocità del vento, direzione del vento, temperatura, umidità relativa

**Note:** Dai dati ottenuti non risultano cicli giornalieri e settimanali simili a quelli riscontrati per stazioni in località urbane.  $NO_x$  e  $NMHC$  presentano un picco significativo tra le ore 6 e le ore 7. L'ozono mostra invece un chiaro ciclo giornaliero con i valori che restano elevati per tutto il giorno e scendono durante la notte. Non particolarmente significativi sono invece i dati relativi alla  $SO_2$ .

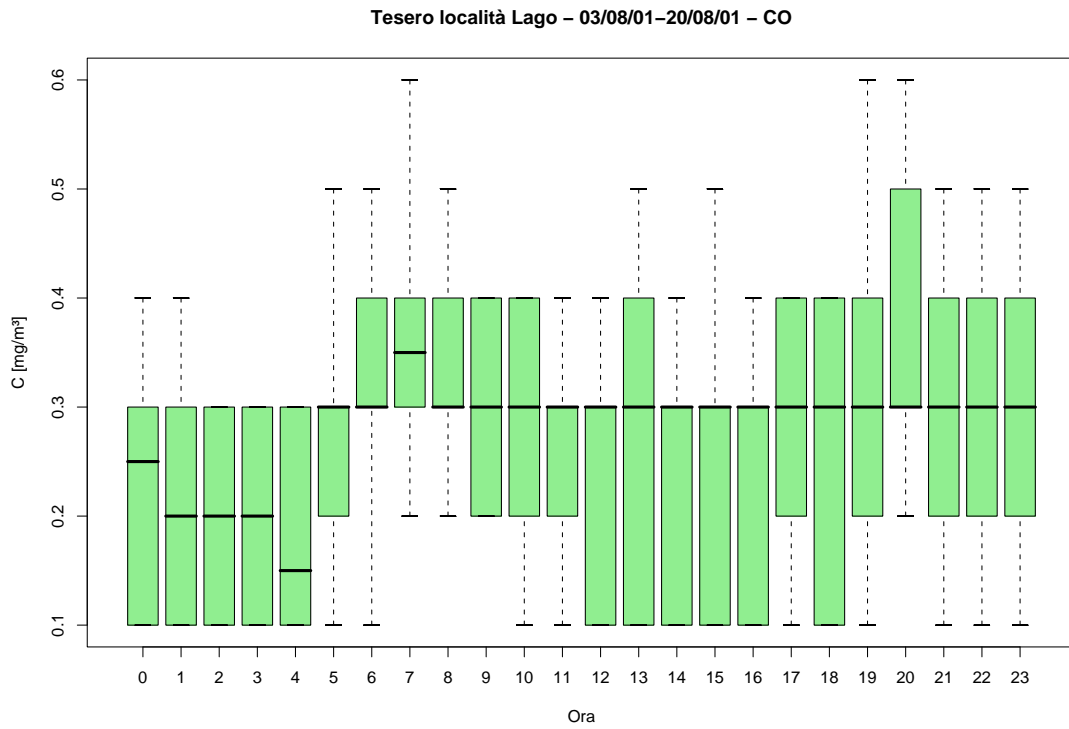


Figura 10.1: Campagna di misura a Tesero località Lago (03/08/01-20/08/01), inquinante: *CO*.  
Box-plot relativo all'ora del giorno.

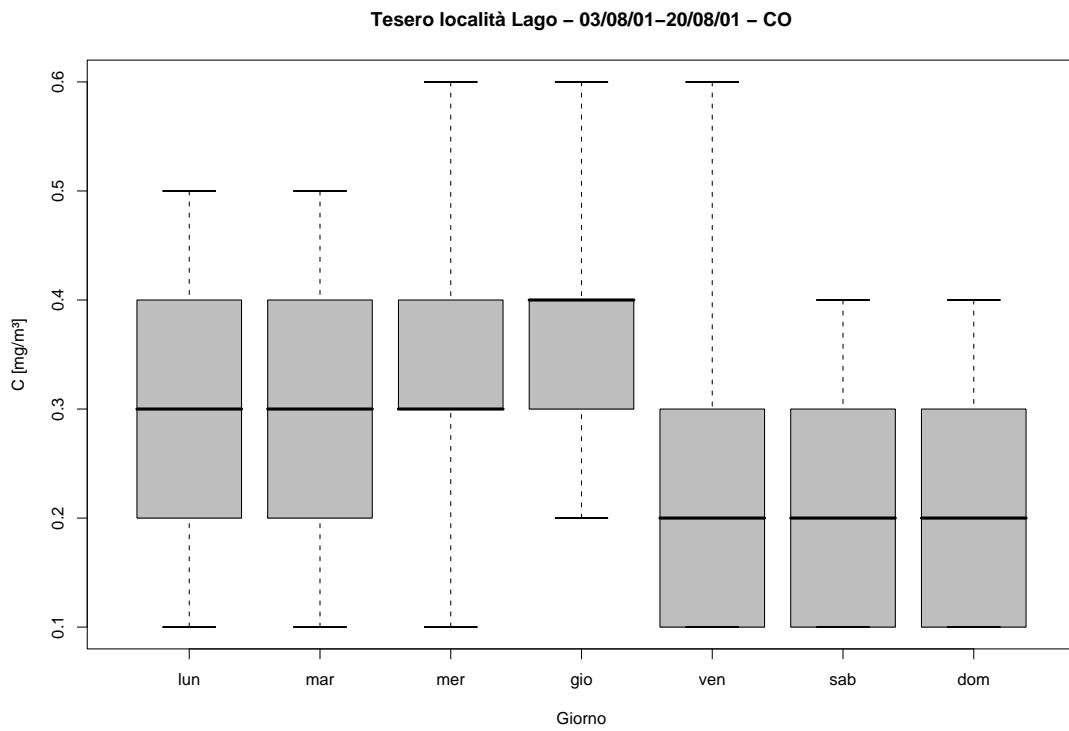


Figura 10.2: Campagna di misura a Tesero località Lago (03/08/01-20/08/01), inquinante: *CO*.  
Box-plot relativo al giorno della settimana.

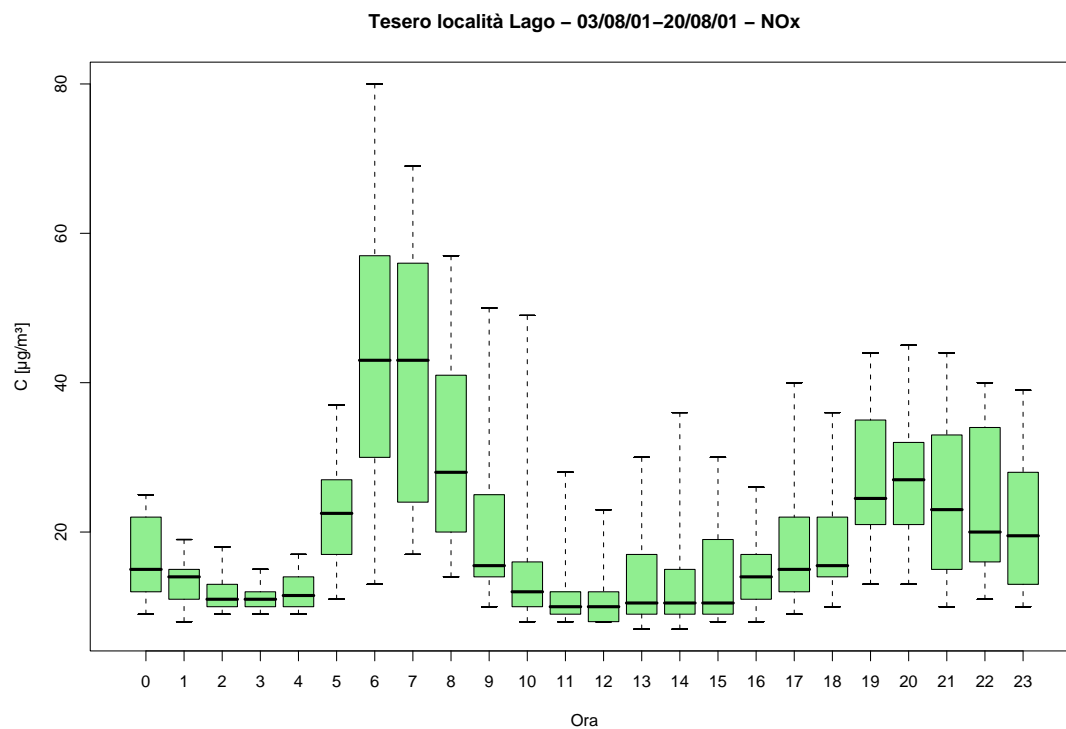


Figura 10.3: Campagna di misura a Tesero località Lago (03/08/01-20/08/01), inquinante: *NO<sub>x</sub>*. Box-plot relativo all'ora del giorno.

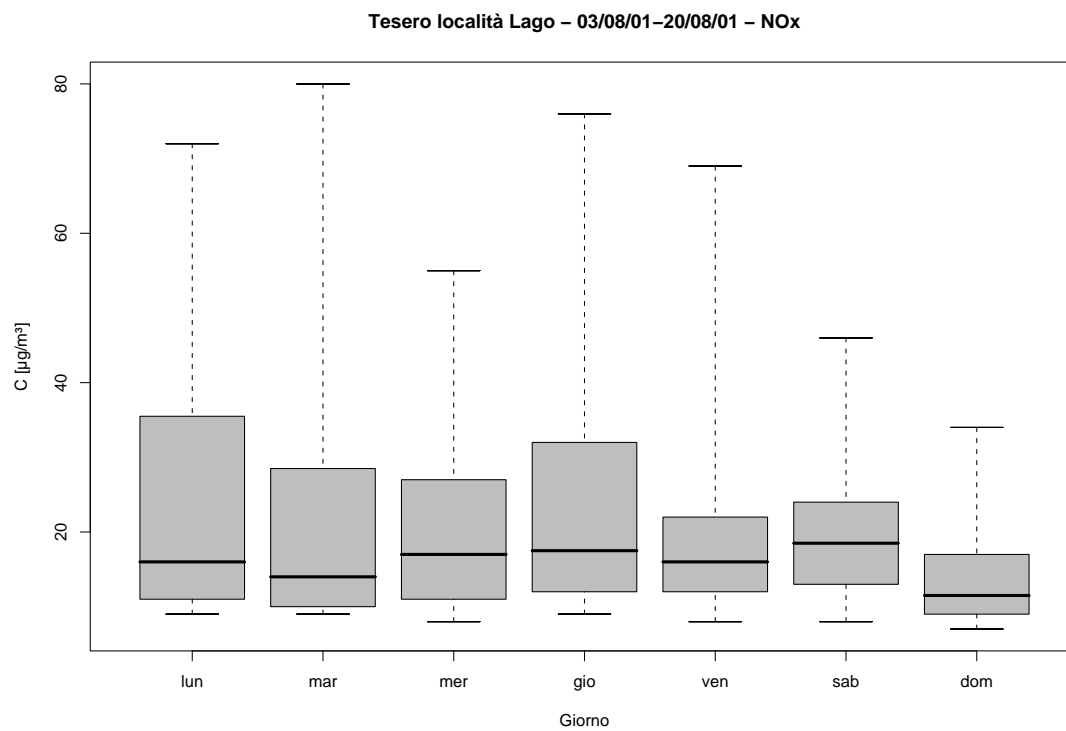


Figura 10.4: Campagna di misura a Tesero località Lago (03/08/01-20/08/01), inquinante: *NO<sub>x</sub>*. Box-plot relativo al giorno della settimana.

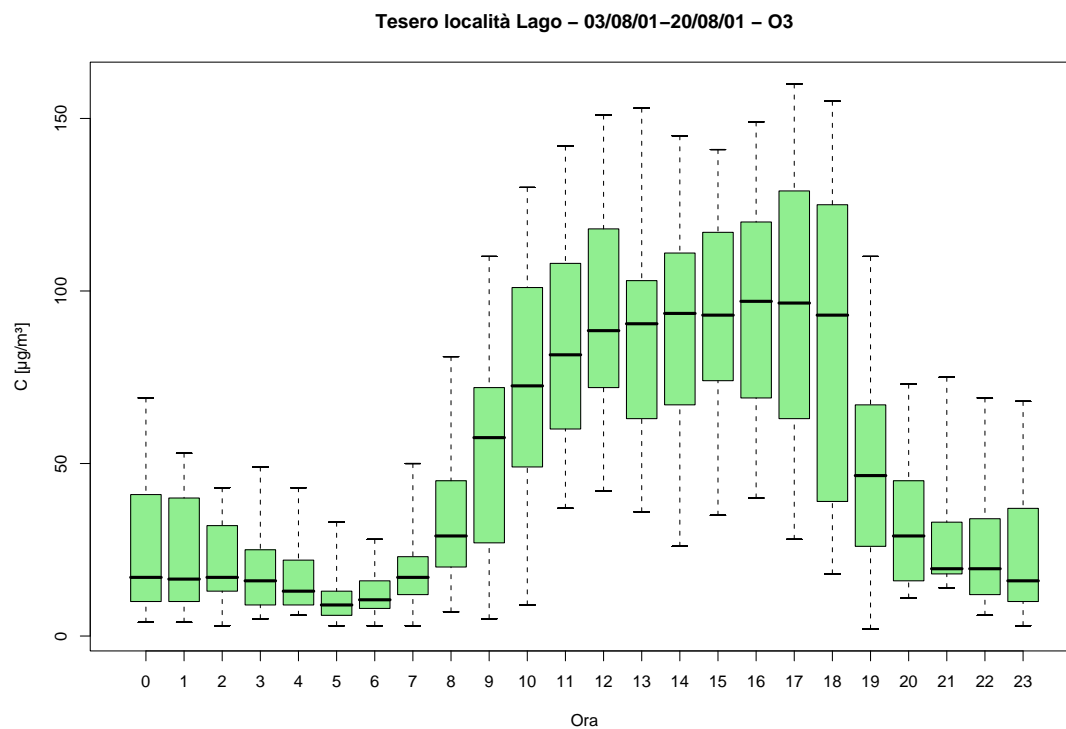


Figura 10.5: Campagna di misura a Tesero località Lago (03/08/01-20/08/01), inquinante:  $O_3$ . Box-plot relativo all'ora del giorno.

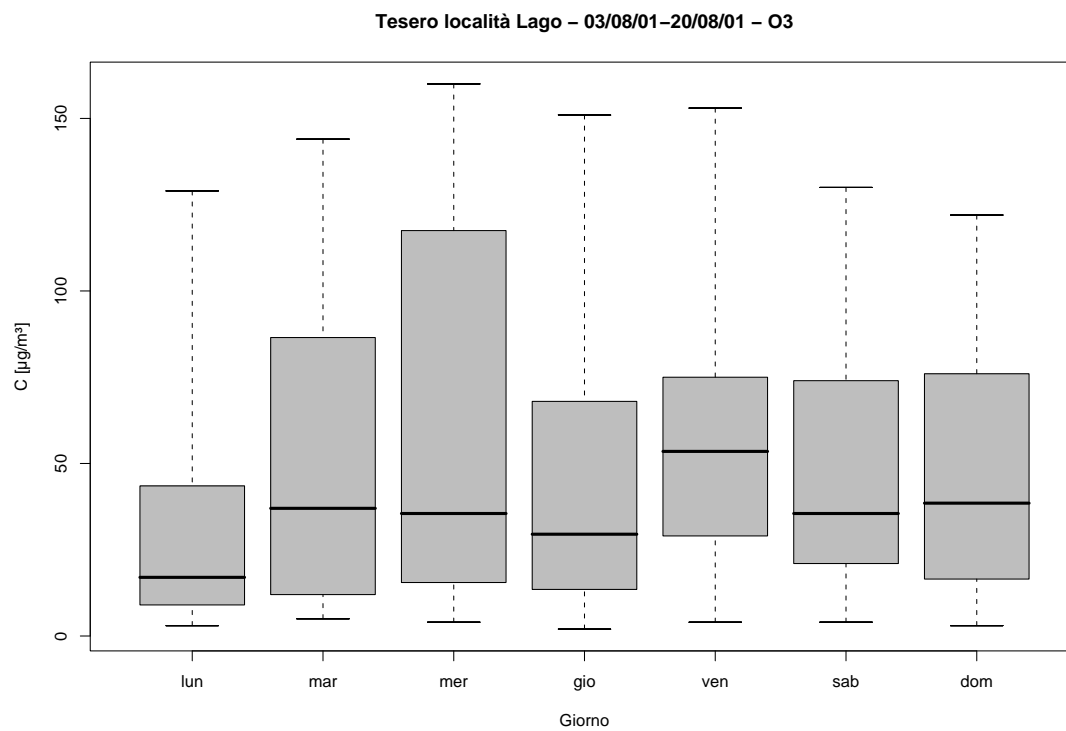


Figura 10.6: Campagna di misura a Tesero località Lago (03/08/01-20/08/01), inquinante:  $O_3$ . Box-plot relativo al giorno della settimana.

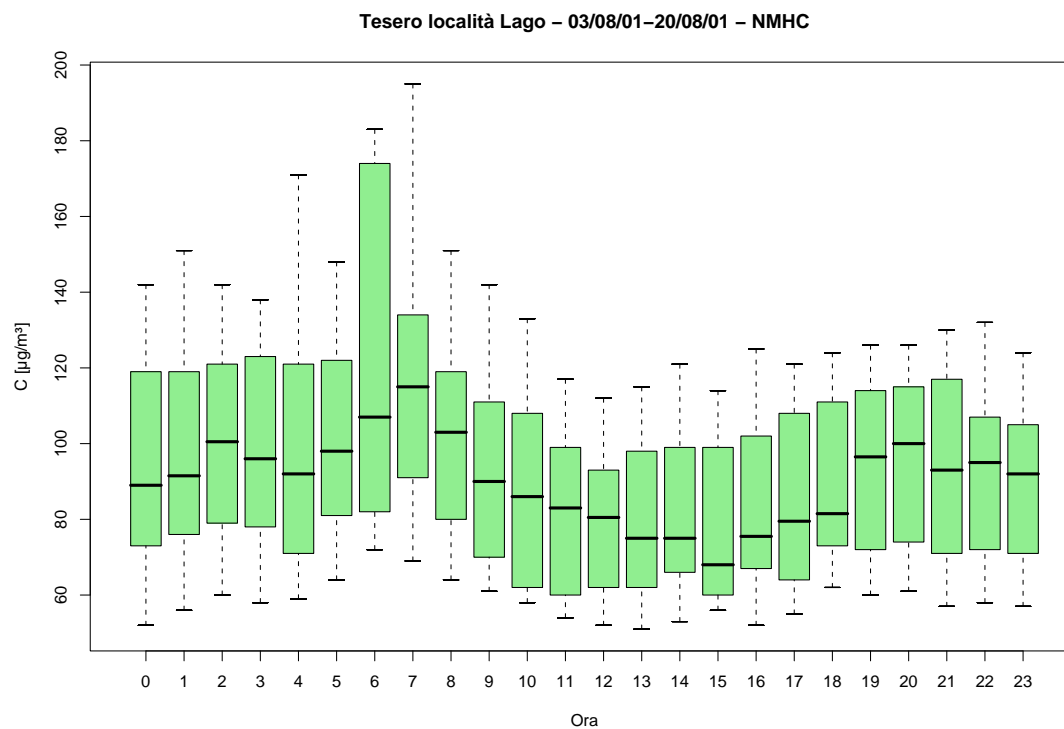


Figura 10.7: Campagna di misura a Tesero località Lago (03/08/01-20/08/01), inquinante: *NMHC*. Box-plot relativo all'ora del giorno.

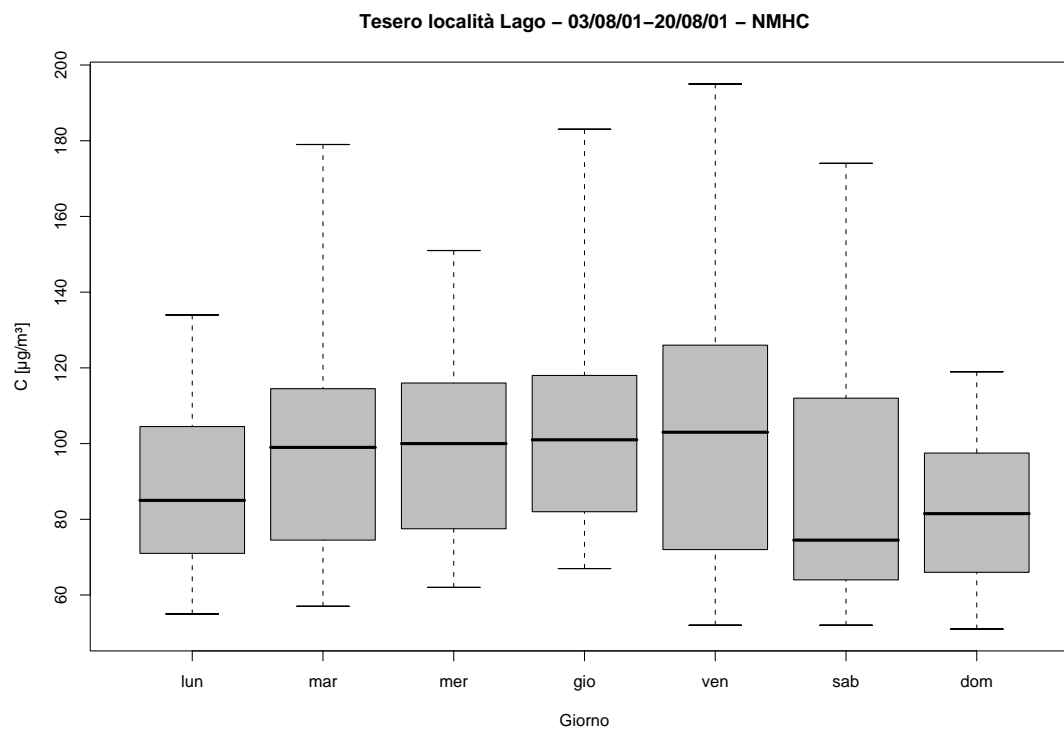


Figura 10.8: Campagna di misura a Tesero località Lago (03/08/01-20/08/01), inquinante: *NMHC*. Box-plot relativo al giorno della settimana.

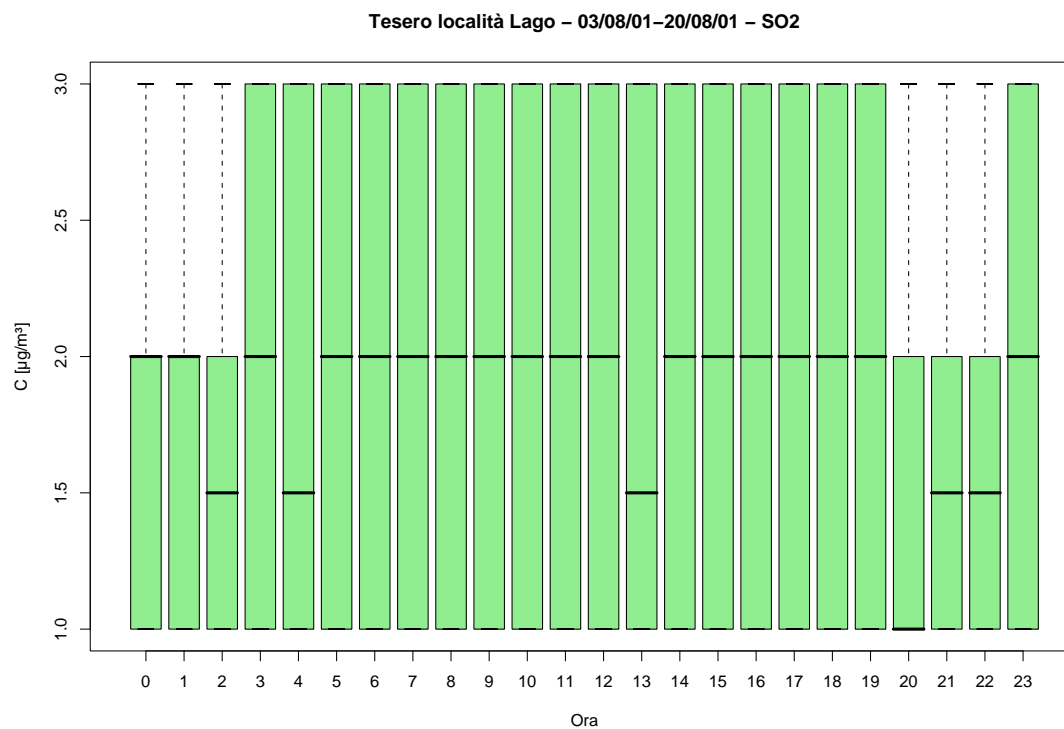


Figura 10.9: Campagna di misura a Tesero località Lago (03/08/01-20/08/01), inquinante:  $SO_2$ . Box-plot relativo all'ora del giorno.

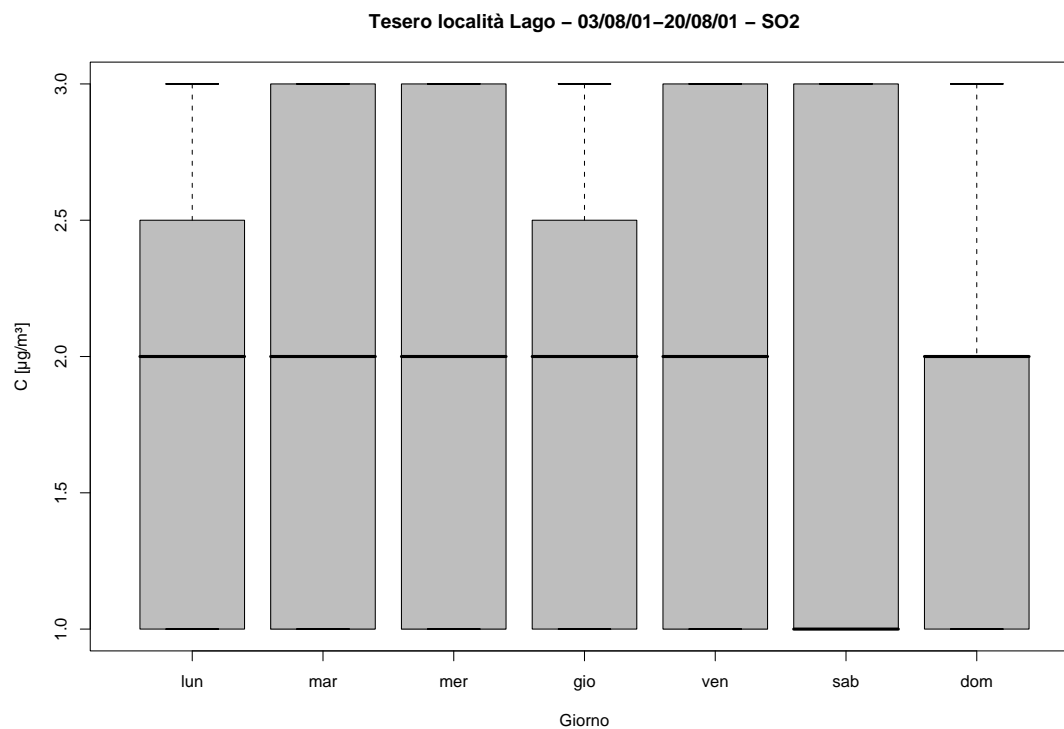


Figura 10.10: Campagna di misura a Tesero località Lago (03/08/01-20/08/01), inquinante:  $SO_2$ . Box-plot relativo al giorno della settimana.



Tesero località Lago - 03/08/01 - 20/08/01  
distribuzioni in frequenza e correlazioni

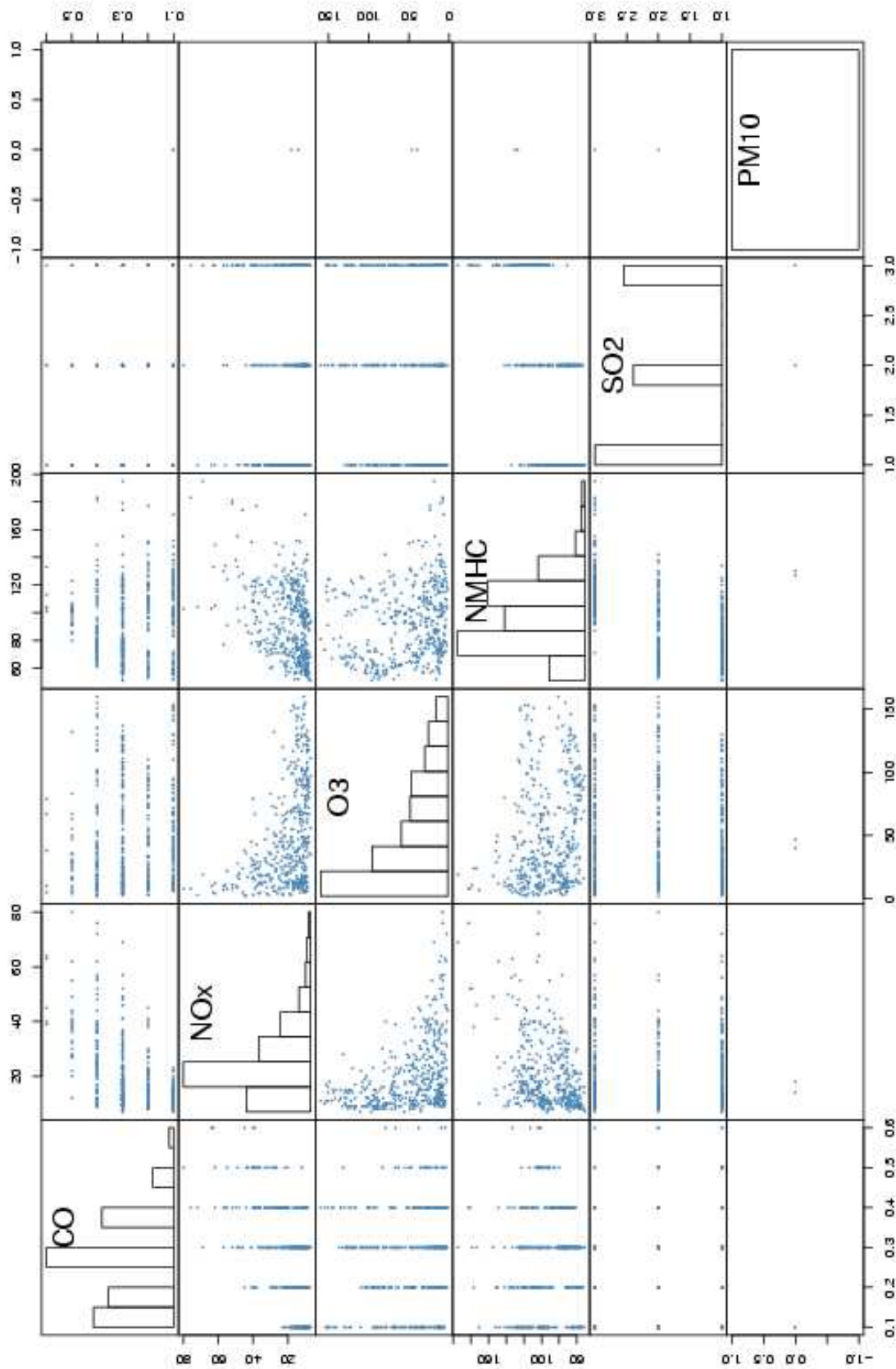


Figura 10.11: Campagna di misura a Tesero località Lago (03/08/01-20/08/01). Distribuzioni in frequenza e correlazioni.

Sito di misura: tesero località Lago

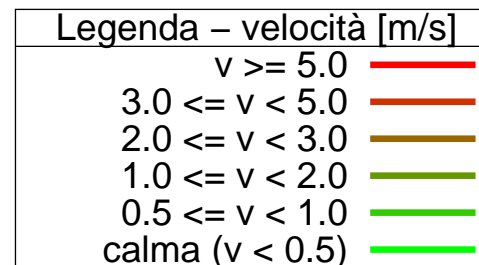
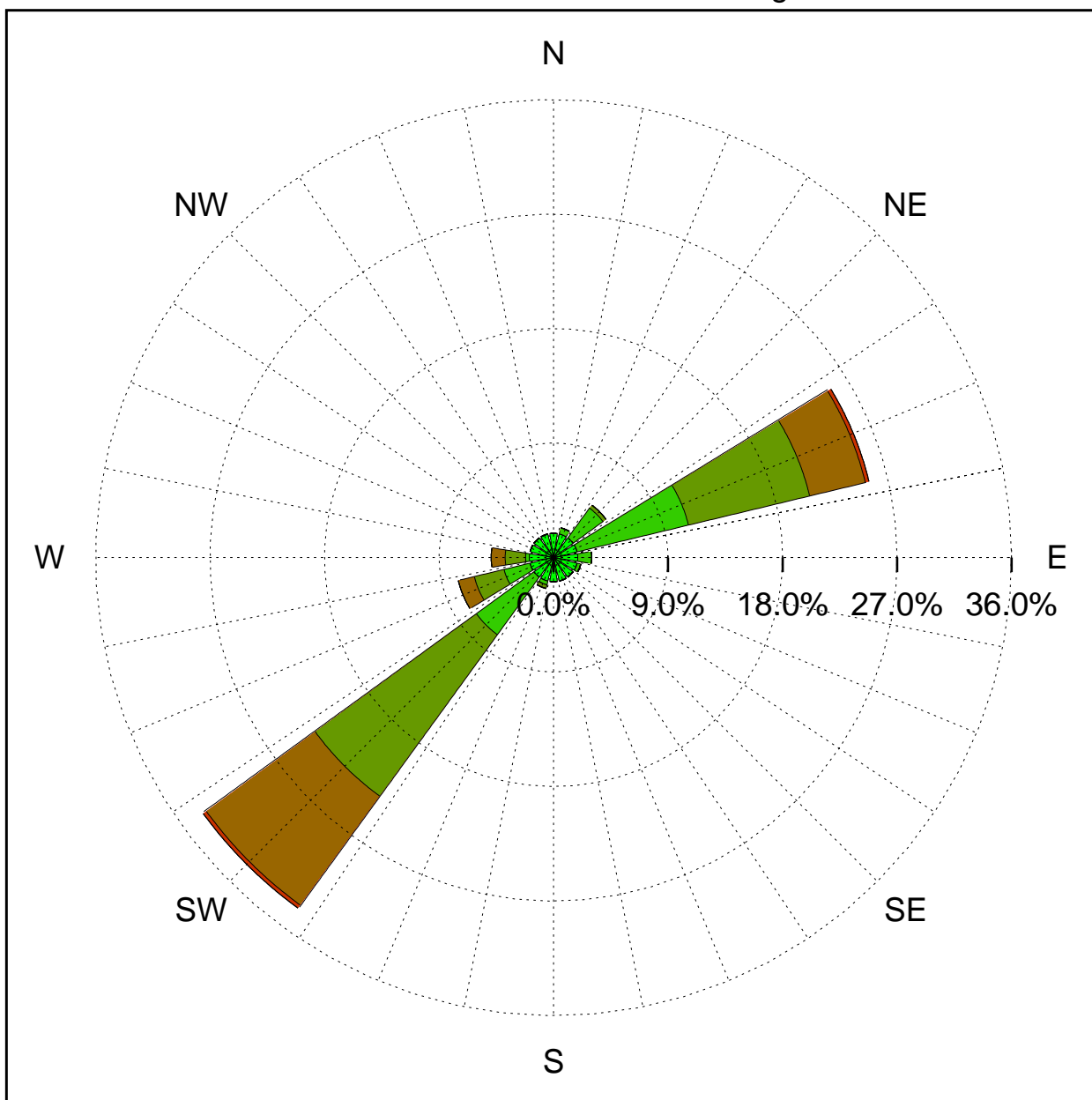


Figura 10.12: Campagna di misura a Tesero località Lago (03/08/01-20/08/01). Rosa dei venti.

# 11 Campagna di misura a Villalagarina

**Campagna di misura** dal 06/10/01 al 11/11/01

**Inquinanti rilevati:**  $CO$ ,  $NO_x$ ,  $O_3$ ,  $NMHC$ ,  $SO_2$

**Parametri meteorologici misurati:** velocità del vento, direzione del vento, temperatura, umidità relativa

**Note:** La campagna di misura mette in evidenza un ciclo giornaliero degli inquinanti tipico di una zona soggetta a traffico, con il picco che si registra tra le ore 6 e le ore 7 del mattino e un picco serale tra le ore 17 e le ore 19. Non vi sono però evidenti cicli settimanali, si nota però che le concentrazioni di  $NO_X$  sono significativamente più basse la domenica. L'ozono presenta un picco alle ore 14 e concentrazioni abbastanza costanti nel resto della giornata. Non particolarmente significativi sono invece i dati relativi alla  $SO_2$ .

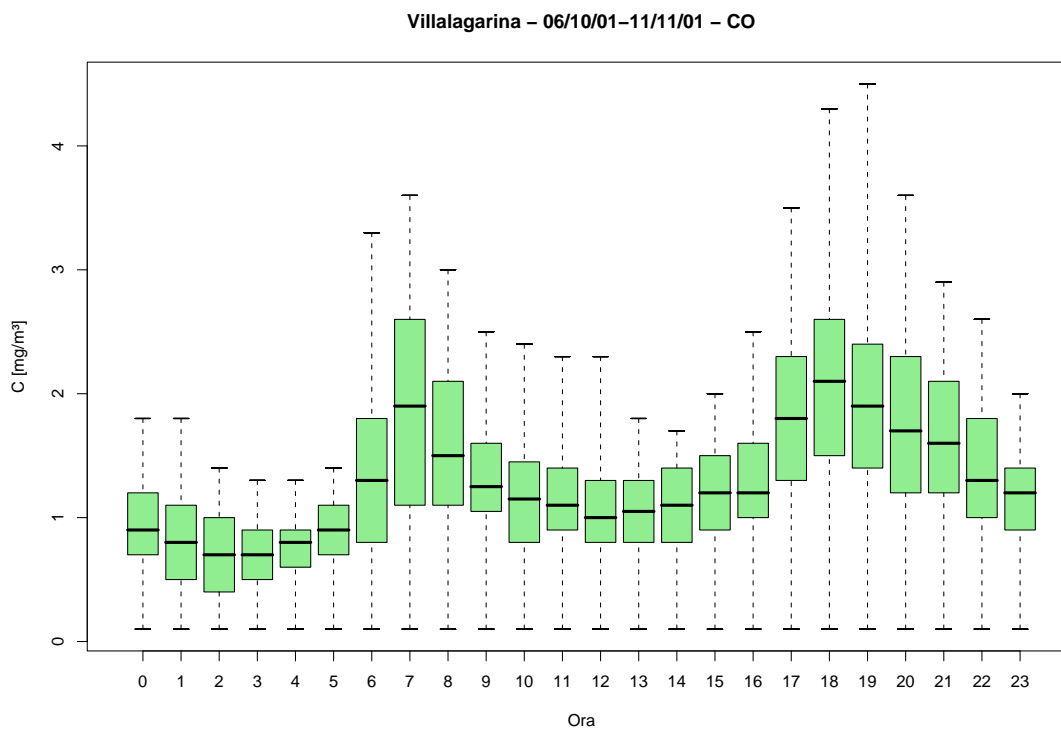


Figura 11.1: Campagna di misura a Villalagarina (06/10/01-11/11/01), inquinante: *CO*. Box-plot relativo all'ora del giorno.

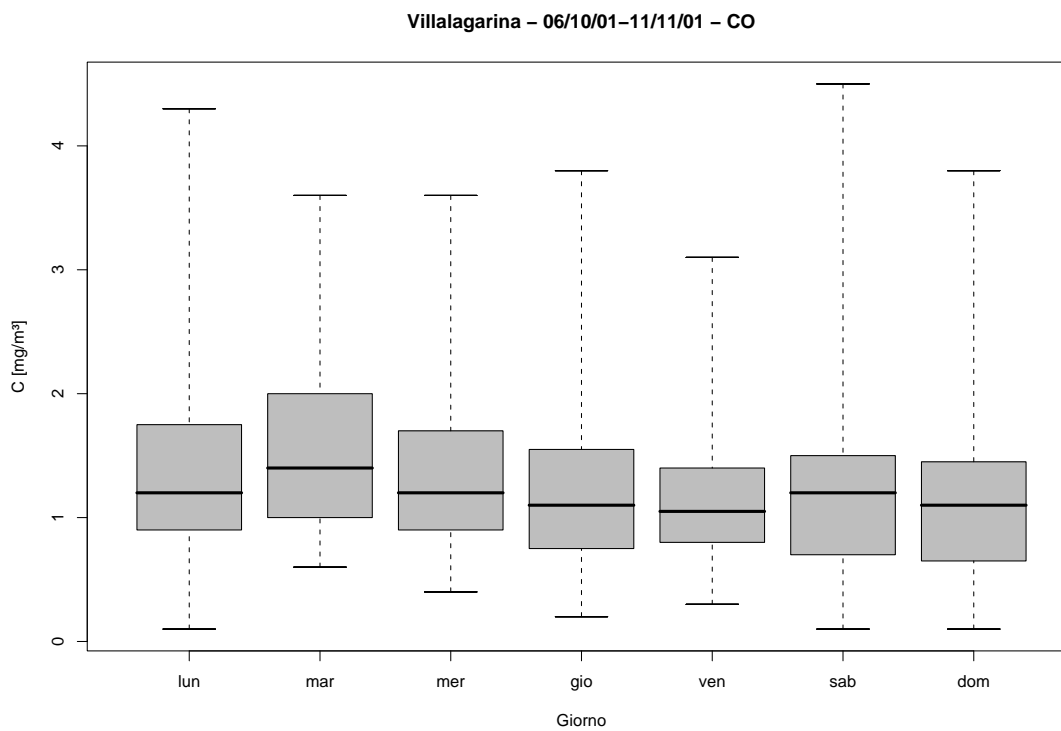


Figura 11.2: Campagna di misura a Villalagarina (06/10/01-11/11/01), inquinante: *CO*. Box-plot relativo al giorno della settimana.

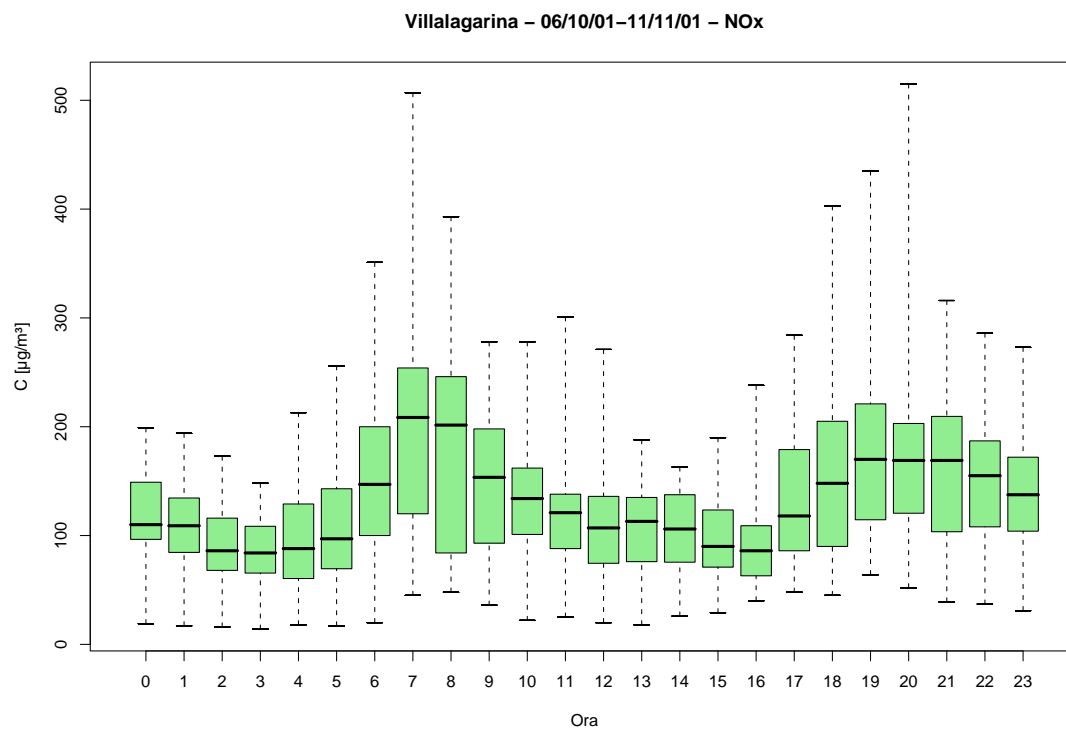


Figura 11.3: Campagna di misura a Villalagarina (06/10/01-11/11/01), inquinante:  $NO_x$ . Box-plot relativo all'ora del giorno.

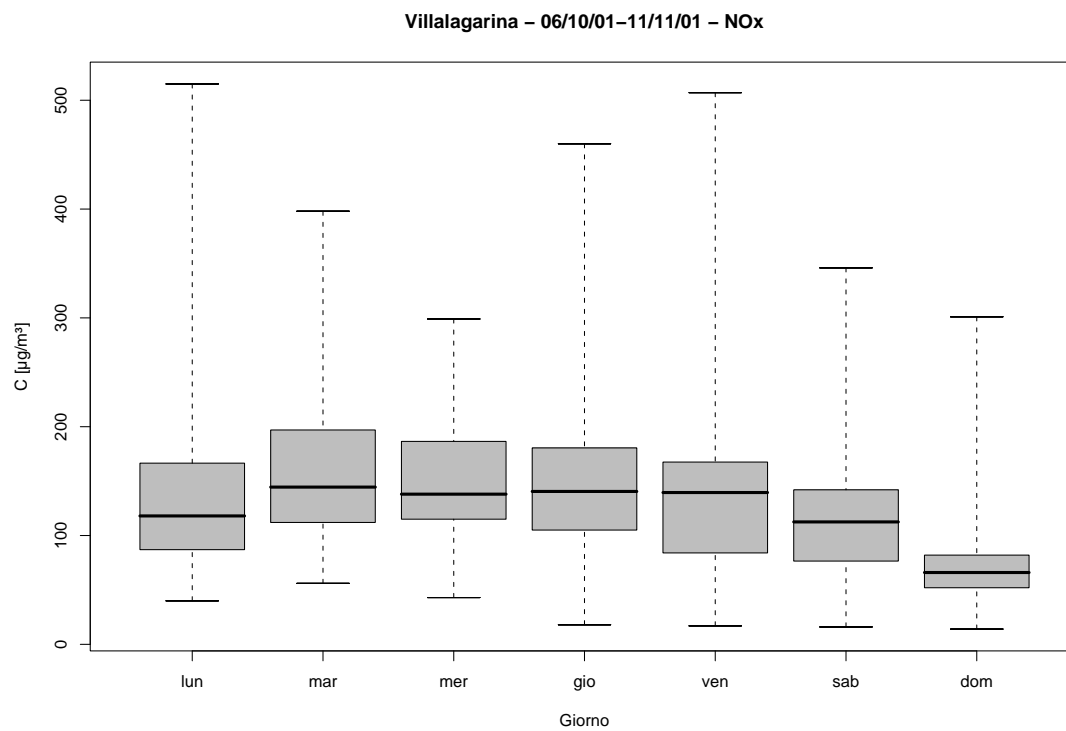


Figura 11.4: Campagna di misura a Villalagarina (06/10/01-11/11/01), inquinante:  $NO_x$ . Box-plot relativo al giorno della settimana.

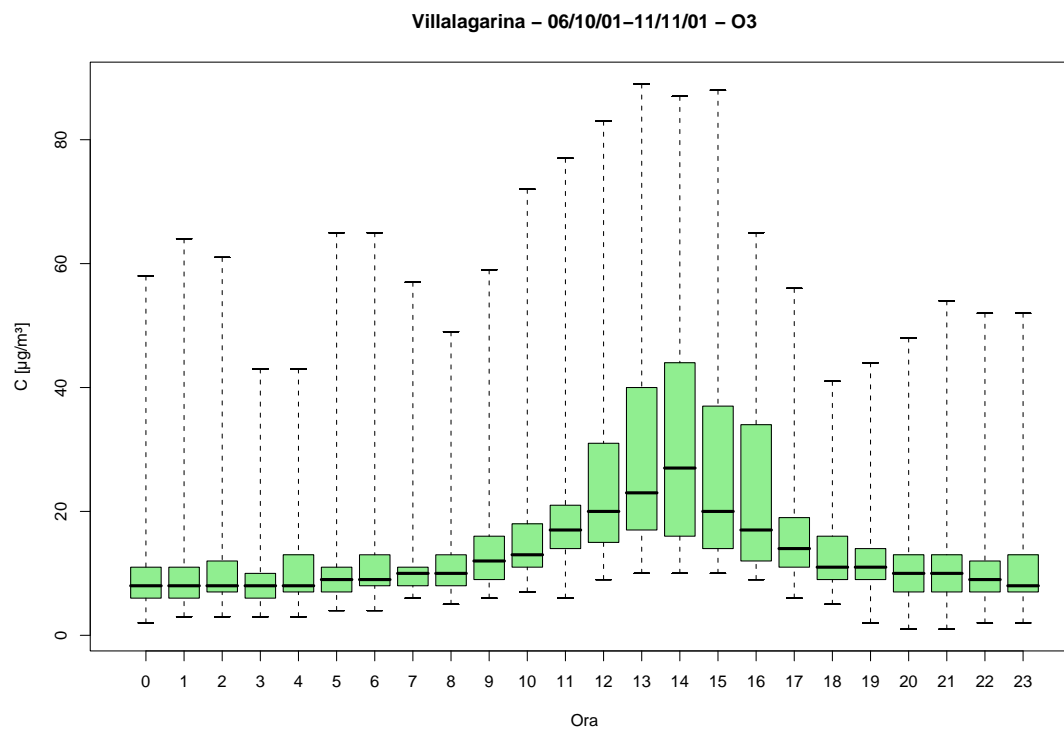


Figura 11.5: Campagna di misura a Villalagarina (06/10/01-11/11/01), inquinante:  $O_3$ . Box-plot relativo all'ora del giorno.

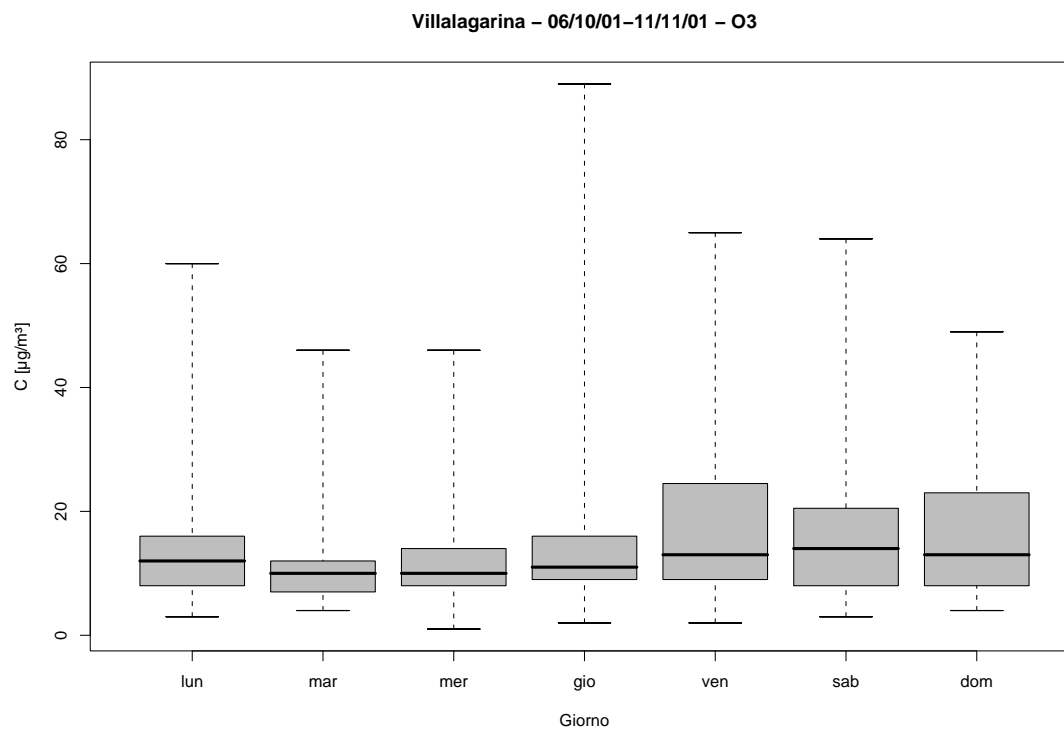


Figura 11.6: Campagna di misura a Villalagarina (06/10/01-11/11/01), inquinante:  $O_3$ . Box-plot relativo al giorno della settimana.

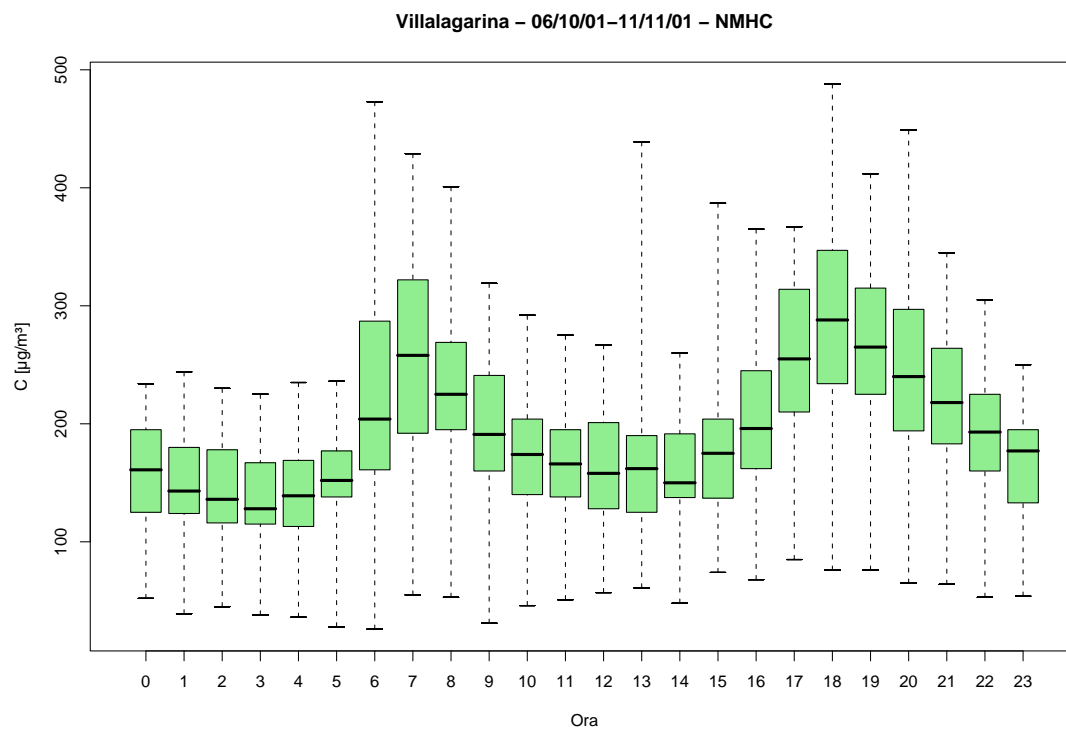


Figura 11.7: Campagna di misura a Villalagarina (06/10/01-11/11/01), inquinante: *NMHC*. Box-plot relativo all'ora del giorno.

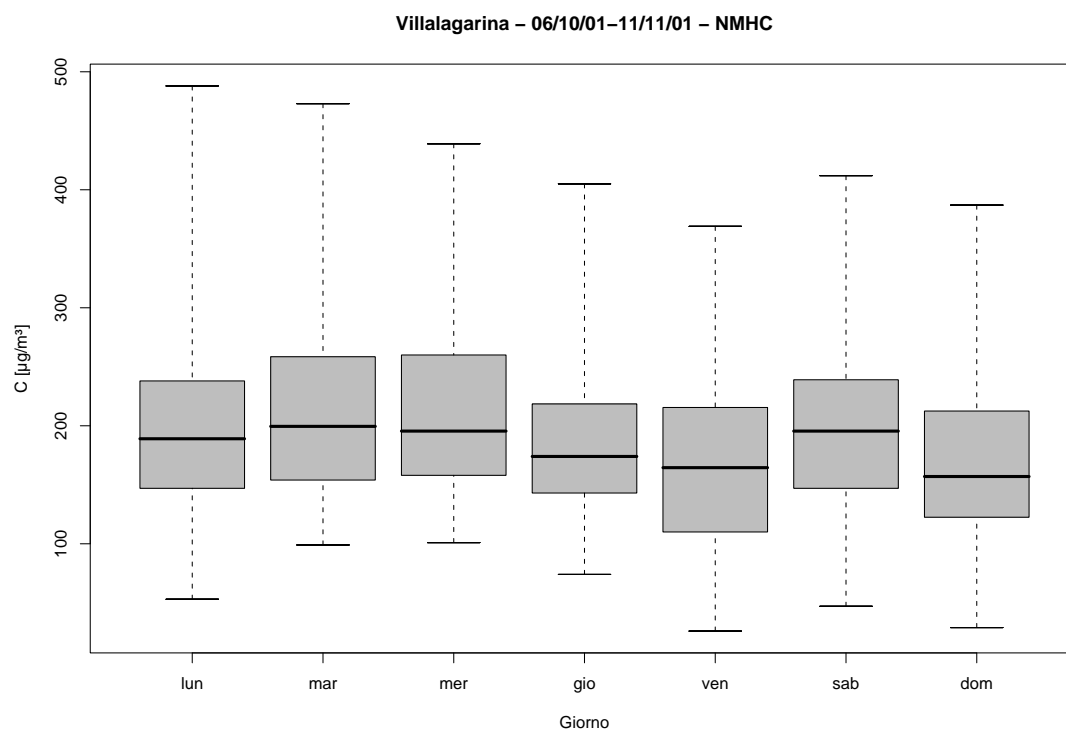


Figura 11.8: Campagna di misura a Villalagarina (06/10/01-11/11/01), inquinante: *NMHC*. Box-plot relativo al giorno della settimana.

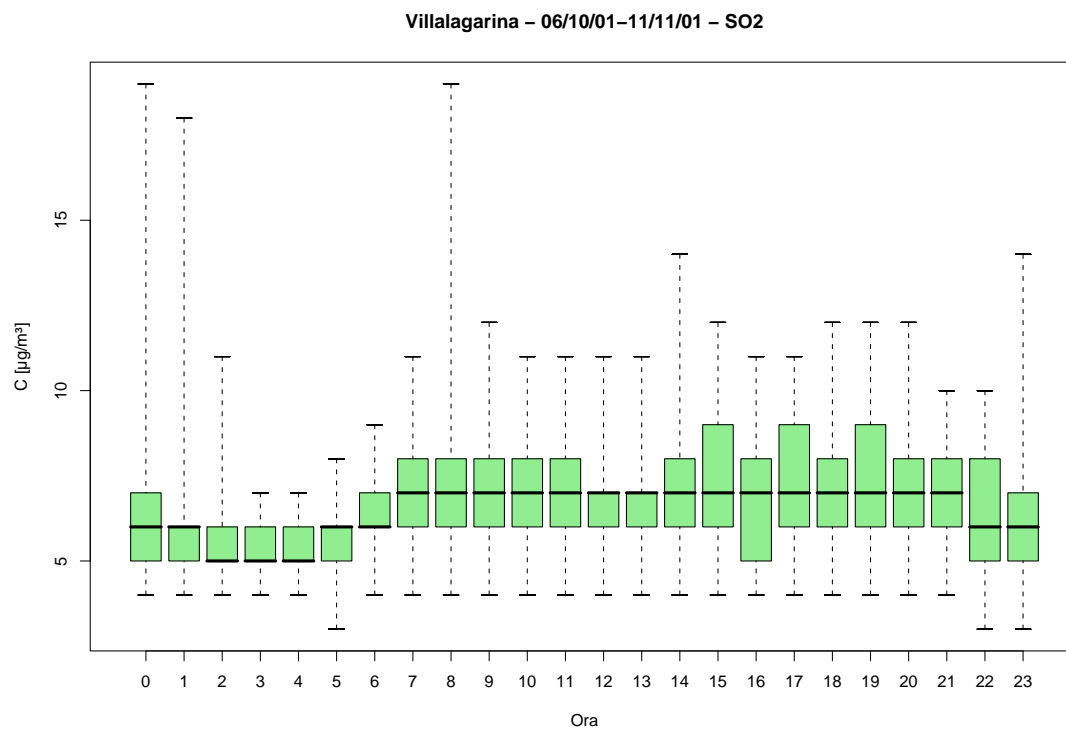


Figura 11.9: Campagna di misura a Villalagarina (06/10/01-11/11/01), inquinante:  $SO_2$ . Box-plot relativo all'ora del giorno.

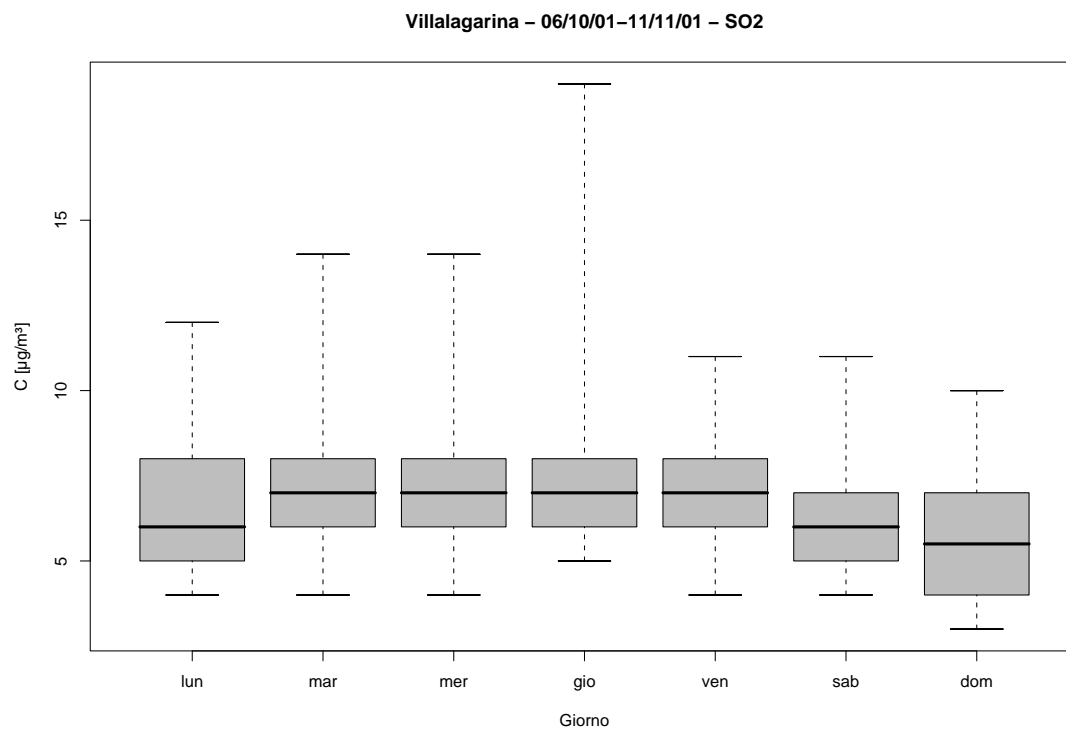


Figura 11.10: Campagna di misura a Villalagarina (06/10/01-11/11/01), inquinante:  $SO_2$ . Box-plot relativo al giorno della settimana.



Villalagarina - 06/10/01 - 11/11/01  
distribuzioni in frequenza e correlazioni

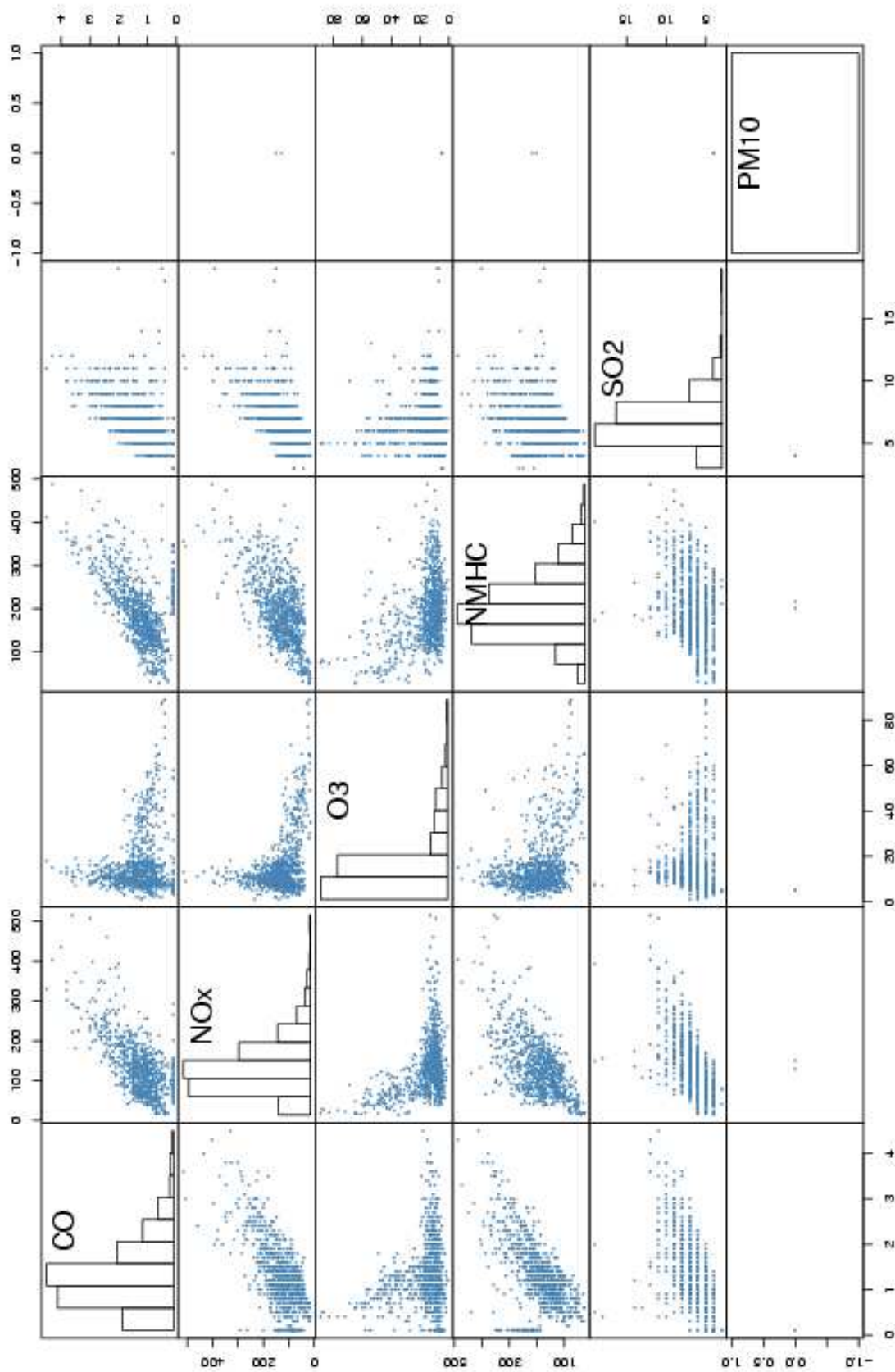
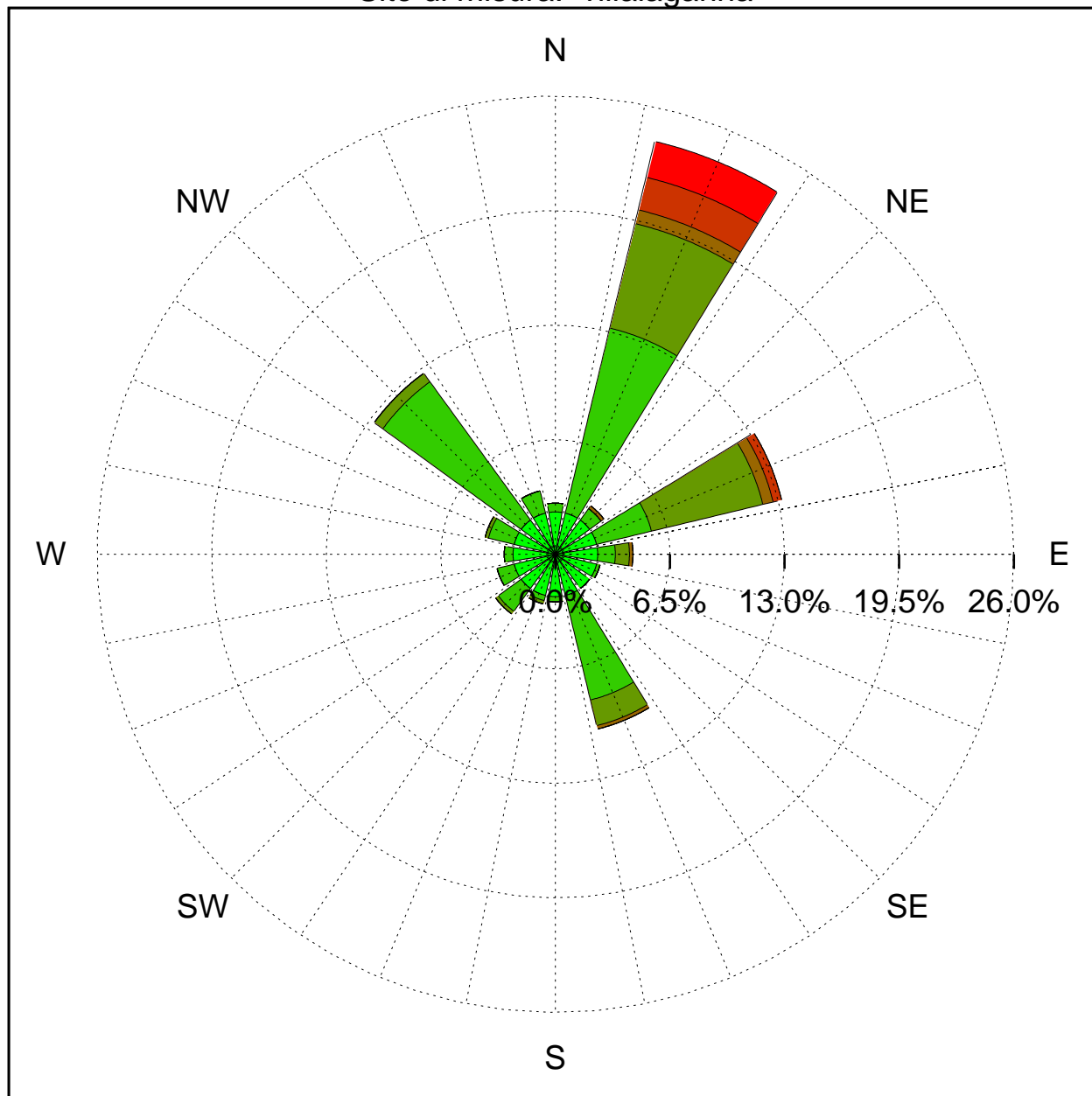


Figura 11.11: Campagna di misura a Villalagarina (06/10/01-11/11/01). Distribuzioni in frequenza e correlazioni.

Sito di misura: villalagarina



Legenda - velocità [m/s]	
$v \geq 5.0$	Red
$3.0 \leq v < 5.0$	Orange
$2.0 \leq v < 3.0$	Brown
$1.0 \leq v < 2.0$	Dark Green
$0.5 \leq v < 1.0$	Light Green
calma ( $v < 0.5$ )	Very Light Green

Figura 11.12: Campagna di misura a Villalagarina (06/10/01-11/11/01). Rosa dei venti.

# 12 Campagna di misura a Rovereto Lizzana via Livenza

**Campagna di misura** dal 08/11/01 al 03/03/02

**Inquinanti rilevati:** *CO*, *NO<sub>x</sub>*, *O<sub>3</sub>*, *NMHC*, *SO<sub>2</sub>*

**Parametri meteorologici misurati:** velocità del vento, direzione del vento, temperatura, umidità relativa, pioggia, radiazione globale

**Note:** La campagna di misura mette in evidenza un ciclo giornaliero degli inquinanti tipico di una zona soggetta a traffico, con il picco che si registra tra le ore 6 e le ore 7 del mattino e un picco serale tra le ore 18 e le ore 20. Non vi sono però evidenti cicli settimanali, si nota però che le concentrazioni di inquinanti sono significativamente più basse la domenica. L'ozono presenta un picco tra le ore 13 e le ore 14 e concentrazioni abbastanza costanti nel resto della giornata. Le concentrazioni di *SO<sub>2</sub>* restano abbastanza costanti durante il giorno e durante la settimana.

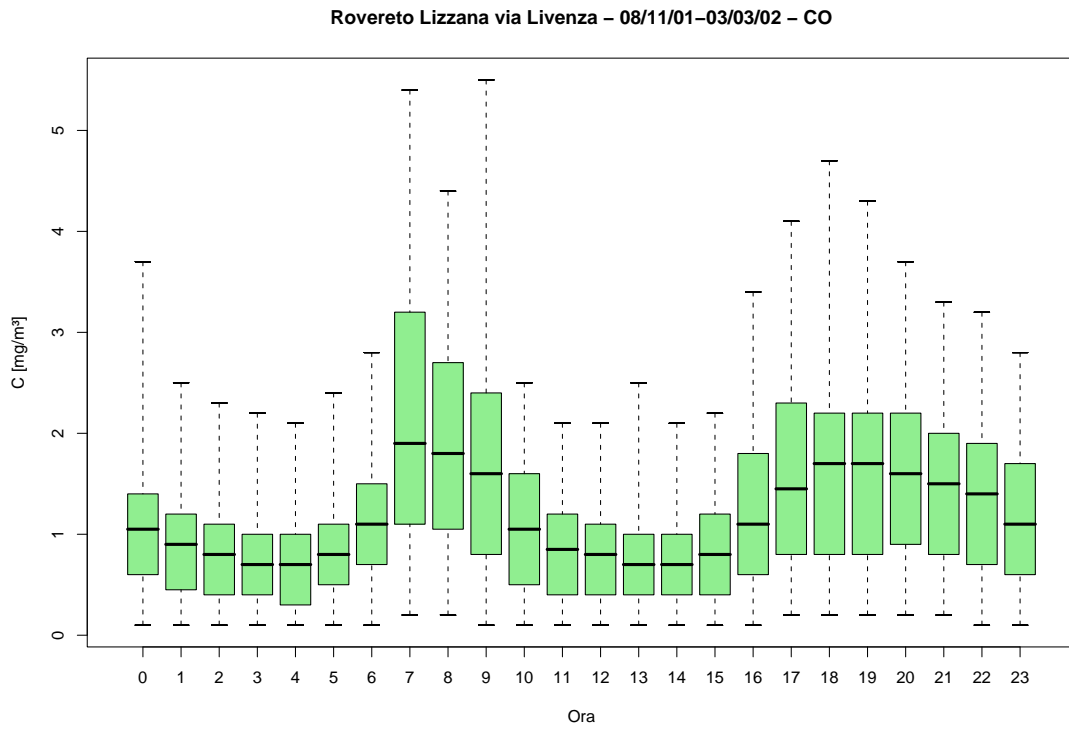


Figura 12.1: Campagna di misura a Rovereto Lizzana via Livenza (08/11/01-03/03/02), inquinante: *CO*. Box-plot relativo all'ora del giorno.

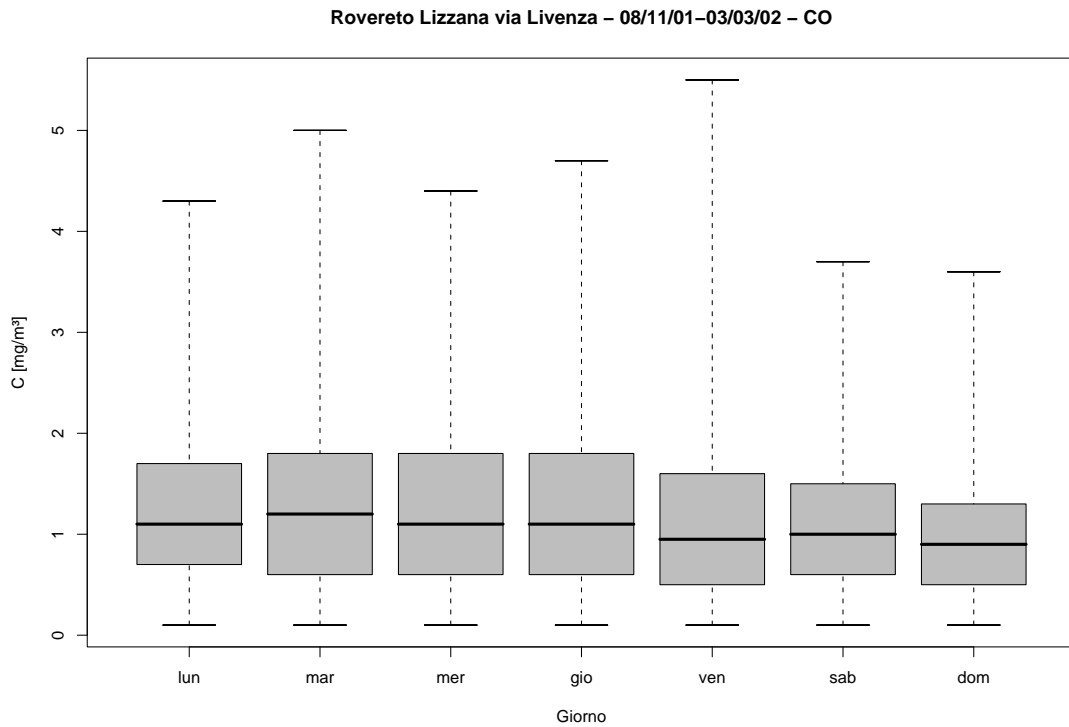


Figura 12.2: Campagna di misura a Rovereto Lizzana via Livenza (08/11/01-03/03/02), inquinante: *CO*. Box-plot relativo al giorno della settimana.

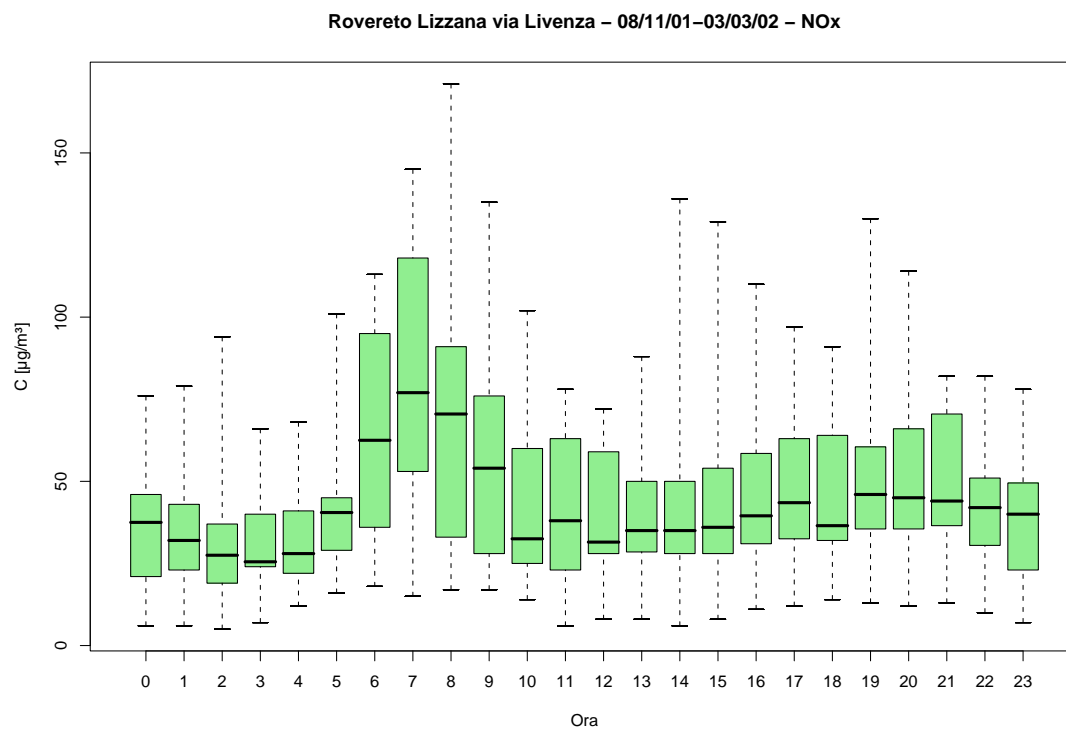


Figura 12.3: Campagna di misura a Rovereto Lizzana via Livenza (08/11/01-03/03/02), inquinante:  $NO_x$ . Box-plot relativo all'ora del giorno.

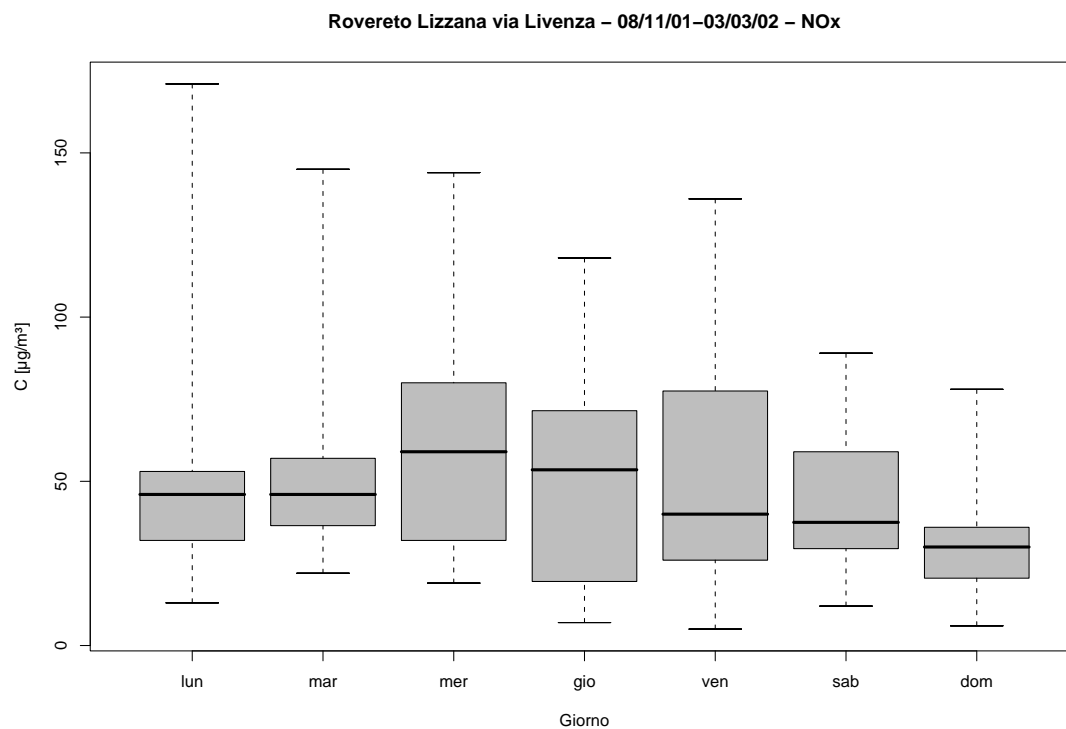


Figura 12.4: Campagna di misura a Rovereto Lizzana via Livenza (08/11/01-03/03/02), inquinante:  $NO_x$ . Box-plot relativo al giorno della settimana.

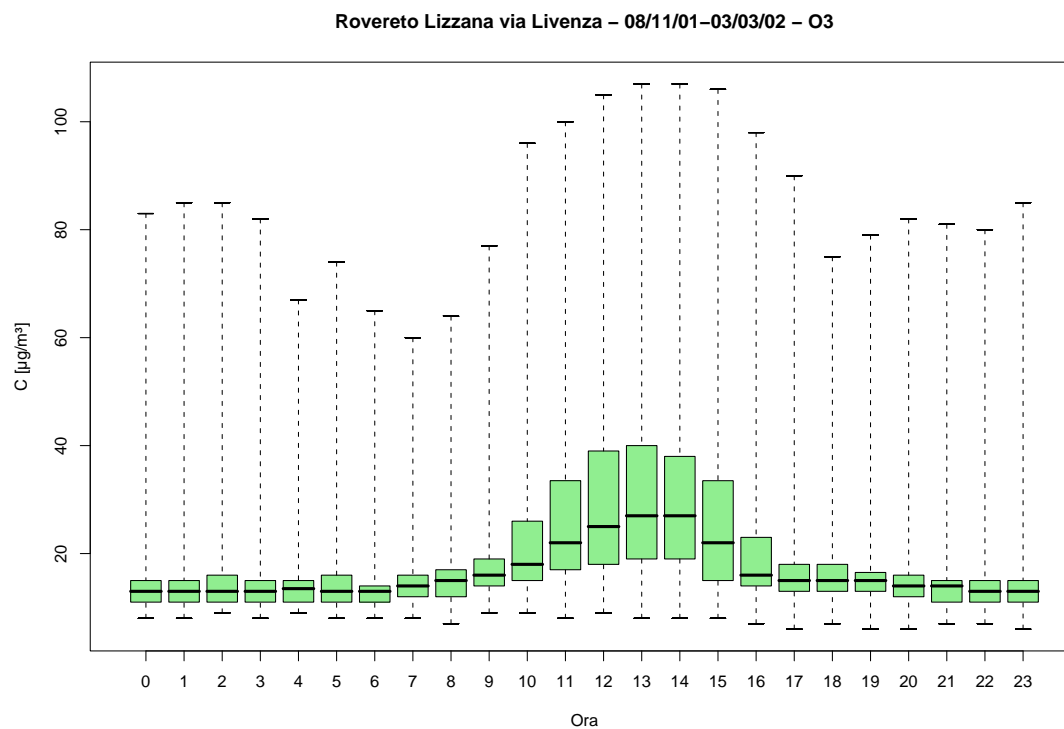


Figura 12.5: Campagna di misura a Rovereto Lizzana via Livenza (08/11/01-03/03/02), inquinante: O<sub>3</sub>. Box-plot relativo all'ora del giorno.

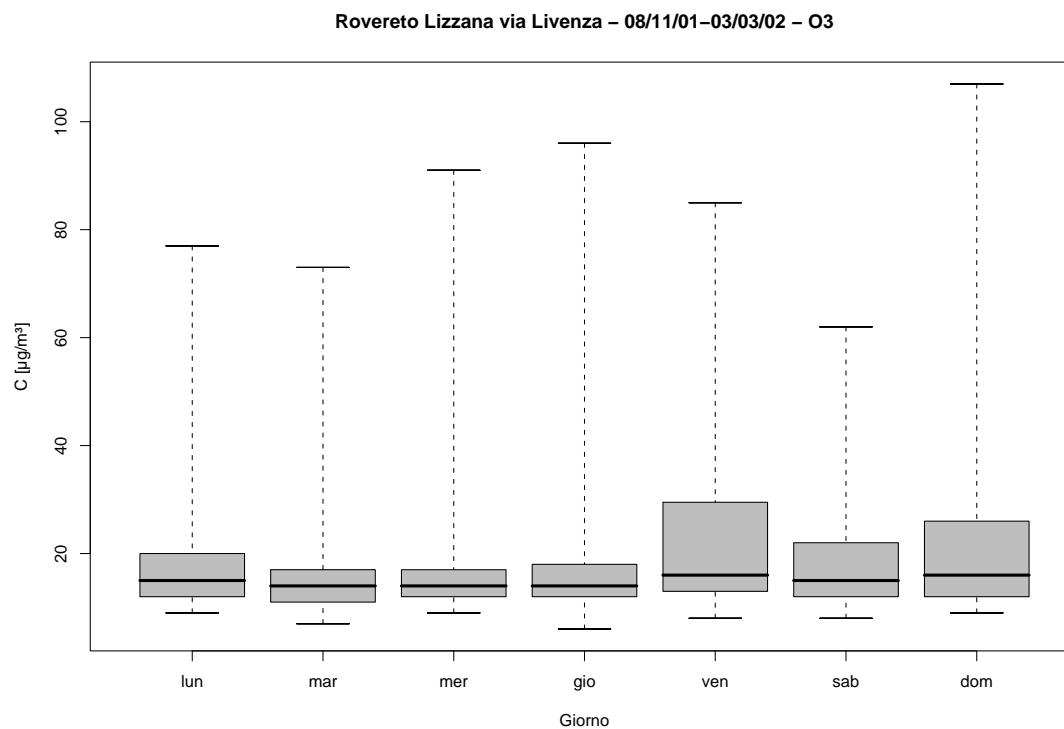


Figura 12.6: Campagna di misura a Rovereto Lizzana via Livenza (08/11/01-03/03/02), inquinante: O<sub>3</sub>. Box-plot relativo al giorno della settimana.

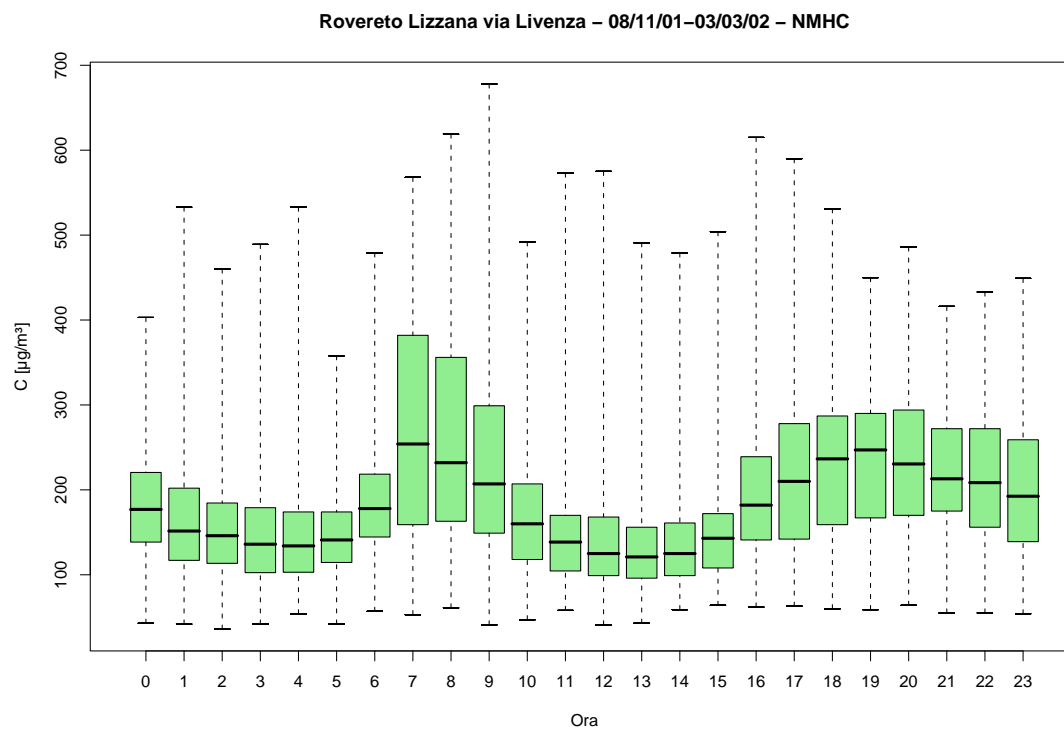


Figura 12.7: Campagna di misura a Rovereto Lizzana via Livenza (08/11/01-03/03/02), inquinante: *NMHC*. Box-plot relativo all'ora del giorno.

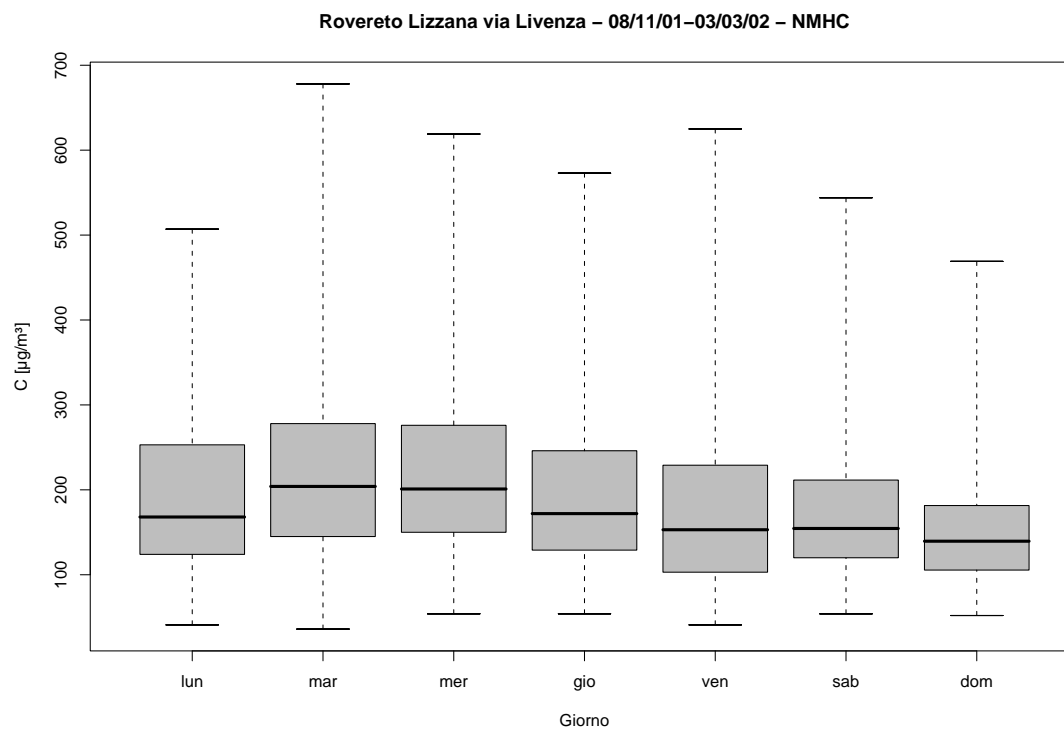


Figura 12.8: Campagna di misura a Rovereto Lizzana via Livenza (08/11/01-03/03/02), inquinante: *NMHC*. Box-plot relativo al giorno della settimana.

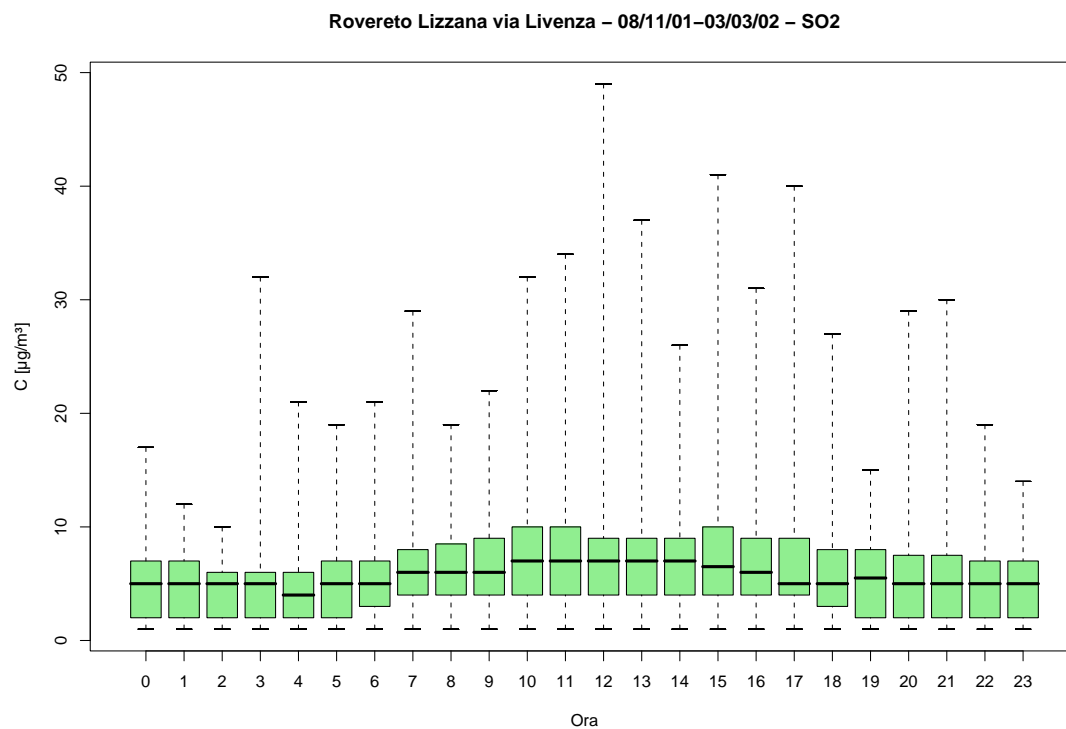


Figura 12.9: Campagna di misura a Rovereto Lizzana via Livenza (08/11/01-03/03/02), inquinante:  $\text{SO}_2$ . Box-plot relativo all'ora del giorno.

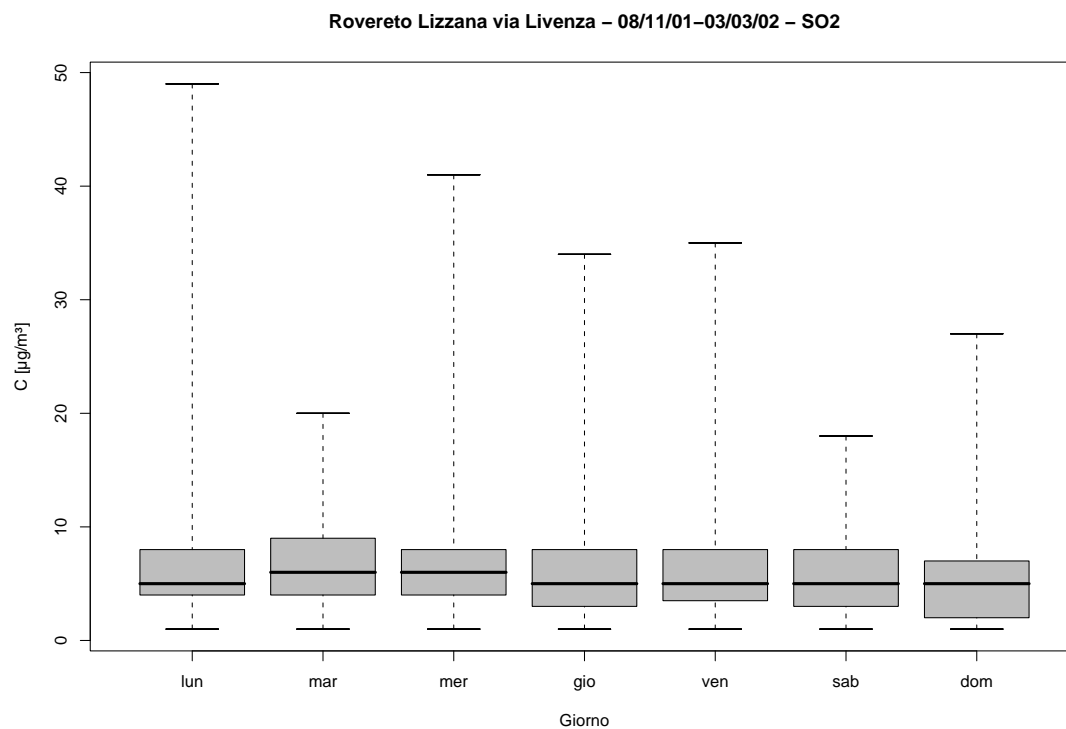


Figura 12.10: Campagna di misura a Rovereto Lizzana via Livenza (08/11/01-03/03/02), inquinante:  $\text{SO}_2$ . Box-plot relativo al giorno della settimana.



Rovereto Lizzana via Livenza - 08/11/01 - 03/03/02  
distribuzioni in frequenza e correlazioni

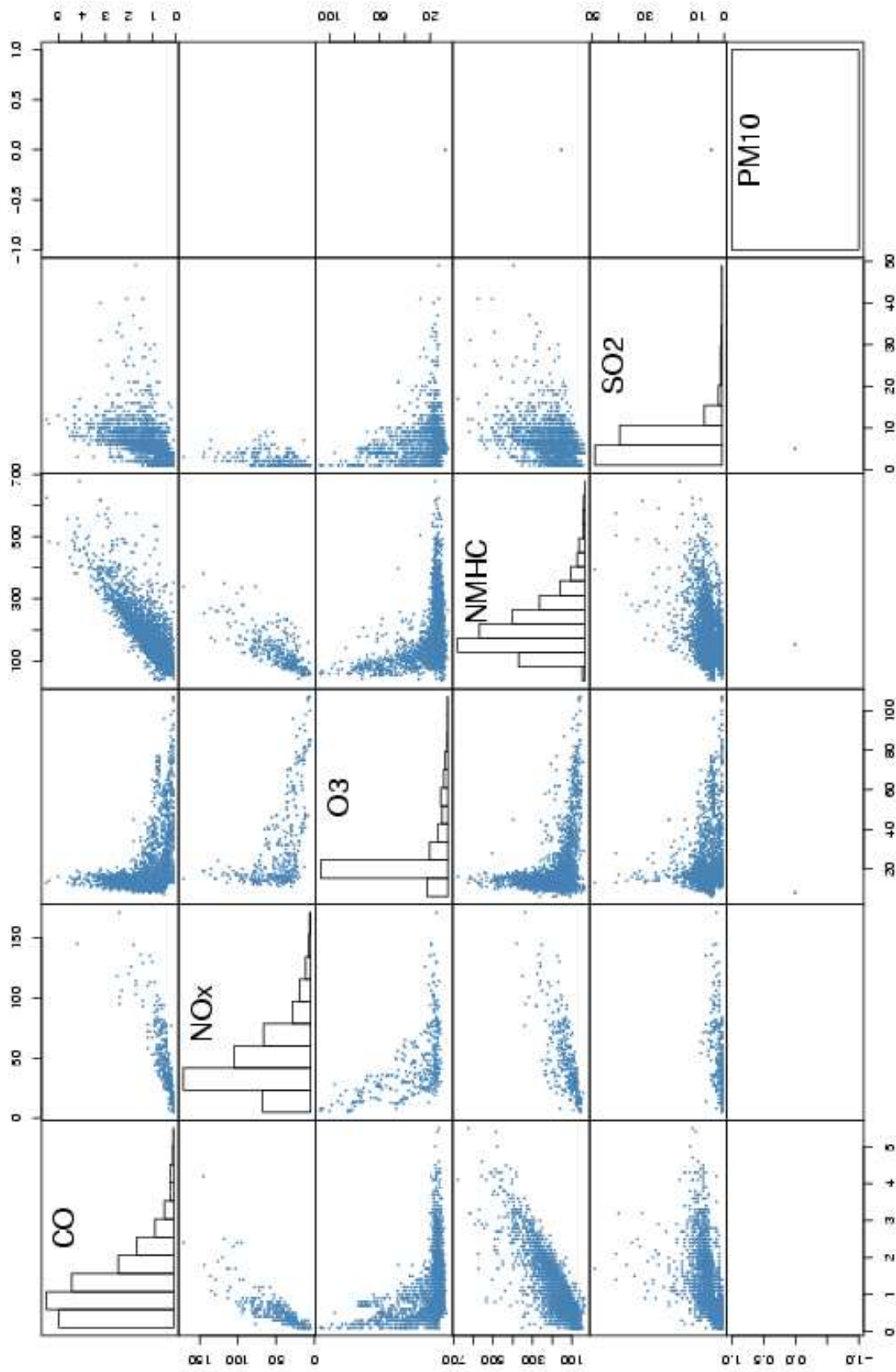
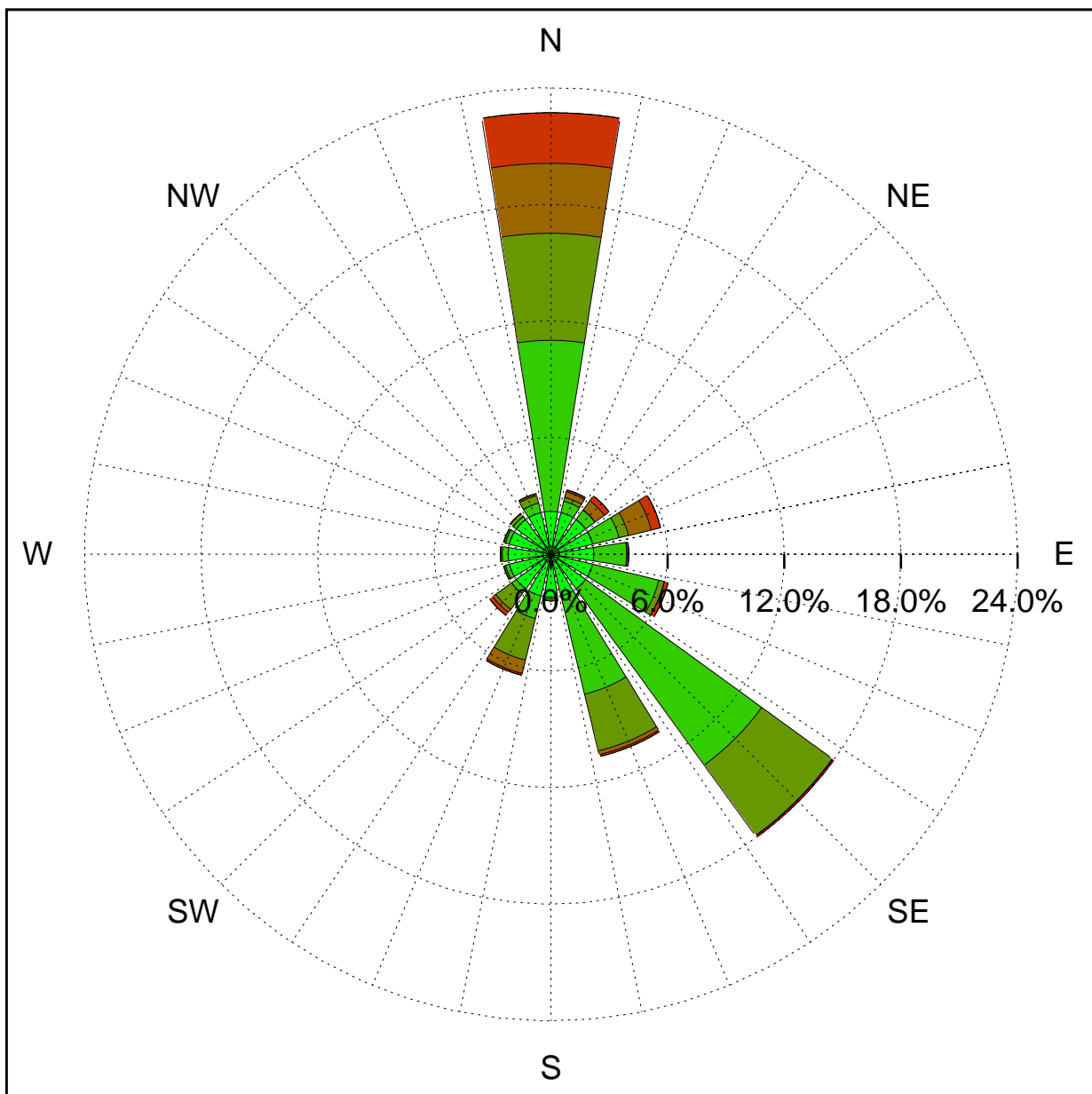


Figura 12.11: Campagna di misura a Rovereto Lizzana via Livenza (08/11/01-03/03/02).  
Distribuzioni in frequenza e correlazioni.

Sito di misura: Rovereto Lizzana



Legenda - velocità [m/s]	
v ≥ 5.0	
3.0 ≤ v < 5.0	
2.0 ≤ v < 3.0	
1.0 ≤ v < 2.0	
0.5 ≤ v < 1.0	
calma (v < 0.5)	

Figura 12.12: Campagna di misura a Rovereto Lizzana via Livenza (08/11/01-03/03/02). Rosa dei venti.

# 13 Campagna di misura a Tesero località Lago

**Campagna di misura** dal 28/12/01 al 14/01/02

**Inquinanti rilevati:**  $CO$ ,  $NO_x$ ,  $O_3$ ,  $NMHC$ ,  $SO_2$

**Parametri meteorologici misurati:** velocità del vento, direzione del vento, temperatura, umidità relativa

**Note:** I dati ottenuti mettono in evidenza un ciclo giornaliero per tutti gli inquinanti che mostra un picco molto netto tra le ore 8 e le ore 10 del mattino e dei valori molto elevati tra le 16 e le 20. L'andamento dello  $O_3$  presenta un picco marcato con concentrazioni massime tra le ore 12 e le ore 13. I cicli settimanali sono diversi per ogni inquinante e non presentano caratteristiche significative, così come non sembrano significativi i dati relativi alle concentrazioni di  $SO_2$ .

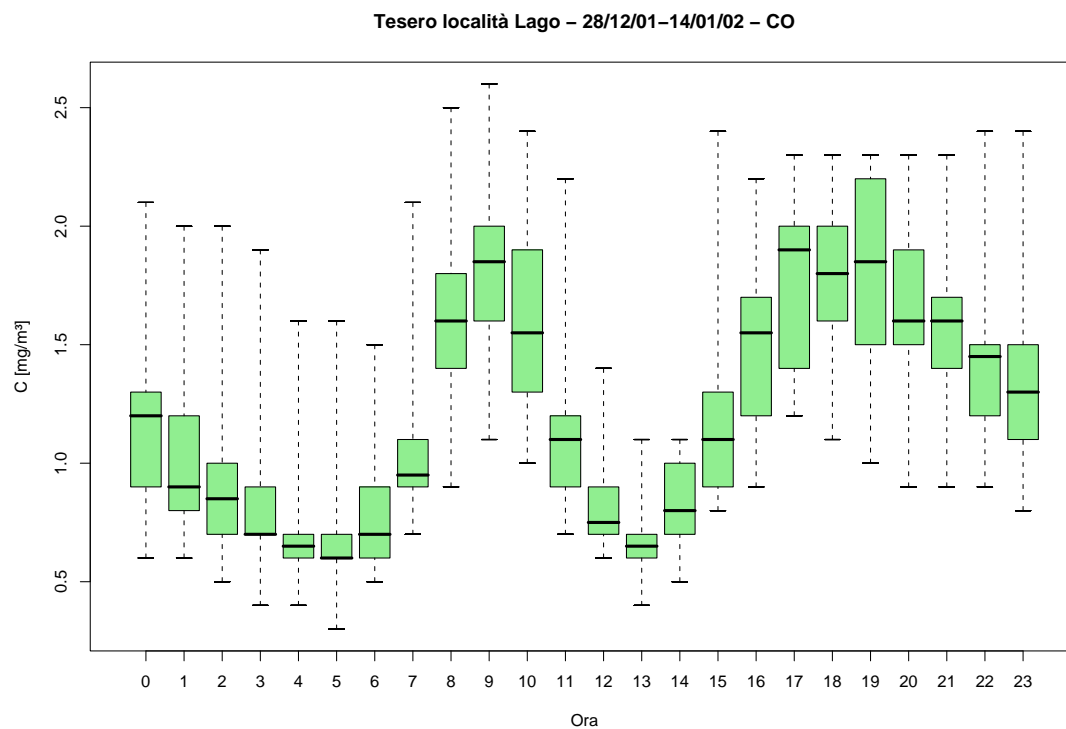


Figura 13.1: Campagna di misura a Tesero località Lago (28/12/01-14/01/02), inquinante: *CO*.  
Box-plot relativo all'ora del giorno.

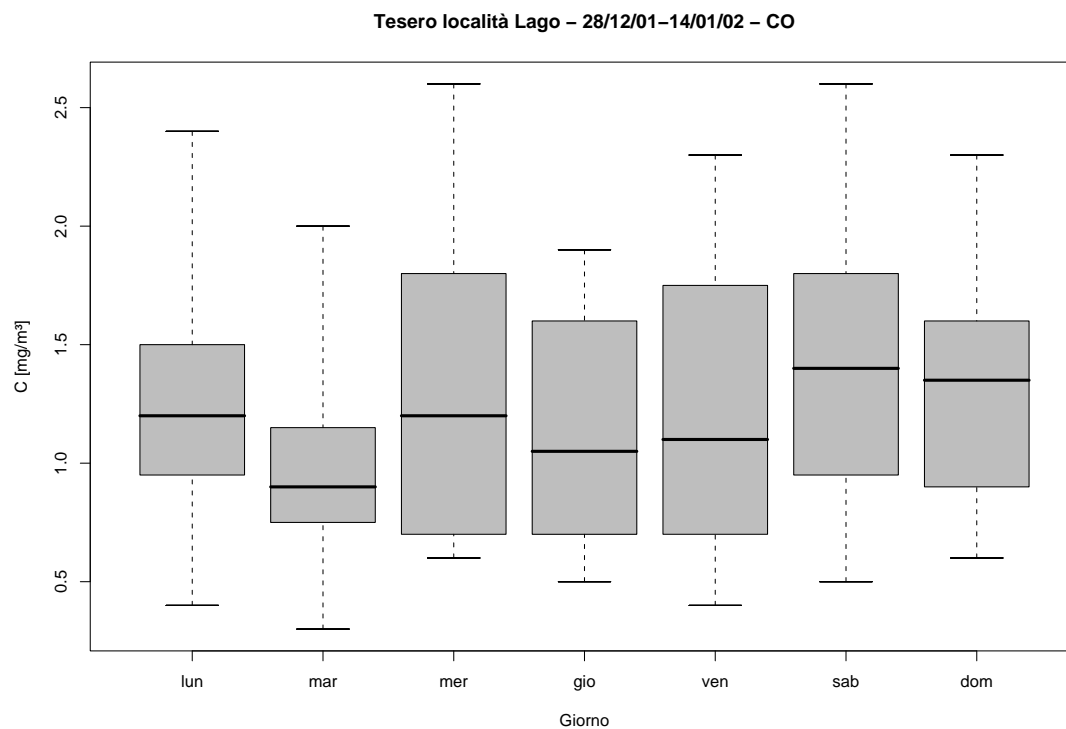


Figura 13.2: Campagna di misura a Tesero località Lago (28/12/01-14/01/02), inquinante: *CO*.  
Box-plot relativo al giorno della settimana.

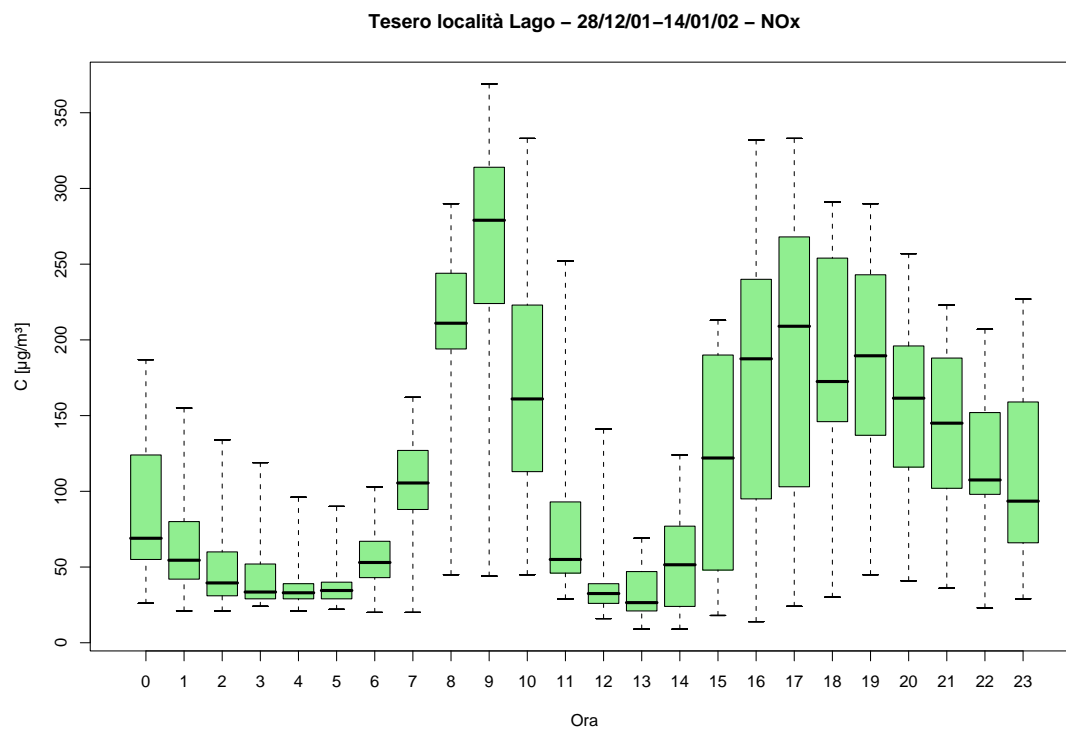


Figura 13.3: Campagna di misura a Tesero località Lago (28/12/01-14/01/02), inquinante:  $NO_x$ . Box-plot relativo all'ora del giorno.

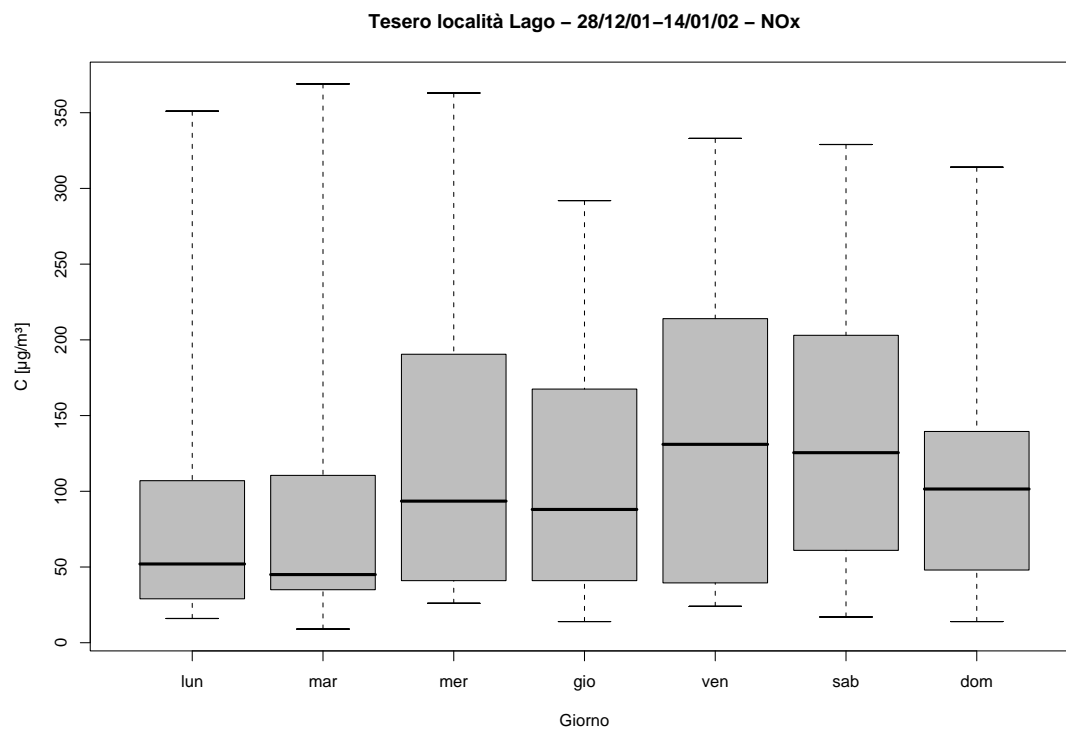


Figura 13.4: Campagna di misura a Tesero località Lago (28/12/01-14/01/02), inquinante:  $NO_x$ . Box-plot relativo al giorno della settimana.

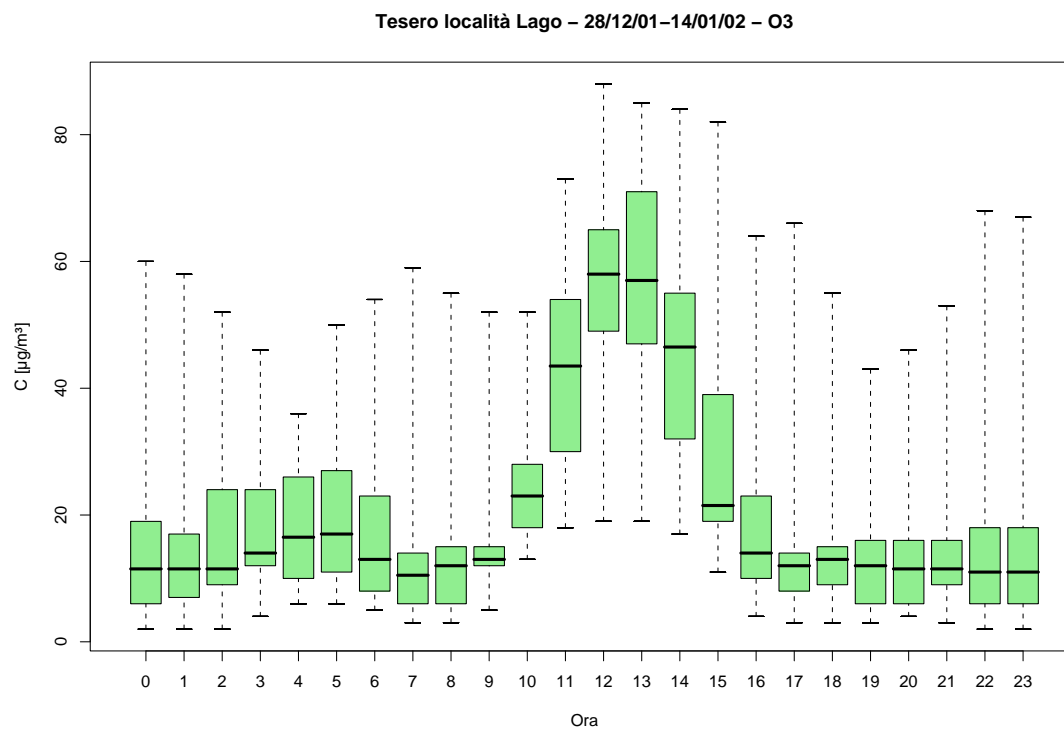


Figura 13.5: Campagna di misura a Tesero località Lago (28/12/01-14/01/02), inquinante:  $O_3$ . Box-plot relativo all'ora del giorno.

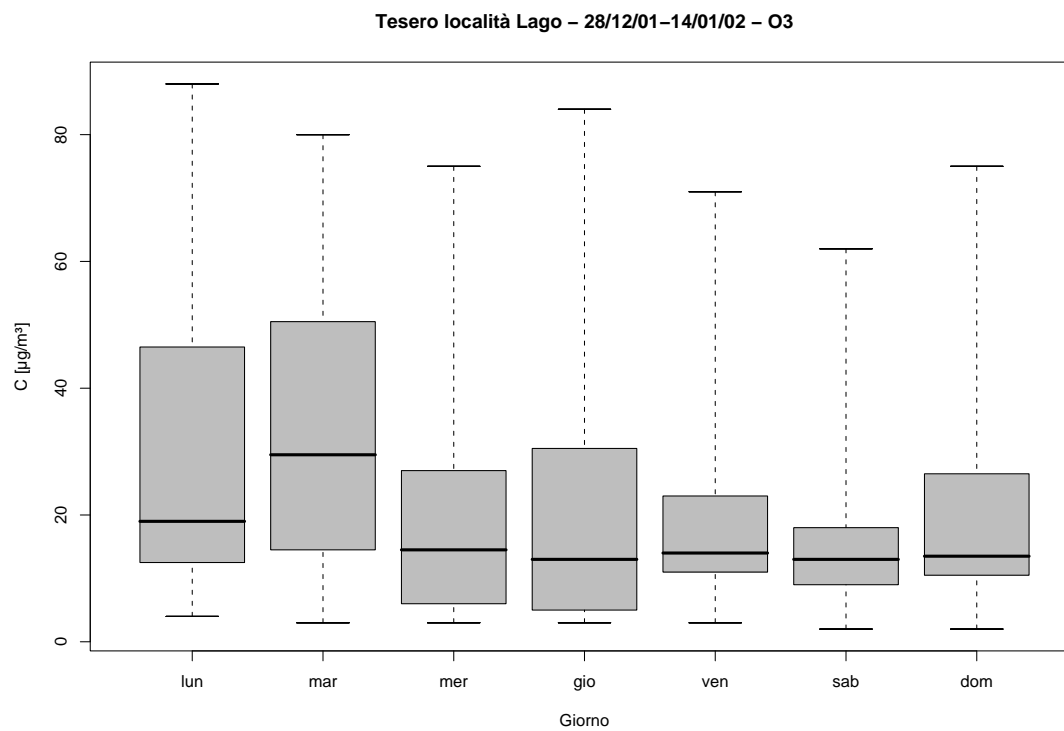


Figura 13.6: Campagna di misura a Tesero località Lago (28/12/01-14/01/02), inquinante:  $O_3$ . Box-plot relativo al giorno della settimana.

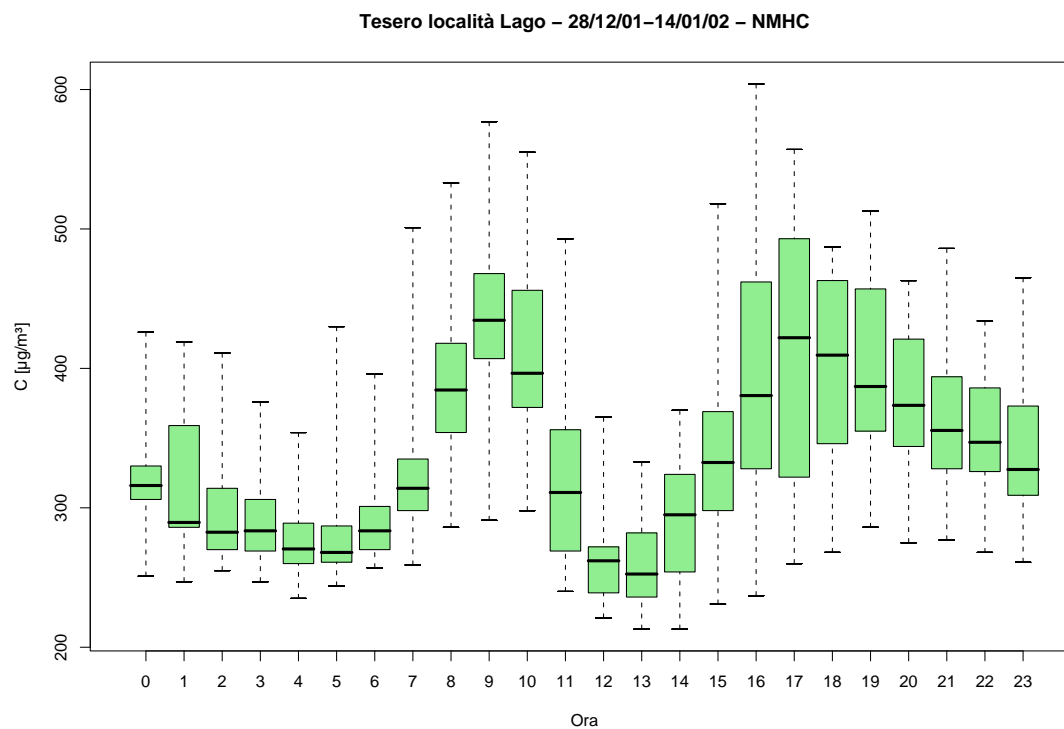


Figura 13.7: Campagna di misura a Tesero località Lago (28/12/01-14/01/02), inquinante: *NMHC*. Box-plot relativo all'ora del giorno.

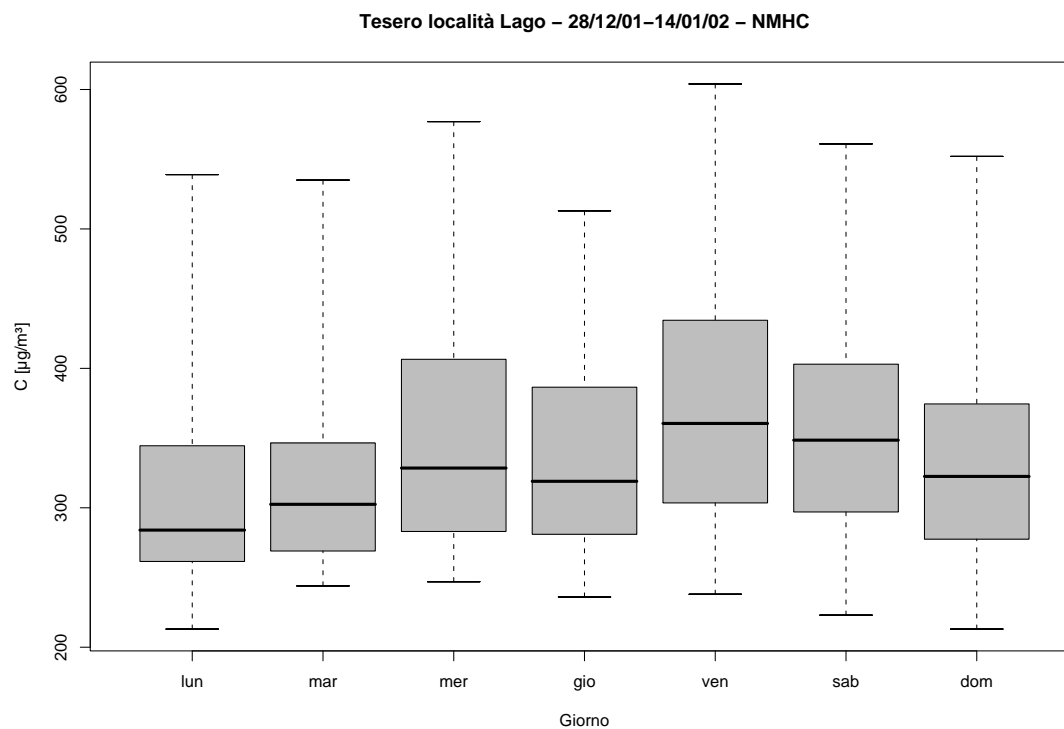


Figura 13.8: Campagna di misura a Tesero località Lago (28/12/01-14/01/02), inquinante: *NMHC*. Box-plot relativo al giorno della settimana.

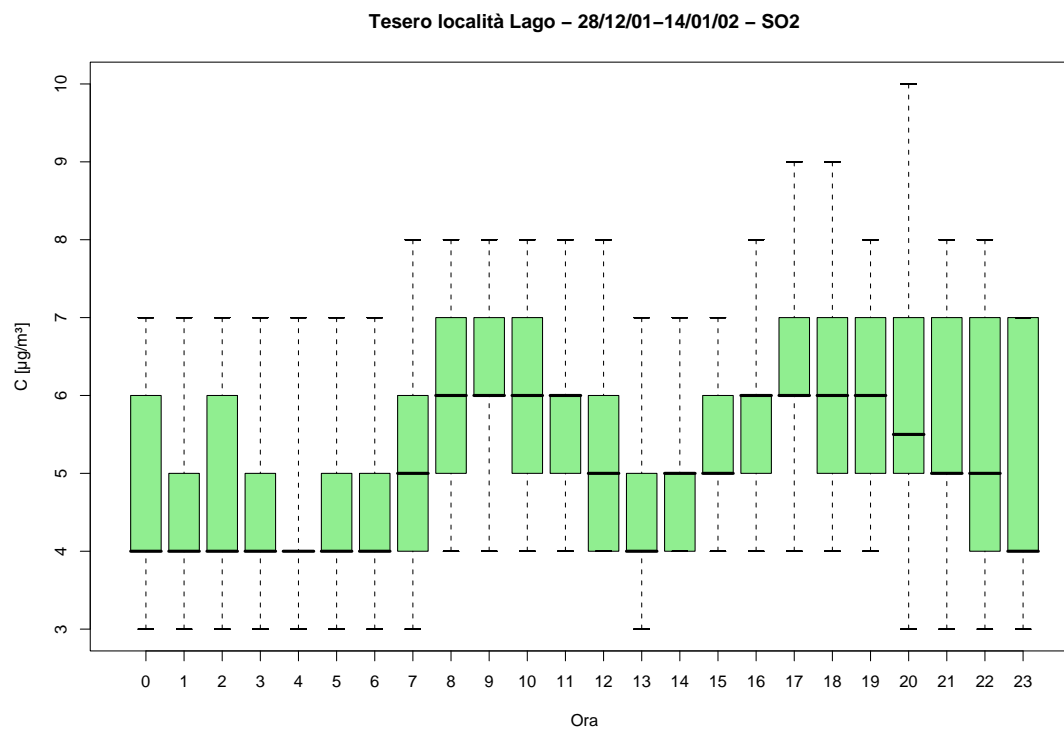


Figura 13.9: Campagna di misura a Tesero località Lago (28/12/01-14/01/02), inquinante:  $SO_2$ . Box-plot relativo all'ora del giorno.

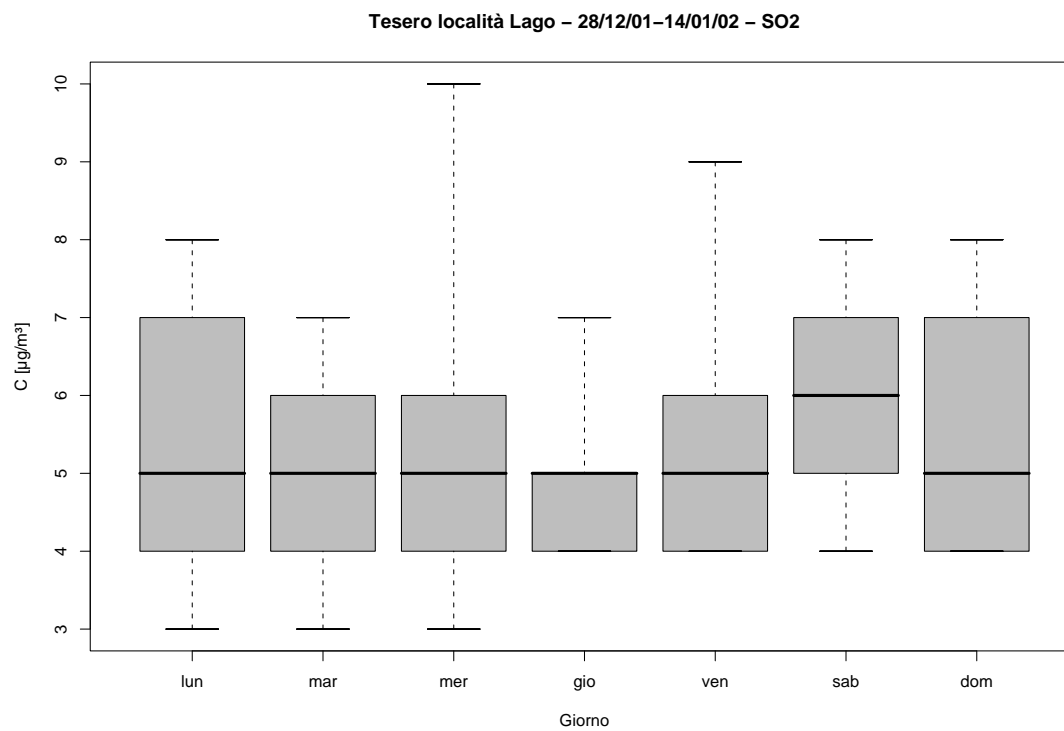


Figura 13.10: Campagna di misura a Tesero località Lago (28/12/01-14/01/02), inquinante:  $SO_2$ . Box-plot relativo al giorno della settimana.



Tesero località Lago - 28/12/01 - 14/01/02  
distribuzioni in frequenza e correlazioni

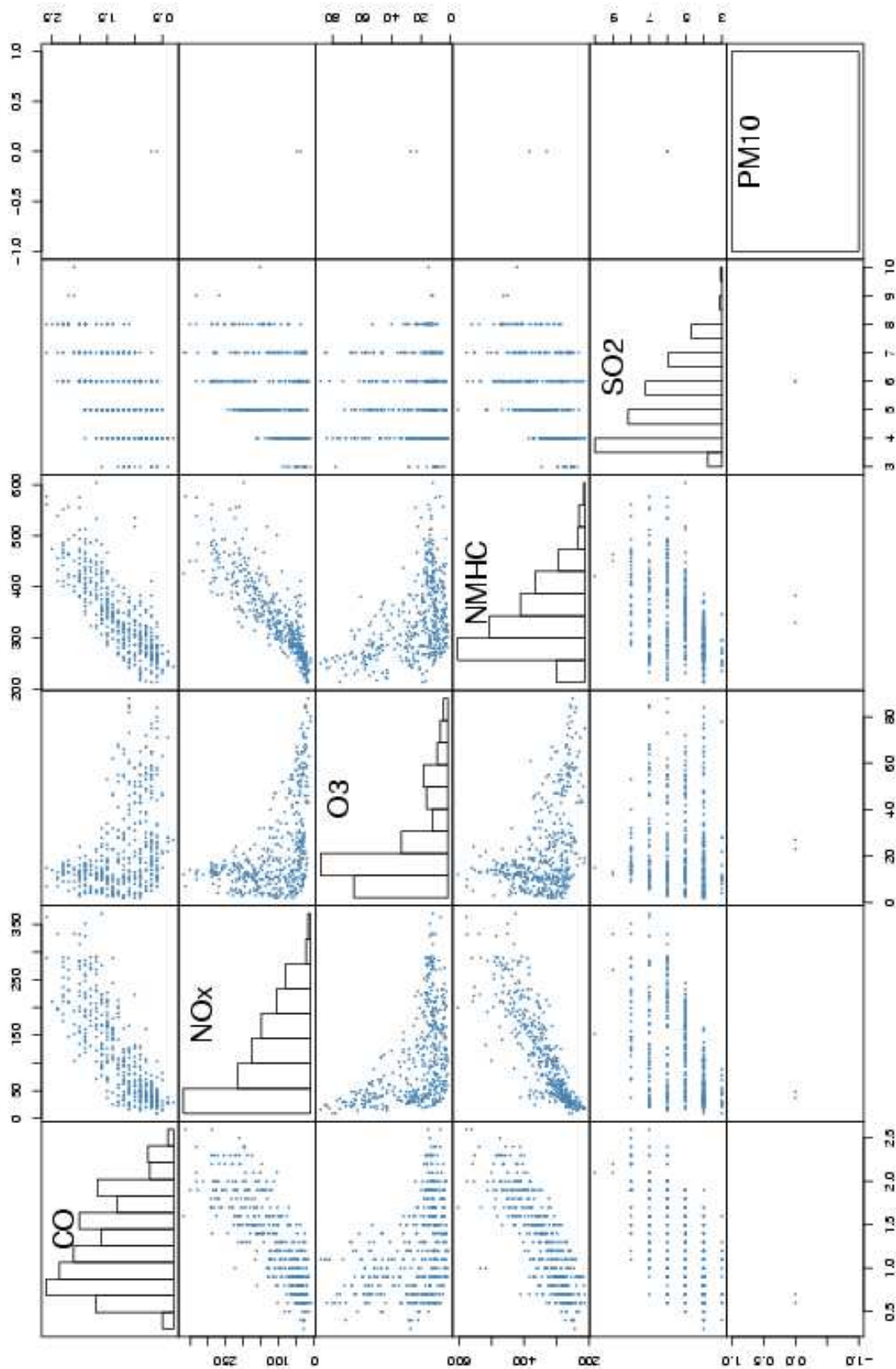


Figura 13.11: Campagna di misura a Tesero località Lago (28/12/01-14/01/02). Distribuzioni in frequenza e correlazioni.

Sito di misura: Tesero località Lago

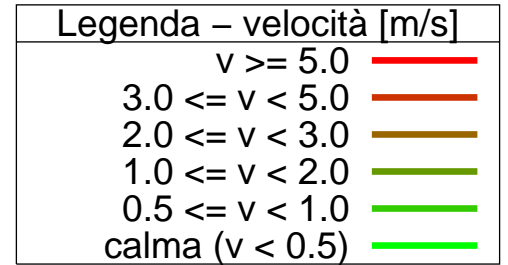
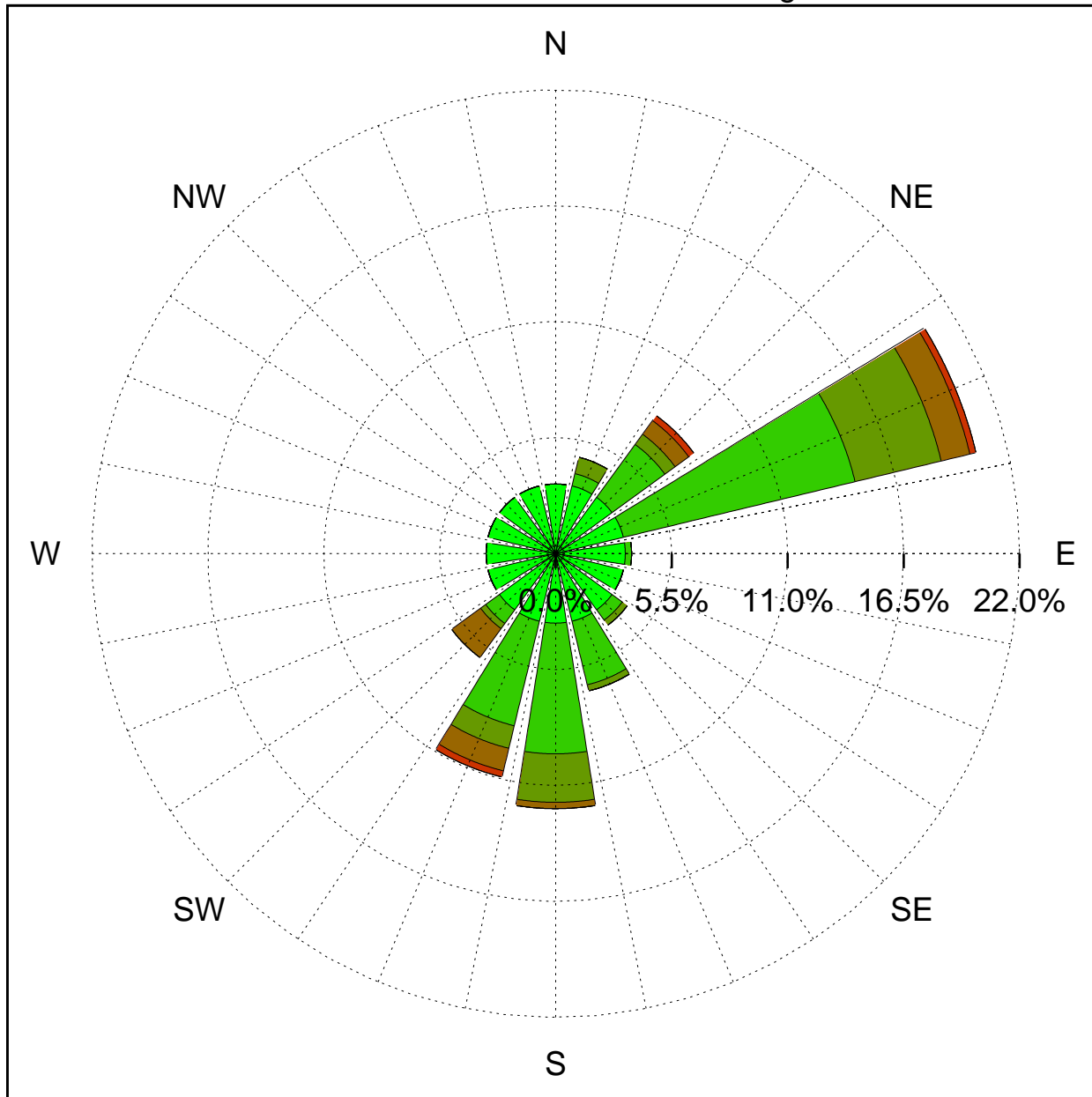


Figura 13.12: Campagna di misura a Tesero località Lago (28/12/01-14/01/02). Rosa dei venti.  
105

# 14 Campagna di misura a Imer discarica comprensoriale

**Campagna di misura** dal 15/01/02 al 28/01/02

**Inquinanti rilevati:**  $CO$ ,  $NO_x$ ,  $O_3$ ,  $NMHC$ ,  $SO_2$

**Parametri meteorologici misurati:** velocità del vento, direzione del vento, temperatura, umidità relativa

**Note:** Le concentrazioni di  $NO_x$  e  $CO$  presentano un ciclo evidente giornaliero che ha i massimi tra le 9 e le 11. Valori elevati si hanno anche dopo le 19 per il  $CO$  e tra le 18 e le 20 per gli ossidi di azoto. L'ozono presenta concentrazioni massime tra le 13 e le 14. Non vi sono cicli settimanali chiaramente identificabili e concordi tra i vari inquinanti. Non significativi sono i dati relativi alla  $SO_2$  mentre si riscontrano valori elevatissimi di  $NMHC$  verosimilmente legati alla presenza della discarica comprensoriale e ai relativi processi di fermentazione che si sviluppano all'interno del deposito dei residui organici. Probabilmente a ciò è dovuto l'andamento giornaliero riscontrato che presenta concentrazioni più elevate nelle ore più calde.

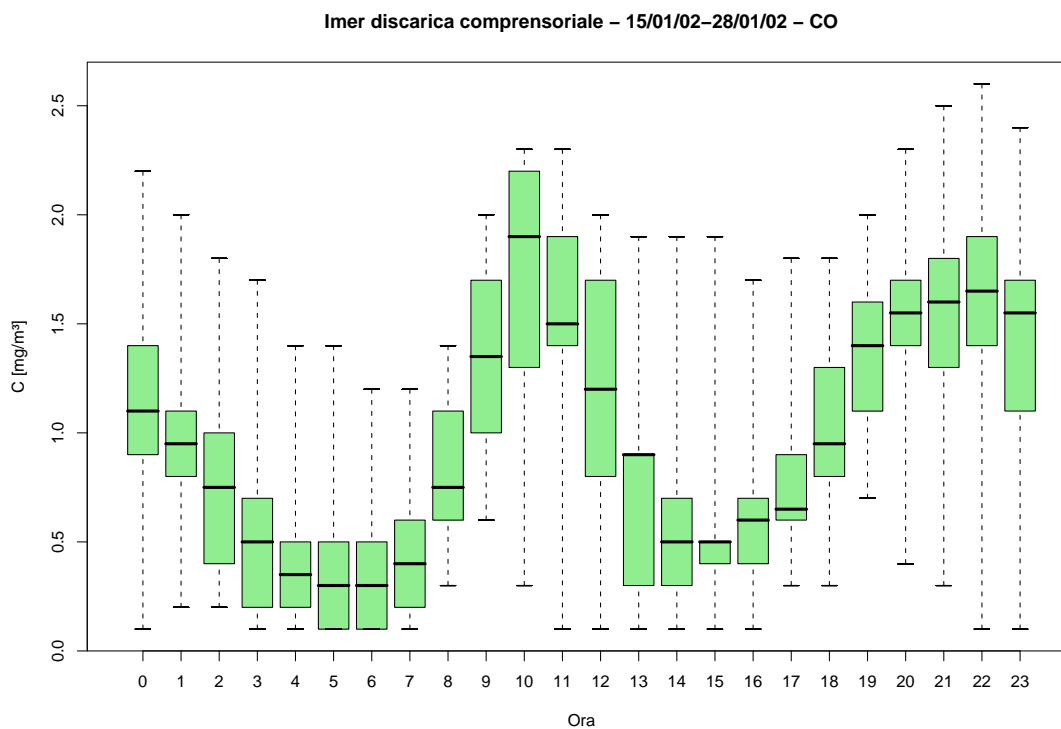


Figura 14.1: Campagna di misura a Imer discarica compressoriale (15/01/02-28/01/02), inquinante: *CO*. Box-plot relativo all'ora del giorno.

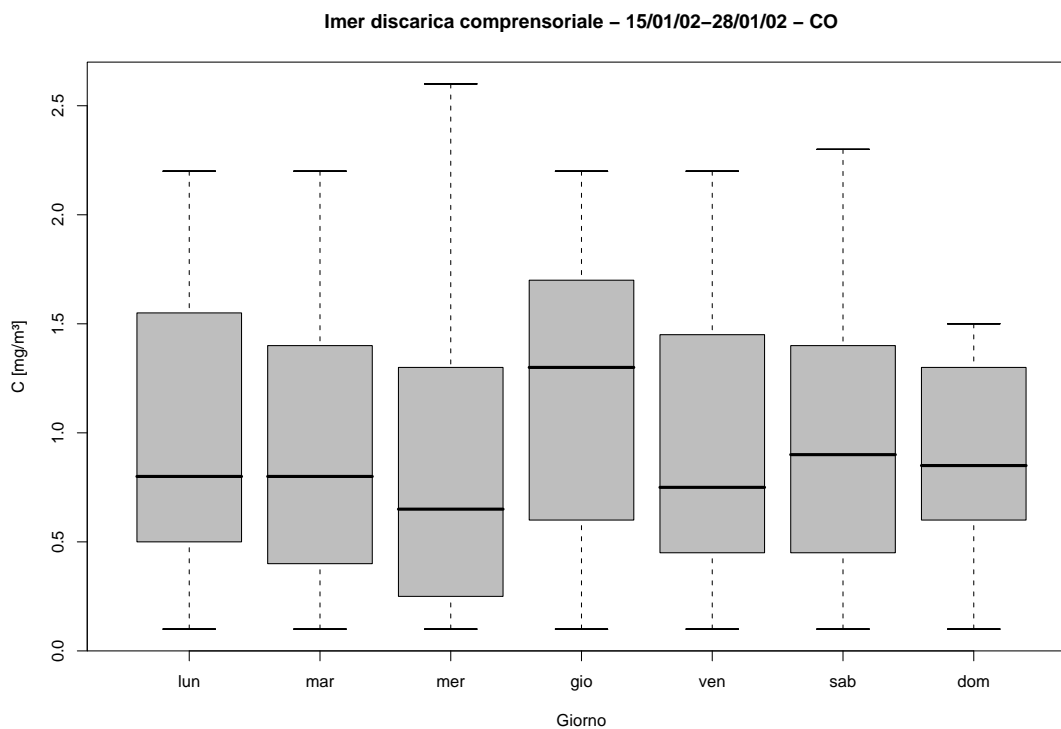


Figura 14.2: Campagna di misura a Imer discarica compressoriale (15/01/02-28/01/02), inquinante: *CO*. Box-plot relativo al giorno della settimana.

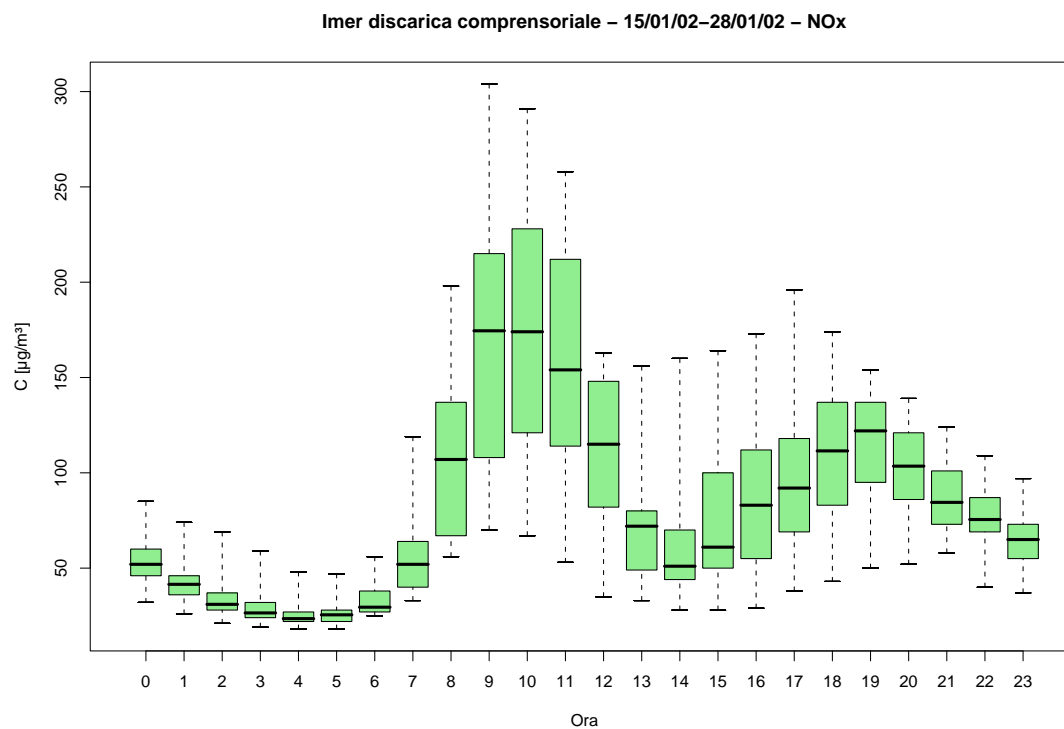


Figura 14.3: Campagna di misura a Imer discarica comprensoriale (15/01/02-28/01/02), inquinante:  $NO_x$ . Box-plot relativo all'ora del giorno.

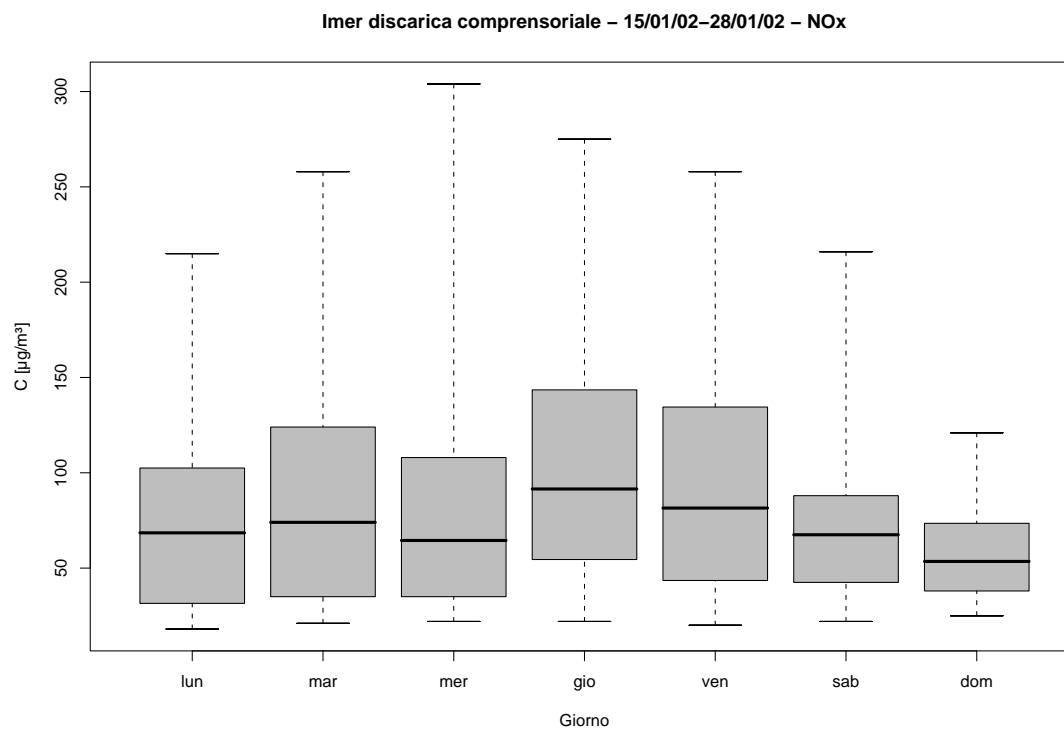


Figura 14.4: Campagna di misura a Imer discarica comprensoriale (15/01/02-28/01/02), inquinante:  $NO_x$ . Box-plot relativo al giorno della settimana.

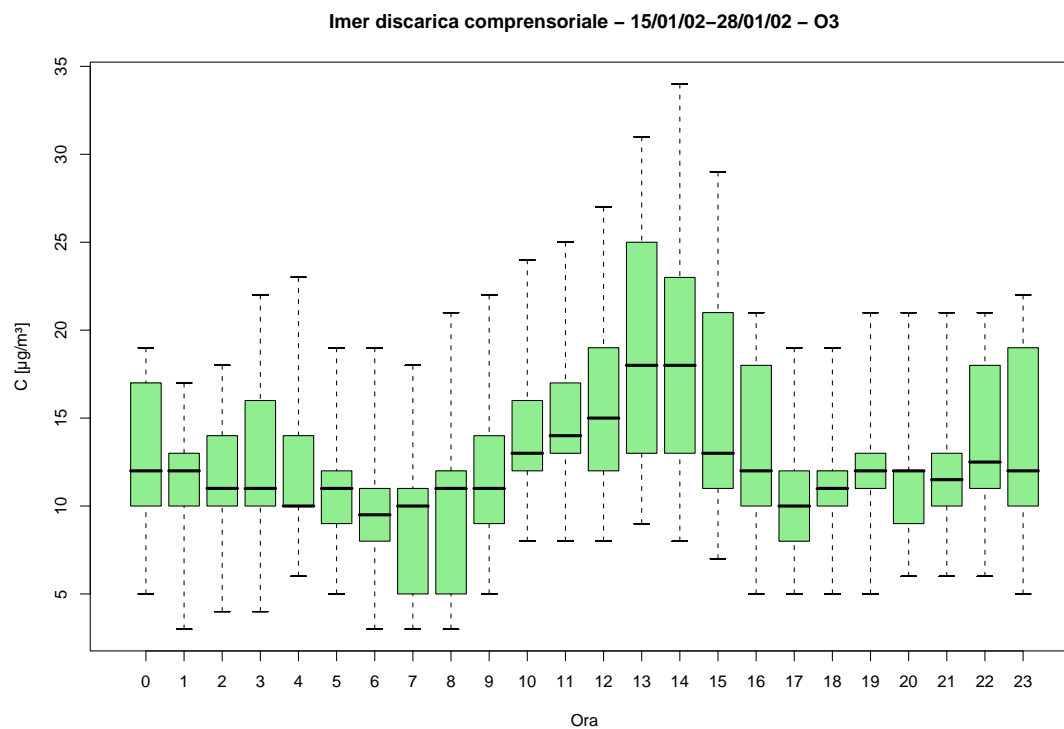


Figura 14.5: Campagna di misura a Imer discarica compressoriale (15/01/02-28/01/02), inquinante:  $O_3$ . Box-plot relativo all'ora del giorno.

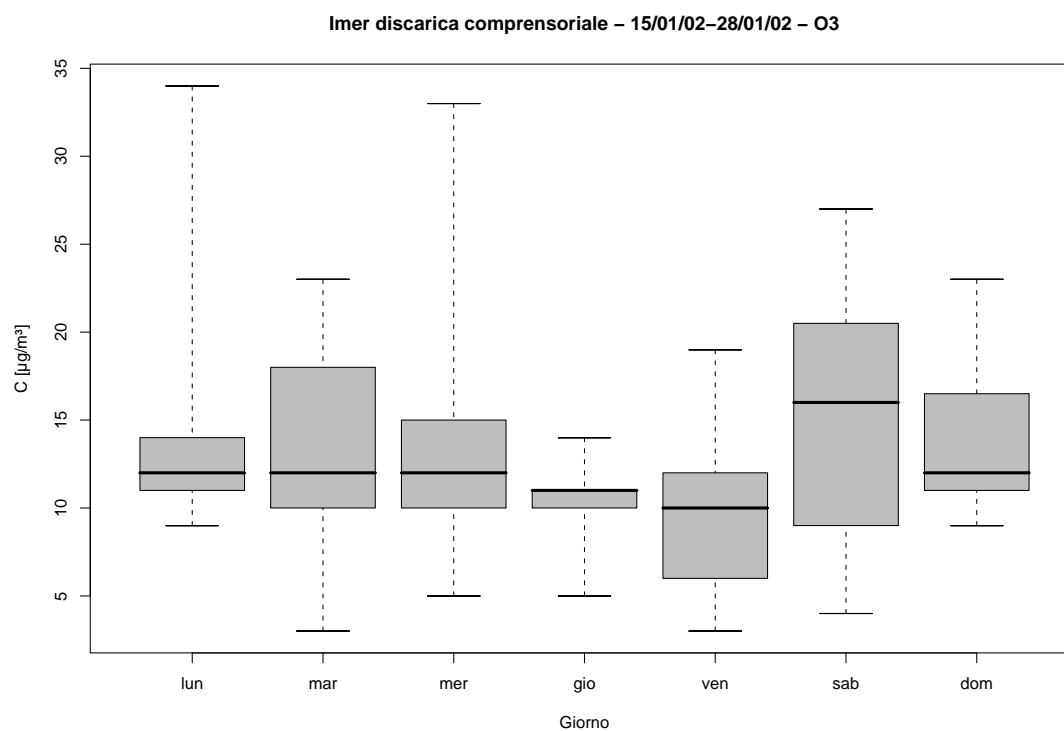


Figura 14.6: Campagna di misura a Imer discarica compressoriale (15/01/02-28/01/02), inquinante:  $O_3$ . Box-plot relativo al giorno della settimana.

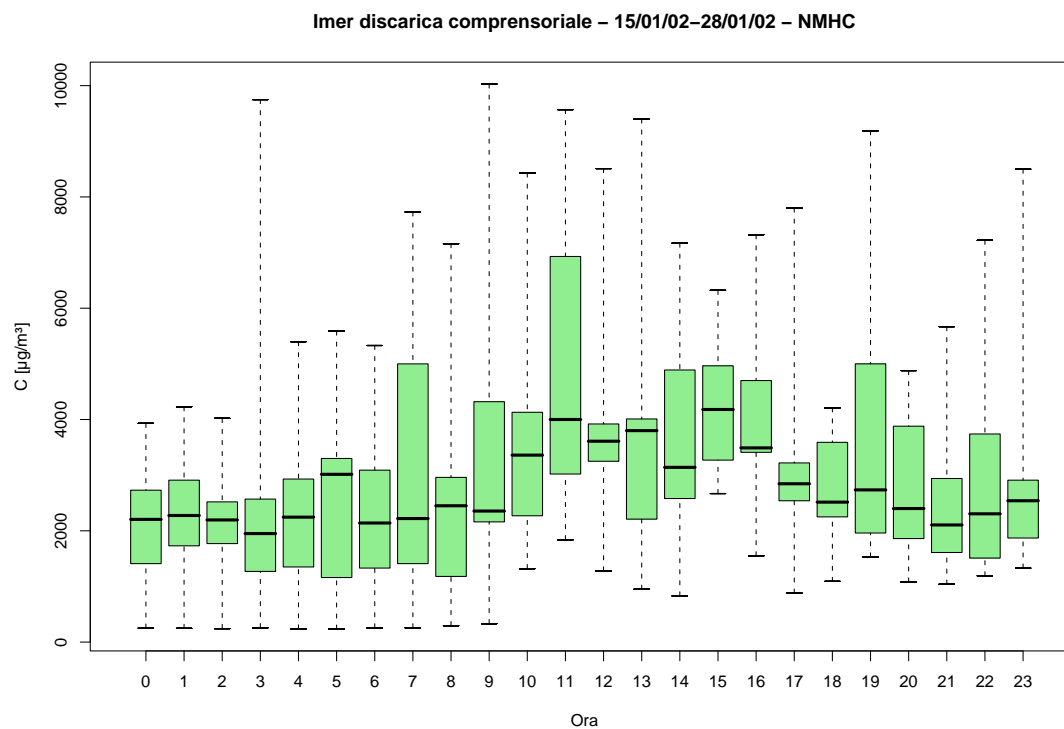


Figura 14.7: Campagna di misura a Imer discarica compressoriale (15/01/02-28/01/02), inquinante: *NMHC*. Box-plot relativo all'ora del giorno.

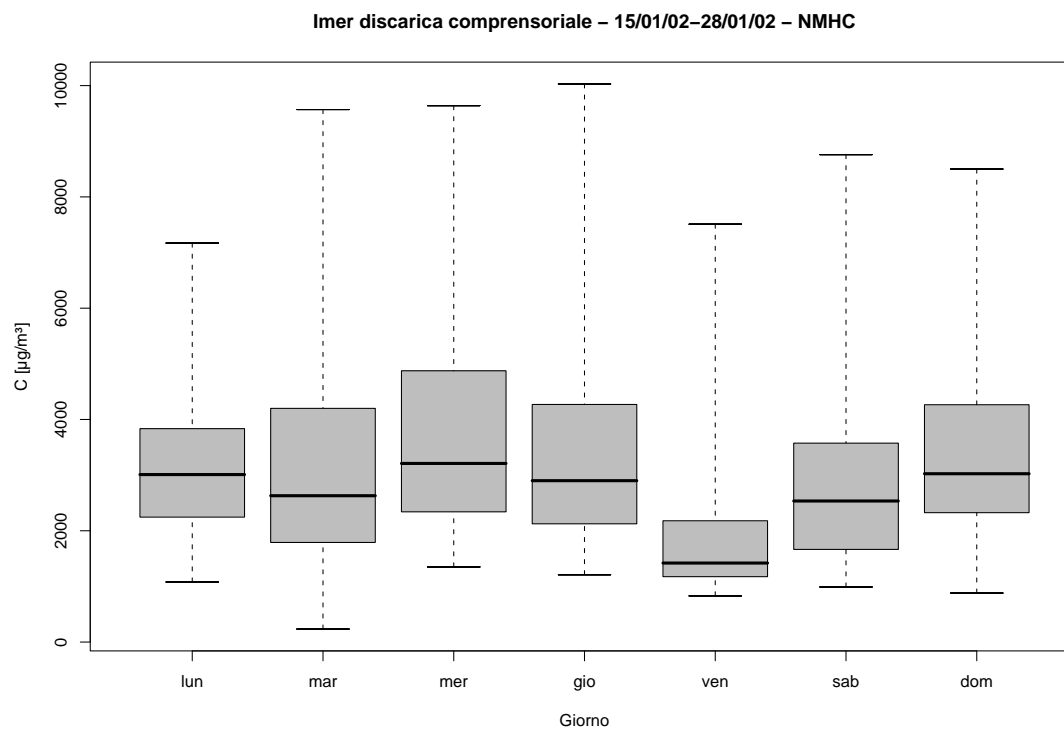


Figura 14.8: Campagna di misura a Imer discarica compressoriale (15/01/02-28/01/02), inquinante: *NMHC*. Box-plot relativo al giorno della settimana.

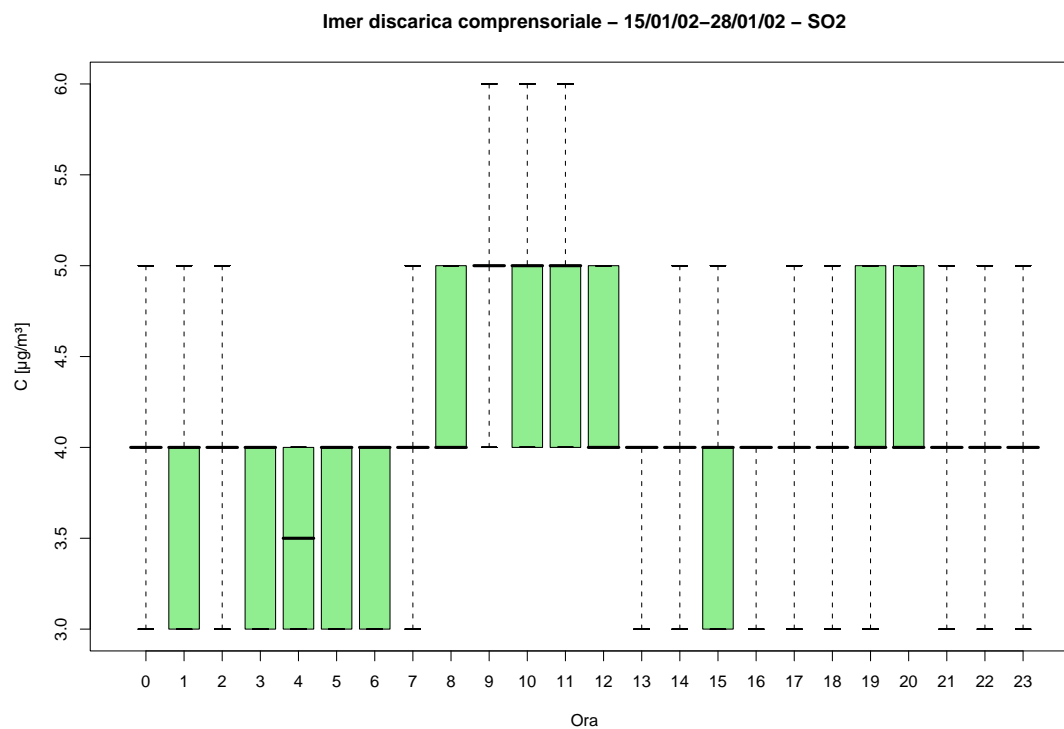


Figura 14.9: Campagna di misura a Imer discarica comprensoriale (15/01/02-28/01/02), inquinante:  $SO_2$ . Box-plot relativo all'ora del giorno.

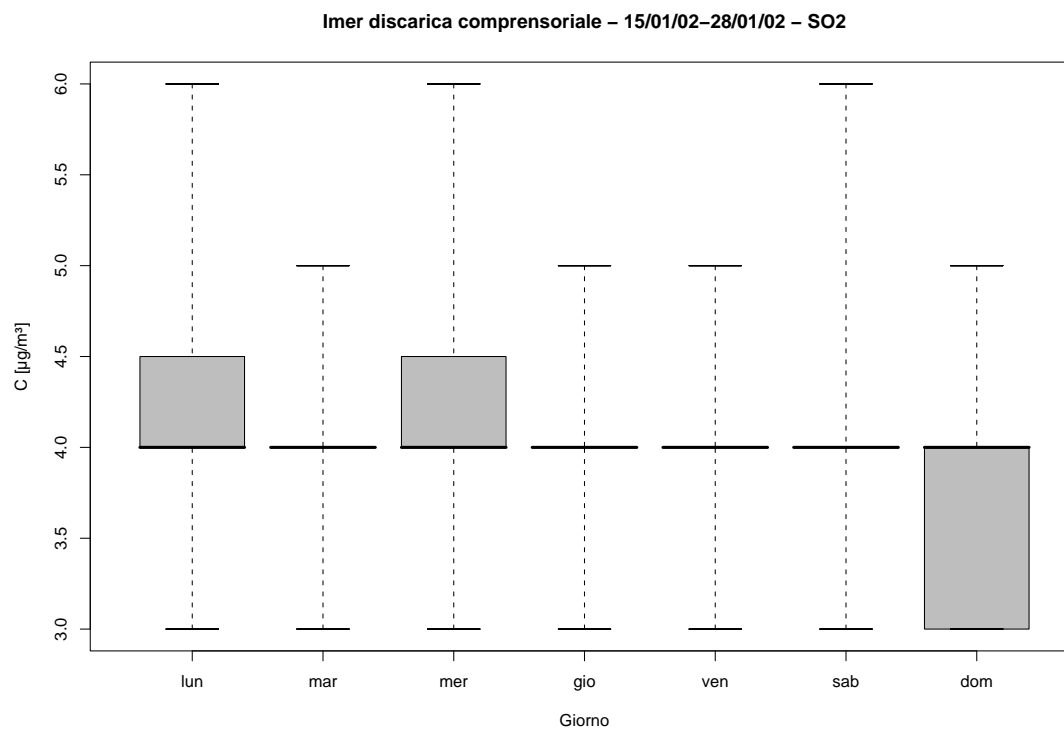


Figura 14.10: Campagna di misura a Imer discarica comprensoriale (15/01/02-28/01/02), inquinante:  $SO_2$ . Box-plot relativo al giorno della settimana.



Imer discarica comprensoriale - 15/01/02-28/01/02  
distribuzioni in frequenza e correlazioni

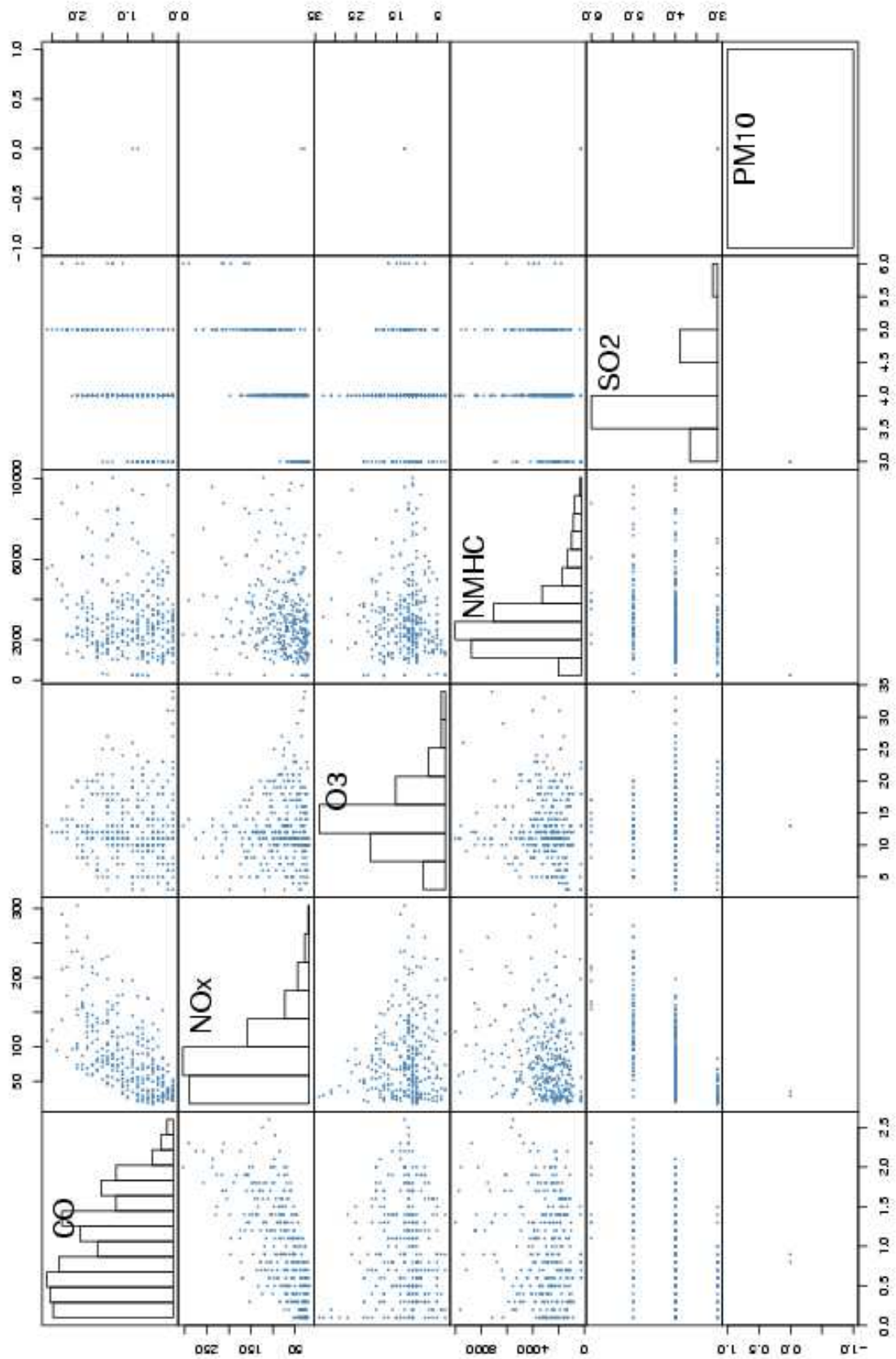
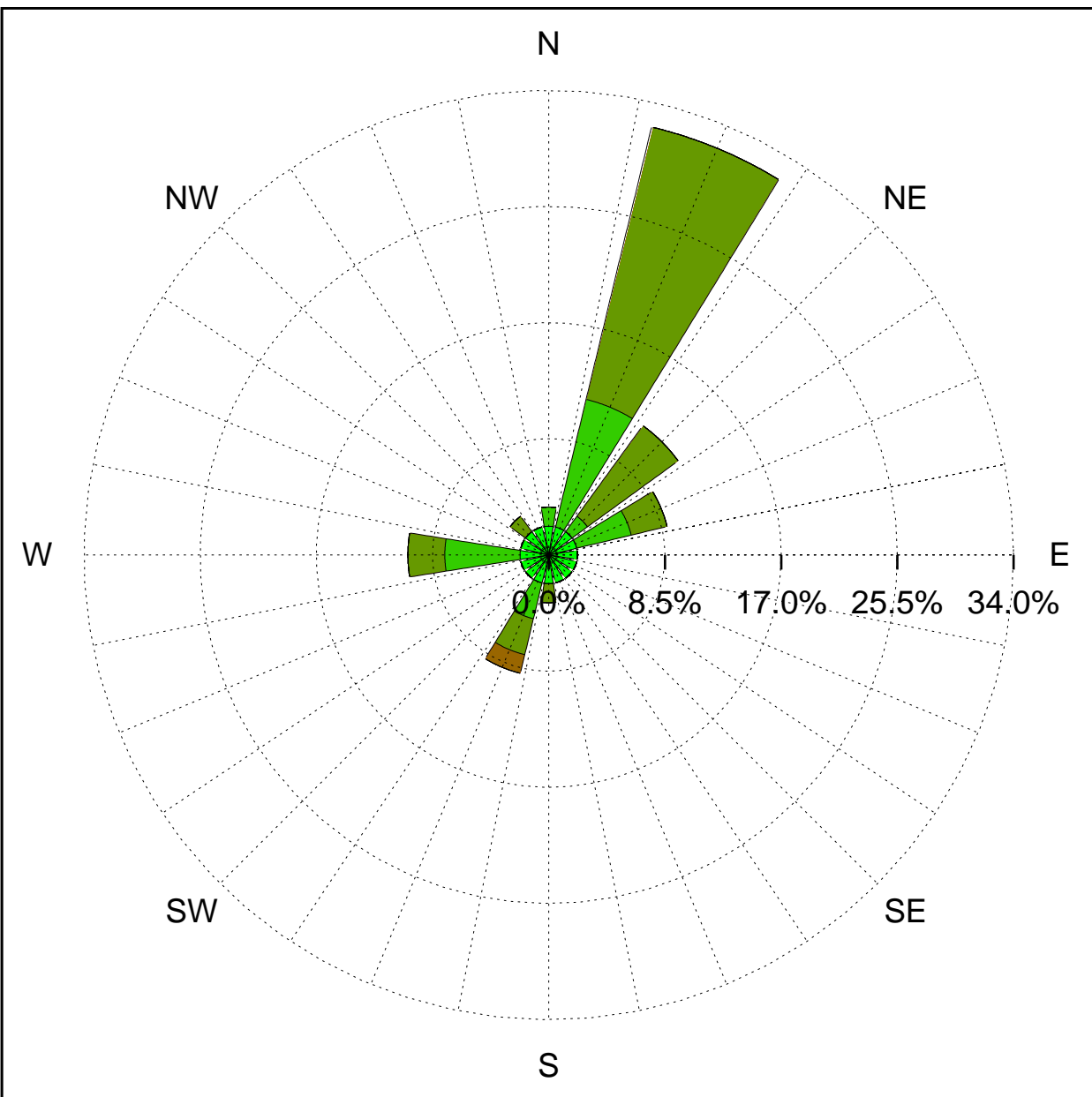


Figura 14.11: Campagna di misura a Imer discarica comprensoriale (15/01/02-28/01/02).  
Distribuzioni in frequenza e correlazioni.

Sito di misura: Imer discarica comprensoriale



Legenda - velocità [m/s]	
$v \geq 5.0$	
$3.0 \leq v < 5.0$	
$2.0 \leq v < 3.0$	
$1.0 \leq v < 2.0$	
$0.5 \leq v < 1.0$	
calma ( $v < 0.5$ )	

Figura 14.12: Campagna di misura a Imer discarica comprensoriale (15/01/02-28/01/02). Rosa dei venti.

# 15 Campagna di misura a Mezzolombardo piazza Vittoria

**Campagna di misura** dal 20/02/02 al 16/04/02

**Inquinanti rilevati:** *CO, NO<sub>x</sub>, O<sub>3</sub>, NMHC, SO<sub>2</sub>*

**Parametri meteorologici misurati:** velocità del vento, direzione del vento, temperatura, umidità relativa

**Note:** I dati raccolti mostrano dei cicli giornalieri ben evidenti di tutti gli inquinanti che presentano dei picchi in corrispondenza delle ore di punta, tra le 7 e le 9 del mattino e tra le 17 e le 20 di sera. Anche il ciclo settimanale risulta chiaro anche se non molto marcato e presenta il minimo durante il fine settimana. Opposto è il comportamento dell'ozono che presenta concentrazioni massime giornaliere tra le 13 e le 14 e concentrazioni massime settimanali di domenica.

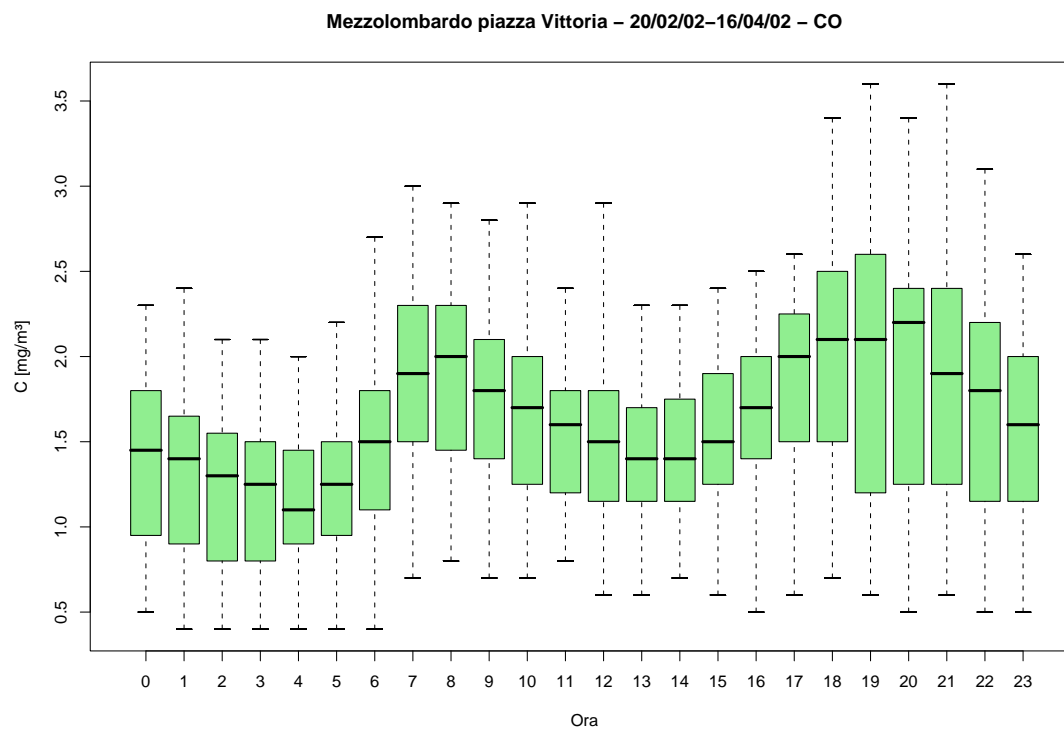


Figura 15.1: Campagna di misura a Mezzolombardo piazza Vittoria (20/02/02-16/04/02), inquinante: *CO*. Box-plot relativo all'ora del giorno.

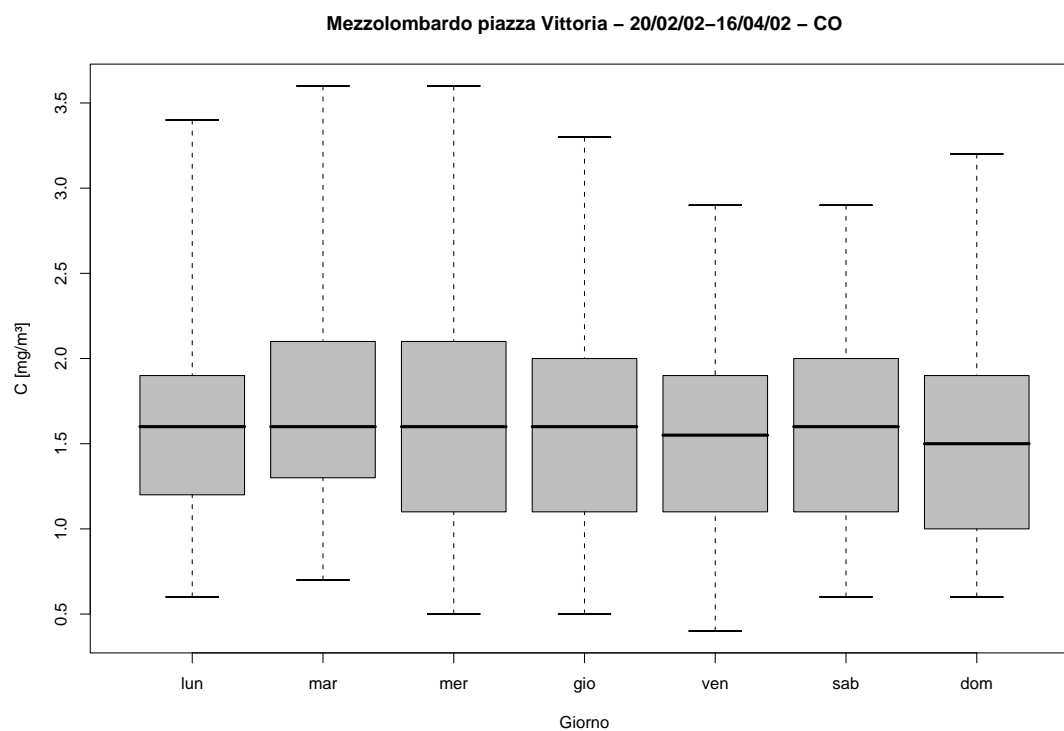


Figura 15.2: Campagna di misura a Mezzolombardo piazza Vittoria (20/02/02-16/04/02), inquinante: *CO*. Box-plot relativo al giorno della settimana.

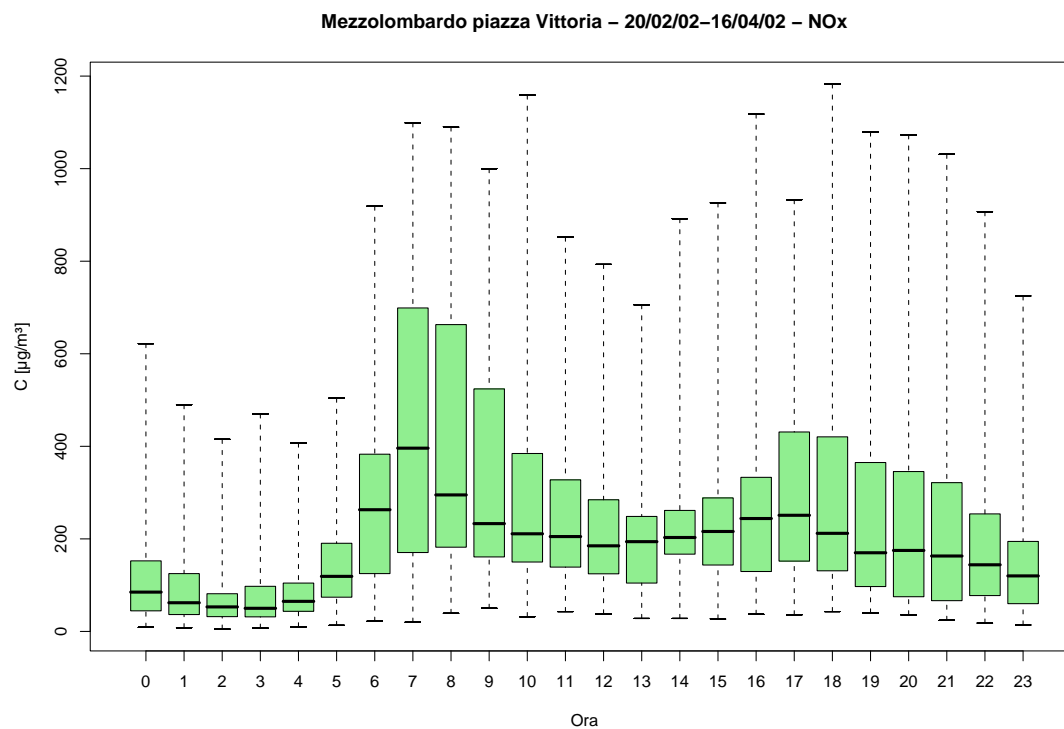


Figura 15.3: Campagna di misura a Mezzolombardo piazza Vittoria (20/02/02-16/04/02), inquinante:  $NO_x$ . Box-plot relativo all'ora del giorno.

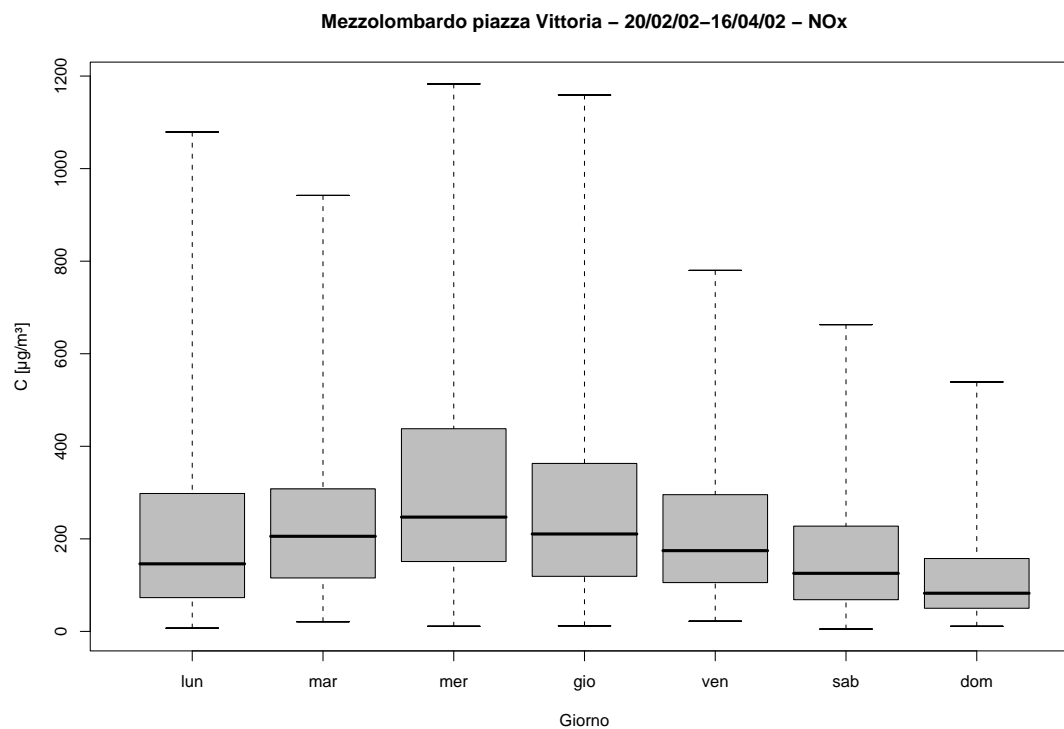


Figura 15.4: Campagna di misura a Mezzolombardo piazza Vittoria (20/02/02-16/04/02), inquinante:  $NO_x$ . Box-plot relativo al giorno della settimana.

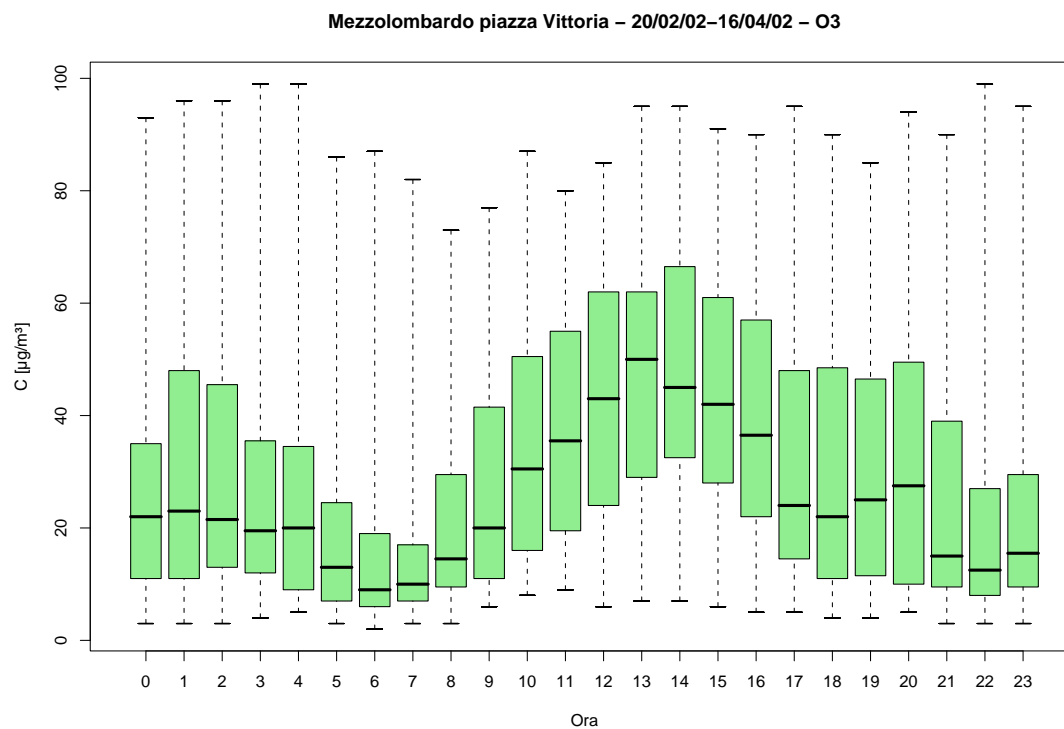


Figura 15.5: Campagna di misura a Mezzolombardo piazza Vittoria (20/02/02-16/04/02), inquinante: O<sub>3</sub>. Box-plot relativo all'ora del giorno.

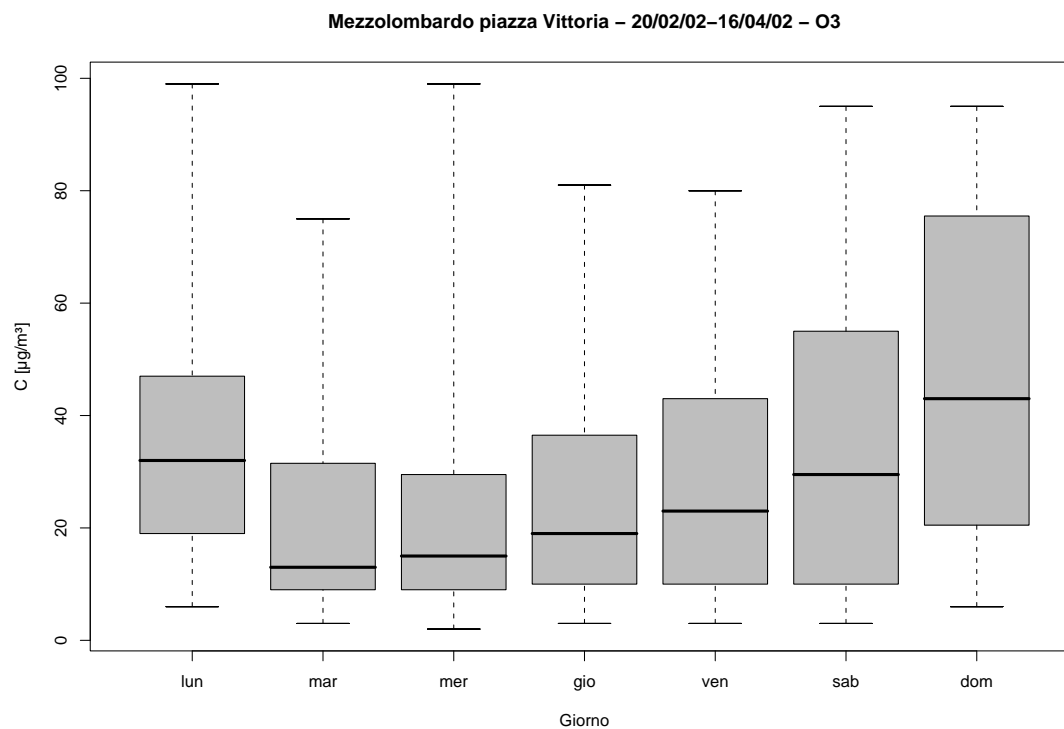


Figura 15.6: Campagna di misura a Mezzolombardo piazza Vittoria (20/02/02-16/04/02), inquinante: O<sub>3</sub>. Box-plot relativo al giorno della settimana.

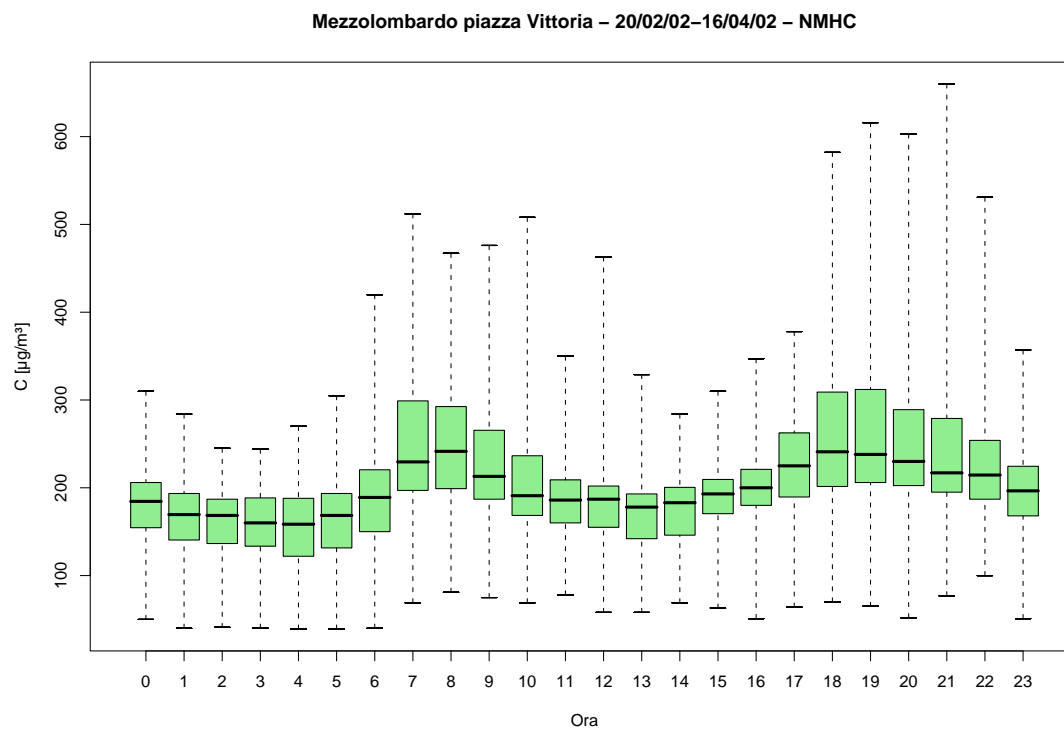


Figura 15.7: Campagna di misura a Mezzolombardo piazza Vittoria (20/02/02-16/04/02), inquinante: *NMHC*. Box-plot relativo all'ora del giorno.

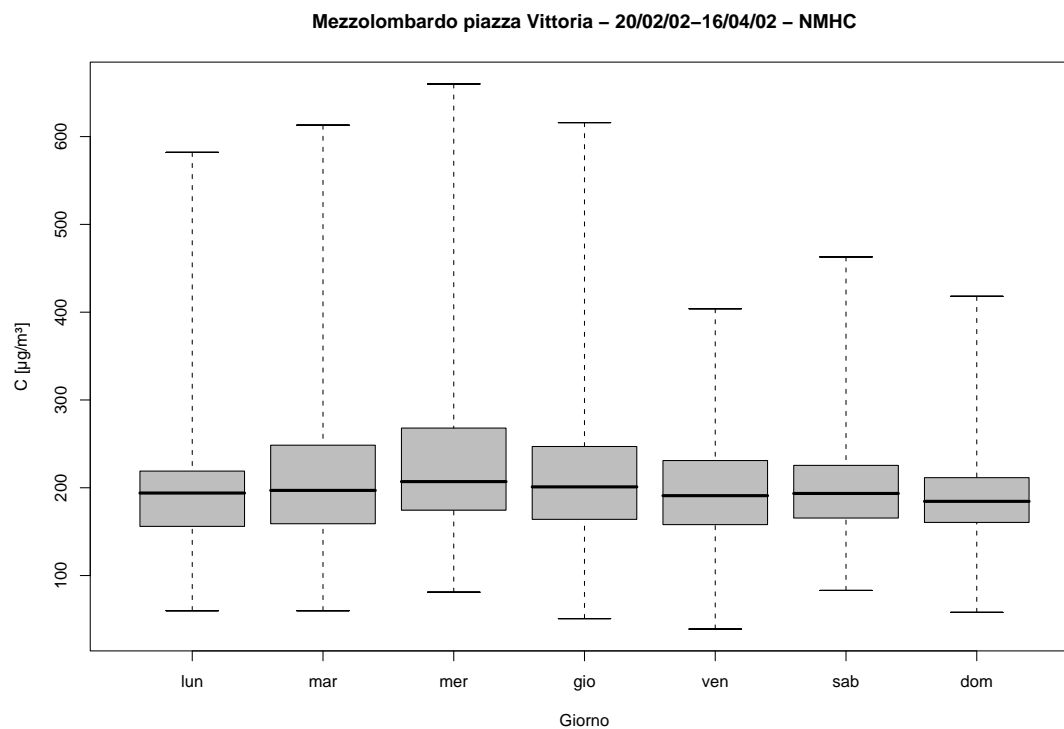


Figura 15.8: Campagna di misura a Mezzolombardo piazza Vittoria (20/02/02-16/04/02), inquinante: *NMHC*. Box-plot relativo al giorno della settimana.

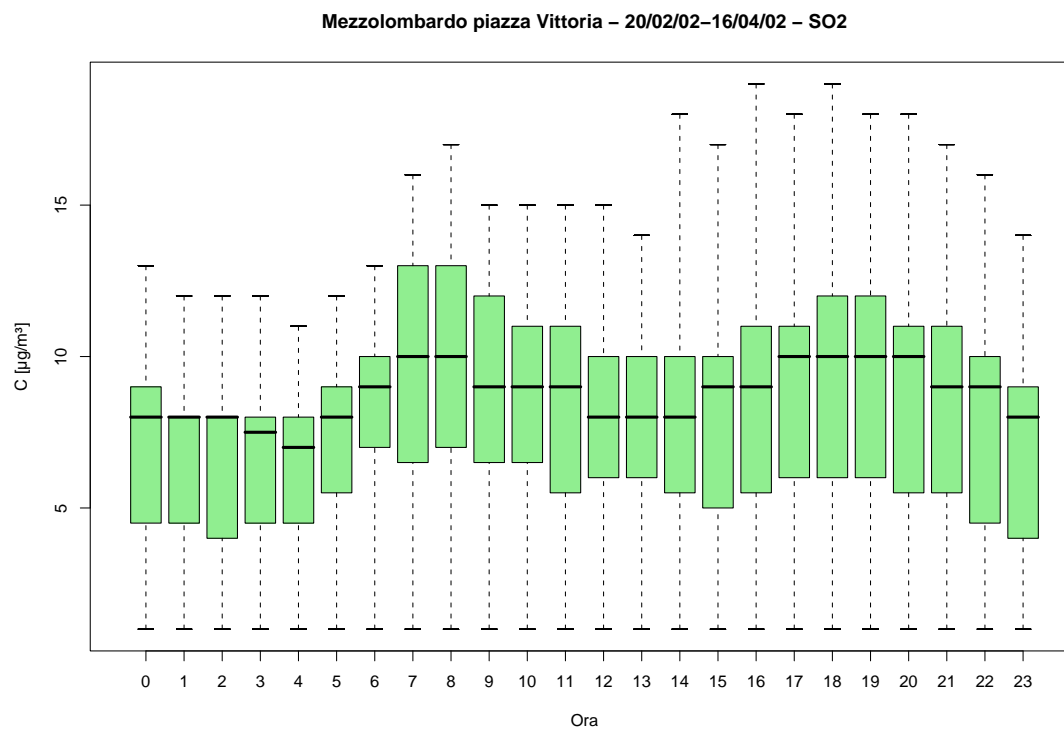


Figura 15.9: Campagna di misura a Mezzolombardo piazza Vittoria (20/02/02-16/04/02), inquinante:  $SO_2$ . Box-plot relativo all'ora del giorno.

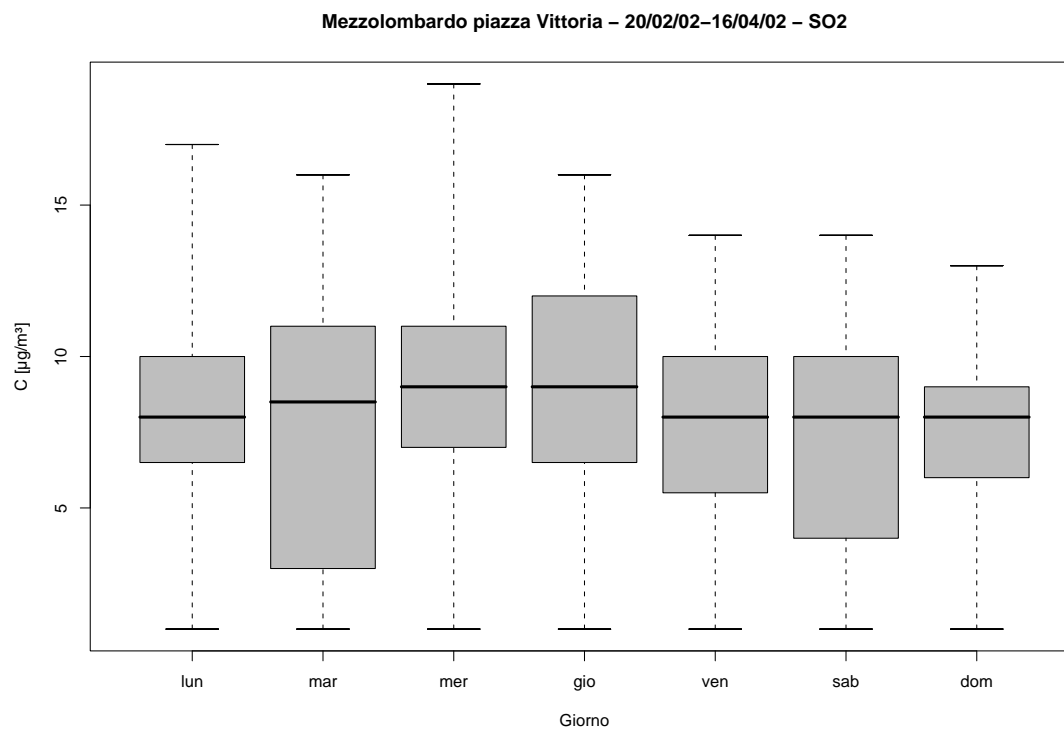


Figura 15.10: Campagna di misura a Mezzolombardo piazza Vittoria (20/02/02-16/04/02), inquinante:  $SO_2$ . Box-plot relativo al giorno della settimana.



Mezzolombardo piazza Vittoria - 20/02/02-16/04/02  
distribuzioni in frequenza e correlazioni

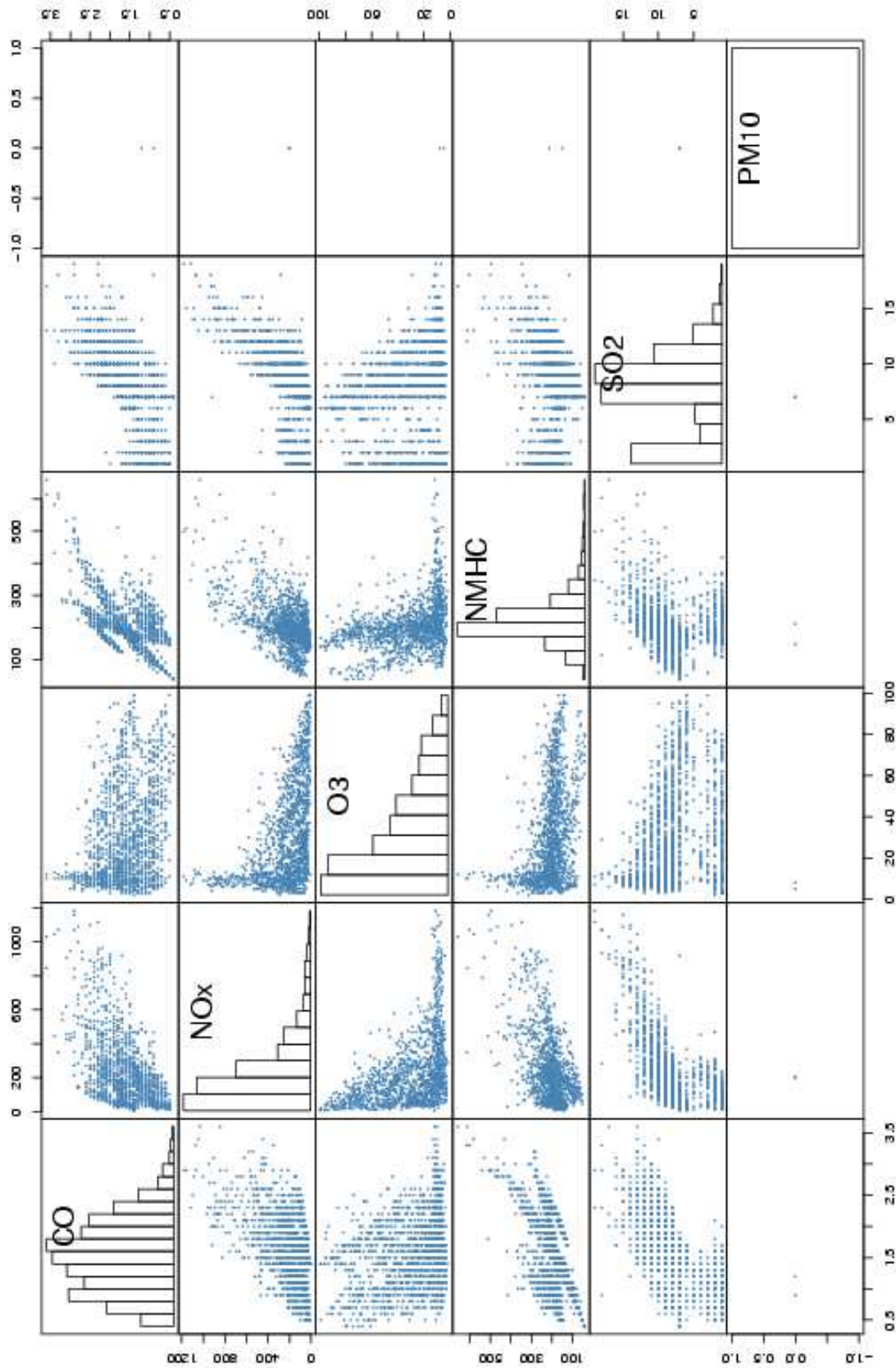
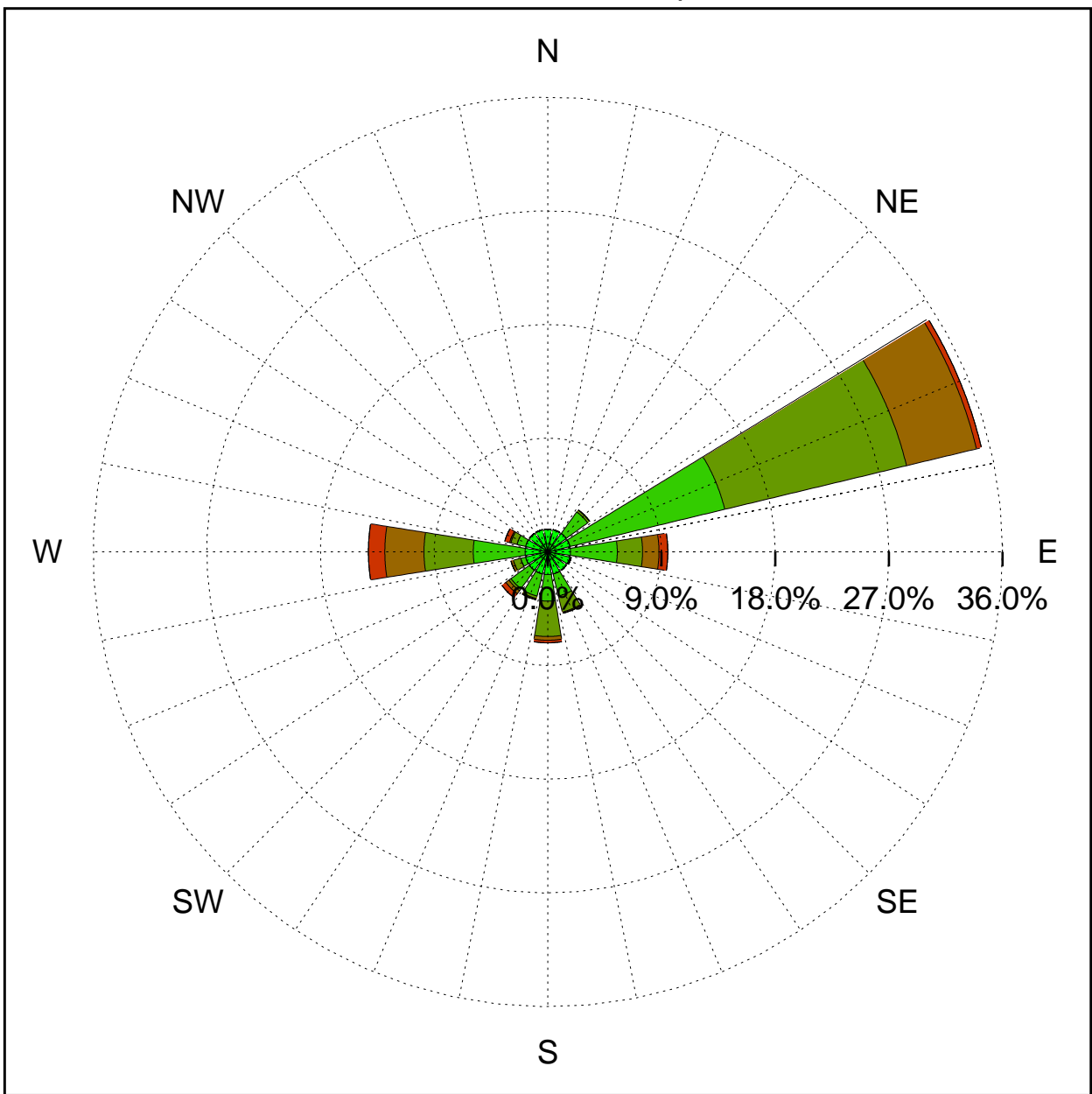


Figura 15.11: Campagna di misura a Mezzolombardo piazza Vittoria (20/02/02-16/04/02).  
Distribuzioni in frequenza e correlazioni.

Sito di misura: Mezzolombardo piazza Vittoria



Legenda - velocità [m/s]	
$v \geq 5.0$	
$3.0 \leq v < 5.0$	
$2.0 \leq v < 3.0$	
$1.0 \leq v < 2.0$	
$0.5 \leq v < 1.0$	
calma ( $v < 0.5$ )	

Figura 15.12: Campagna di misura a Mezzolombardo piazza Vittoria (20/02/02-16/04/02). Rosa dei venti.

# 16 Campagna di misura a Mezzolombardo bivio Fai

**Campagna di misura** dal 18/04/02 al 07/05/02

**Inquinanti rilevati:** *CO*, *NO<sub>x</sub>*, *O<sub>3</sub>*, *NMHC*, *SO<sub>2</sub>*

**Parametri meteorologici misurati:** velocità del vento, direzione del vento, temperatura, umidità relativa

**Note:** I dati riguardanti gli *NO<sub>x</sub>* sono gli unici a presentare un ciclo giornaliero, anche se molto particolare in quanto non presenta i classici 2 picchi bensì un andamento che prevede le concentrazioni maggiori tra le ore 11 e le ore 14. Settimanalmente si nota che le concentrazioni massime si ottengono il venerdì e questo vale anche per gli *NMHC*. I dati relativi al *CO* e al *SO<sub>2</sub>* non sembrano significativi, mentre quelli dell'ozono fanno registrare l'andamento giornaliero tipico con picco nelle ore pomeridiane e valori di concentrazioni più basse al mattino (tra le 7 e le 9).

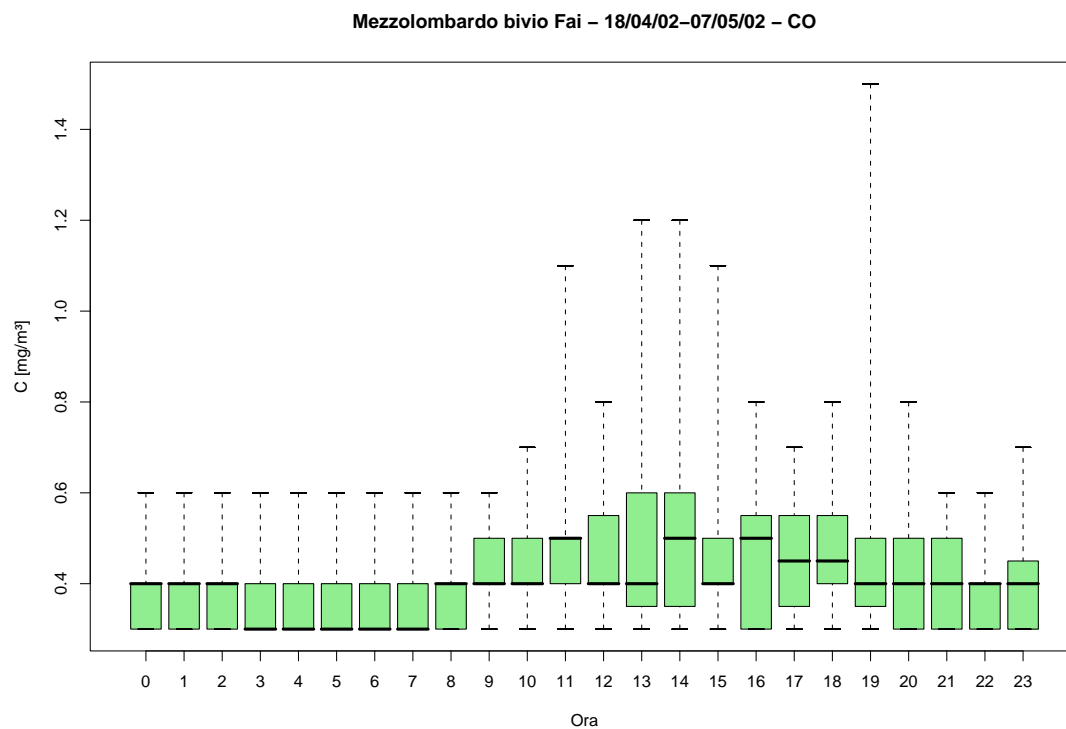


Figura 16.1: Campagna di misura a Mezzolombardo bivio Fai (18/04/02-07/05/02), inquinante: CO. Box-plot relativo all'ora del giorno.

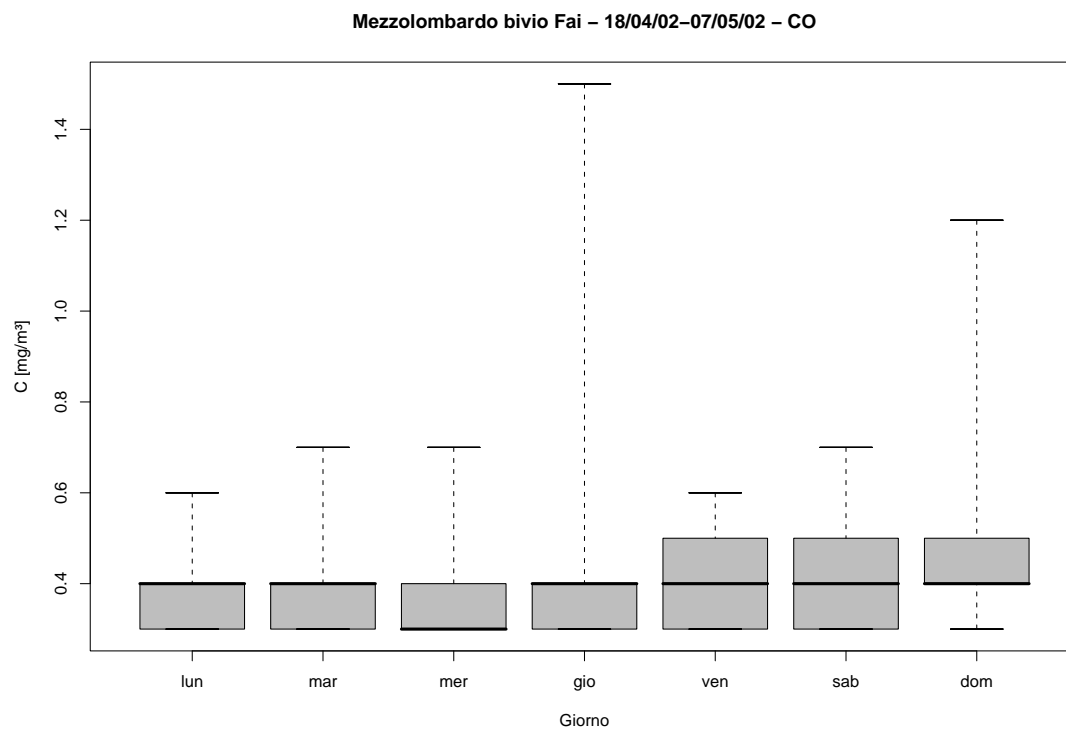


Figura 16.2: Campagna di misura a Mezzolombardo bivio Fai (18/04/02-07/05/02), inquinante: CO. Box-plot relativo al giorno della settimana.

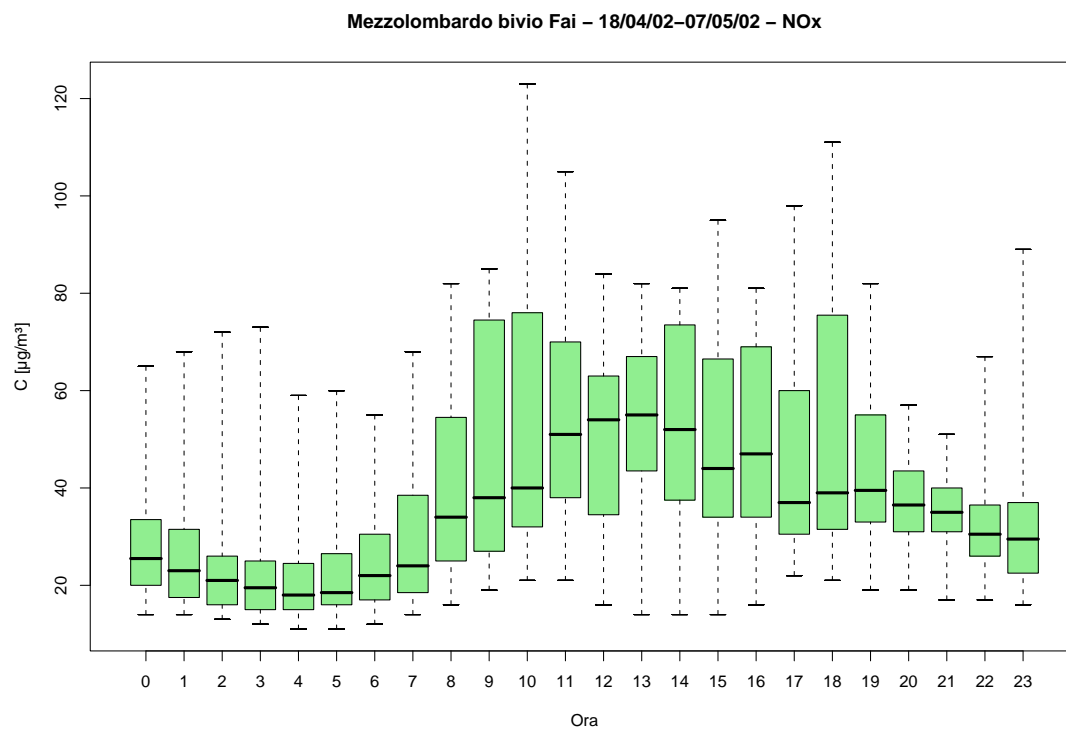


Figura 16.3: Campagna di misura a Mezzolombardo bivio Fai (18/04/02-07/05/02), inquinante:  $\text{NO}_x$ . Box-plot relativo all'ora del giorno.

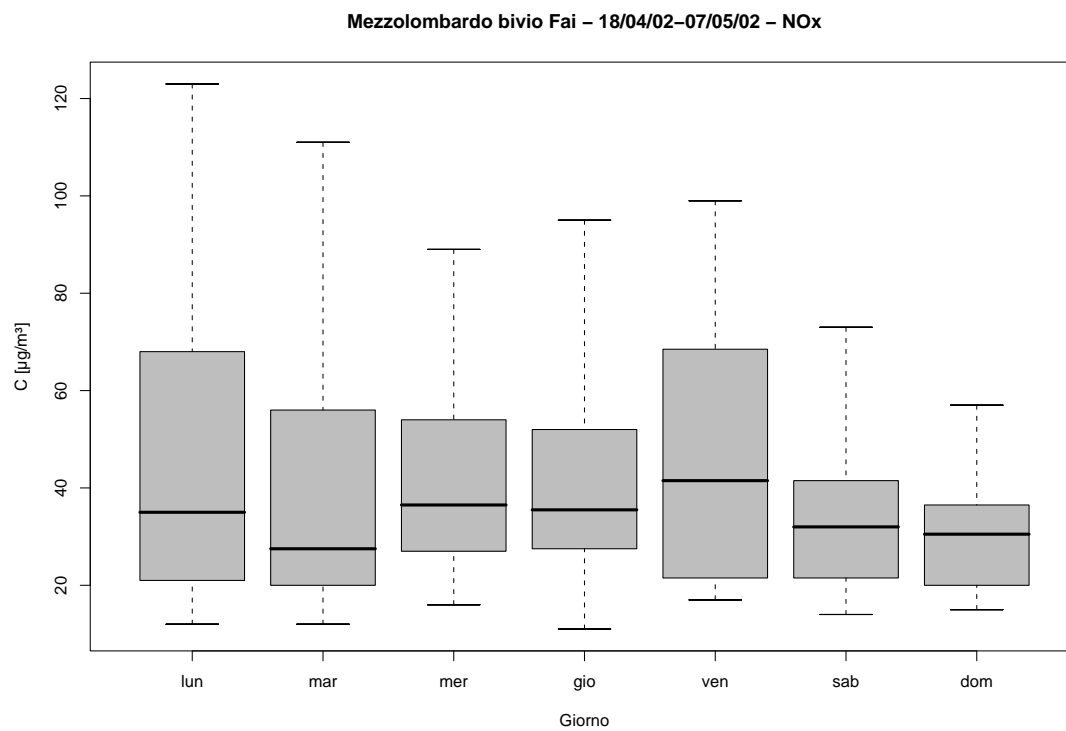


Figura 16.4: Campagna di misura a Mezzolombardo bivio Fai (18/04/02-07/05/02), inquinante:  $\text{NO}_x$ . Box-plot relativo al giorno della settimana.

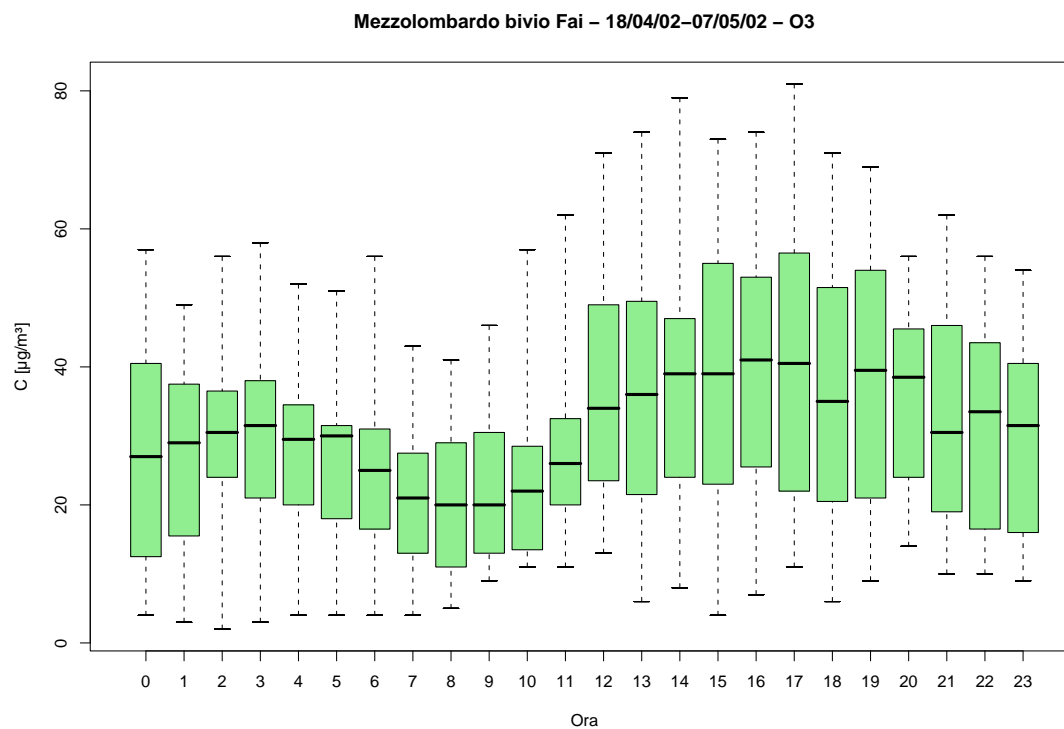


Figura 16.5: Campagna di misura a Mezzolombardo bivio Fai (18/04/02-07/05/02), inquinante: O<sub>3</sub>. Box-plot relativo all'ora del giorno.

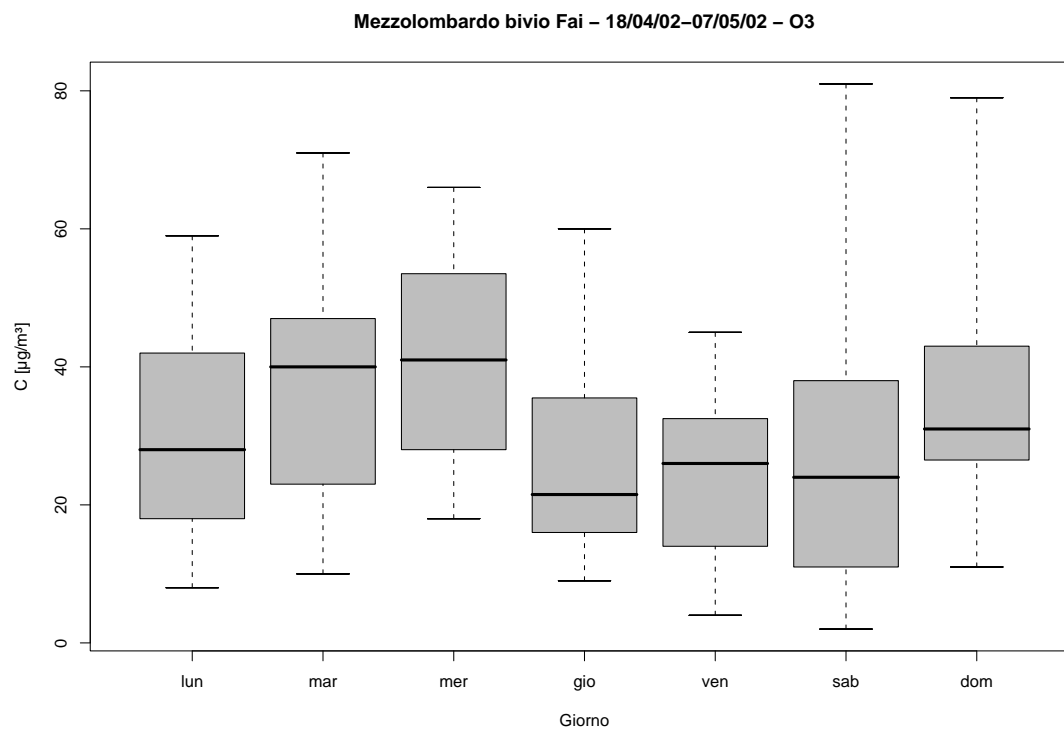


Figura 16.6: Campagna di misura a Mezzolombardo bivio Fai (18/04/02-07/05/02), inquinante: O<sub>3</sub>. Box-plot relativo al giorno della settimana.

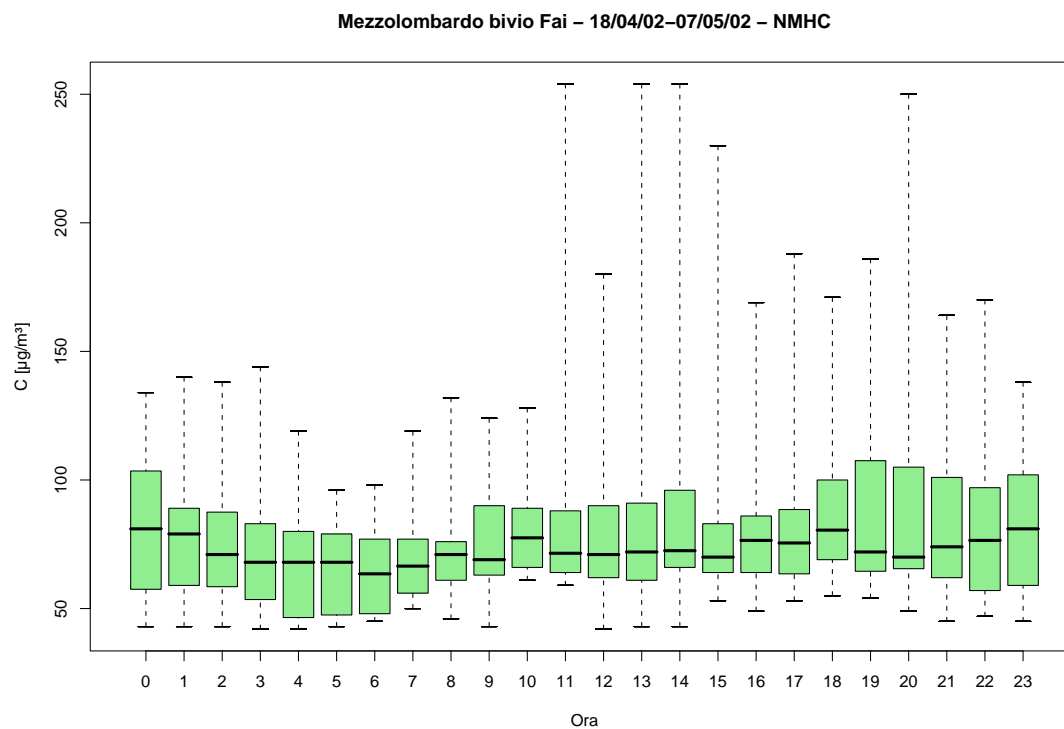


Figura 16.7: Campagna di misura a Mezzolombardo bivio Fai (18/04/02-07/05/02), inquinante: *NMHC*. Box-plot relativo all'ora del giorno.

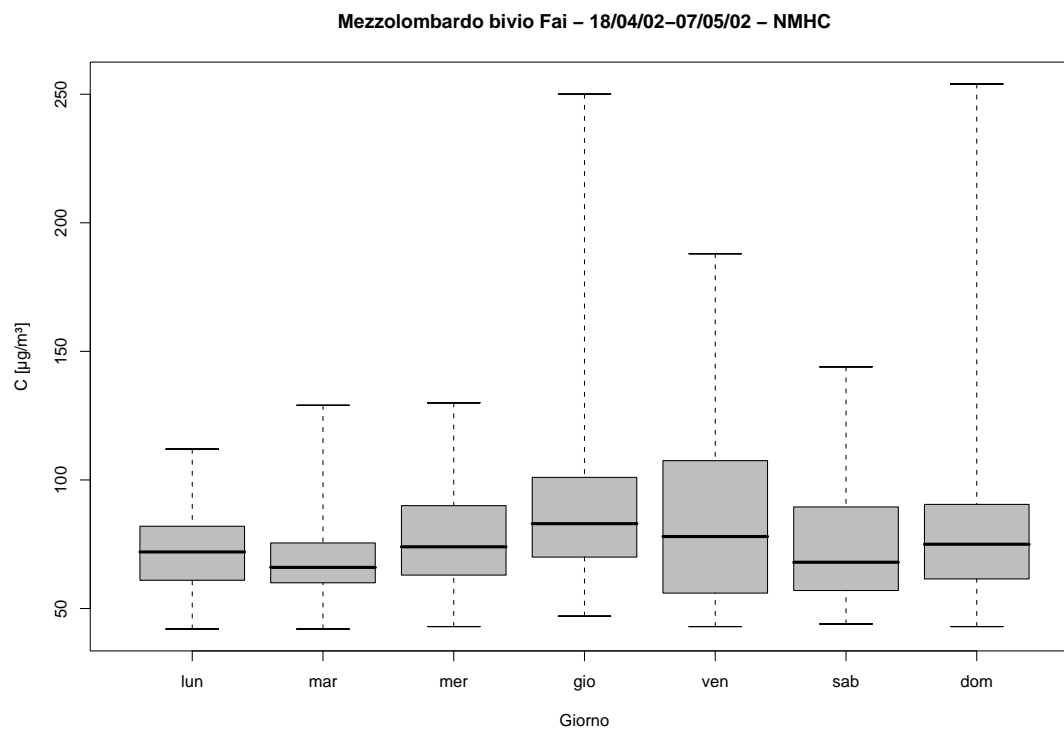


Figura 16.8: Campagna di misura a Mezzolombardo bivio Fai (18/04/02-07/05/02), inquinante: *NMHC*. Box-plot relativo al giorno della settimana.

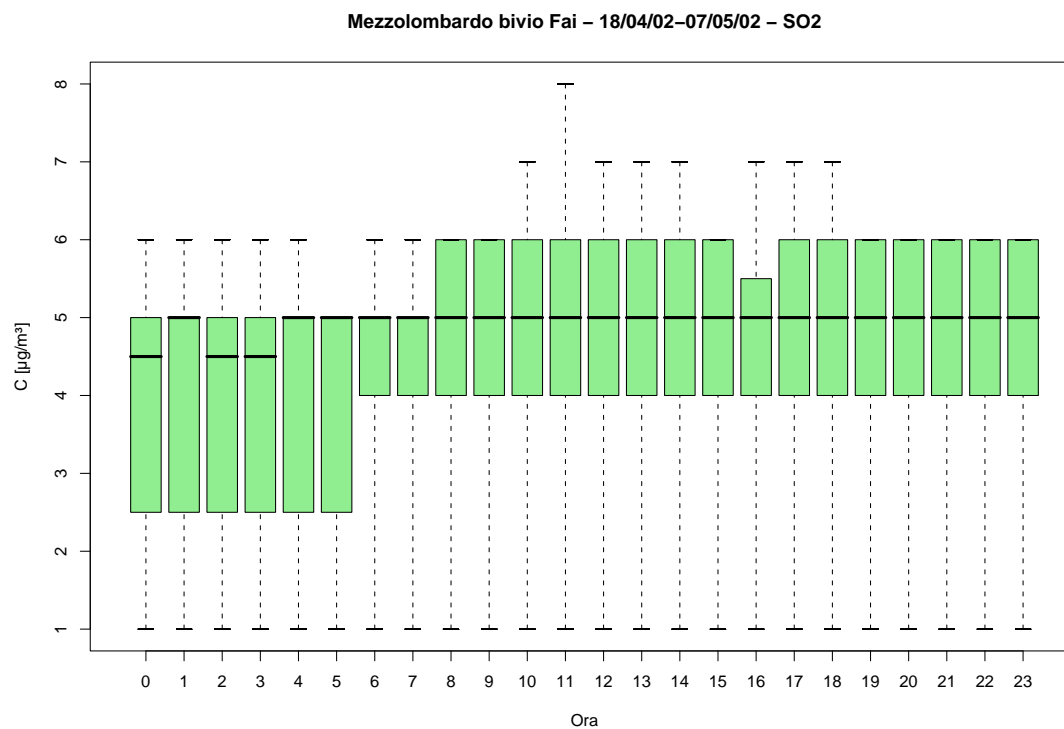


Figura 16.9: Campagna di misura a Mezzolombardo bivio Fai (18/04/02-07/05/02), inquinante: SO<sub>2</sub>. Box-plot relativo all'ora del giorno.

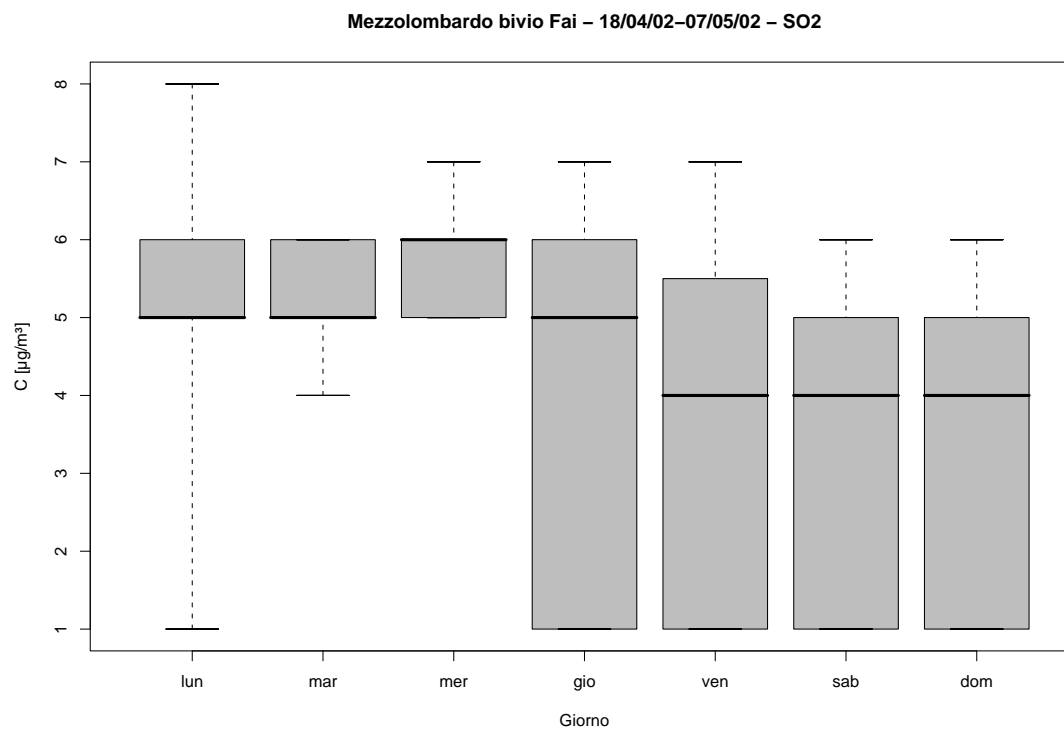


Figura 16.10: Campagna di misura a Mezzolombardo bivio Fai (18/04/02-07/05/02), inquinante: SO<sub>2</sub>. Box-plot relativo al giorno della settimana.



Mezzolombardo bivio Fai – 18/04/02–07/05/02  
distribuzioni in frequenza e correlazioni

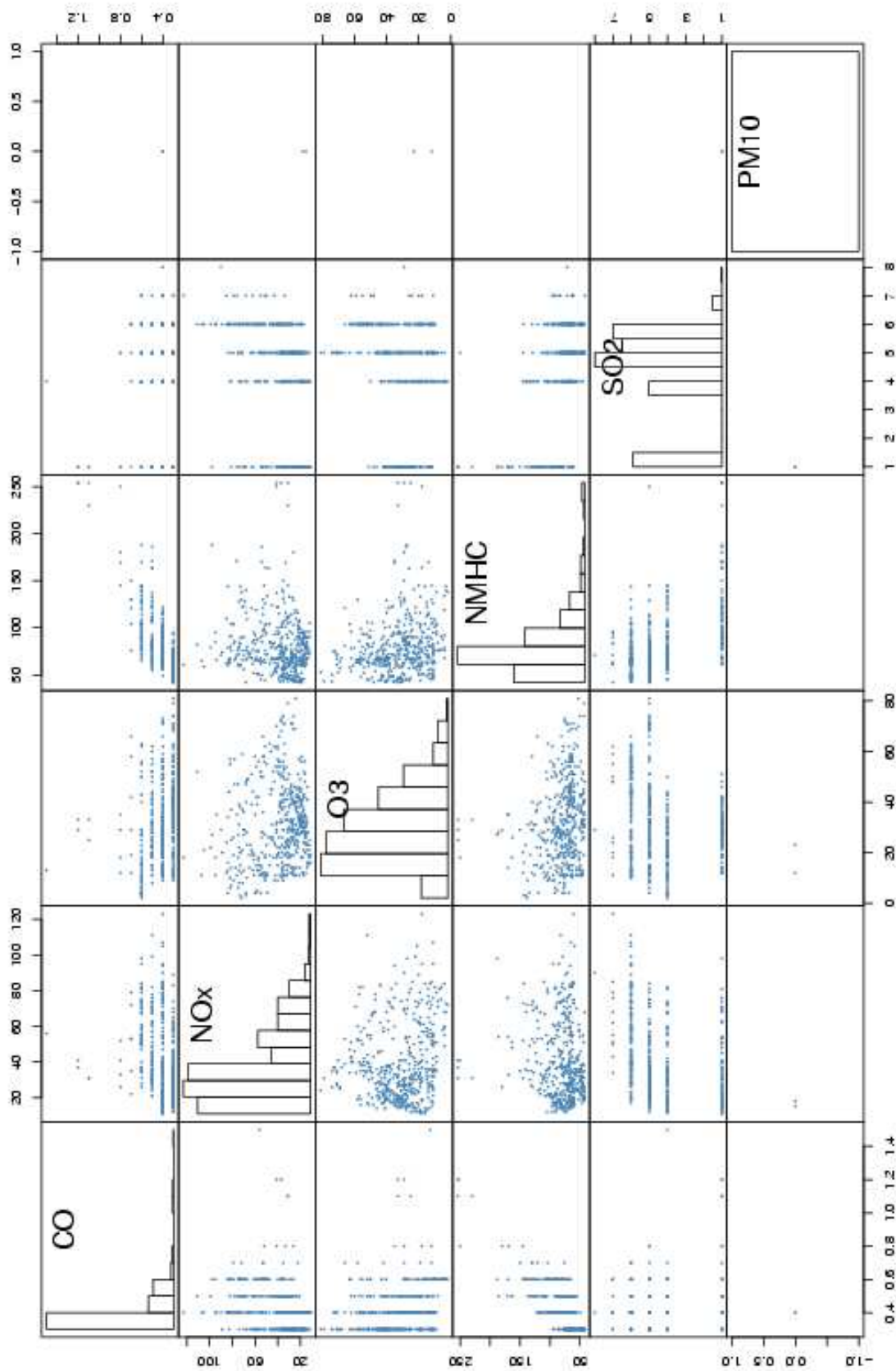
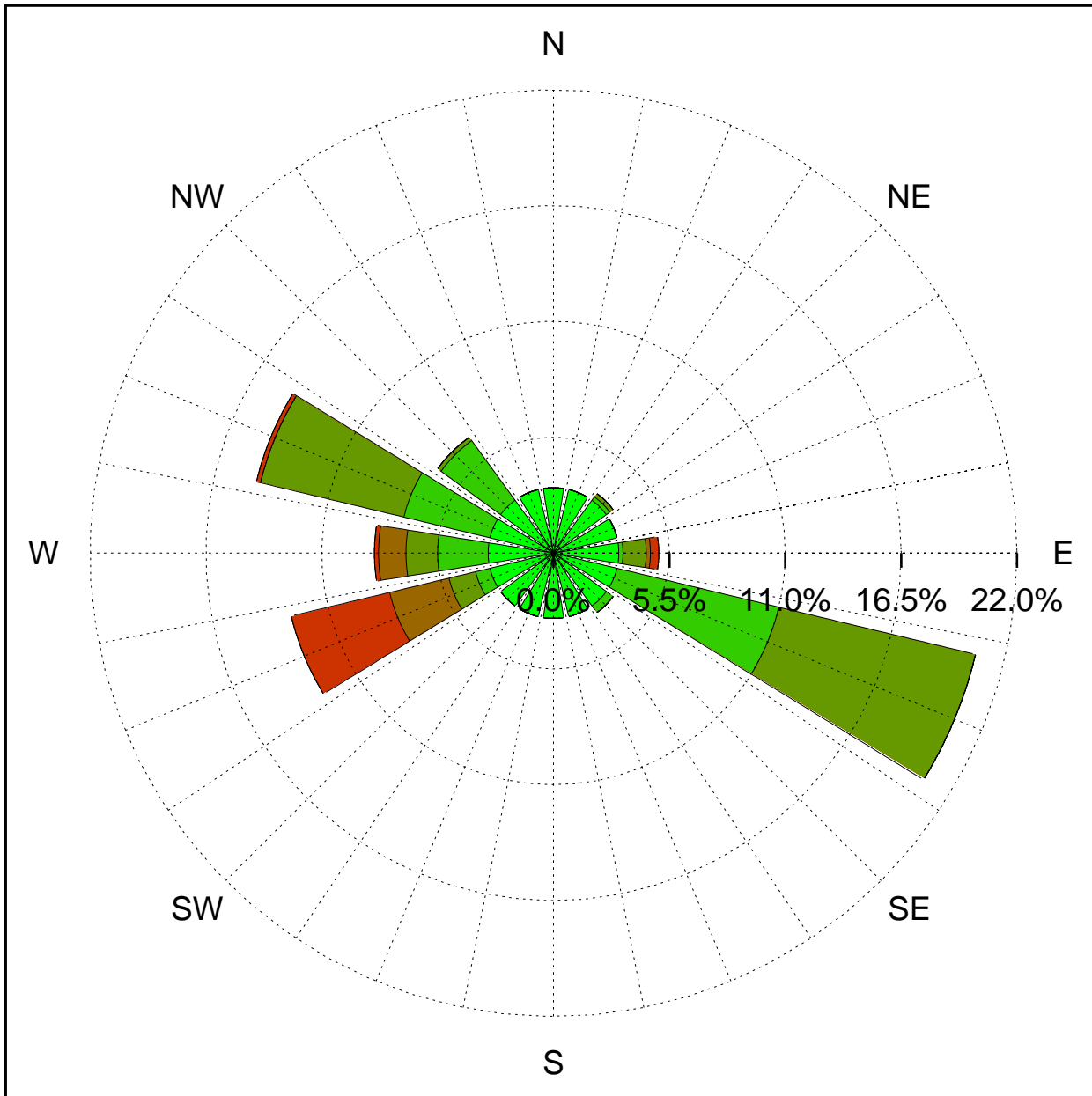


Figura 16.11: Campagna di misura a Mezzolombardo bivio Fai (18/04/02-07/05/02).  
Distribuzioni in frequenza e correlazioni.

Sito di misura: Mezzolombardo bivio Fai



Legenda - velocità [m/s]	
v ≥ 5.0	
3.0 ≤ v < 5.0	
2.0 ≤ v < 3.0	
1.0 ≤ v < 2.0	
0.5 ≤ v < 1.0	
calma (v < 0.5)	

Figura 16.12: Campagna di misura a Mezzolombardo bivio Fai (18/04/02-07/05/02). Rosa dei venti.

# 17 Campagna di misura a Mezzolombardo via Rupe

**Campagna di misura** dal 18/04/02 al 07/05/02

**Inquinanti rilevati:** *CO*, *NO<sub>x</sub>*, *O<sub>3</sub>*, *NMHC*, *SO<sub>2</sub>*

**Parametri meteorologici misurati:** velocità del vento, direzione del vento, temperatura, umidità relativa, pioggia, radiazione globale

**Note:** I dati raccolti presentano dei problemi e per tanto i grafici riguardanti *CO*, *NMHC* e *SO<sub>2</sub>* non sono significativi. I dati relativi agli ossidi di azoto forniscono invece un andamento con i valori di concentrazione più elevati tra le 6 e le 8 del mattino e settimanalmente si osserva il massimo il venerdì. I dati relativi all'ozono indicano nel venerdì il giorno con le concentrazioni minori, mentre le concentrazioni maggiori si registrano quotidianamente tra le 11 e le 18.

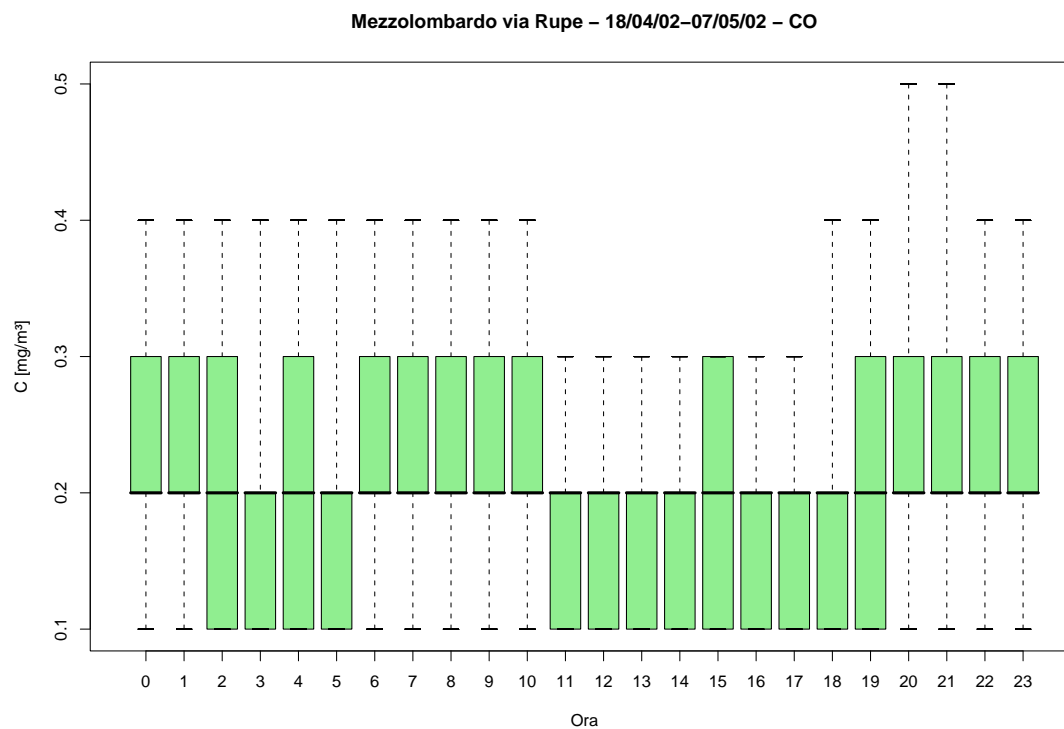


Figura 17.1: Campagna di misura a Mezzolombardo via Rupe (18/04/02-07/05/02), inquinante: CO. Box-plot relativo all'ora del giorno.

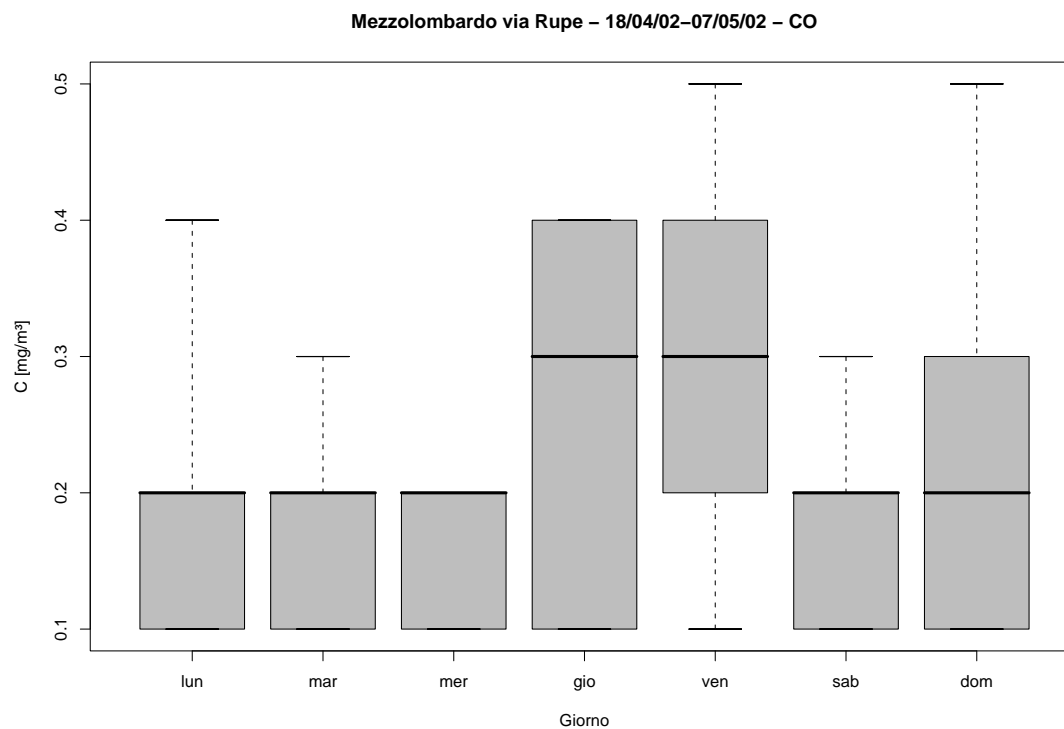


Figura 17.2: Campagna di misura a Mezzolombardo via Rupe (18/04/02-07/05/02), inquinante: CO. Box-plot relativo al giorno della settimana.

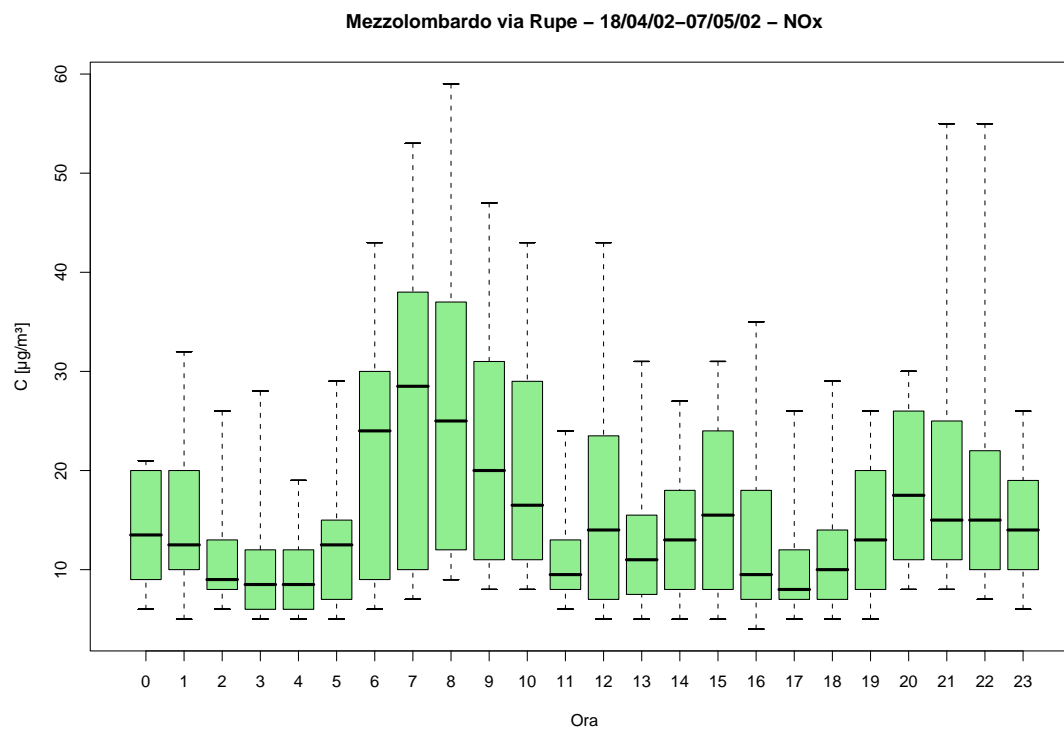


Figura 17.3: Campagna di misura a Mezzolombardo via Rupe (18/04/02-07/05/02), inquinante:  $NO_x$ . Box-plot relativo all'ora del giorno.

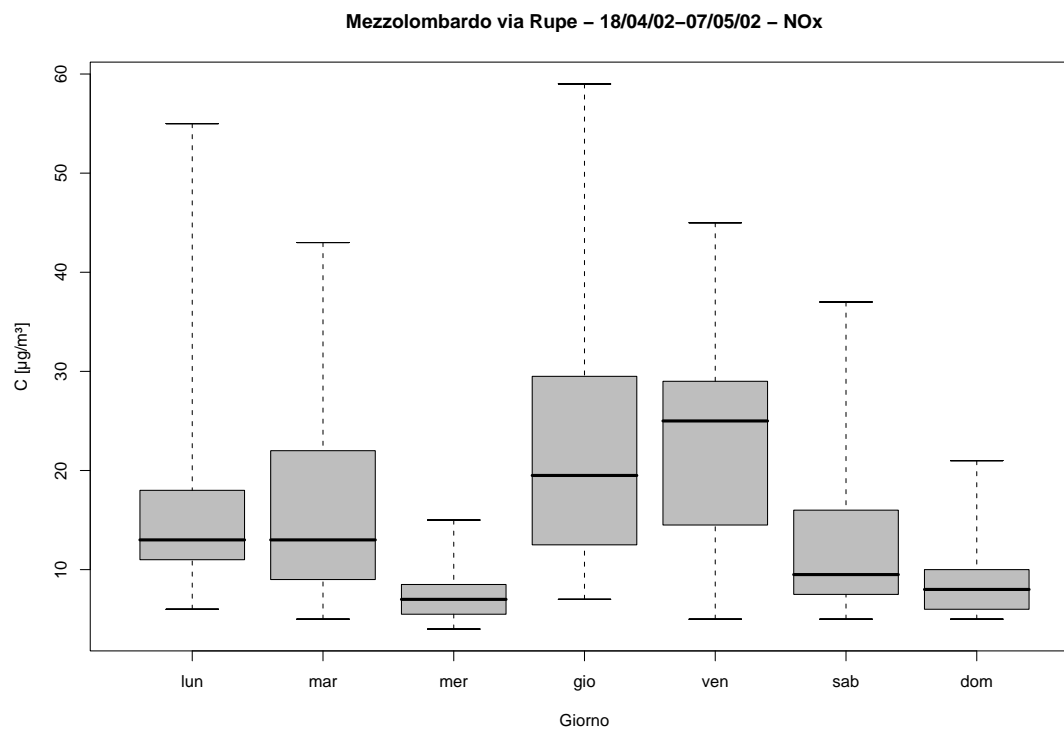


Figura 17.4: Campagna di misura a Mezzolombardo via Rupe (18/04/02-07/05/02), inquinante:  $NO_x$ . Box-plot relativo al giorno della settimana.

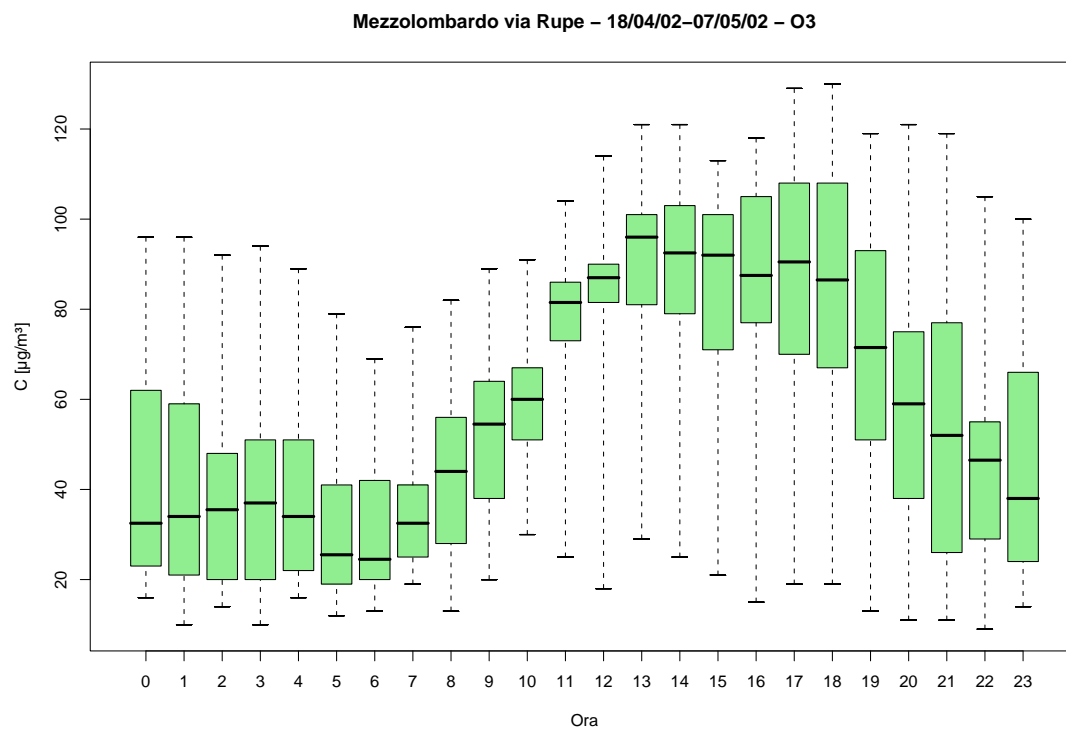


Figura 17.5: Campagna di misura a Mezzolombardo via Rupe (18/04/02-07/05/02), inquinante: O<sub>3</sub>. Box-plot relativo all'ora del giorno.

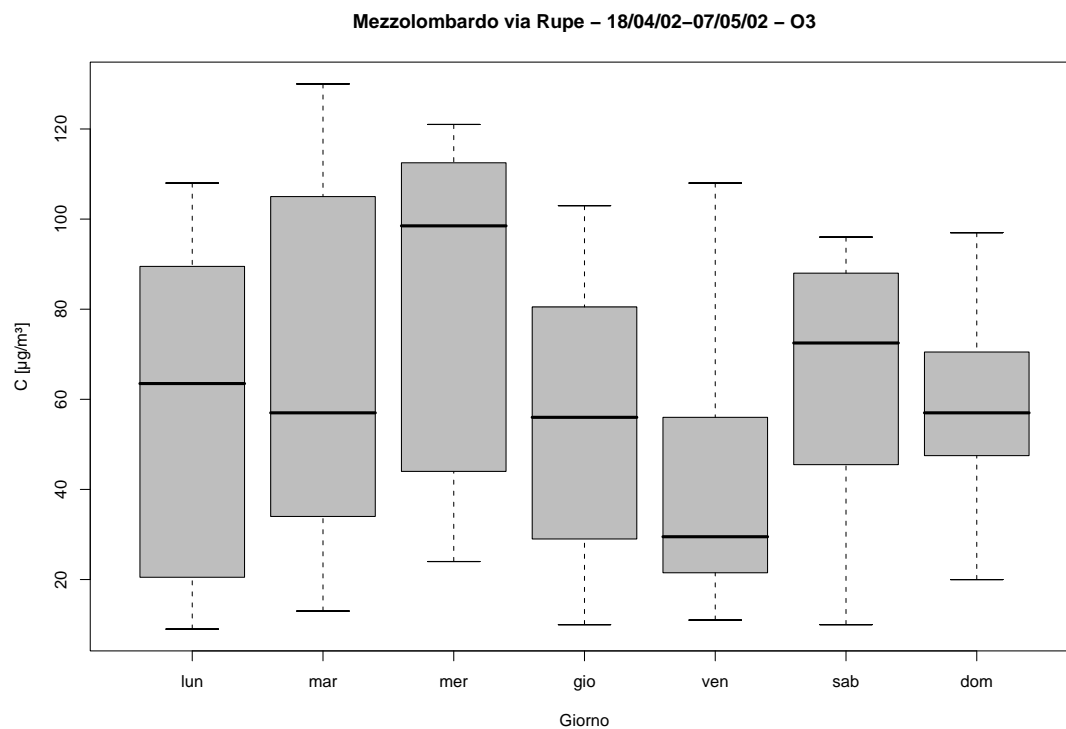


Figura 17.6: Campagna di misura a Mezzolombardo via Rupe (18/04/02-07/05/02), inquinante: O<sub>3</sub>. Box-plot relativo al giorno della settimana.

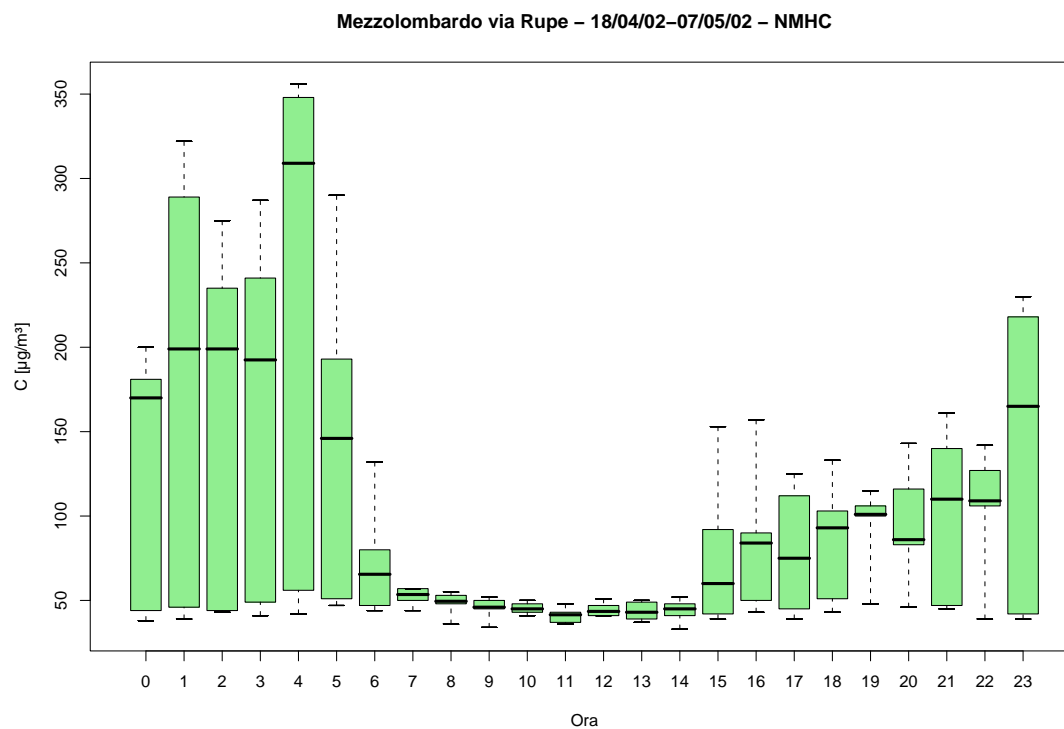


Figura 17.7: Campagna di misura a Mezzolombardo via Rupe (18/04/02-07/05/02), inquinante: *NMHC*. Box-plot relativo all'ora del giorno.

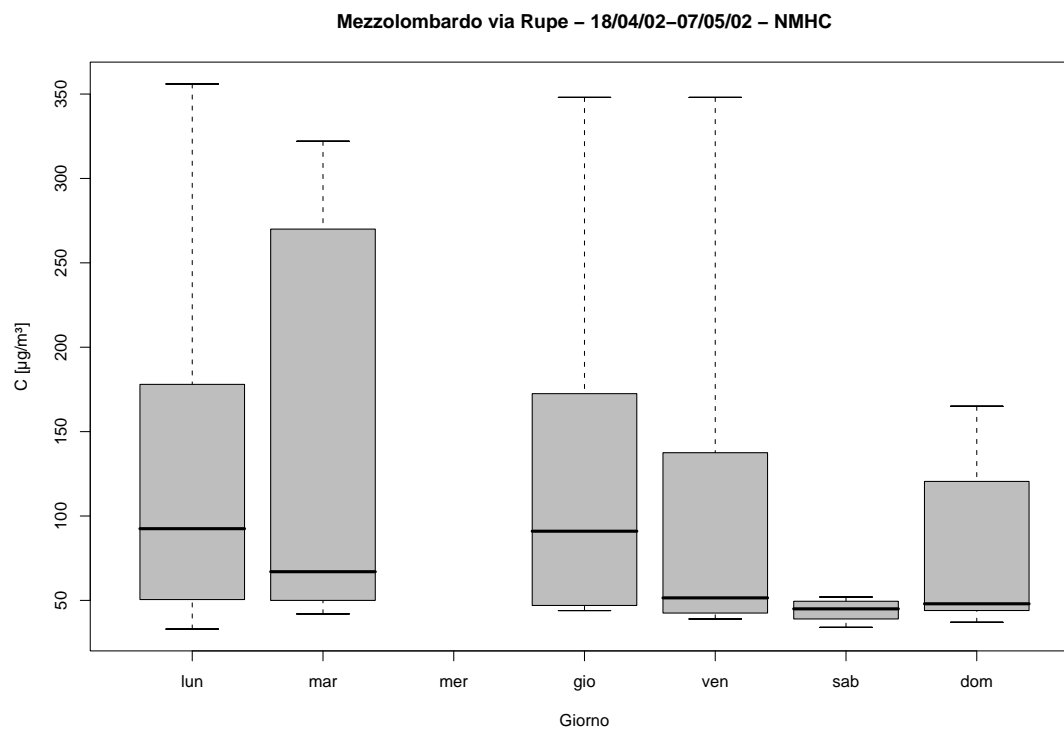


Figura 17.8: Campagna di misura a Mezzolombardo via Rupe (18/04/02-07/05/02), inquinante: *NMHC*. Box-plot relativo al giorno della settimana.

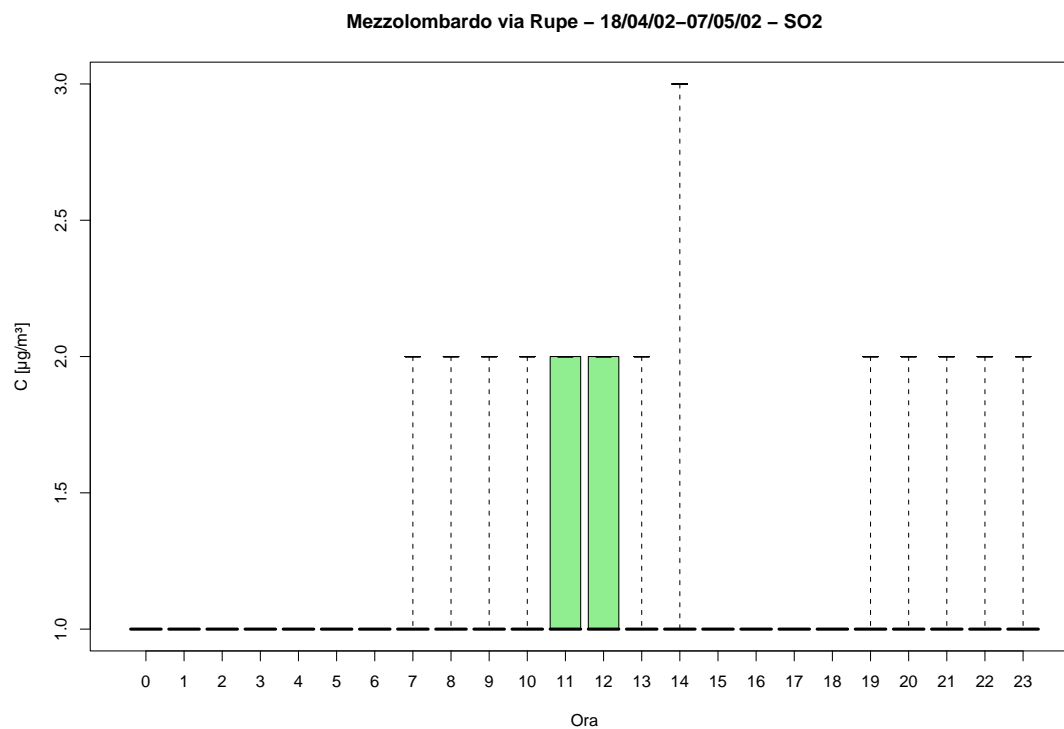


Figura 17.9: Campagna di misura a Mezzolombardo via Rupe (18/04/02-07/05/02), inquinante:  $SO_2$ . Box-plot relativo all'ora del giorno.

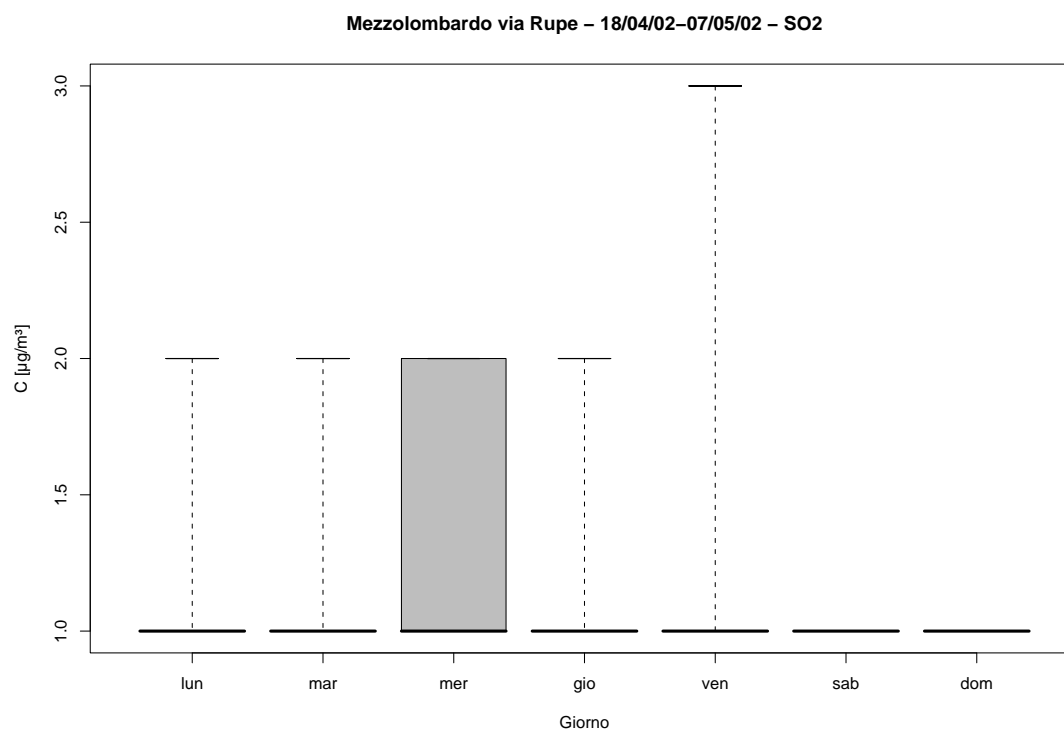


Figura 17.10: Campagna di misura a Mezzolombardo via Rupe (18/04/02-07/05/02), inquinante:  $SO_2$ . Box-plot relativo al giorno della settimana.



Mezzolombardo via Rupe - 18/04/02-07/05/02  
distribuzioni in frequenza e correlazioni

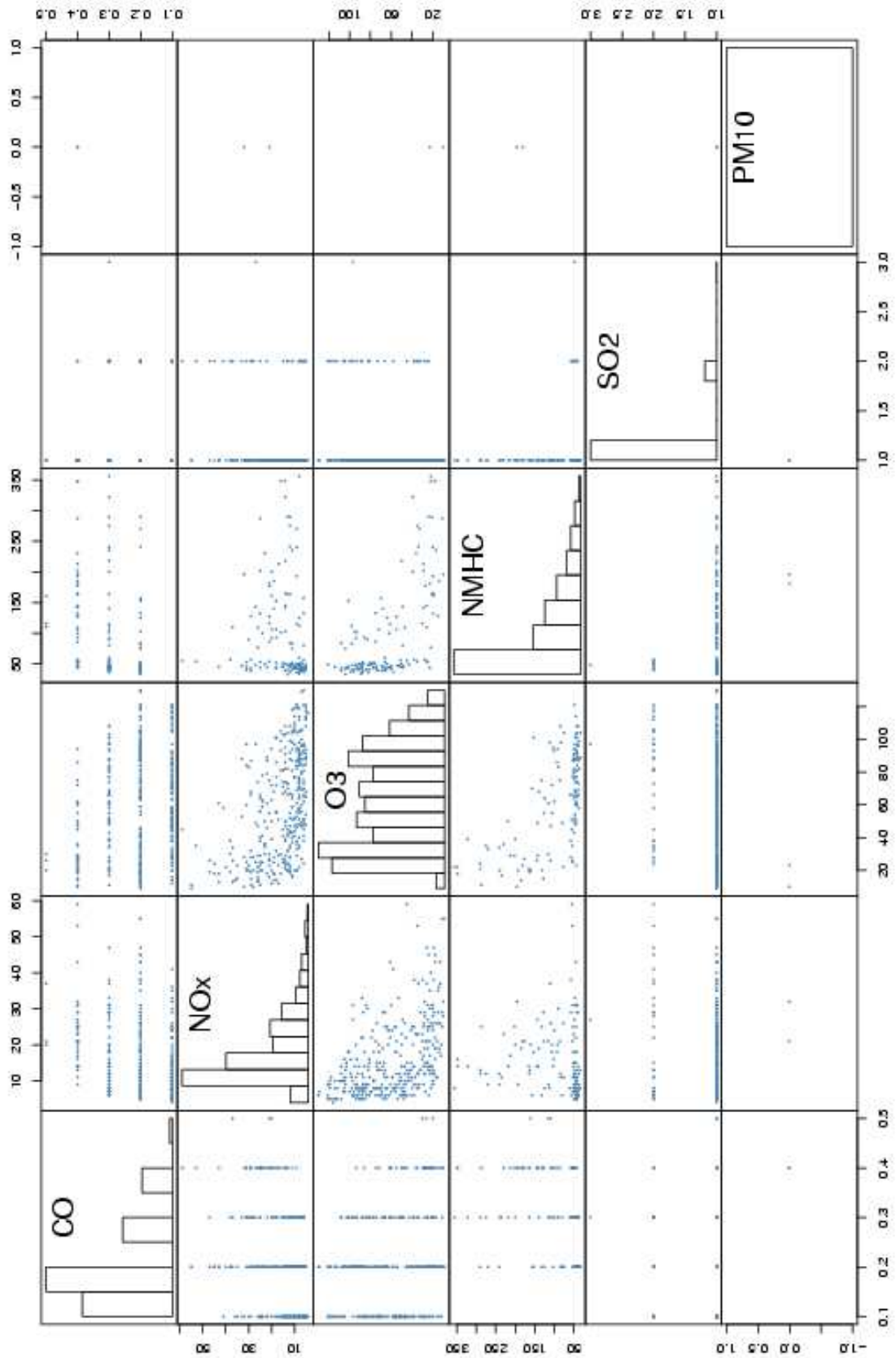
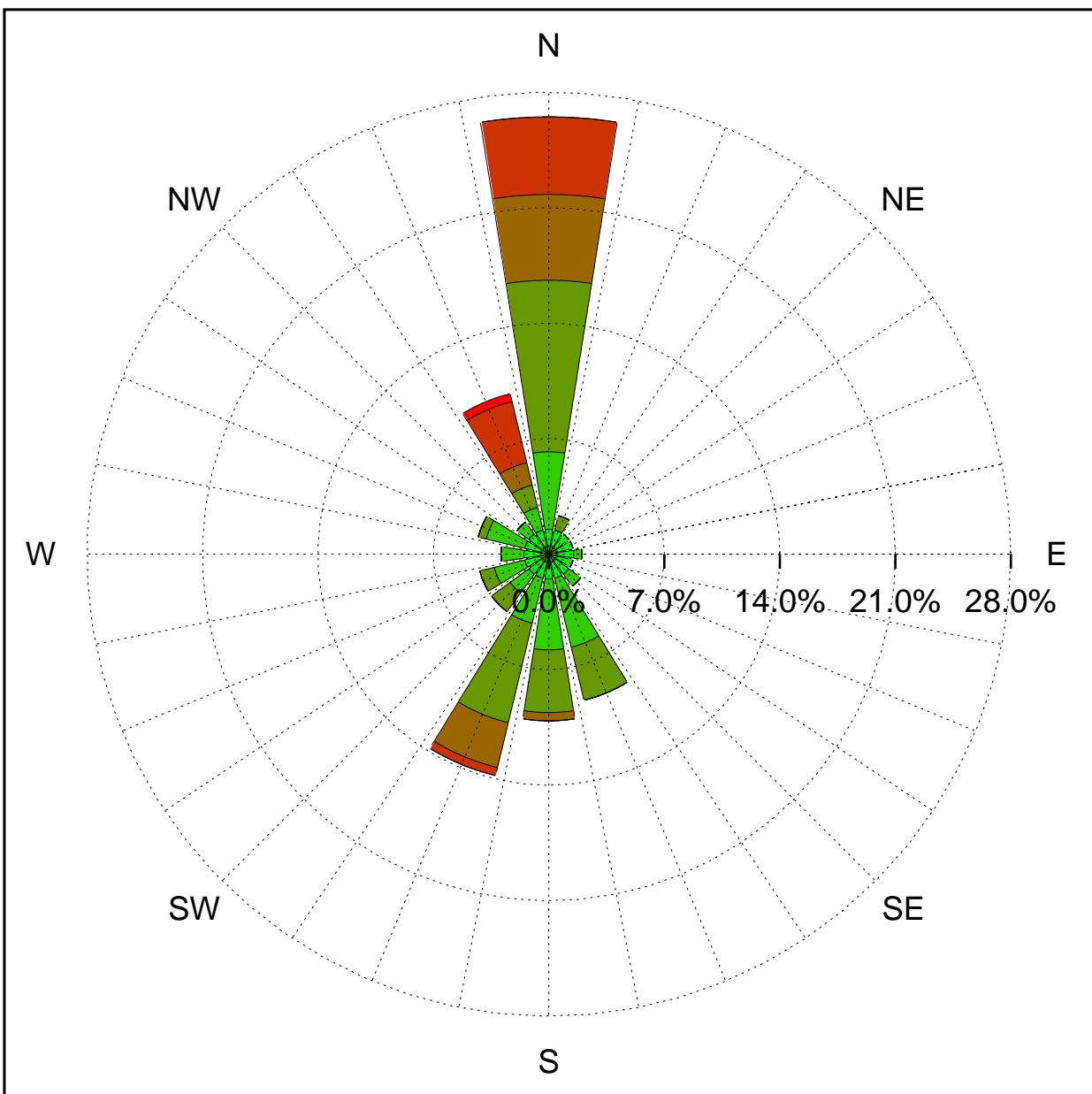


Figura 17.11: Campagna di misura a Mezzolombardo via Rupe (18/04/02-07/05/02).  
Distribuzioni in frequenza e correlazioni.

Sito di misura: Mezzolombardo via Rupe



Legenda - velocità [m/s]	
$v \geq 5.0$	
$3.0 \leq v < 5.0$	
$2.0 \leq v < 3.0$	
$1.0 \leq v < 2.0$	
$0.5 \leq v < 1.0$	
calma ( $v < 0.5$ )	

Figura 17.12: Campagna di misura a Mezzolombardo via Rupe (18/04/02-07/05/02). Rosa dei venti.

# 18 Campagna di misura a Mori

**Campagna di misura** dal 06/06/02 al 03/12/02

**Inquinanti rilevati:**  $CO$ ,  $NO_x$ ,  $O_3$ ,  $NMHC$ ,  $SO_2$

**Parametri meteorologici misurati:** velocità del vento, direzione del vento, temperatura, umidità relativa

**Note:** I grafici mostrano la presenza di cicli giornalieri anchese non molto marcati, gli inquinanti come il  $CO$  presentano dei valori più elevati di concentrazione nelle ore tra le 6 e le 8 del mattino e tra le 17 e le 19 della sera.  $NO_x$  e  $NMHC$  presentano lo stesso comportamento anche se molto meno marcato. Inoltre tutti gli inquinanti prevedono il minimo settimanale nel week-end, specialmente la domenica. Come si può osservare l'ozono presenta anch'esso il tipico comportamento opposto, fa registrare i valori massimi durante il fine settimana e quotidianamente tra le 12 e le 15. Non molto significativi sono invece i dati relativi alle concentrazioni di  $SO_2$ .

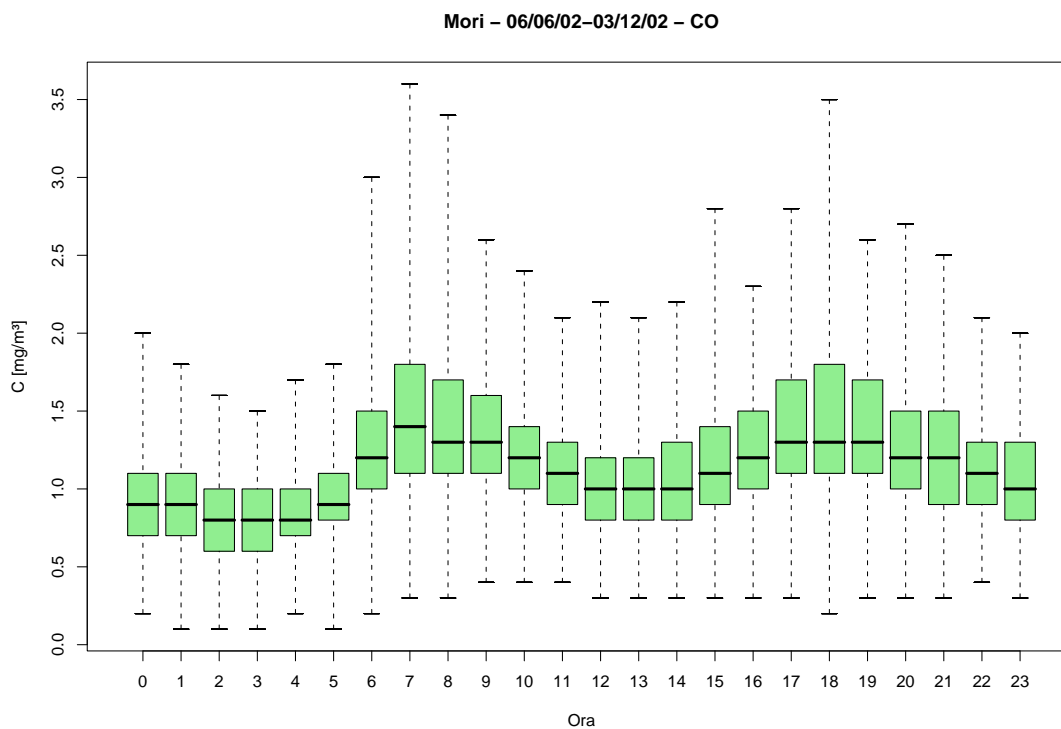


Figura 18.1: Campagna di misura a Mori (06/06/02-03/12/02), inquinante:  $CO$ . Box-plot relativo all'ora del giorno.

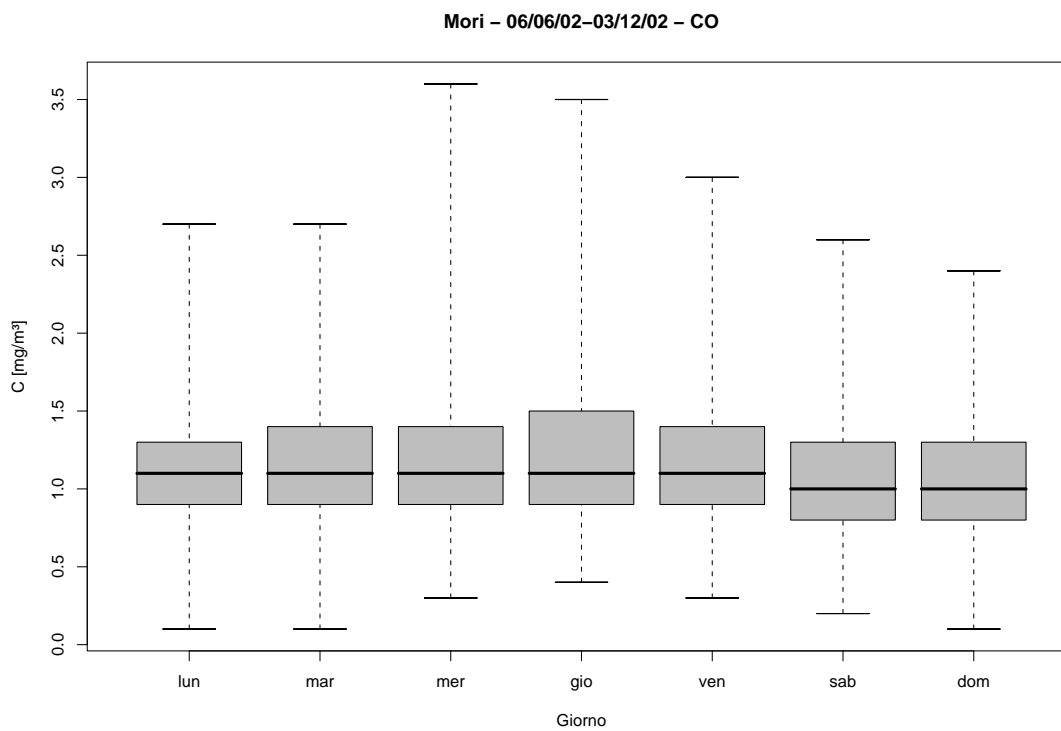


Figura 18.2: Campagna di misura a Mori (06/06/02-03/12/02), inquinante:  $CO$ . Box-plot relativo al giorno della settimana.

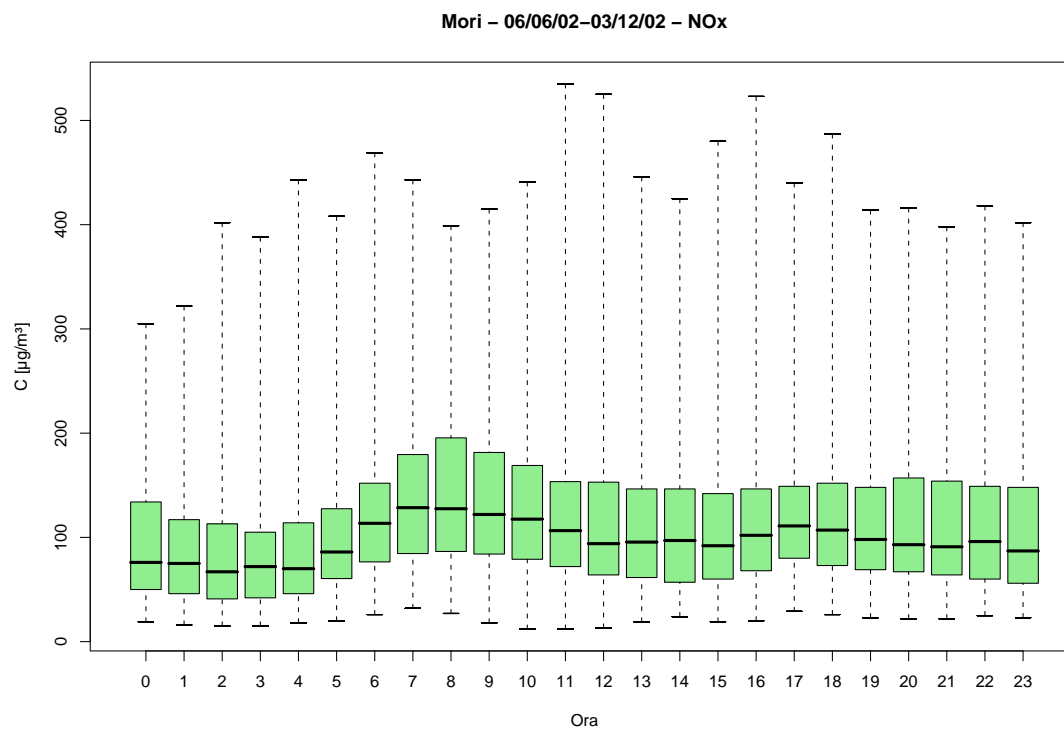


Figura 18.3: Campagna di misura a Mori (06/06/02-03/12/02), inquinante:  $NO_x$ . Box-plot relativo all'ora del giorno.

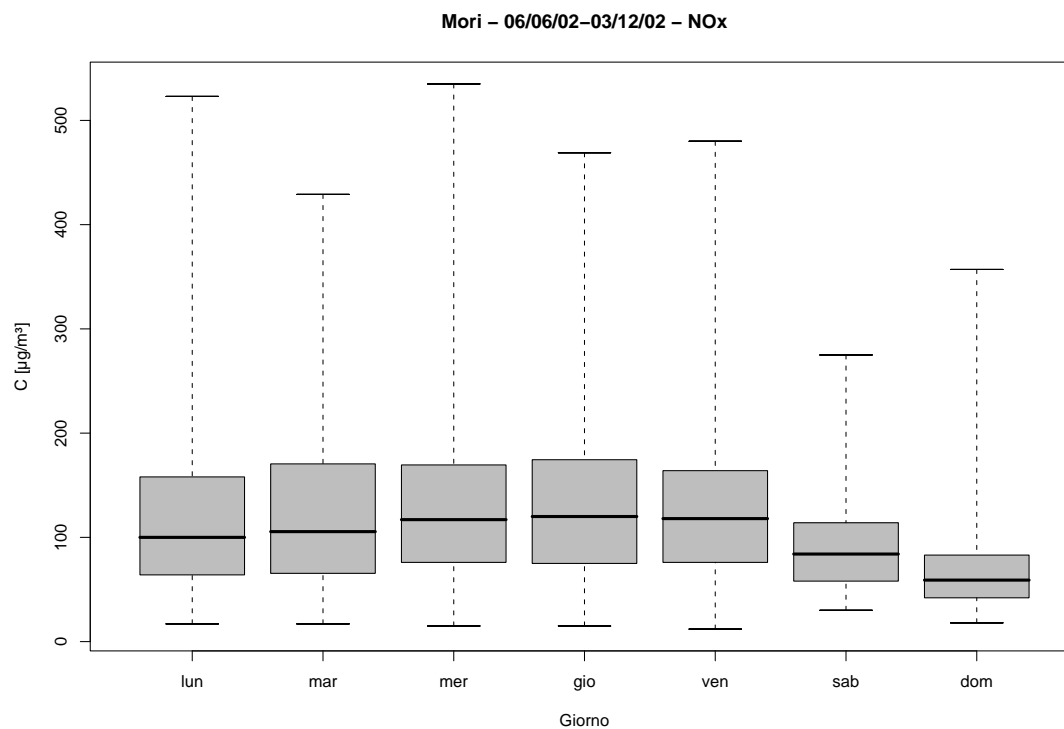


Figura 18.4: Campagna di misura a Mori (06/06/02-03/12/02), inquinante:  $NO_x$ . Box-plot relativo al giorno della settimana.

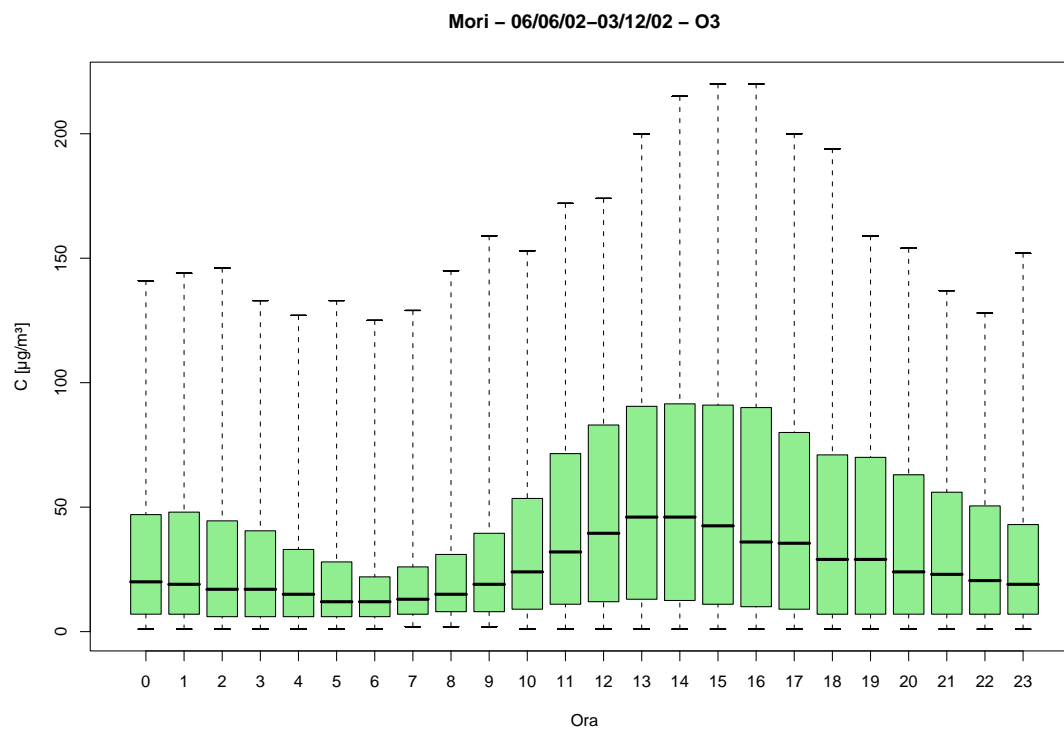


Figura 18.5: Campagna di misura a Mori (06/06/02-03/12/02), inquinante:  $O_3$ . Box-plot relativo all'ora del giorno.

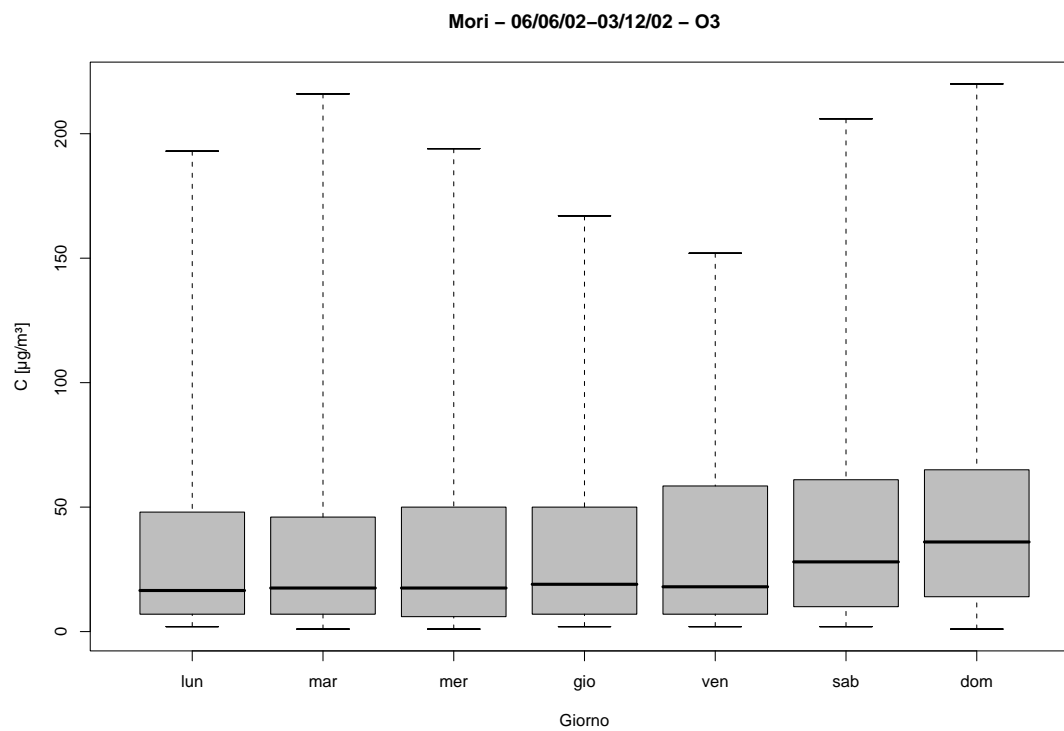


Figura 18.6: Campagna di misura a Mori (06/06/02-03/12/02), inquinante:  $O_3$ . Box-plot relativo al giorno della settimana.

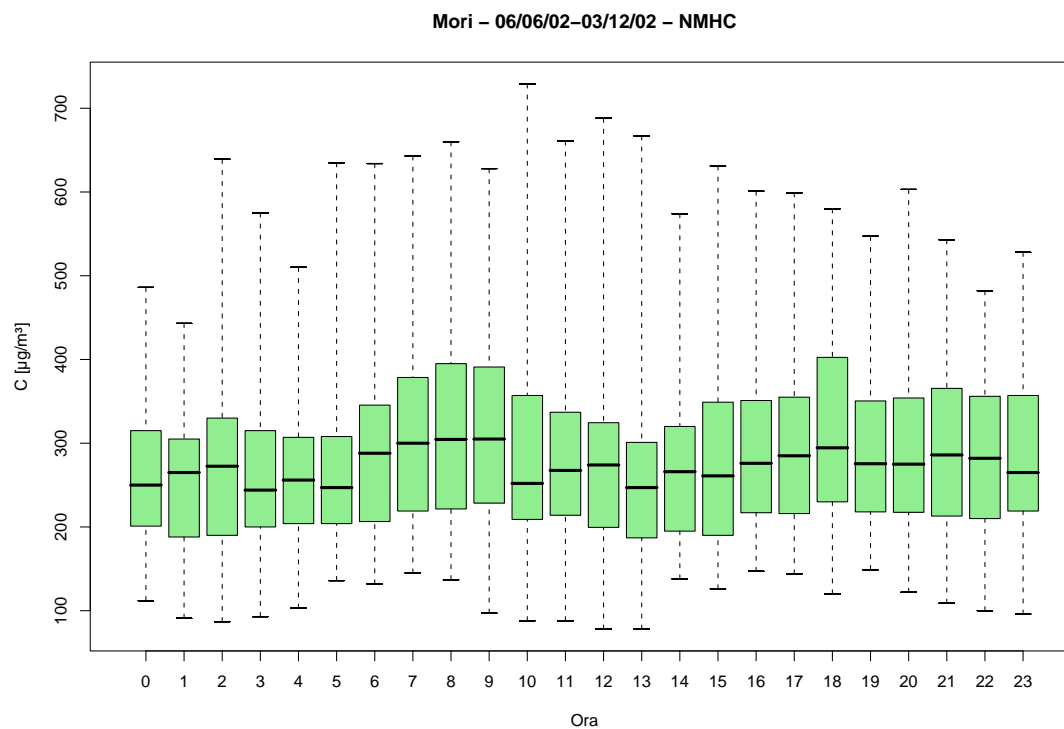


Figura 18.7: Campagna di misura a Mori (06/06/02-03/12/02), inquinante: *NMHC*. Box-plot relativo all'ora del giorno.

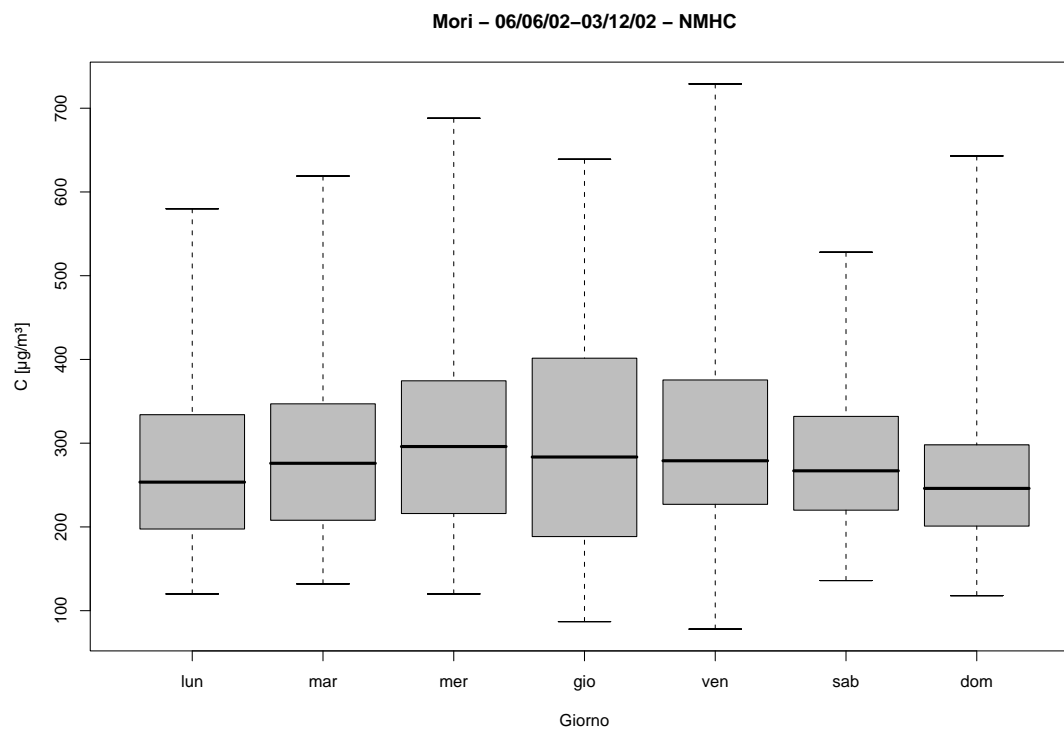


Figura 18.8: Campagna di misura a Mori (06/06/02-03/12/02), inquinante: *NMHC*. Box-plot relativo al giorno della settimana.

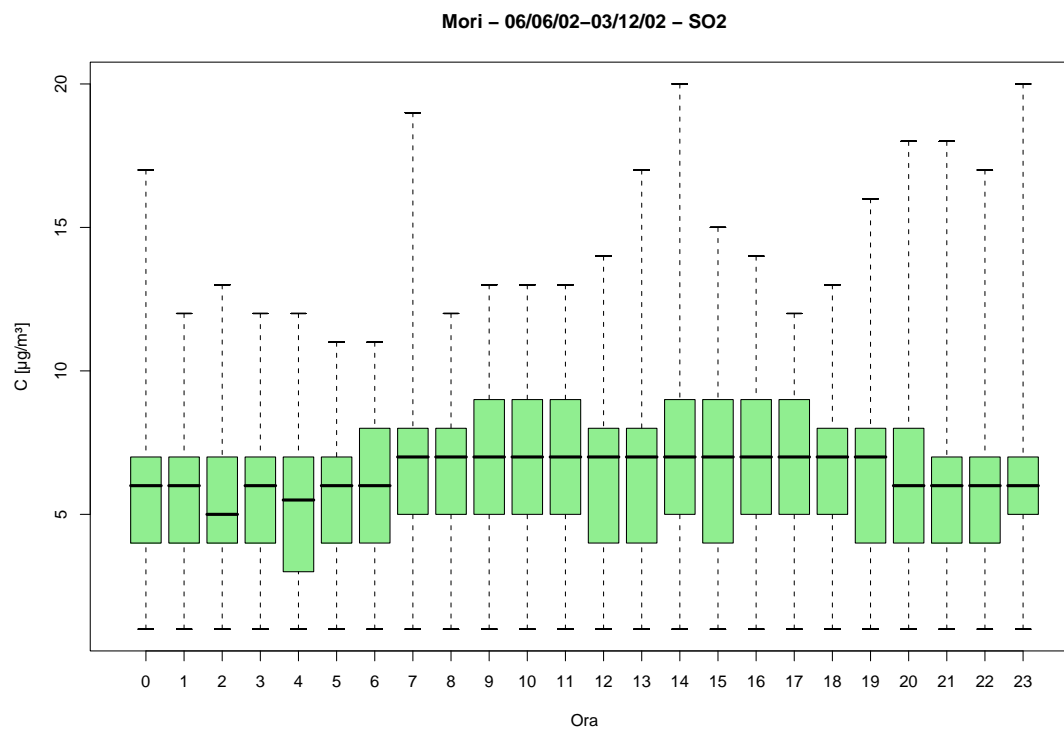


Figura 18.9: Campagna di misura a Mori (06/06/02-03/12/02), inquinante:  $SO_2$ . Box-plot relativo all'ora del giorno.

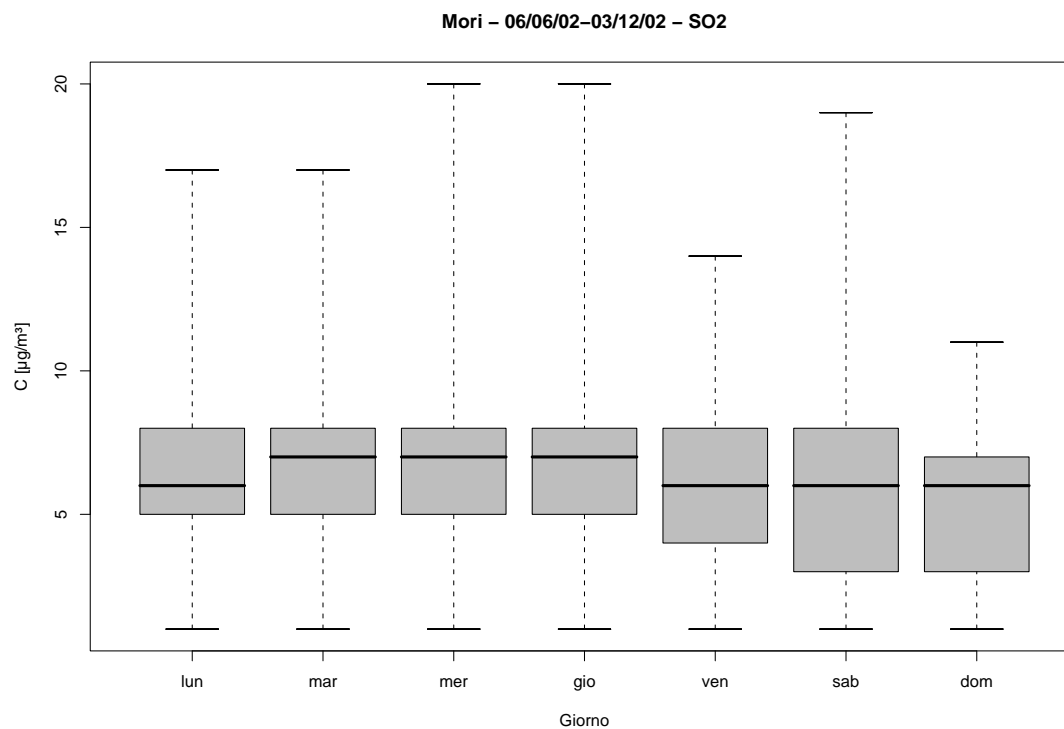


Figura 18.10: Campagna di misura a Mori (06/06/02-03/12/02), inquinante:  $SO_2$ . Box-plot relativo al giorno della settimana.



Mori - 06/06/02-03/12/02  
distribuzioni in frequenza e correlazioni

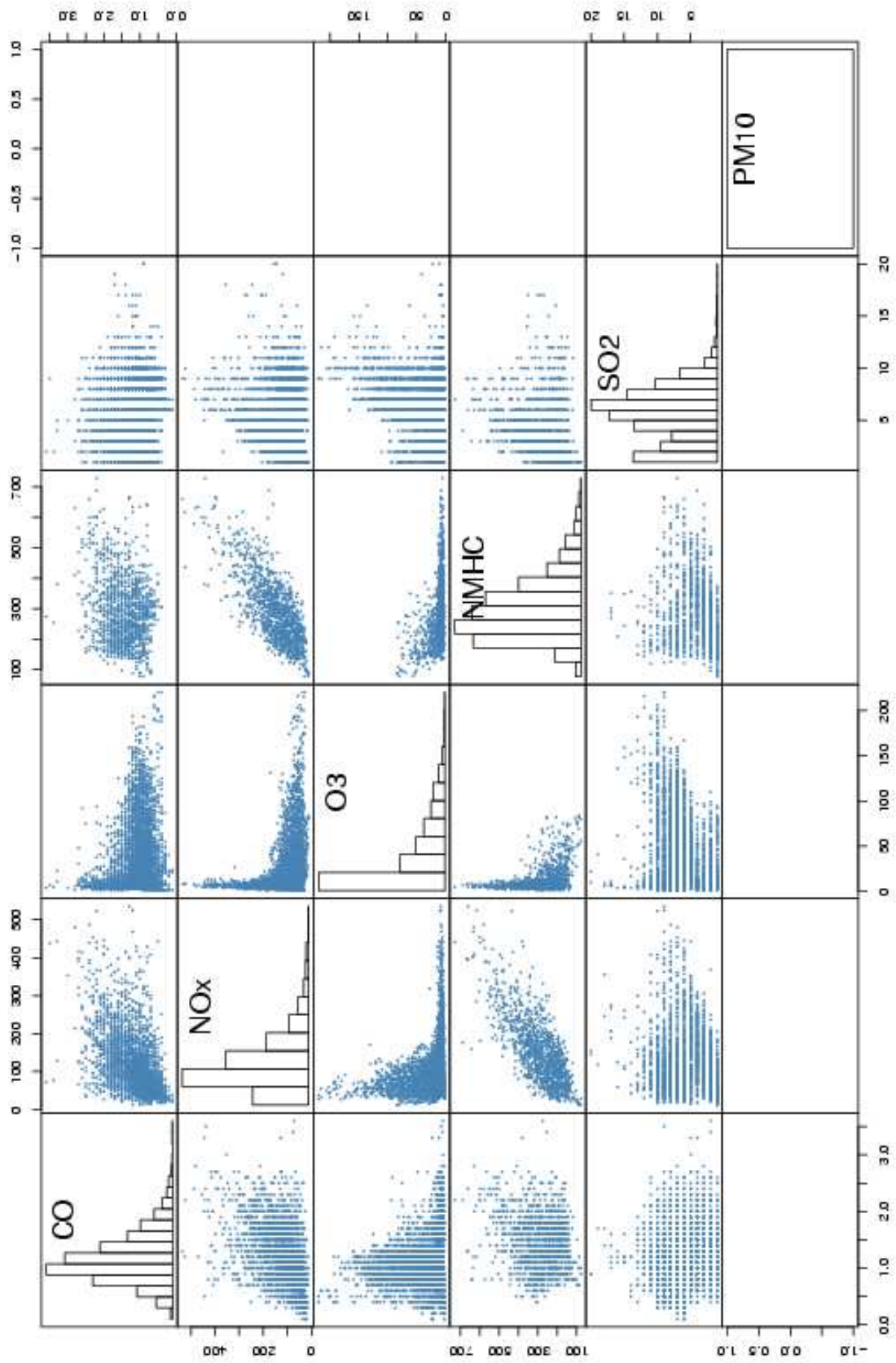
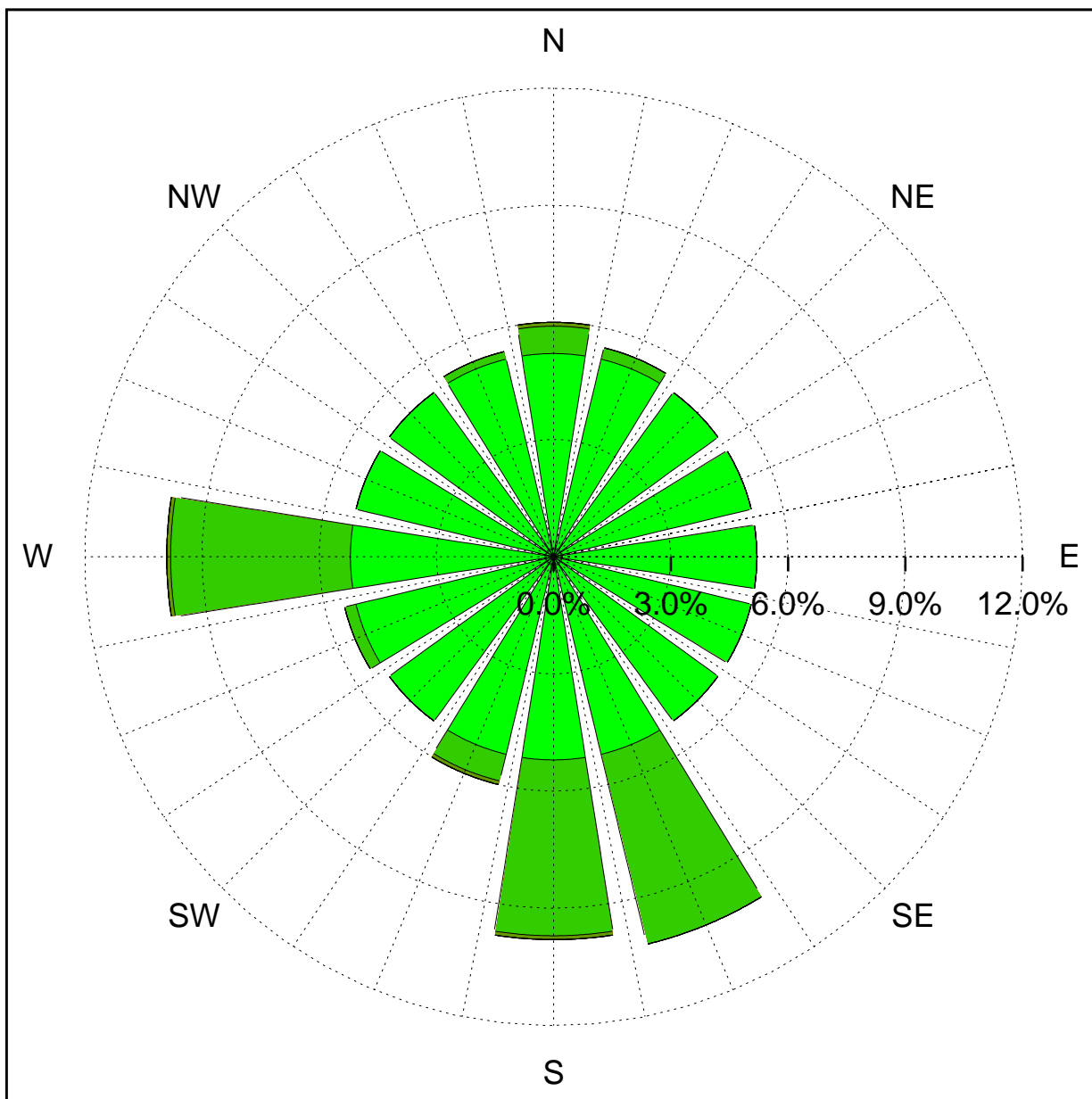


Figura 18.11: Campagna di misura a Mori (06/06/02-03/12/02). Distribuzioni in frequenza e correlazioni.

Sito di misura: Mori



Legenda - velocità [m/s]	
$v \geq 5.0$	Red line
$3.0 \leq v < 5.0$	Orange line
$2.0 \leq v < 3.0$	Brown line
$1.0 \leq v < 2.0$	Olive line
$0.5 \leq v < 1.0$	Light green line
calma ( $v < 0.5$ )	Green line

Figura 18.12: Campagna di misura a Mori (06/06/02-03/12/02). Rosa dei venti.

# 19 Campagna di misura a Riva del Garda Monte Oro

**Campagna di misura** dal 29/07/02 al 13/08/02

**Inquinanti rilevati:**  $CO$ ,  $NO_x$ ,  $O_3$ ,  $NMHC$ ,  $SO_2$

**Parametri meteorologici misurati:** velocità del vento, direzione del vento, temperatura, umidità relativa, pioggia, radiazione globale

**Note:** La breve durata della campagna di misura rende non del tutto affidabili i grafici ottenuti. Da questi si nota comunque un picco negli inquinanti in mattinata, nelle ore tra le 7 e le 10 mentre sembra non esserci il picco serale. Si nota invece molto bene il tipico andamento giornaliero dell'ozono, che fa riscontrare il massimo nelle ore pomeridiane più calde, tra le 14 e le 17. L'analisi dei dati dal punto di vista settimanale non fornisce note interessanti così come non risulta significativa l'analisi dei dati riguardanti l' $SO_2$ .

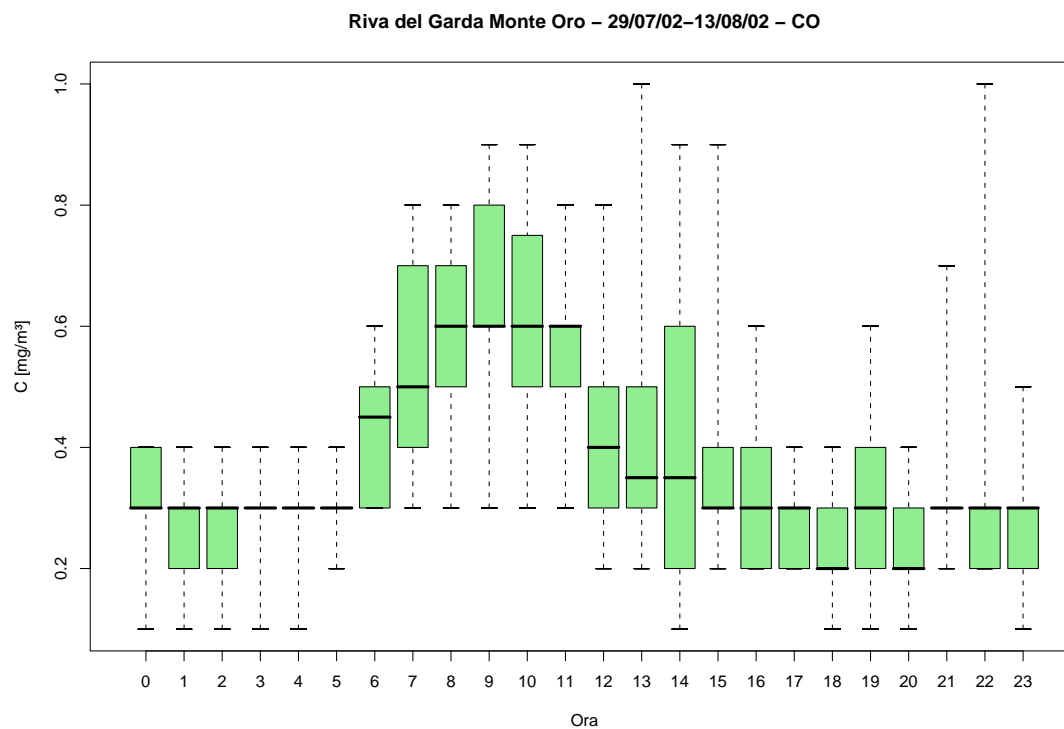


Figura 19.1: Campagna di misura a Riva del Garda Monte Oro (29/07/02-13/08/02), inquinante: *CO*. Box-plot relativo all'ora del giorno.

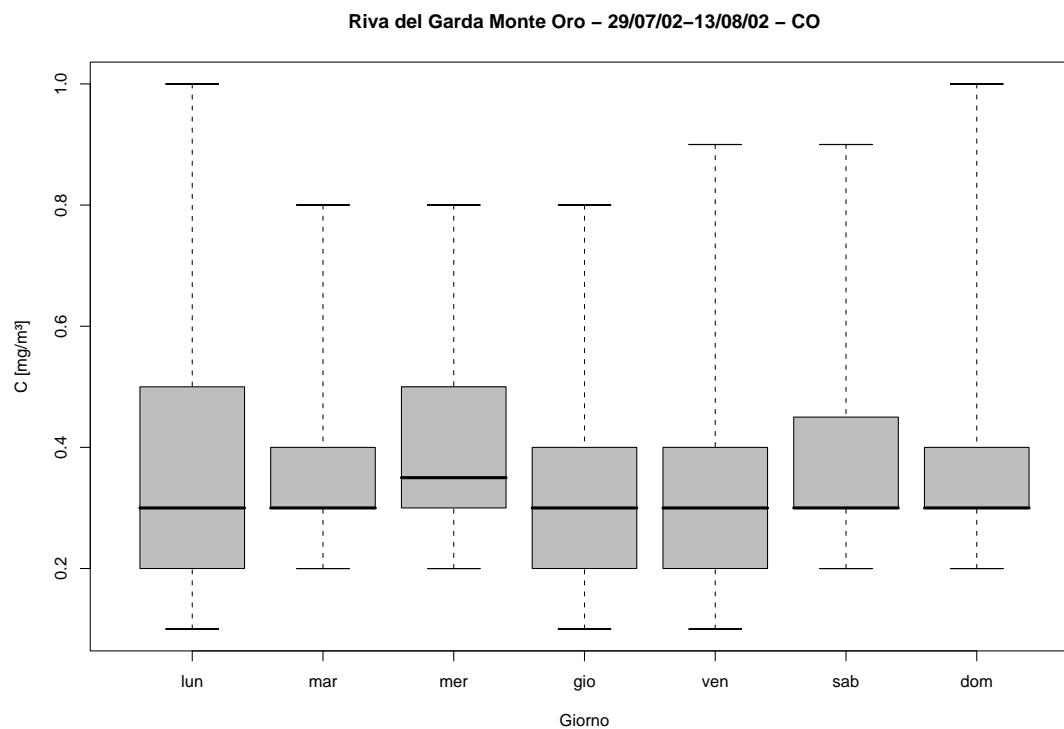


Figura 19.2: Campagna di misura a Riva del Garda Monte Oro (29/07/02-13/08/02), inquinante: *CO*. Box-plot relativo al giorno della settimana.

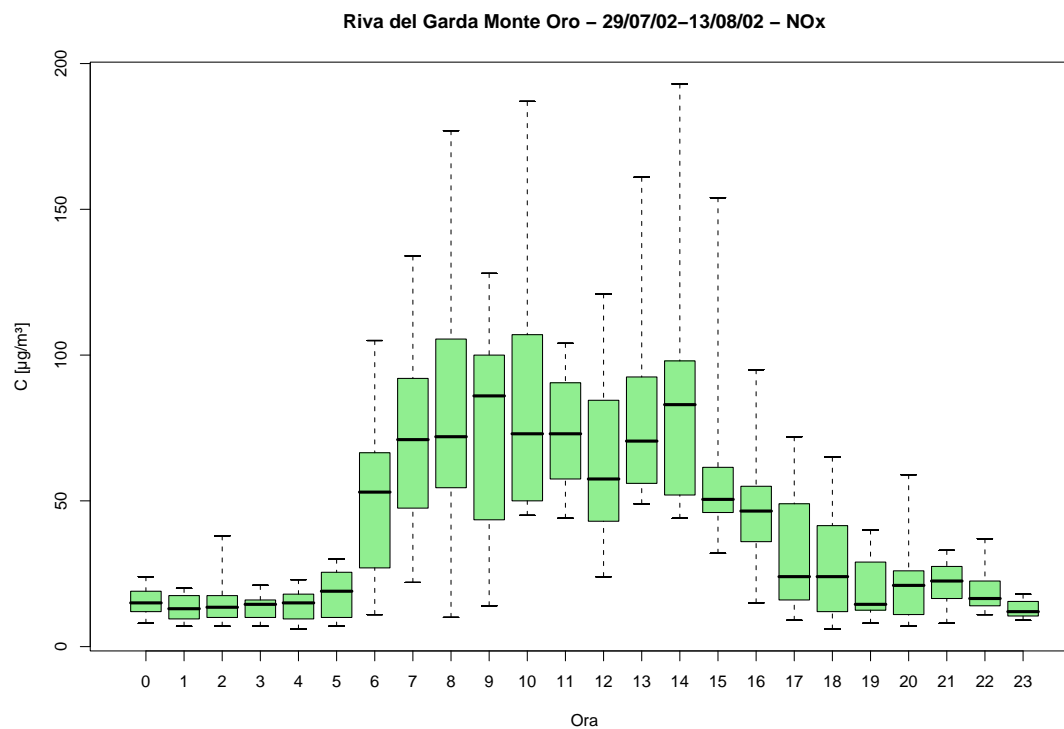


Figura 19.3: Campagna di misura a Riva del Garda Monte Oro (29/07/02-13/08/02), inquinante:  $NO_x$ . Box-plot relativo all'ora del giorno.

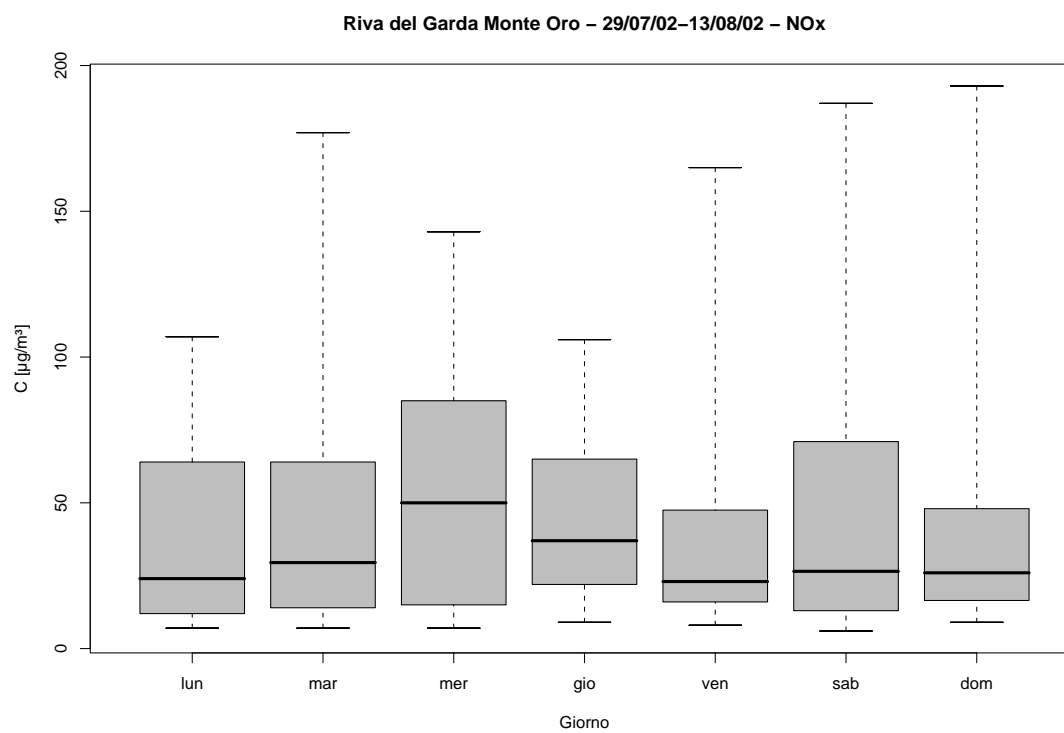


Figura 19.4: Campagna di misura a Riva del Garda Monte Oro (29/07/02-13/08/02), inquinante:  $NO_x$ . Box-plot relativo al giorno della settimana.

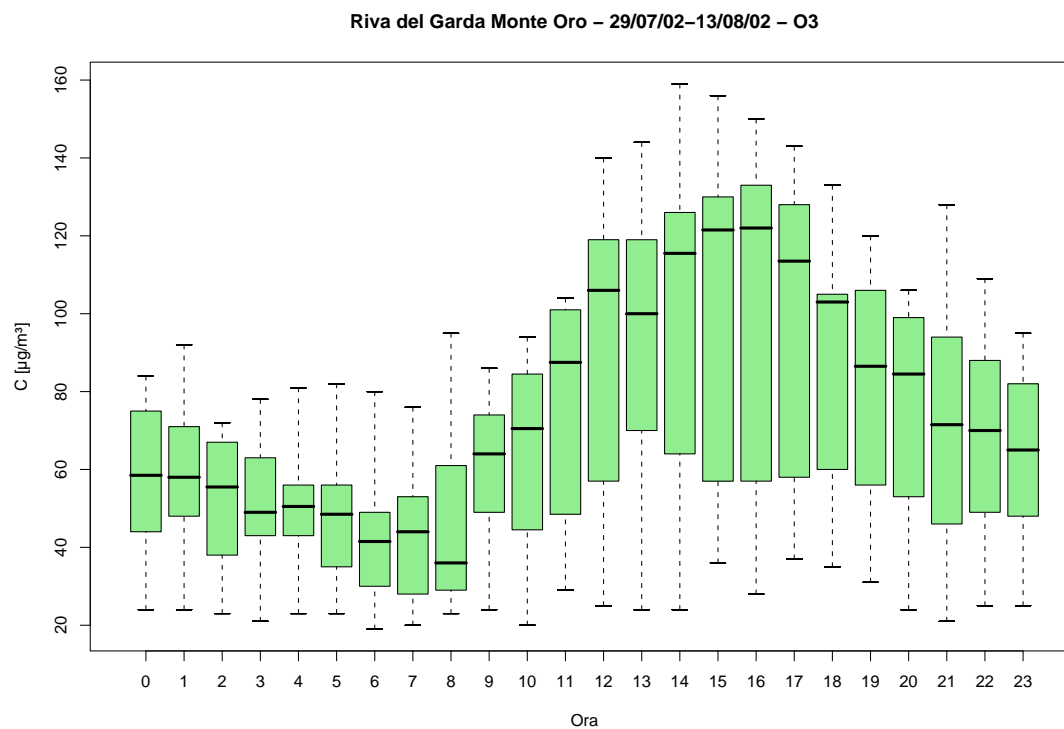


Figura 19.5: Campagna di misura a Riva del Garda Monte Oro (29/07/02-13/08/02), inquinante: O<sub>3</sub>. Box-plot relativo all'ora del giorno.

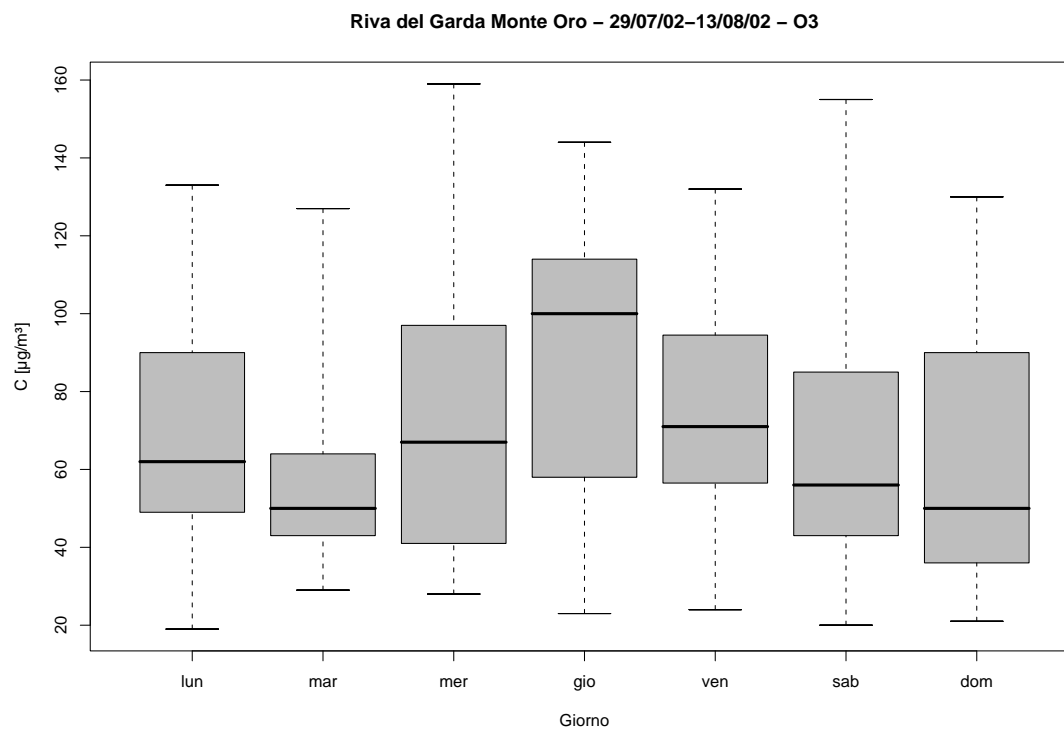


Figura 19.6: Campagna di misura a Riva del Garda Monte Oro (29/07/02-13/08/02), inquinante: O<sub>3</sub>. Box-plot relativo al giorno della settimana.

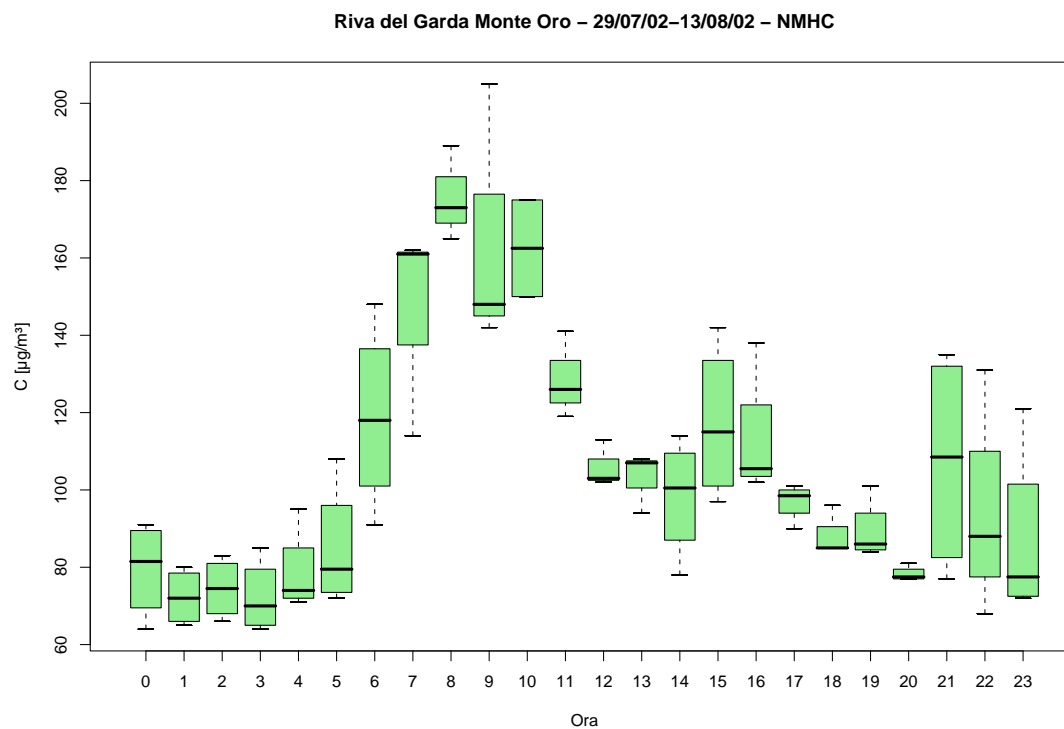


Figura 19.7: Campagna di misura a Riva del Garda Monte Oro (29/07/02-13/08/02), inquinante: *NMHC*. Box-plot relativo all'ora del giorno.

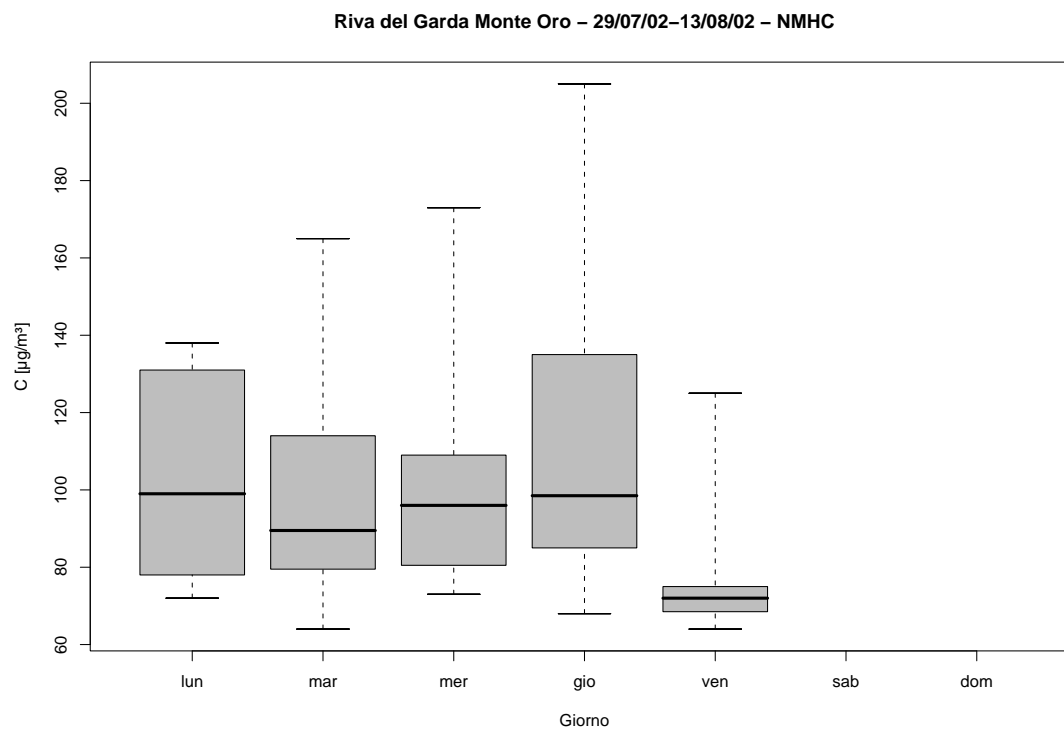


Figura 19.8: Campagna di misura a Riva del Garda Monte Oro (29/07/02-13/08/02), inquinante: *NMHC*. Box-plot relativo al giorno della settimana.

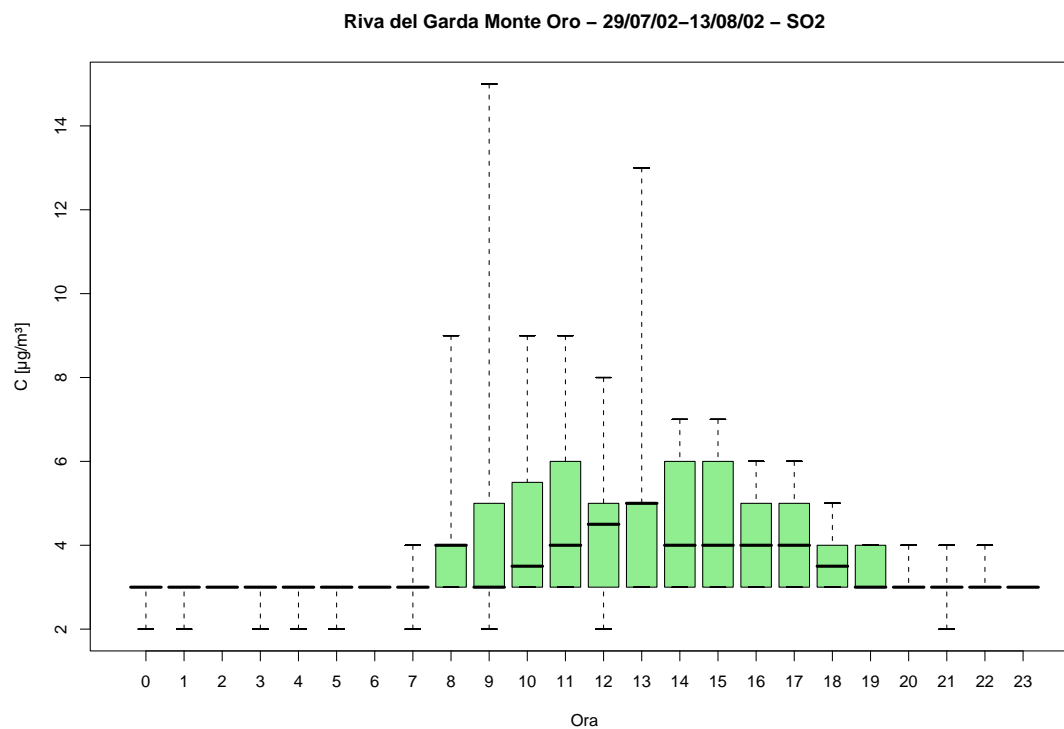


Figura 19.9: Campagna di misura a Riva del Garda Monte Oro (29/07/02-13/08/02), inquinante: SO<sub>2</sub>. Box-plot relativo all'ora del giorno.

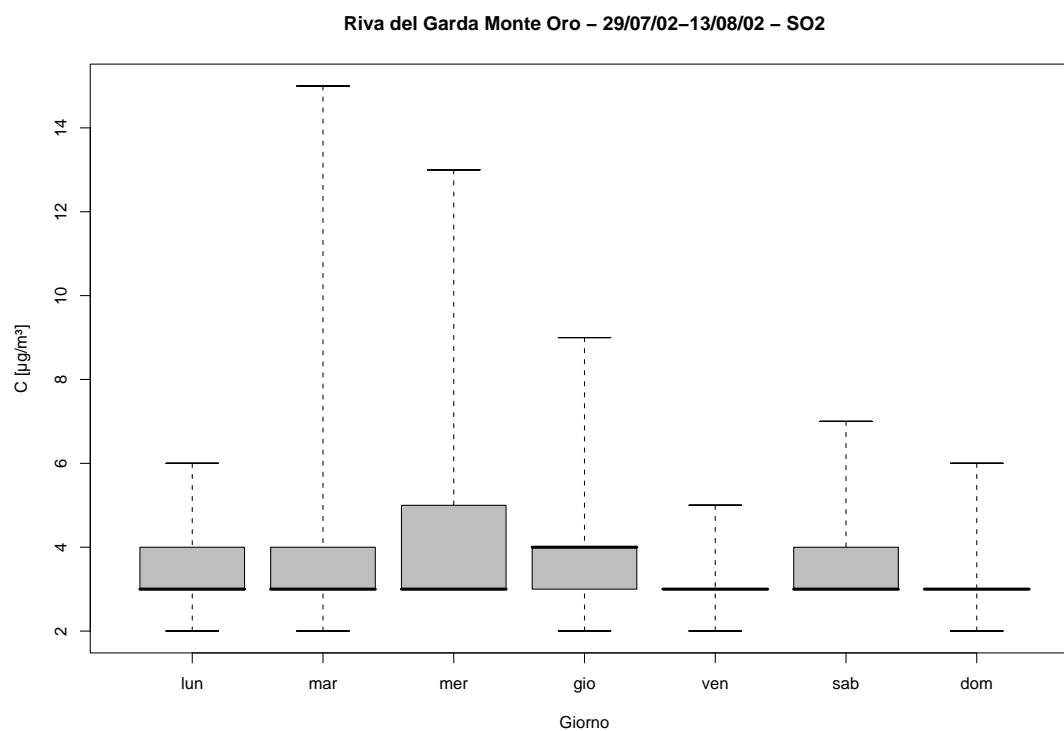


Figura 19.10: Campagna di misura a Riva del Garda Monte Oro (29/07/02-13/08/02), inquinante: SO<sub>2</sub>. Box-plot relativo al giorno della settimana.



Riva del Garda Monte Oro – 29/07/02–13/08/02  
distribuzioni in frequenza e correlazioni

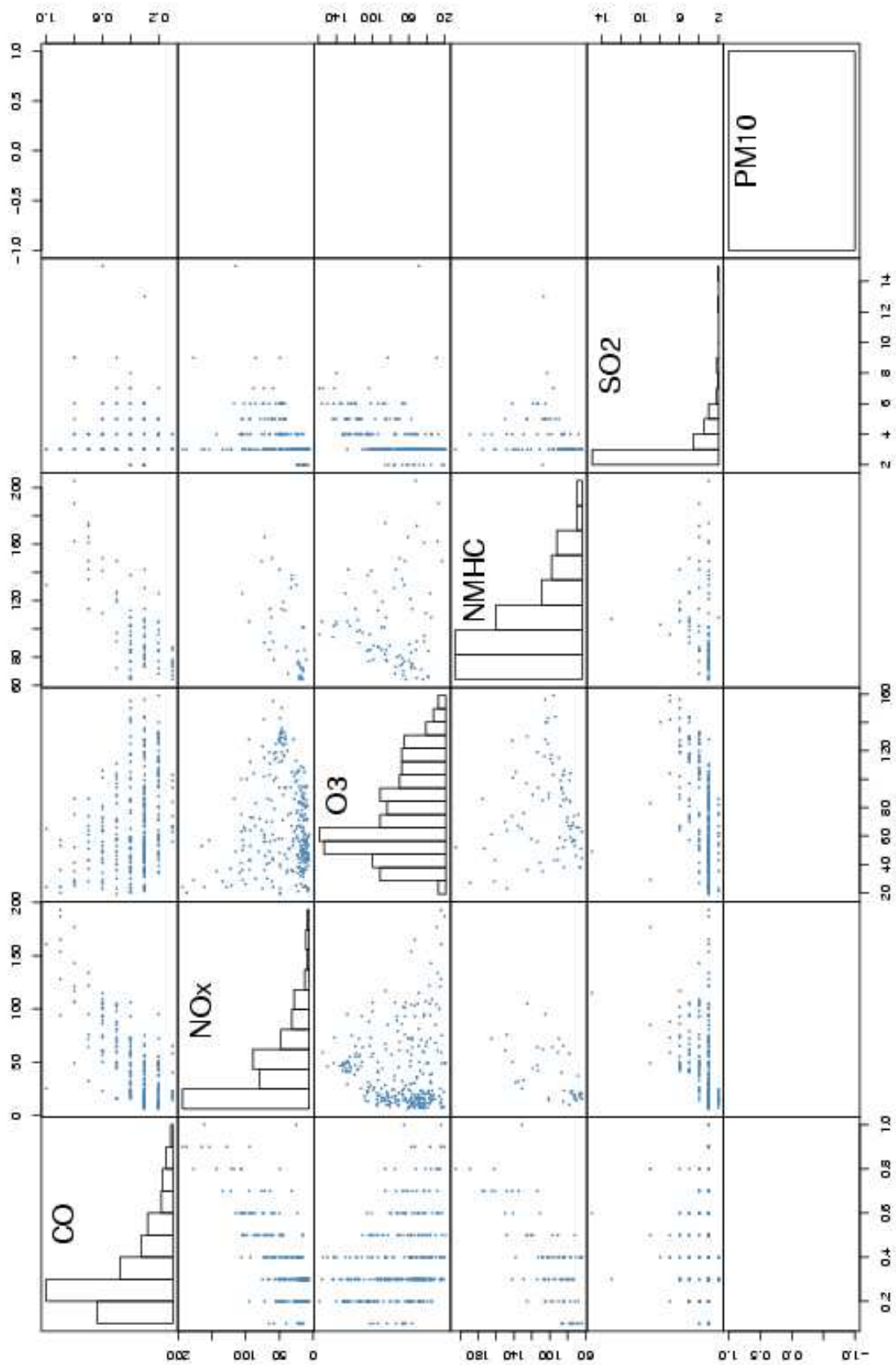
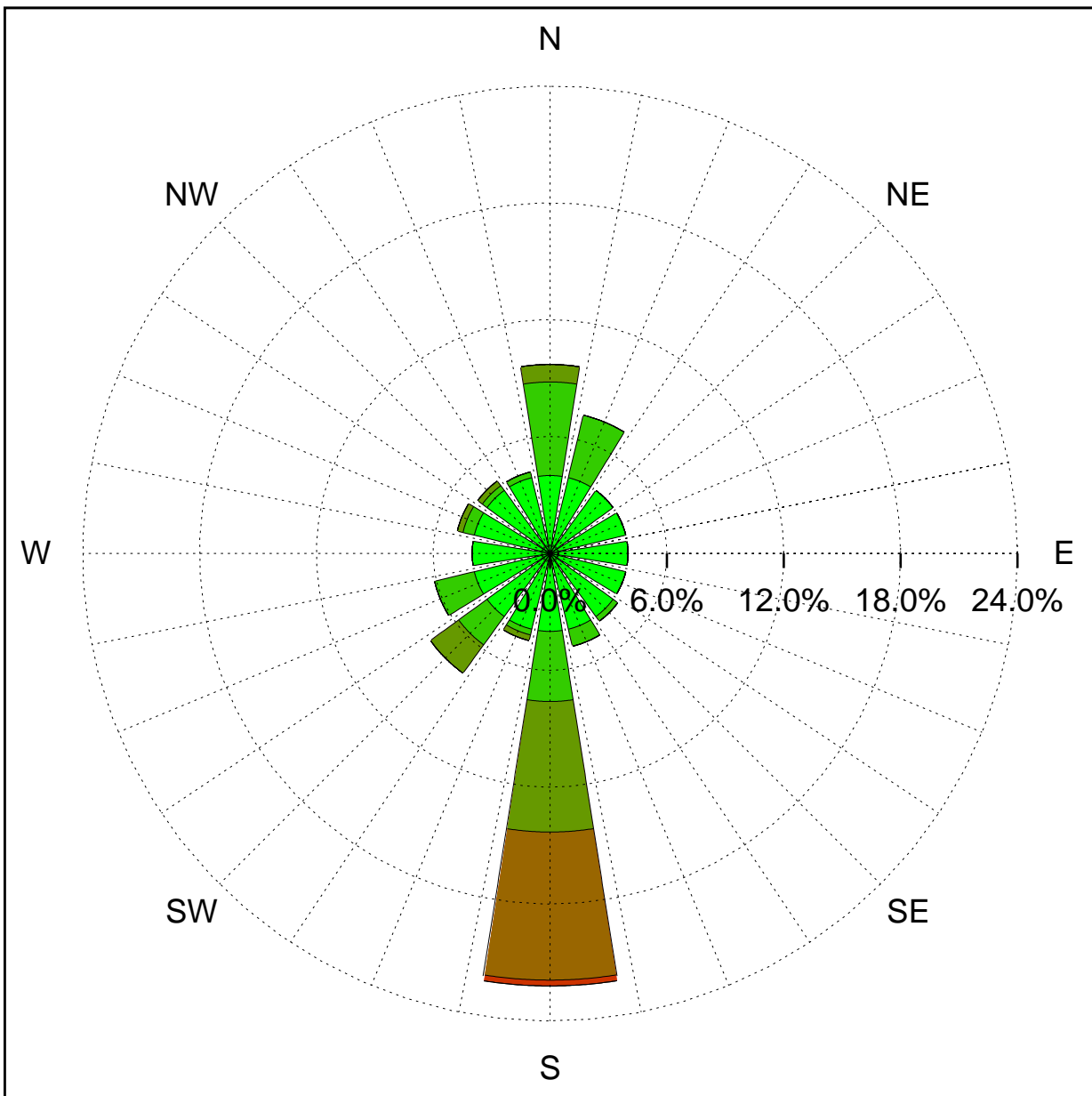


Figura 19.11: Campagna di misura a Riva del Garda Monte Oro (29/07/02-13/08/02).  
Distribuzioni in frequenza e correlazioni.

Sito di misura: Riva del Garda Monte Oro



Legenda - velocità [m/s]	
$v \geq 5.0$	
$3.0 \leq v < 5.0$	
$2.0 \leq v < 3.0$	
$1.0 \leq v < 2.0$	
$0.5 \leq v < 1.0$	
calma ( $v < 0.5$ )	

Figura 19.12: Campagna di misura a Riva del Garda Monte Oro (29/07/02-13/08/02). Rosa dei venti.

## 20 Campagna di misura a Riva del Garda Inviolata

**Campagna di misura** dal 14/08/02 al 10/09/02

**Inquinanti rilevati:**  $CO$ ,  $NO_x$ ,  $O_3$ ,  $SO_2$

**Parametri meteorologici misurati:** velocità del vento, direzione del vento, temperatura, umidità relativa, pioggia, radiazione globale

**Note:** I grafici ottenuti dall'analisi dei dati raccolti mostrano gli andamenti giornalieri tipici degli inquinanti da traffico, si notino infatti i due picchi nelle ore di punta (6-8; 18-21). Inoltre settimanalmente si registrano concentrazioni più basse la domenica. A supporto si nota, nell'andamento giornaliero dell'ozono, che i valori più bassi si ottengono tra le 5 e le 7 del mattino mentre i più elevati si ottengono nelle ore del primo pomeriggio (13-15), valori che scendono poi velocemente per mantenersi poi pressoché costanti dopo le 19. Si noti inoltre come sia proprio la domenica il giorno in cui si hanno le concentrazioni maggiori di ozono. I dati relativi alla  $SO_2$  non forniscono grafici significativi.

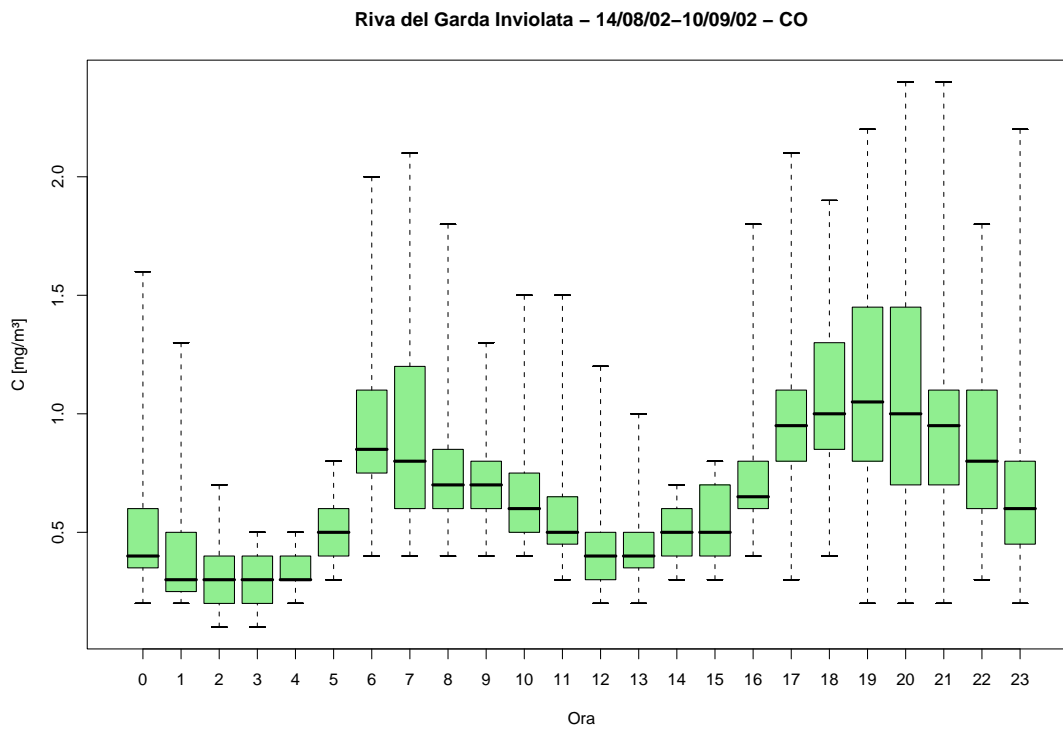


Figura 20.1: Campagna di misura a Riva del Garda Inviolata (14/08/02-10/09/02), inquinante: *CO*. Box-plot relativo all'ora del giorno.

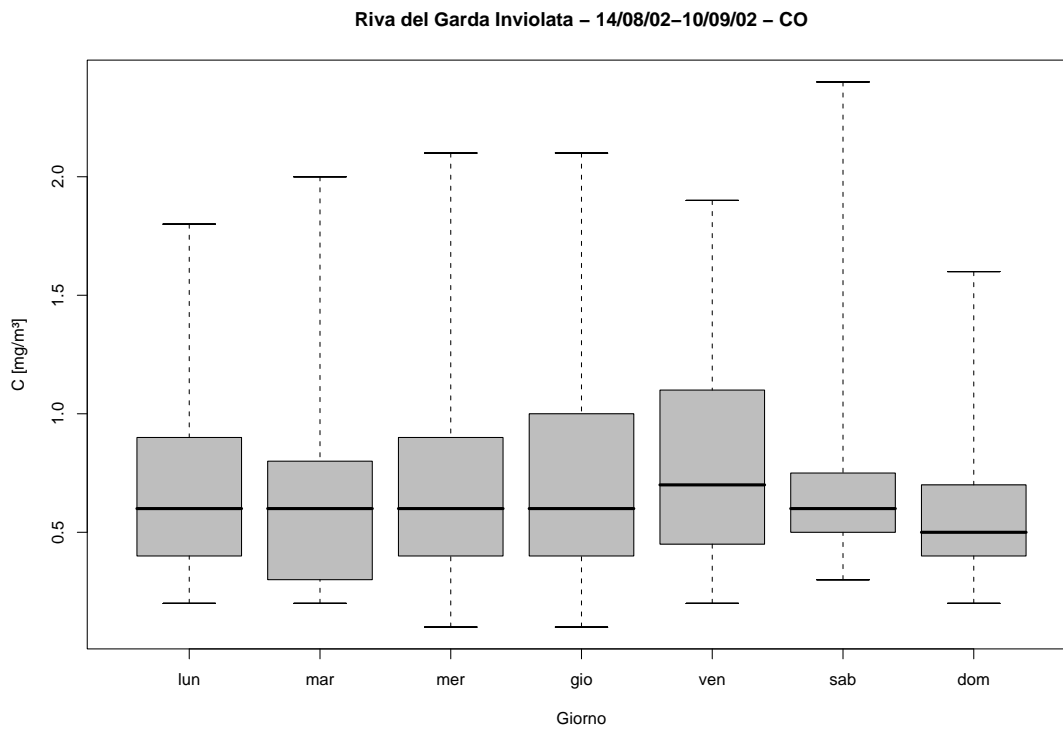


Figura 20.2: Campagna di misura a Riva del Garda Inviolata (14/08/02-10/09/02), inquinante: *CO*. Box-plot relativo al giorno della settimana.

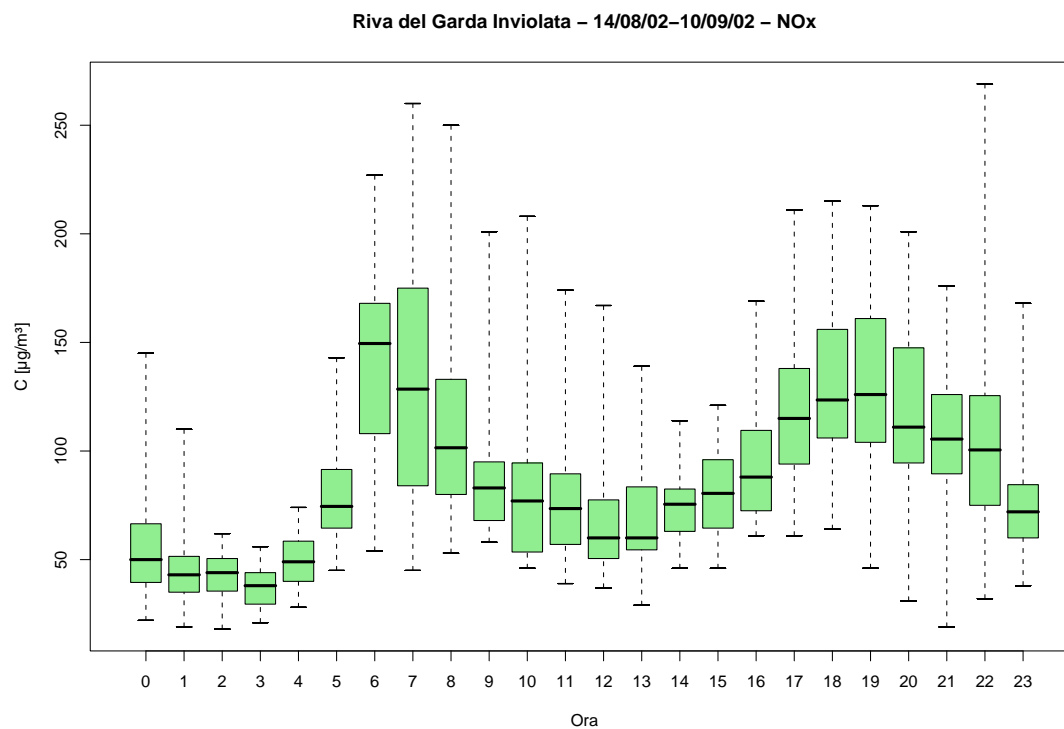


Figura 20.3: Campagna di misura a Riva del Garda Inviolata (14/08/02-10/09/02), inquinante:  $NO_x$ . Box-plot relativo all'ora del giorno.

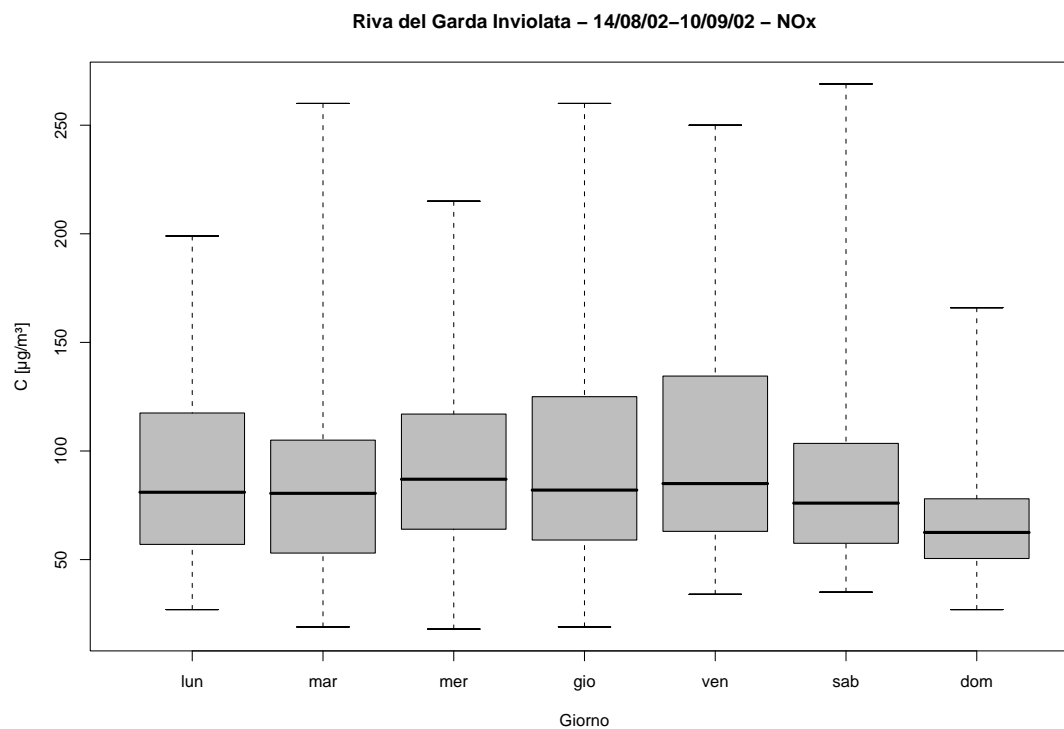


Figura 20.4: Campagna di misura a Riva del Garda Inviolata (14/08/02-10/09/02), inquinante:  $NO_x$ . Box-plot relativo al giorno della settimana.

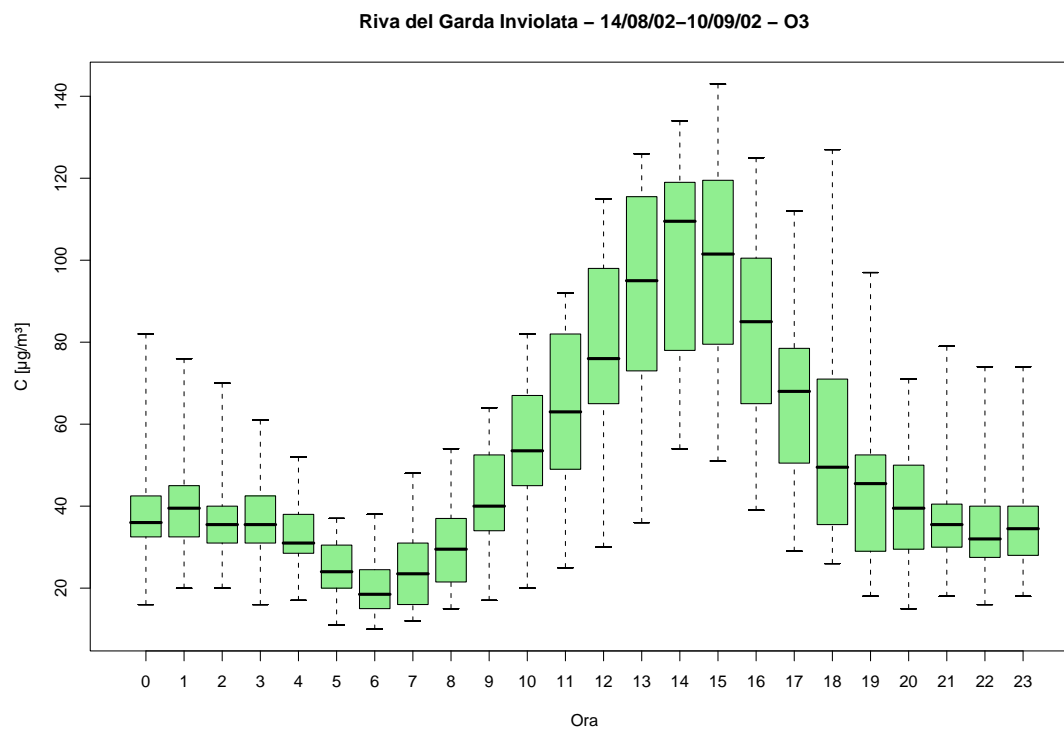


Figura 20.5: Campagna di misura a Riva del Garda Inviolata (14/08/02-10/09/02), inquinante: O<sub>3</sub>. Box-plot relativo all'ora del giorno.

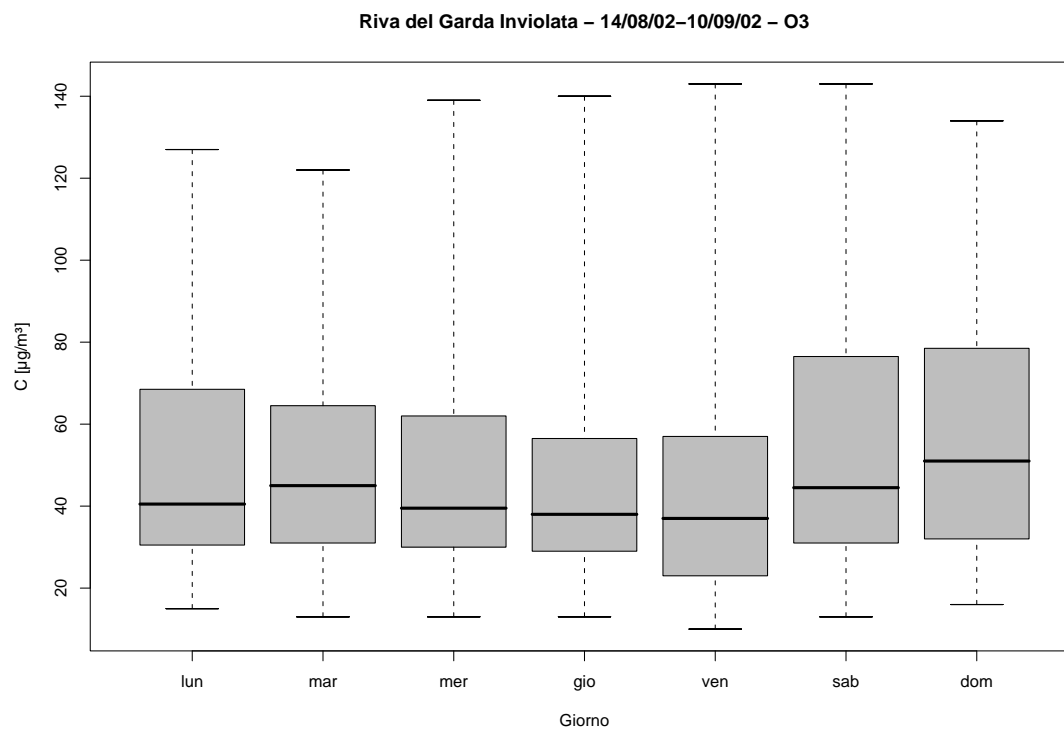


Figura 20.6: Campagna di misura a Riva del Garda Inviolata (14/08/02-10/09/02), inquinante: O<sub>3</sub>. Box-plot relativo al giorno della settimana.

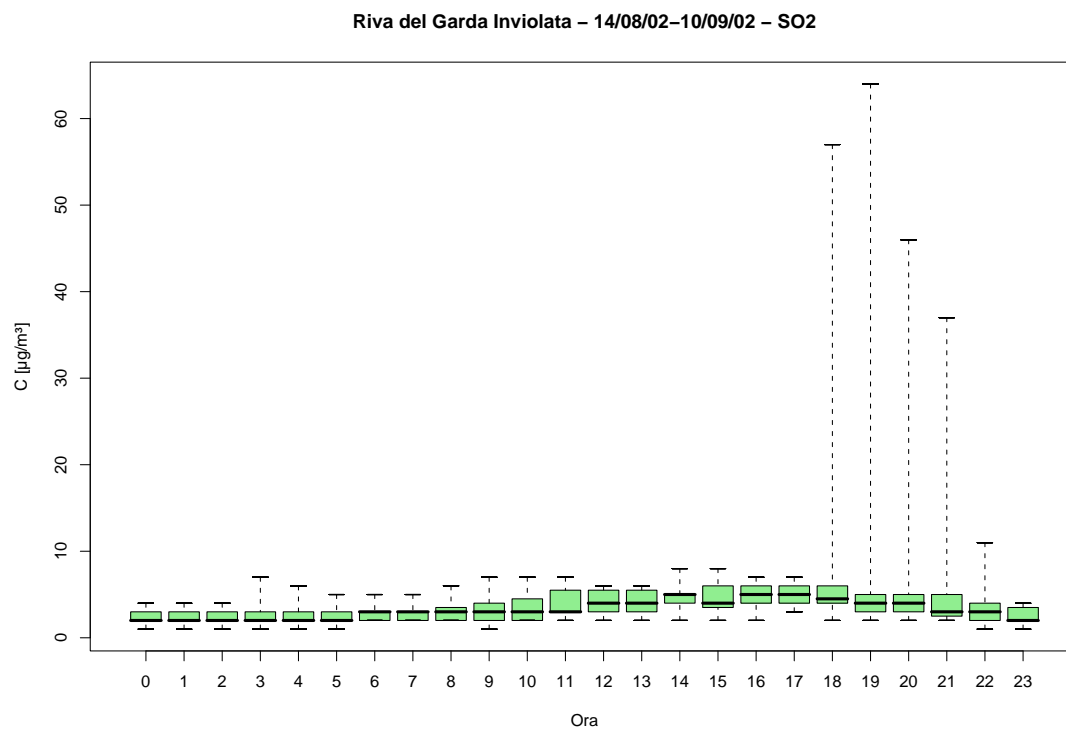


Figura 20.7: Campagna di misura a Riva del Garda Inviolata (14/08/02-10/09/02), inquinante:  $\text{SO}_2$ . Box-plot relativo all'ora del giorno.

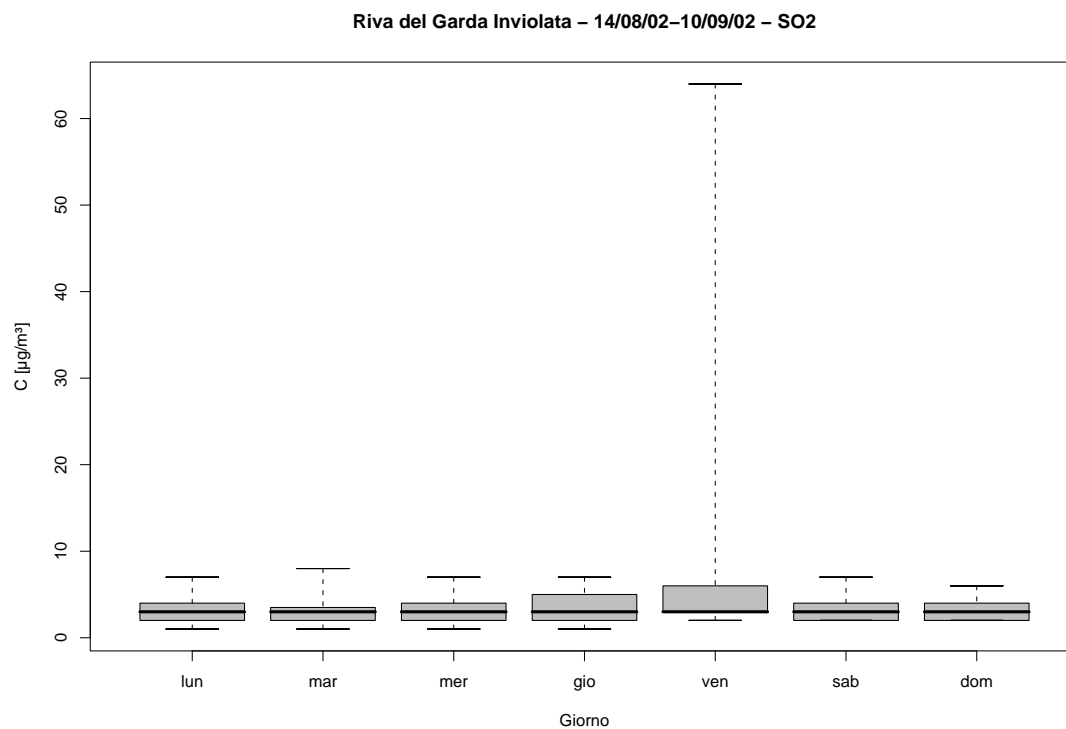


Figura 20.8: Campagna di misura a Riva del Garda Inviolata (14/08/02-10/09/02), inquinante:  $\text{SO}_2$ . Box-plot relativo al giorno della settimana.

Riva del Garda Inviolata - 14/08/02-10/09/02  
distribuzioni in frequenza e correlazioni

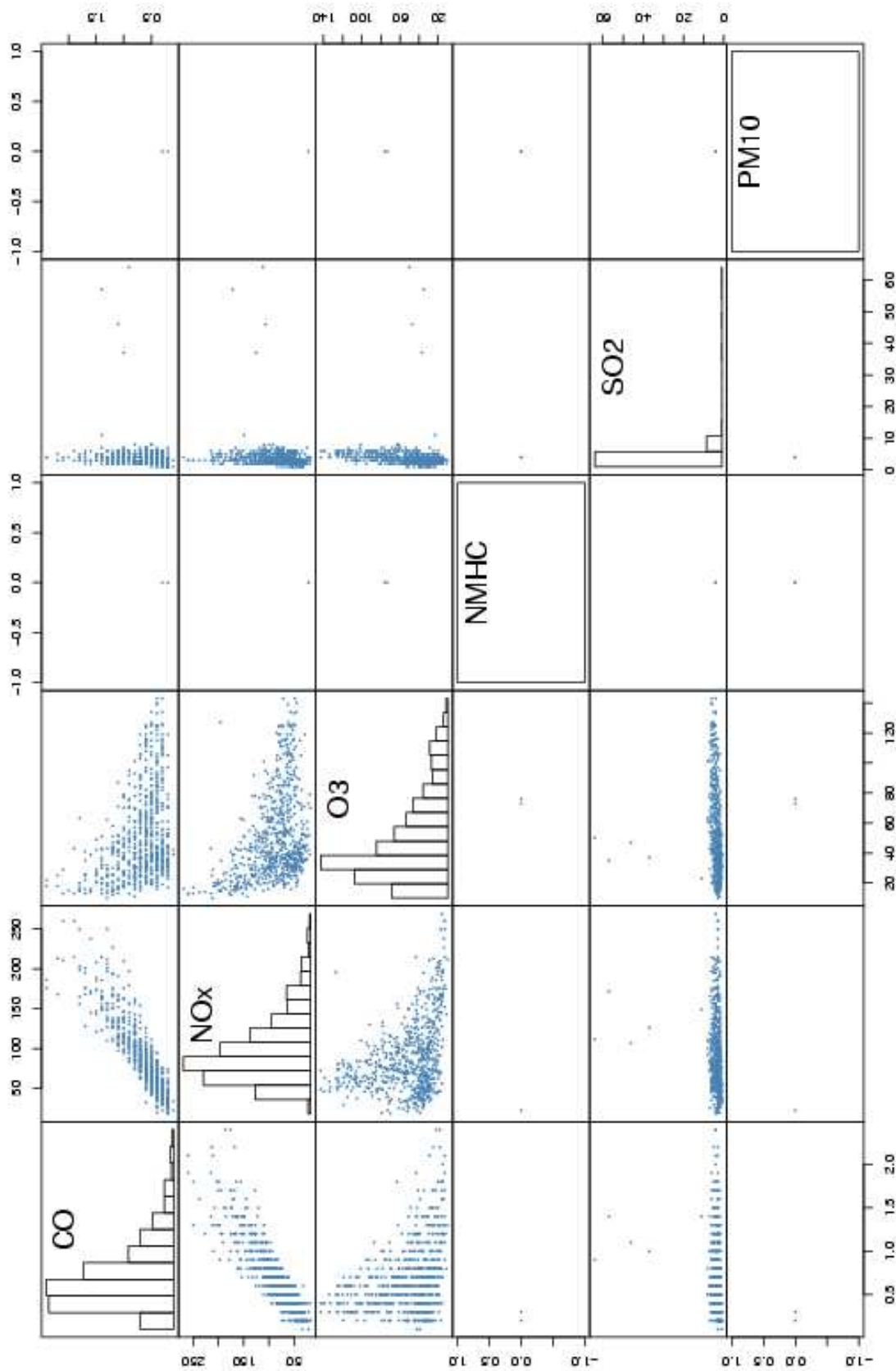


Figura 20.9: Campagna di misura a Riva del Garda Inviolata (14/08/02-10/09/02).  
Distribuzioni in frequenza e correlazioni.



Sito di misura: Riva del Garda Inviolata

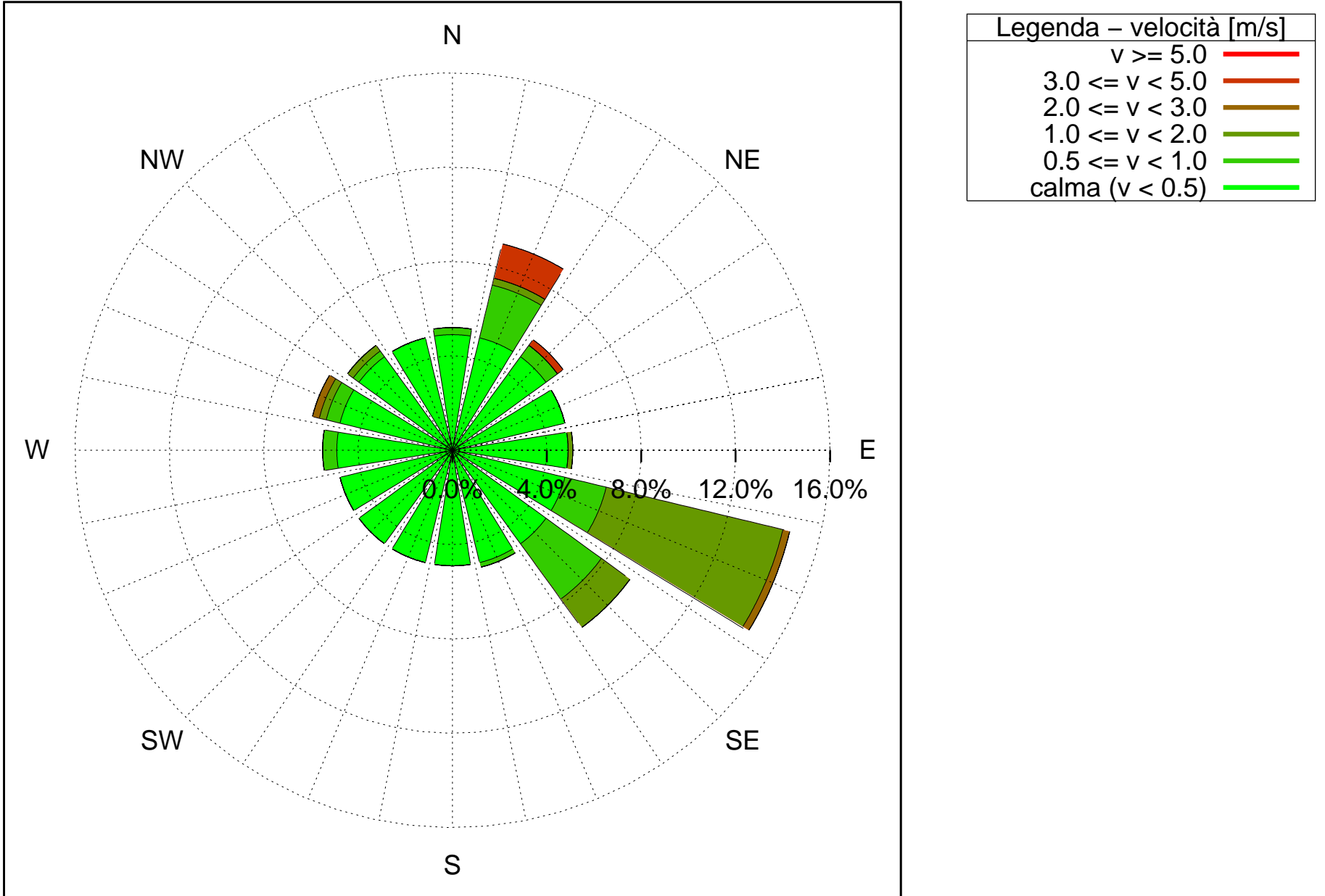


Figura 20.10: Campagna di misura a Riva del Garda Inviolata (14/08/02-10/09/02). Rosa dei venti.

# 21 Campagna di misura a Lavis via Filzi

**Campagna di misura** dal 15/11/02 al 15/01/03

**Inquinanti rilevati:** *CO, NO<sub>x</sub>, O<sub>3</sub>, NMHC, SO<sub>2</sub>*

**Parametri meteorologici misurati:** velocità del vento, direzione del vento, temperatura, umidità relativa, pioggia, radiazione globale

**Note:** La campagna svoltasi in un periodo freddo mostra un andamento dell'ozono che presenta una media quasi costante sia dal punto di vista giornaliero sia dal punto di vista settimanale sebbene si nota una dispersione maggiore nelle ore meno fredde della giornata (11-13) e la domenica, quando il traffico risulta inferiore. Le concentrazioni degli altri inquinanti mostrano l'andamento giornaliero a due picchi, il primo dei quali si registra tra le 7 e le 8 del mattino. Meno marcato è il secondo che mostrale concentrazioni che aumentano a partire dalle ore 15 e restano elevate fino alle ore 19. Lo studio sui giorni della settimana indica una valore più basso la domenica.

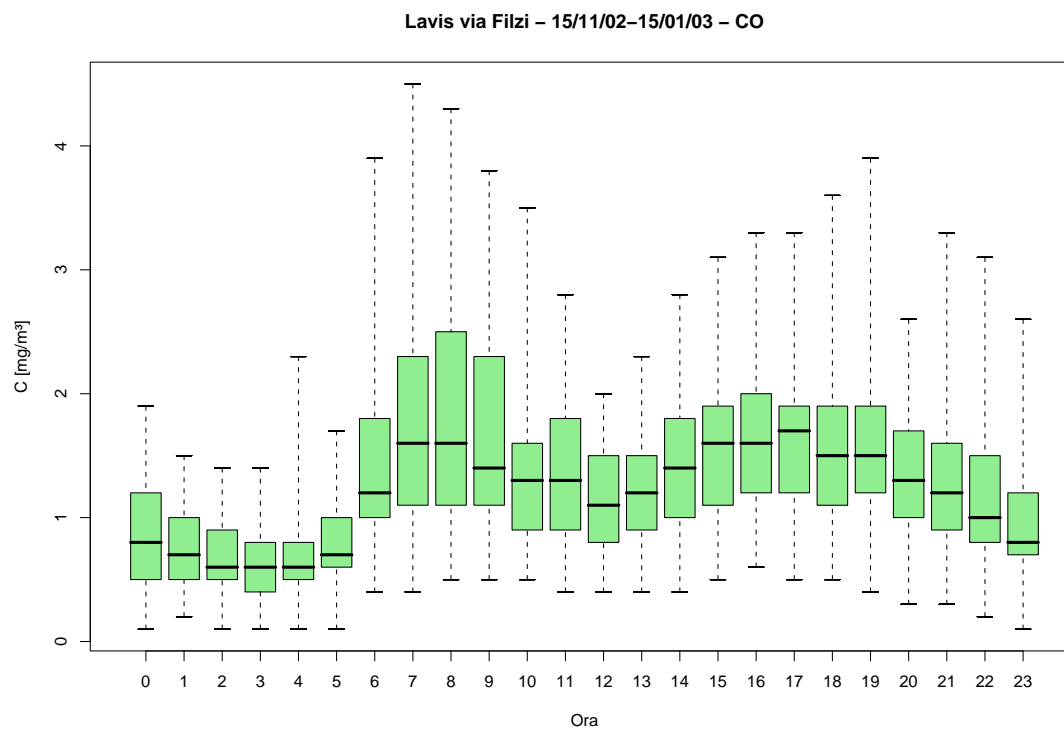


Figura 21.1: Campagna di misura a Lavis via Filzi (15/11/02-15/01/03), inquinante: *CO*. Box-plot relativo all'ora del giorno.

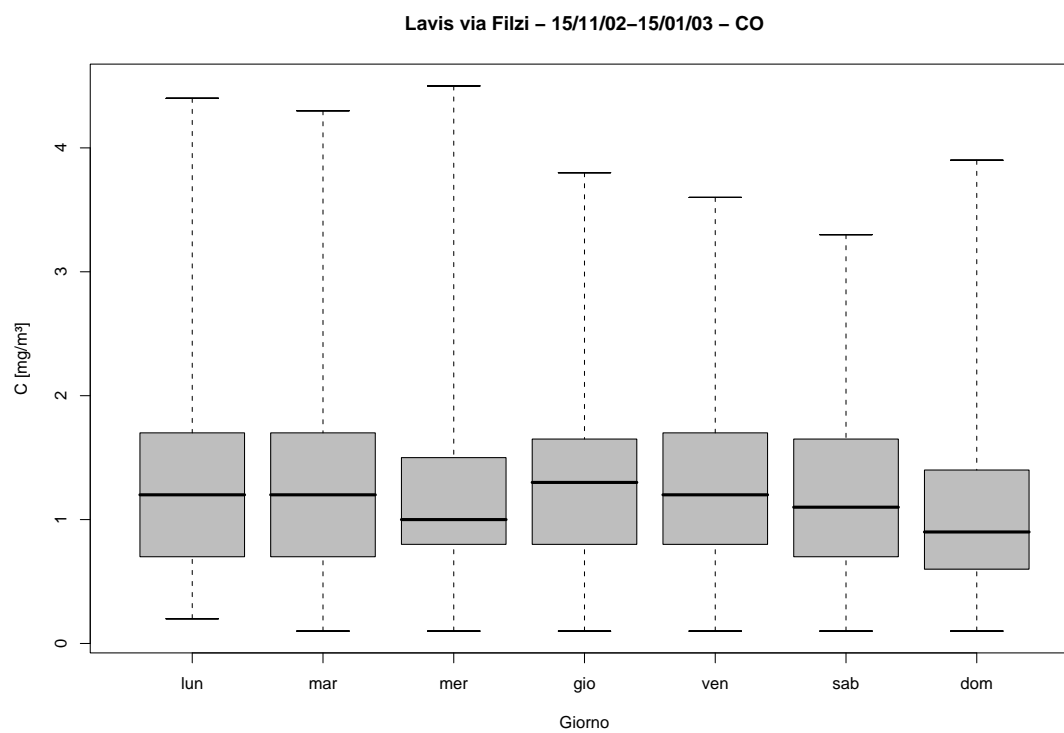


Figura 21.2: Campagna di misura a Lavis via Filzi (15/11/02-15/01/03), inquinante: *CO*. Box-plot relativo al giorno della settimana.

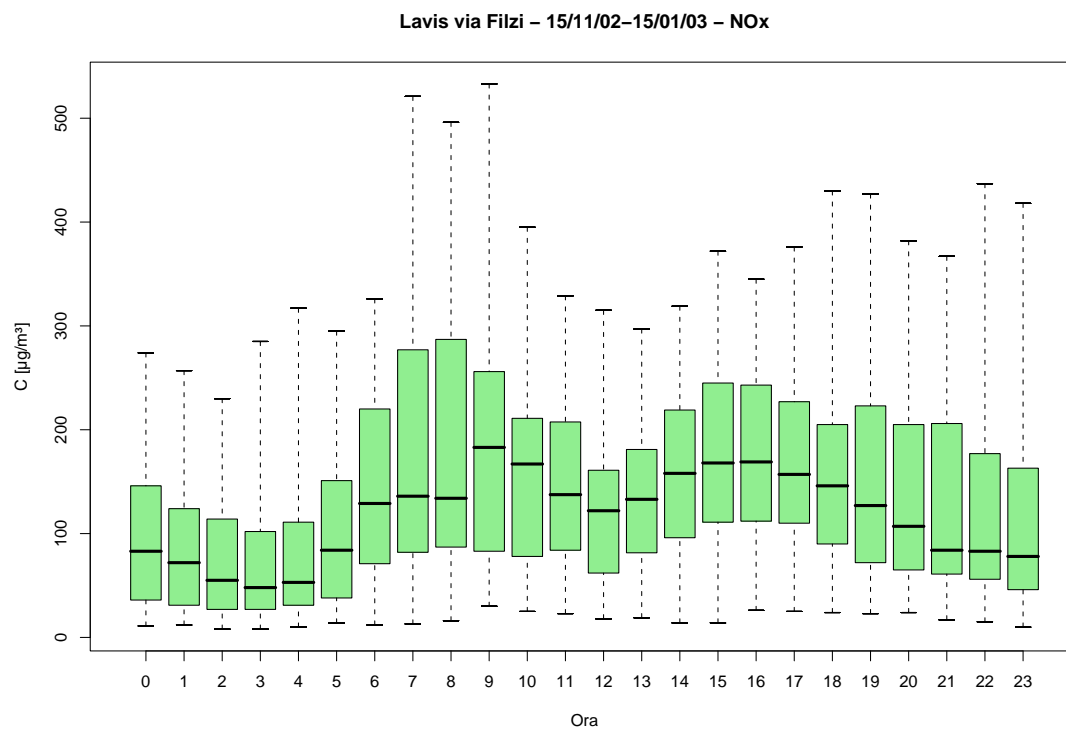


Figura 21.3: Campagna di misura a Lavis via Filzi (15/11/02-15/01/03), inquinante:  $\text{NO}_x$ .  
Box-plot relativo all'ora del giorno.

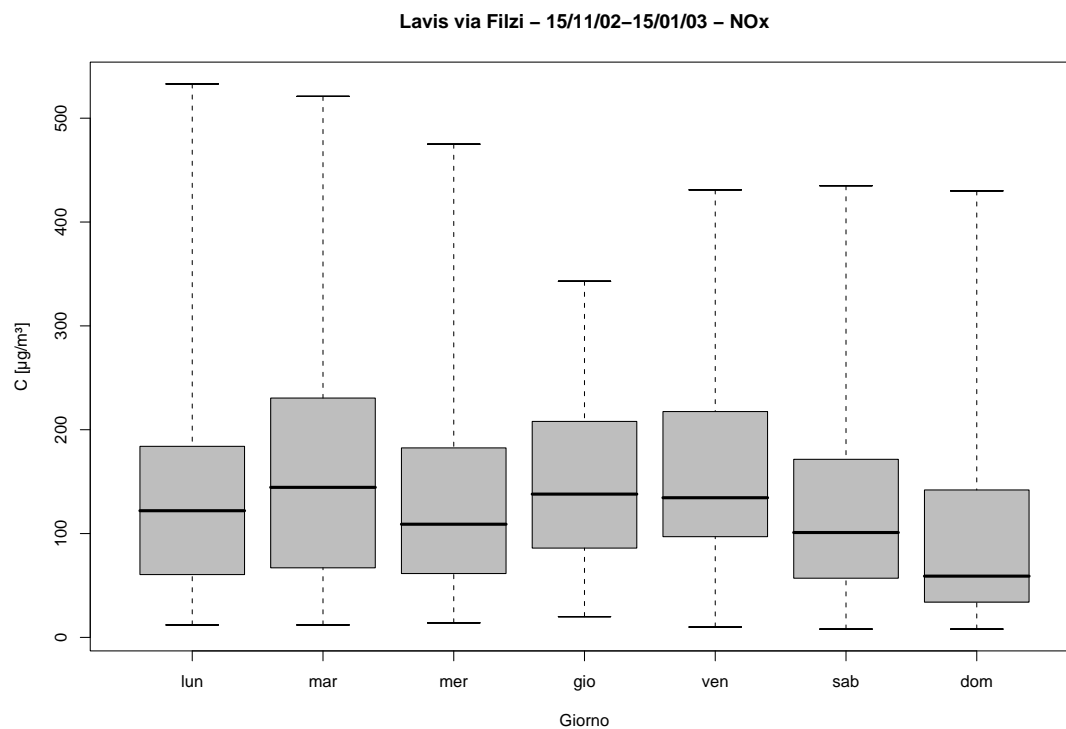


Figura 21.4: Campagna di misura a Lavis via Filzi (15/11/02-15/01/03), inquinante:  $\text{NO}_x$ .  
Box-plot relativo al giorno della settimana.

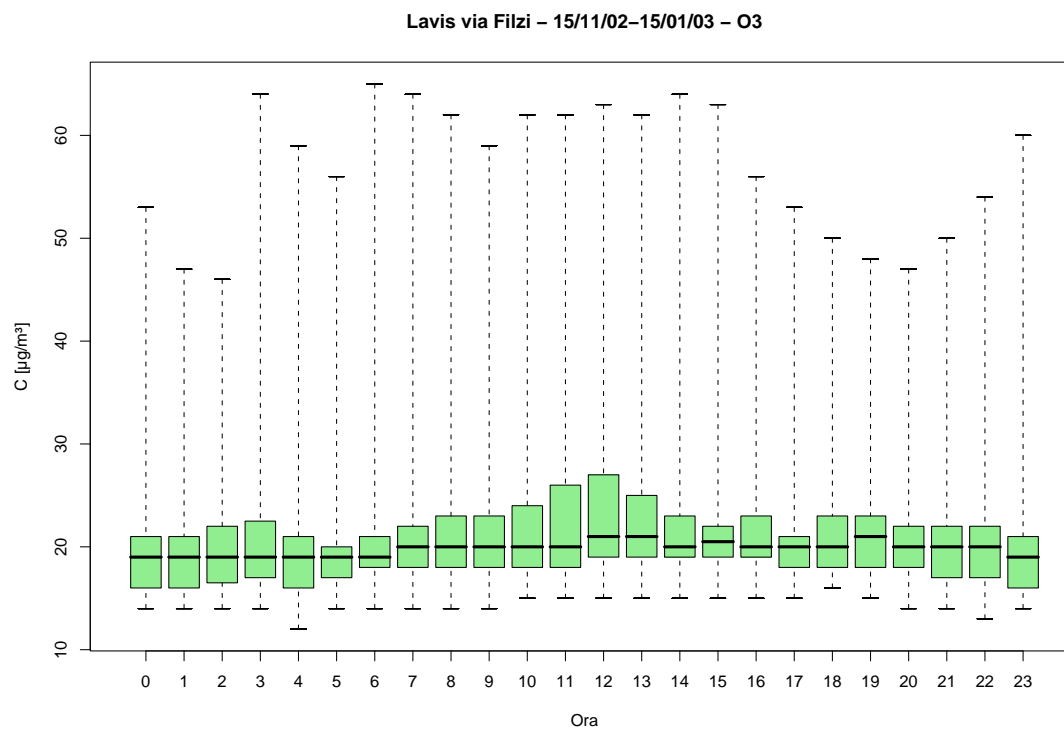


Figura 21.5: Campagna di misura a Lavis via Filzi (15/11/02-15/01/03), inquinante:  $O_3$ . Box-plot relativo all'ora del giorno.

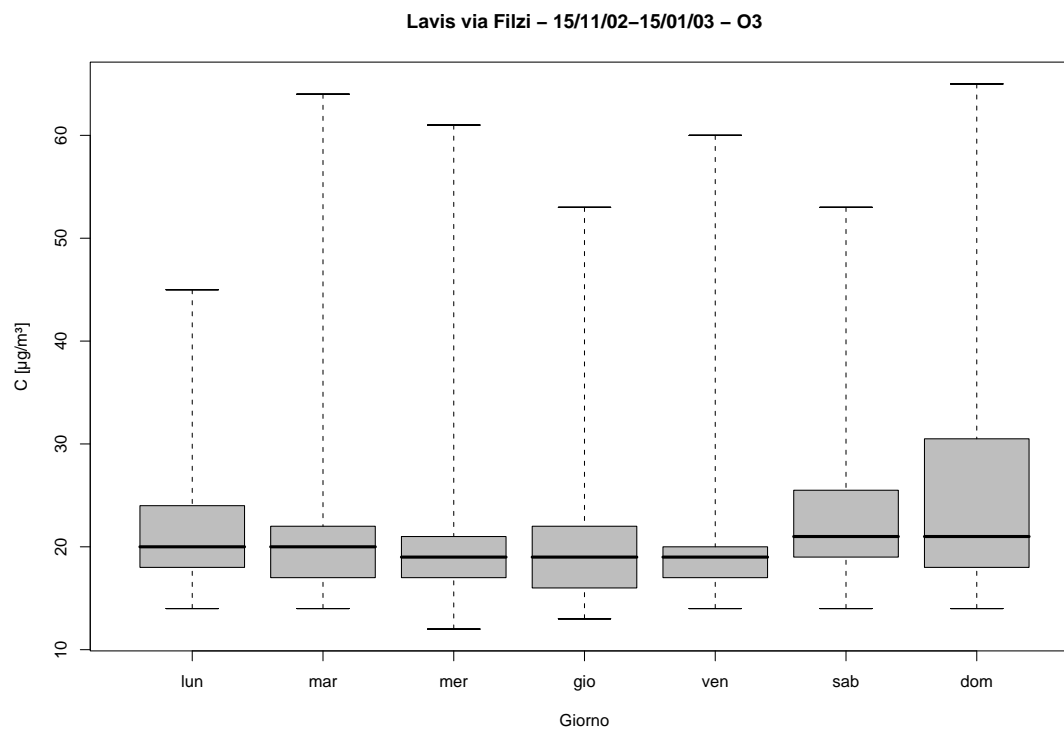


Figura 21.6: Campagna di misura a Lavis via Filzi (15/11/02-15/01/03), inquinante:  $O_3$ . Box-plot relativo al giorno della settimana.

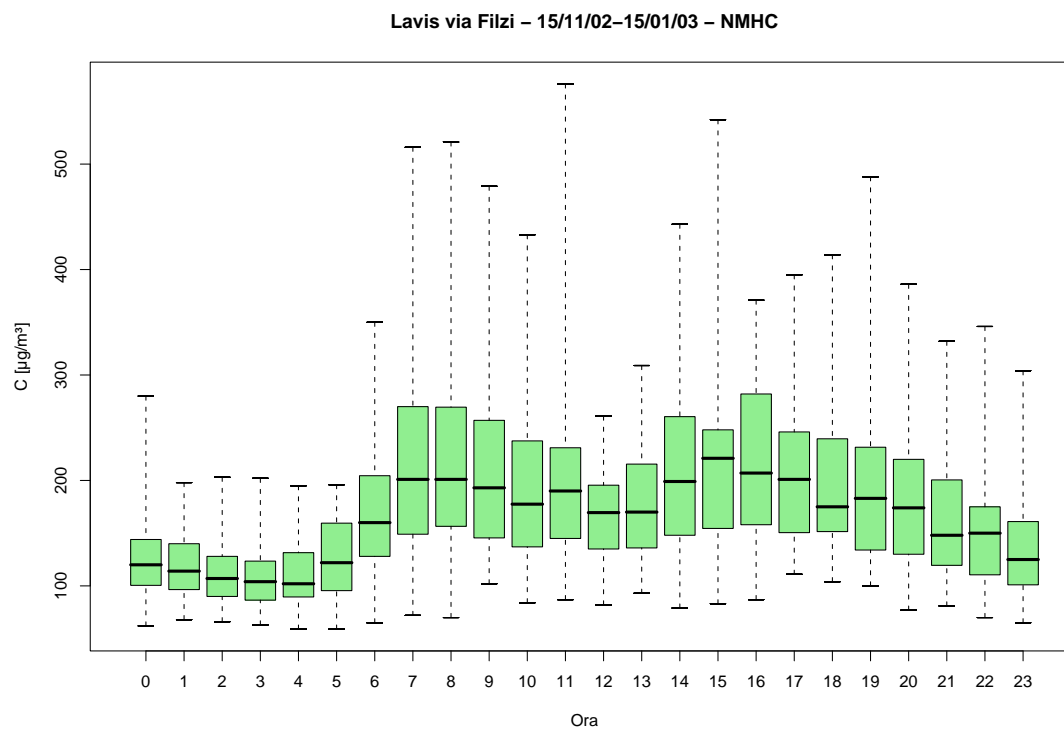


Figura 21.7: Campagna di misura a Lavis via Filzi (15/11/02-15/01/03), inquinante: *NMHC*.  
Box-plot relativo all'ora del giorno.

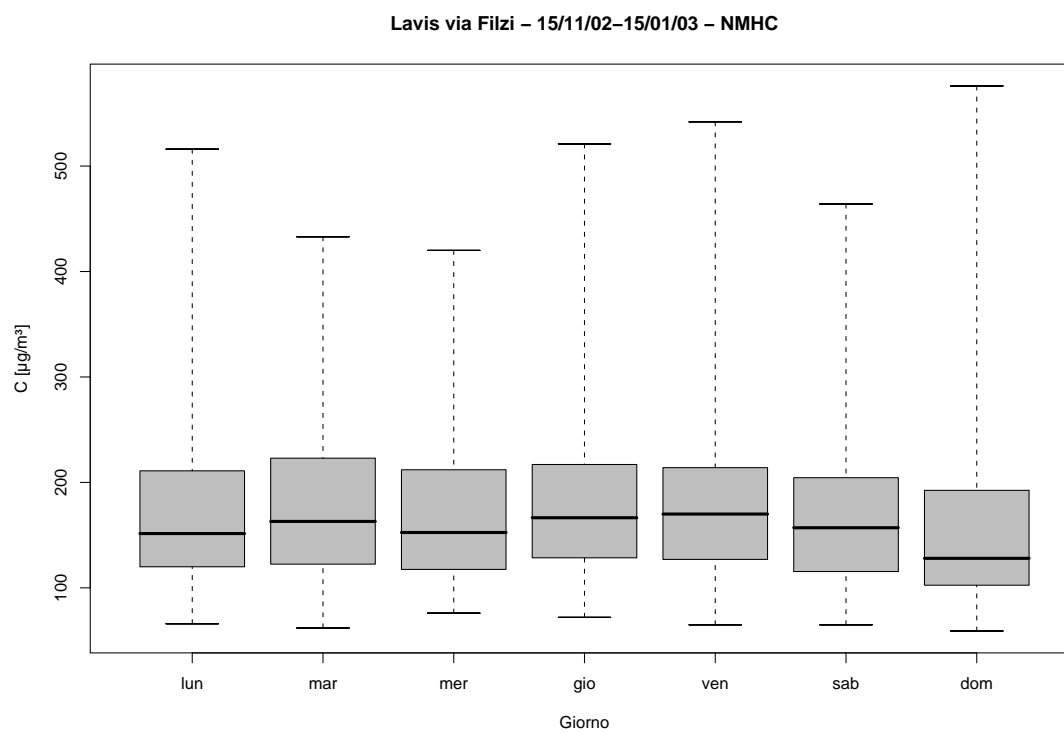


Figura 21.8: Campagna di misura a Lavis via Filzi (15/11/02-15/01/03), inquinante: *NMHC*.  
Box-plot relativo al giorno della settimana.

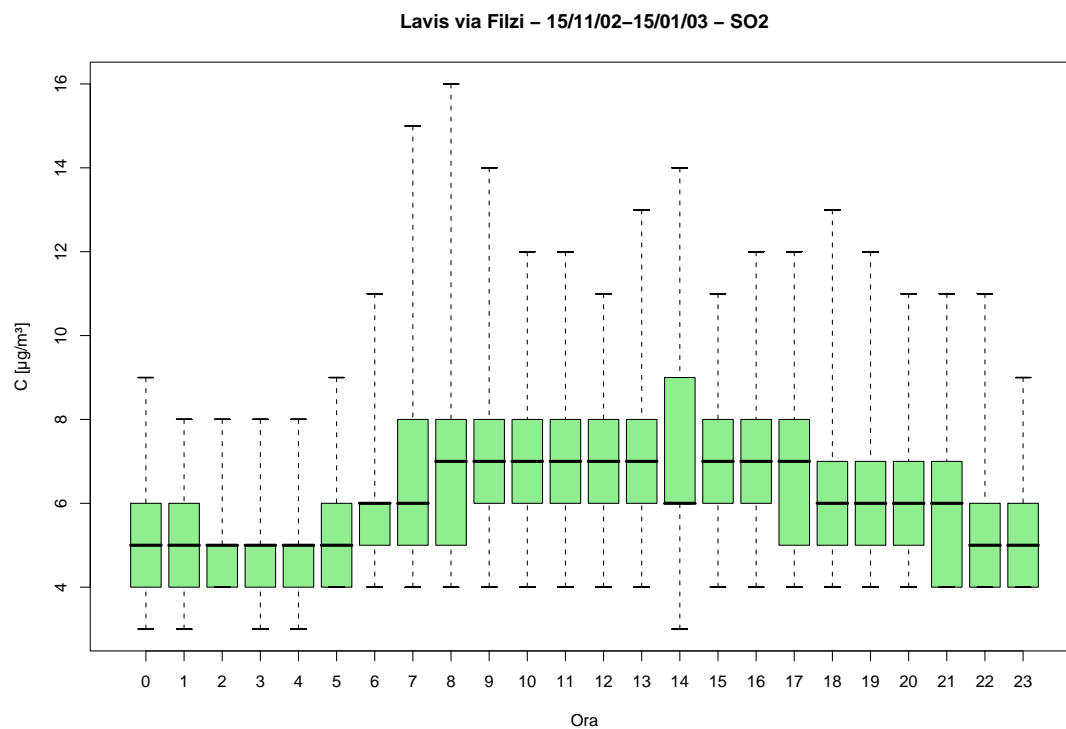


Figura 21.9: Campagna di misura a Lavis via Filzi (15/11/02-15/01/03), inquinante:  $SO_2$ . Box-plot relativo all'ora del giorno.

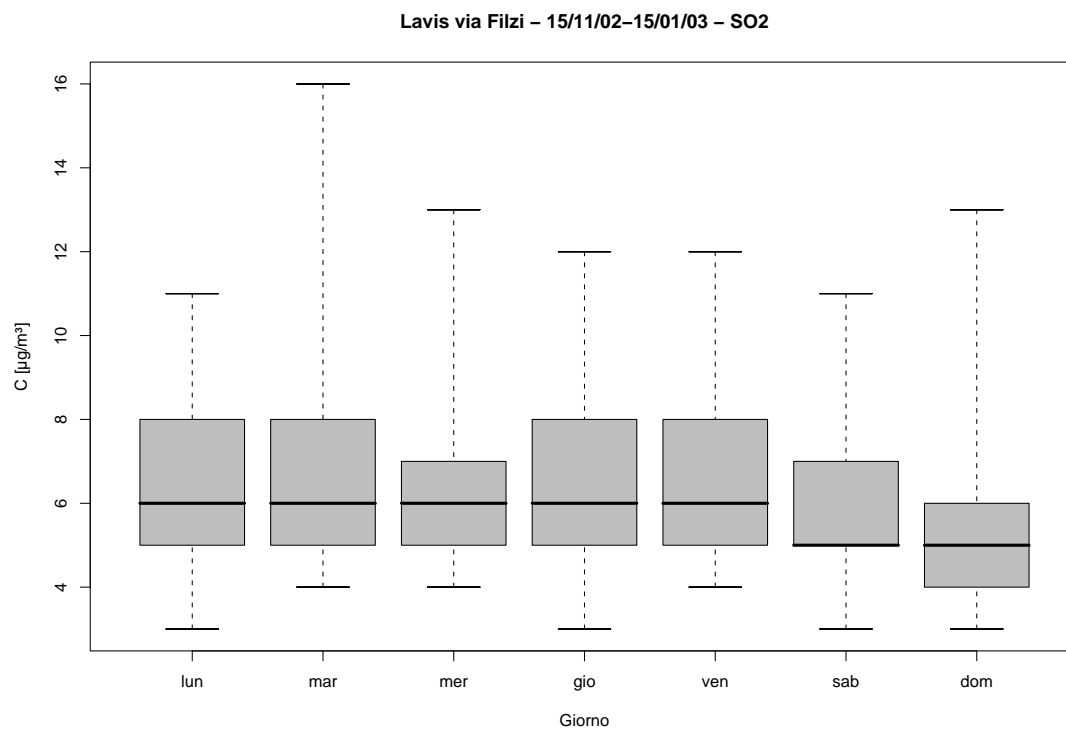


Figura 21.10: Campagna di misura a Lavis via Filzi (15/11/02-15/01/03), inquinante:  $SO_2$ . Box-plot relativo al giorno della settimana.

Lavis via Filzi - 15/11/02-15/01/03  
distribuzioni in frequenza e correlazioni

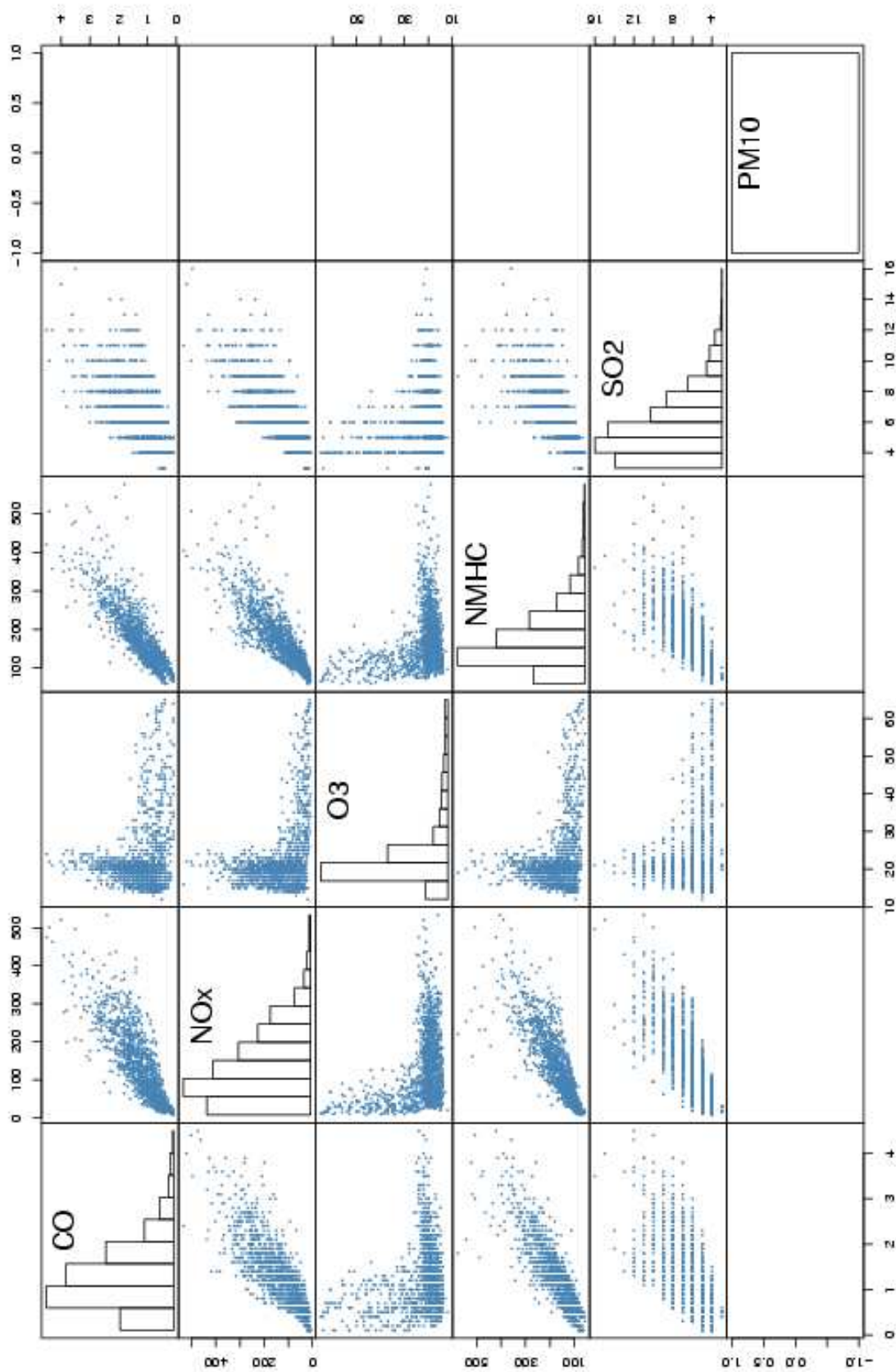
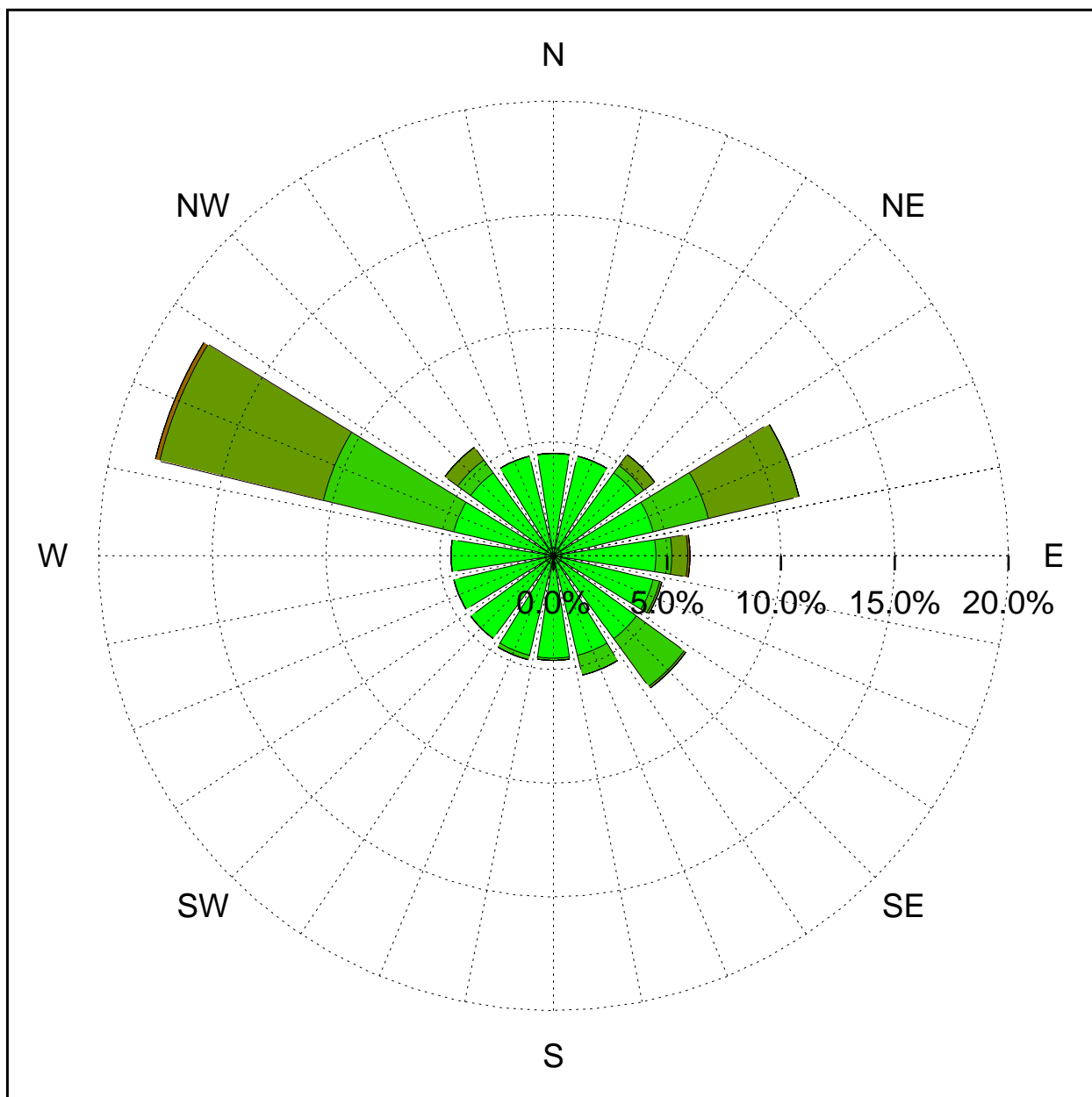


Figura 21.11: Campagna di misura a Lavis via Filzi (15/11/02-15/01/03). Distribuzioni in frequenza e correlazioni.



Sito di misura: Lavis via Filzi



Legenda - velocità [m/s]

$v \geq 5.0$	
$3.0 \leq v < 5.0$	
$2.0 \leq v < 3.0$	
$1.0 \leq v < 2.0$	
$0.5 \leq v < 1.0$	
calma ( $v < 0.5$ )	

Figura 21.12: Campagna di misura a Lavis via Filzi (15/11/02-15/01/03). Rosa dei venti.

## 22 Campagna di misura a Castelnuovo

**Campagna di misura** dal 05/12/02 al 20/01/03

**Inquinanti rilevati:** *CO*, *NO<sub>x</sub>*, *O<sub>3</sub>*, *NMHC*, *SO<sub>2</sub>*

**Parametri meteorologici misurati:** velocità del vento, direzione del vento, temperatura, umidità relativa

**Note:** Dai dati ottenuti durante la campagna di misure si nota come gli inquinanti presentino un ciclo giornaliero caratterizzato da valori massimi tra le ore 8 e le ore 11 del mattino e tra le ore 17 e le ore 19 della sera. Il ciclo settimanale non è invece evidente. L'ozono fa registrare un andamento giornaliero poco marcato, valori leggermente più elevati si riscontrano a cavallo di mezzogiorno.

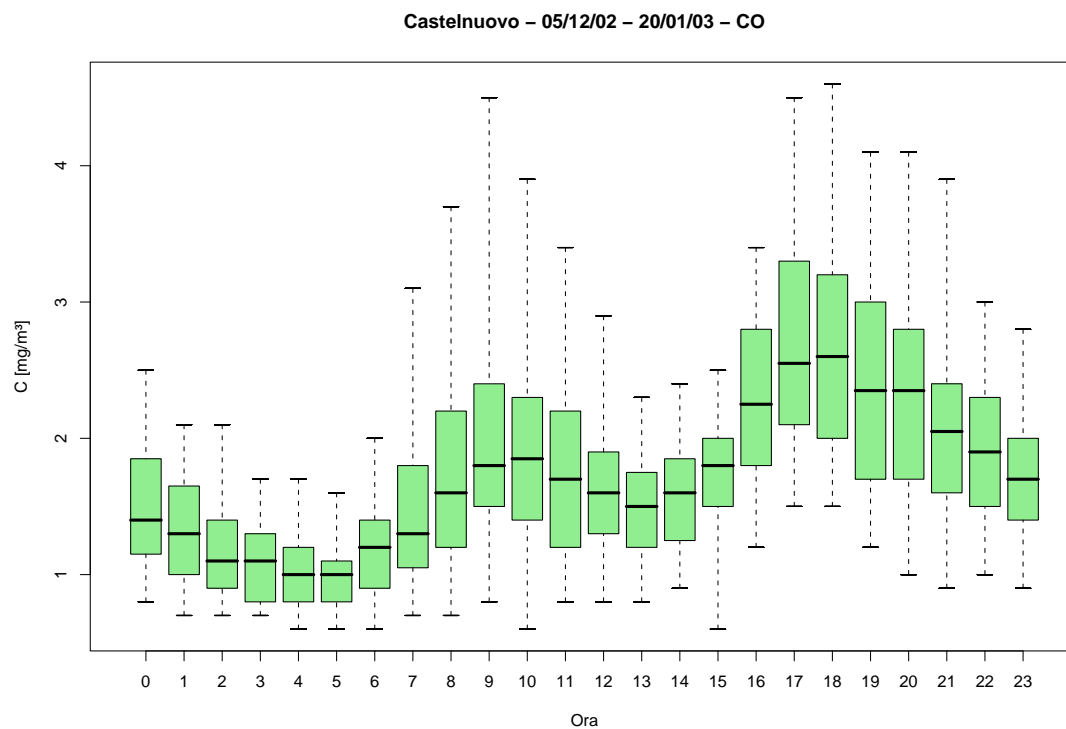


Figura 22.1: Campagna di misura a Castelnuovo (05/12/02-20/01/03), inquinante: *CO*. Box-plot relativo all'ora del giorno.

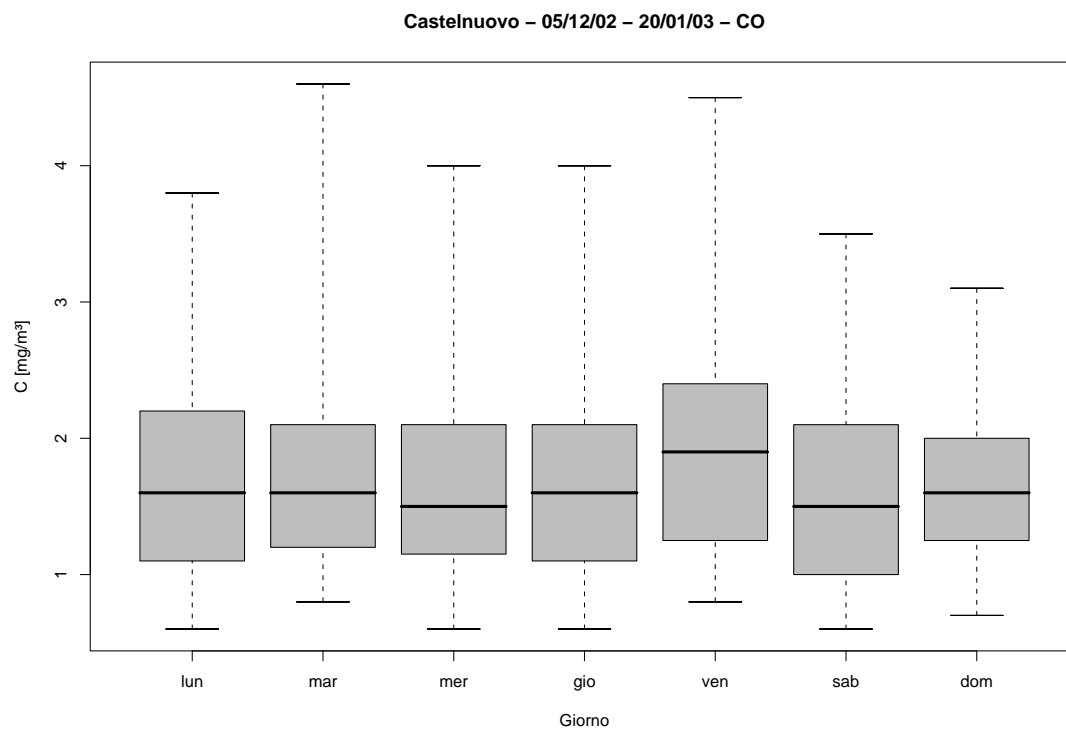


Figura 22.2: Campagna di misura a Castelnuovo (05/12/02-20/01/03), inquinante: *CO*. Box-plot relativo al giorno della settimana.

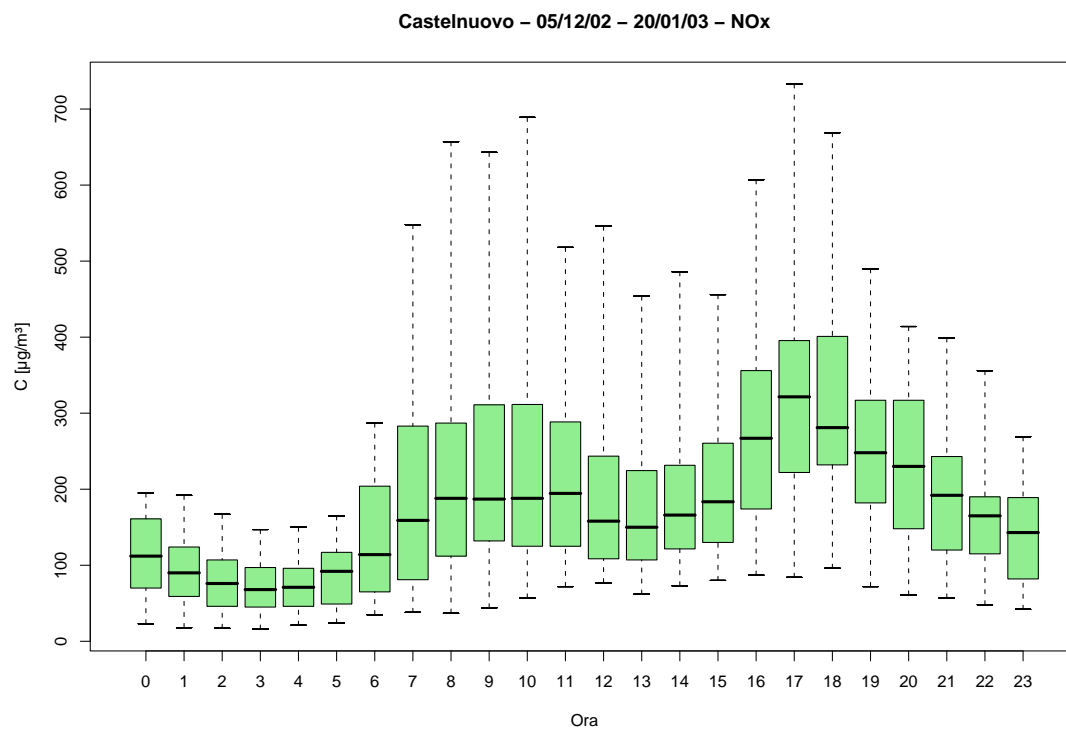


Figura 22.3: Campagna di misura a Castelnuovo (05/12/02-20/01/03), inquinante:  $NO_x$ . Box-plot relativo all'ora del giorno.

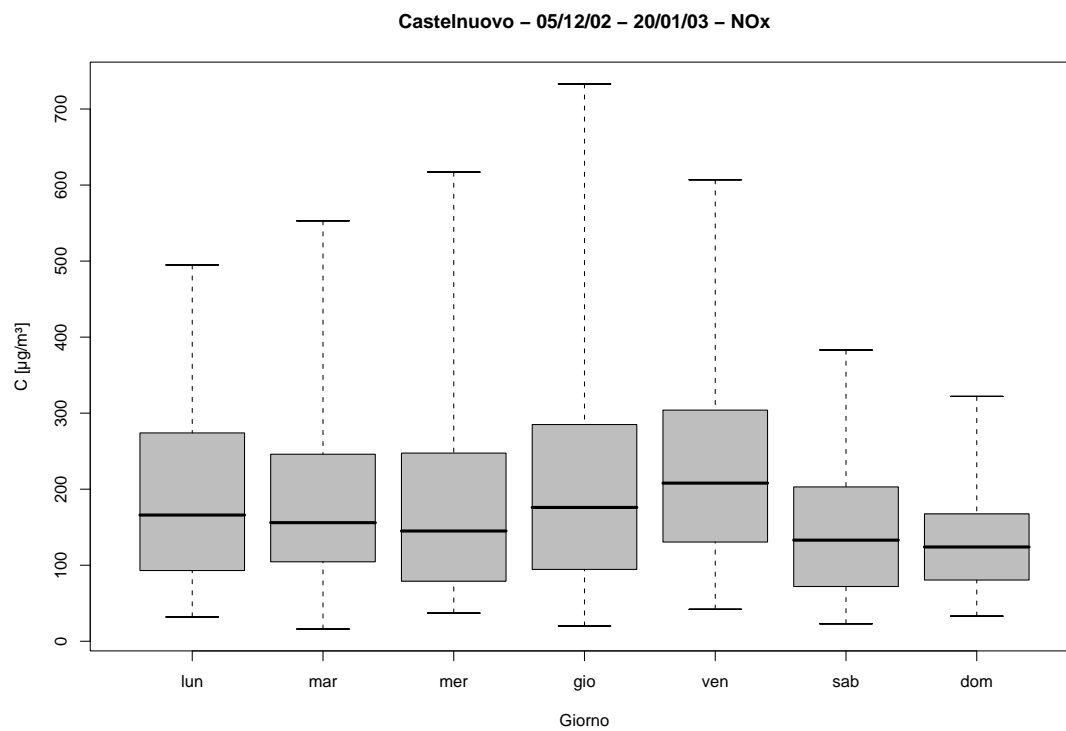


Figura 22.4: Campagna di misura a Castelnuovo (05/12/02-20/01/03), inquinante:  $NO_x$ . Box-plot relativo al giorno della settimana.

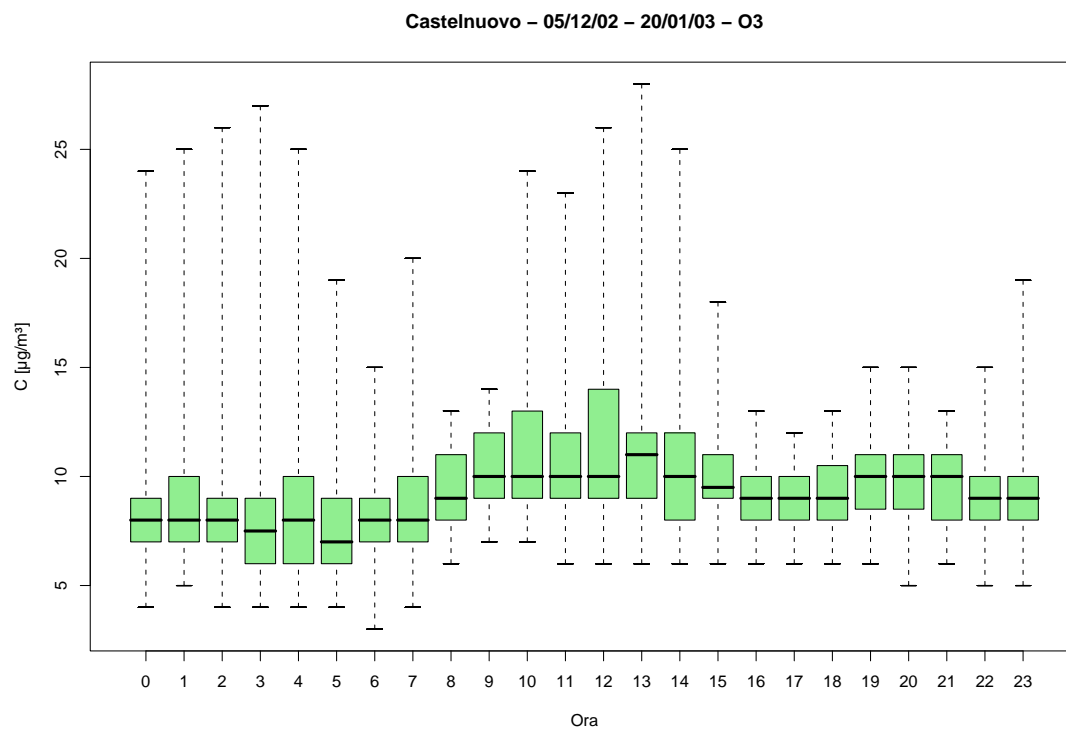


Figura 22.5: Campagna di misura a Castelnuovo (05/12/02-20/01/03), inquinante:  $O_3$ . Box-plot relativo all'ora del giorno.

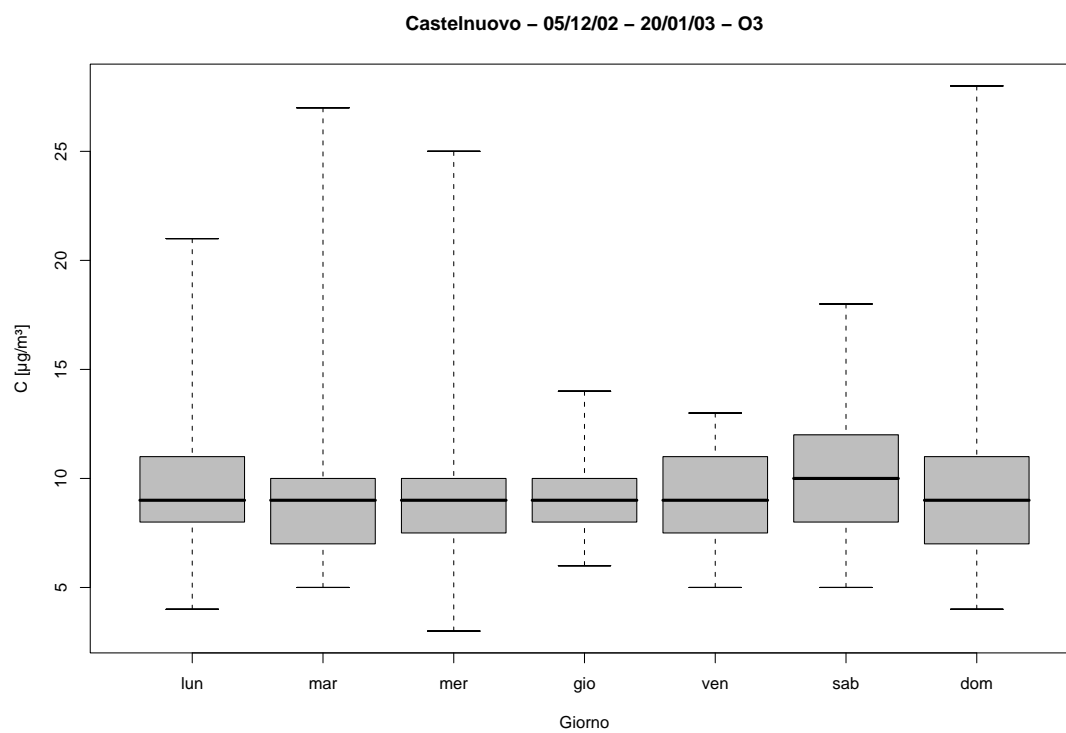


Figura 22.6: Campagna di misura a Castelnuovo (05/12/02-20/01/03), inquinante:  $O_3$ . Box-plot relativo al giorno della settimana.

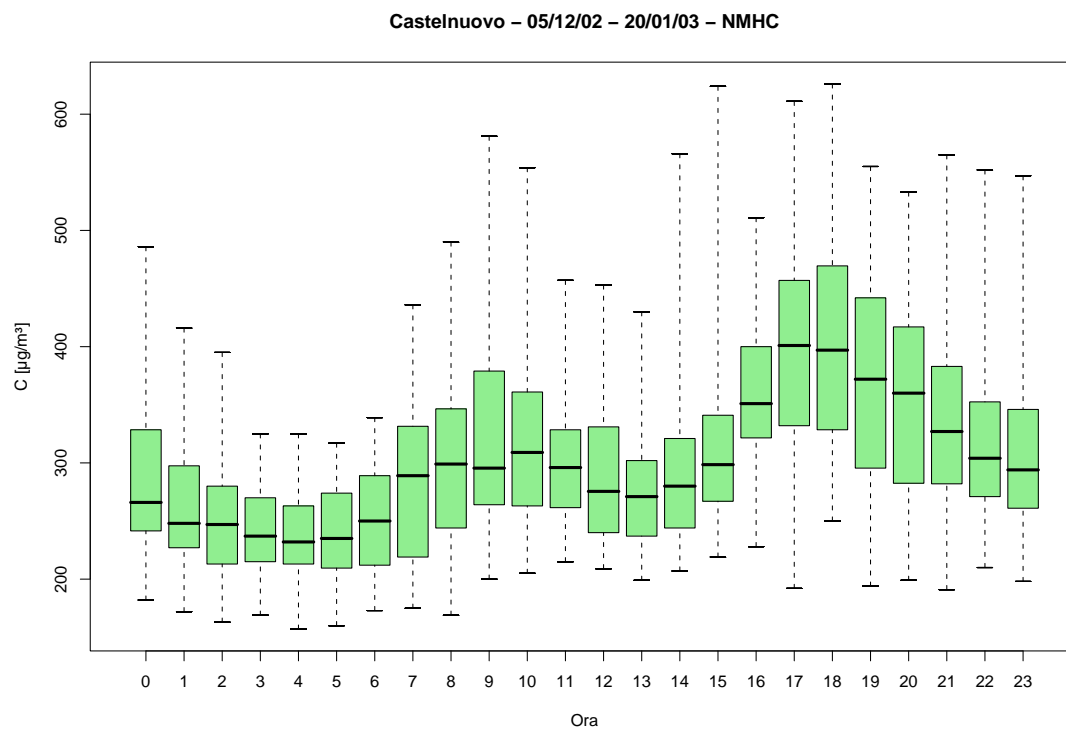


Figura 22.7: Campagna di misura a Castelnuovo (05/12/02-20/01/03), inquinante: *NMHC*. Box-plot relativo all'ora del giorno.

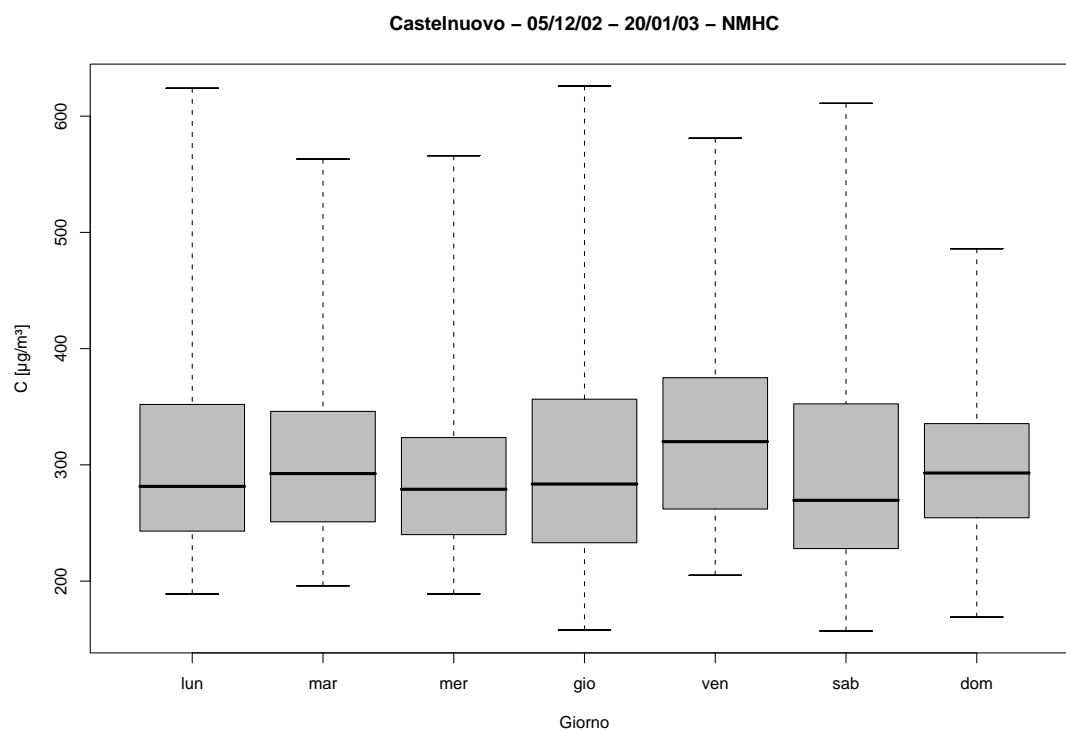


Figura 22.8: Campagna di misura a Castelnuovo (05/12/02-20/01/03), inquinante: *NMHC*. Box-plot relativo al giorno della settimana.

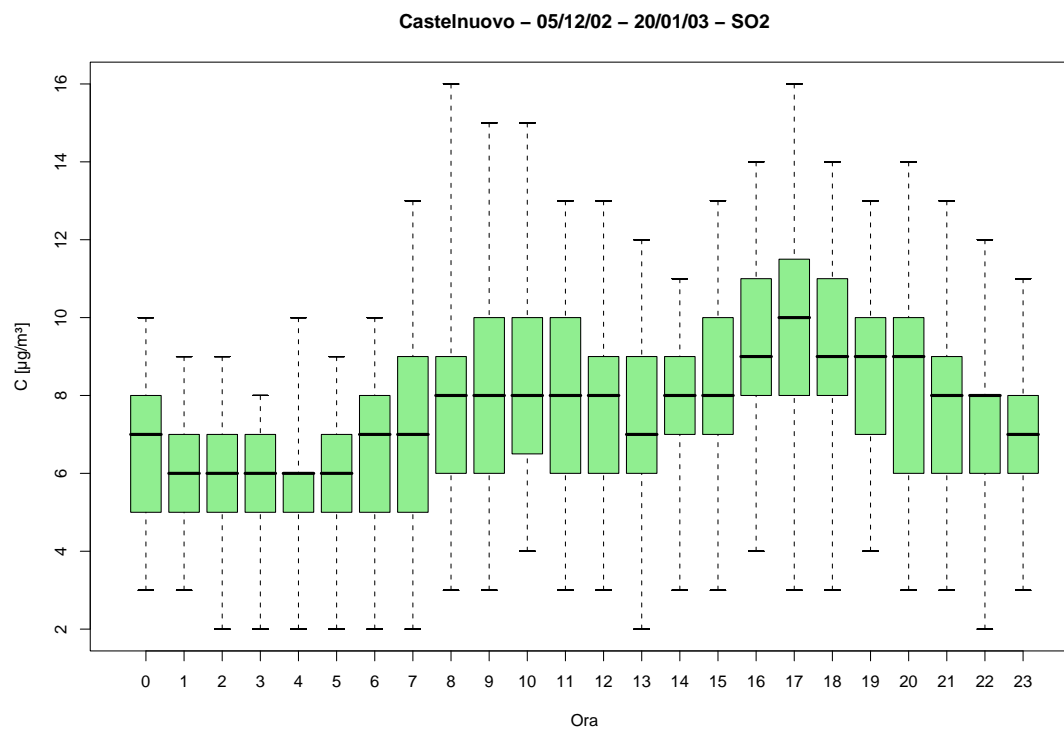


Figura 22.9: Campagna di misura a Castelnuovo (05/12/02-20/01/03), inquinante:  $SO_2$ . Box-plot relativo all'ora del giorno.

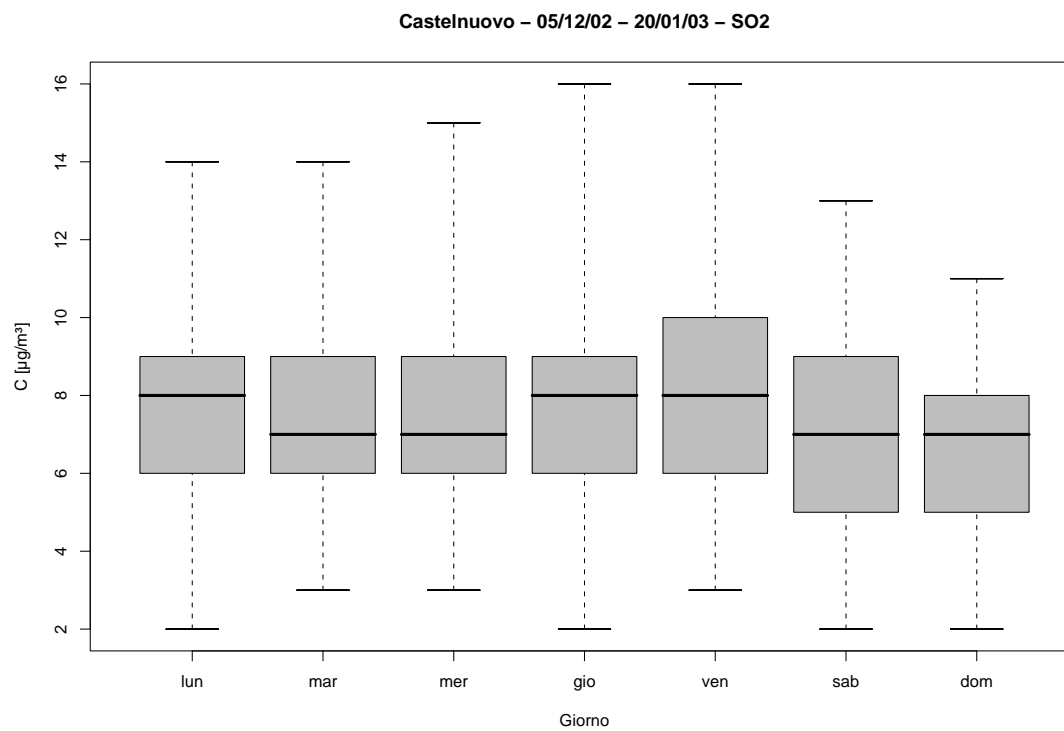


Figura 22.10: Campagna di misura a Castelnuovo (05/12/02-20/01/03), inquinante:  $SO_2$ . Box-plot relativo al giorno della settimana.

Castelnuovo - 05/12/02 - 20/01/03  
distribuzioni in frequenza e correlazioni

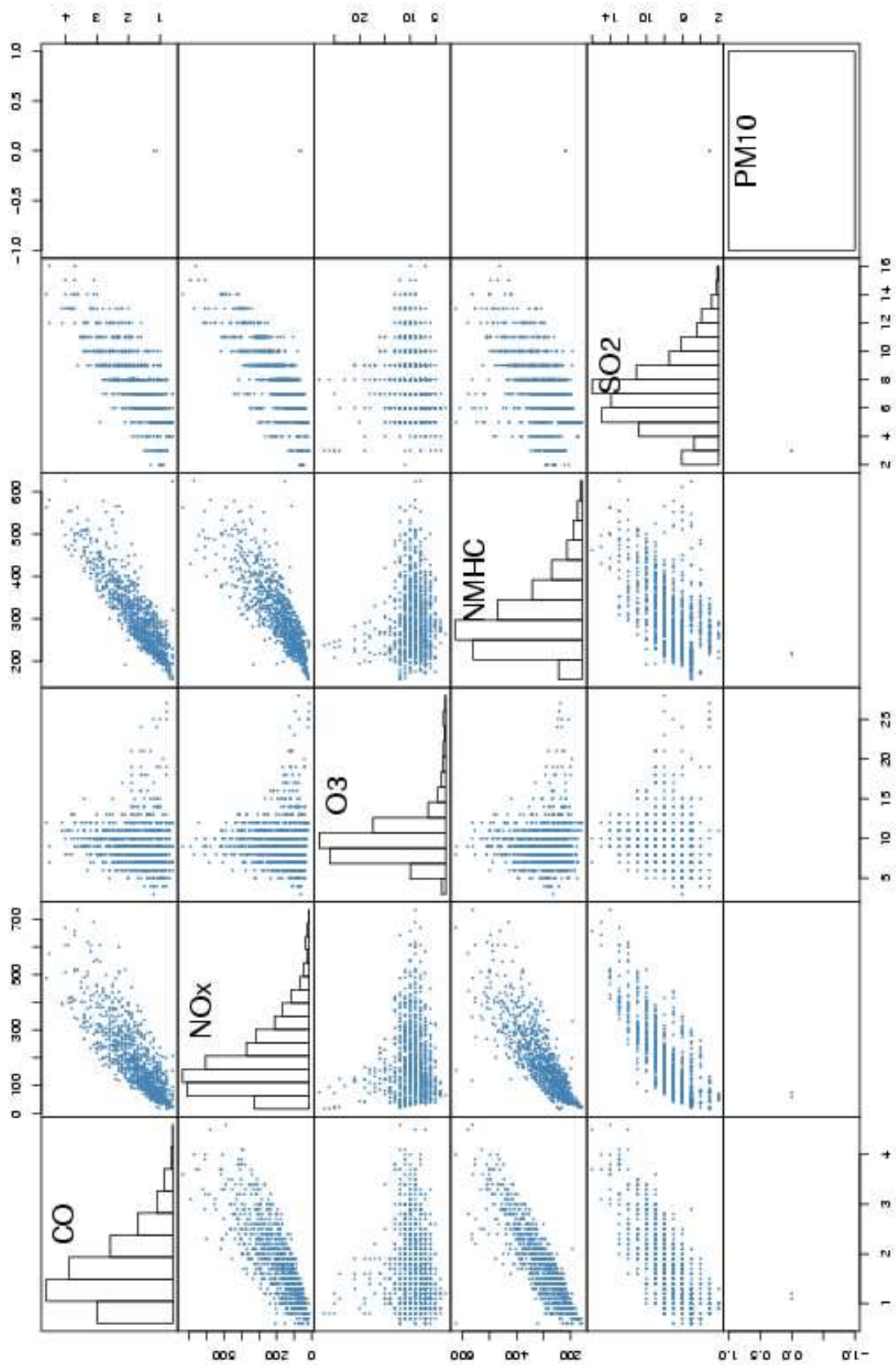
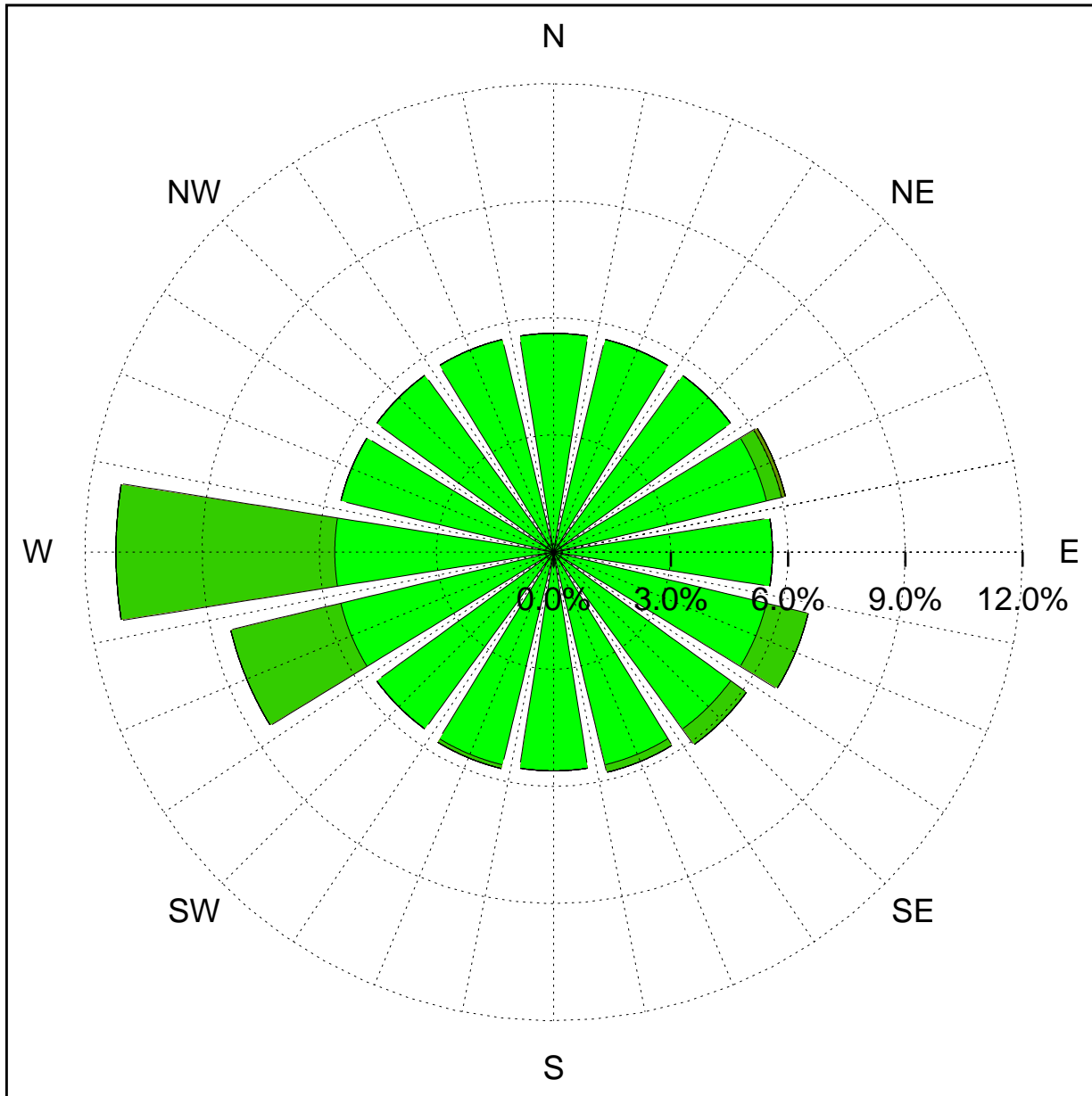


Figura 22.11: Campagna di misura a Castelnuovo (05/12/02-20/01/03). Distribuzioni in frequenza e correlazioni.



Sito di misura: Castelnuovo



Legenda - velocità [m/s]	
$v \geq 5.0$	Red line
$3.0 \leq v < 5.0$	Orange line
$2.0 \leq v < 3.0$	Brown line
$1.0 \leq v < 2.0$	Olive line
$0.5 \leq v < 1.0$	Light green line
calma ( $v < 0.5$ )	Green line

Figura 22.12: Campagna di misura a Castelnuovo (05/12/02-20/01/03). Rosa dei venti.

## 23 Campagna di misura a Roncegno località Maso Dordi

**Campagna di misura** dal 28/01/03 al 24/02/03

**Inquinanti rilevati:**  $CO$ ,  $NO_x$ ,  $O_3$ ,  $NMHC$ ,  $SO_2$ ,  $PM_{10}$

**Parametri meteorologici misurati:** velocità del vento, direzione del vento, temperatura, umidità relativa

**Note:** Come si può osservare dai grafici, gli inquinanti presentano un comportamento giornaliero particolare, che vede dei valori di concentrazione leggermente più elevati nelle ore tra le 8 e le 9, ma che fa registrare i valori minimi tra le 11 e le 19. Gli andamenti settimanali non presentano uniformità ne particolarità. L'ozono invece manifesta il suo andamento giornaliero tipico, con le concentrazioni che crescono a partire dalla ore 10 fino a raggiungere il massimo intorno alle 14 per poi calare e rimanere più o meno costanti dopo le 20. Non particolarmente significativi sono invece i dati relativi alla  $SO_2$ .

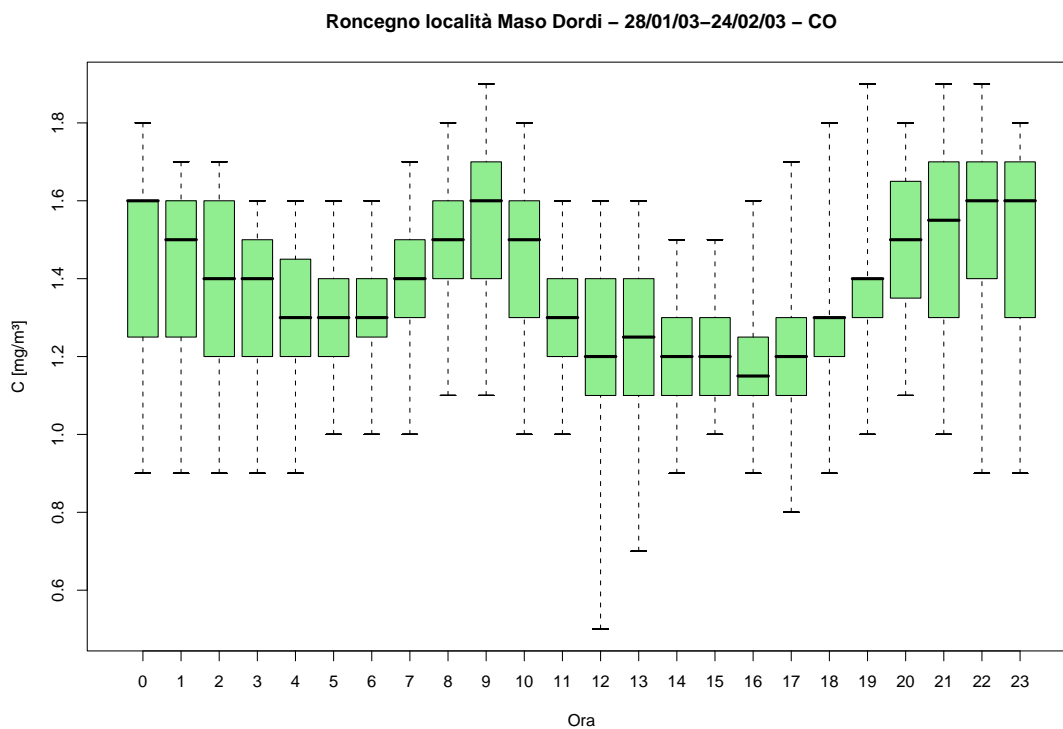


Figura 23.1: Campagna di misura a Roncegno località Maso Dordi (28/01/03-24/02/03), inquinante: *CO*. Box-plot relativo all'ora del giorno.

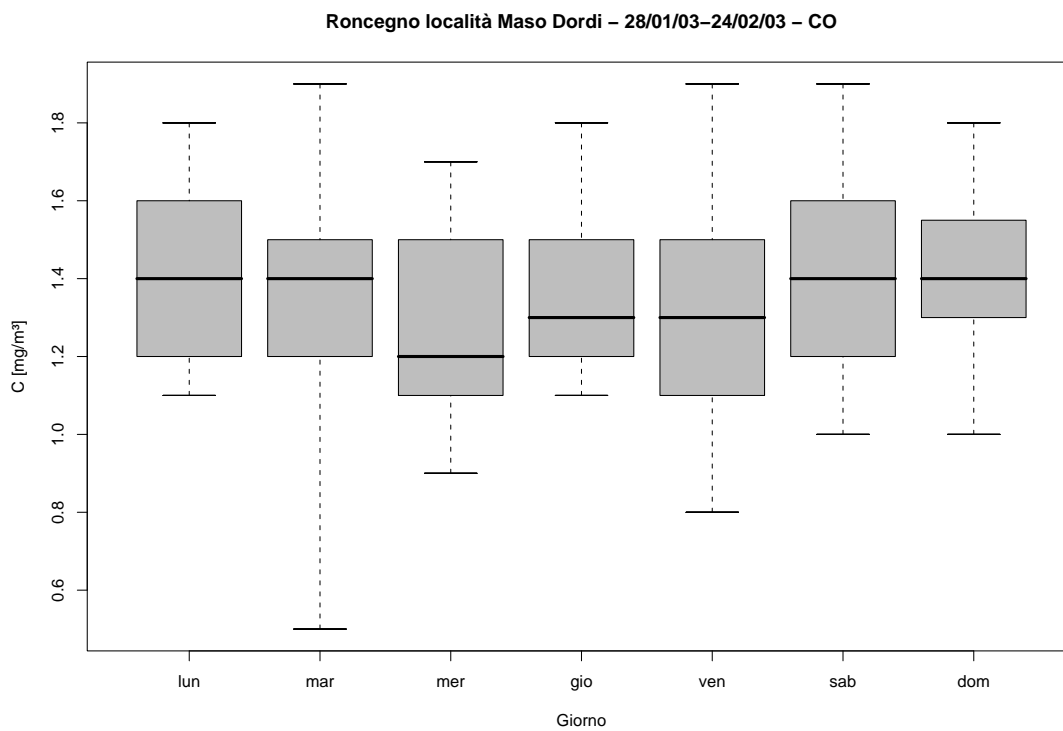


Figura 23.2: Campagna di misura a Roncegno località Maso Dordi (28/01/03-24/02/03), inquinante: *CO*. Box-plot relativo al giorno della settimana.

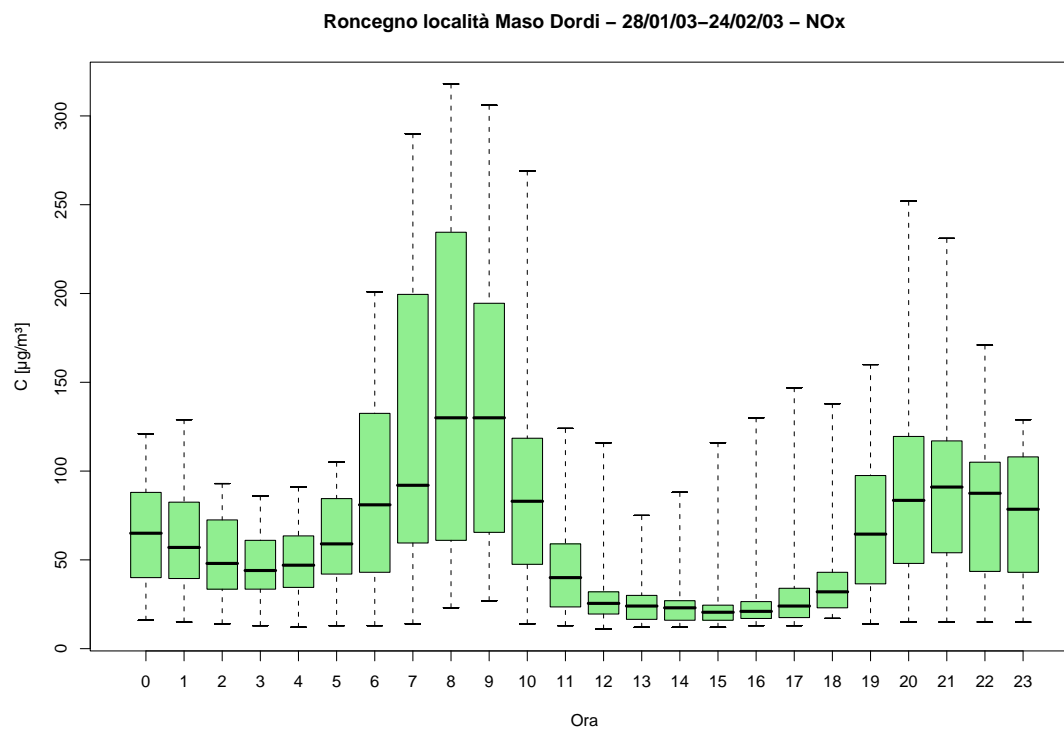


Figura 23.3: Campagna di misura a Roncegno località Maso Dordi (28/01/03-24/02/03), inquinante:  $NO_x$ . Box-plot relativo all'ora del giorno.

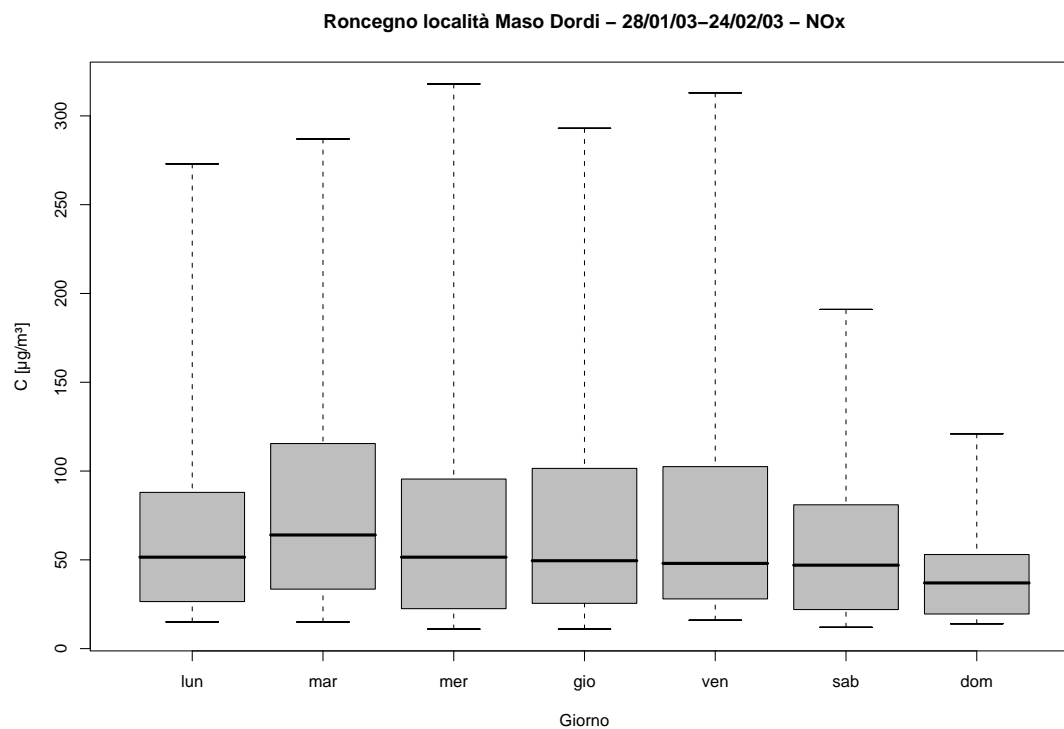


Figura 23.4: Campagna di misura a Roncegno località Maso Dordi (28/01/03-24/02/03), inquinante:  $NO_x$ . Box-plot relativo al giorno della settimana.

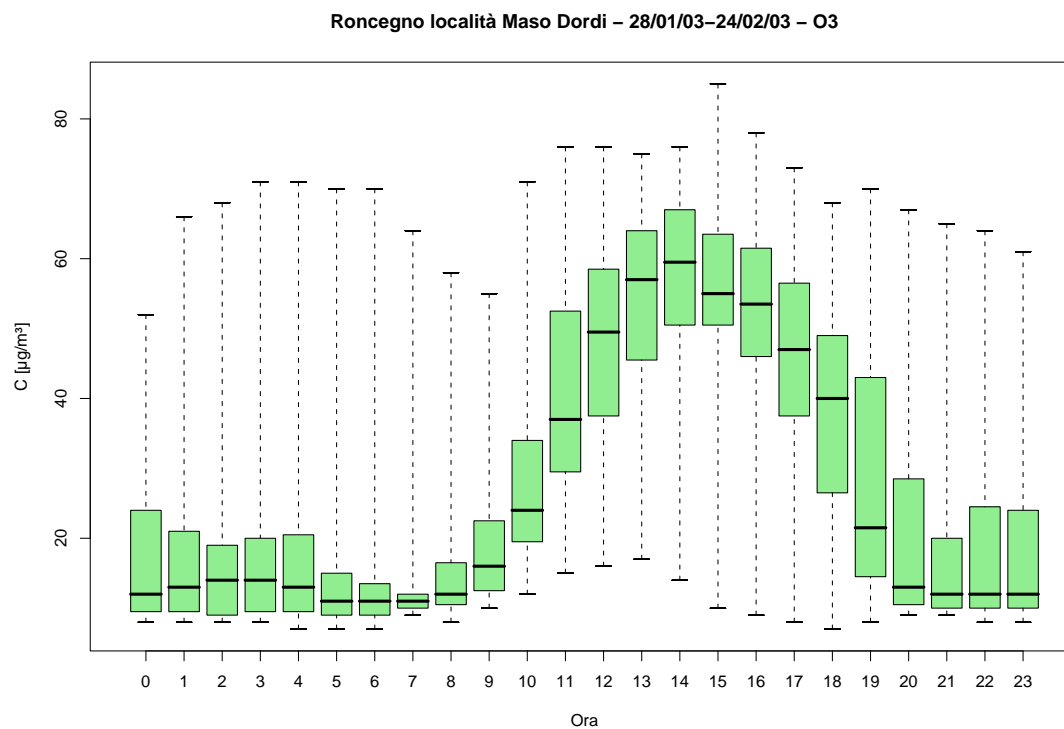


Figura 23.5: Campagna di misura a Roncegno località Maso Dordi (28/01/03-24/02/03), inquinante: O<sub>3</sub>. Box-plot relativo all'ora del giorno.

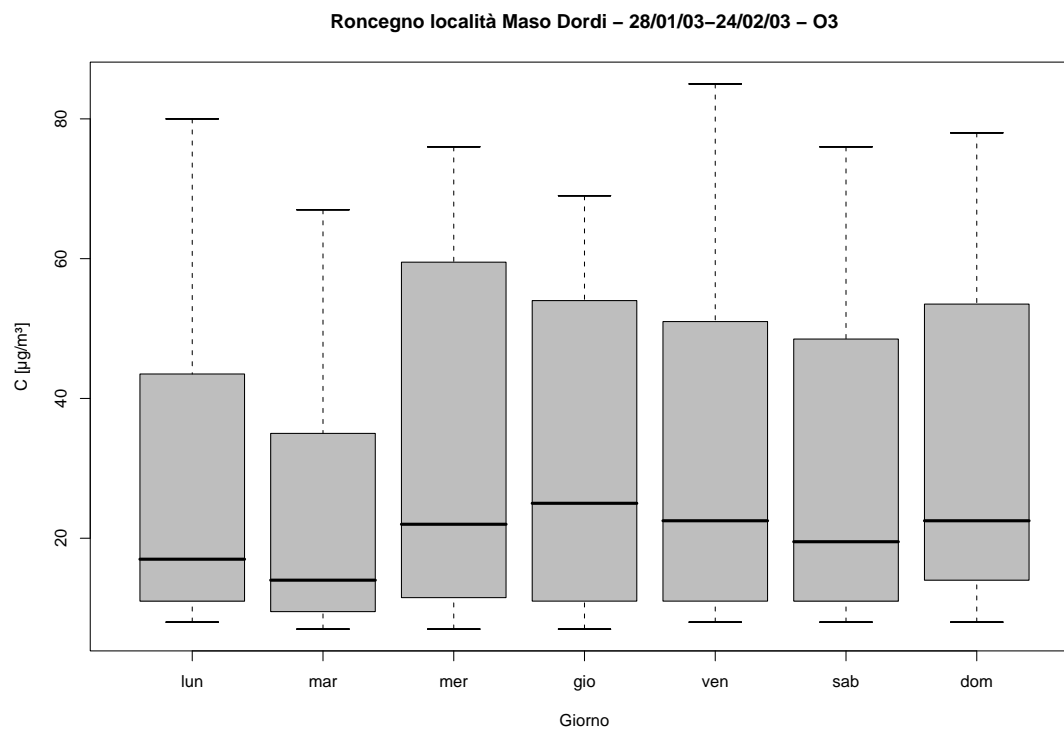


Figura 23.6: Campagna di misura a Roncegno località Maso Dordi (28/01/03-24/02/03), inquinante: O<sub>3</sub>. Box-plot relativo al giorno della settimana.

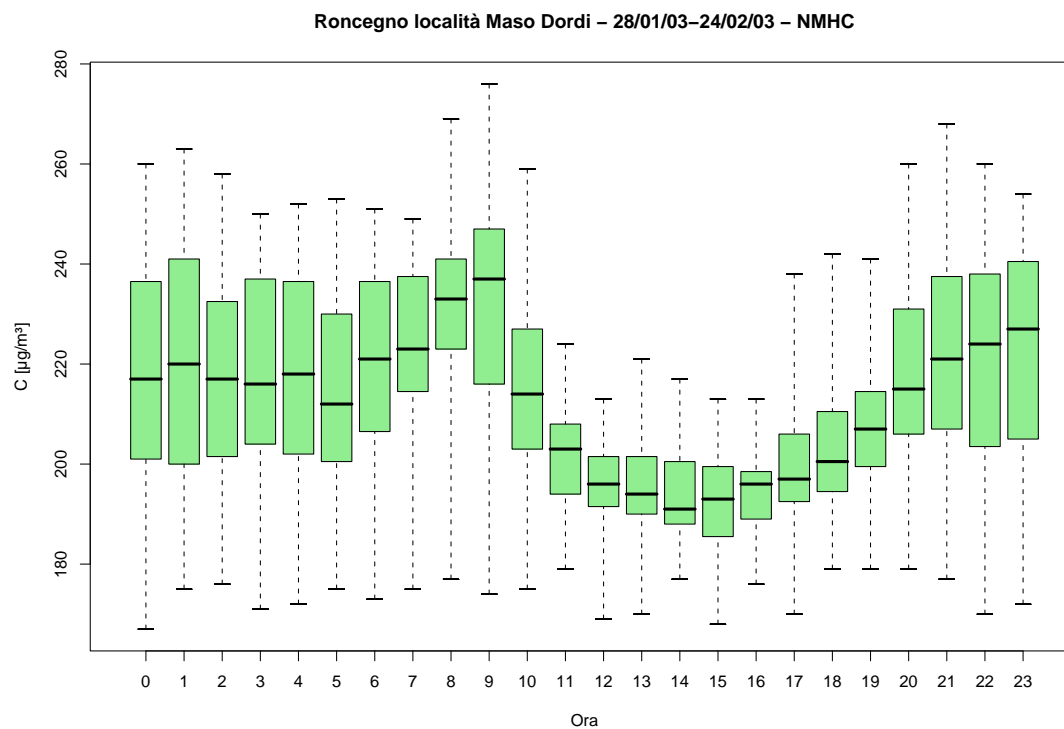


Figura 23.7: Campagna di misura a Roncegno località Maso Dordi (28/01/03-24/02/03), inquinante: *NMHC*. Box-plot relativo all'ora del giorno.

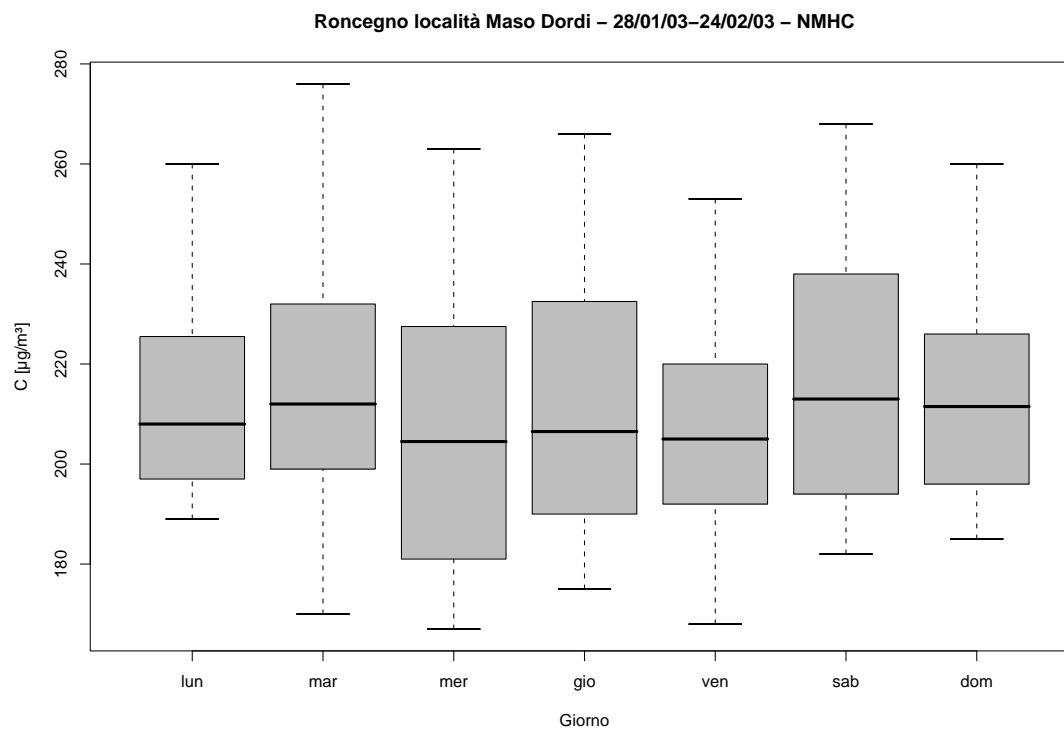


Figura 23.8: Campagna di misura a Roncegno località Maso Dordi (28/01/03-24/02/03), inquinante: *NMHC*. Box-plot relativo al giorno della settimana.

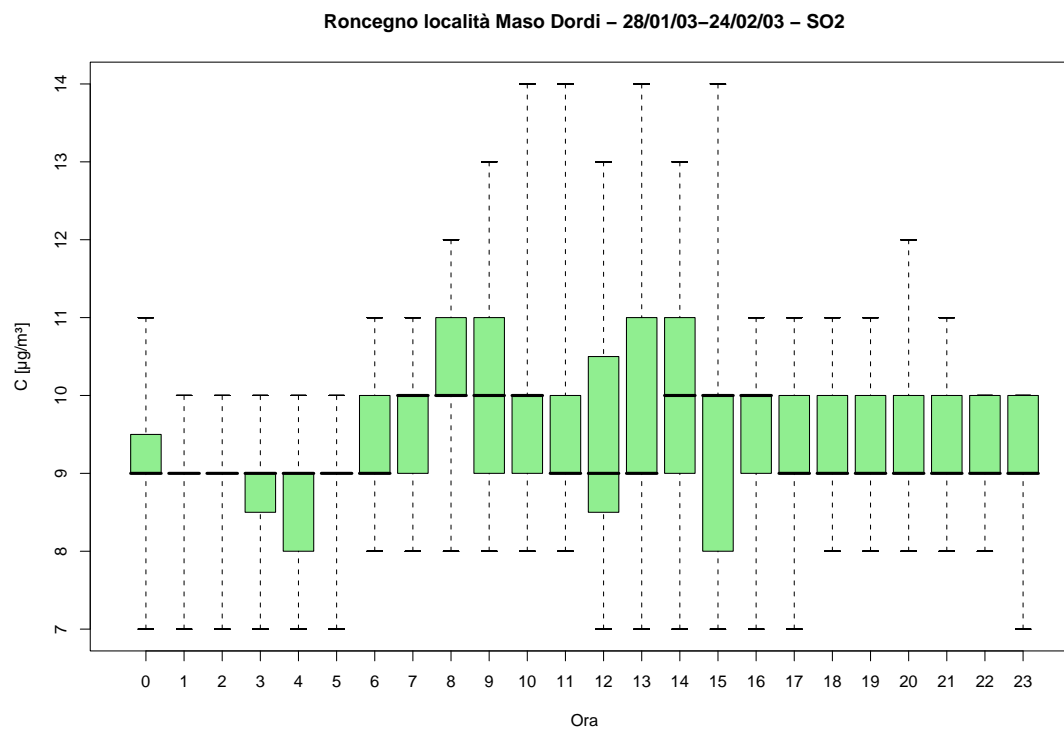


Figura 23.9: Campagna di misura a Roncegno località Maso Dordi (28/01/03-24/02/03), inquinante:  $SO_2$ . Box-plot relativo all'ora del giorno.

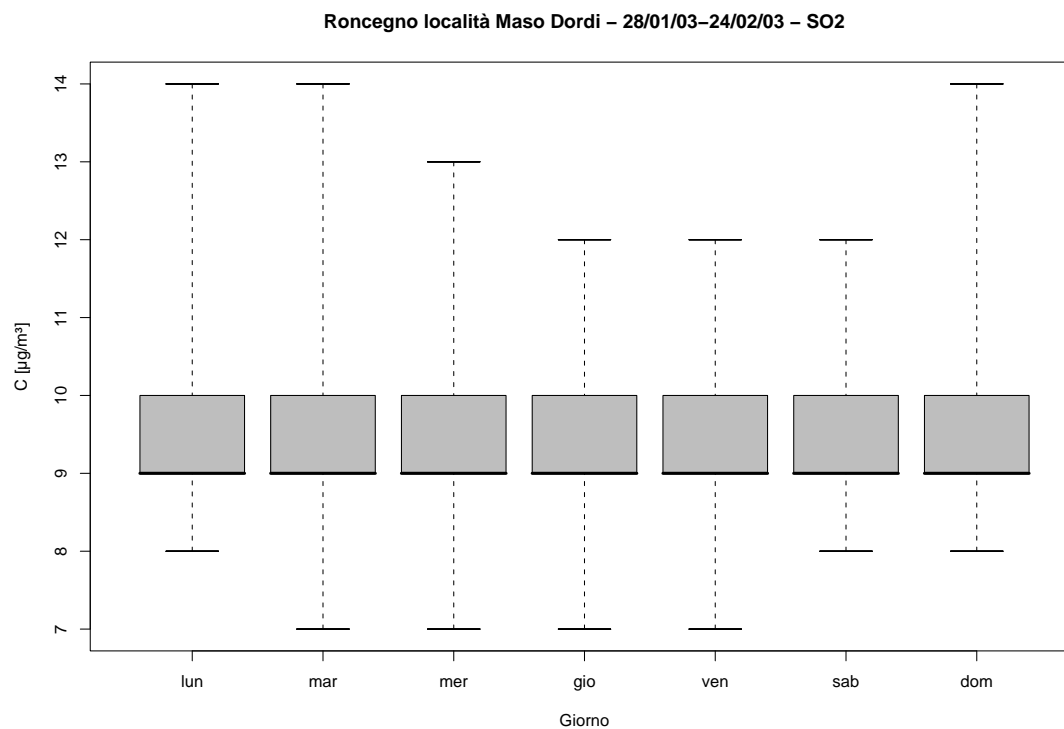


Figura 23.10: Campagna di misura a Roncegno località Maso Dordi (28/01/03-24/02/03), inquinante:  $SO_2$ . Box-plot relativo al giorno della settimana.

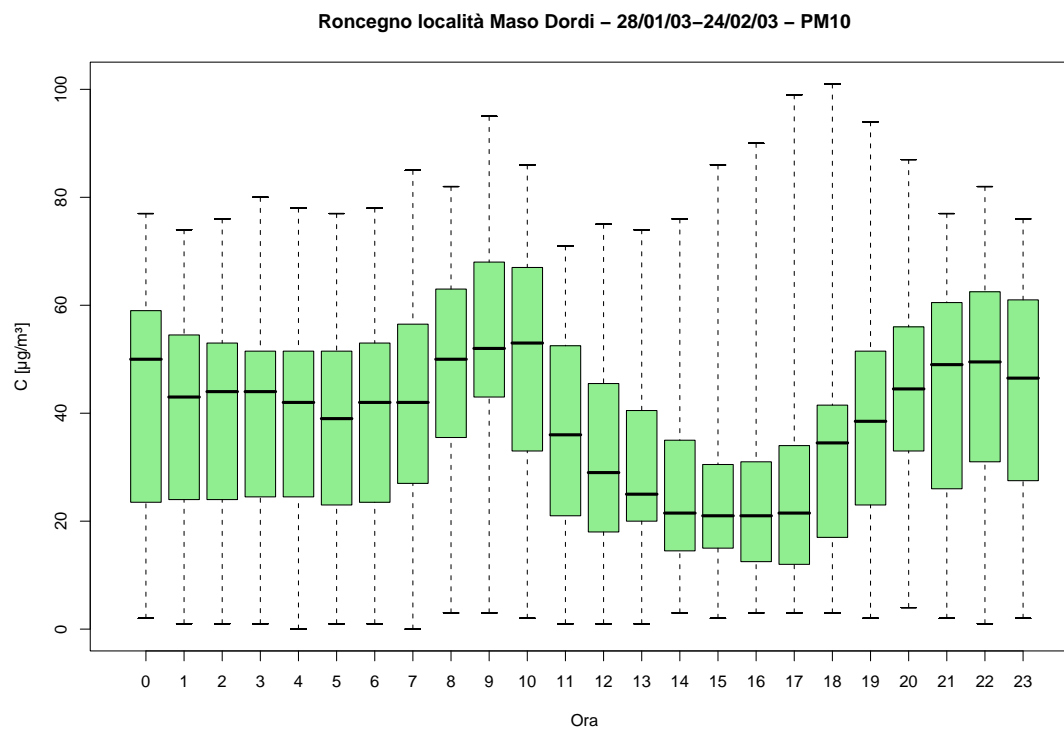


Figura 23.11: Campagna di misura a Roncegno località Maso Dordi (28/01/03-24/02/03), inquinante:  $PM_{10}$ . Box-plot relativo all'ora del giorno.

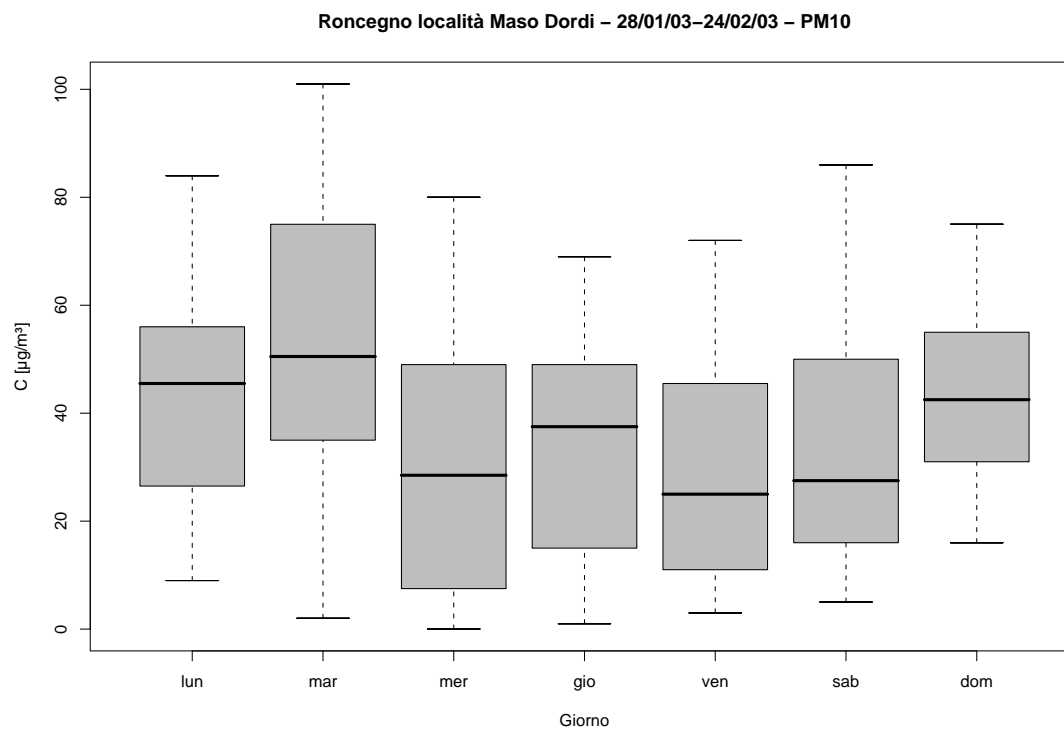


Figura 23.12: Campagna di misura a Roncegno località Maso Dordi (28/01/03-24/02/03), inquinante:  $PM_{10}$ . Box-plot relativo al giorno della settimana.



Roncegno località Maso Dordi - 28/01/03-24/02/03  
distribuzioni in frequenza e correlazioni

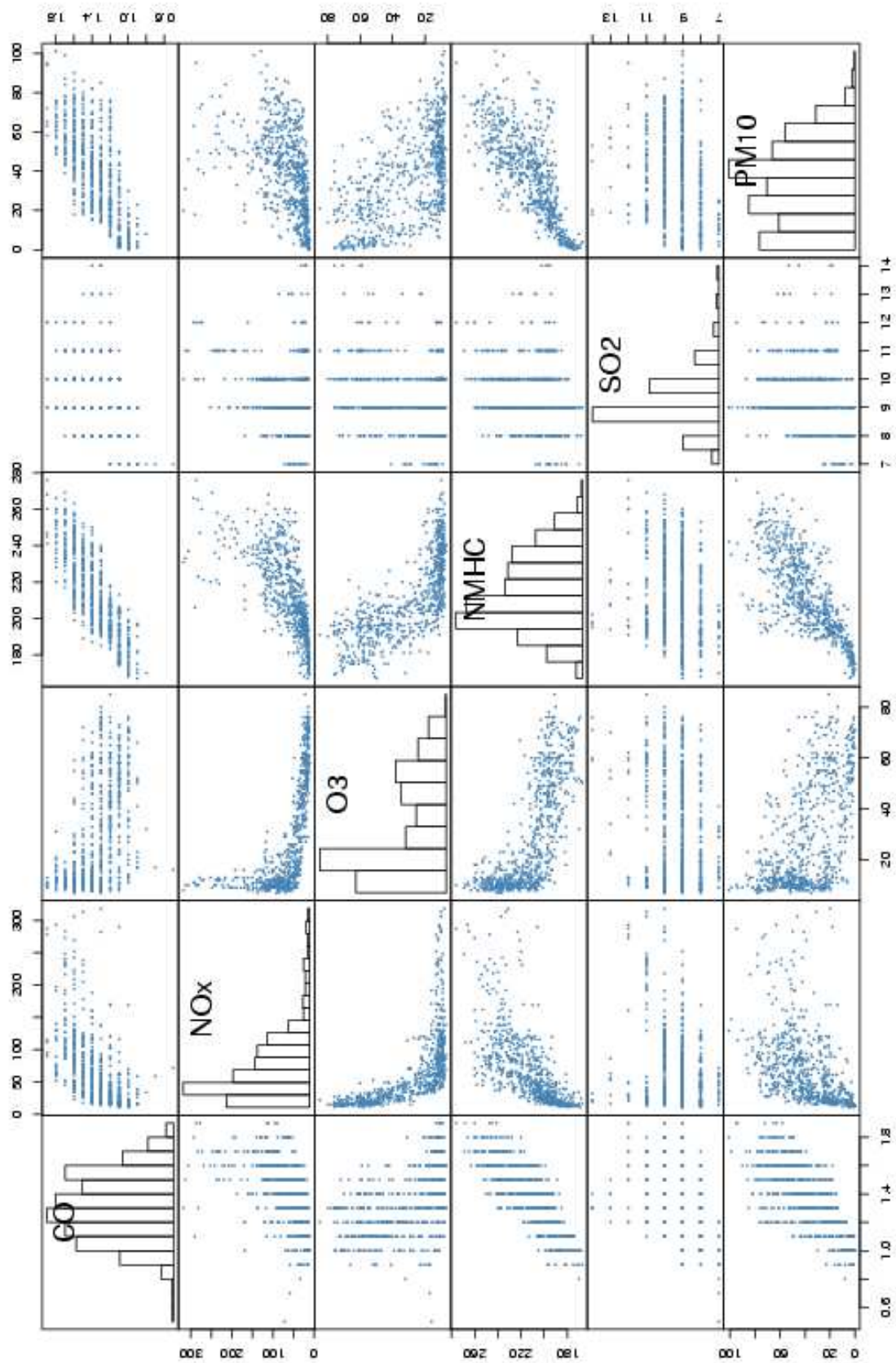
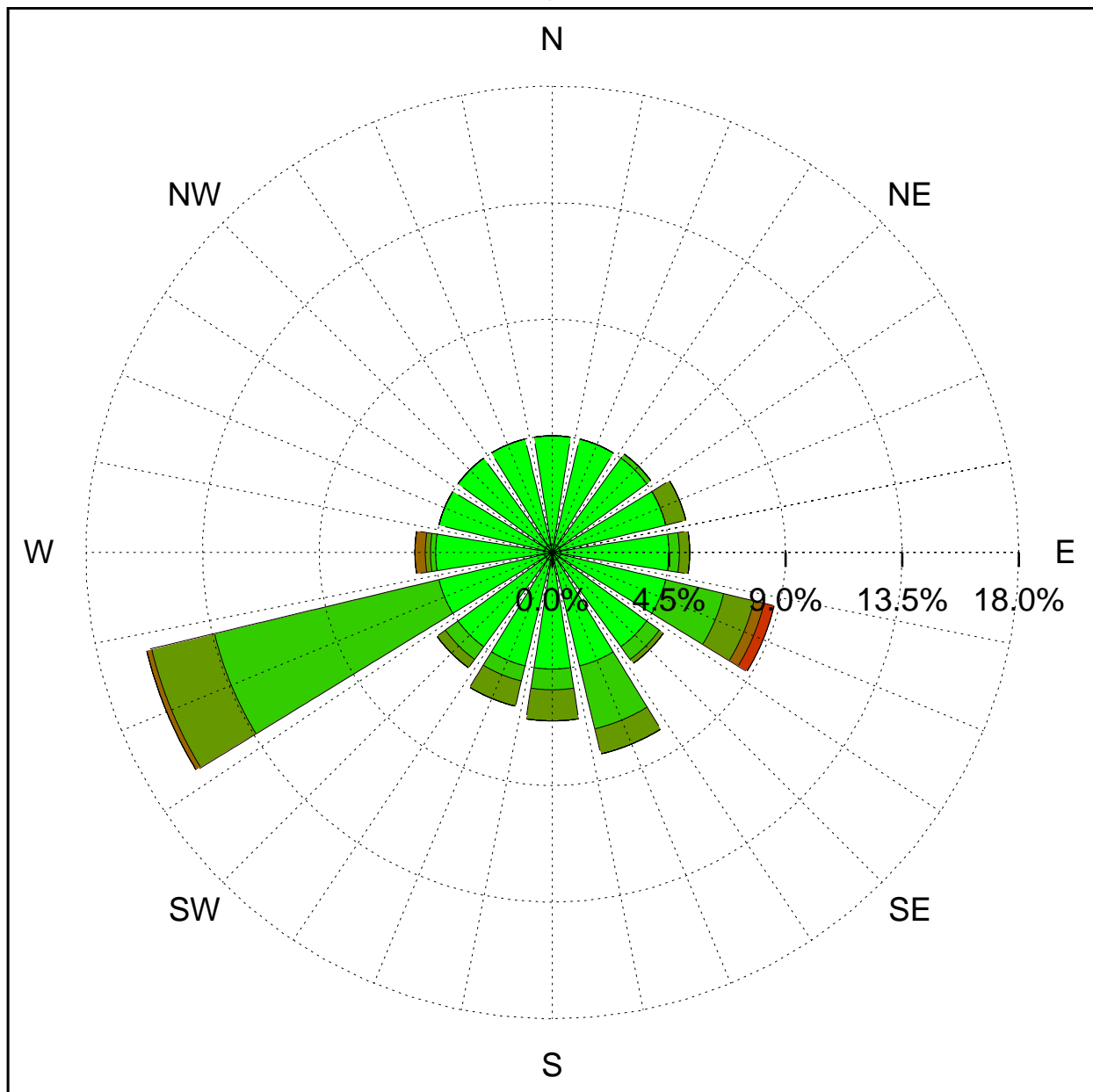


Figura 23.13: Campagna di misura a Roncegno località Maso Dordi (28/01/03-24/02/03).  
Distribuzioni in frequenza e correlazioni.

Sito di misura: Roncegno località Maso Dordi



Legenda - velocità [m/s]	
$v \geq 5.0$	
$3.0 \leq v < 5.0$	
$2.0 \leq v < 3.0$	
$1.0 \leq v < 2.0$	
$0.5 \leq v < 1.0$	
calma ( $v < 0.5$ )	

Figura 23.14: Campagna di misura a Roncegno località Maso Dordi (28/01/03-24/02/03). Rosa dei venti.

## 24 Campagna di misura a Tesero località Lago

**Campagna di misura** dal 14/02/03 al 03/03/03

**Inquinanti rilevati:**  $CO$ ,  $NO_x$ ,  $O_3$ ,  $NMHC$ ,  $SO_2$ ,  $PM_{10}$

**Parametri meteorologici misurati:** velocità del vento, direzione del vento, temperatura, pioggia, radiazione globale

**Note:** I dati mostrano per gli inquinanti un andamento caratterizzato da due picchi, uno tra le 8 e le 9 e uno tra le 18 e le 19. Vi è anche un andamento settimanale che mette in evidenza valori più elevati di concentrazione nel mezzo della settimana. Ciò non sembra però essere vero per il  $PM_{10}$ , che fa riscontrare i valori più elevati la domenica. Tipico è anche l'andamento dell'ozono, che presenta i valori più elevati tra le 10 e le 17 e i minimi tra le 7 e le 8. Da non considerare invece sono i dati relativi alla  $SO_2$ .

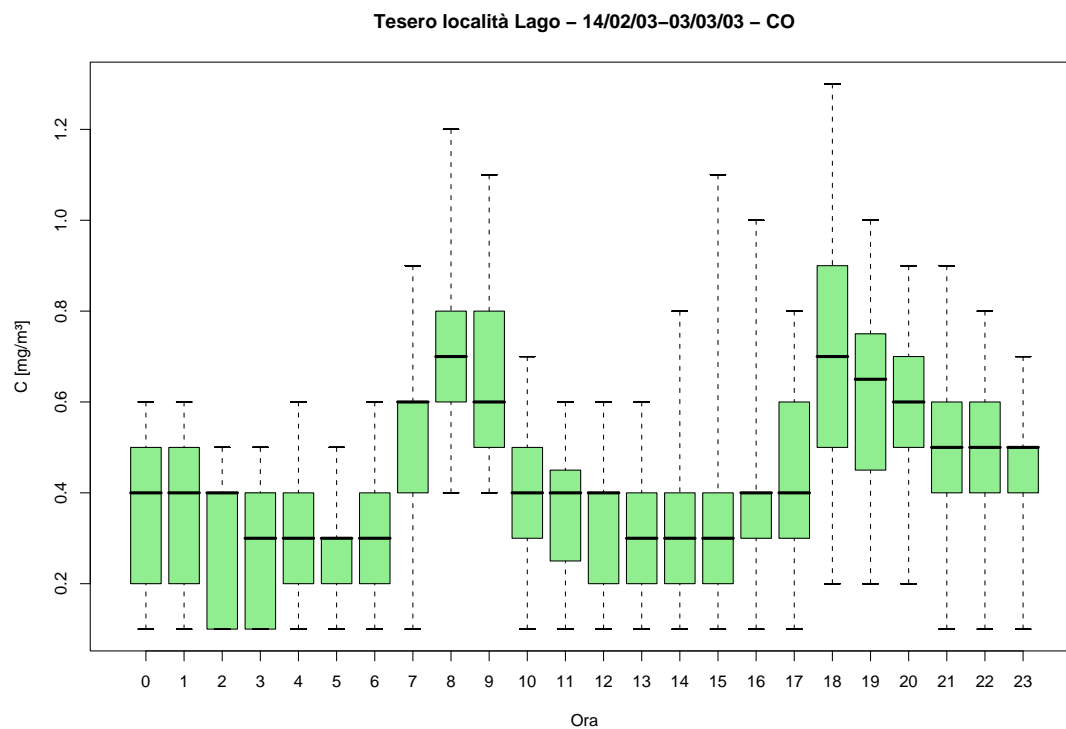


Figura 24.1: Campagna di misura a Tesero località Lago (14/02/03-03/03/03), inquinante: *CO*. Box-plot relativo all'ora del giorno.

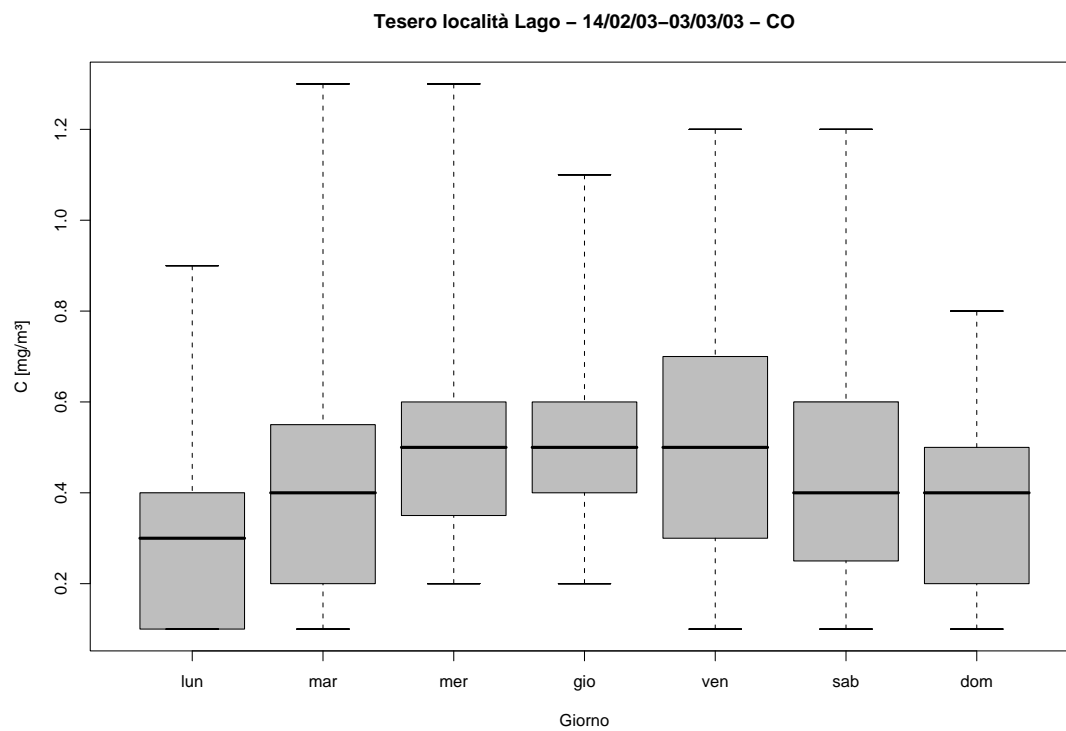


Figura 24.2: Campagna di misura a Tesero località Lago (14/02/03-03/03/03), inquinante: *CO*. Box-plot relativo al giorno della settimana.

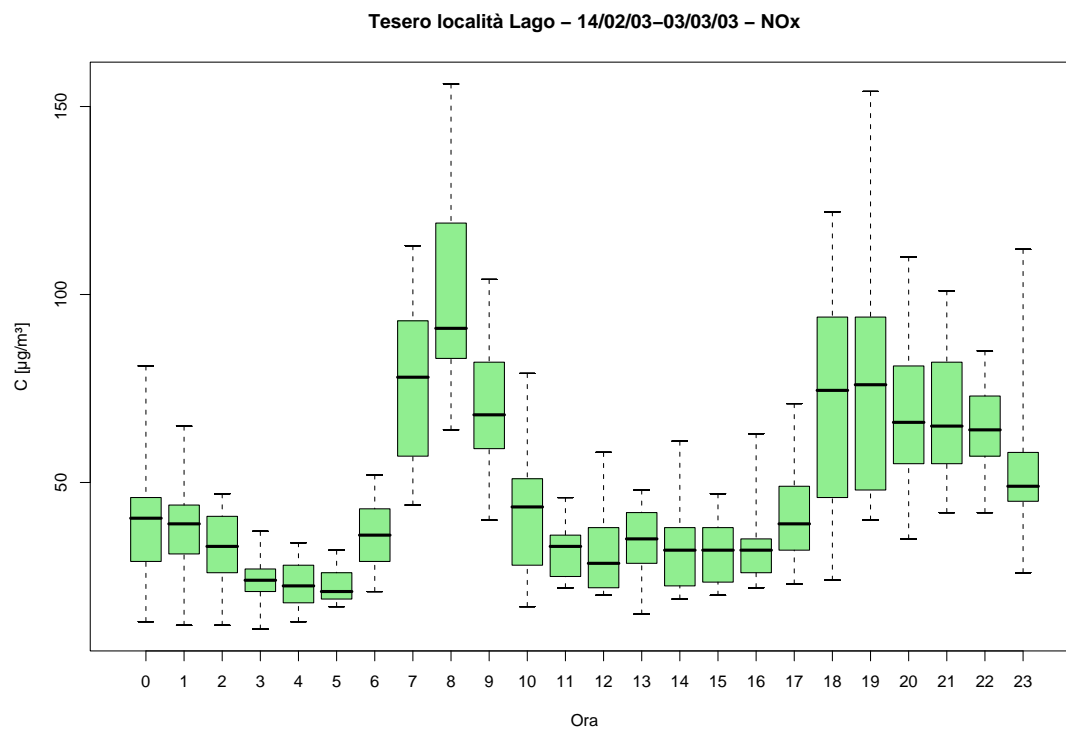


Figura 24.3: Campagna di misura a Tesero località Lago (14/02/03-03/03/03), inquinante:  $NO_x$ . Box-plot relativo all'ora del giorno.

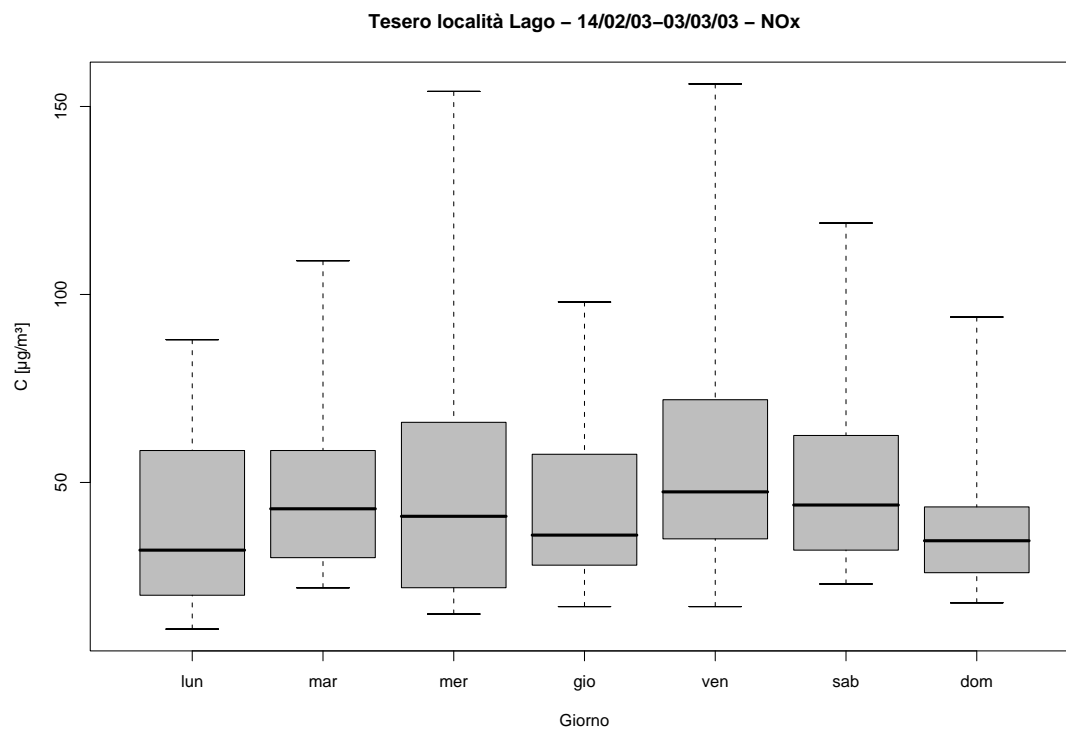


Figura 24.4: Campagna di misura a Tesero località Lago (14/02/03-03/03/03), inquinante:  $NO_x$ . Box-plot relativo al giorno della settimana.

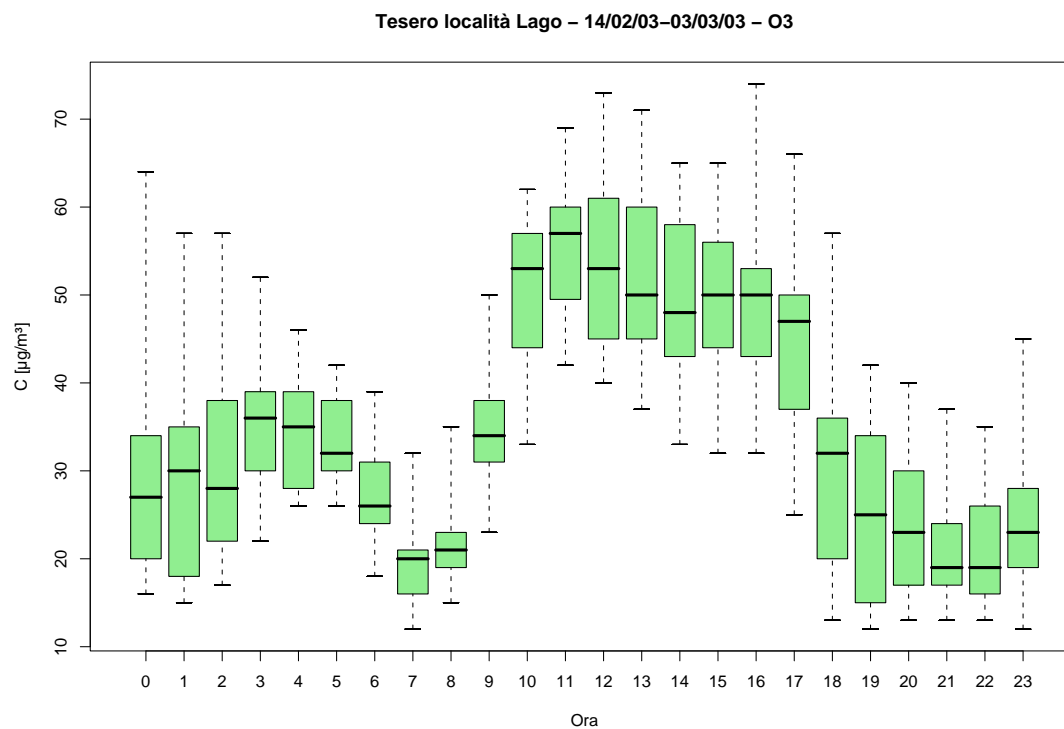


Figura 24.5: Campagna di misura a Tesero località Lago (14/02/03-03/03/03), inquinante:  $O_3$ . Box-plot relativo all'ora del giorno.

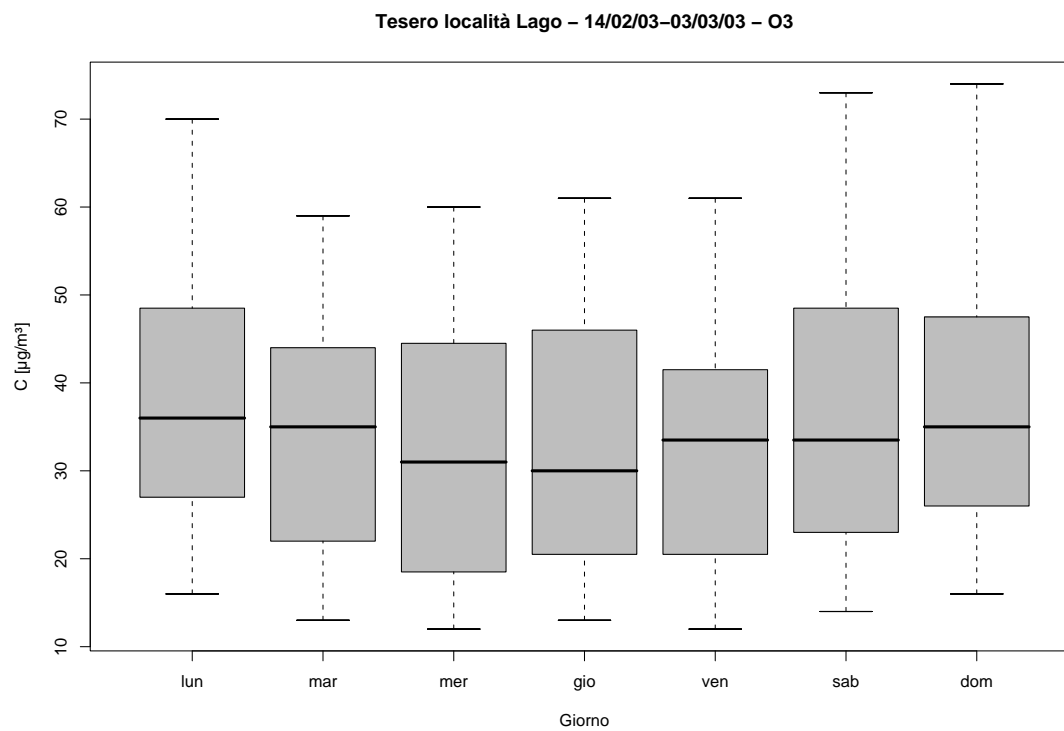


Figura 24.6: Campagna di misura a Tesero località Lago (14/02/03-03/03/03), inquinante:  $O_3$ . Box-plot relativo al giorno della settimana.

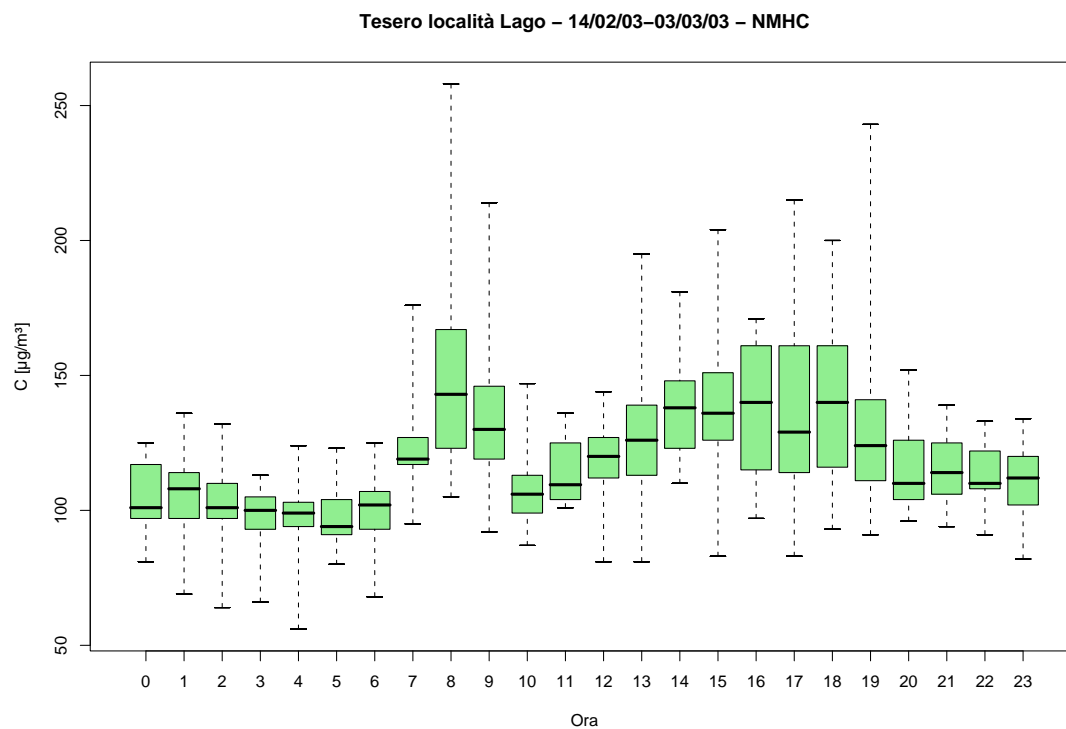


Figura 24.7: Campagna di misura a Tesero località Lago (14/02/03-03/03/03), inquinante: *NMHC*. Box-plot relativo all'ora del giorno.

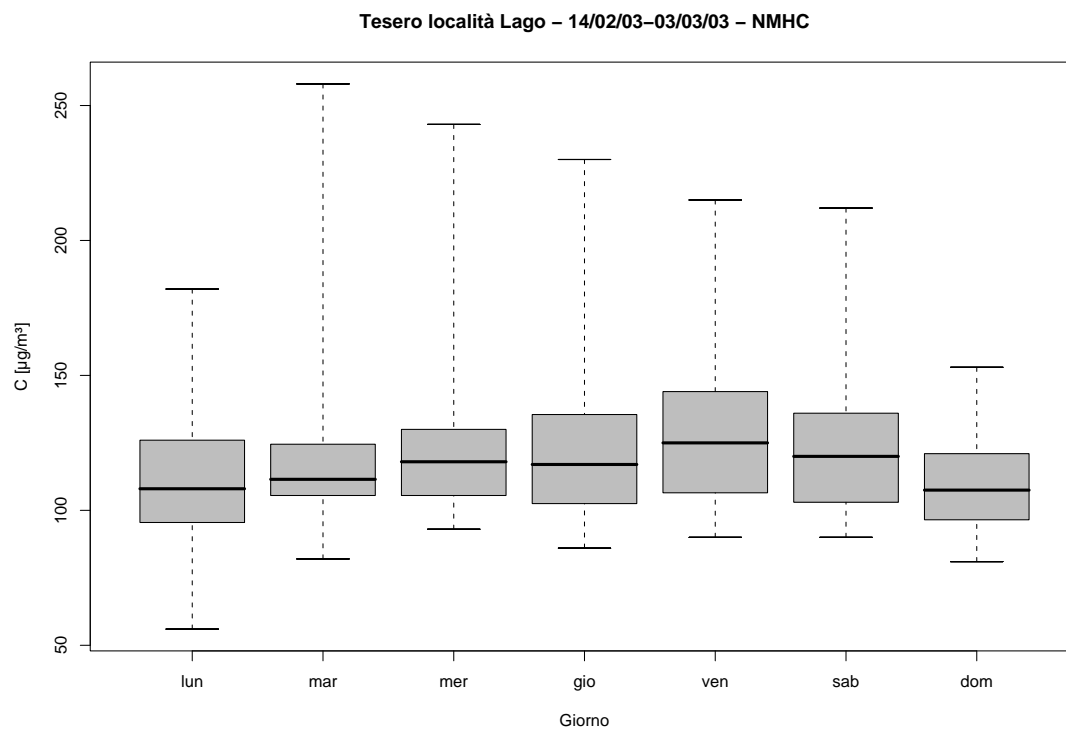


Figura 24.8: Campagna di misura a Tesero località Lago (14/02/03-03/03/03), inquinante: *NMHC*. Box-plot relativo al giorno della settimana.

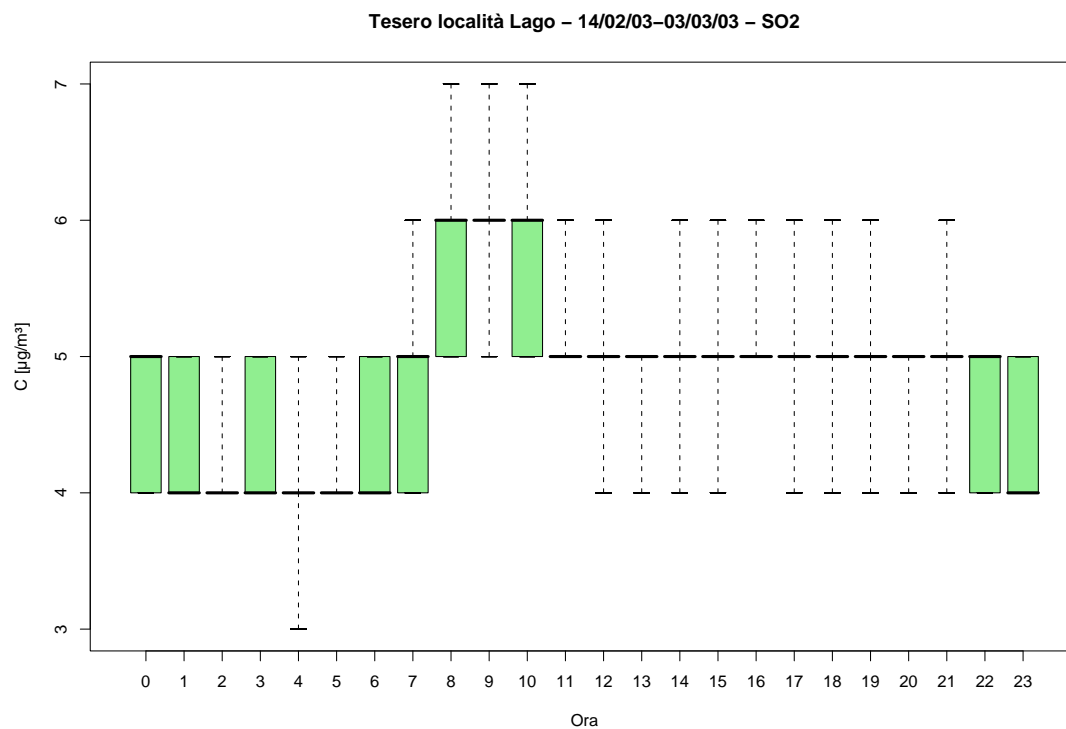


Figura 24.9: Campagna di misura a Tesero località Lago (14/02/03-03/03/03), inquinante:  $SO_2$ . Box-plot relativo all'ora del giorno.

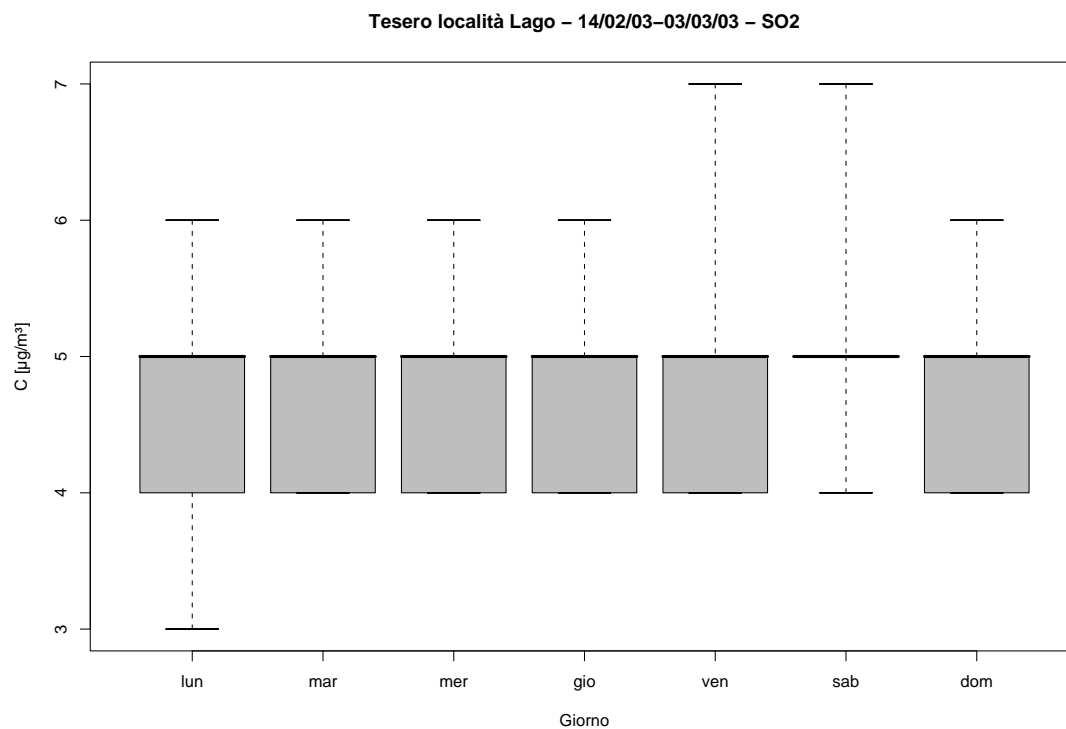


Figura 24.10: Campagna di misura a Tesero località Lago (14/02/03-03/03/03), inquinante:  $SO_2$ . Box-plot relativo al giorno della settimana.



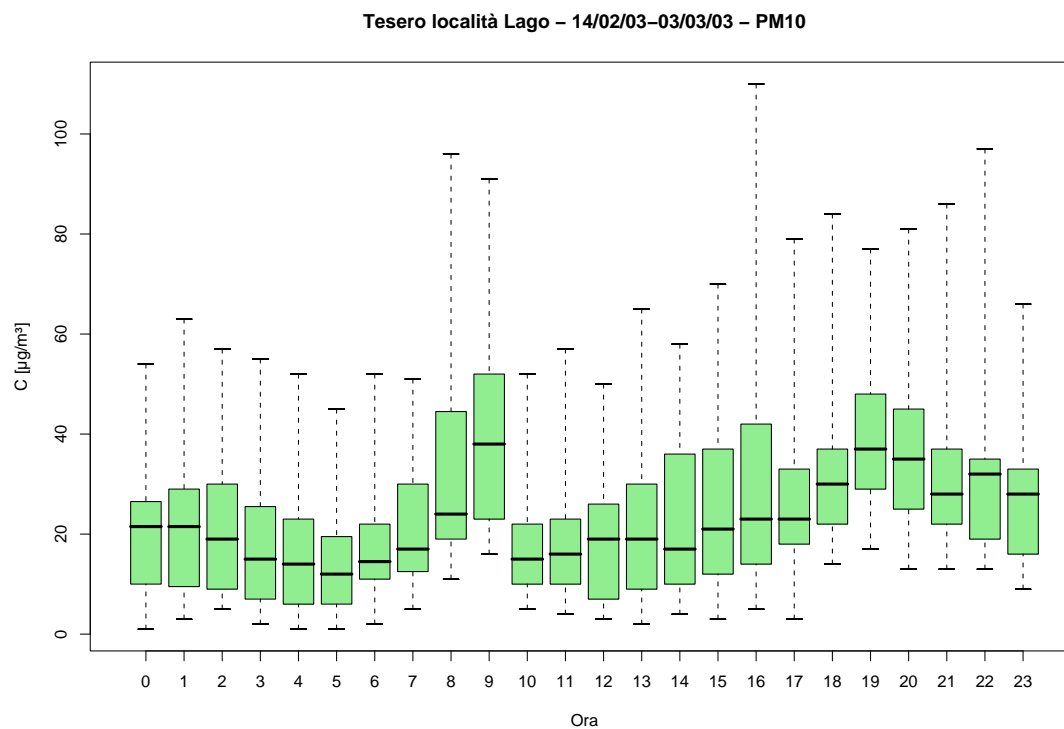


Figura 24.11: Campagna di misura a Tesero località Lago (14/02/03-03/03/03), inquinante:  $PM_{10}$ . Box-plot relativo all'ora del giorno.

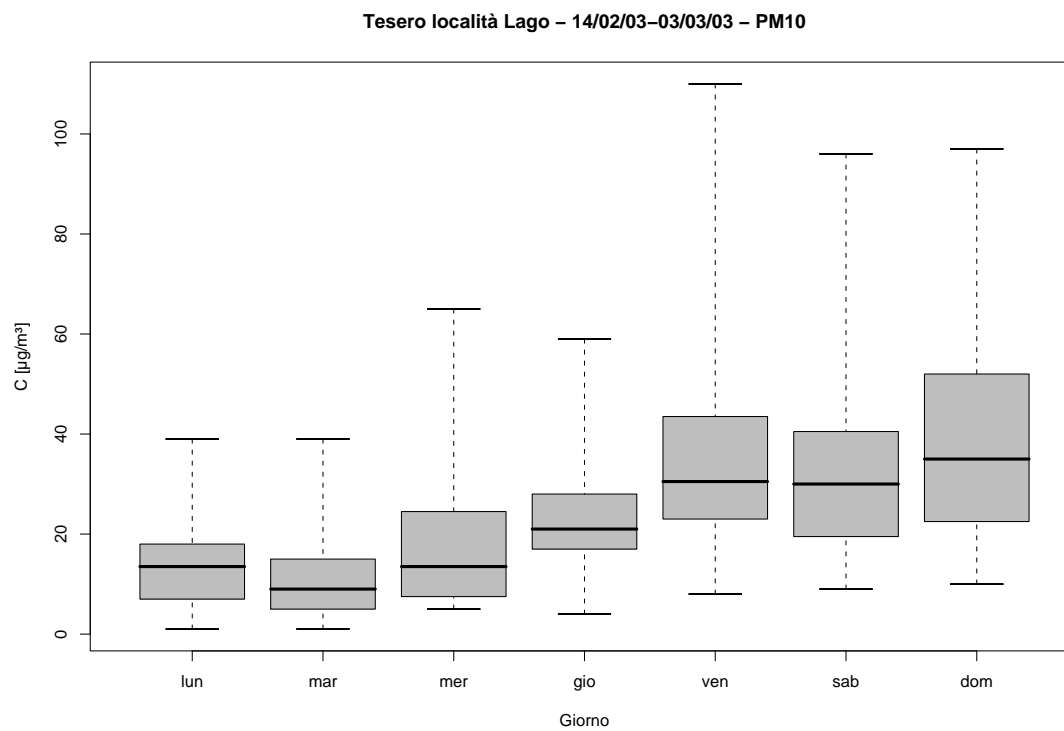


Figura 24.12: Campagna di misura a Tesero località Lago (14/02/03-03/03/03), inquinante:  $PM_{10}$ . Box-plot relativo al giorno della settimana.

Tesero località Lago - 14/02/03-03/03/03  
distribuzioni in frequenza e correlazioni

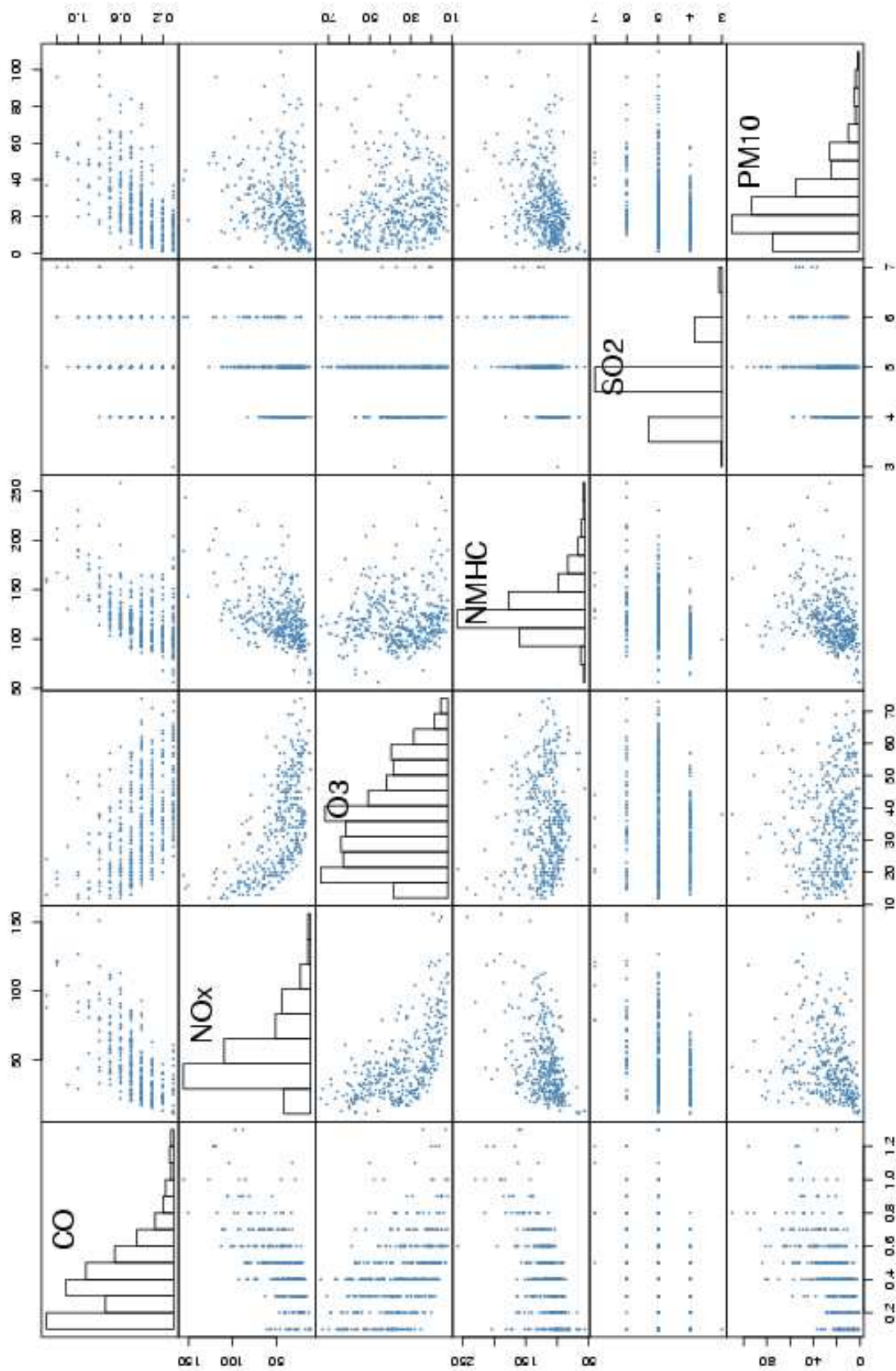
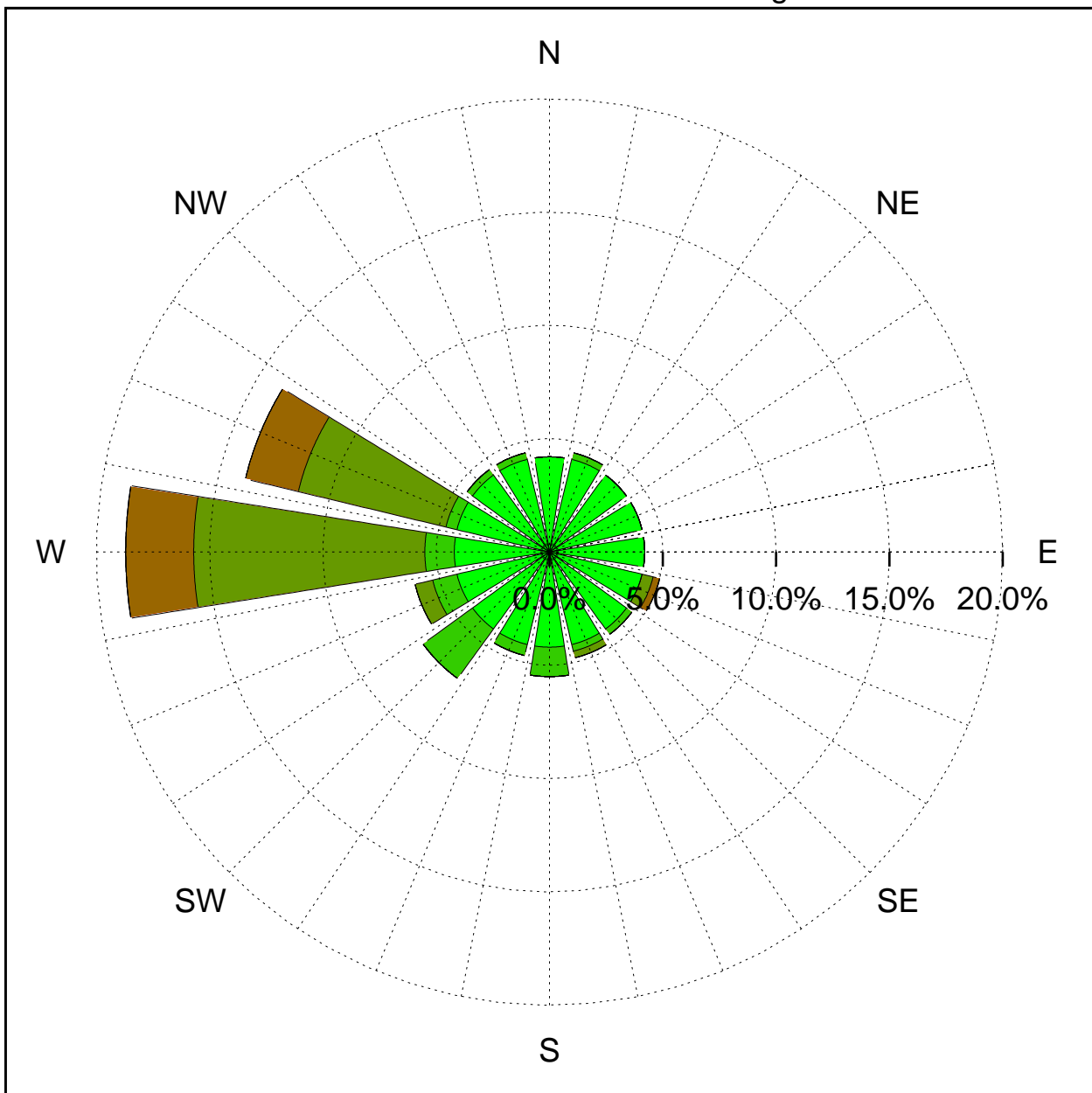


Figura 24.13: Campagna di misura a Tesero località Lago (14/02/03-03/03/03). Distribuzioni in frequenza e correlazioni.

Sito di misura: Tesero località Lago



Legenda - velocità [m/s]	
$v \geq 5.0$	
$3.0 \leq v < 5.0$	
$2.0 \leq v < 3.0$	
$1.0 \leq v < 2.0$	
$0.5 \leq v < 1.0$	
calma ( $v < 0.5$ )	

Figura 24.14: Campagna di misura a Tesero località Lago (14/02/03-03/03/03). Rosa dei venti.

## 25 Campagna di misura a Val Canali

**Campagna di misura** dal 05/03/03 al 06/08/03

**Inquinanti rilevati:** *CO, NO<sub>x</sub>, O<sub>3</sub>, NMHC, SO<sub>2</sub>, PM<sub>10</sub>*

**Parametri meteorologici misurati:** velocità del vento, direzione del vento, temperatura, umidità relativa

**Note:** Gli inquinanti presentano un ciclo giornaliero ben definito con un picco intorno alle 8 e un picco intorno alle 18. Anche settimanalmente si riscontra un comportamento che prevede valori più elevati di concentrazione durante la settimana e valori minori la domenica. Anche l'ozono mostra un ciclo giornaliero tipico con minimo intorno alle 7 e massimo tra le 13 e le 16.

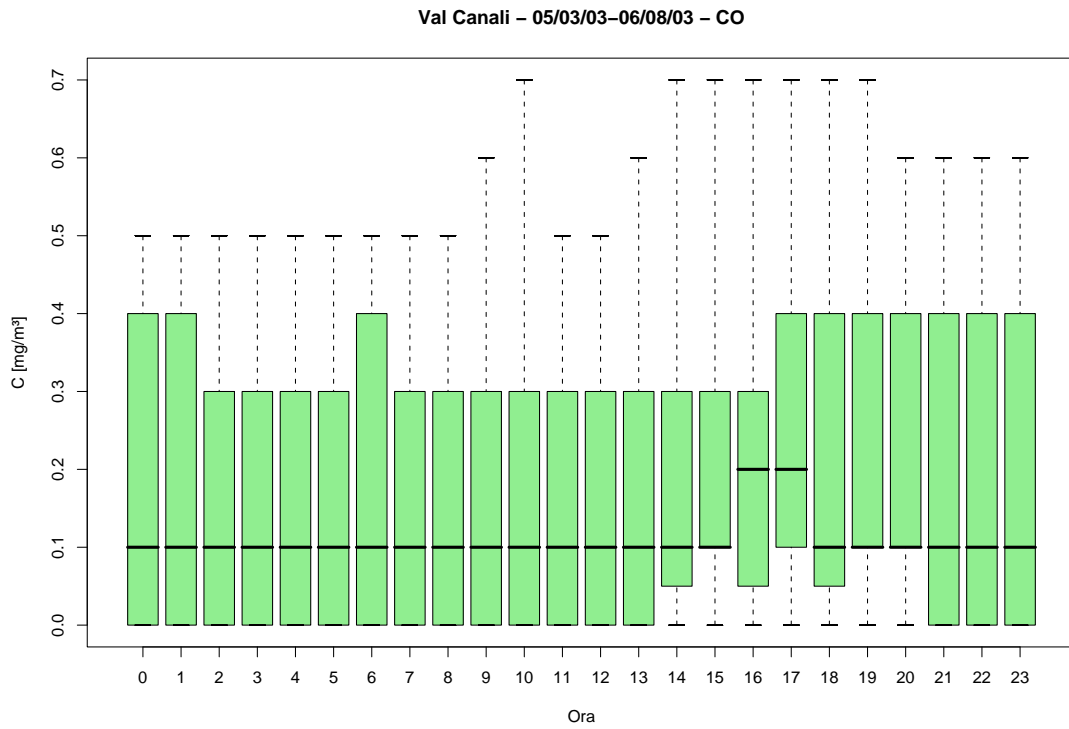


Figura 25.1: Campagna di misura a Val Canali (05/03/03-06/08/03), inquinante: *CO*. Box-plot relativo all'ora del giorno.

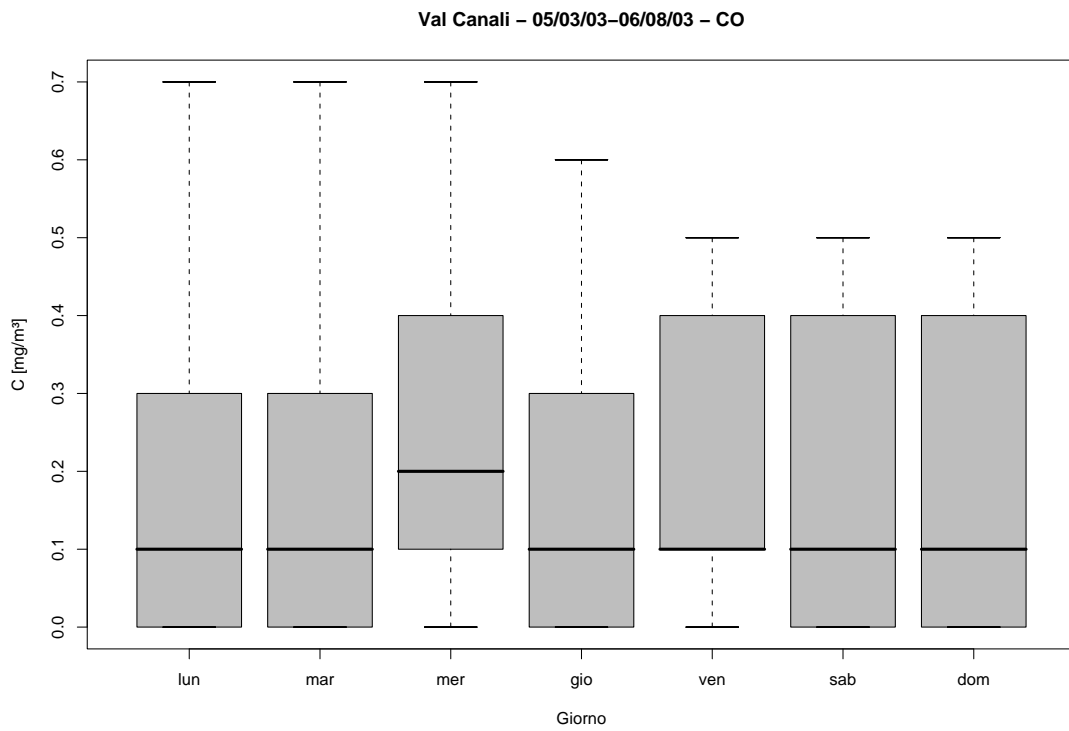


Figura 25.2: Campagna di misura a Val Canali (05/03/03-06/08/03), inquinante: *CO*. Box-plot relativo al giorno della settimana.

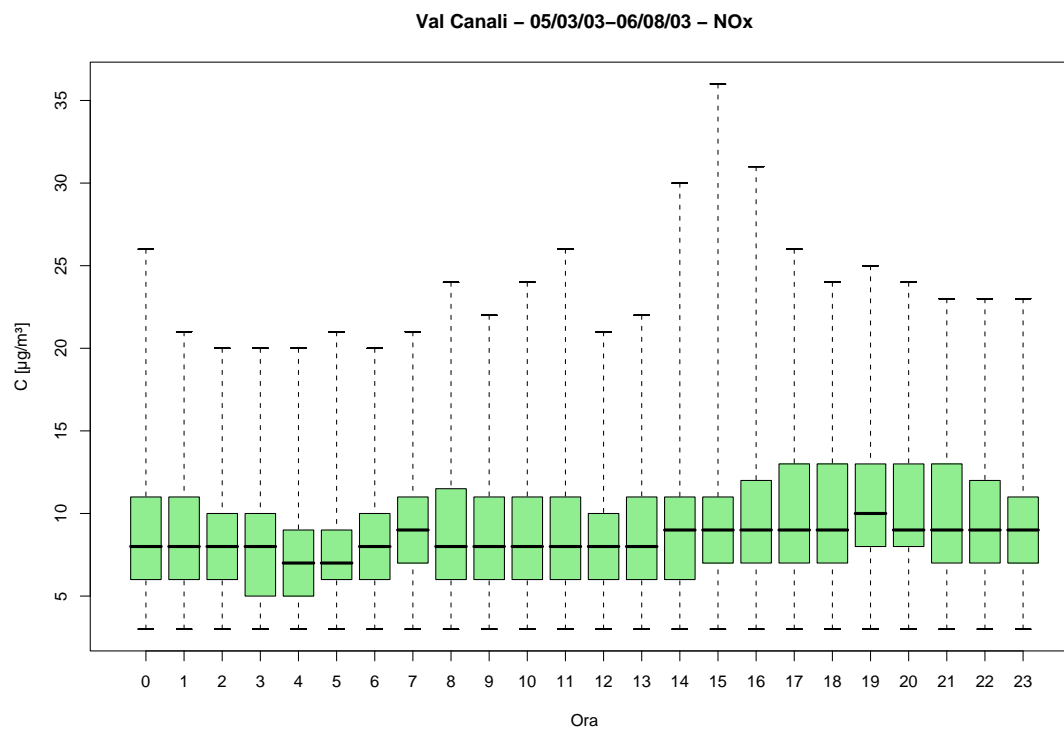


Figura 25.3: Campagna di misura a Val Canali (05/03/03-06/08/03), inquinante:  $NO_x$ . Box-plot relativo all'ora del giorno.

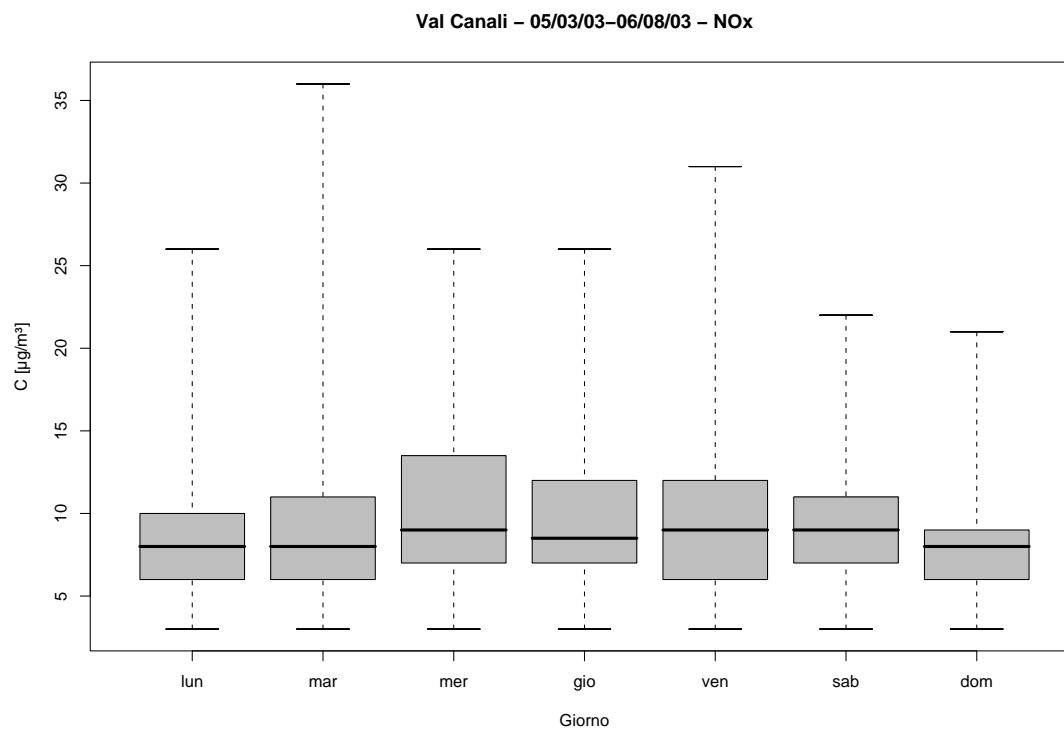


Figura 25.4: Campagna di misura a Val Canali (05/03/03-06/08/03), inquinante:  $NO_x$ . Box-plot relativo al giorno della settimana.

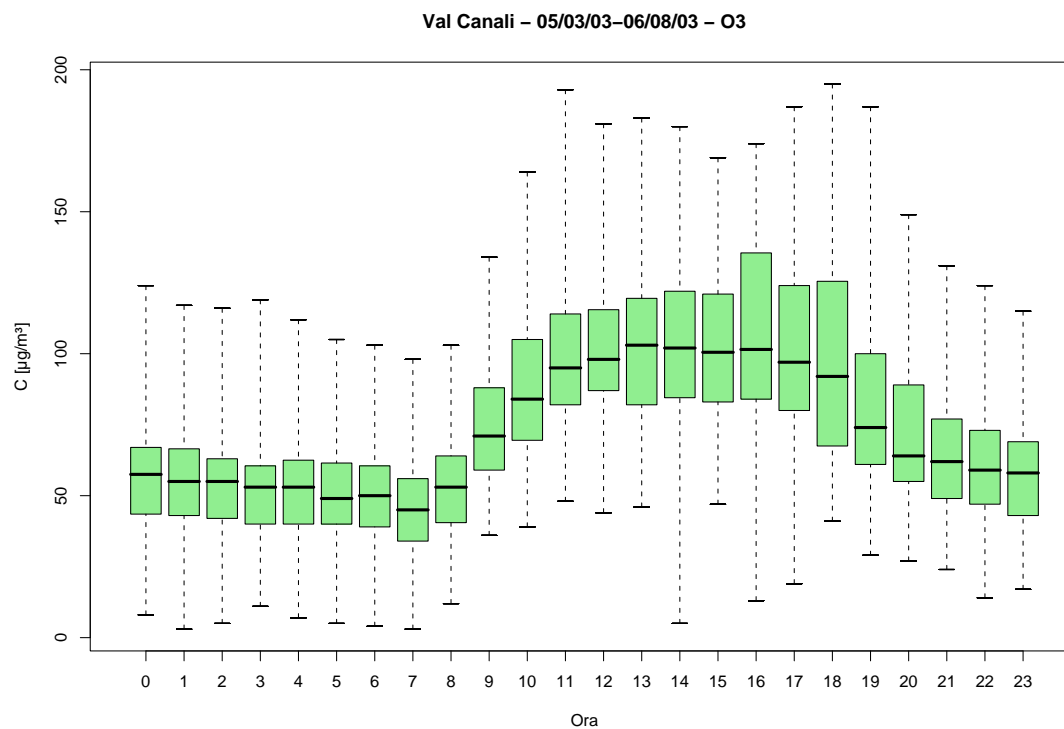


Figura 25.5: Campagna di misura a Val Canali (05/03/03-06/08/03), inquinante:  $O_3$ . Box-plot relativo all'ora del giorno.

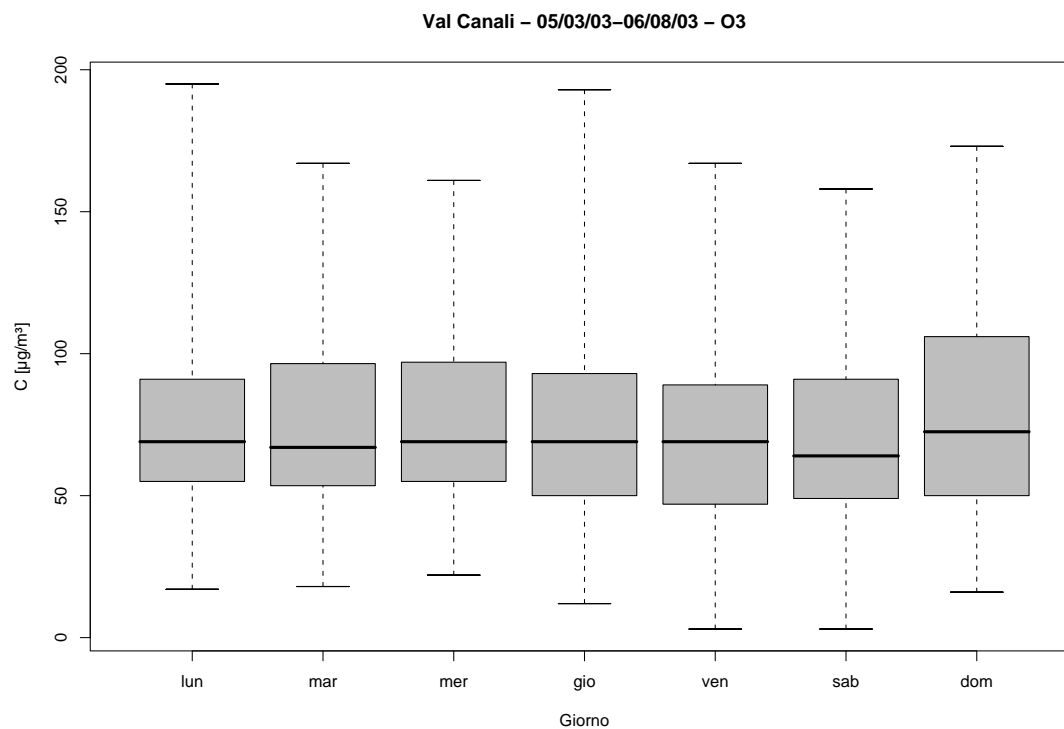


Figura 25.6: Campagna di misura a Val Canali (05/03/03-06/08/03), inquinante:  $O_3$ . Box-plot relativo al giorno della settimana.

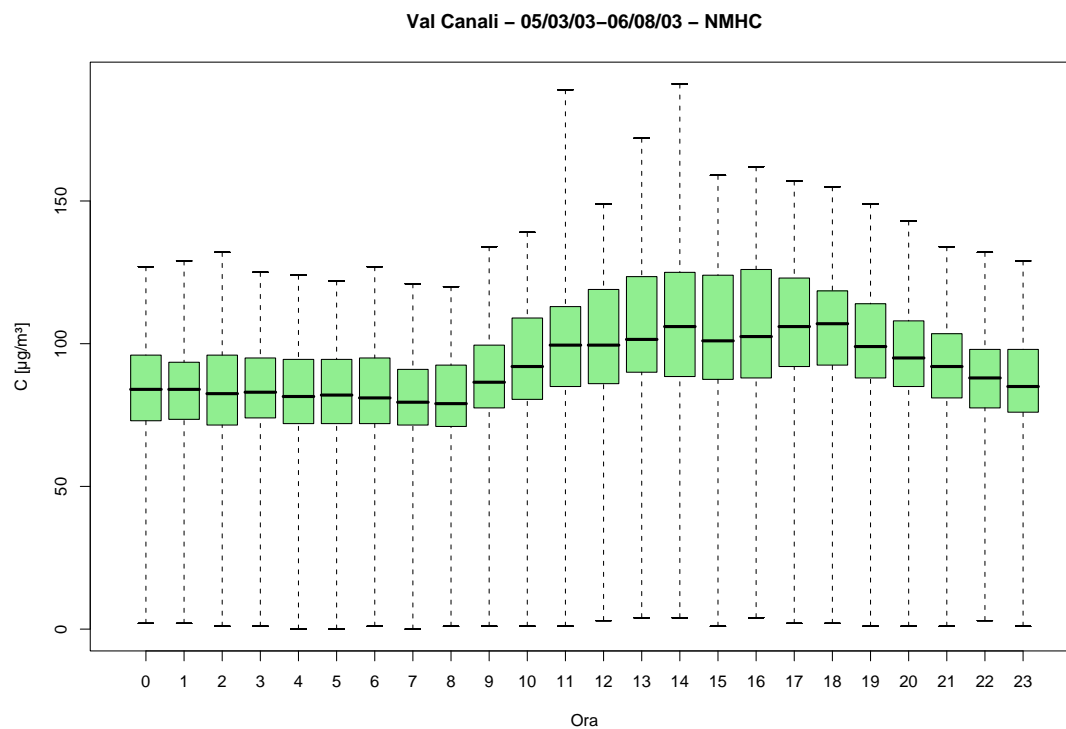


Figura 25.7: Campagna di misura a Val Canali (05/03/03-06/08/03), inquinante: *NMHC*. Box-plot relativo all'ora del giorno.

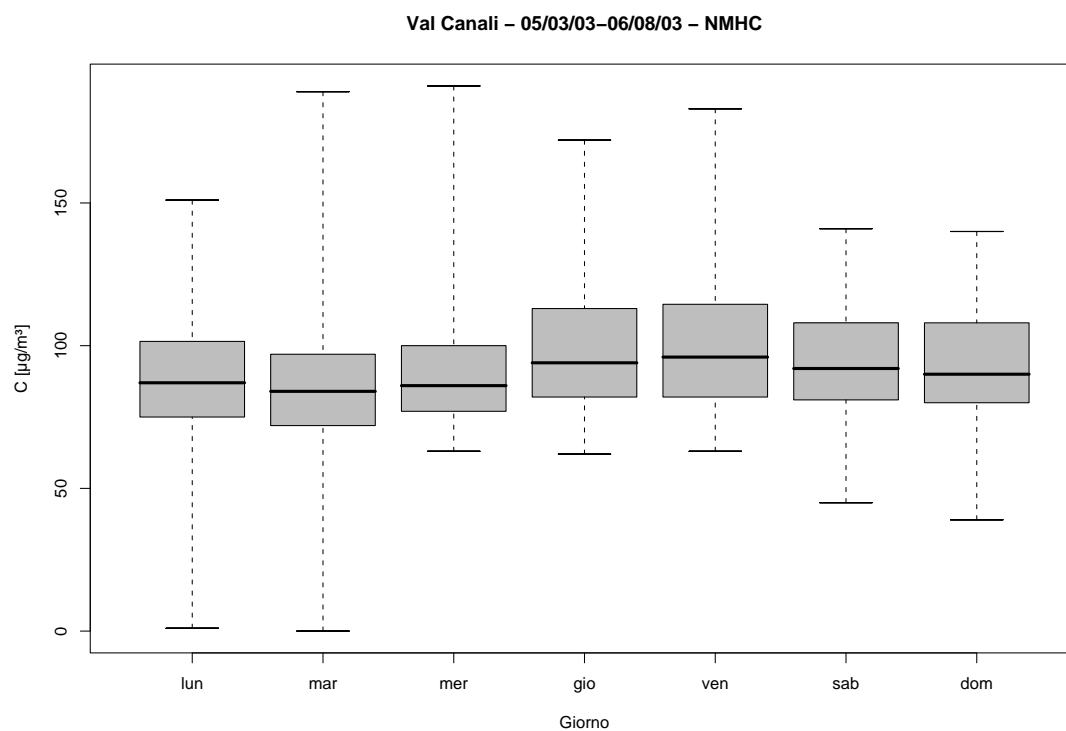


Figura 25.8: Campagna di misura a Val Canali (05/03/03-06/08/03), inquinante: *NMHC*. Box-plot relativo al giorno della settimana.



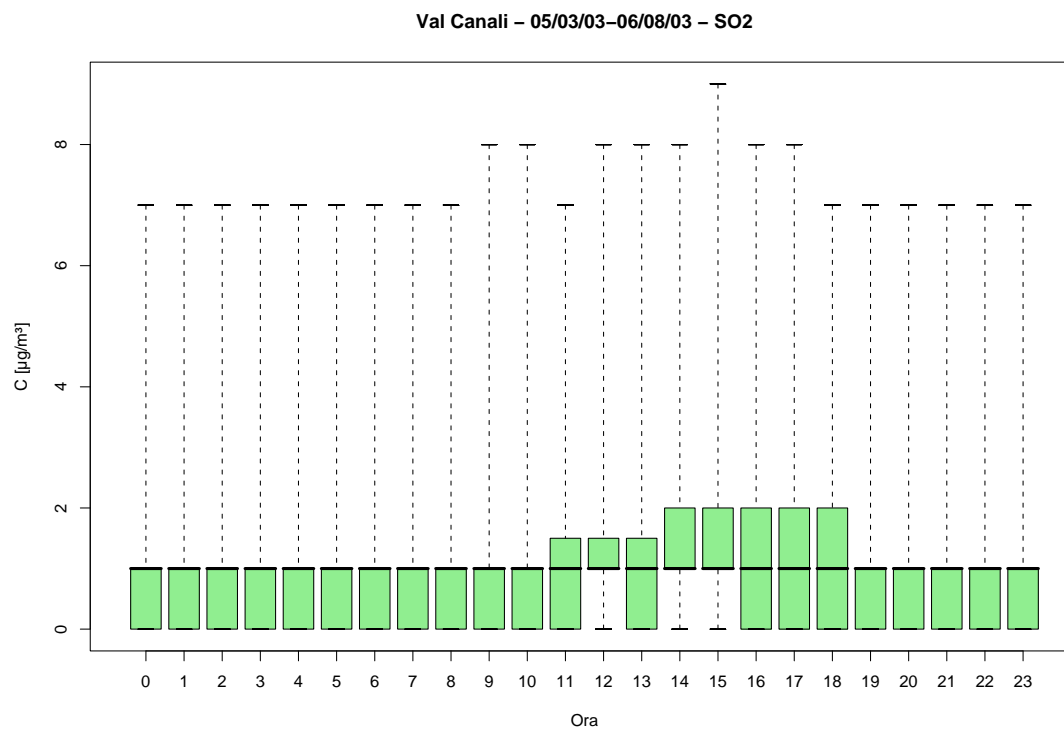


Figura 25.9: Campagna di misura a Val Canali (05/03/03-06/08/03), inquinante:  $SO_2$ . Box-plot relativo all'ora del giorno.

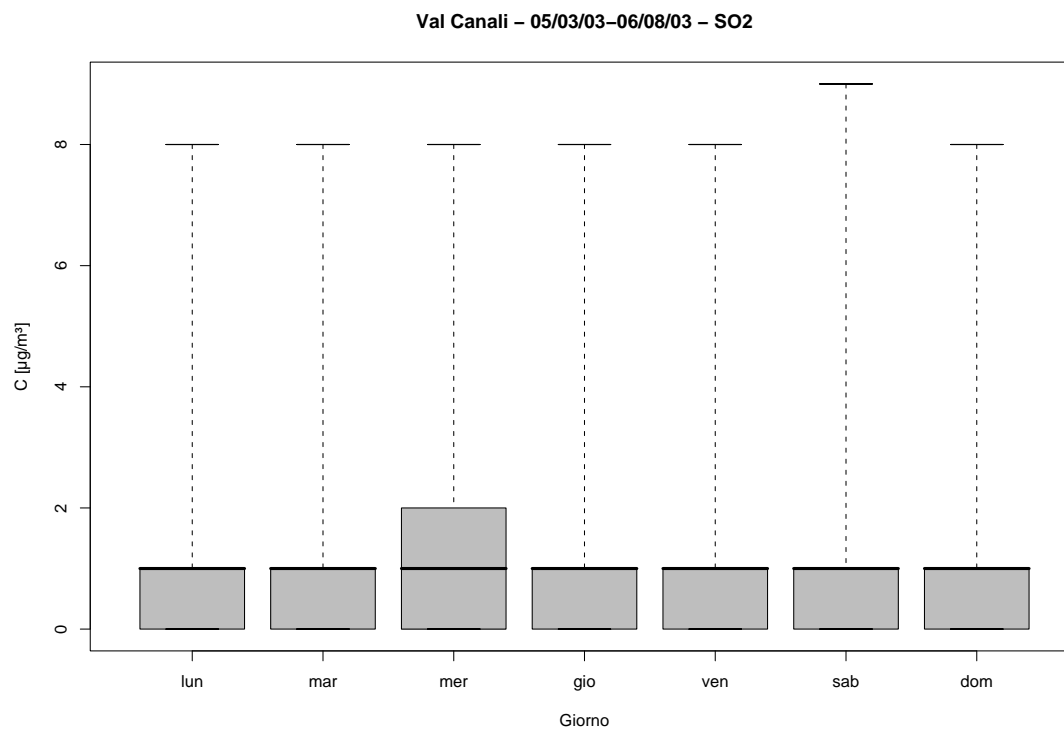


Figura 25.10: Campagna di misura a Val Canali (05/03/03-06/08/03), inquinante:  $SO_2$ . Box-plot relativo al giorno della settimana.

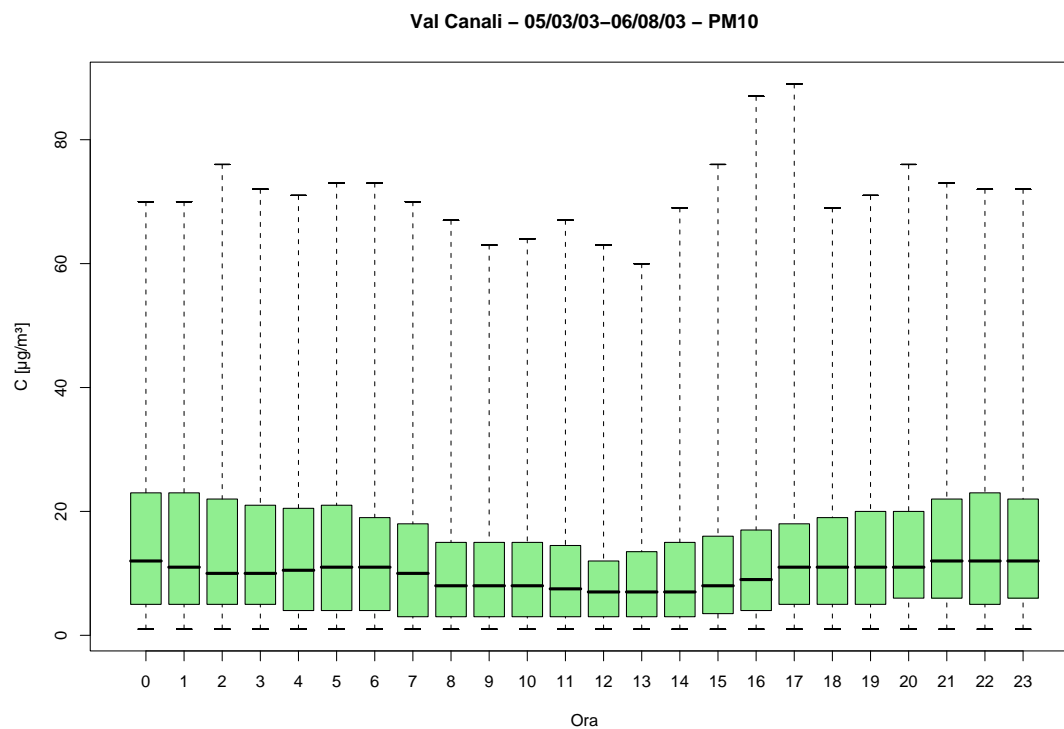


Figura 25.11: Campagna di misura a Val Canali (05/03/03-06/08/03), inquinante:  $PM_{10}$ . Box-plot relativo all'ora del giorno.

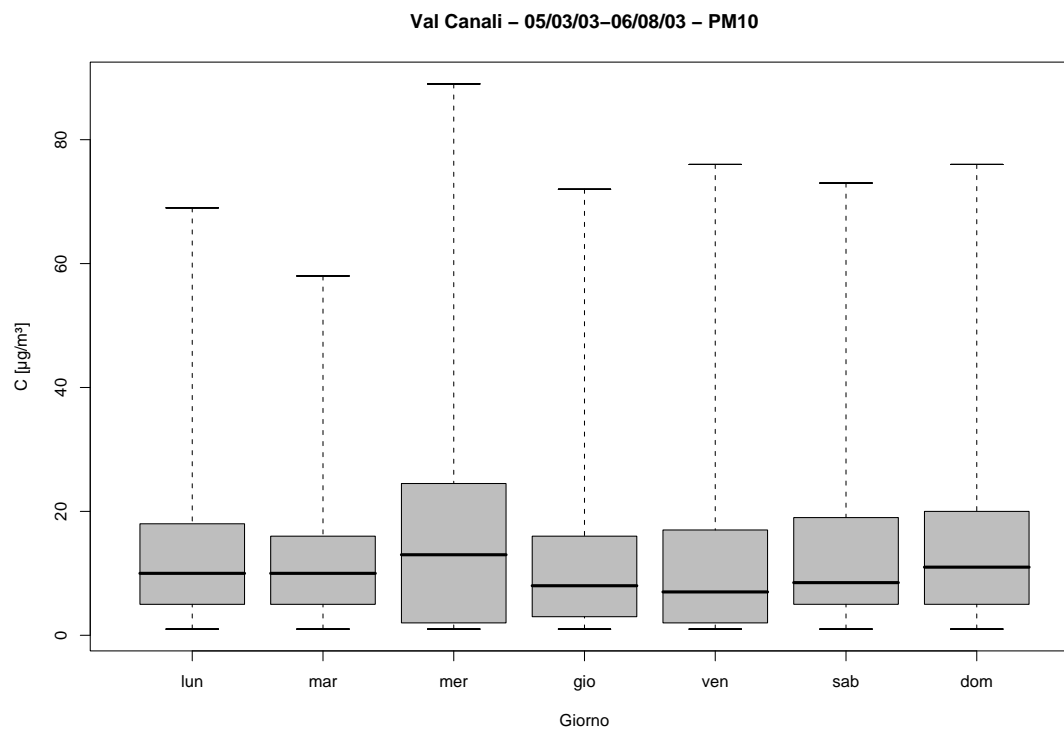


Figura 25.12: Campagna di misura a Val Canali (05/03/03-06/08/03), inquinante:  $PM_{10}$ . Box-plot relativo al giorno della settimana.

**Val Canali – 05/03/03-06/08/03**  
**distribuzioni in frequenza e correlazioni**

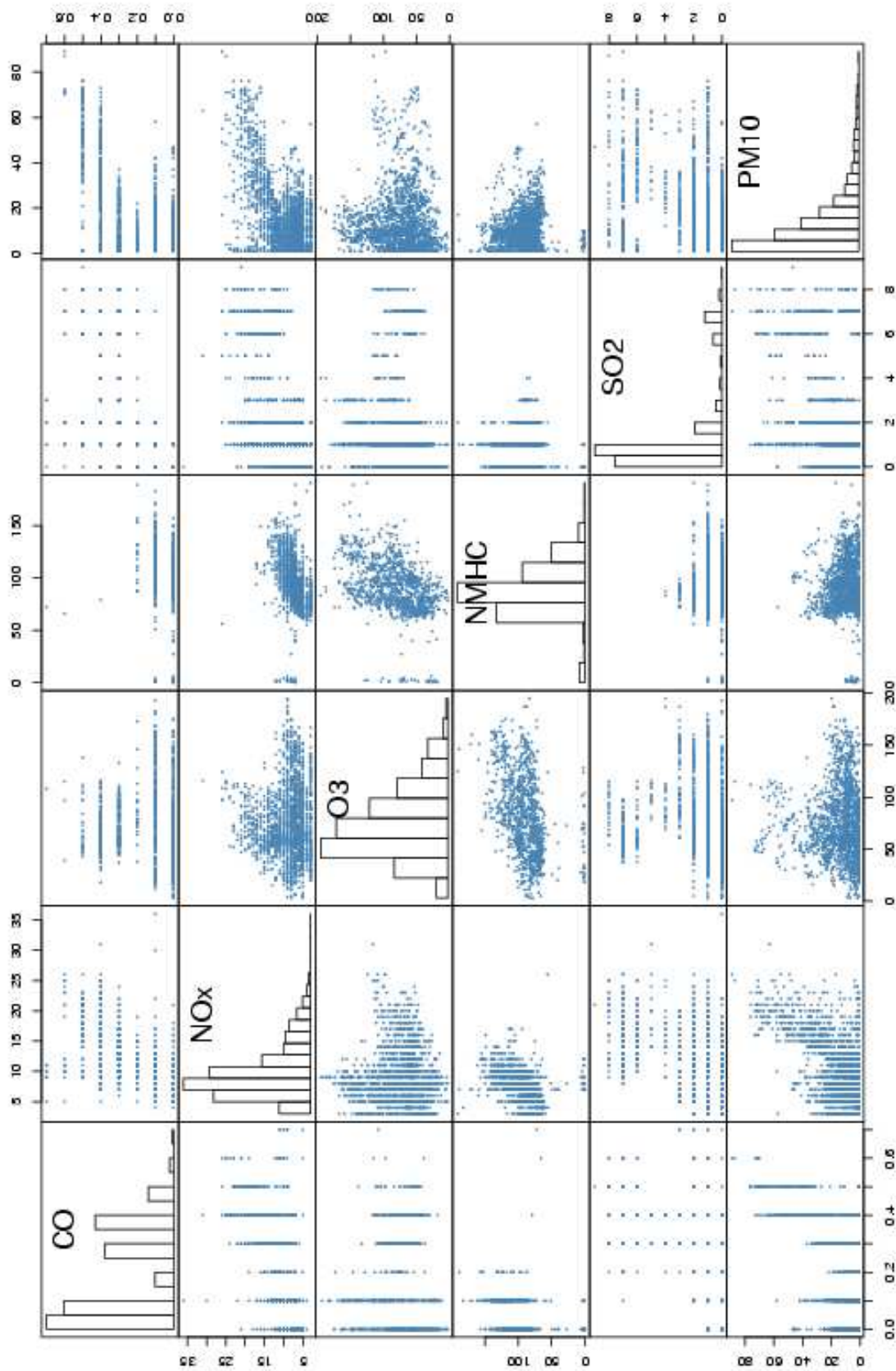
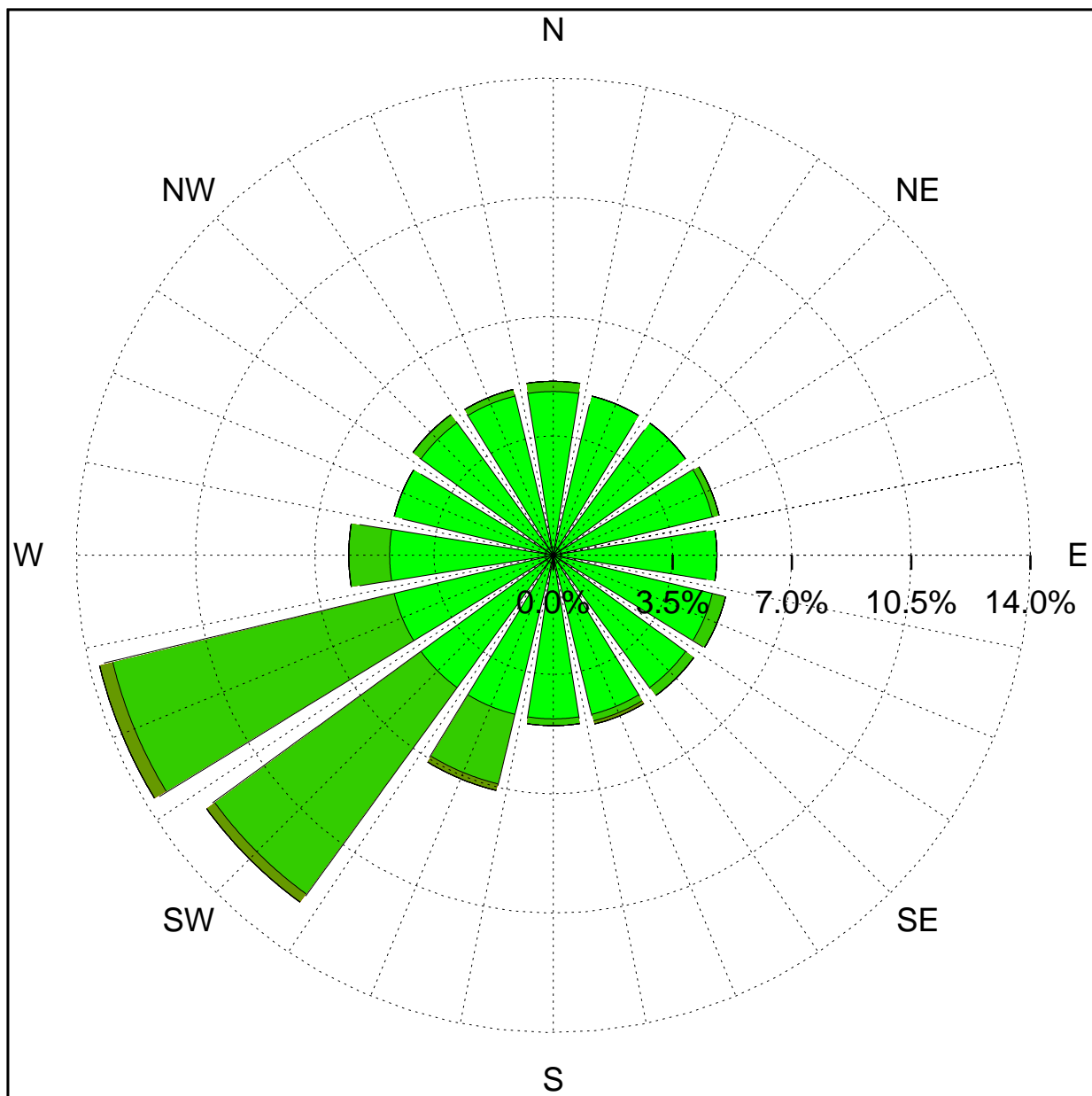


Figura 25.13: Campagna di misura a Val Canali (05/03/03-06/08/03). Distribuzioni in frequenza e correlazioni.

Sito di misura: Val Canali



Legenda - velocità [m/s]	
$v \geq 5.0$	
$3.0 \leq v < 5.0$	
$2.0 \leq v < 3.0$	
$1.0 \leq v < 2.0$	
$0.5 \leq v < 1.0$	
calma ( $v < 0.5$ )	

Figura 25.14: Campagna di misura a Val Canali (05/03/03-06/08/03). Rosa dei venti.

## 26 Campagna di misura a Pergine

**Campagna di misura** dal 18/03/03 al 13/05/03

**Inquinanti rilevati:** *CO*, *NO<sub>x</sub>*, *O<sub>3</sub>*, *NMHC*, *SO<sub>2</sub>*, *PM<sub>10</sub>*

**Parametri meteorologici misurati:** velocità del vento, direzione del vento, temperatura, umidità relativa, pioggia, radiazione globale

**Note:** Gli inquinanti presentano un ciclo giornaliero ben definito con un picco intorno alle 8 e un picco intorno alle 18. Anche settimanalmente si riscontra un comportamento che prevede valori più elevati di concentrazione durante la settimana e valori minori la domenica. Anche l'ozono mostra un ciclo giornaliero tipico con minimo intorno alle 7 e massimo tra le 13 e le 16.

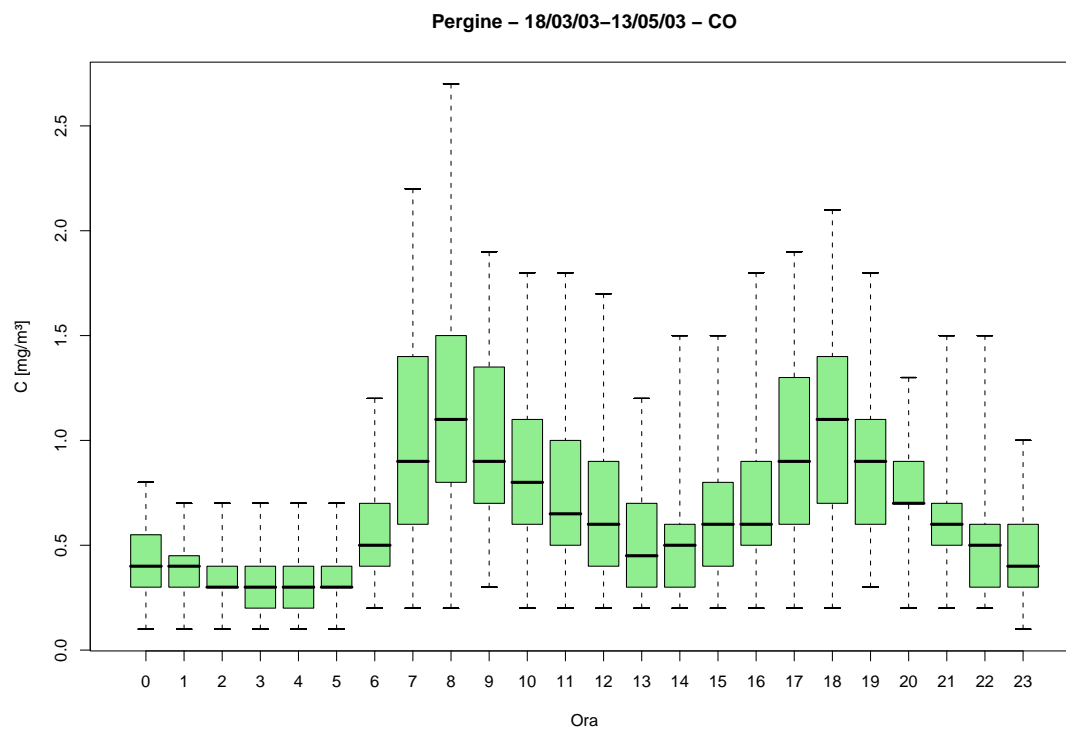


Figura 26.1: Campagna di misura a Pergine (18/03/03-13/05/03), inquinante:  $CO$ . Box-plot relativo all'ora del giorno.

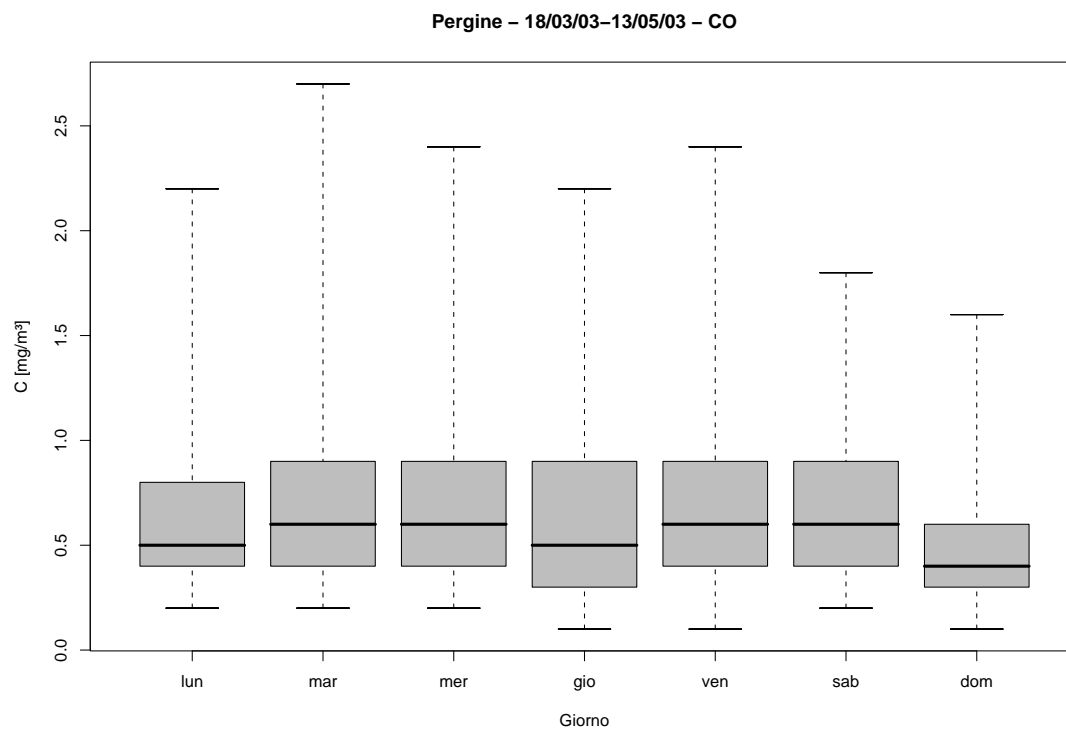


Figura 26.2: Campagna di misura a Pergine (18/03/03-13/05/03), inquinante:  $CO$ . Box-plot relativo al giorno della settimana.

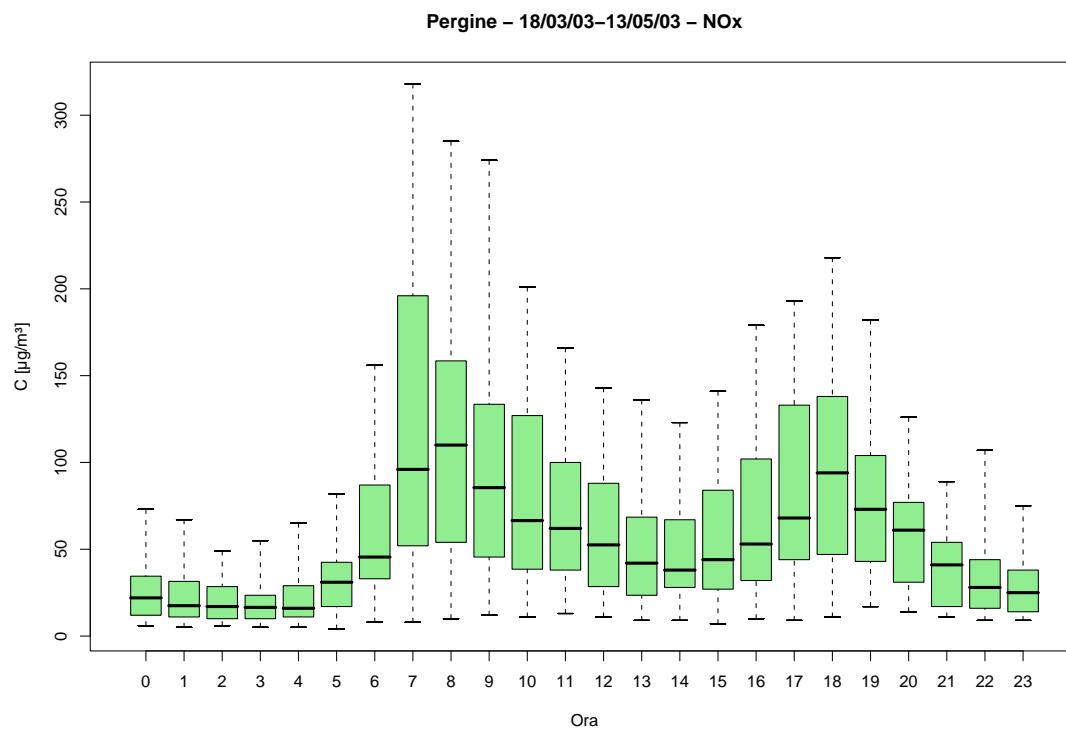


Figura 26.3: Campagna di misura a Pergine (18/03/03-13/05/03), inquinante:  $NO_x$ . Box-plot relativo all'ora del giorno.

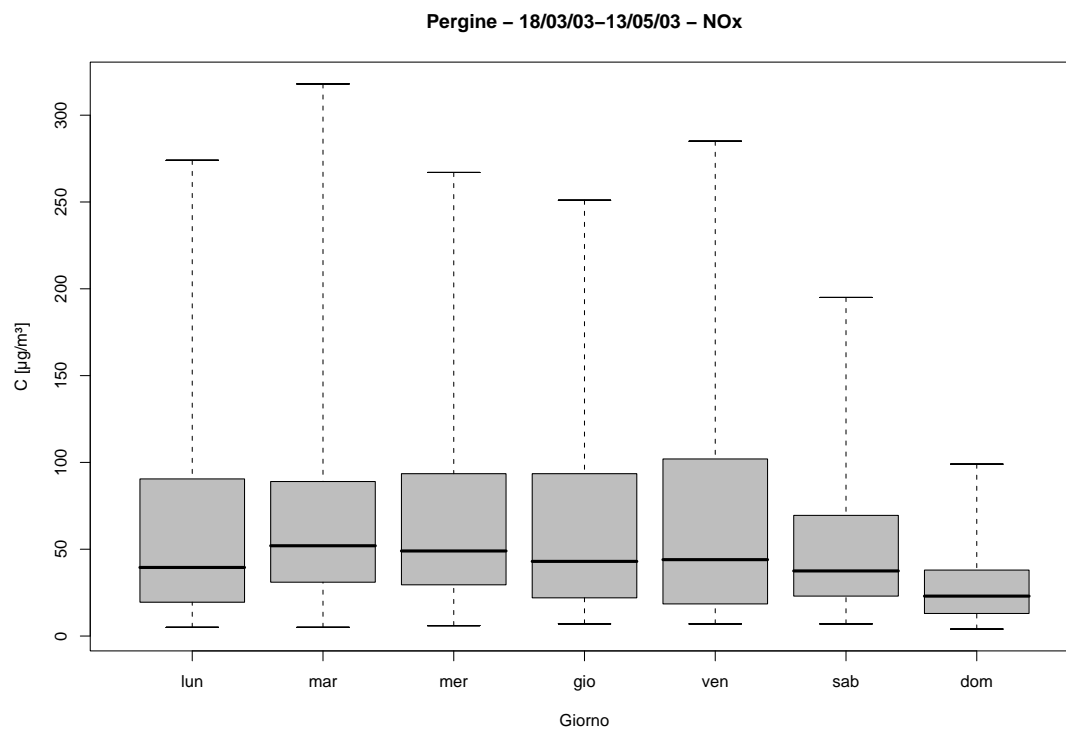


Figura 26.4: Campagna di misura a Pergine (18/03/03-13/05/03), inquinante:  $NO_x$ . Box-plot relativo al giorno della settimana.

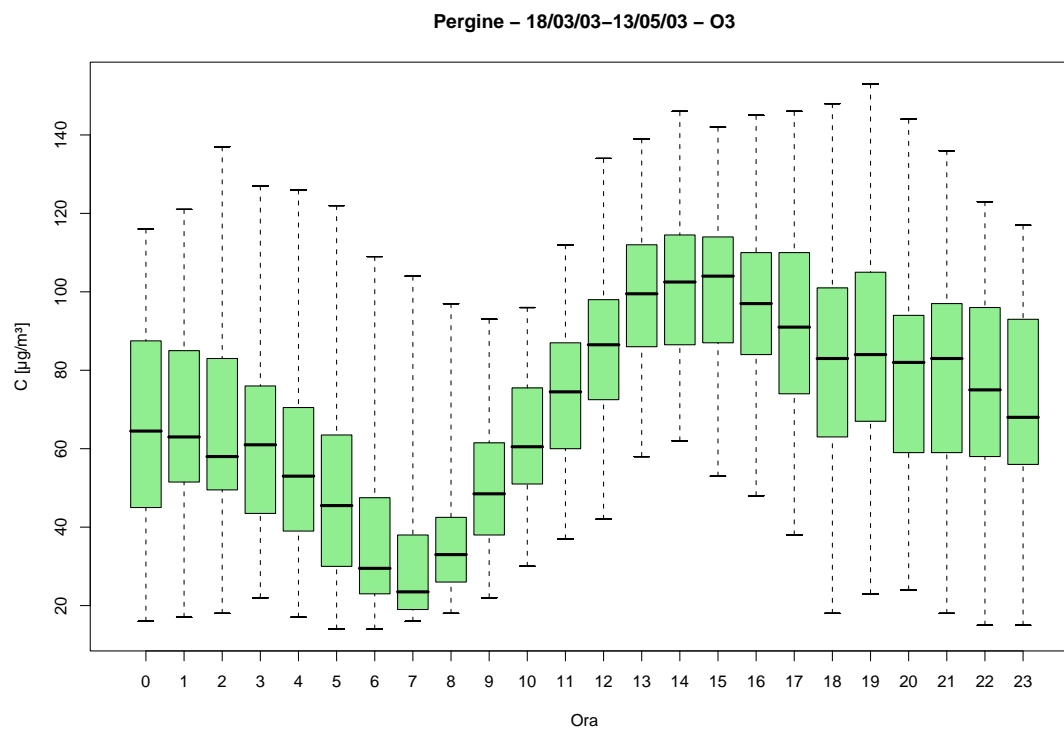


Figura 26.5: Campagna di misura a Pergine (18/03/03-13/05/03), inquinante:  $O_3$ . Box-plot relativo all'ora del giorno.

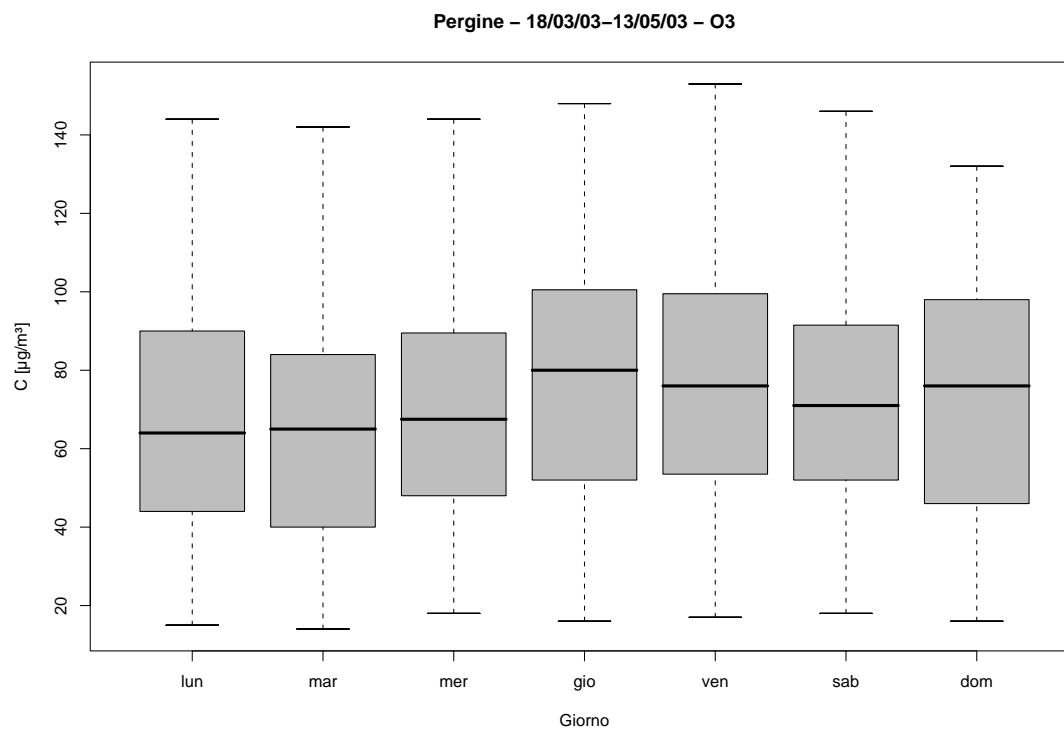


Figura 26.6: Campagna di misura a Pergine (18/03/03-13/05/03), inquinante:  $O_3$ . Box-plot relativo al giorno della settimana.



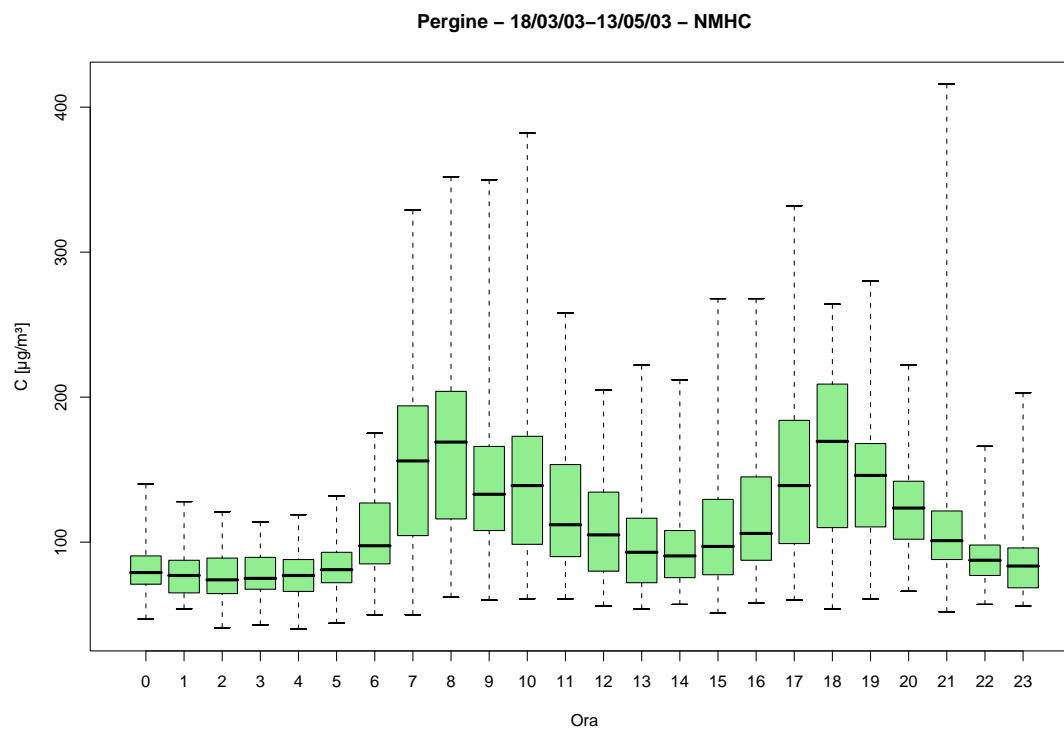


Figura 26.7: Campagna di misura a Pergine (18/03/03-13/05/03), inquinante: *NMHC*. Box-plot relativo all'ora del giorno.

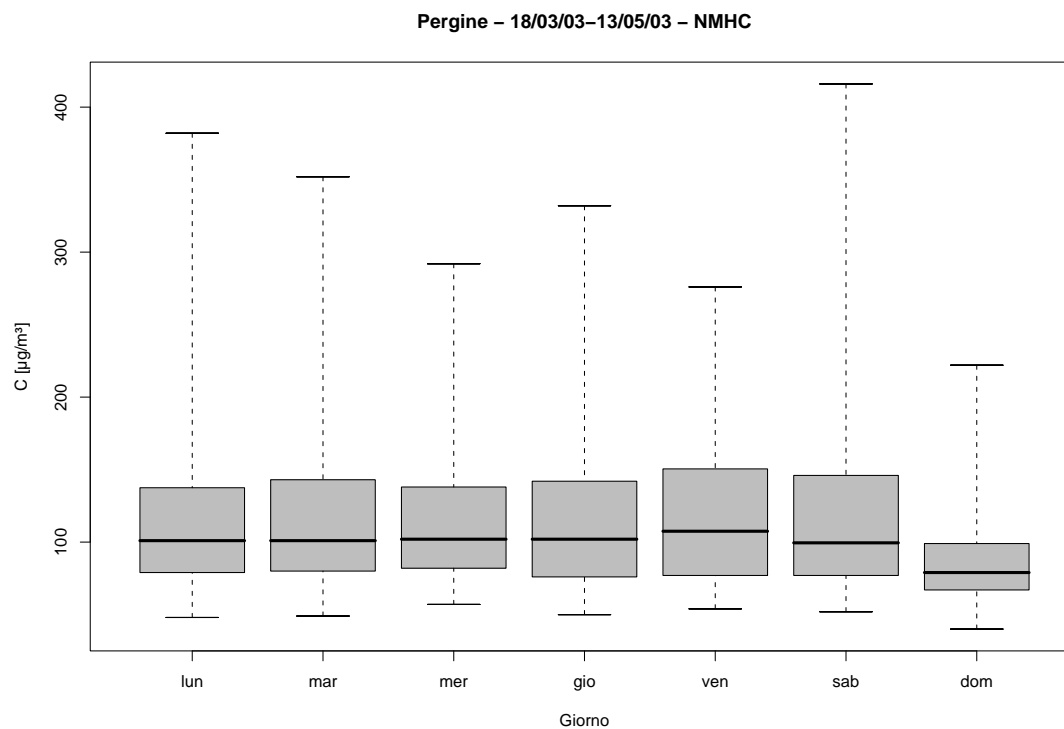


Figura 26.8: Campagna di misura a Pergine (18/03/03-13/05/03), inquinante: *NMHC*. Box-plot relativo al giorno della settimana.

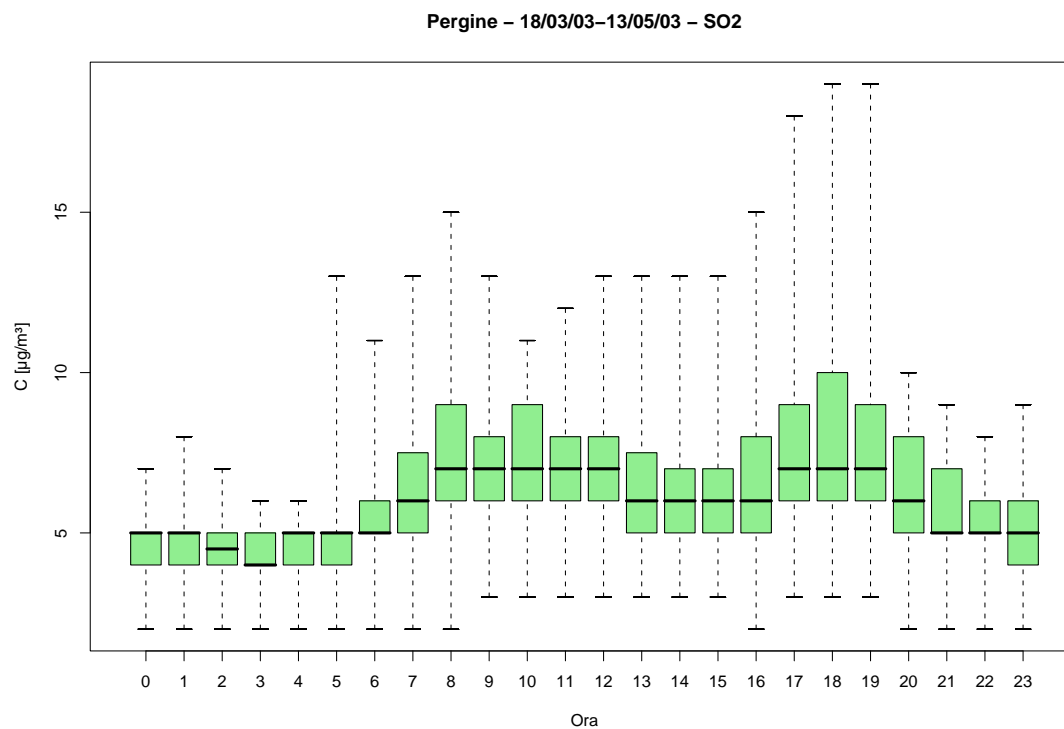


Figura 26.9: Campagna di misura a Pergine (18/03/03-13/05/03), inquinante:  $SO_2$ . Box-plot relativo all'ora del giorno.

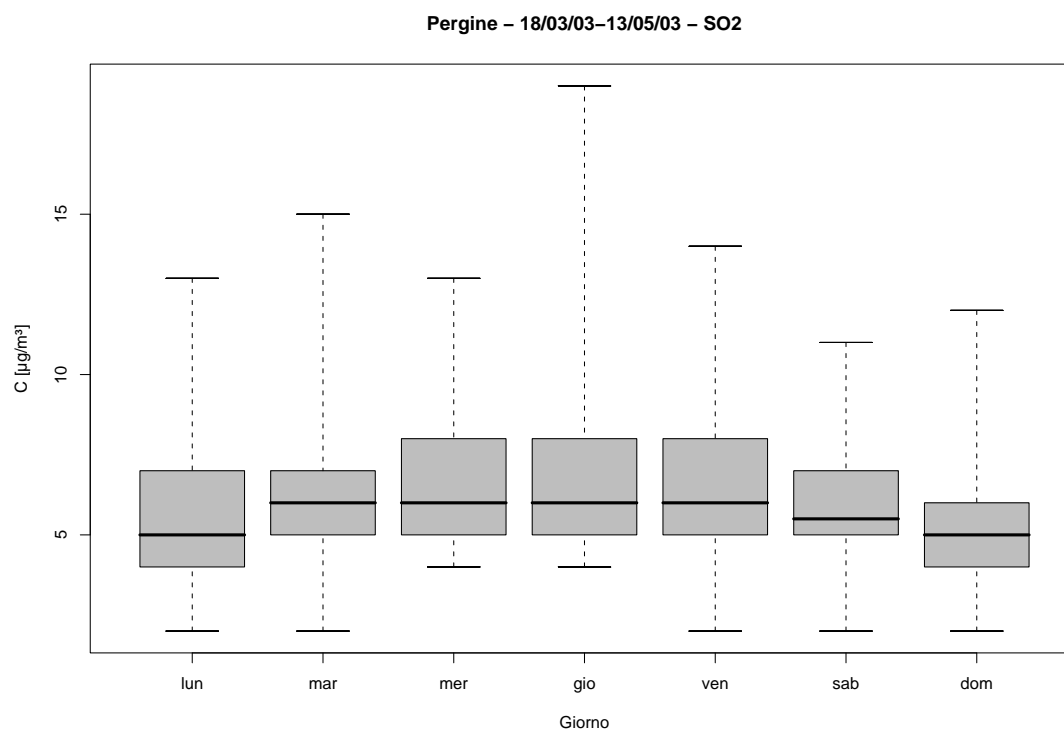


Figura 26.10: Campagna di misura a Pergine (18/03/03-13/05/03), inquinante:  $SO_2$ . Box-plot relativo al giorno della settimana.

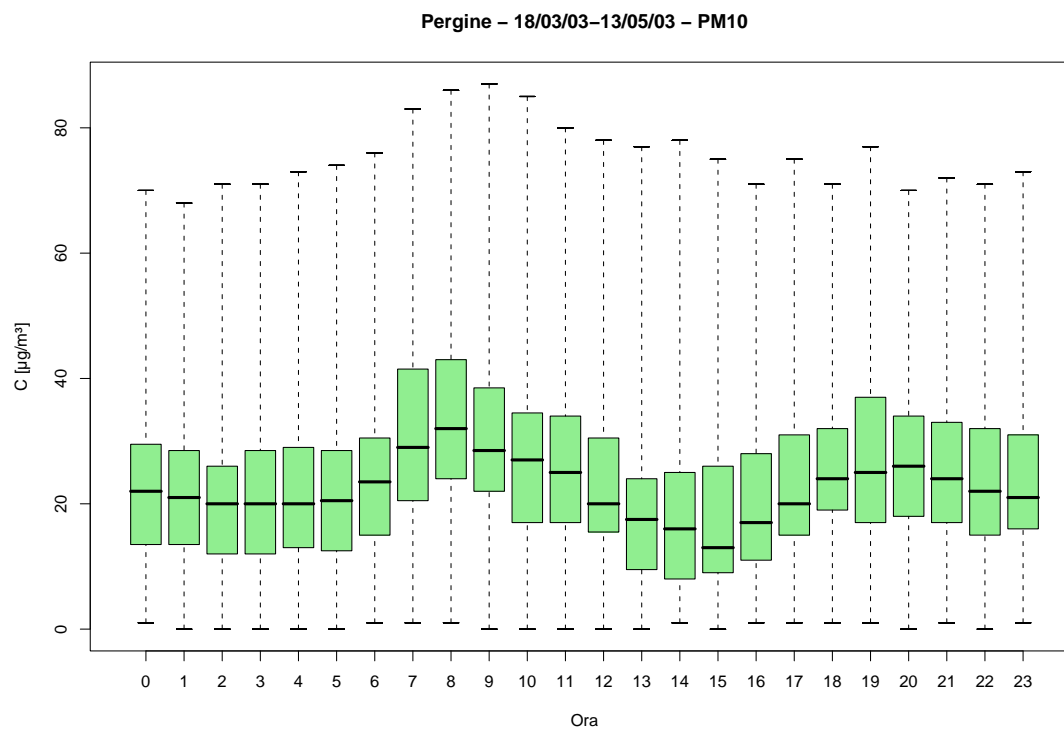


Figura 26.11: Campagna di misura a Pergine (18/03/03-13/05/03), inquinante:  $PM_{10}$ . Box-plot relativo all'ora del giorno.

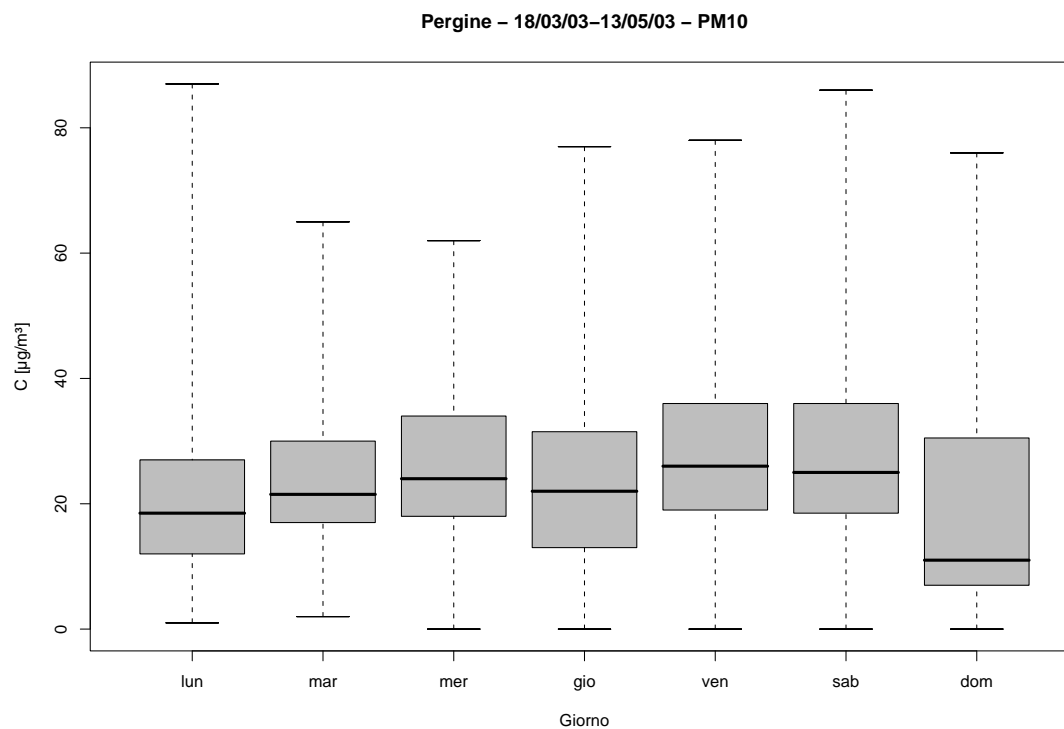


Figura 26.12: Campagna di misura a Pergine (18/03/03-13/05/03), inquinante:  $PM_{10}$ . Box-plot relativo al giorno della settimana.

Pergine - 18/03/03-13/05/03  
distribuzioni in frequenza e correlazioni

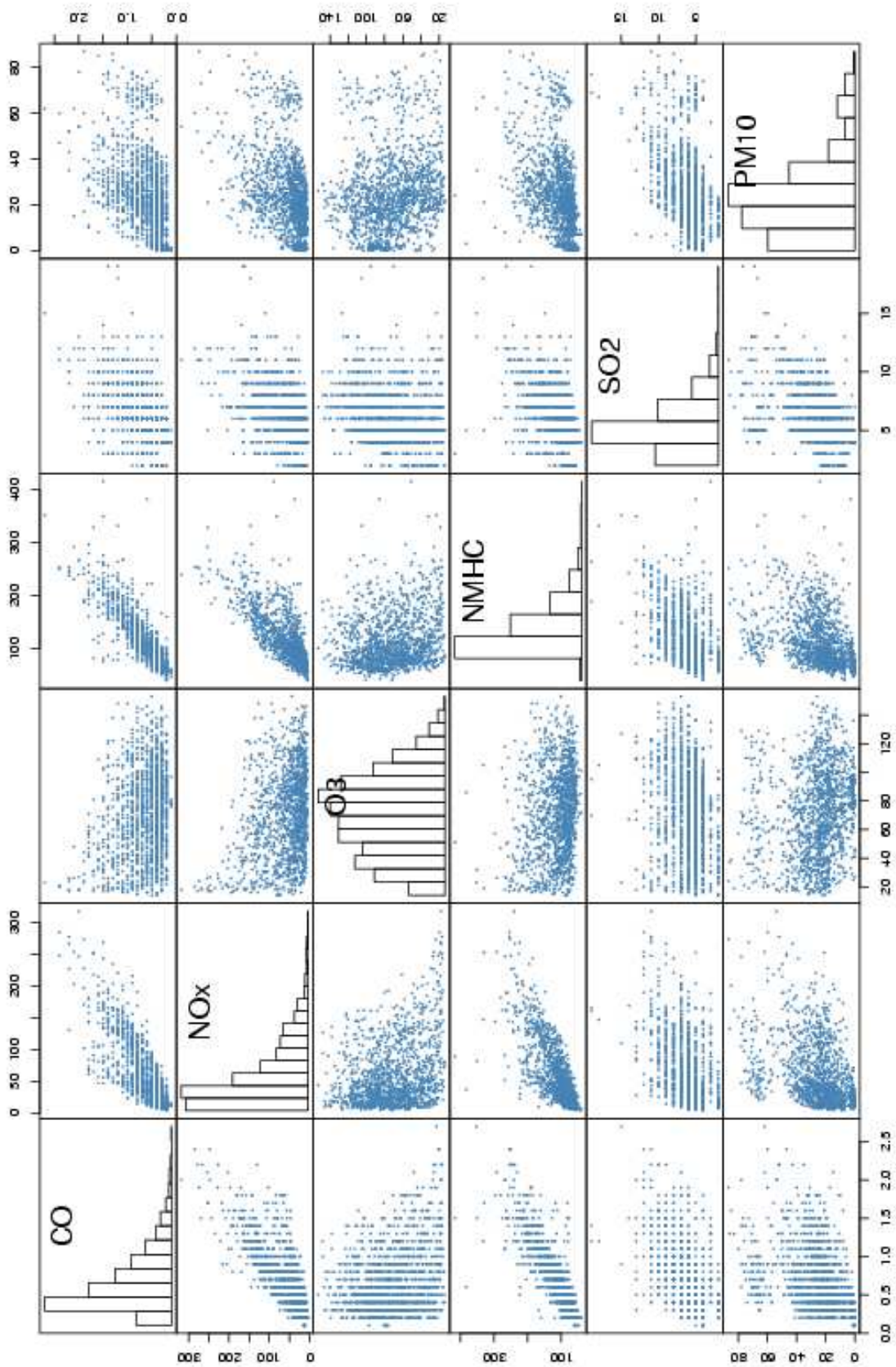
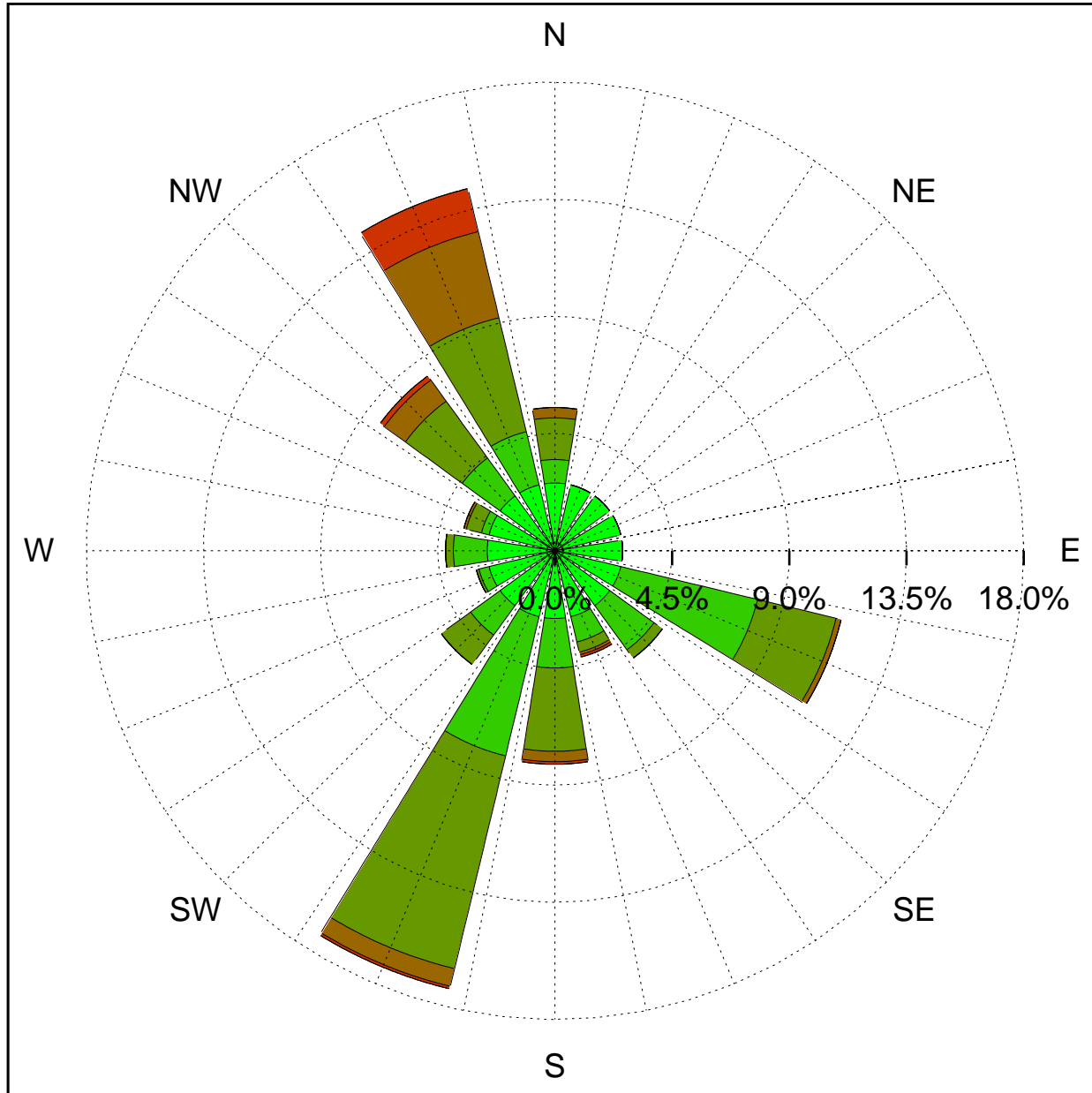


Figura 26.13: Campagna di misura a Pergine (18/03/03-13/05/03). Distribuzioni in frequenza e correlazioni.

Sito di misura: Pergine



Legenda - velocità [m/s]	
v ≥ 5.0	
3.0 ≤ v < 5.0	
2.0 ≤ v < 3.0	
1.0 ≤ v < 2.0	
0.5 ≤ v < 1.0	
calma (v < 0.5)	

Figura 26.14: Campagna di misura a Pergine (18/03/03-13/05/03). Rosa dei venti.

## 27 Campagna di misura a Meano di Trento

**Campagna di misura** dal 21/05/03 al 23/06/03

**Inquinanti rilevati:** *CO, NO<sub>x</sub>, O<sub>3</sub>, NMHC, SO<sub>2</sub>, PM<sub>10</sub>*

**Parametri meteorologici misurati:** velocità del vento, direzione del vento, temperatura, umidità relativa, pioggia, radiazione globale

**Note:** I dati relativi al monossido di carbonio e al biossido di zolfo non forniscono indicazioni importanti. Gli altri inquinanti Presentano un ciclo giornaliero ma solo quello relativo agli *NO<sub>x</sub>* è ben marcato e evidenzia come i valori più elevati di concentrazione si ottengano intorno alle 7 del mattino. Anche dal punto di vista settimanale non si ottengono indicazioni importanti se non il fatto che i valori più bassi di concentrazione degli inquinanti si hanno di domenica. L'ozono mostra invece un comportamento giornaliero tipico, minimo tra le 5 e le 9 e concentrazione che sale fino a raggiungere il massimo tra le 16 e le 17.

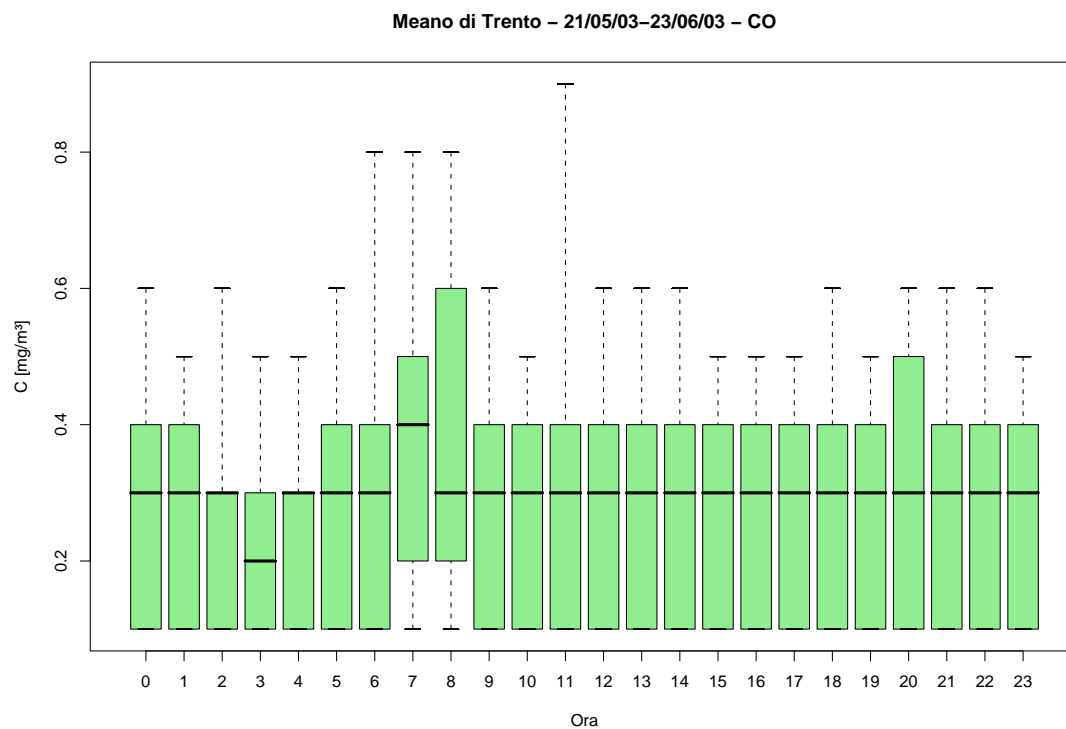


Figura 27.1: Campagna di misura a Meano di Trento (21/05/03-23/06/03), inquinante: *CO*. Box-plot relativo all'ora del giorno.

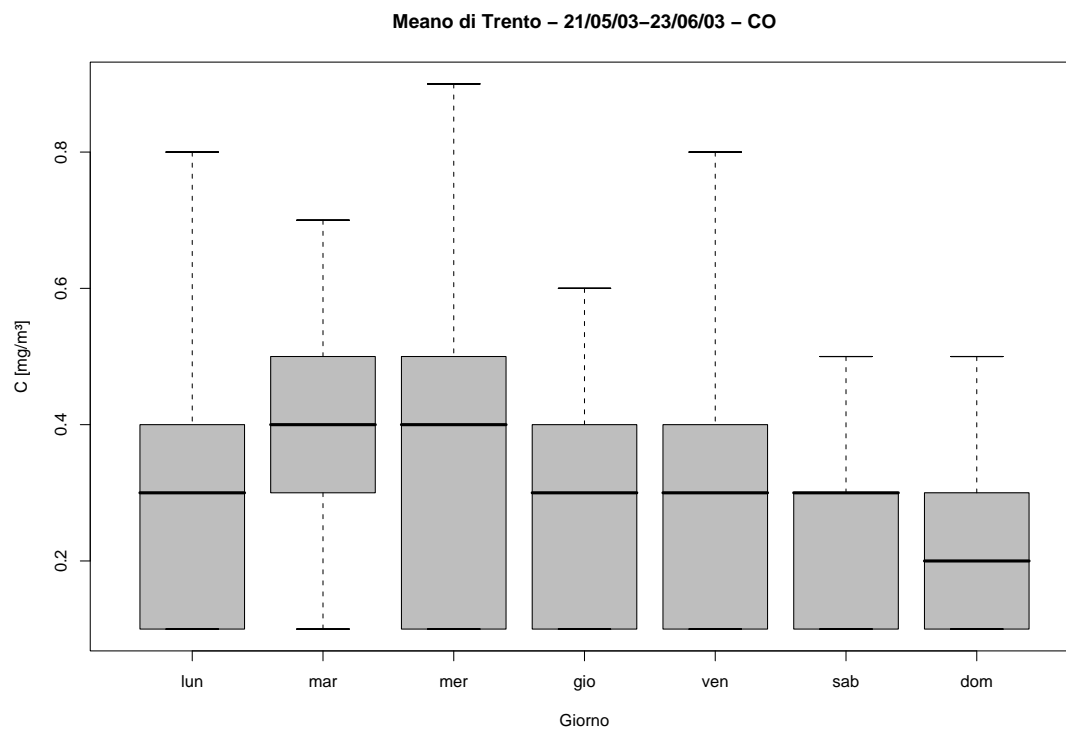


Figura 27.2: Campagna di misura a Meano di Trento (21/05/03-23/06/03), inquinante: *CO*. Box-plot relativo al giorno della settimana.

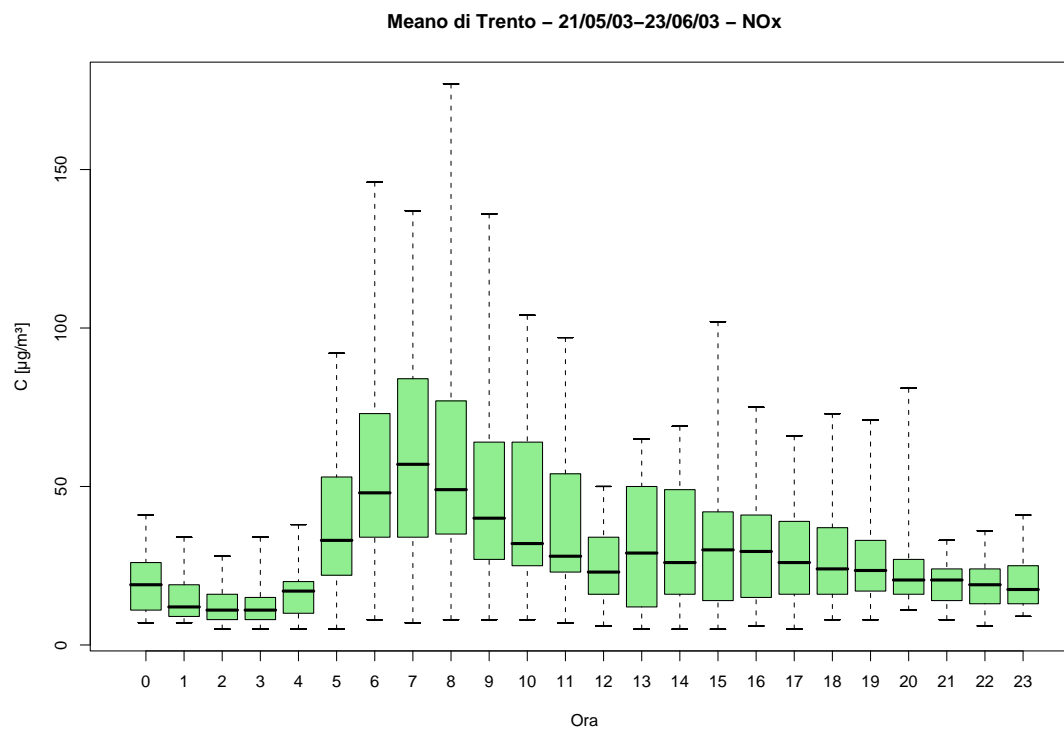


Figura 27.3: Campagna di misura a Meano di Trento (21/05/03-23/06/03), inquinante:  $NO_x$ .  
Box-plot relativo all'ora del giorno.

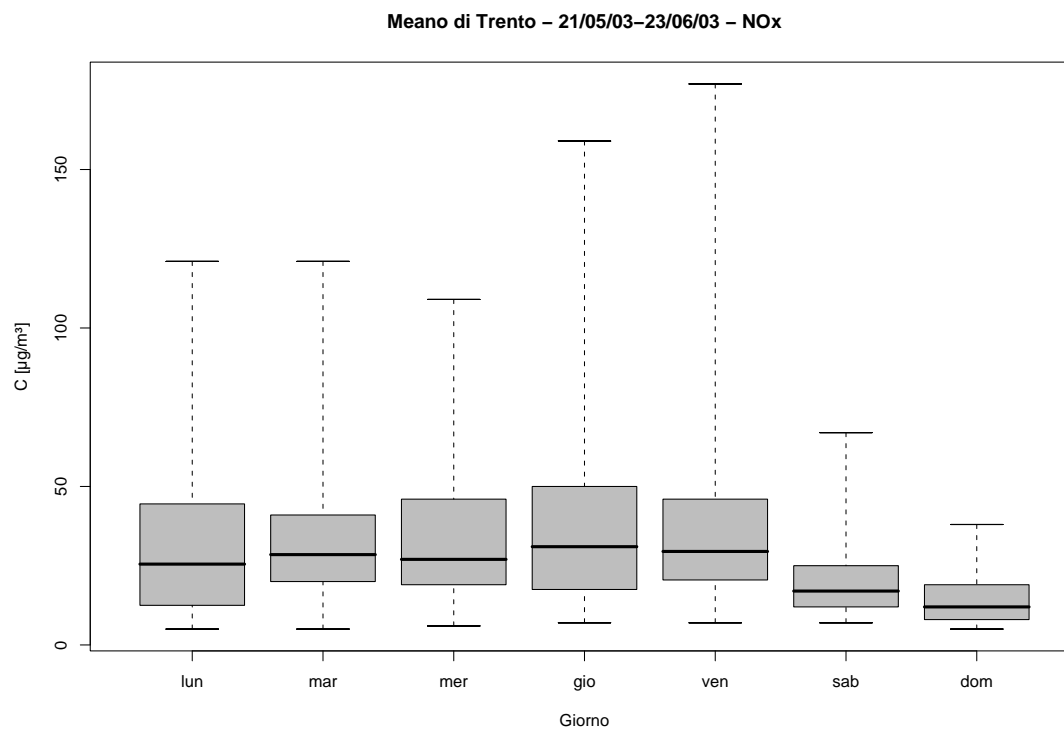


Figura 27.4: Campagna di misura a Meano di Trento (21/05/03-23/06/03), inquinante:  $NO_x$ .  
Box-plot relativo al giorno della settimana.



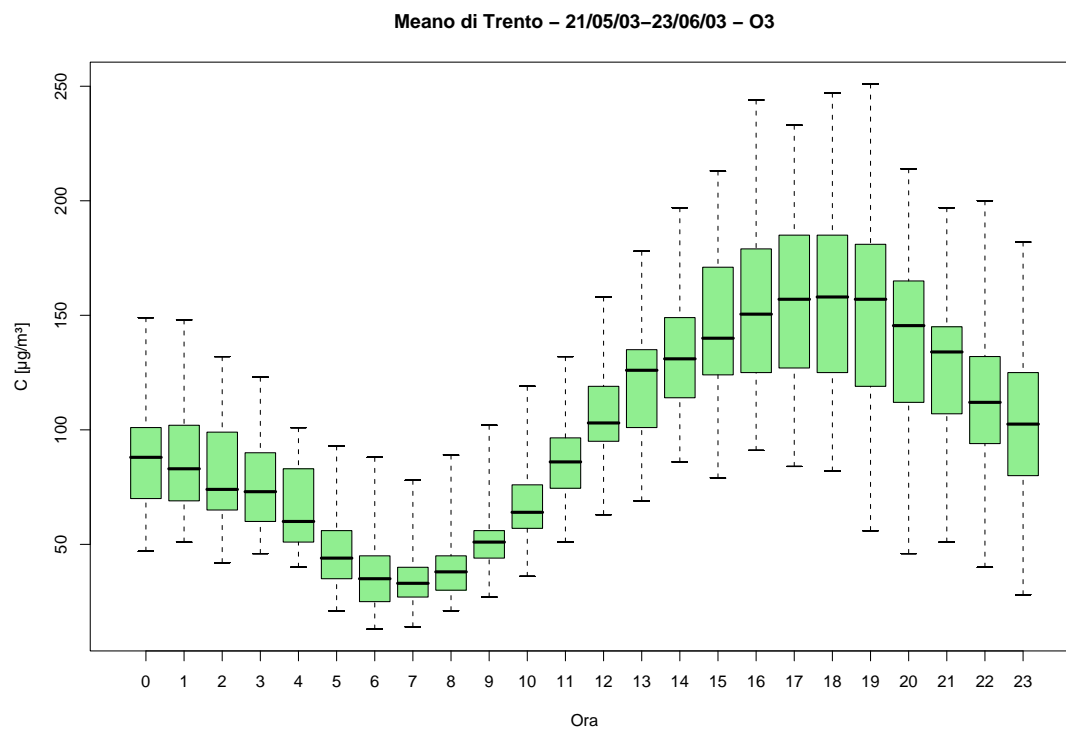


Figura 27.5: Campagna di misura a Meano di Trento (21/05/03-23/06/03), inquinante: O<sub>3</sub>. Box-plot relativo all'ora del giorno.

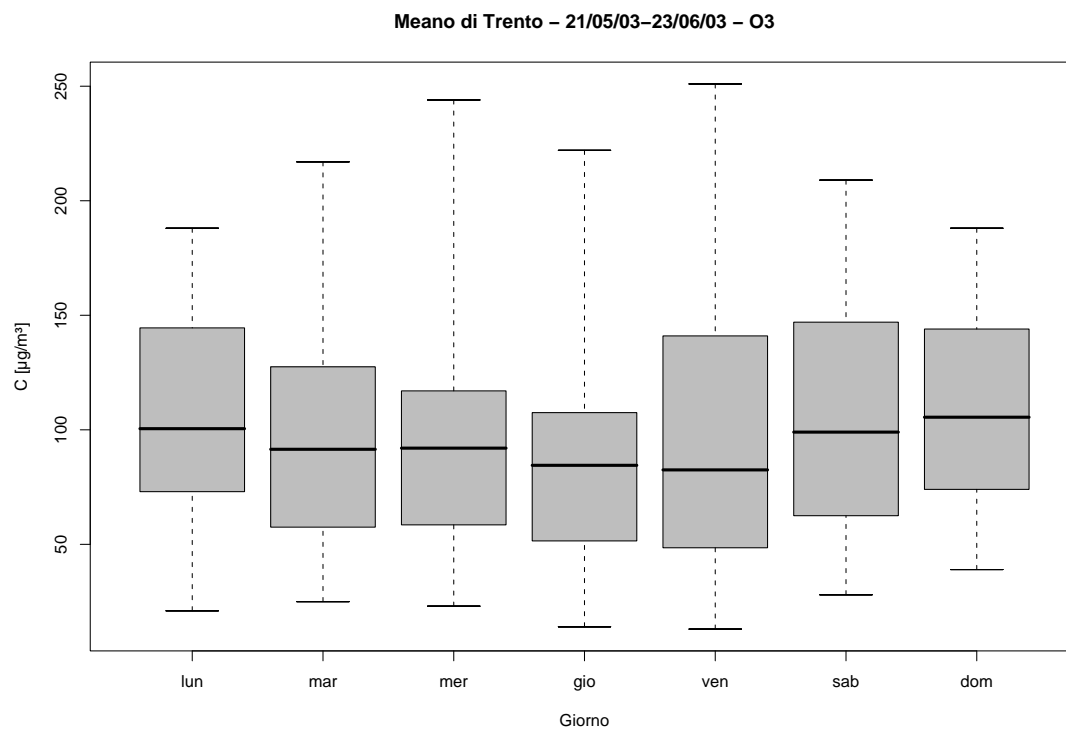


Figura 27.6: Campagna di misura a Meano di Trento (21/05/03-23/06/03), inquinante: O<sub>3</sub>. Box-plot relativo al giorno della settimana.

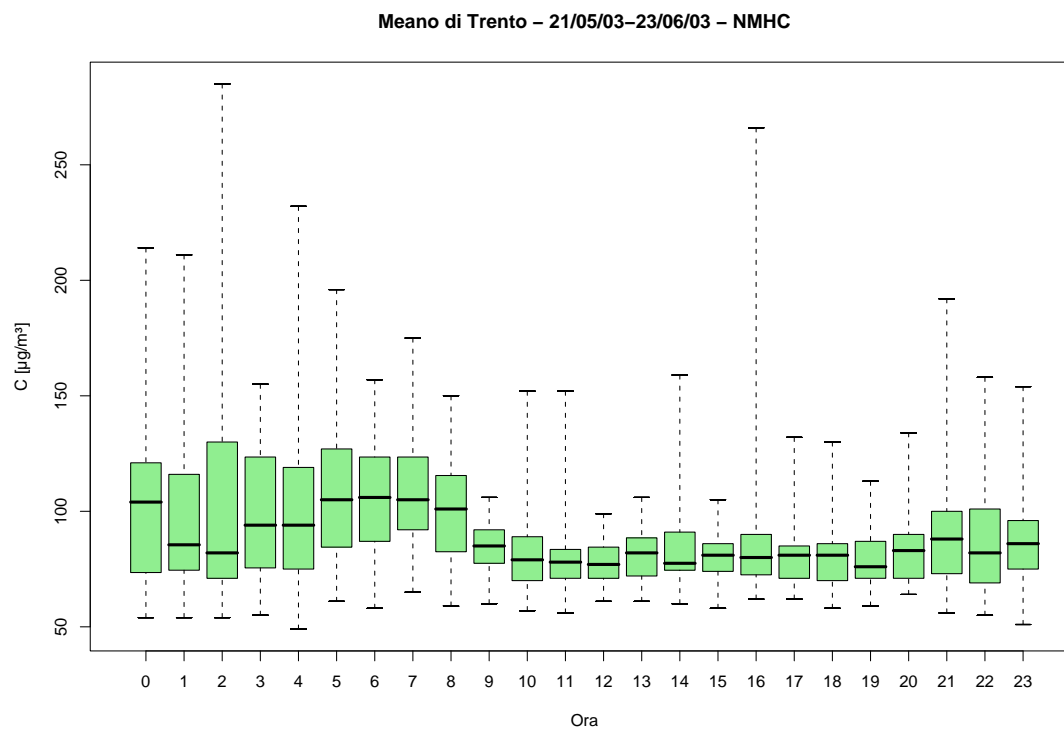


Figura 27.7: Campagna di misura a Meano di Trento (21/05/03-23/06/03), inquinante: *NMHC*. Box-plot relativo all'ora del giorno.

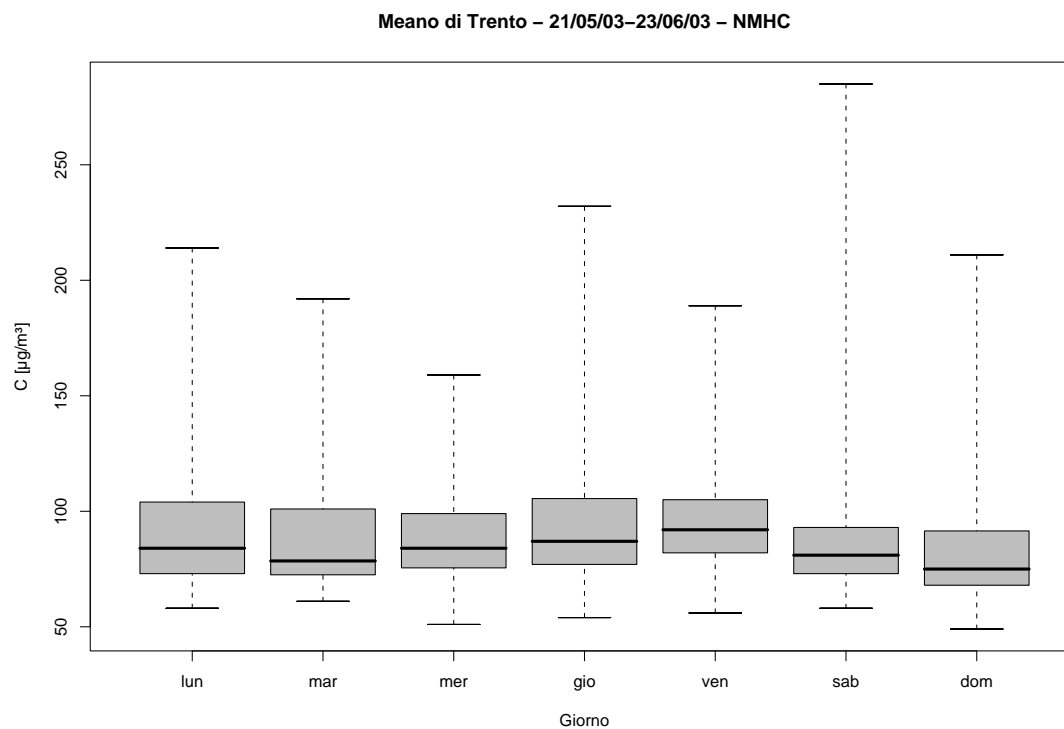


Figura 27.8: Campagna di misura a Meano di Trento (21/05/03-23/06/03), inquinante: *NMHC*. Box-plot relativo al giorno della settimana.

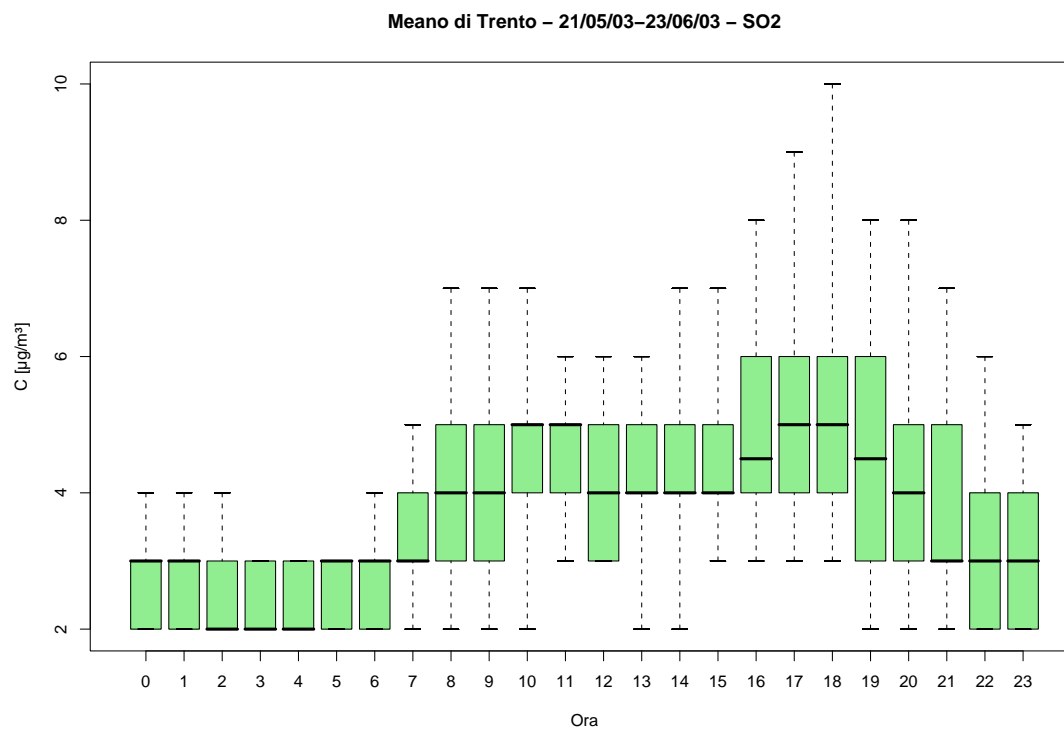


Figura 27.9: Campagna di misura a Meano di Trento (21/05/03-23/06/03), inquinante:  $SO_2$ .  
Box-plot relativo all'ora del giorno.

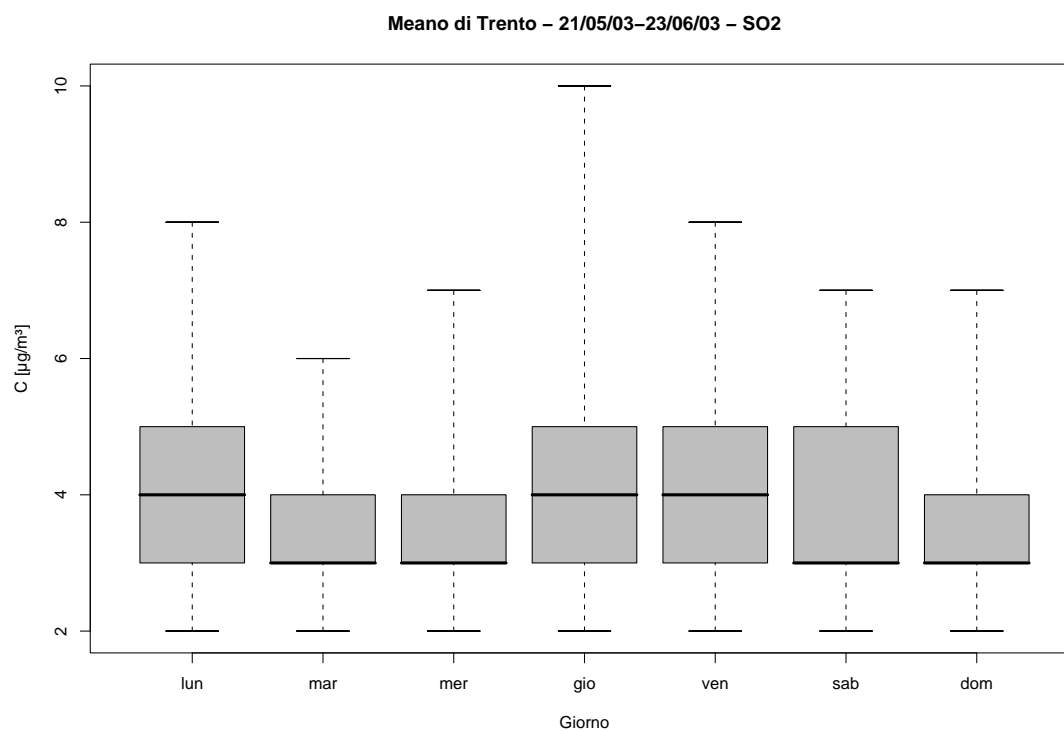


Figura 27.10: Campagna di misura a Meano di Trento (21/05/03-23/06/03), inquinante:  $SO_2$ .  
Box-plot relativo al giorno della settimana.

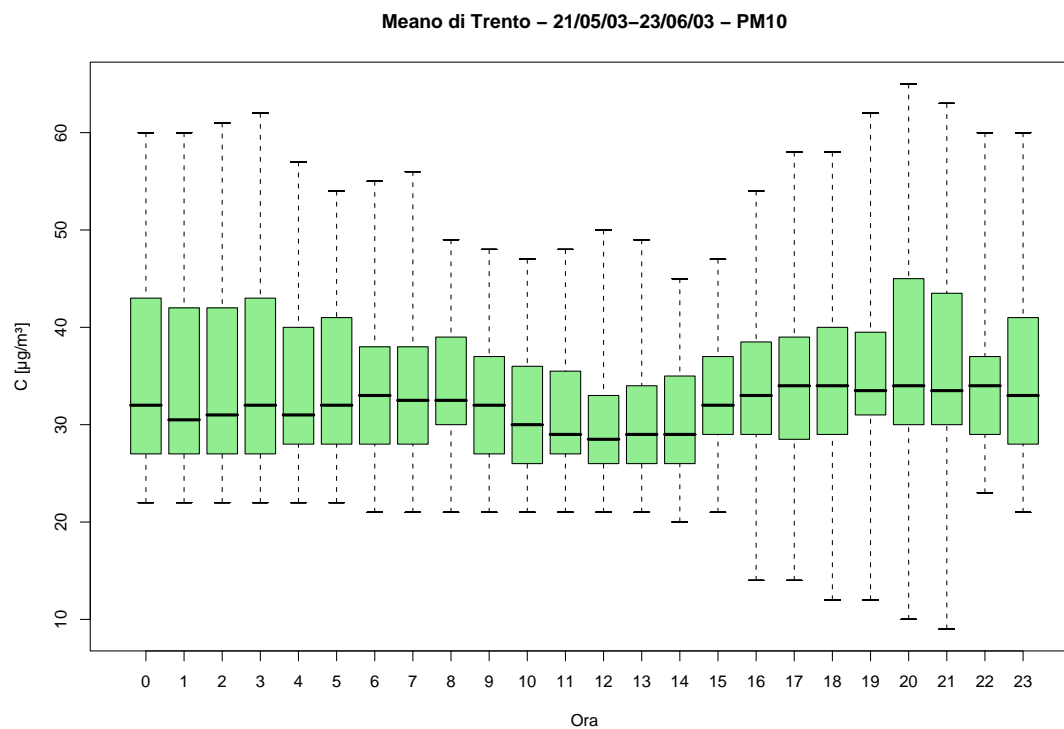


Figura 27.11: Campagna di misura a Meano di Trento (21/05/03-23/06/03), inquinante:  $PM_{10}$ . Box-plot relativo all'ora del giorno.

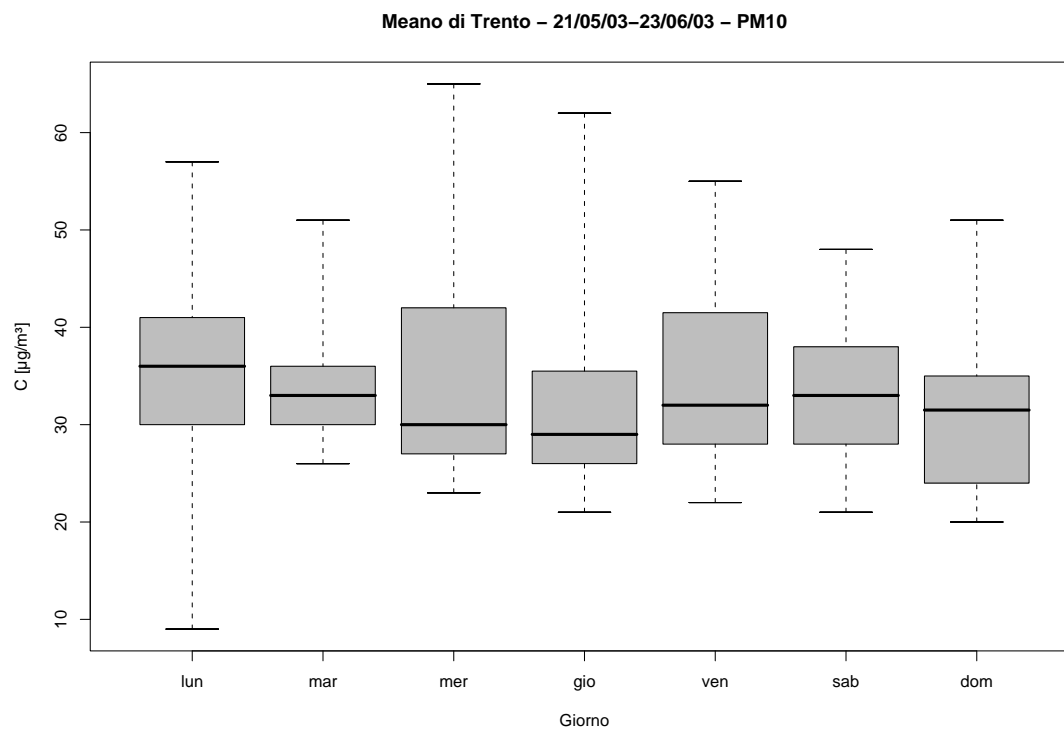


Figura 27.12: Campagna di misura a Meano di Trento (21/05/03-23/06/03), inquinante:  $PM_{10}$ . Box-plot relativo al giorno della settimana.

Meano di Trento – 21/05/03–23/06/03  
distribuzioni in frequenza e correlazioni

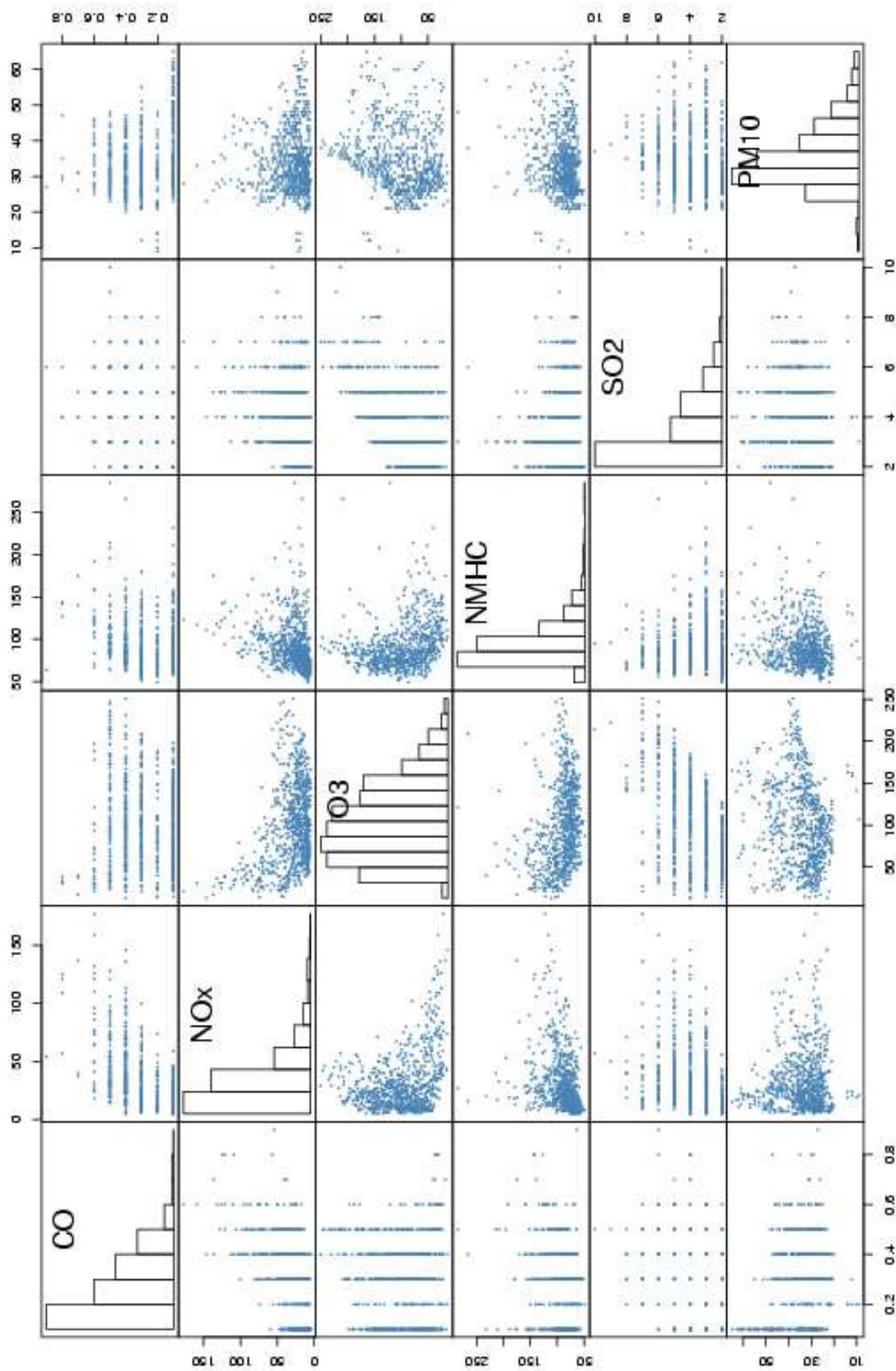


Figura 27.13: Campagna di misura a Meano di Trento (21/05/03-23/06/03). Distribuzioni in frequenza e correlazioni.

Sito di misura: Meano di Trento

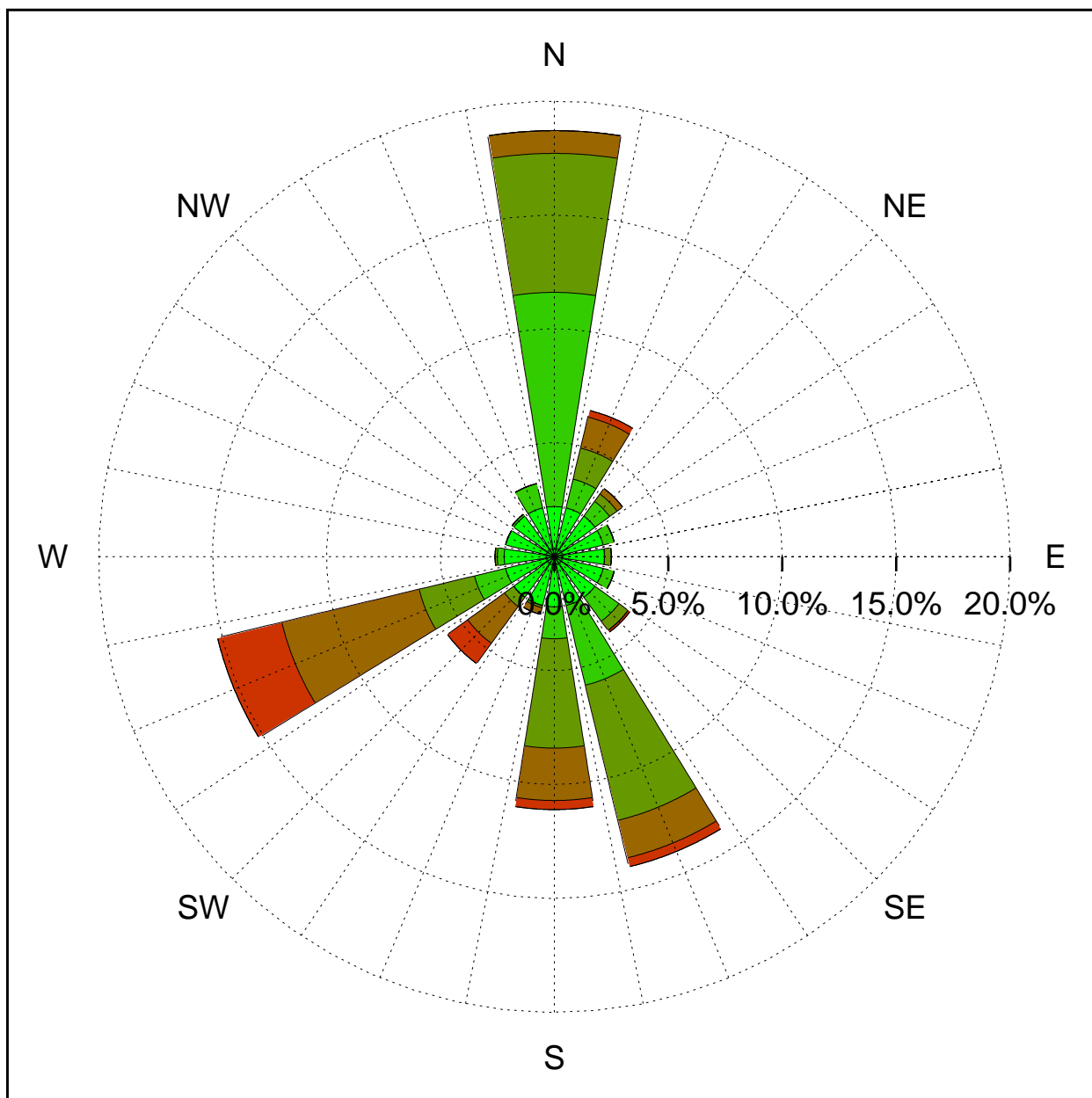


Figura 27.14: Campagna di misura a Meano di Trento (21/05/03-23/06/03). Rosa dei venti.

## 28 Campagna di misura a Rovereto Lizzana

**Campagna di misura** dal 24/06/03 al 17/11/03

**Inquinanti rilevati:** *CO, NO<sub>x</sub>, O<sub>3</sub>, NMHC, SO<sub>2</sub>, PM<sub>10</sub>*

**Parametri meteorologici misurati:** velocità del vento, direzione del vento, temperatura, umidità relativa, pioggia, radiazione globale

**Note:** Dai grafici si notano dei cicli giornalieri non molto marcati per i vari inquinanti, solo gli ossidi di azoto presentano un andamento più netto, con picchi intorno alle 8 e alle 19. Anche i cicli settimanali non sono molto evidenti, anche se si nota una tendenza a manifestare concentrazioni più elevate nel mezzo della settimana e minori la domenica. L'ozono invece presenta il ciclo giornaliero tipico caratterizzato da valori minimi intorno alle 7 e massimi nel pomeriggio.

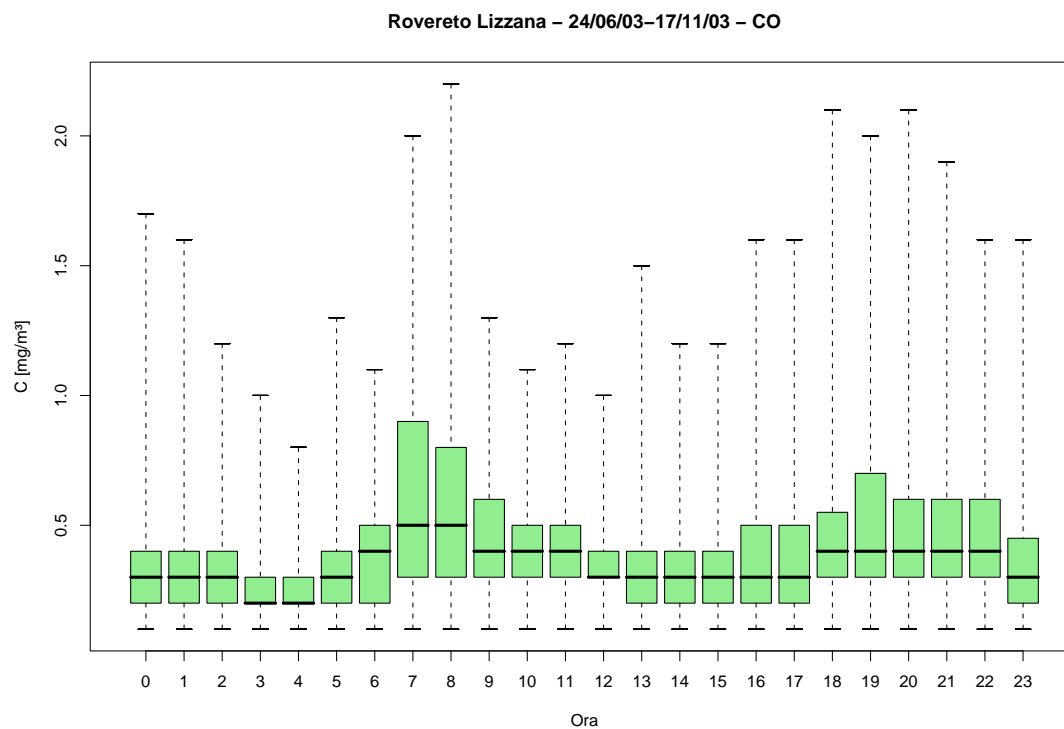


Figura 28.1: Campagna di misura a Rovereto Lizzana (24/06/03-17/11/03), inquinante: *CO*. Box-plot relativo all'ora del giorno.

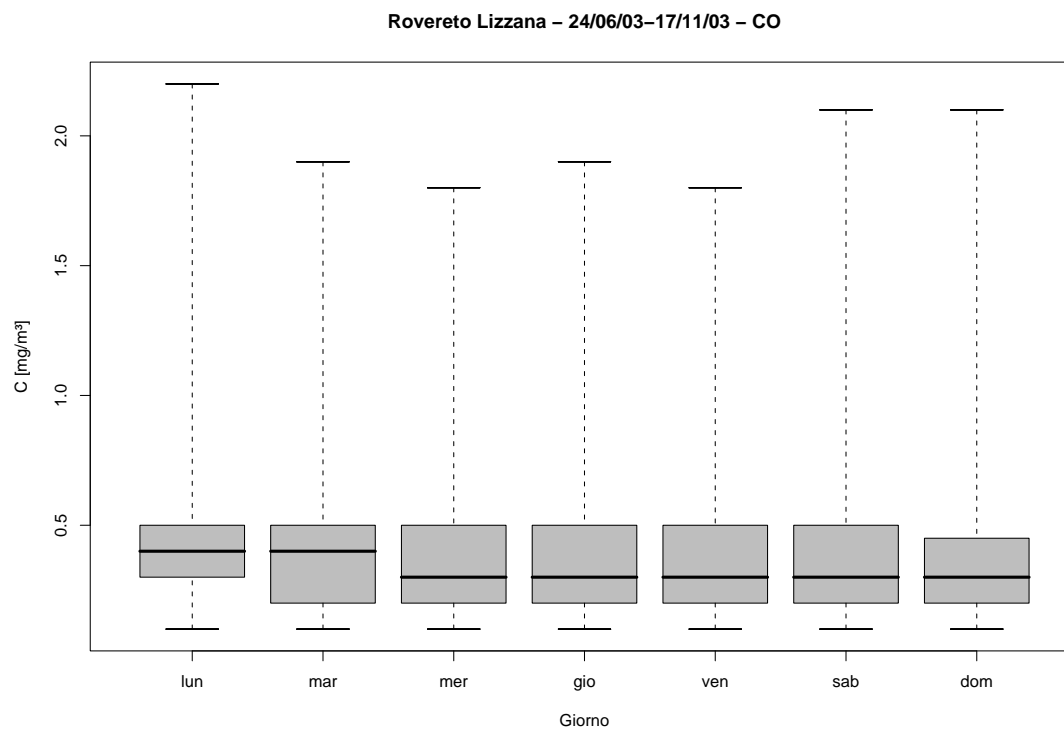


Figura 28.2: Campagna di misura a Rovereto Lizzana (24/06/03-17/11/03), inquinante: *CO*. Box-plot relativo al giorno della settimana.



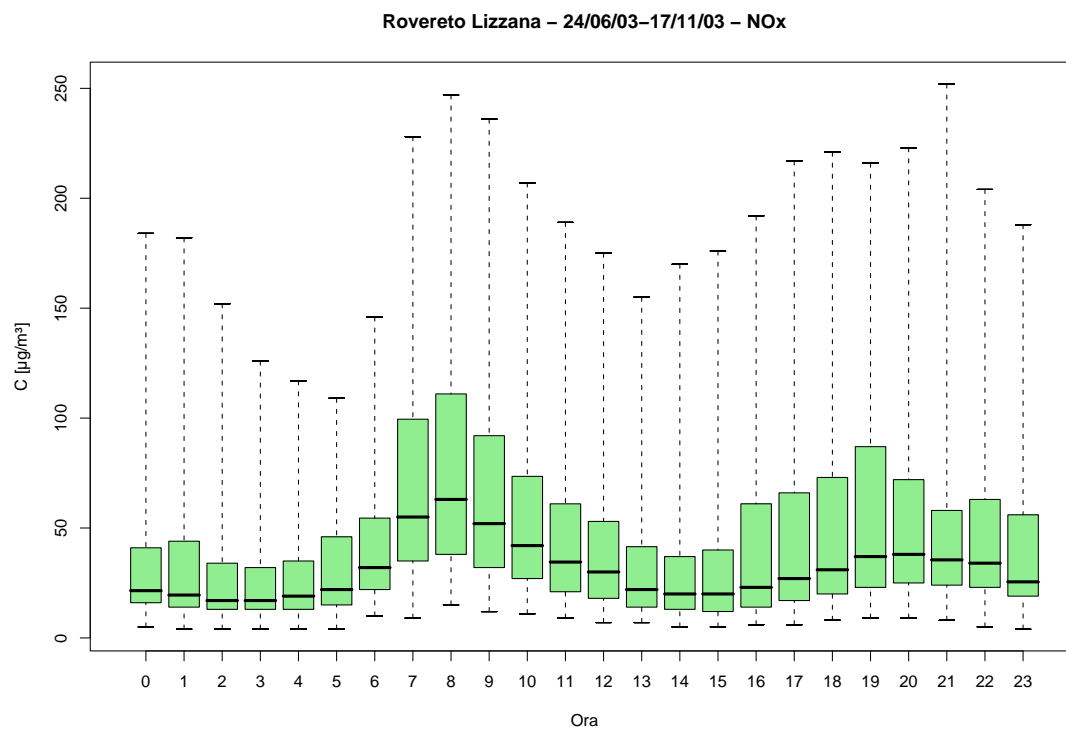


Figura 28.3: Campagna di misura a Rovereto Lizzana (24/06/03-17/11/03), inquinante:  $\text{NO}_x$ .  
Box-plot relativo all'ora del giorno.

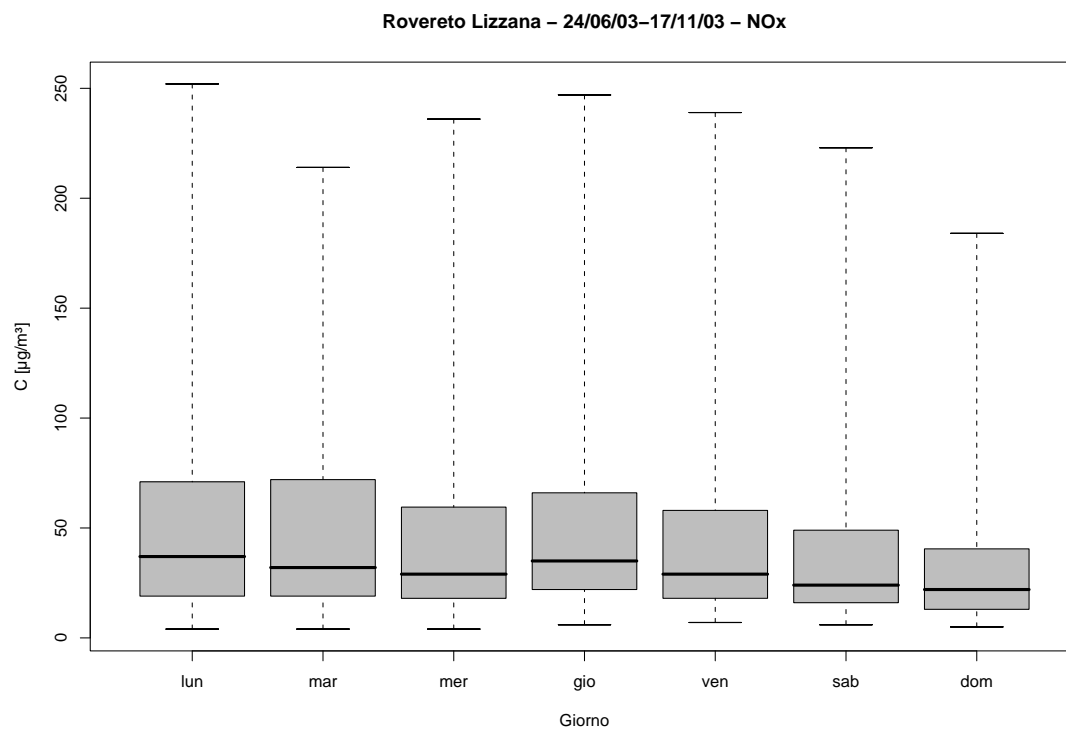


Figura 28.4: Campagna di misura a Rovereto Lizzana (24/06/03-17/11/03), inquinante:  $\text{NO}_x$ .  
Box-plot relativo al giorno della settimana.

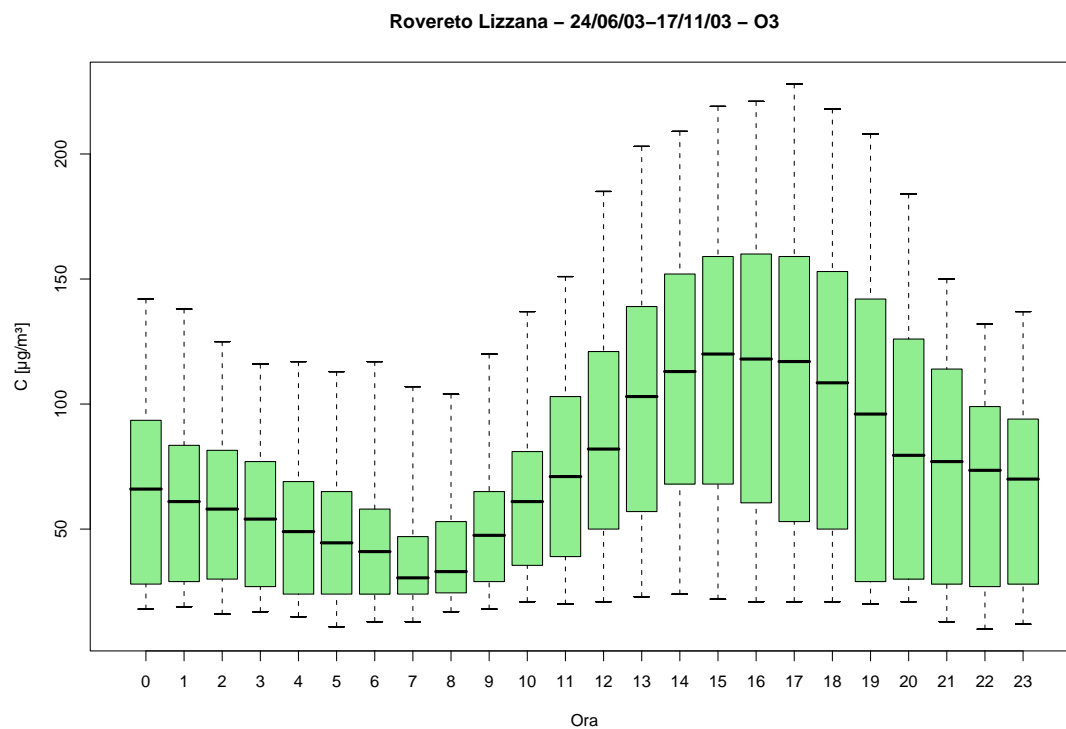


Figura 28.5: Campagna di misura a Rovereto Lizzana (24/06/03-17/11/03), inquinante:  $O_3$ . Box-plot relativo all'ora del giorno.

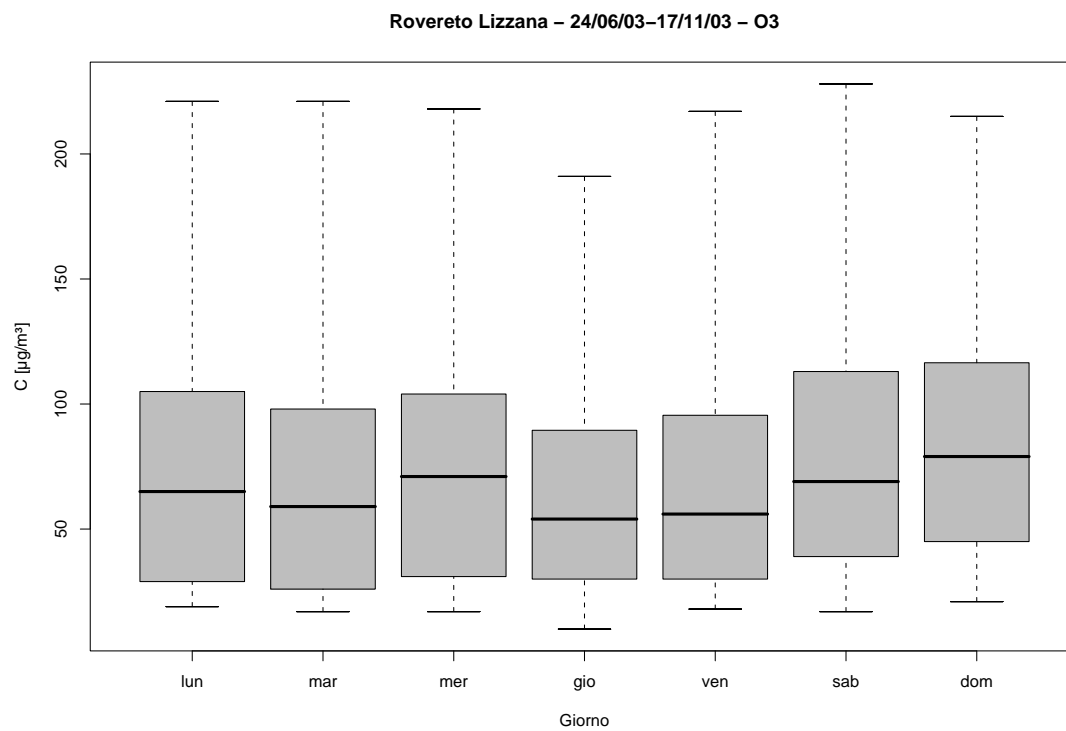


Figura 28.6: Campagna di misura a Rovereto Lizzana (24/06/03-17/11/03), inquinante:  $O_3$ . Box-plot relativo al giorno della settimana.

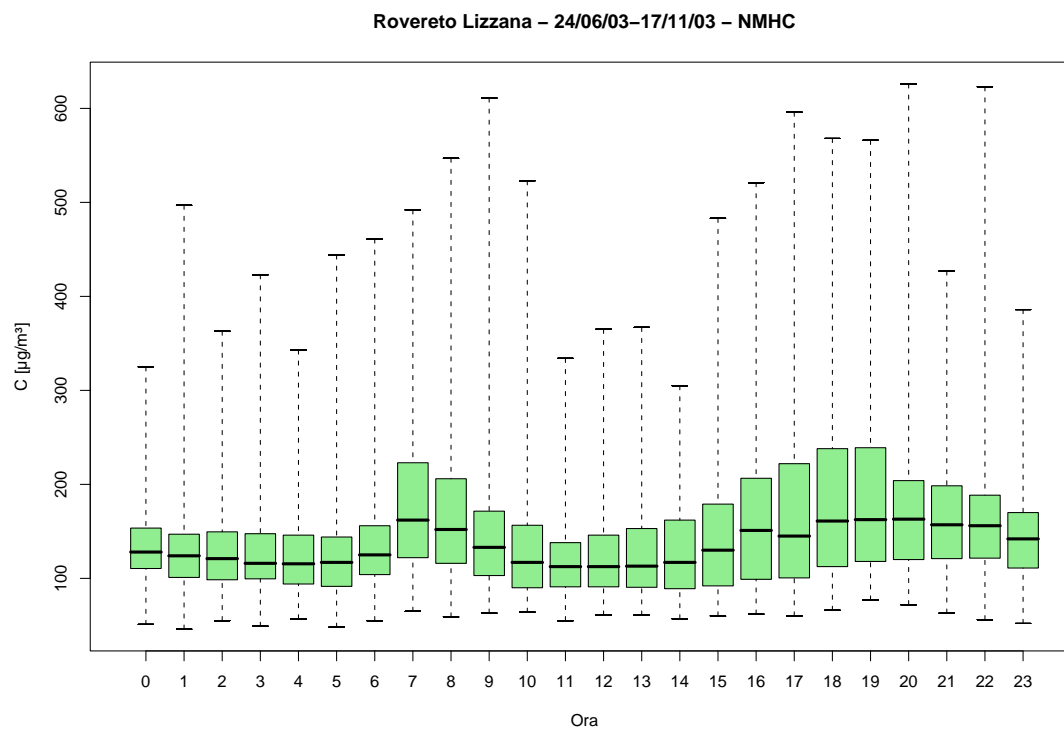


Figura 28.7: Campagna di misura a Rovereto Lizzana (24/06/03-17/11/03), inquinante: *NMHC*. Box-plot relativo all'ora del giorno.

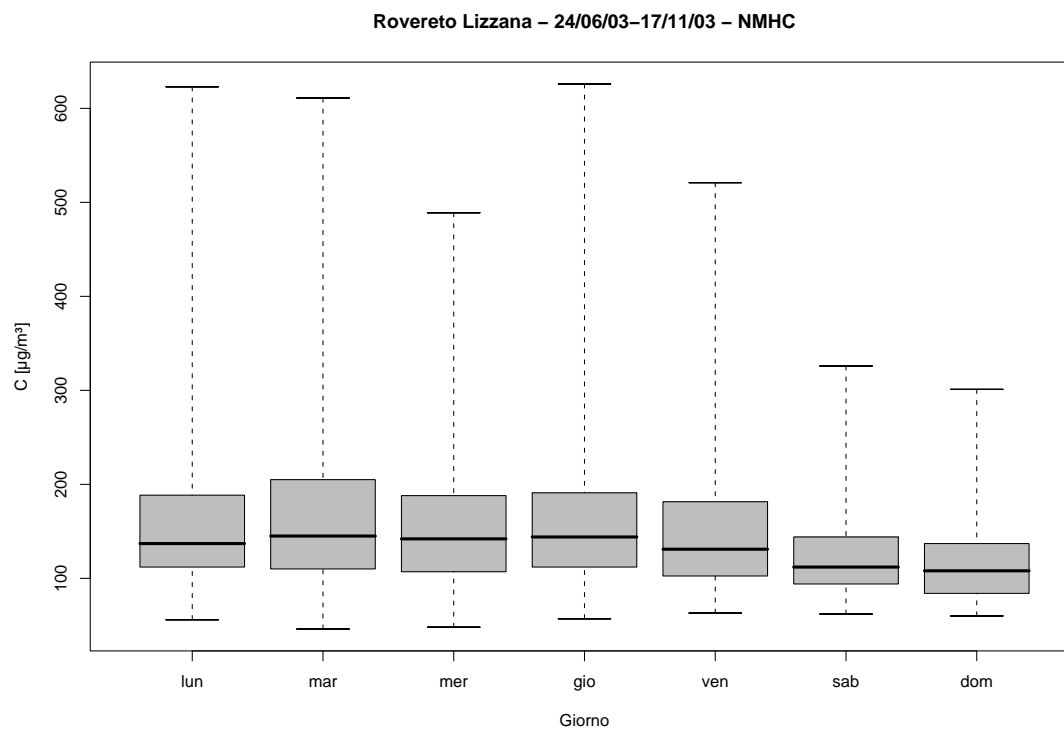


Figura 28.8: Campagna di misura a Rovereto Lizzana (24/06/03-17/11/03), inquinante: *NMHC*. Box-plot relativo al giorno della settimana.

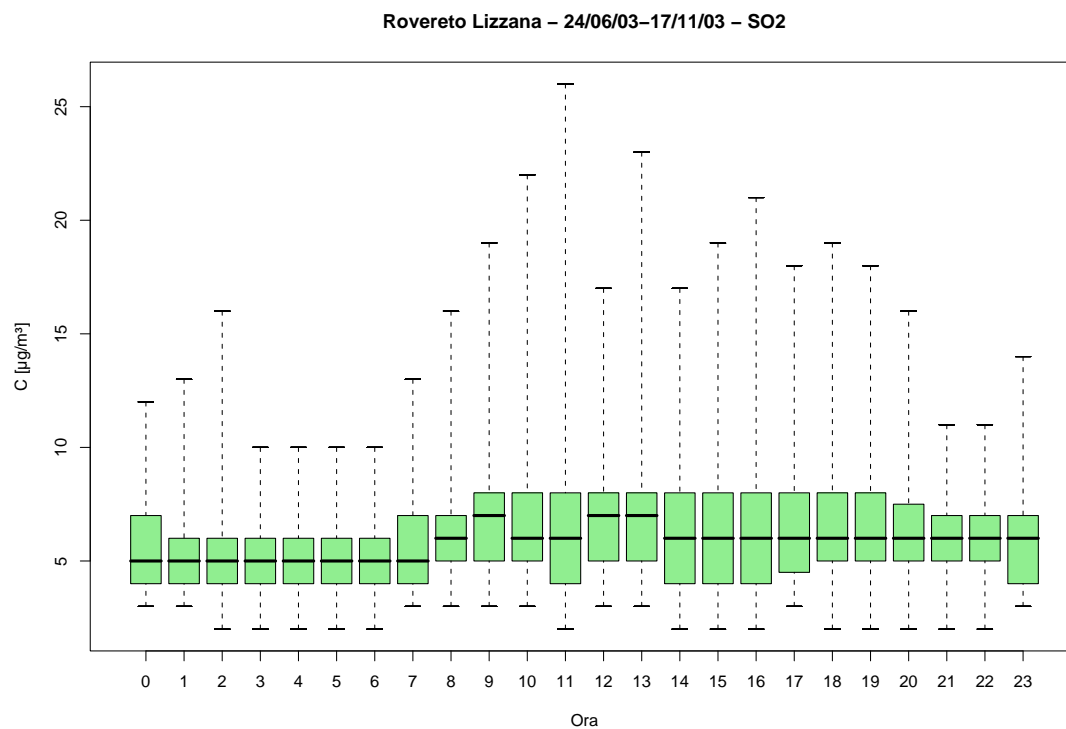


Figura 28.9: Campagna di misura a Rovereto Lizzana (24/06/03-17/11/03), inquinante:  $\text{SO}_2$ .  
Box-plot relativo all'ora del giorno.

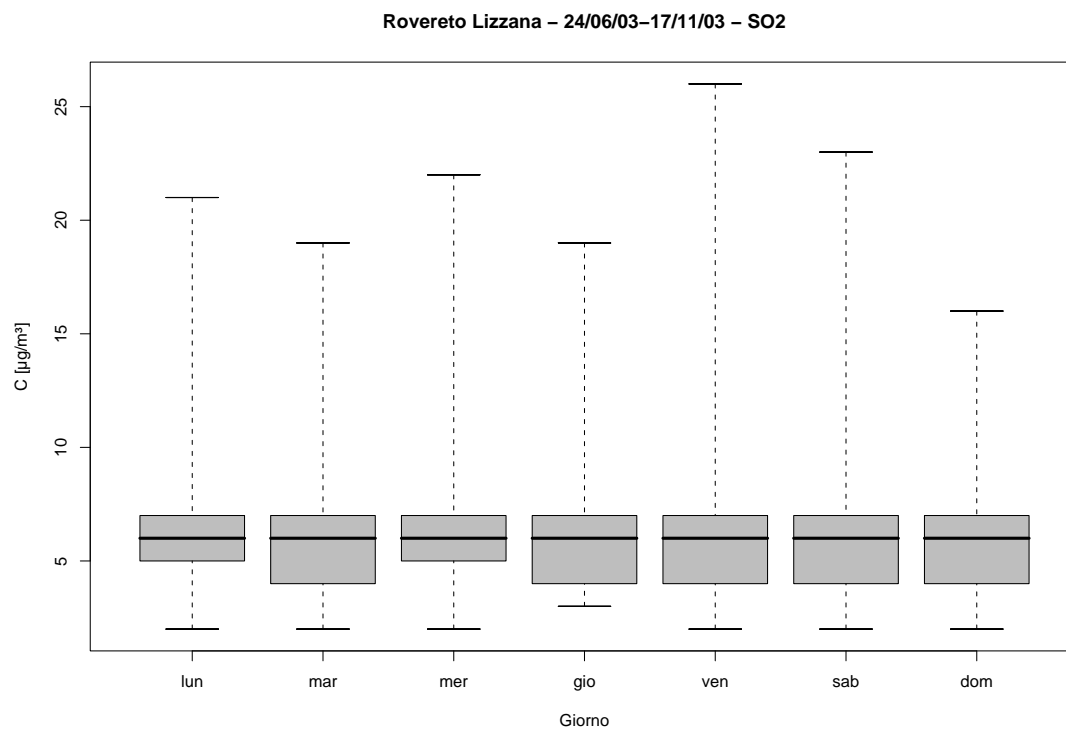


Figura 28.10: Campagna di misura a Rovereto Lizzana (24/06/03-17/11/03), inquinante:  $\text{SO}_2$ .  
Box-plot relativo al giorno della settimana.

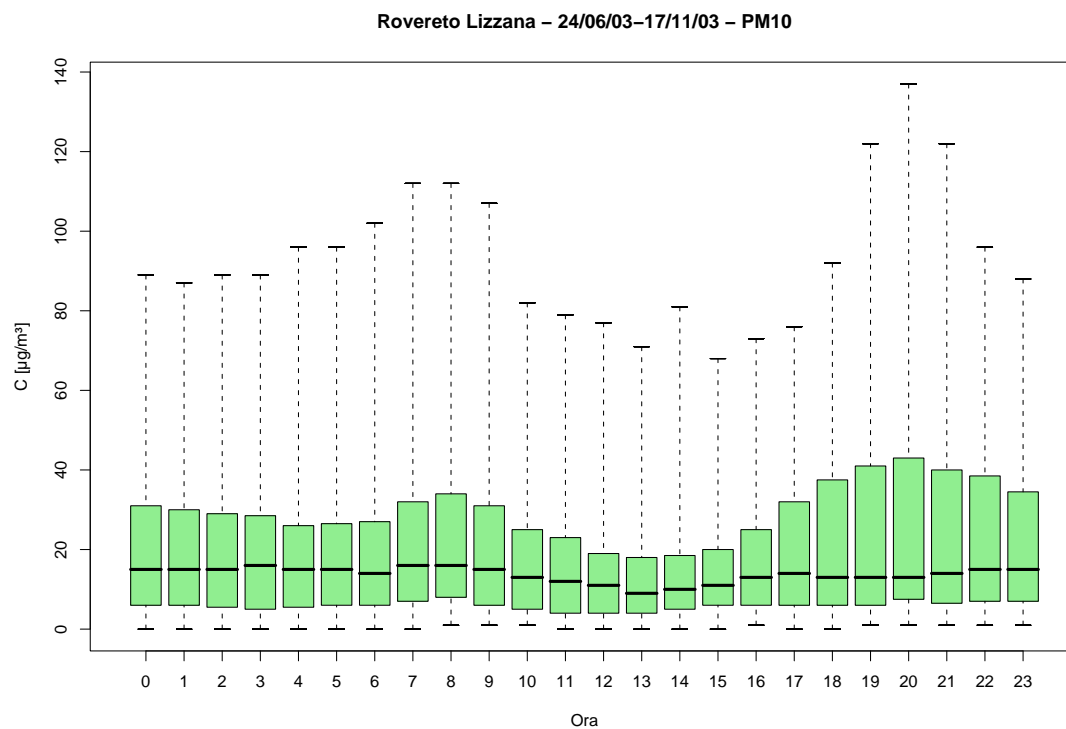


Figura 28.11: Campagna di misura a Rovereto Lizzana (24/06/03-17/11/03), inquinante:  $PM_{10}$ . Box-plot relativo all'ora del giorno.

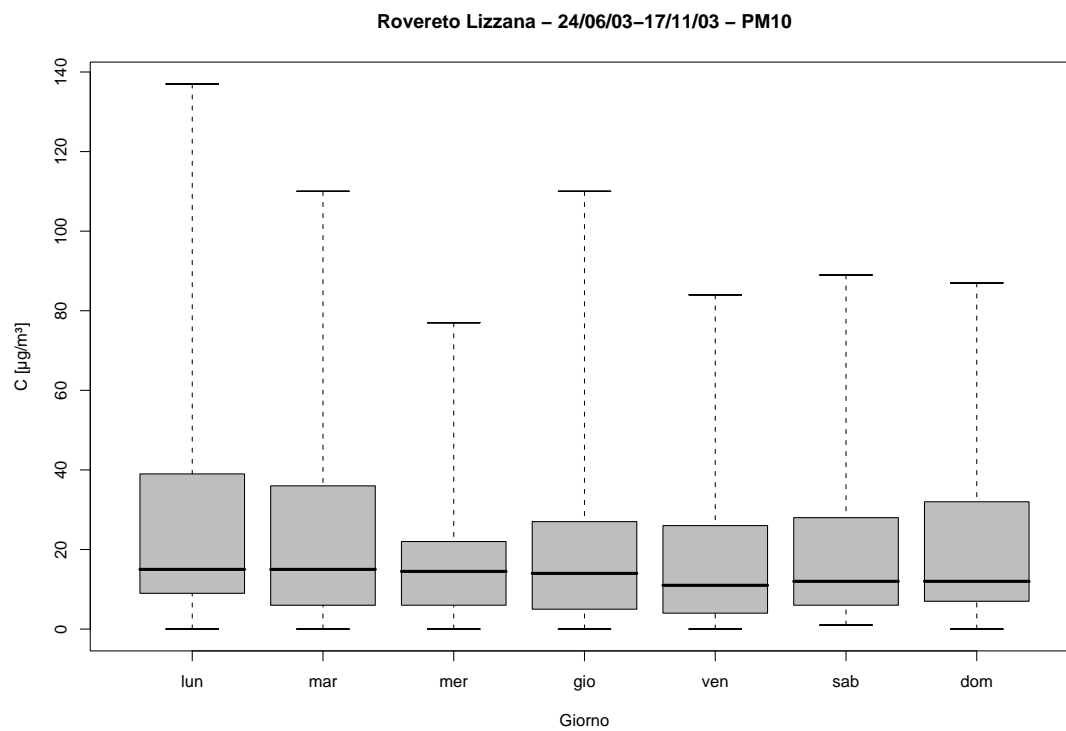


Figura 28.12: Campagna di misura a Rovereto Lizzana (24/06/03-17/11/03), inquinante:  $PM_{10}$ . Box-plot relativo al giorno della settimana.

Rovereto Lizzana - 24/06/03-17/11/03  
distribuzioni in frequenza e correlazioni

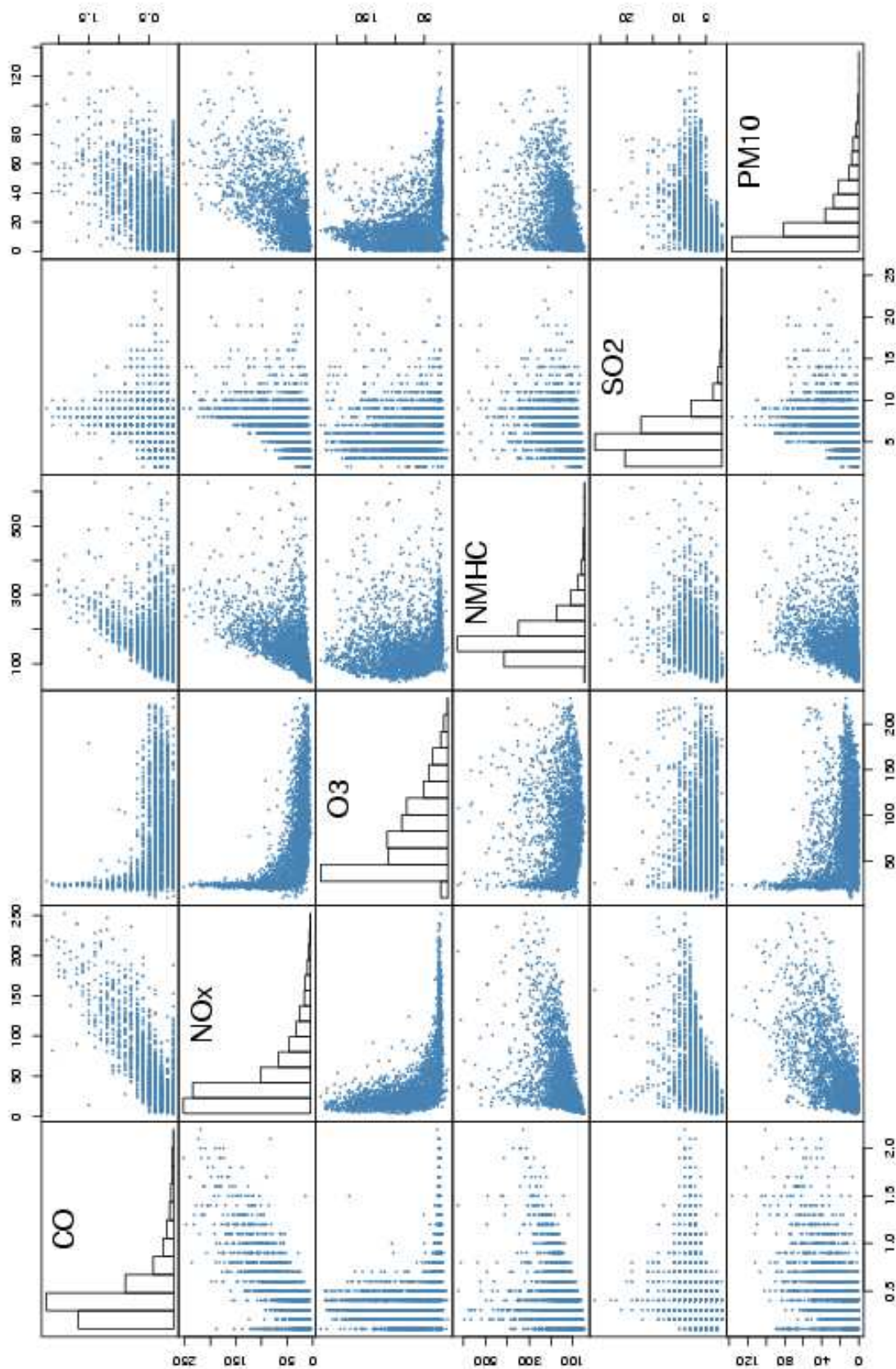
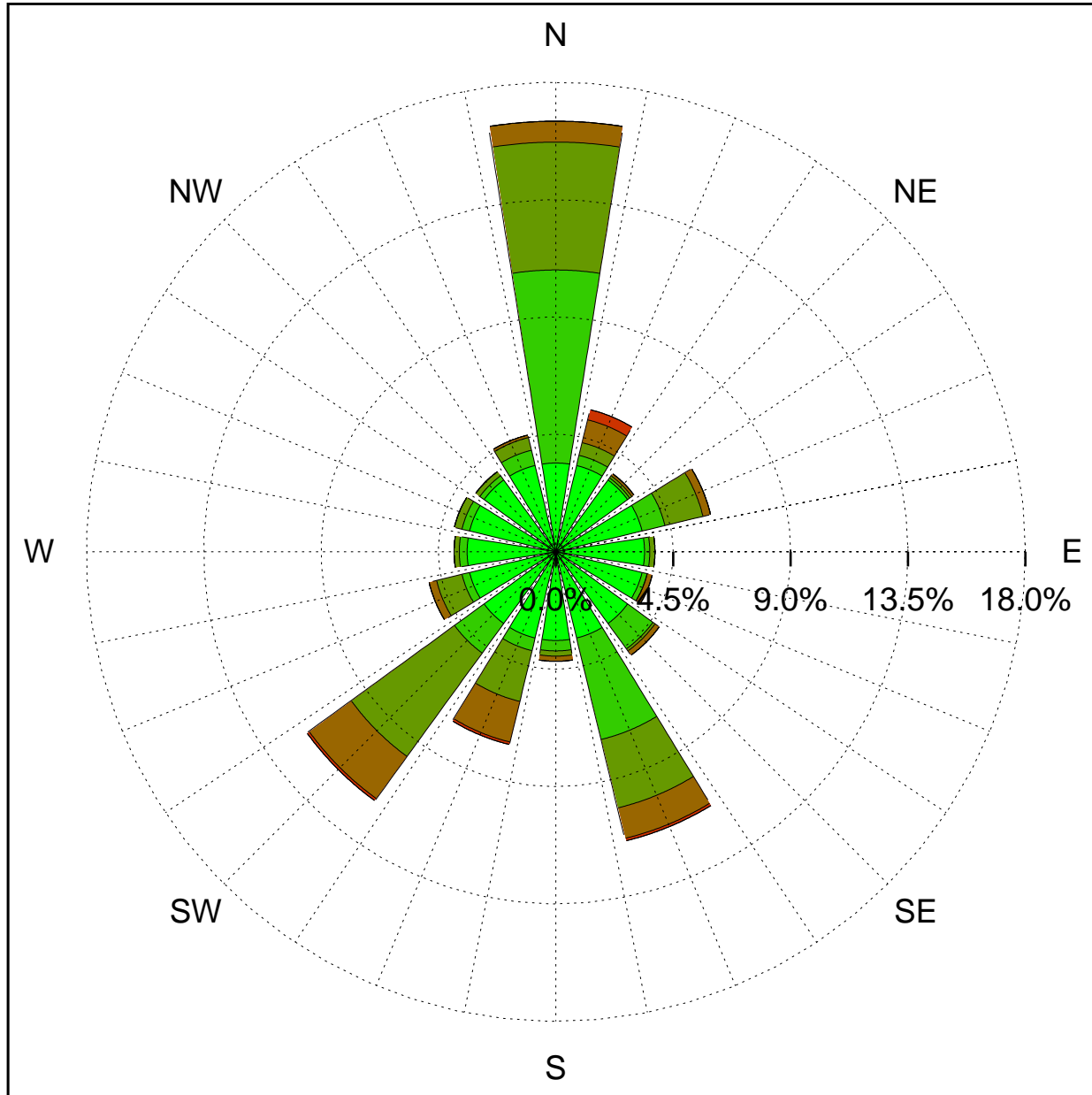


Figura 28.13: Campagna di misura a Rovereto Lizzana (24/06/03-17/11/03). Distribuzioni in frequenza e correlazioni.

Sito di misura: Rovereto Lizzana



Legenda - velocità [m/s]	
$v \geq 5.0$	<span style="color: red;">—</span>
$3.0 \leq v < 5.0$	<span style="color: darkred;">—</span>
$2.0 \leq v < 3.0$	<span style="color: brown;">—</span>
$1.0 \leq v < 2.0$	<span style="color: olive;">—</span>
$0.5 \leq v < 1.0$	<span style="color: lightgreen;">—</span>
calma ( $v < 0.5$ )	<span style="color: brightgreen;">—</span>

Figura 28.14: Campagna di misura a Rovereto Lizzana (24/06/03-17/11/03). Rosa dei venti.

## 29 Campagna di misura a Rovereto Lizzana

**Campagna di misura** dal 19/11/03 al 09/02/04

**Inquinanti rilevati:** *CO, NO<sub>x</sub>, O<sub>3</sub>, NMHC, SO<sub>2</sub>, PM<sub>10</sub>*

**Parametri meteorologici misurati:** velocità del vento, direzione del vento, temperatura, umidità relativa, pioggia, radiazione globale

**Note:** Dai grafici si notano dei cicli giornalieri non molto marcati per i vari inquinanti, solo il monossido di carbonio presenta un andamento più netto, con picchi intorno alle 8 e alle 19. Anche i cicli settimanali non sono molto evidenti. L'ozono presenta un ciclo giornaliero poco marcato con valori più o meno costanti per tutto il giorno e le concentrazioni che salgono leggermente nelle ore più calde a cavallo di mezzogiorno.



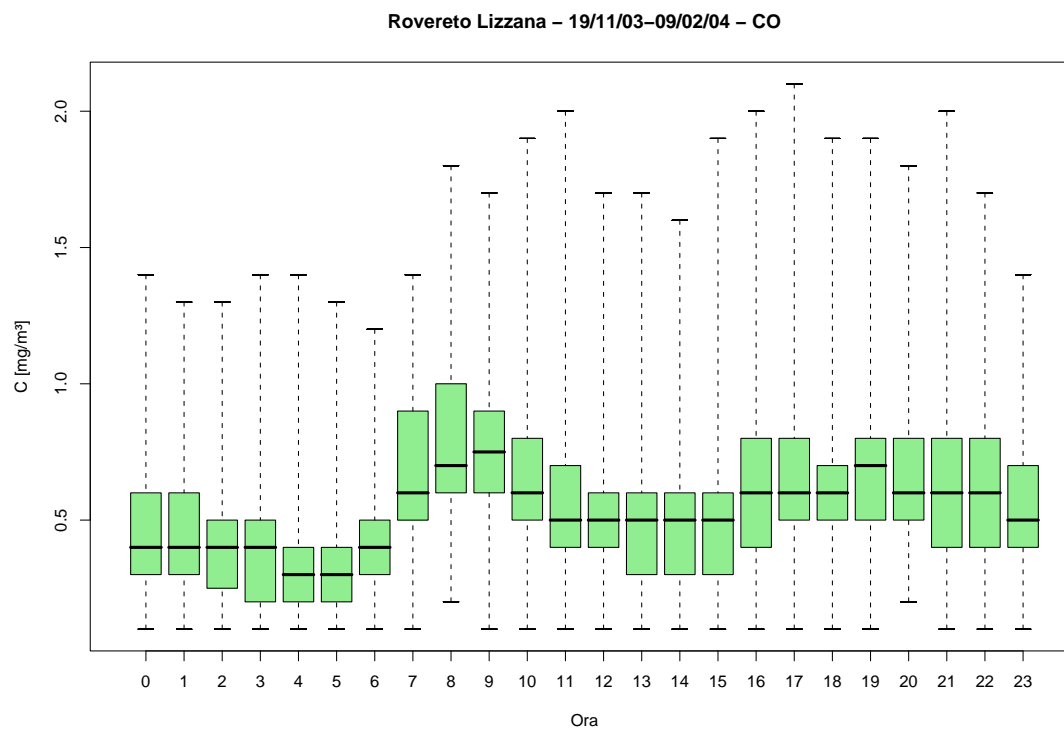


Figura 29.1: Campagna di misura a Rovereto Lizzana (19/11/03-09/02/04), inquinante: *CO*.  
Box-plot relativo all'ora del giorno.

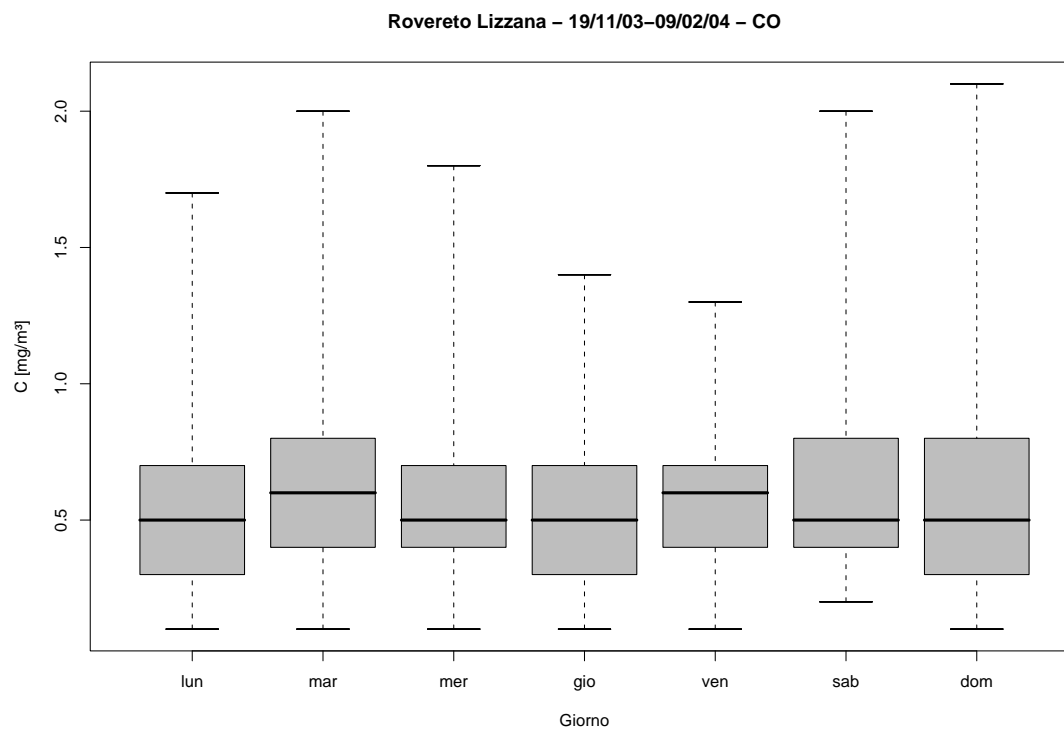


Figura 29.2: Campagna di misura a Rovereto Lizzana (19/11/03-09/02/04), inquinante: *CO*.  
Box-plot relativo al giorno della settimana.

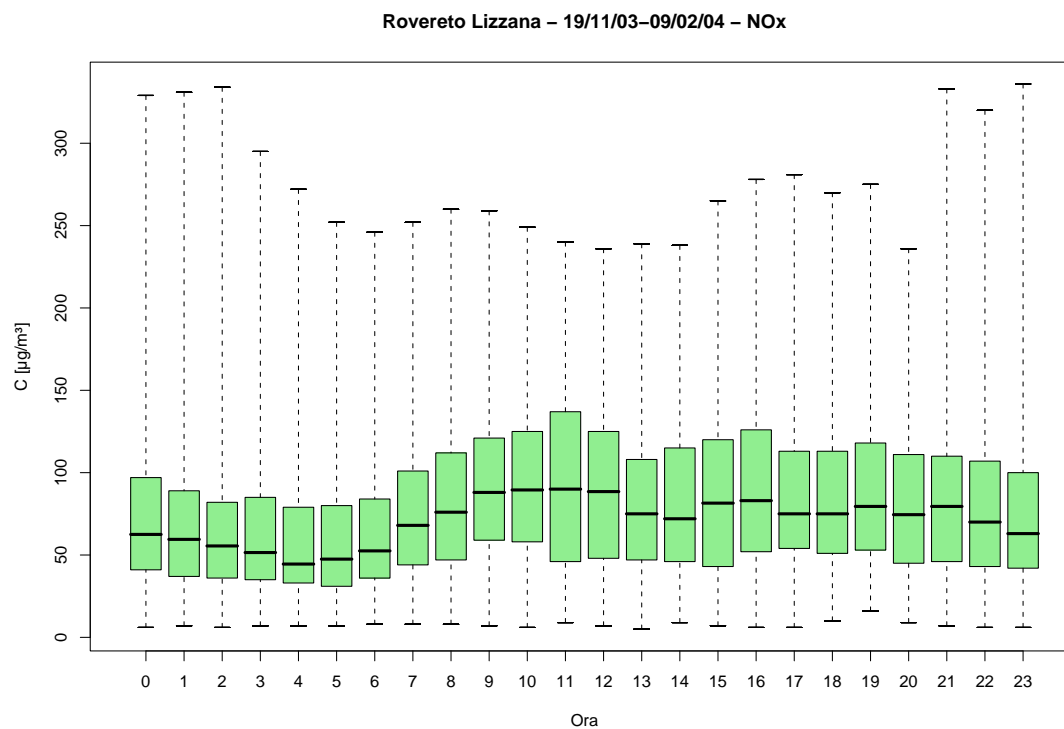


Figura 29.3: Campagna di misura a Rovereto Lizzana (19/11/03-09/02/04), inquinante:  $NO_x$ .  
Box-plot relativo all'ora del giorno.

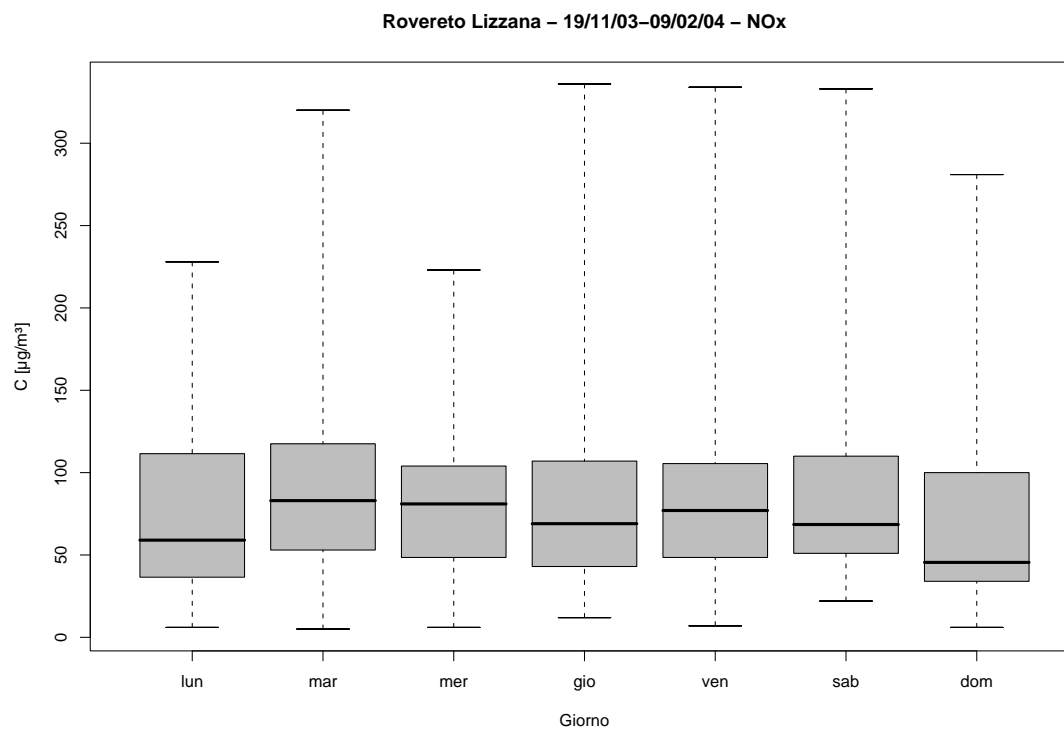


Figura 29.4: Campagna di misura a Rovereto Lizzana (19/11/03-09/02/04), inquinante:  $NO_x$ .  
Box-plot relativo al giorno della settimana.

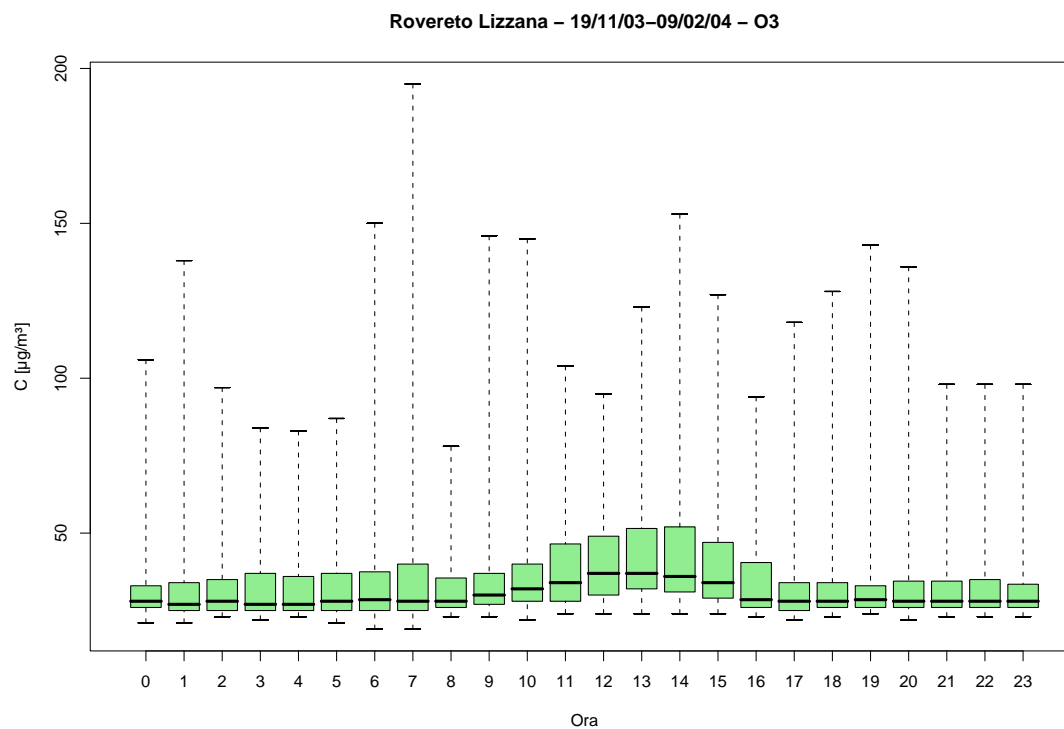


Figura 29.5: Campagna di misura a Rovereto Lizzana (19/11/03-09/02/04), inquinante:  $O_3$ . Box-plot relativo all'ora del giorno.

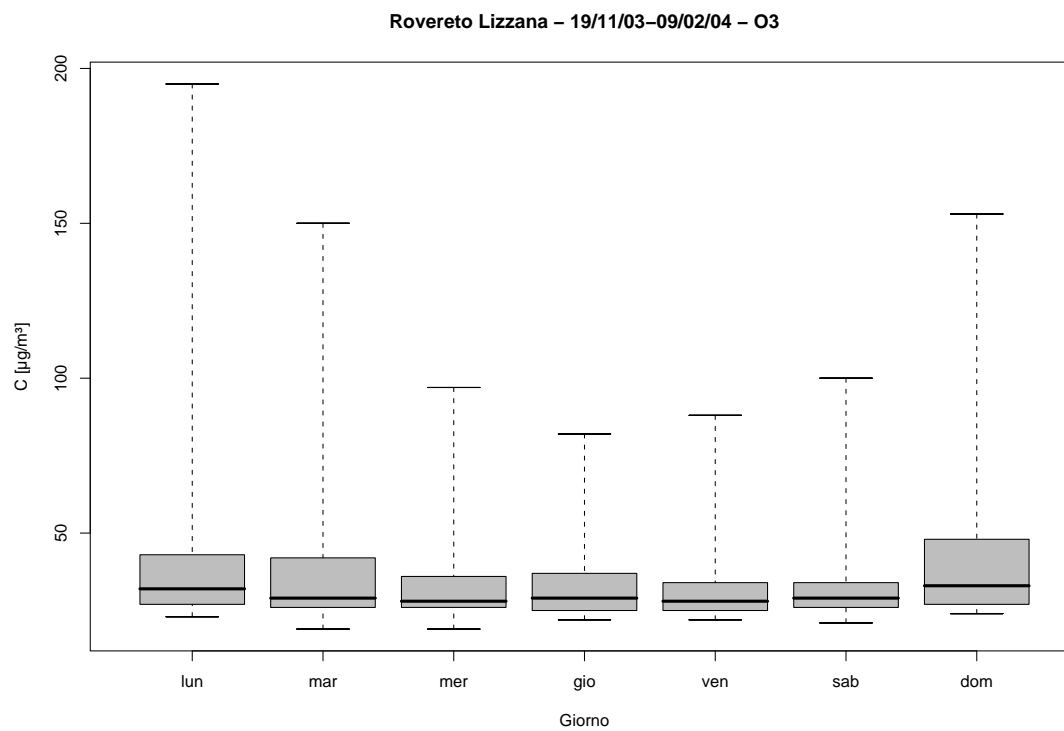


Figura 29.6: Campagna di misura a Rovereto Lizzana (19/11/03-09/02/04), inquinante:  $O_3$ . Box-plot relativo al giorno della settimana.

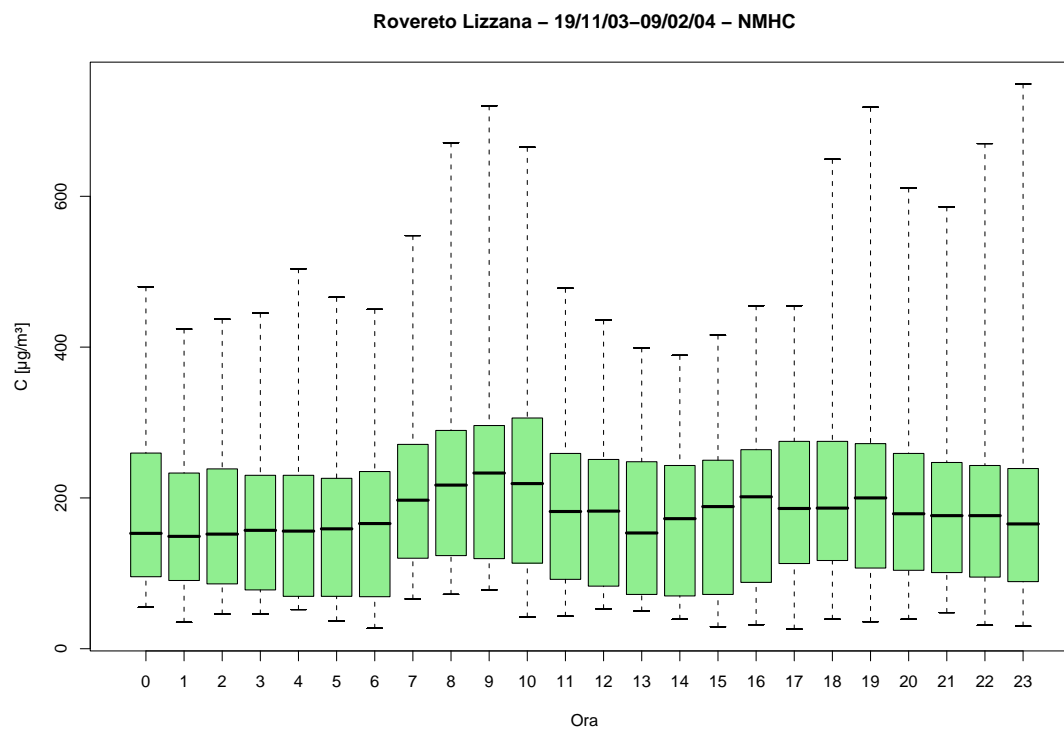


Figura 29.7: Campagna di misura a Rovereto Lizzana (19/11/03-09/02/04), inquinante: *NMHC*. Box-plot relativo all'ora del giorno.

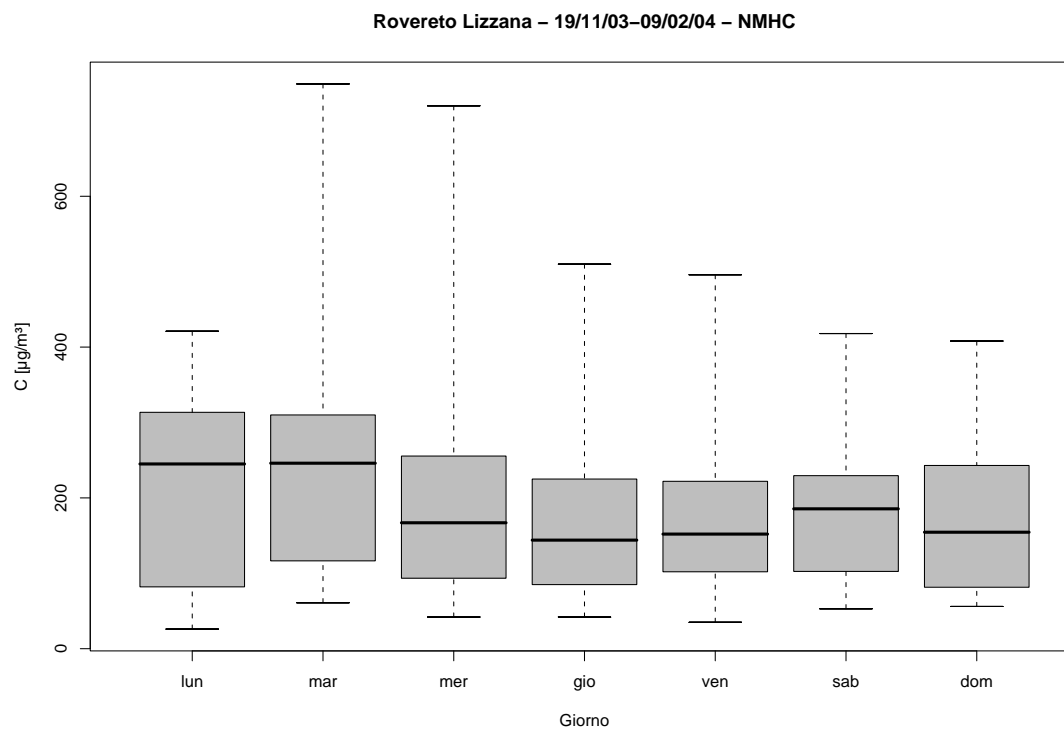


Figura 29.8: Campagna di misura a Rovereto Lizzana (19/11/03-09/02/04), inquinante: *NMHC*. Box-plot relativo al giorno della settimana.

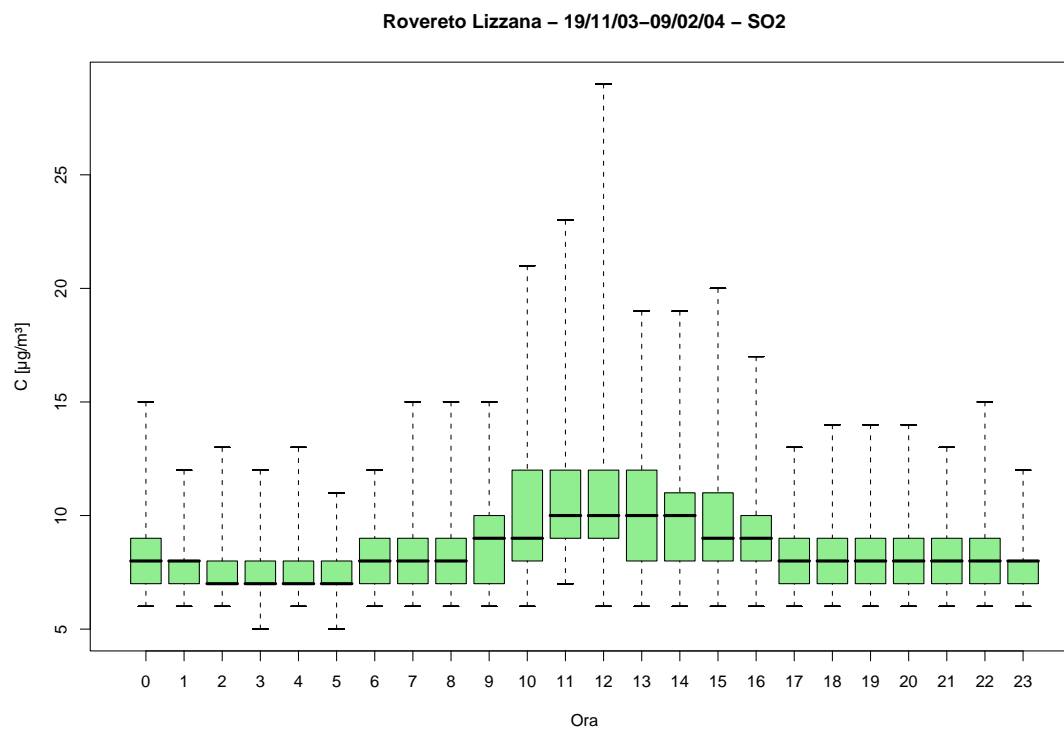


Figura 29.9: Campagna di misura a Rovereto Lizzana (19/11/03-09/02/04), inquinante:  $\text{SO}_2$ . Box-plot relativo all'ora del giorno.

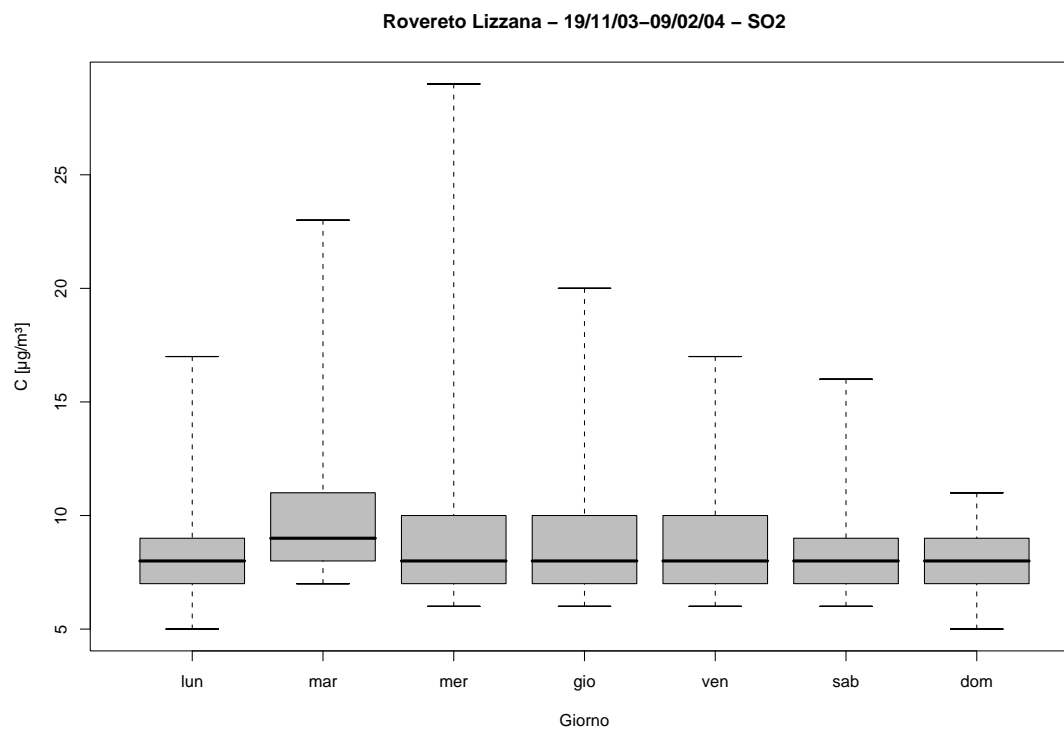


Figura 29.10: Campagna di misura a Rovereto Lizzana (19/11/03-09/02/04), inquinante:  $\text{SO}_2$ . Box-plot relativo al giorno della settimana.

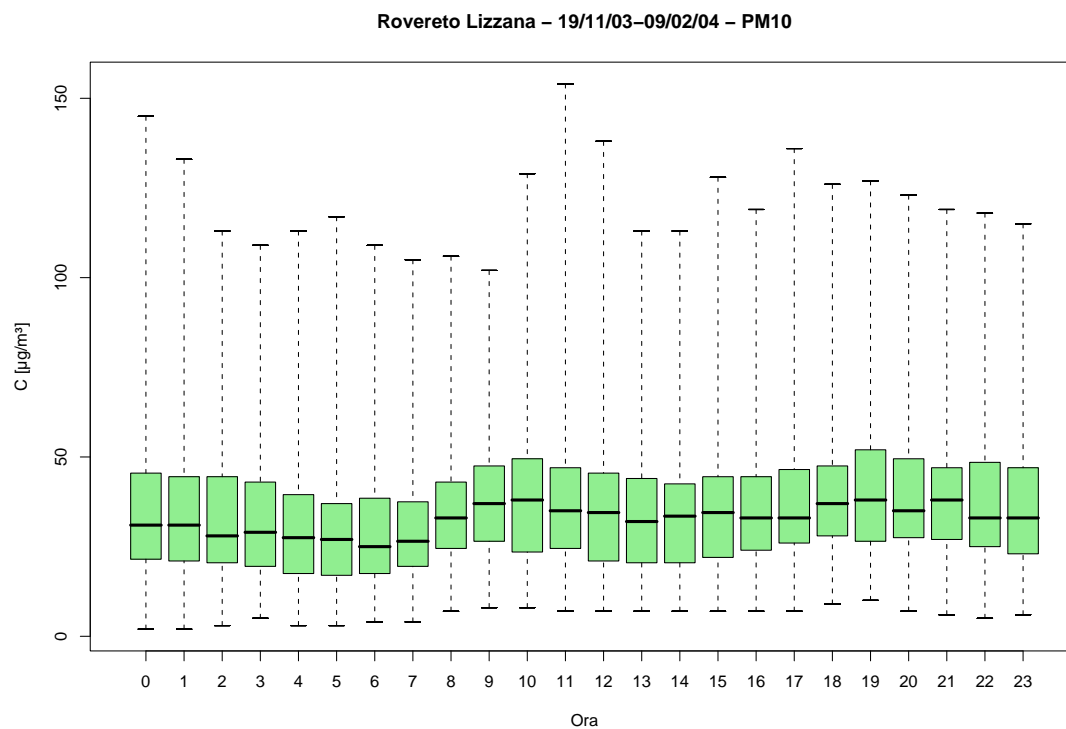


Figura 29.11: Campagna di misura a Rovereto Lizzana (19/11/03-09/02/04), inquinante:  $PM_{10}$ . Box-plot relativo all'ora del giorno.

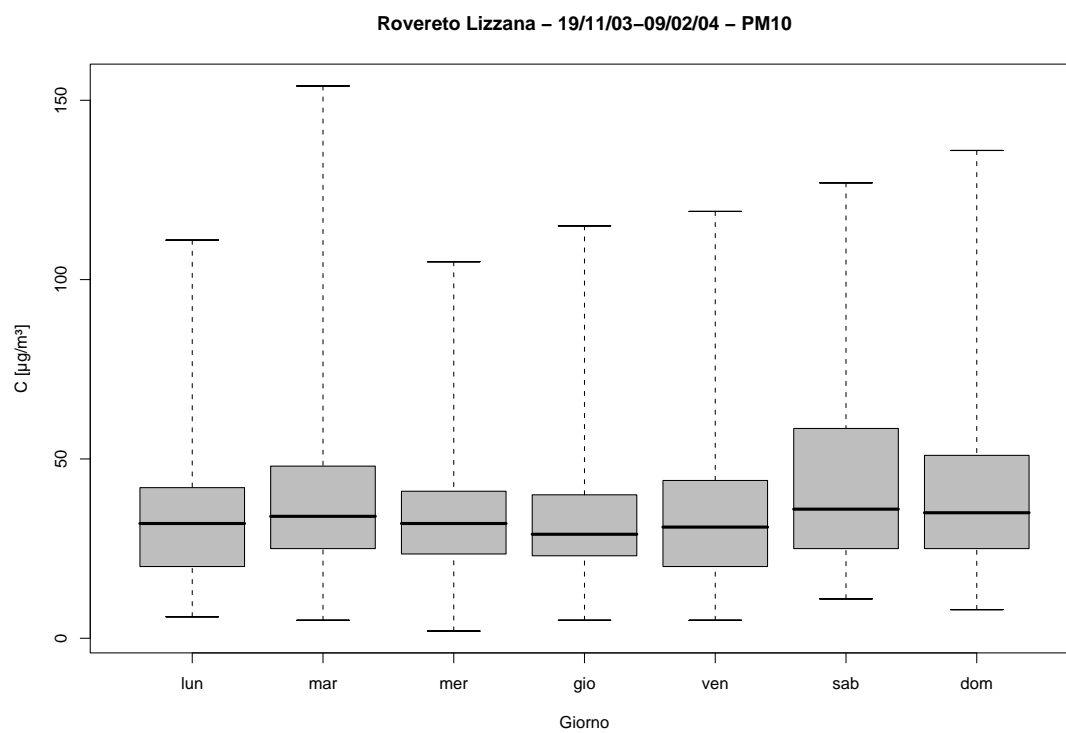


Figura 29.12: Campagna di misura a Rovereto Lizzana (19/11/03-09/02/04), inquinante:  $PM_{10}$ . Box-plot relativo al giorno della settimana.

**Rovereto Lizzana - 19/11/03-09/02/04**  
**distribuzioni in frequenza e correlazioni**

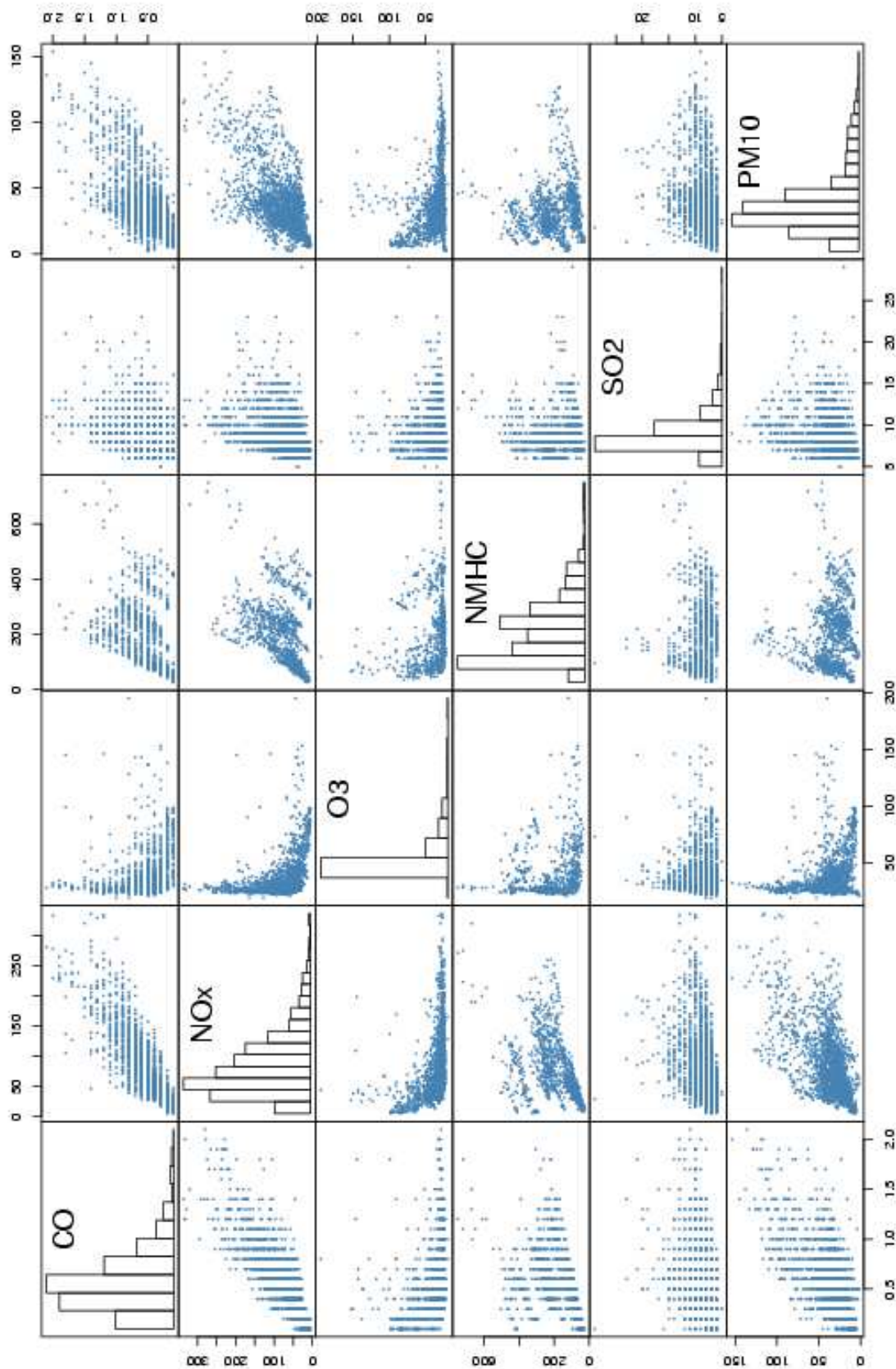
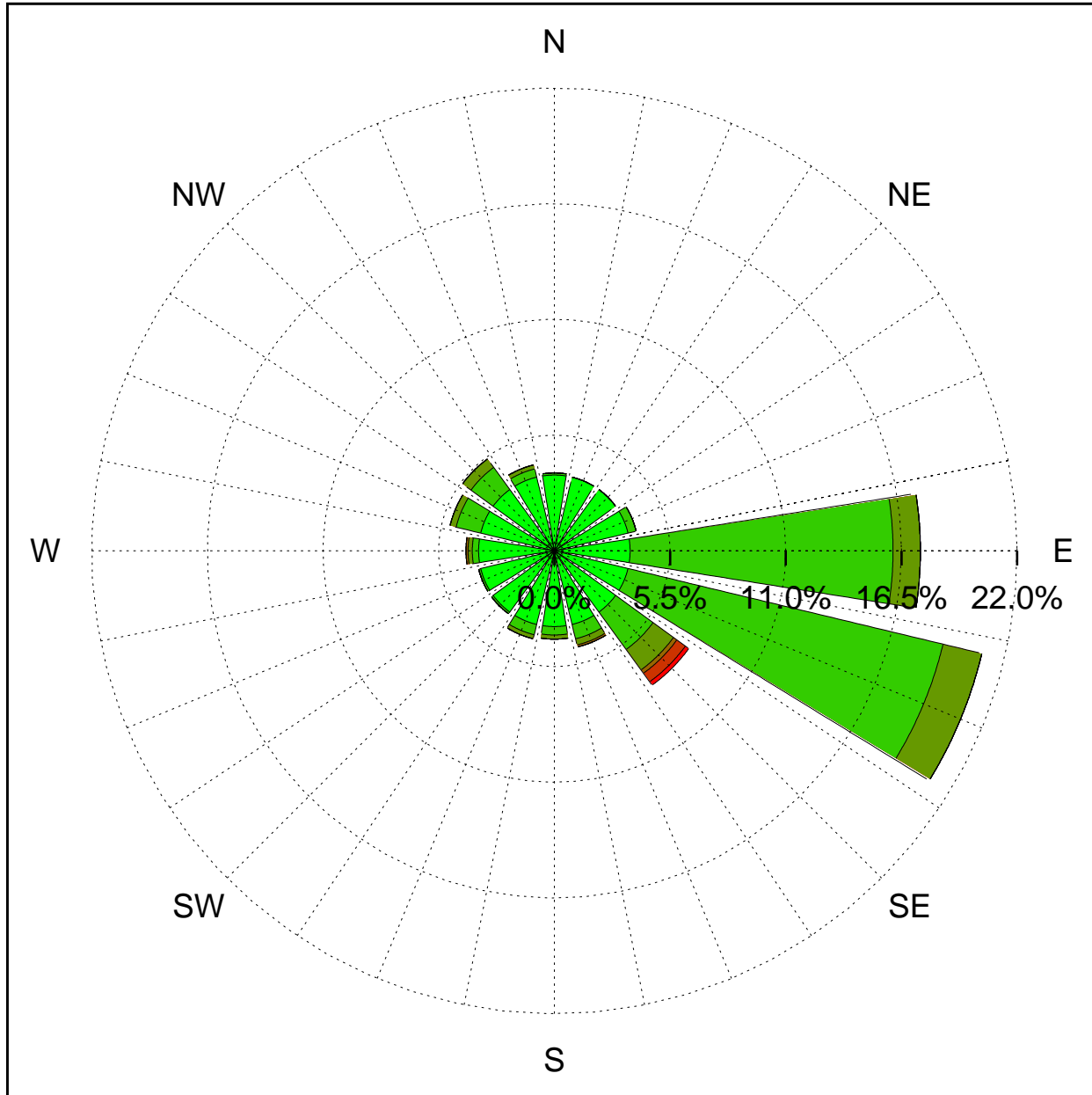


Figura 29.13: Campagna di misura a Rovereto Lizzana (19/11/03-09/02/04). Distribuzioni in frequenza e correlazioni.

Sito di misura: Rovereto Lizzana



Legenda - velocità [m/s]	
$v \geq 5.0$	
$3.0 \leq v < 5.0$	
$2.0 \leq v < 3.0$	
$1.0 \leq v < 2.0$	
$0.5 \leq v < 1.0$	
calma ( $v < 0.5$ )	

Figura 29.14: Campagna di misura a Rovereto Lizzana (19/11/03-09/02/04). Rosa dei venti.



## 30 Campagna di misura a Pergine

**Campagna di misura** dal 11/02/04 al 13/04/04

**Inquinanti rilevati:** *CO, NO<sub>x</sub>, O<sub>3</sub>, NMHC, SO<sub>2</sub>, PM<sub>10</sub>*

**Parametri meteorologici misurati:** velocità del vento, direzione del vento, temperatura, umidità relativa, pioggia, radiazione globale

**Note:** Tutti gli inquinanti monitorati presentano un andamento a due picchi, il primo intorno alle 8 di mattina e il secondo intorno alle 18 della sera, solo le polveri fini mostrano un picco serale spostato verso le ore 20. Gli andamenti settimanali non sono concordi anche se si nota che per alcuni inquinanti vi è una tendenza a crescere durante tutta la settimana, il picco viene raggiunto di sabato, mentre la domenica si registra una brusca diminuzione dei valori di concentrazione. L'ozono presenta un comportamento differente, si ottengono i valori minimi intorno alle ore 7 del mattino, la concentrazione tende poi a salire fino a raggiungere il massimo verso le ore 14-15 per poi scendere e mantenersi costante per tutta la sera e la notte.

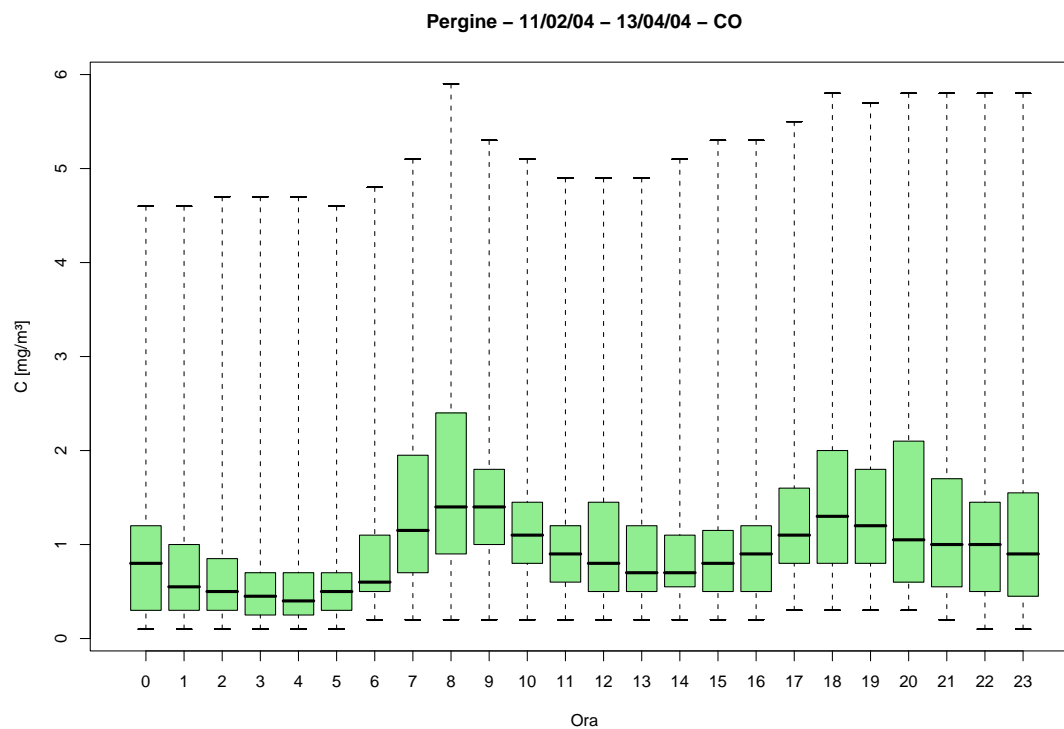


Figura 30.1: Campagna di misura a Pergine (11/02/04-13/04/04), inquinante:  $CO$ . Box-plot relativo all'ora del giorno.

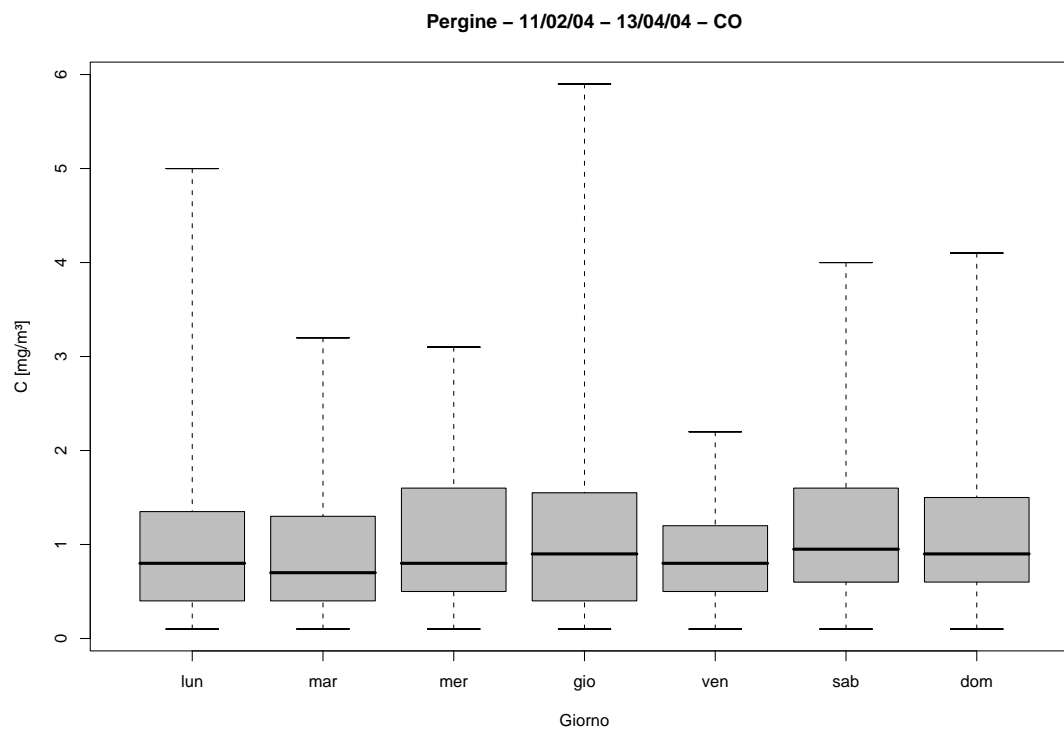


Figura 30.2: Campagna di misura a Pergine (11/02/04-13/04/04), inquinante:  $CO$ . Box-plot relativo al giorno della settimana.

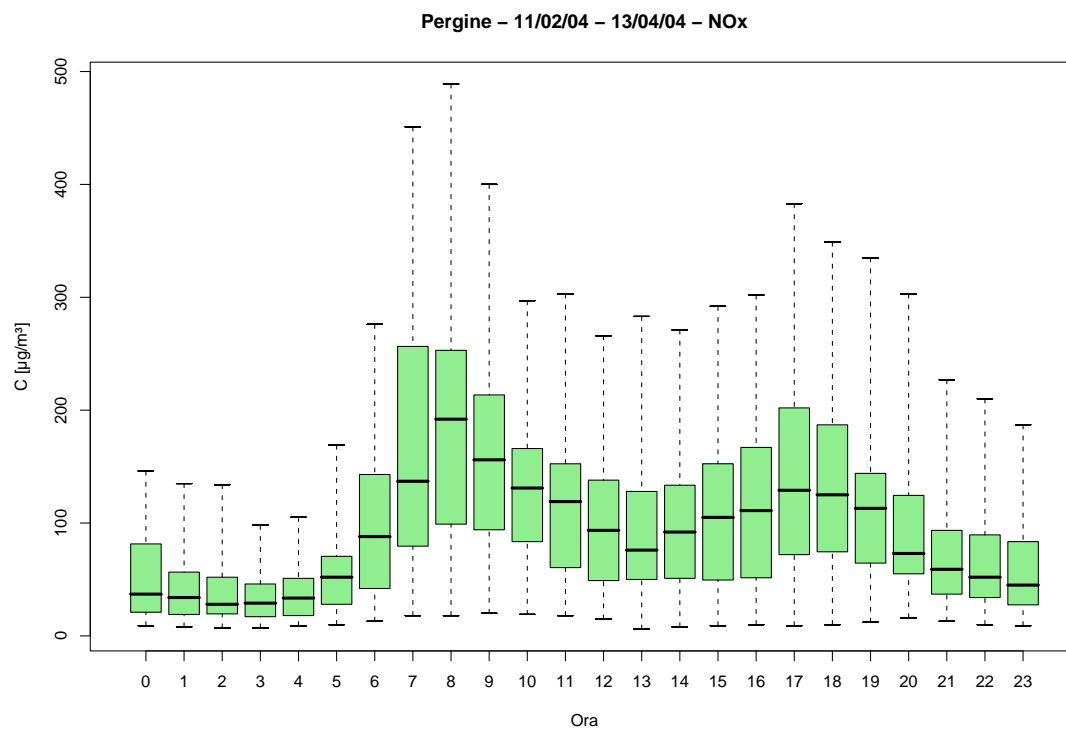


Figura 30.3: Campagna di misura a Pergine (11/02/04-13/04/04), inquinante:  $NO_x$ . Box-plot relativo all'ora del giorno.

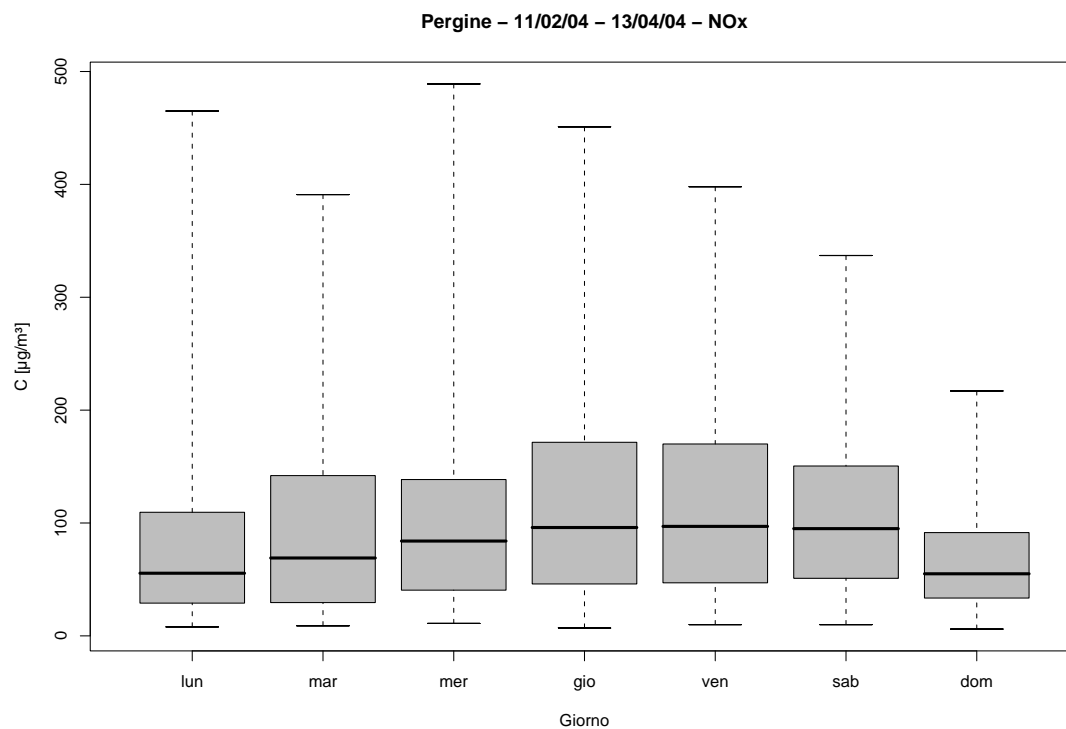


Figura 30.4: Campagna di misura a Pergine (11/02/04-13/04/04), inquinante:  $NO_x$ . Box-plot relativo al giorno della settimana.

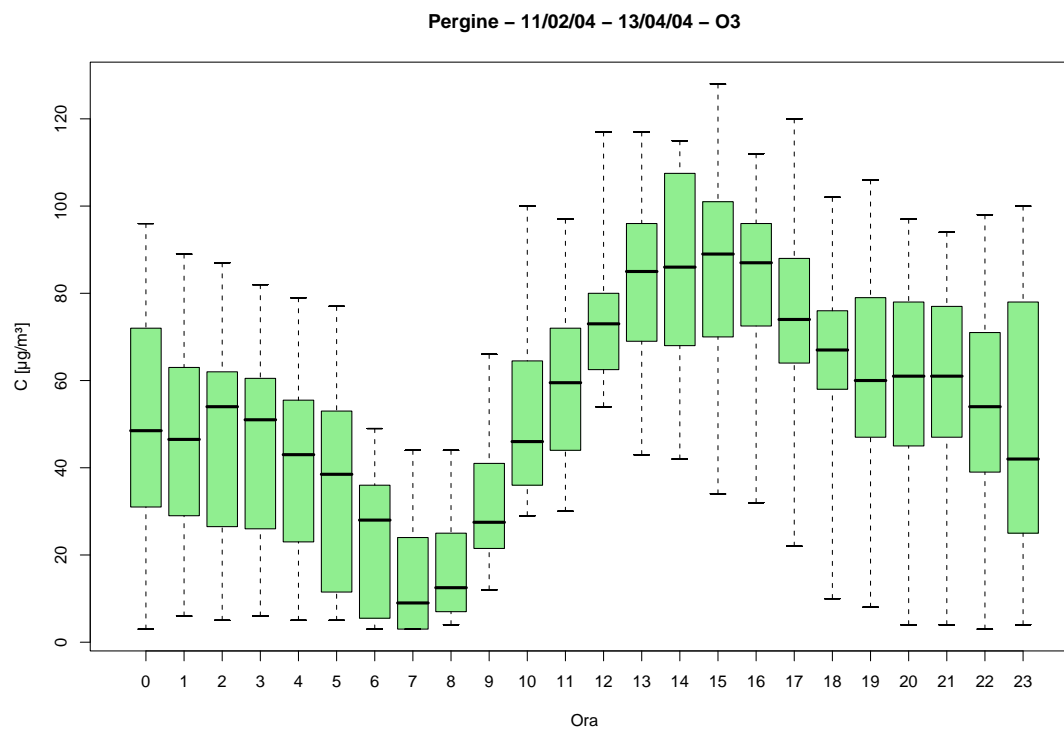


Figura 30.5: Campagna di misura a Pergine (11/02/04-13/04/04), inquinante:  $O_3$ . Box-plot relativo all'ora del giorno.

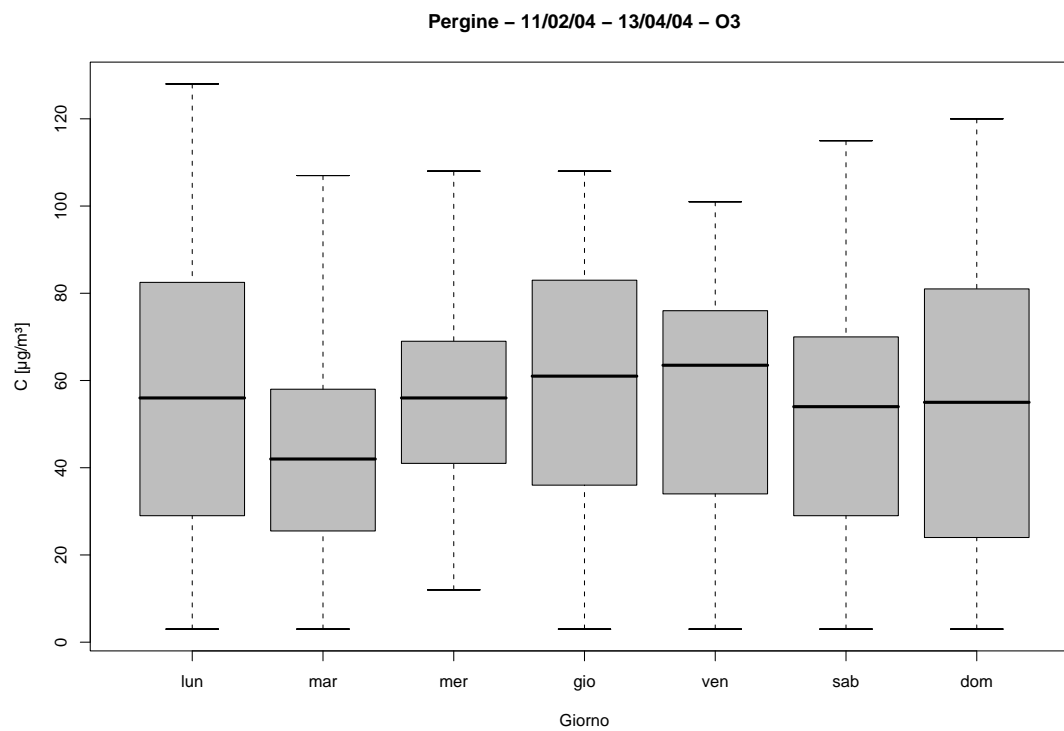


Figura 30.6: Campagna di misura a Pergine (11/02/04-13/04/04), inquinante:  $O_3$ . Box-plot relativo al giorno della settimana.

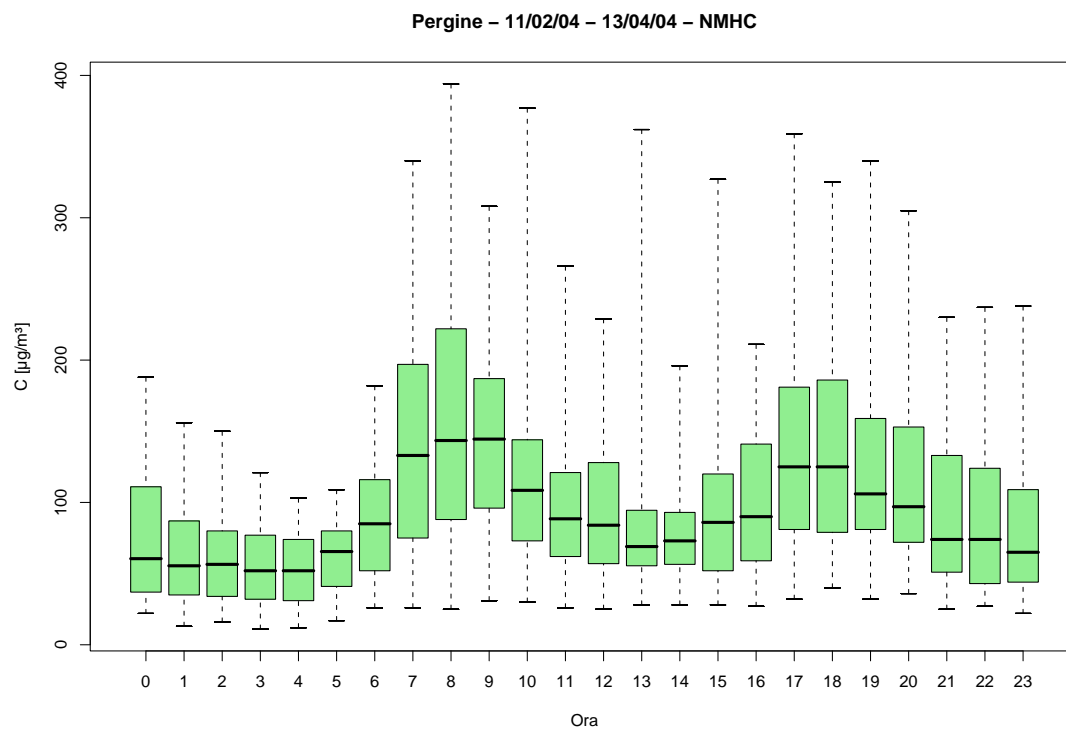


Figura 30.7: Campagna di misura a Pergine (11/02/04-13/04/04), inquinante: *NMHC*. Box-plot relativo all'ora del giorno.

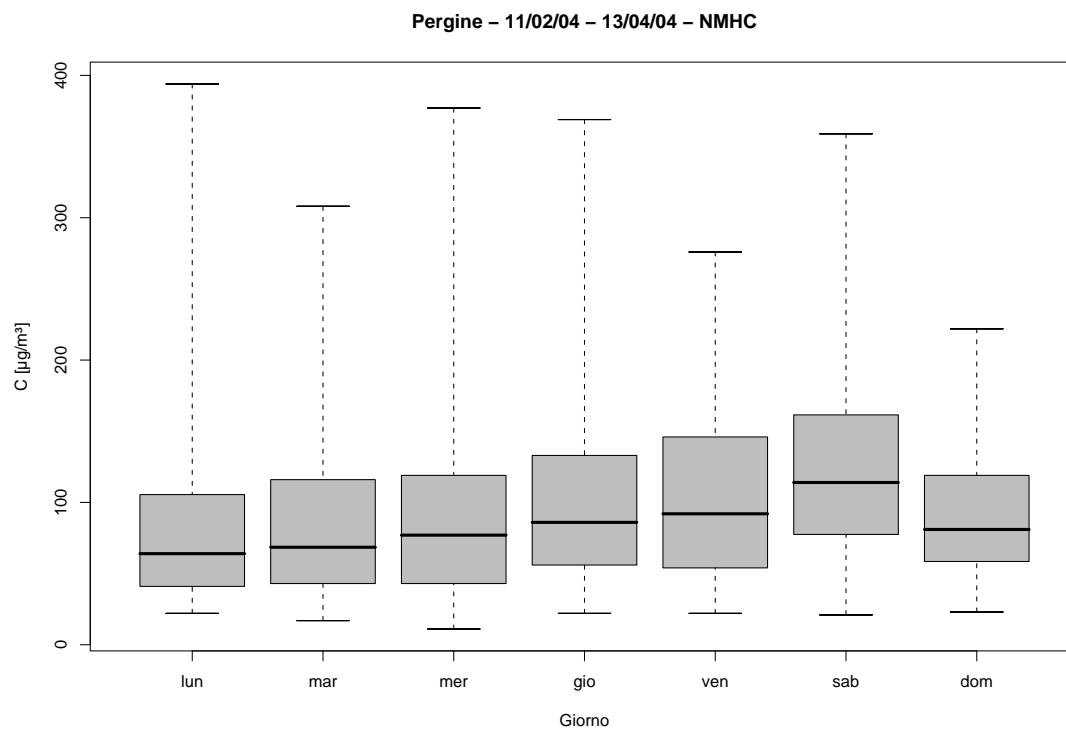


Figura 30.8: Campagna di misura a Pergine (11/02/04-13/04/04), inquinante: *NMHC*. Box-plot relativo al giorno della settimana.

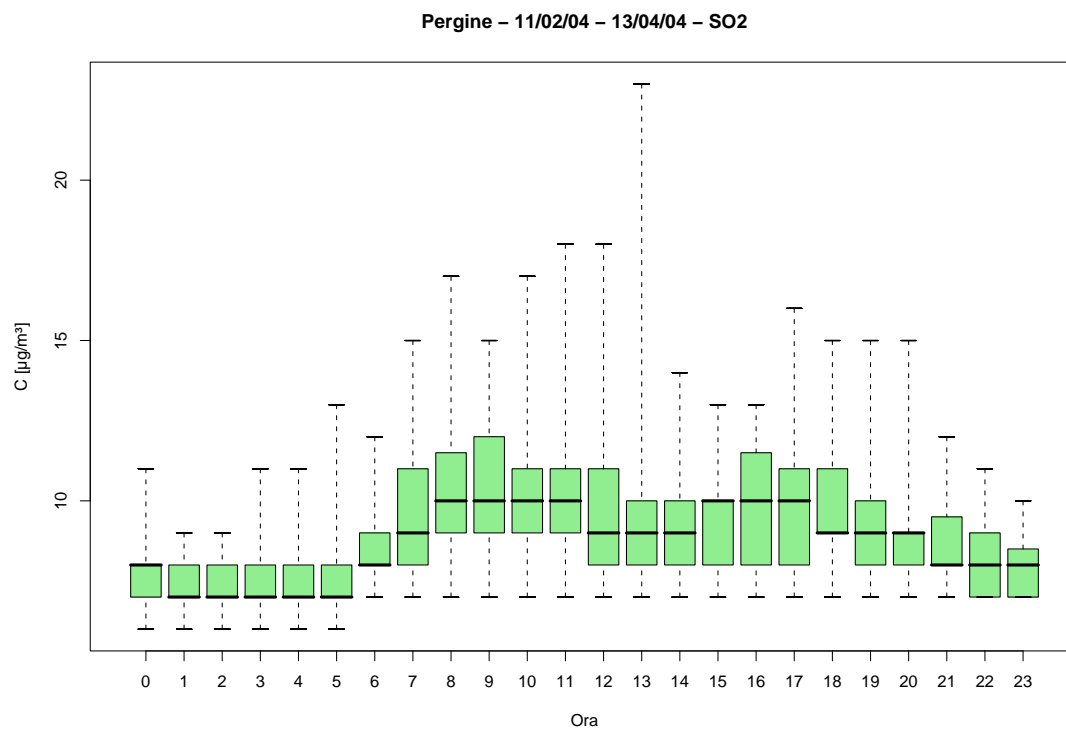


Figura 30.9: Campagna di misura a Pergine (11/02/04-13/04/04), inquinante:  $SO_2$ . Box-plot relativo all'ora del giorno.

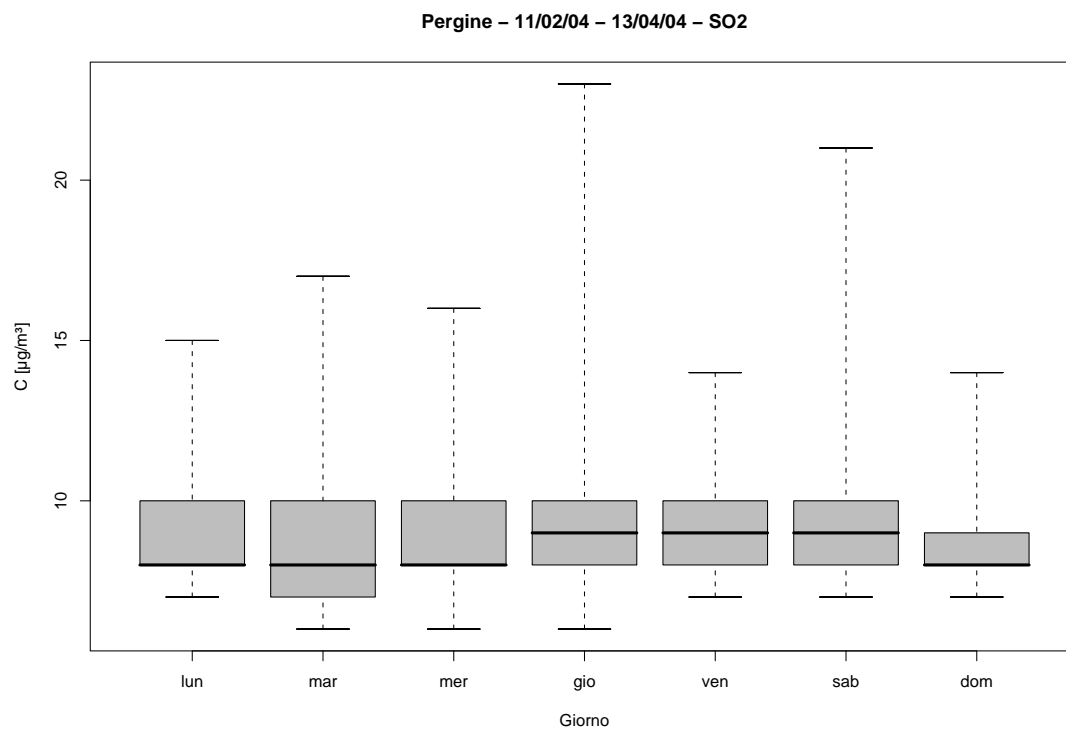


Figura 30.10: Campagna di misura a Pergine (11/02/04-13/04/04), inquinante:  $SO_2$ . Box-plot relativo al giorno della settimana.

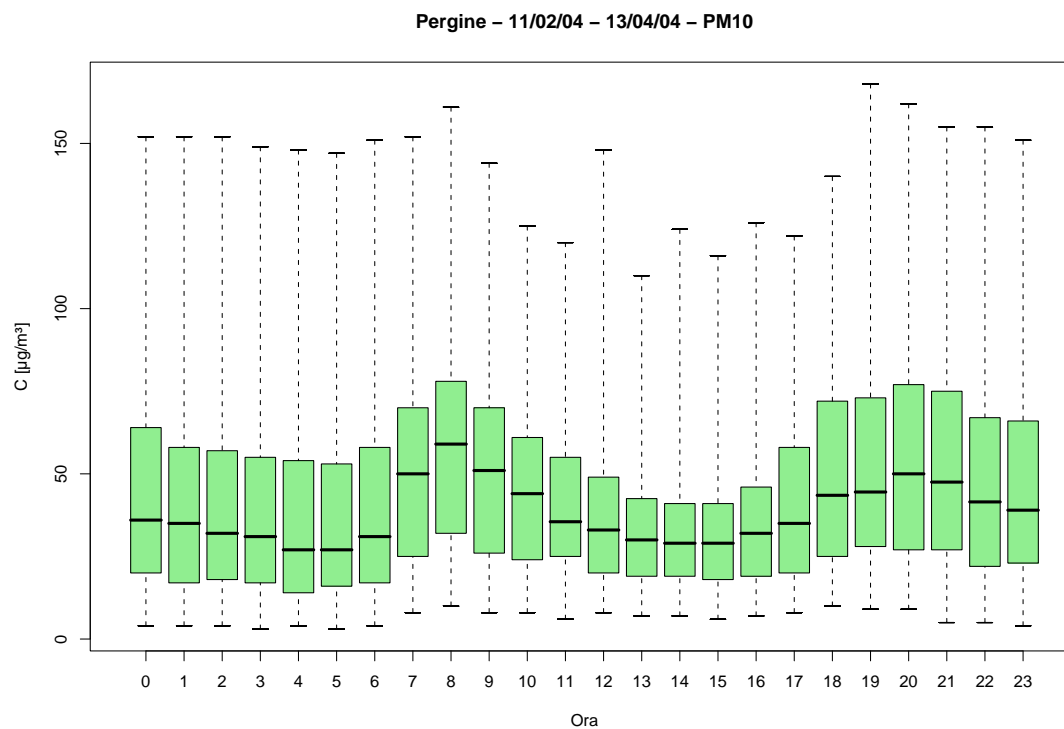


Figura 30.11: Campagna di misura a Pergine (11/02/04-13/04/04), inquinante:  $PM_{10}$ . Box-plot relativo all'ora del giorno.

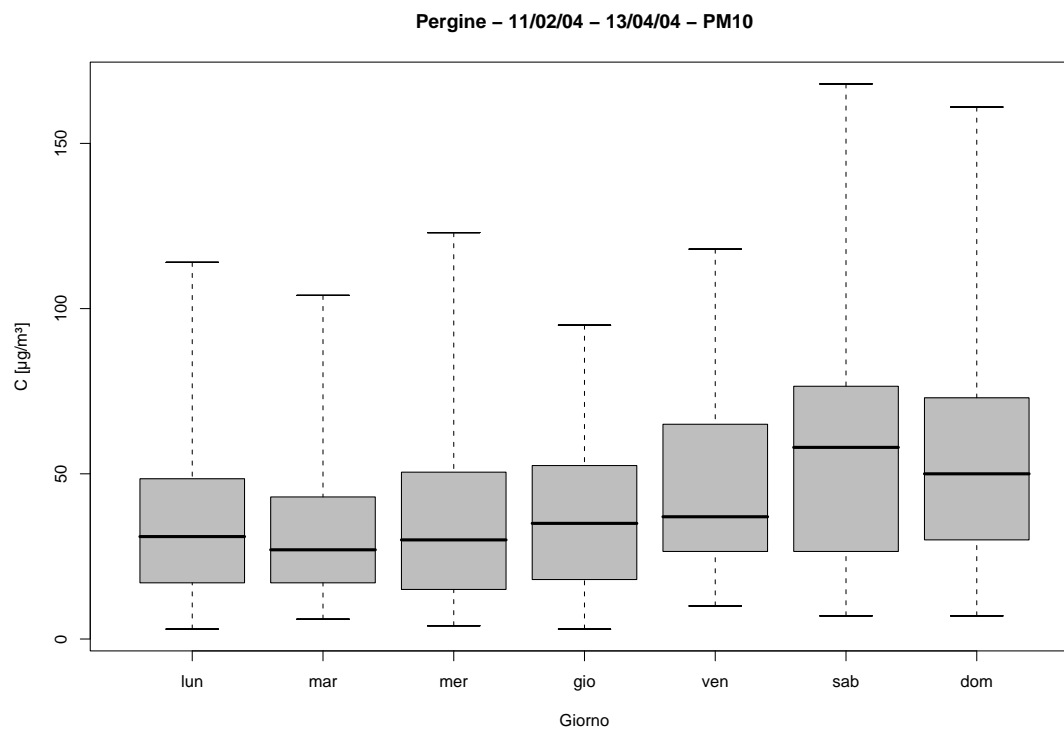


Figura 30.12: Campagna di misura a Pergine (11/02/04-13/04/04), inquinante:  $PM_{10}$ . Box-plot relativo al giorno della settimana.

Pergine – 11/02/04 – 13/04/04  
distribuzioni in frequenza e correlazioni

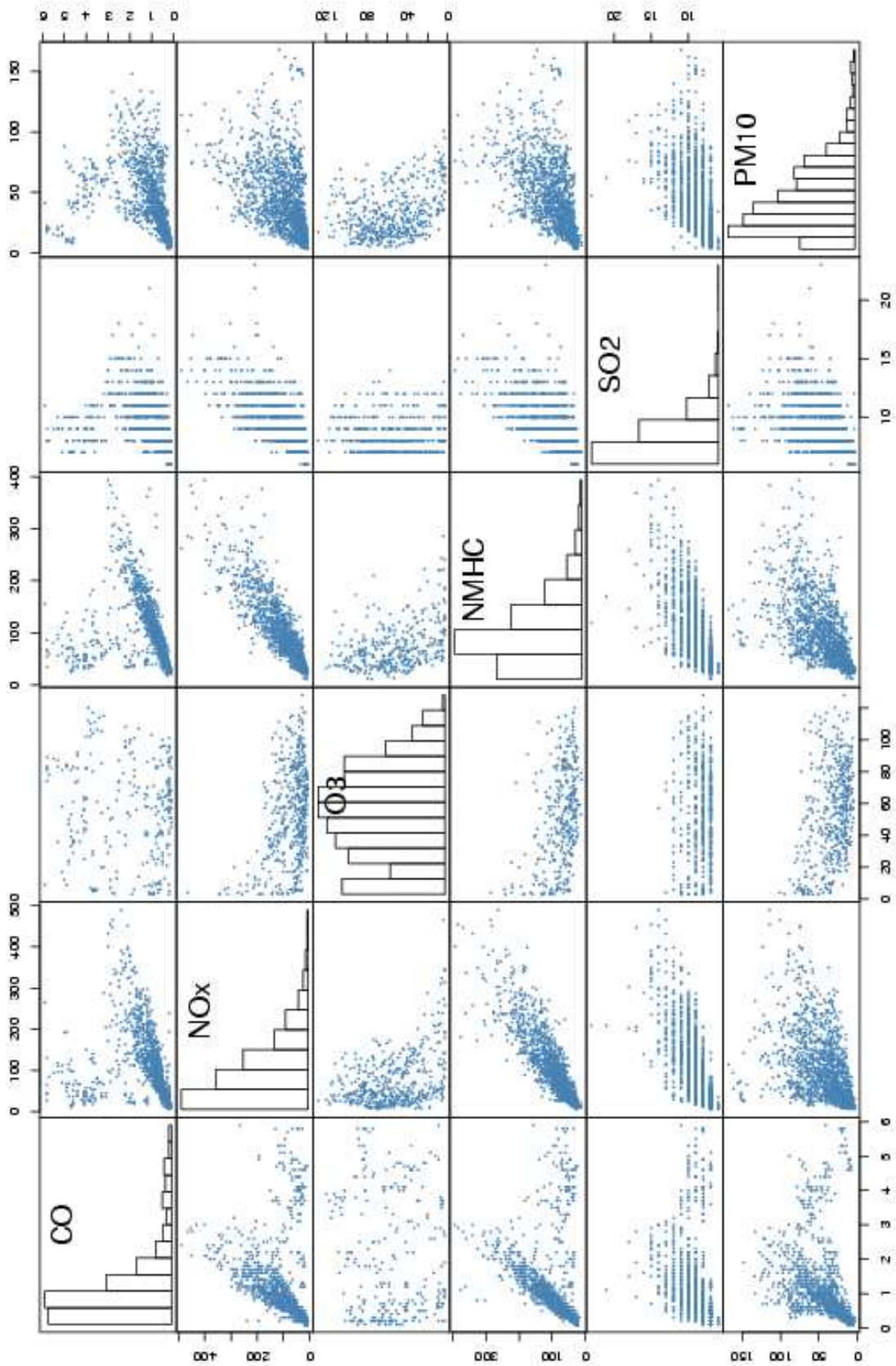
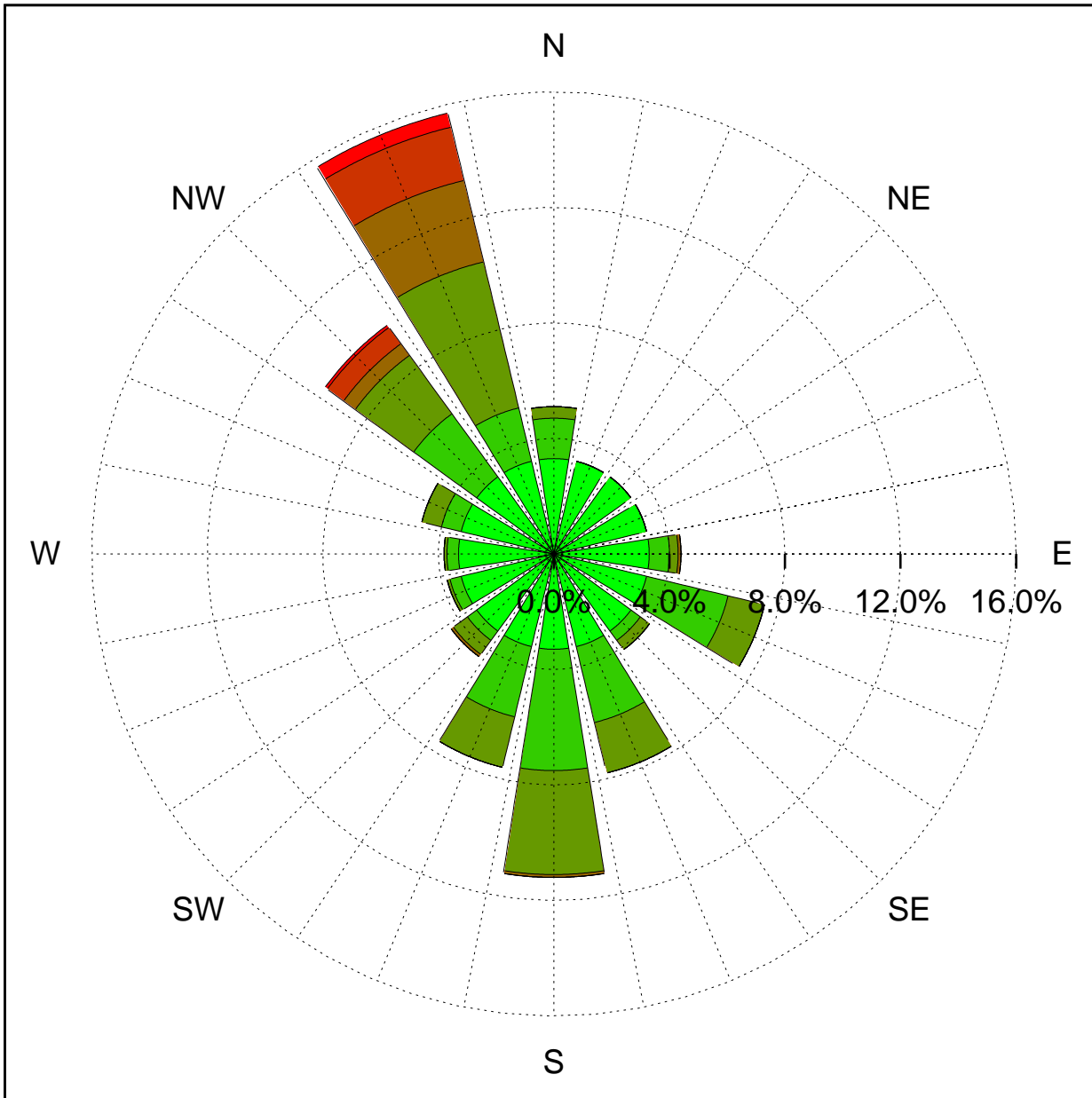


Figura 30.13: Campagna di misura a Pergine (11/02/04-13/04/04). Distribuzioni in frequenza e correlazioni.



Sito di misura: Pergine



Legenda - velocità [m/s]	
v ≥ 5.0	
3.0 ≤ v < 5.0	
2.0 ≤ v < 3.0	
1.0 ≤ v < 2.0	
0.5 ≤ v < 1.0	
calma (v < 0.5)	

Figura 30.14: Campagna di misura a Pergine (11/02/04-13/04/04). Rosa dei venti.

# 31 Campagna di misura a Cles

**Campagna di misura** dal 30/06/04 al 17/08/04

**Inquinanti rilevati:**  $CO$ ,  $NO_x$ ,  $O_3$ ,  $NMHC$ ,  $SO_2$ ,  $PM_{10}$

**Parametri meteorologici misurati:** velocità del vento, direzione del vento, temperatura, umidità relativa, pioggia, radiazione globale

**Note:** I dati raccolti non forniscono dei comportamenti simili per tutti gli inquinanti, mentre  $CO$  e  $NO_x$  seguono un ciclo giornaliero con punte intorno alle 8 e alle 18, gli altri non presentano un andamento chiaramente identificabile. Settimanalmente si nota invece che gli inquinanti tendono ad accumularsi e a raggiungere il massimo il venerdì, per poi scendere diminuire durante il week-end. L'ozono presenta un ciclo giornaliero molto netto, con minimo alle ore 7 e massimo alle ore 14.

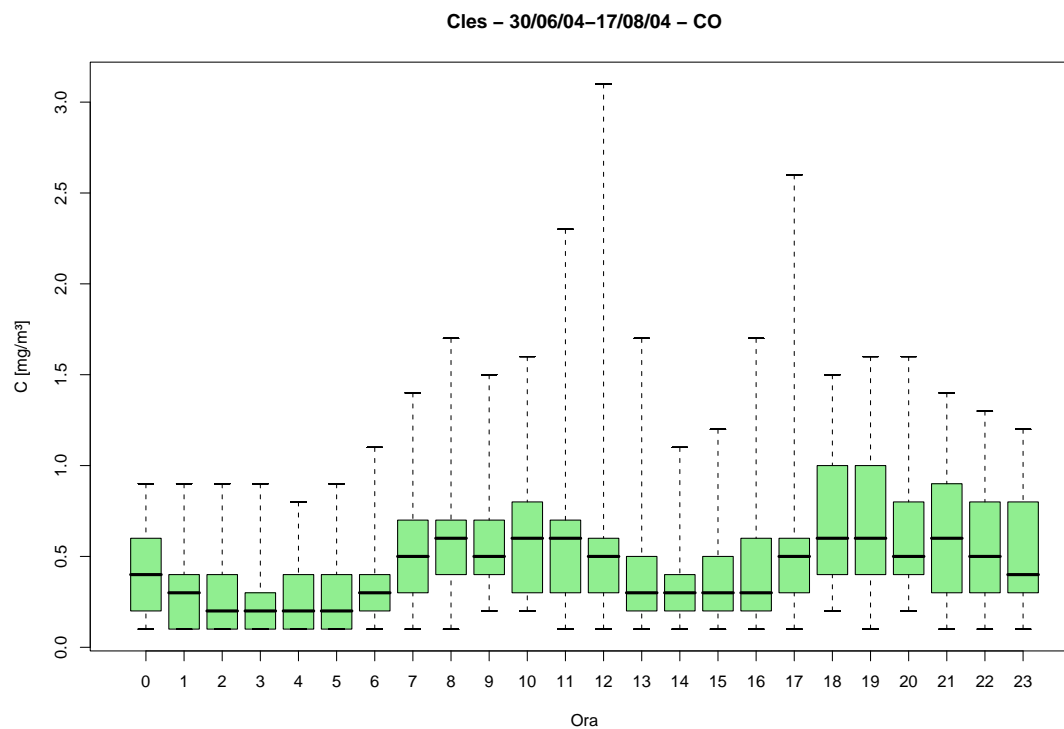


Figura 31.1: Campagna di misura a Cles (30/06/04-17/08/04), inquinante:  $CO$ . Box-plot relativo all'ora del giorno.

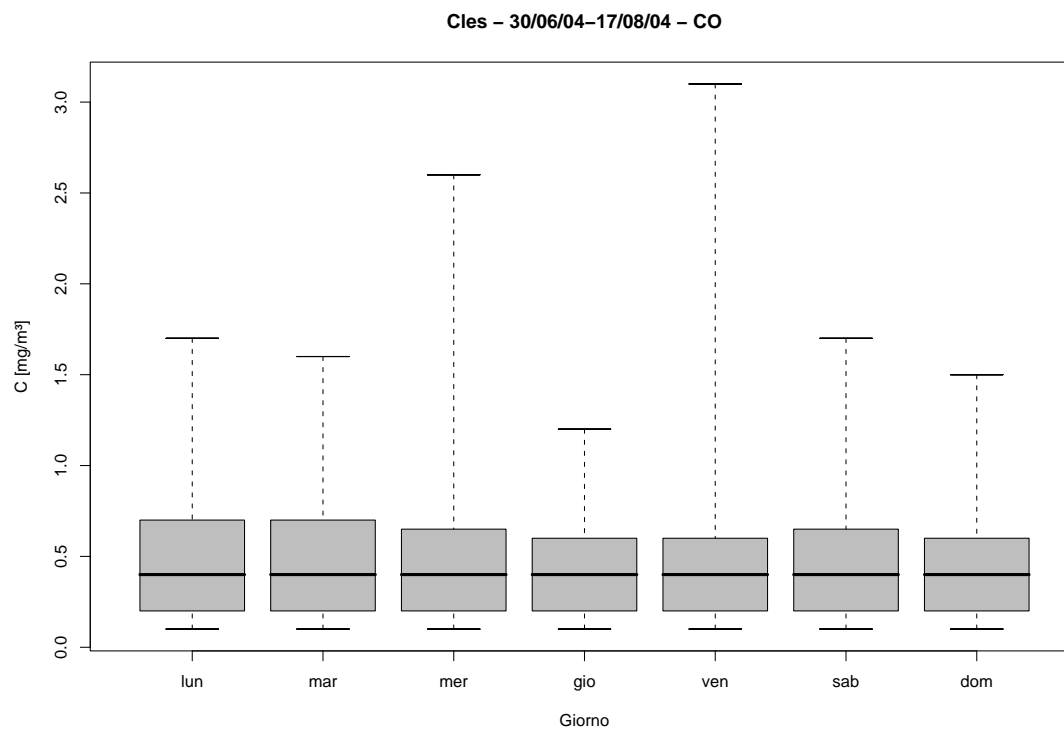


Figura 31.2: Campagna di misura a Cles (30/06/04-17/08/04), inquinante:  $CO$ . Box-plot relativo al giorno della settimana.

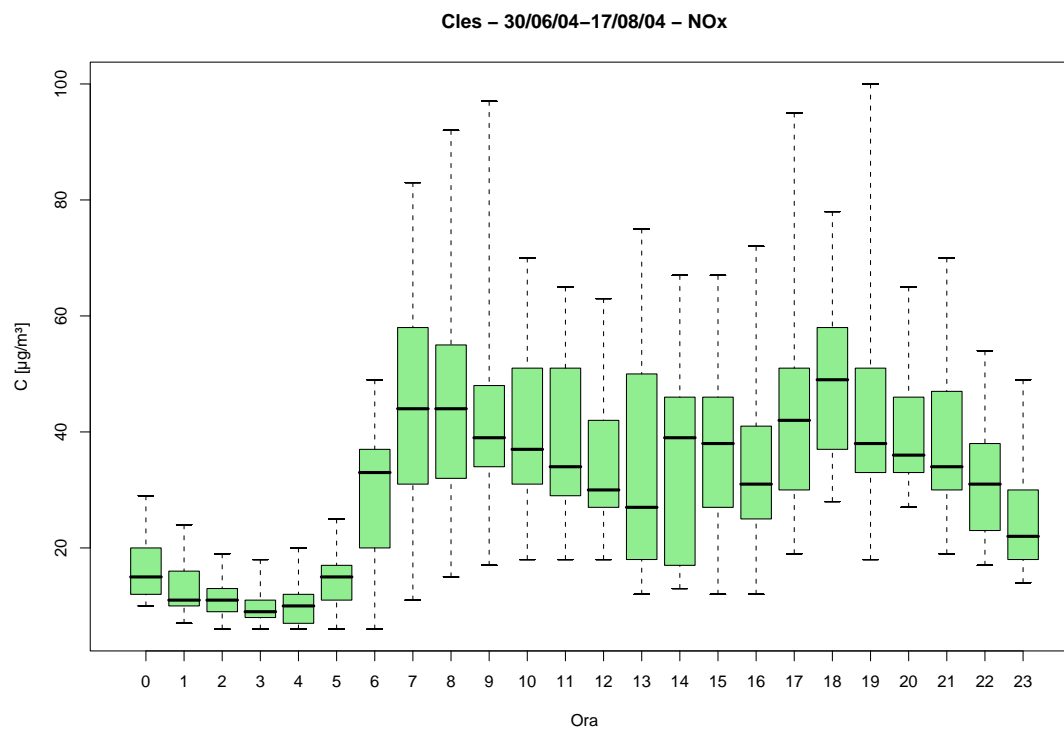


Figura 31.3: Campagna di misura a Cles (30/06/04-17/08/04), inquinante:  $NO_x$ . Box-plot relativo all'ora del giorno.

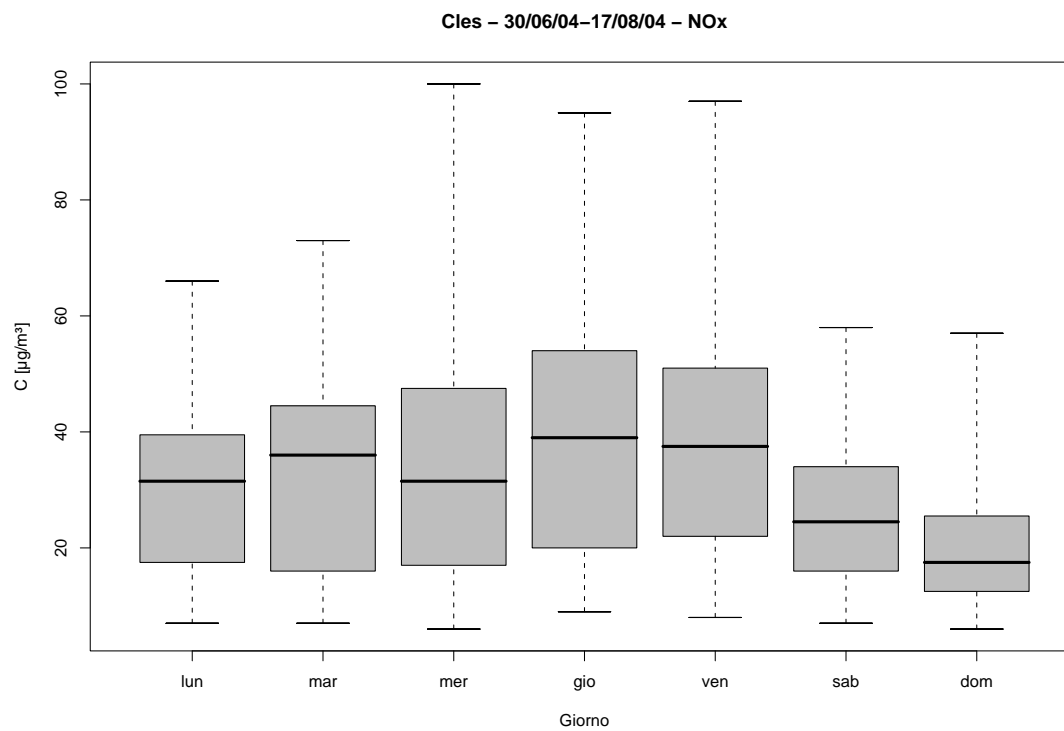


Figura 31.4: Campagna di misura a Cles (30/06/04-17/08/04), inquinante:  $NO_x$ . Box-plot relativo al giorno della settimana.

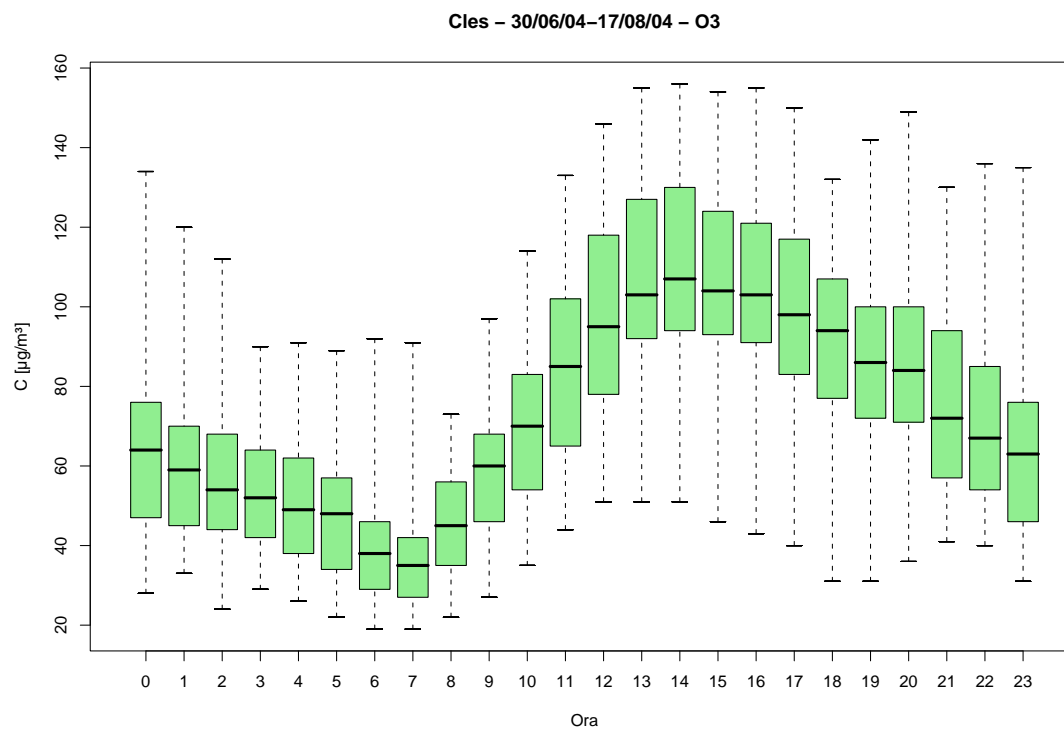


Figura 31.5: Campagna di misura a Cles (30/06/04-17/08/04), inquinante:  $O_3$ . Box-plot relativo all'ora del giorno.

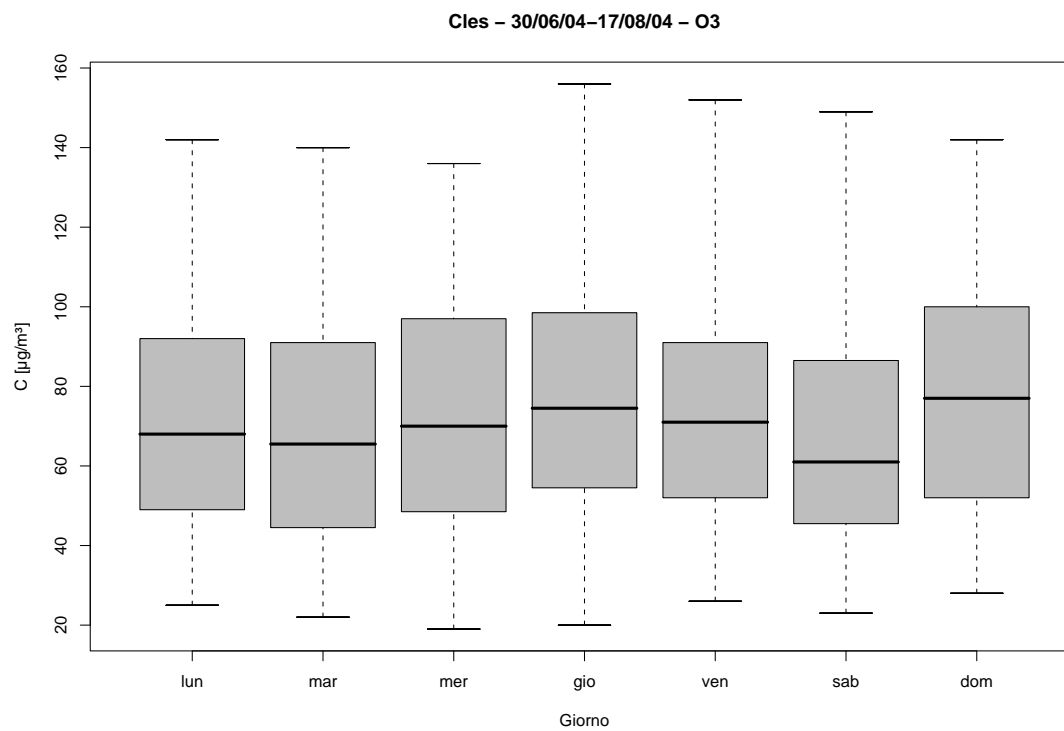


Figura 31.6: Campagna di misura a Cles (30/06/04-17/08/04), inquinante:  $O_3$ . Box-plot relativo al giorno della settimana.

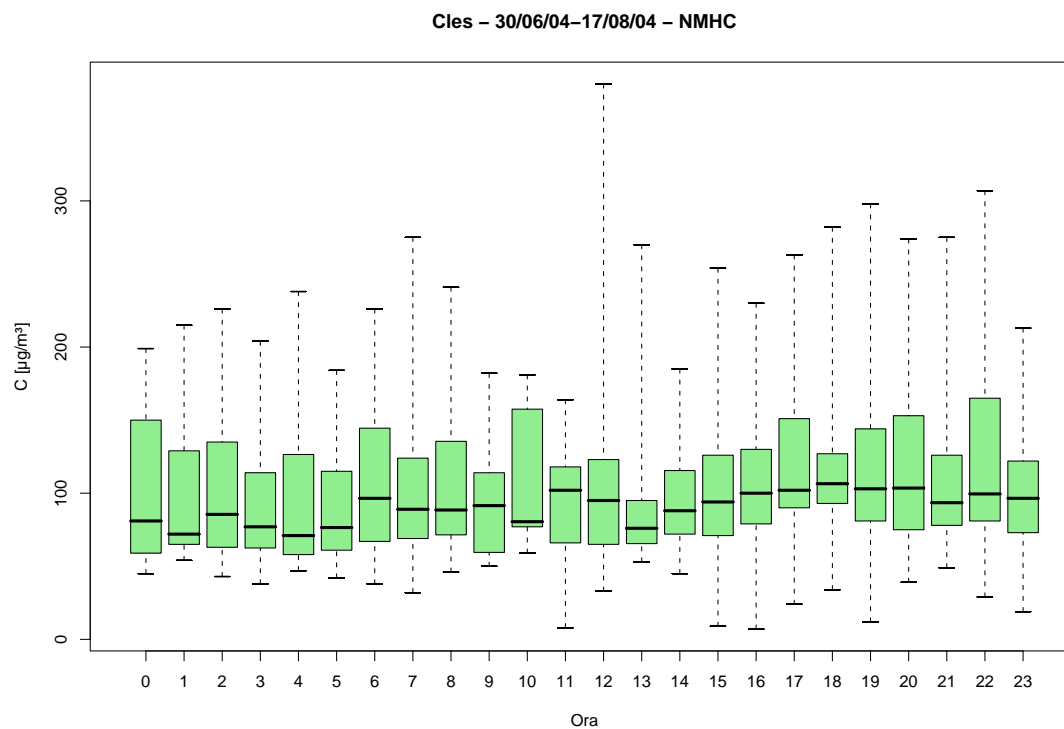


Figura 31.7: Campagna di misura a Cles (30/06/04-17/08/04), inquinante: *NMHC*. Box-plot relativo all'ora del giorno.

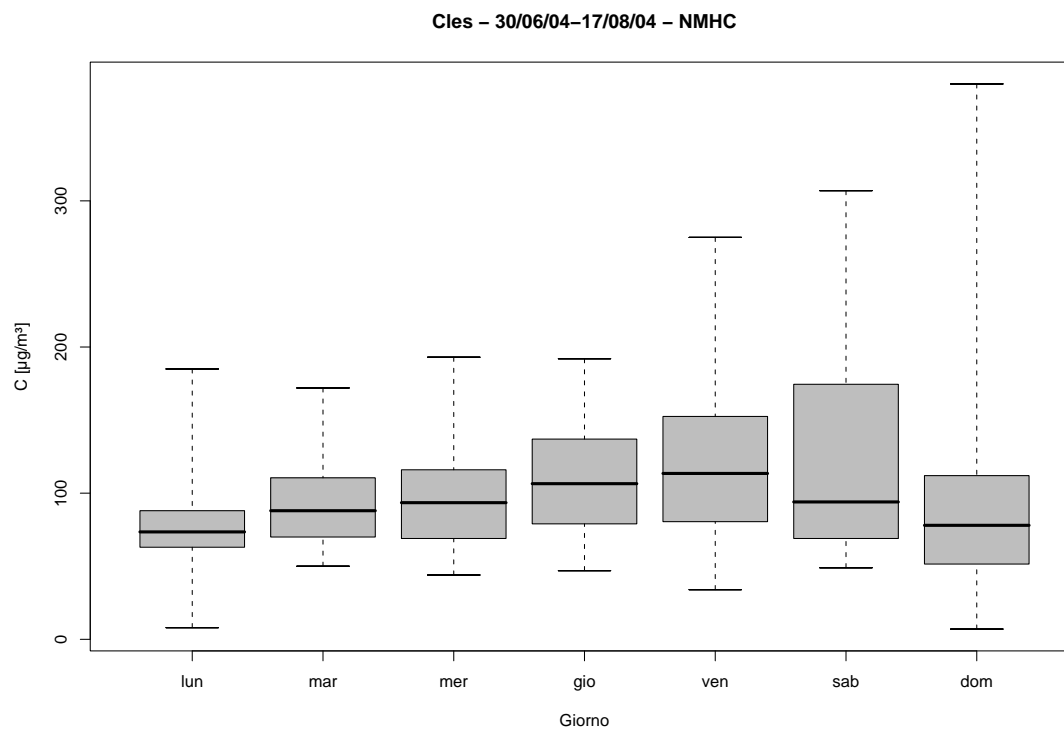


Figura 31.8: Campagna di misura a Cles (30/06/04-17/08/04), inquinante: *NMHC*. Box-plot relativo al giorno della settimana.

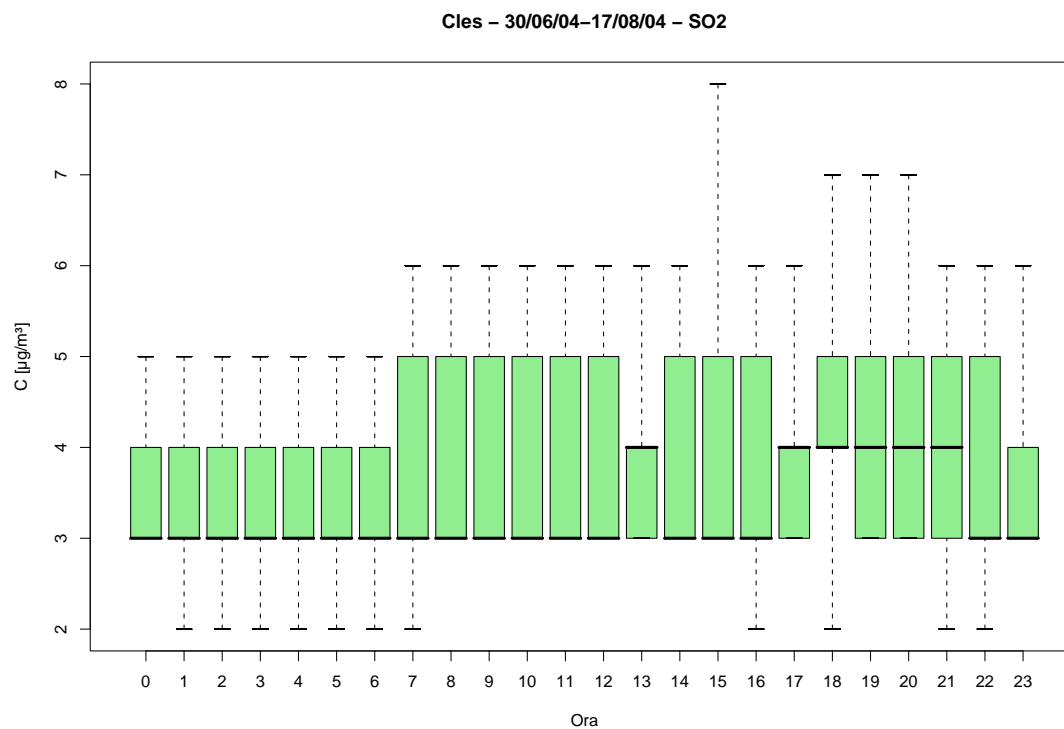


Figura 31.9: Campagna di misura a Cles (30/06/04-17/08/04), inquinante:  $SO_2$ . Box-plot relativo all'ora del giorno.

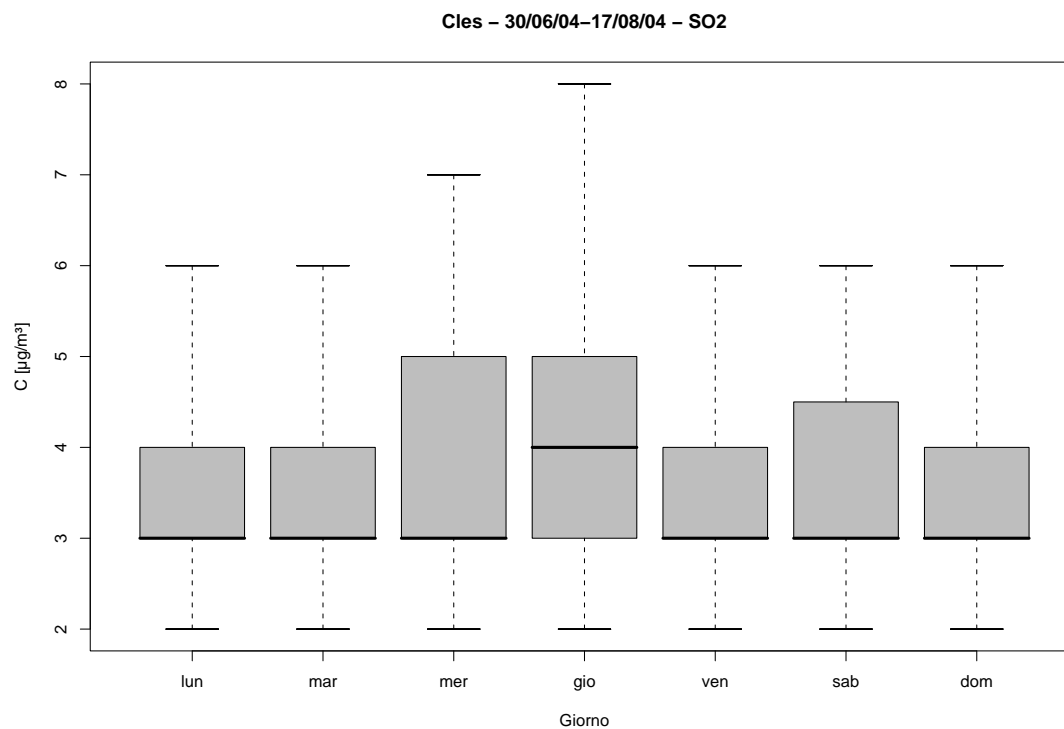


Figura 31.10: Campagna di misura a Cles (30/06/04-17/08/04), inquinante:  $SO_2$ . Box-plot relativo al giorno della settimana.

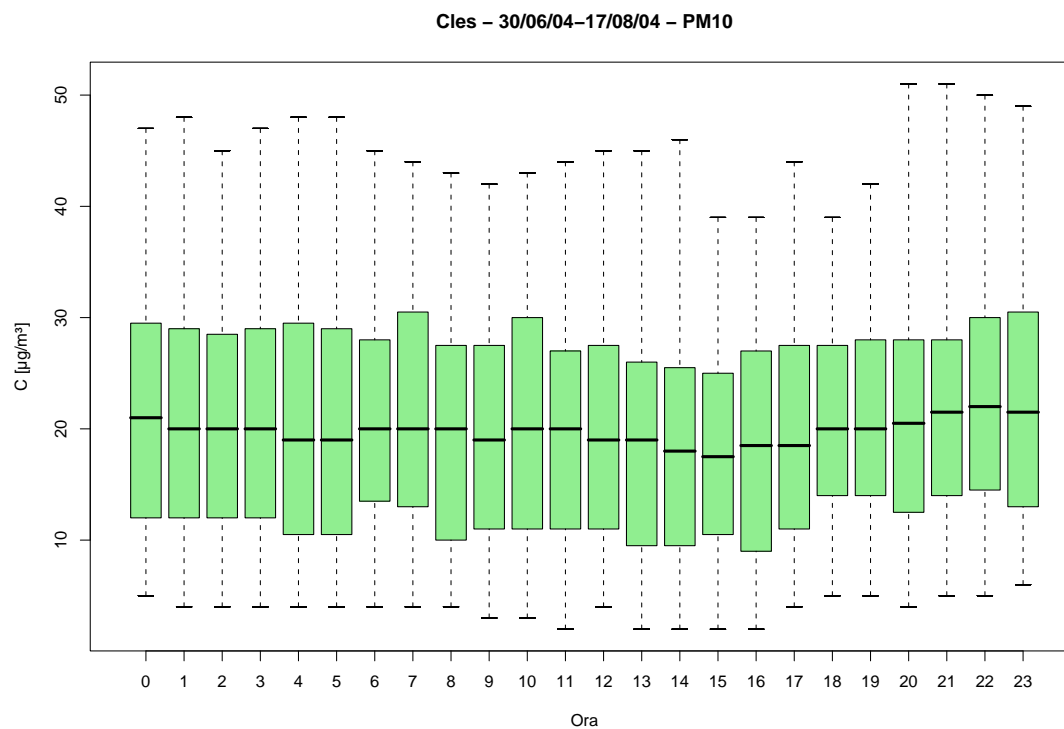


Figura 31.11: Campagna di misura a Cles (30/06/04-17/08/04), inquinante:  $PM_{10}$ . Box-plot relativo all'ora del giorno.

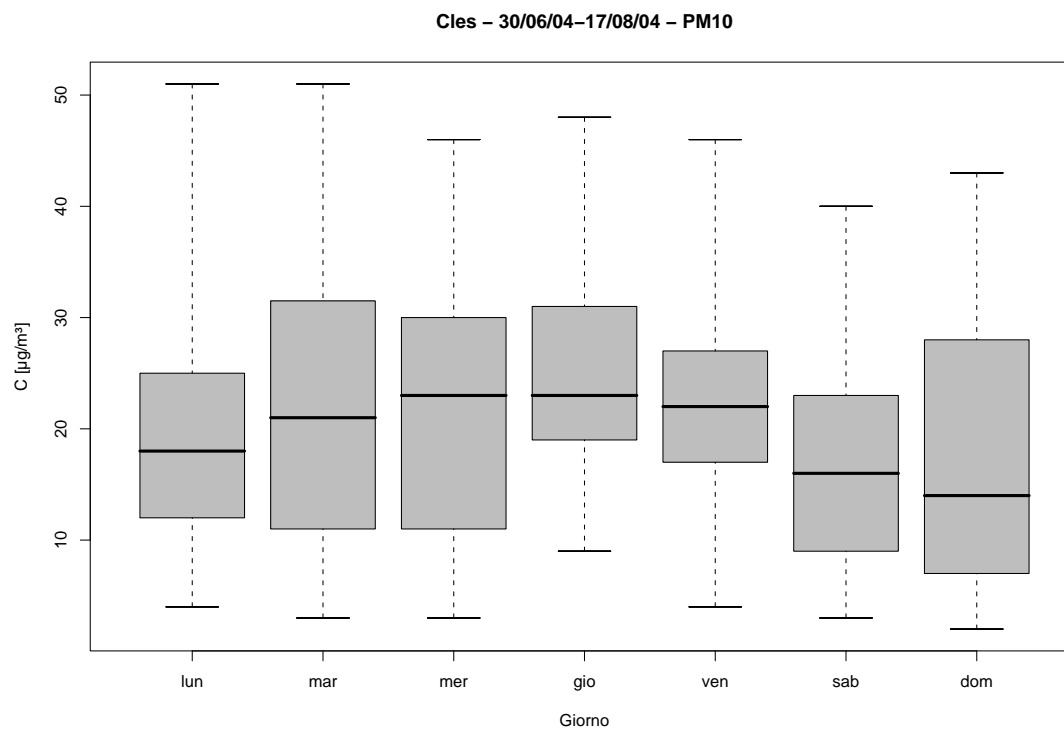


Figura 31.12: Campagna di misura a Cles (30/06/04-17/08/04), inquinante:  $PM_{10}$ . Box-plot relativo al giorno della settimana.



Cles - 30/06/04-17/08/04  
distribuzioni in frequenza e correlazioni

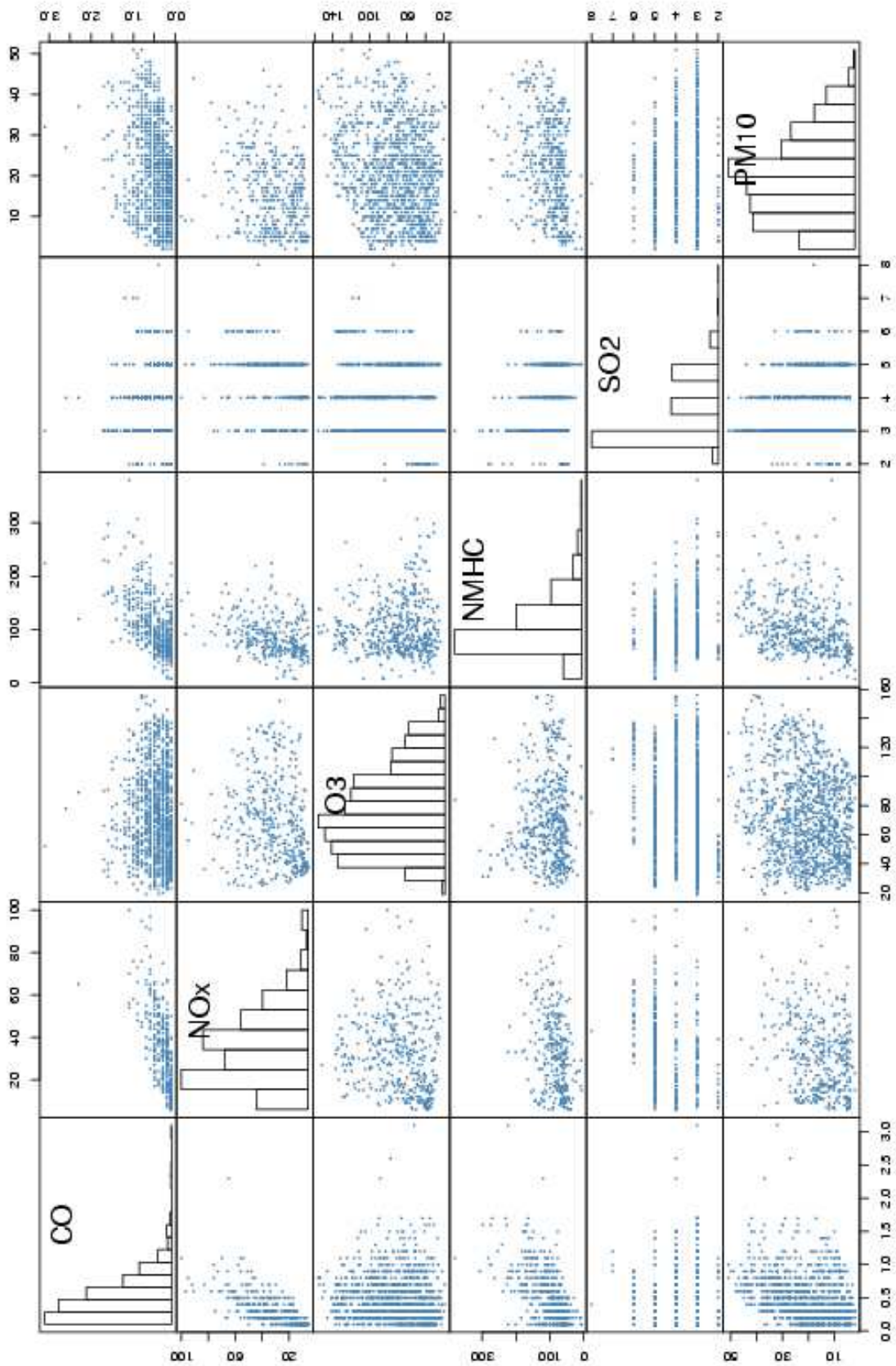
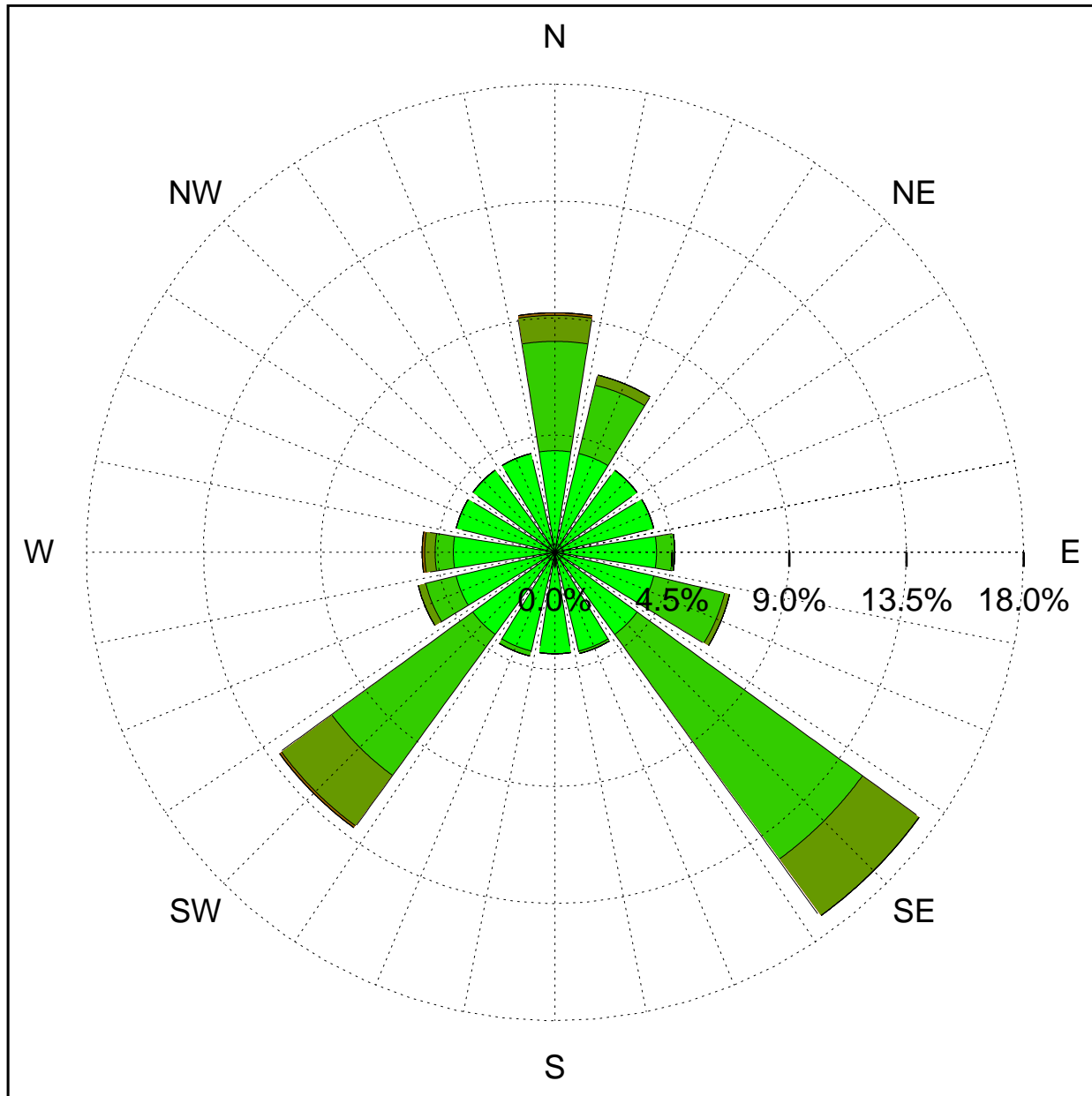


Figura 31.13: Campagna di misura a Cles (30/06/04-17/08/04). Distribuzioni in frequenza e correlazioni.

Sito di misura: Cles



Legenda - velocità [m/s]	
$v \geq 5.0$	
$3.0 \leq v < 5.0$	
$2.0 \leq v < 3.0$	
$1.0 \leq v < 2.0$	
$0.5 \leq v < 1.0$	
calma ( $v < 0.5$ )	

Figura 31.14: Campagna di misura a Cles (30/06/04-17/08/04). Rosa dei venti.

## 32 Campagna di misura a Moena

**Campagna di misura** dal 30/07/04 al 31/08/04

**Inquinanti rilevati:**  $CO$ ,  $NO_x$ ,  $O_3$ ,  $SO_2$ ,  $PM_{10}$

**Parametri meteorologici misurati:** velocità del vento, direzione del vento, temperatura, umidità relativa

**Note:** I grafici mostrano per il  $CO$  e per gli  $NO_X$  un andamento che presenta un picco in tarda mattinata, intorno alle ore 10, e un picco serale tra le 18 e le 19. Le  $PM_{10}$  presentano invece solo un picco intorno alle 8 del mattino, si nota poi che la concentrazione durante media durante il giorno è più bassa di quella notturna. Non sono presenti per nessun inquinante cicli settimanali ben marcati. Il ciclo giornaliero dell'ozono presenta un picco tra le 12 e le 14, i valori di concentrazione scendono poi molto fino a raggiungere il minimo intorno alle 7. Da non considerare invece sono i dati relativi alla  $SO_2$ .

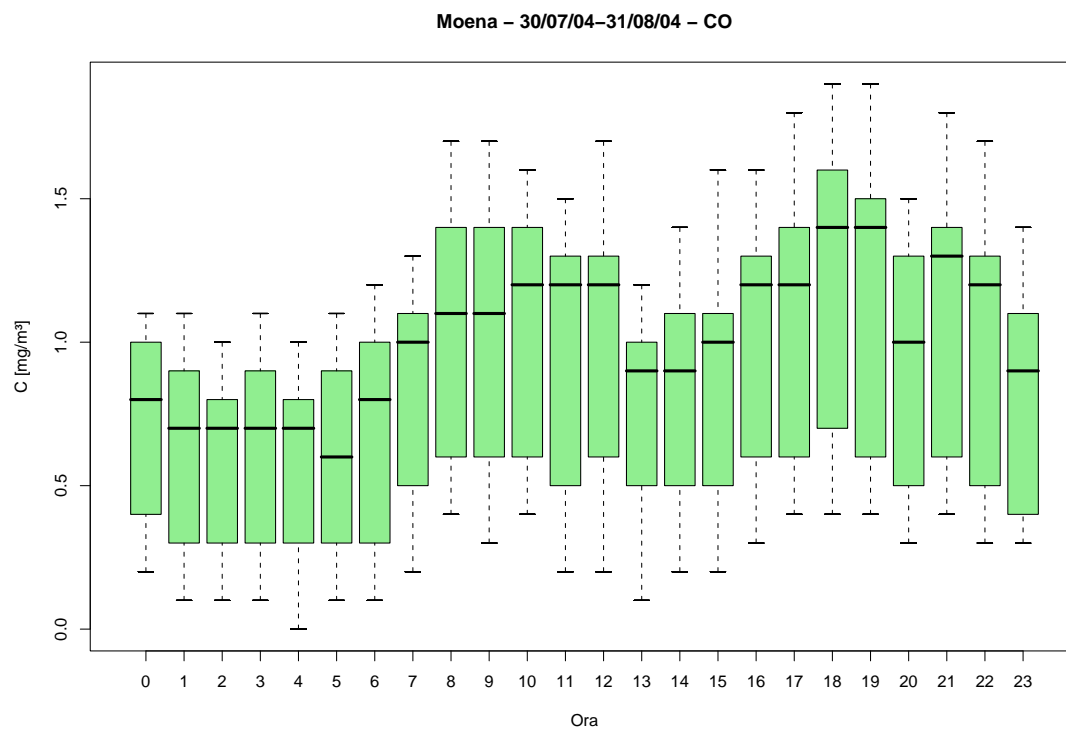


Figura 32.1: Campagna di misura a Moena (30/07/04-31/08/04), inquinante: *CO*. Box-plot relativo all'ora del giorno.

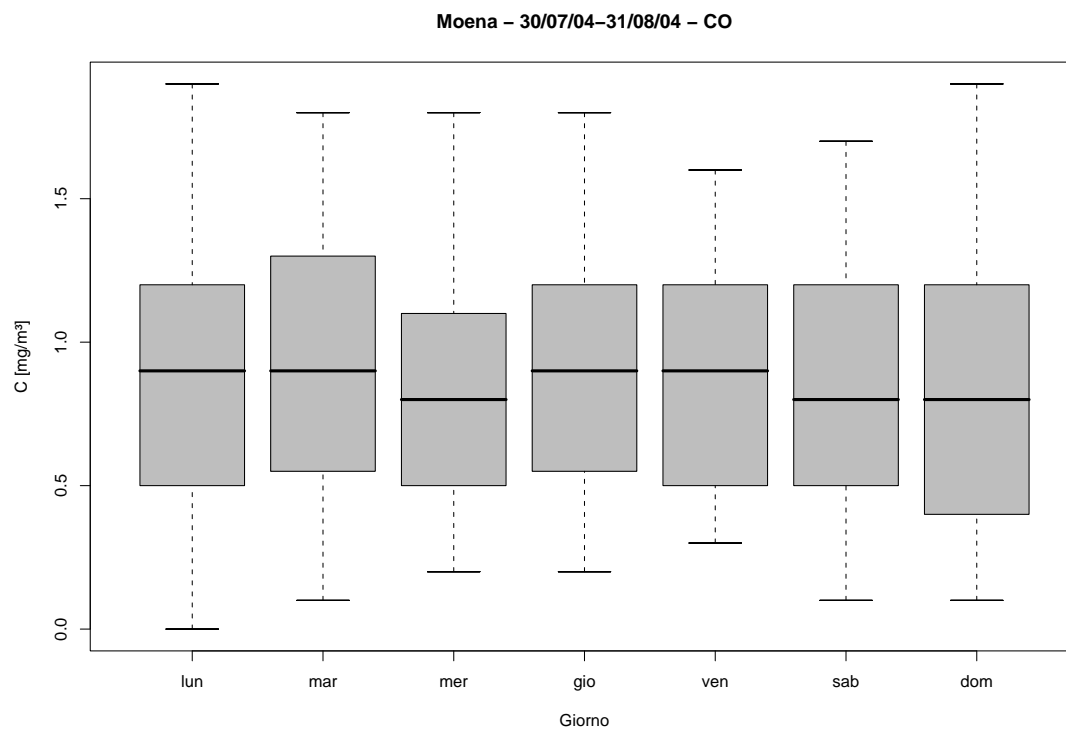


Figura 32.2: Campagna di misura a Moena (30/07/04-31/08/04), inquinante: *CO*. Box-plot relativo al giorno della settimana.

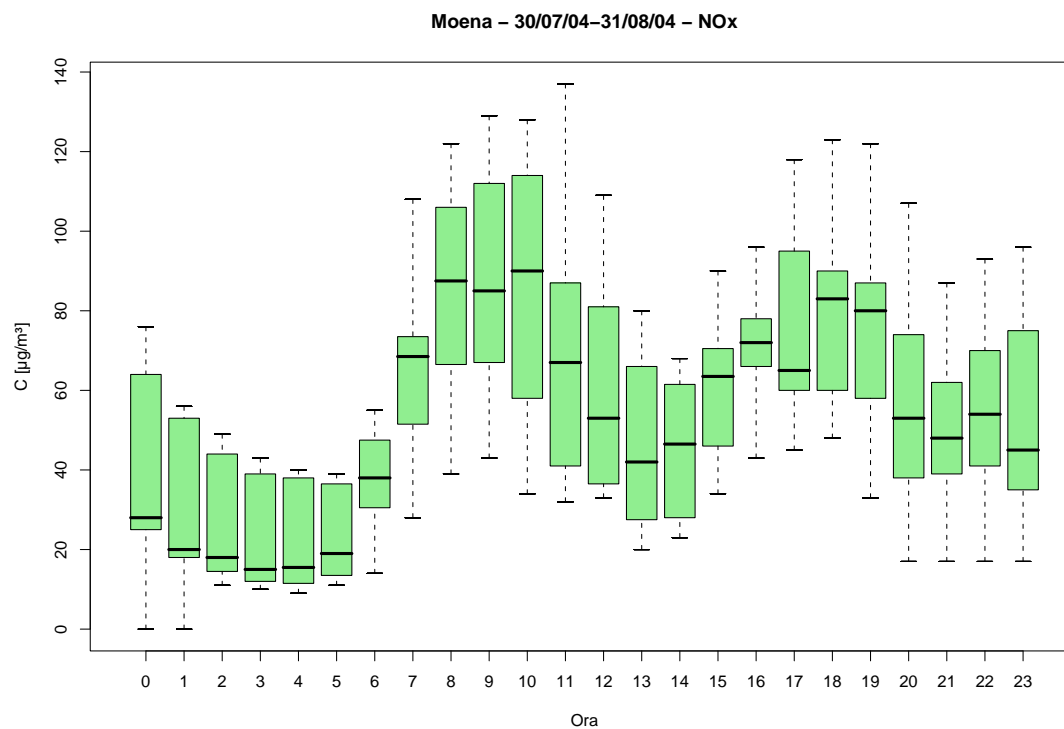


Figura 32.3: Campagna di misura a Moena (30/07/04-31/08/04), inquinante:  $NO_x$ . Box-plot relativo all'ora del giorno.

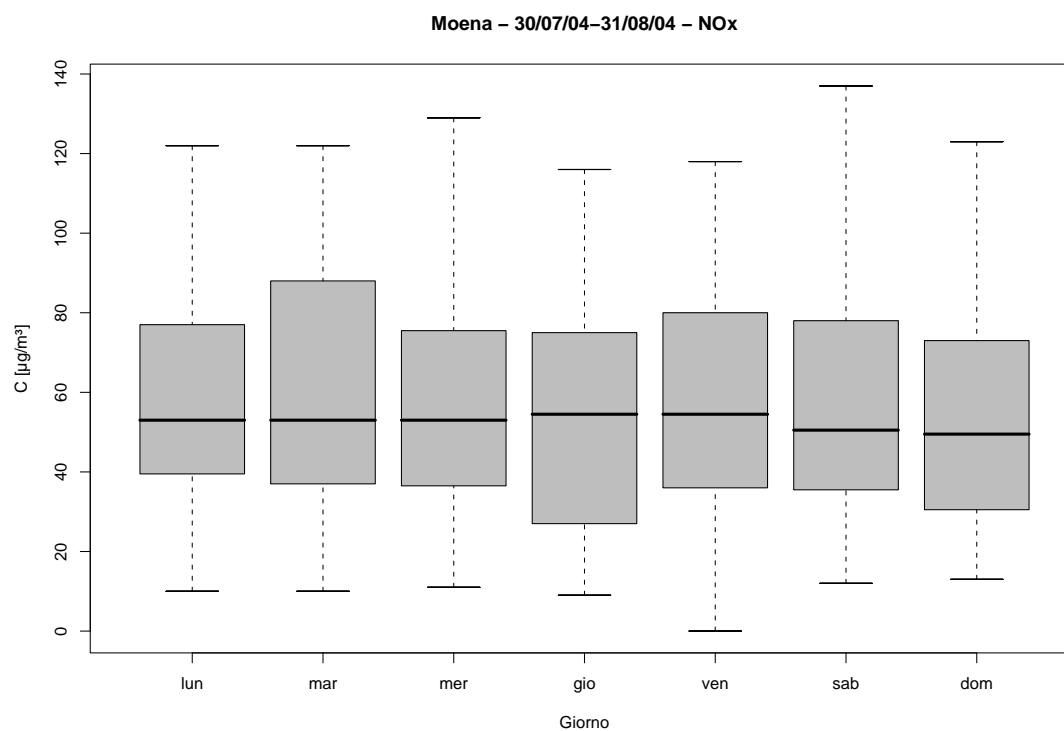


Figura 32.4: Campagna di misura a Moena (30/07/04-31/08/04), inquinante:  $NO_x$ . Box-plot relativo al giorno della settimana.

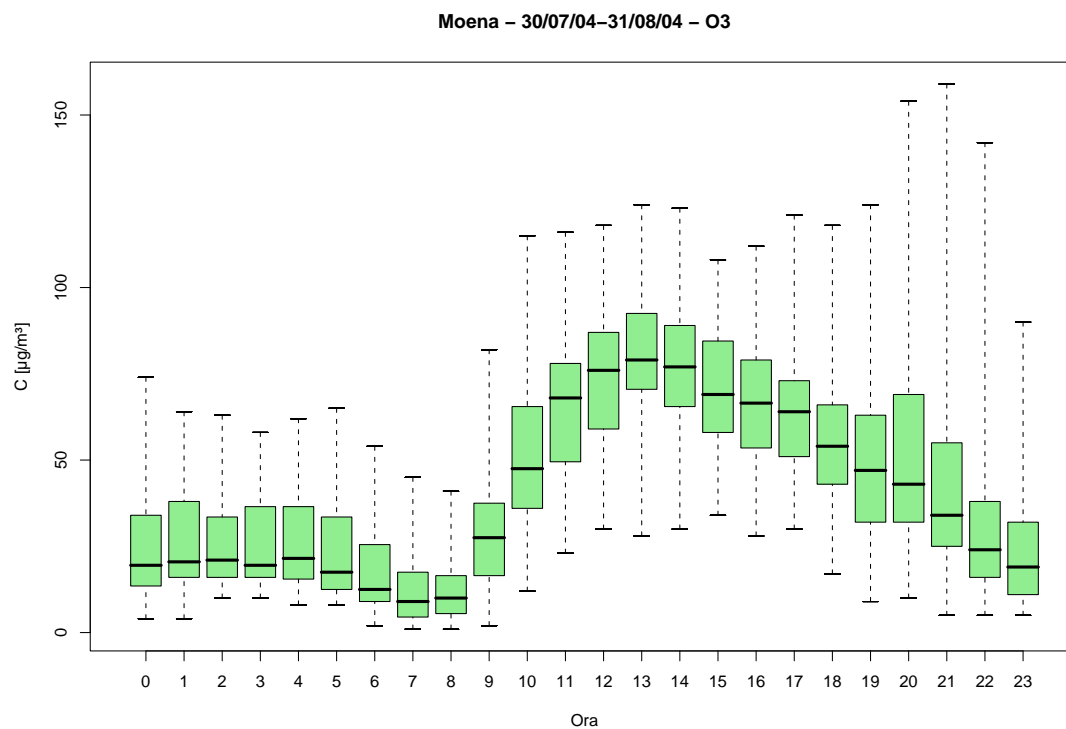


Figura 32.5: Campagna di misura a Moena (30/07/04-31/08/04), inquinante:  $O_3$ . Box-plot relativo all'ora del giorno.

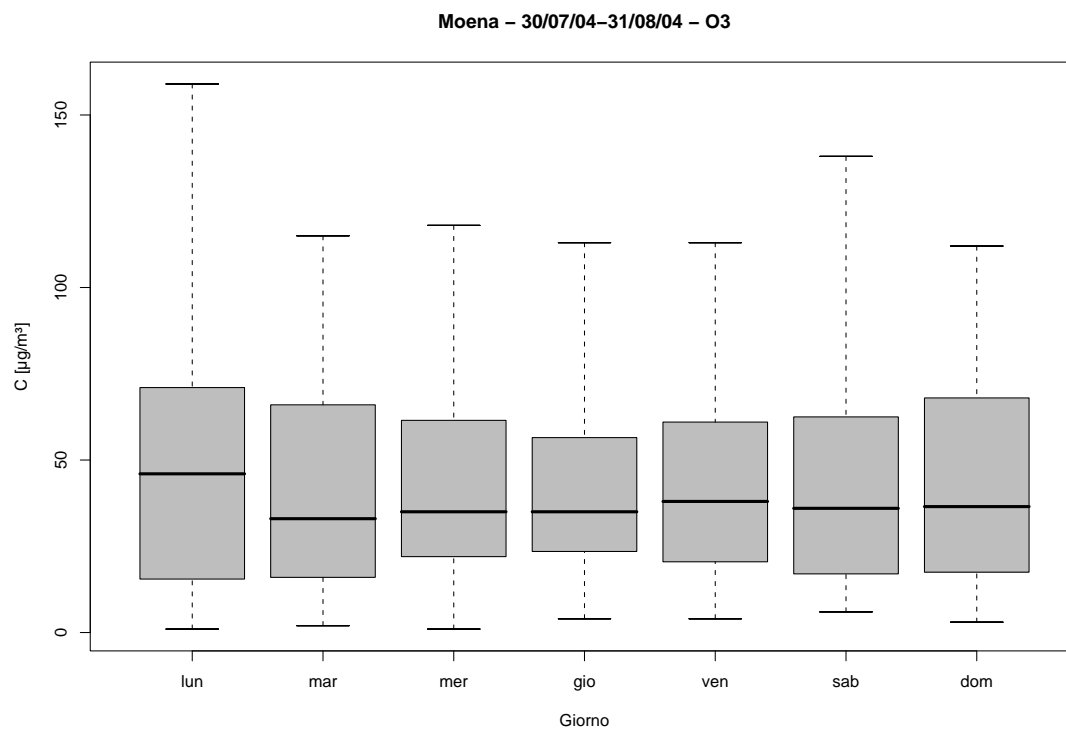


Figura 32.6: Campagna di misura a Moena (30/07/04-31/08/04), inquinante:  $O_3$ . Box-plot relativo al giorno della settimana.

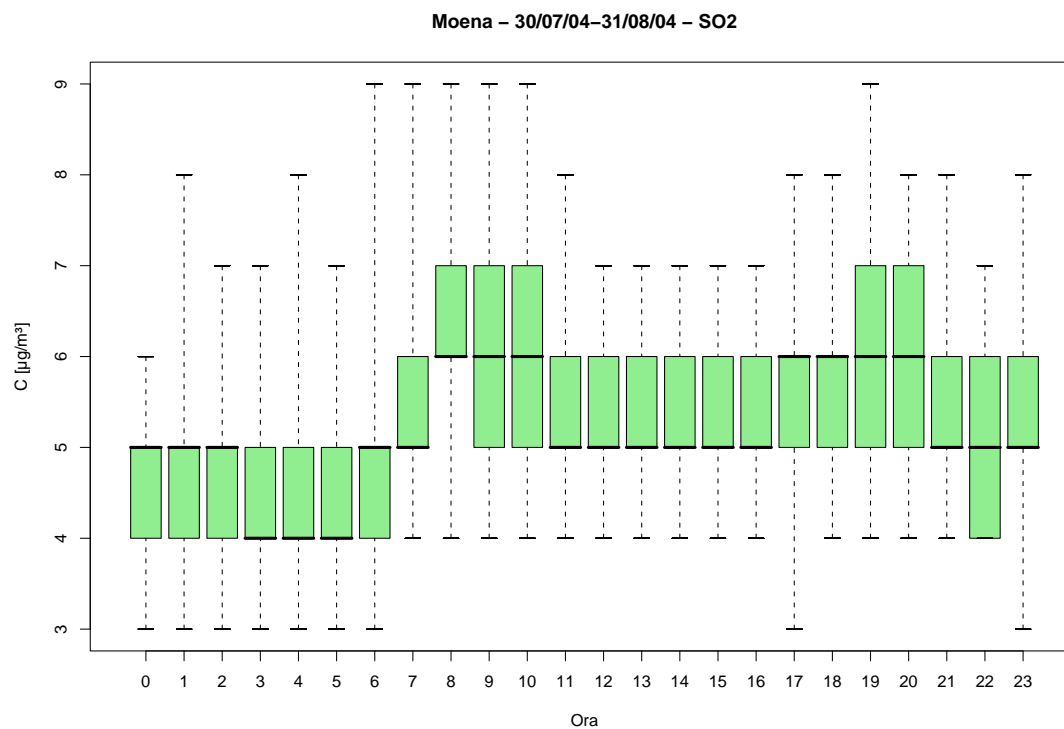


Figura 32.7: Campagna di misura a Moena (30/07/04-31/08/04), inquinante:  $SO_2$ . Box-plot relativo all'ora del giorno.

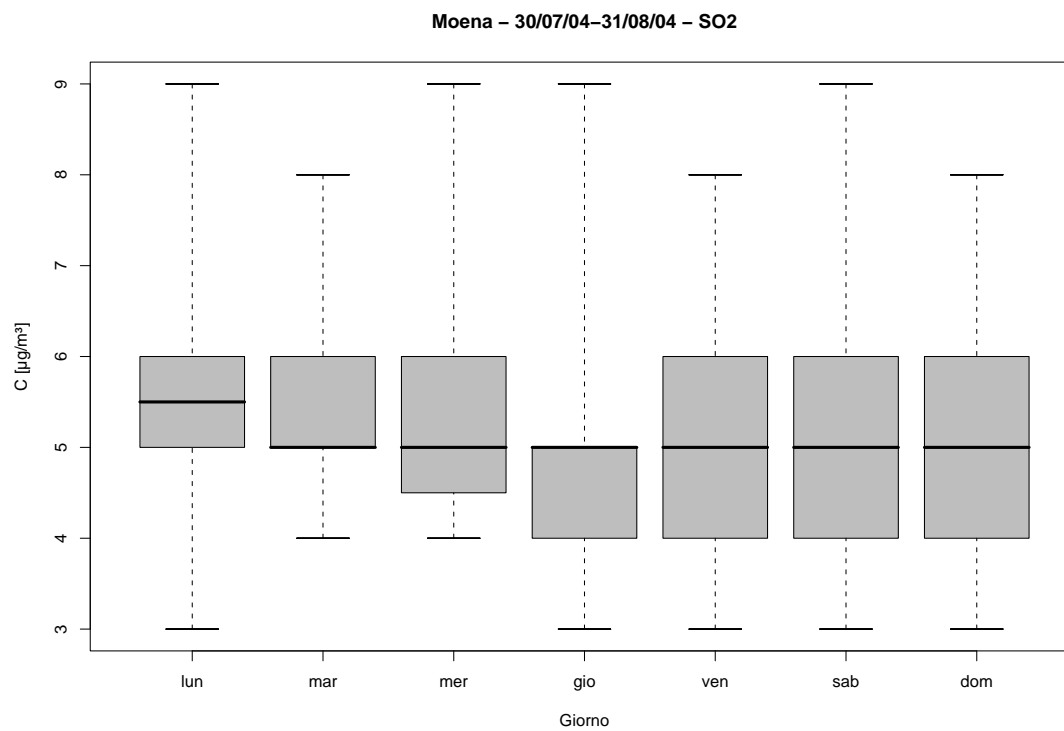


Figura 32.8: Campagna di misura a Moena (30/07/04-31/08/04), inquinante:  $SO_2$ . Box-plot relativo al giorno della settimana.

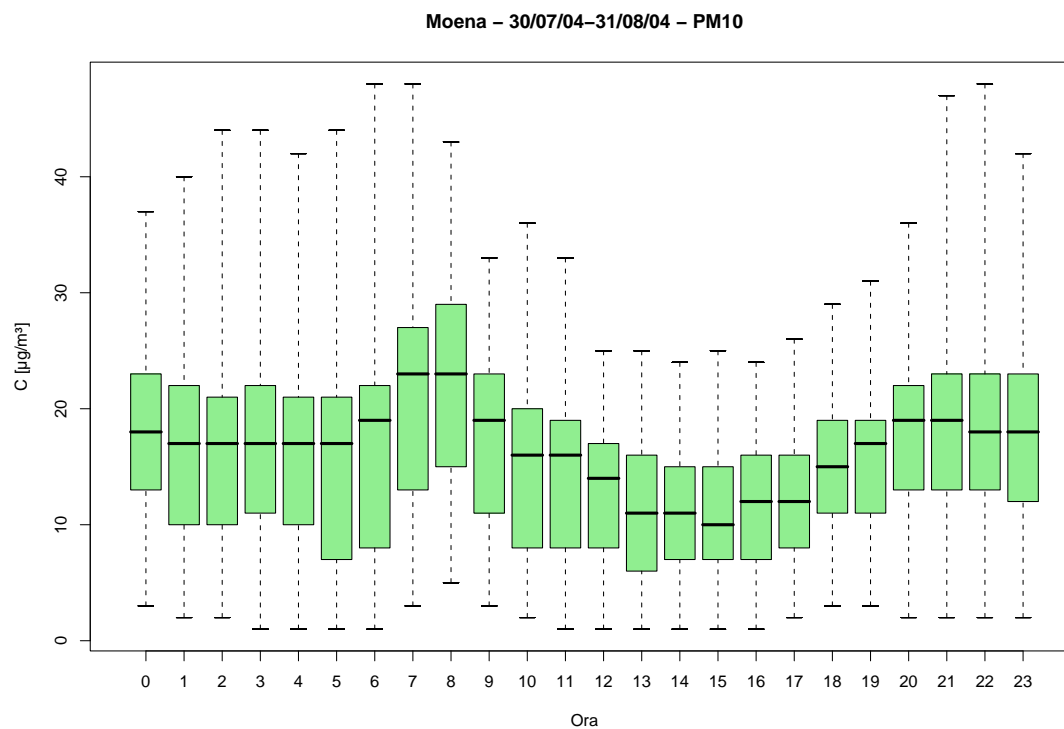


Figura 32.9: Campagna di misura a Moena (30/07/04-31/08/04), inquinante:  $PM_{10}$ . Box-plot relativo all'ora del giorno.

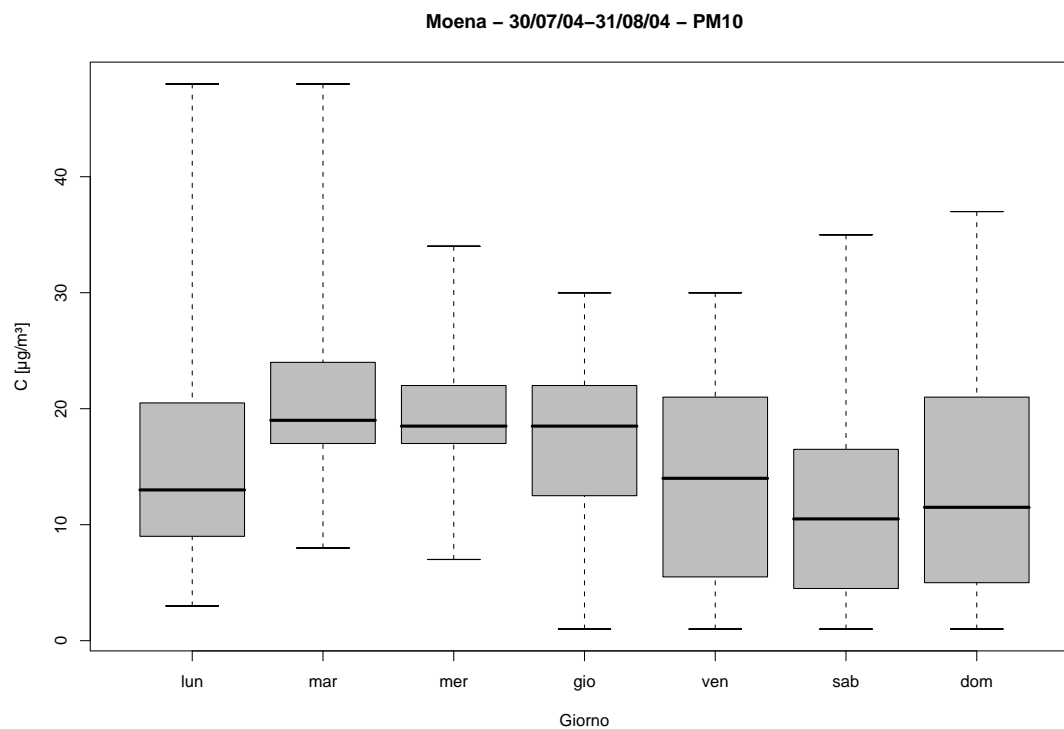


Figura 32.10: Campagna di misura a Moena (30/07/04-31/08/04), inquinante:  $PM_{10}$ . Box-plot relativo al giorno della settimana.



Moena - 30/07/04-31/08/04  
distribuzioni in frequenza e correlazioni

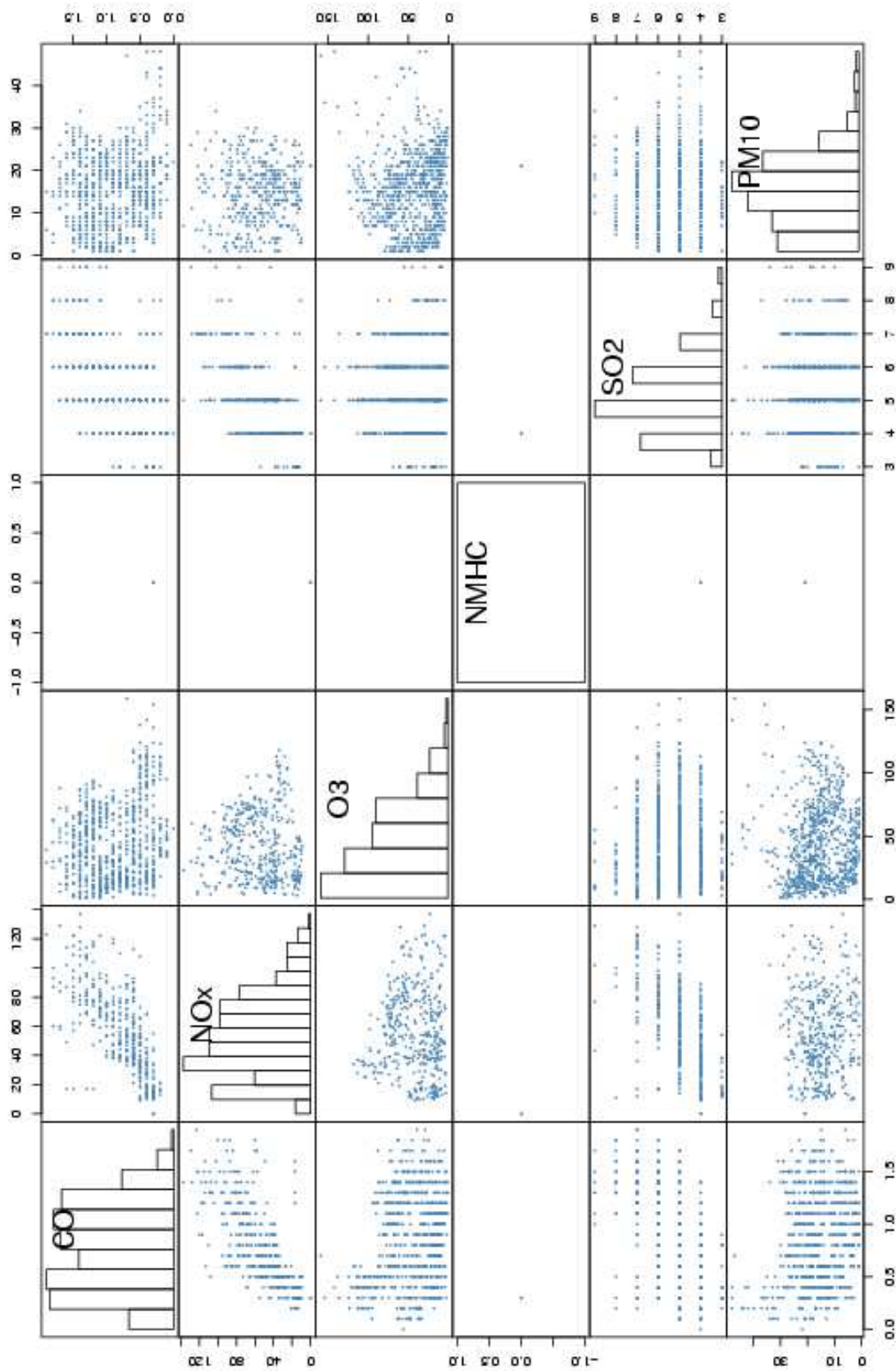


Figura 32.11: Campagna di misura a Moena (30/07/04-31/08/04). Distribuzioni in frequenza e correlazioni.

Sito di misura: Moena

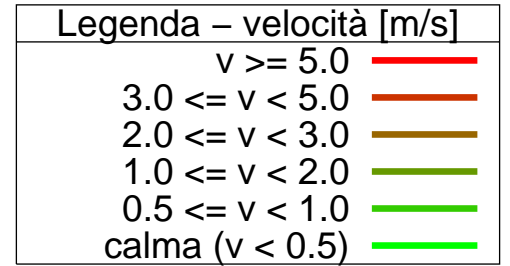
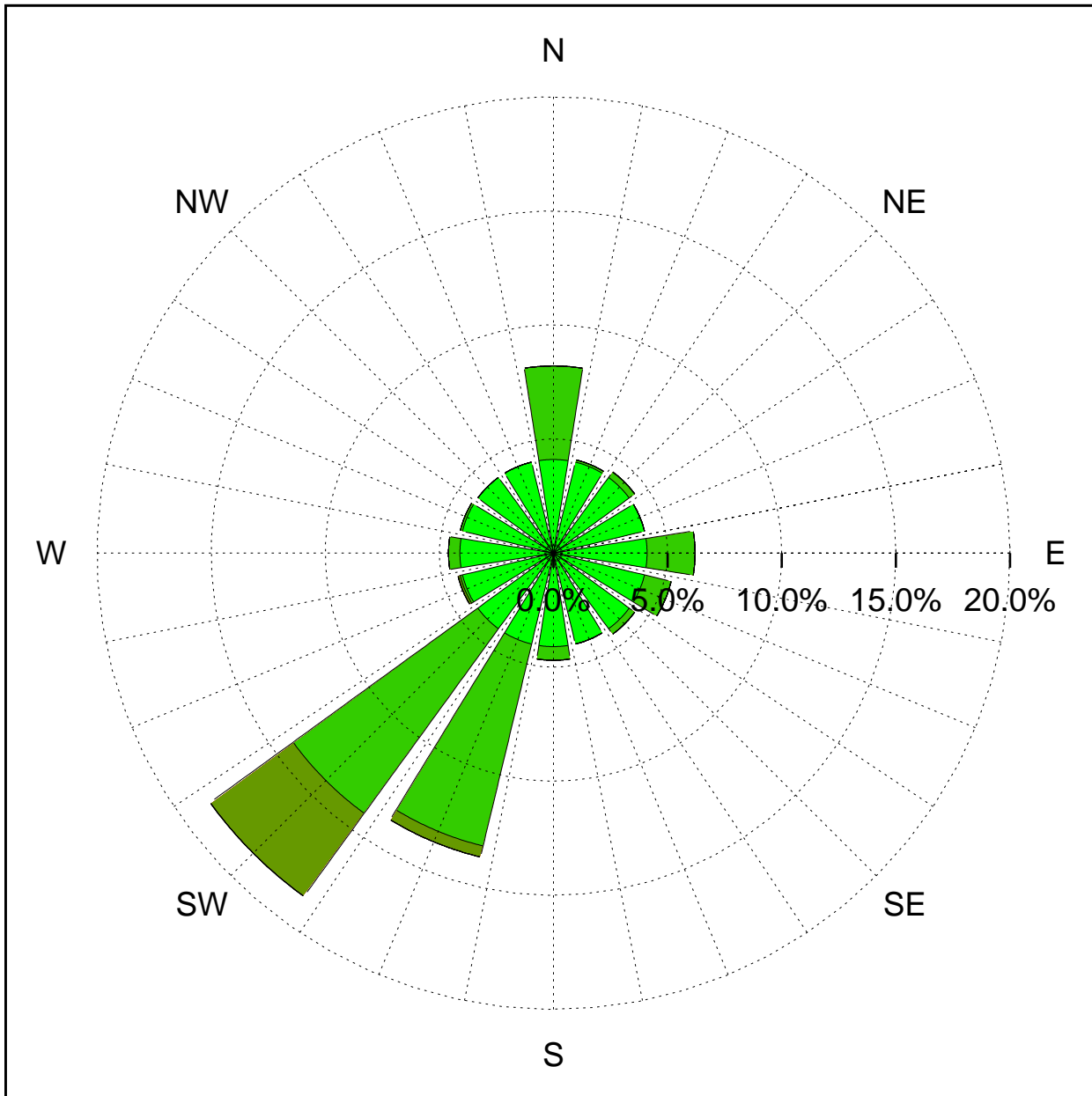


Figura 32.12: Campagna di misura a Moena (30/07/04-31/08/04). Rosa dei venti.

## 33 Campagna di misura a Ala

**Campagna di misura** dal 21/04/05 al 18/05/05

**Inquinanti rilevati:**  $CO$ ,  $NO_x$ ,  $O_3$ ,  $SO_2$ ,  $PM_{10}$

**Parametri meteorologici misurati:** velocità del vento, direzione del vento, temperatura, umidità relativa, pioggia, radiazione globale

**Note:** L'andamento giornaliero degli inquinanti mostra un picco molto elevato intorno alle 8 del mattino e un picco un po meno marcato intorno alle 19. I dati relativi alla  $SO_2$  mostrano invece un solo picco intorno alle 8 mentre i valori di concentrazione delle  $PM_{10}$  non presentano un ciclo giornaliero. L'ozono presenta l'andamento giornaliero tipico, con massimo nel pomeriggio intorno alle 16 e valori che scendono fino a raggiungere il minimo tra le 7 e le 8 del mattino.

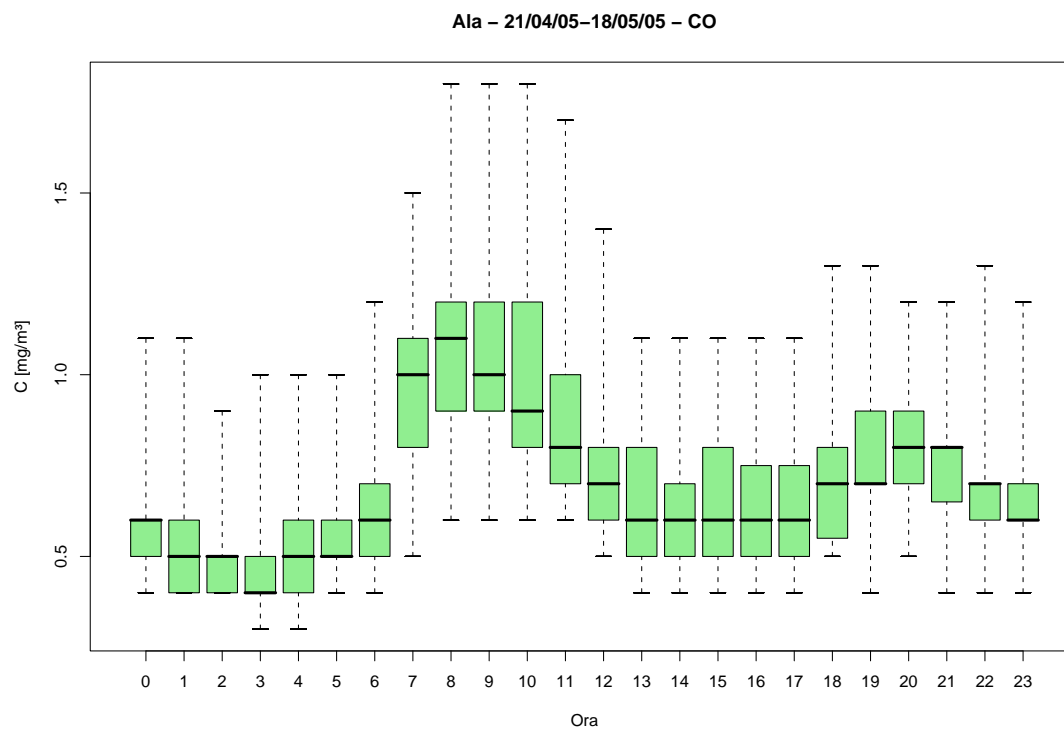


Figura 33.1: Campagna di misura a Ala (21/04/05-18/05/05), inquinante: *CO*. Box-plot relativo all'ora del giorno.

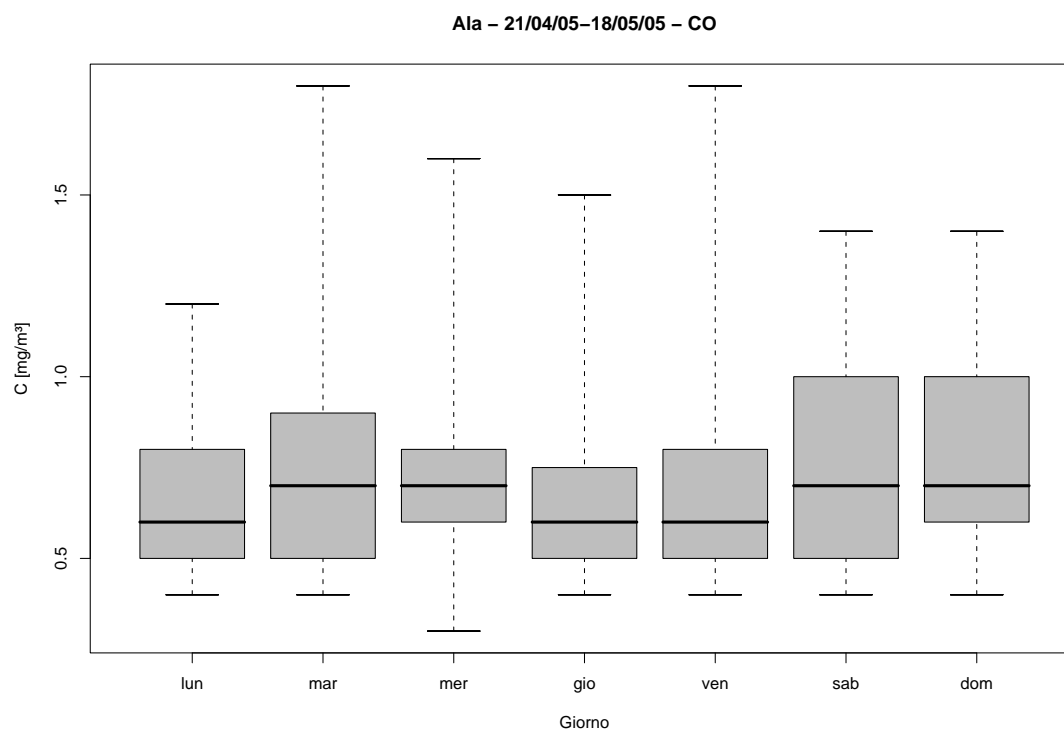


Figura 33.2: Campagna di misura a Ala (21/04/05-18/05/05), inquinante: *CO*. Box-plot relativo al giorno della settimana.

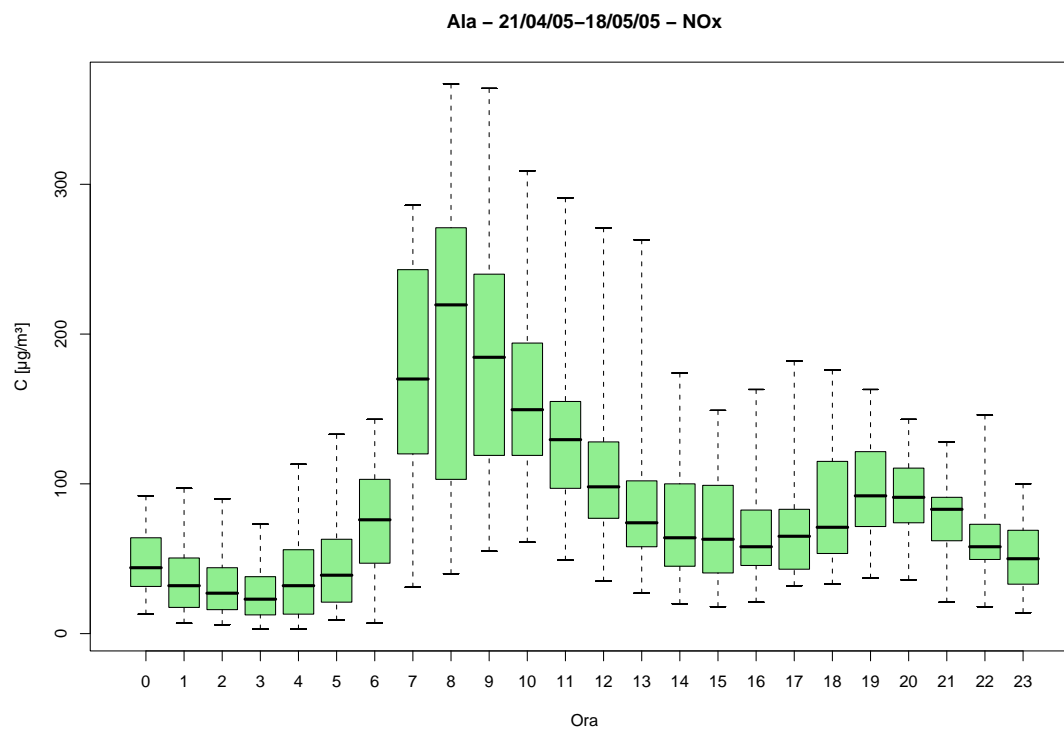


Figura 33.3: Campagna di misura a Ala (21/04/05-18/05/05), inquinante:  $NO_x$ . Box-plot relativo all'ora del giorno.

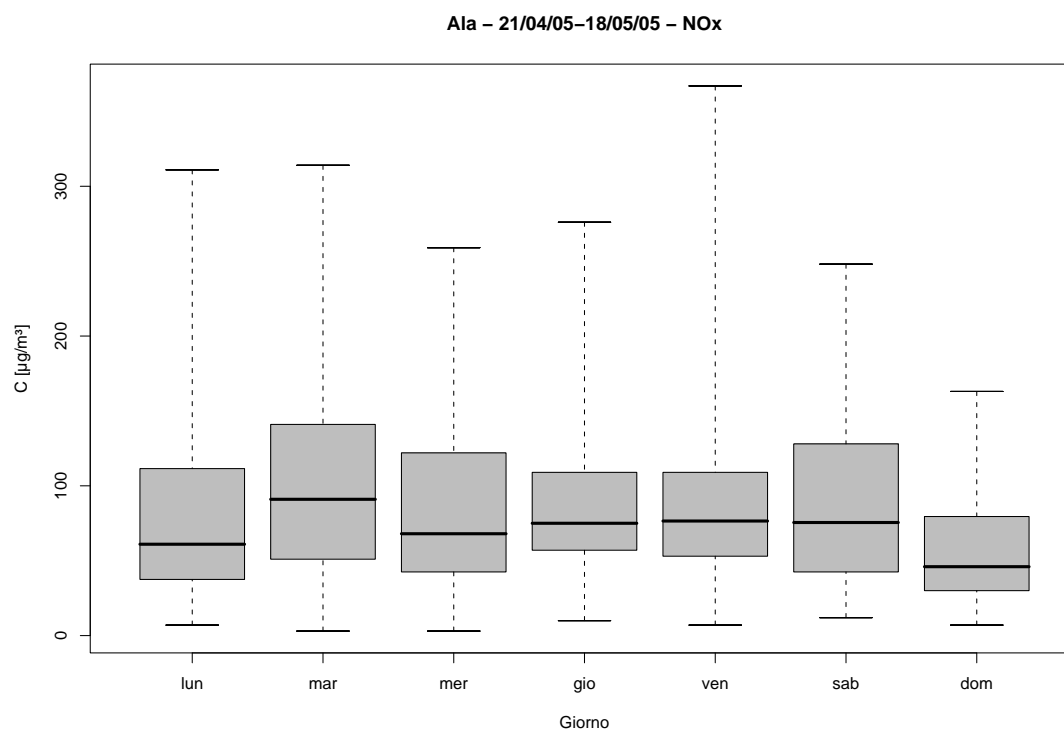


Figura 33.4: Campagna di misura a Ala (21/04/05-18/05/05), inquinante:  $NO_x$ . Box-plot relativo al giorno della settimana.

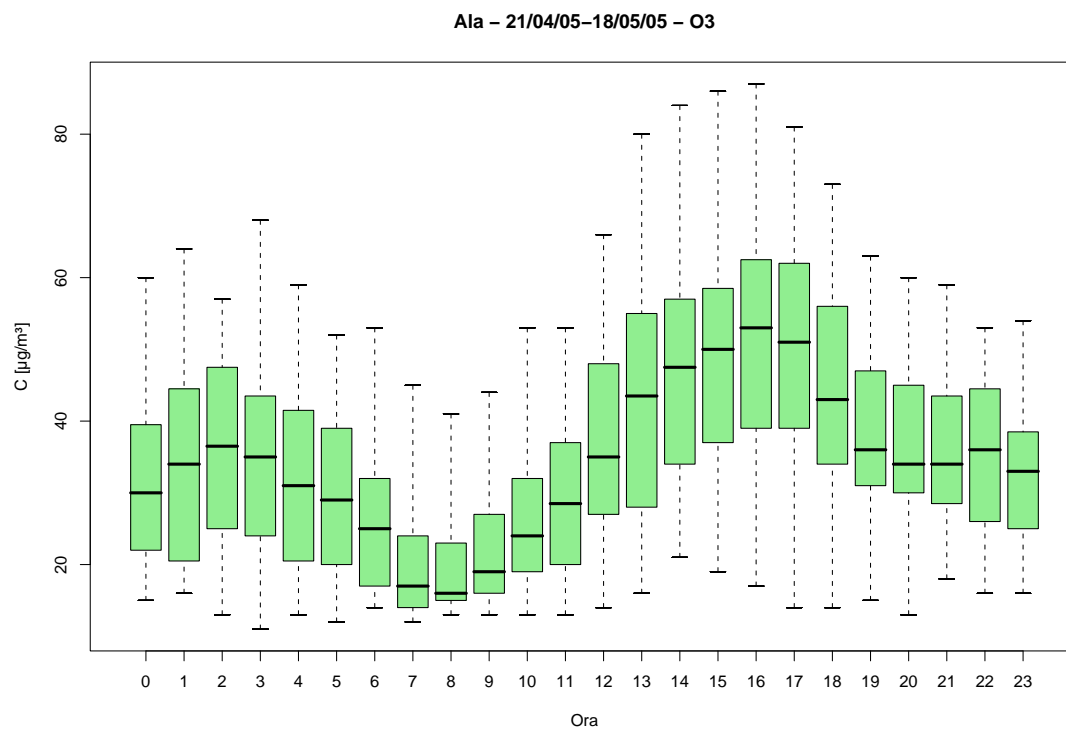


Figura 33.5: Campagna di misura a Ala (21/04/05-18/05/05), inquinante:  $O_3$ . Box-plot relativo all'ora del giorno.

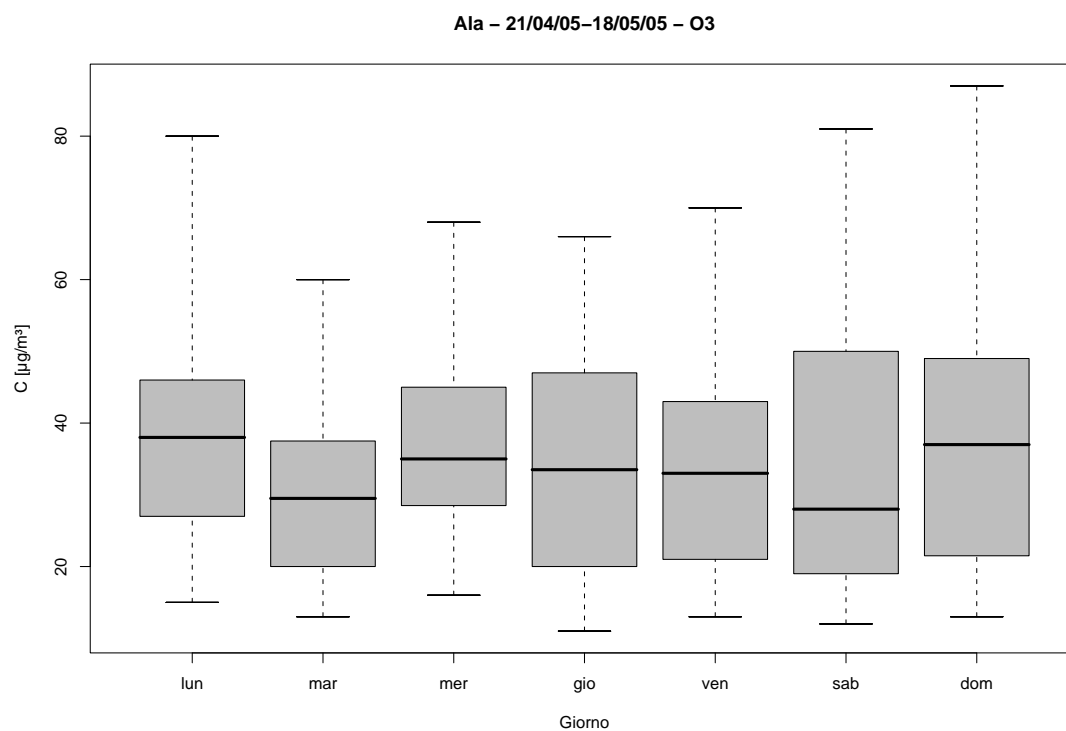


Figura 33.6: Campagna di misura a Ala (21/04/05-18/05/05), inquinante:  $O_3$ . Box-plot relativo al giorno della settimana.

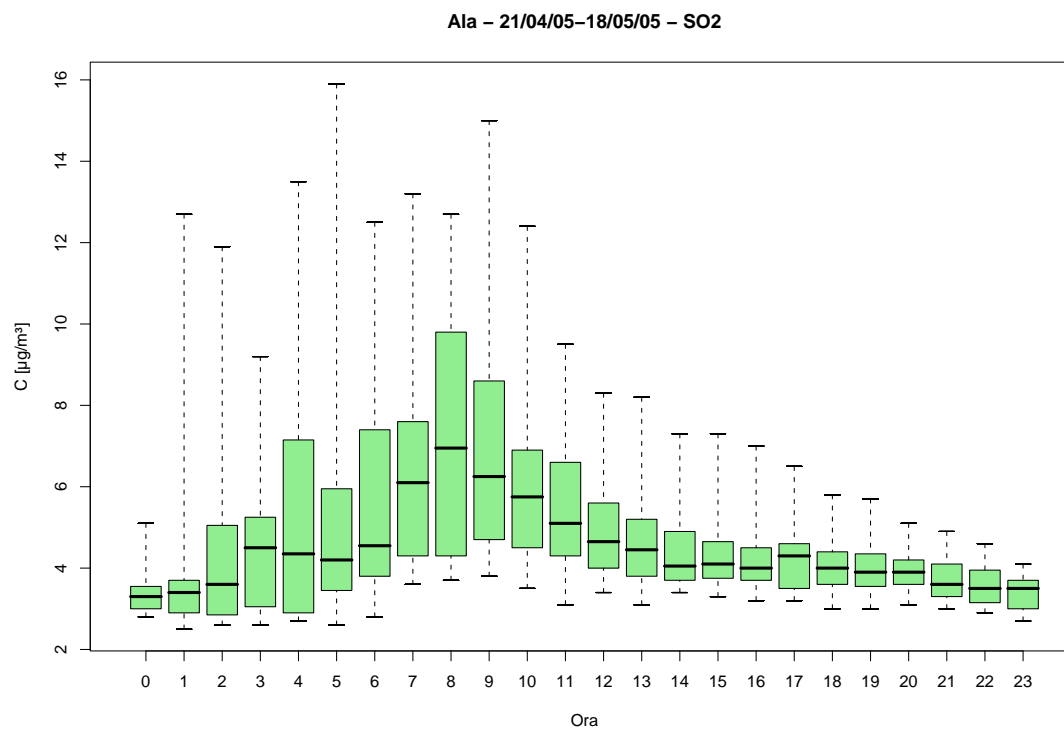


Figura 33.7: Campagna di misura a Ala (21/04/05-18/05/05), inquinante:  $SO_2$ . Box-plot relativo all'ora del giorno.

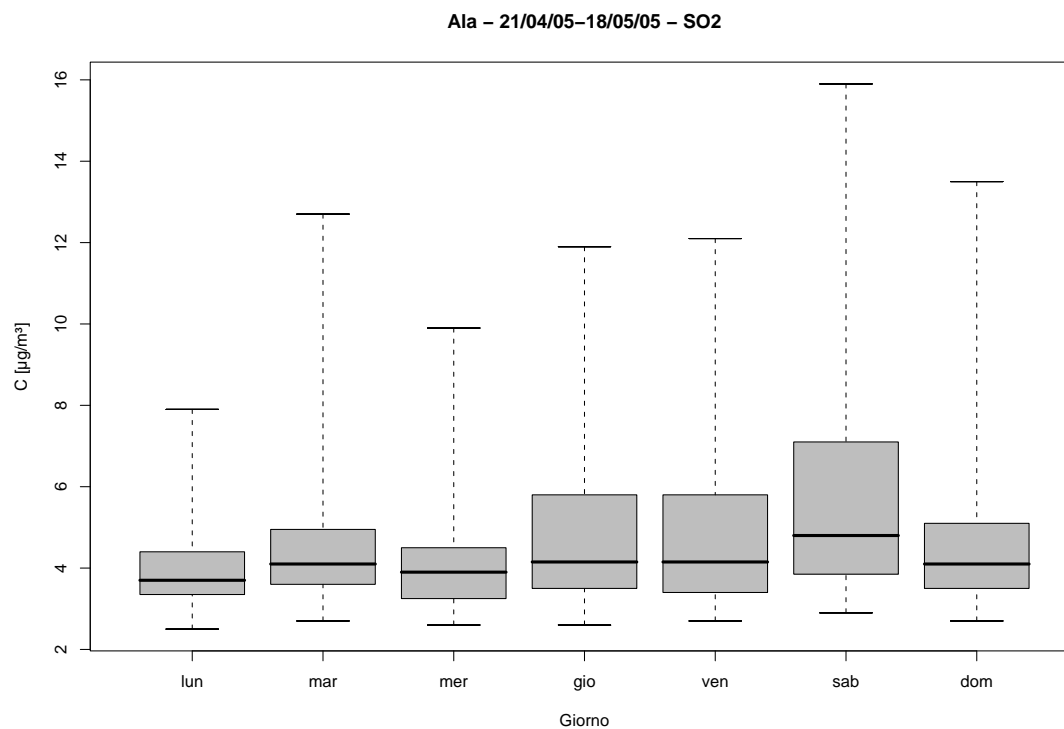


Figura 33.8: Campagna di misura a Ala (21/04/05-18/05/05), inquinante:  $SO_2$ . Box-plot relativo al giorno della settimana.

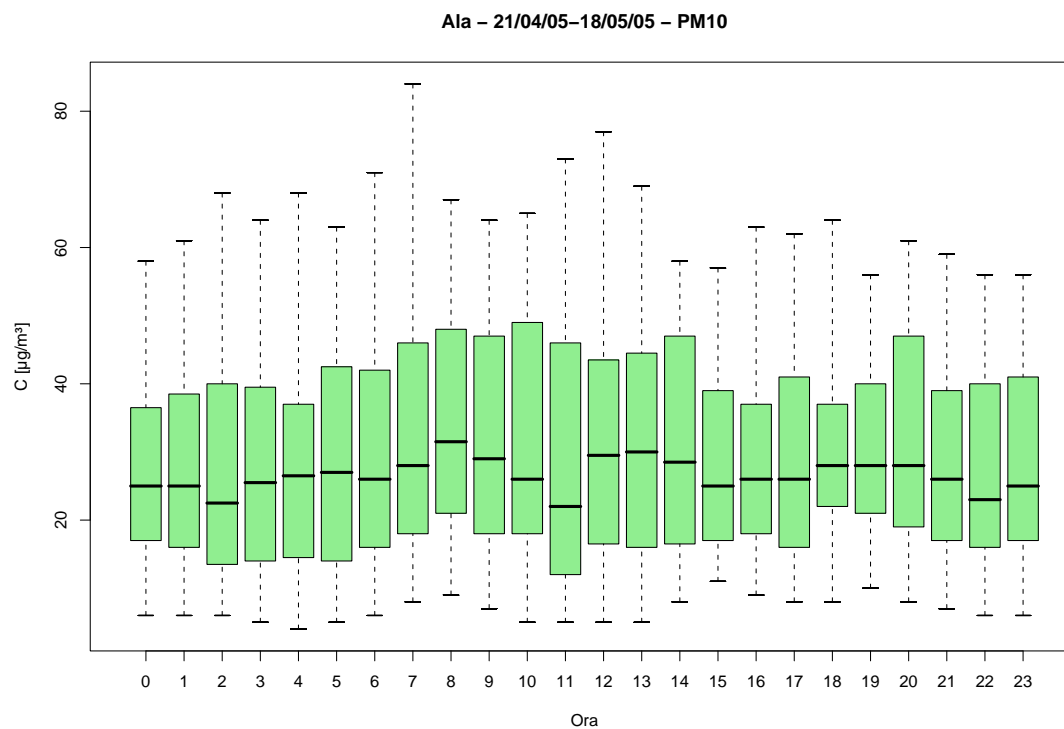


Figura 33.9: Campagna di misura a Ala (21/04/05-18/05/05), inquinante:  $PM_{10}$ . Box-plot relativo all'ora del giorno.

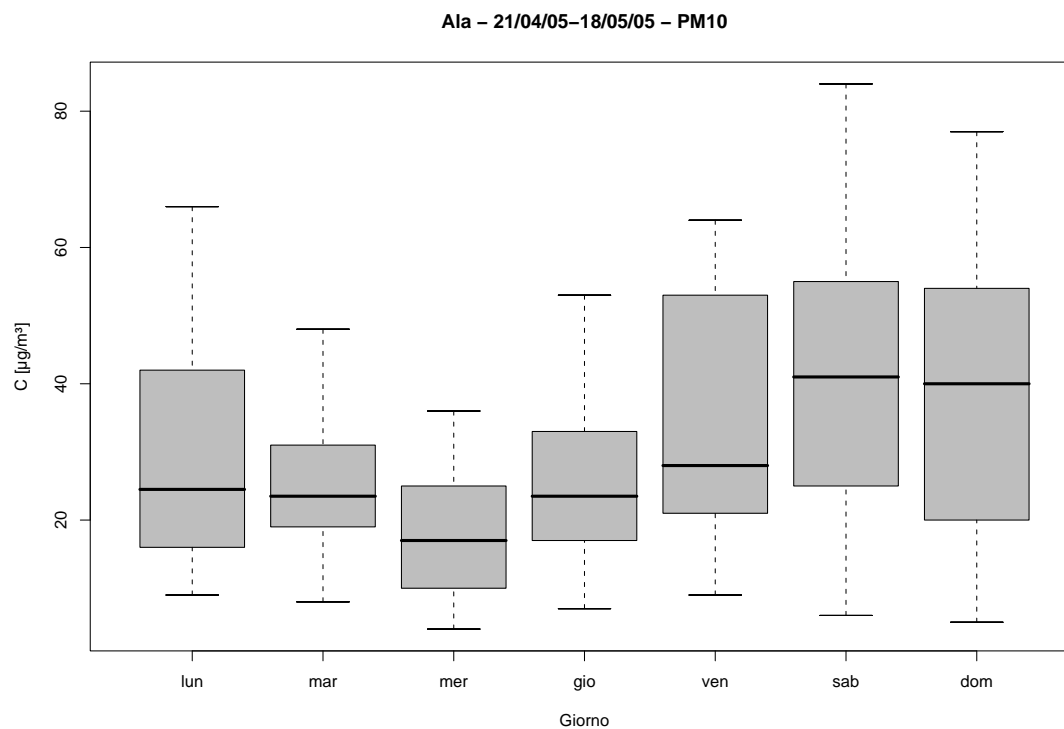


Figura 33.10: Campagna di misura a Ala (21/04/05-18/05/05), inquinante:  $PM_{10}$ . Box-plot relativo al giorno della settimana.



**Ala - 21/04/05-18/05/05**  
**distribuzioni in frequenza e correlazioni**

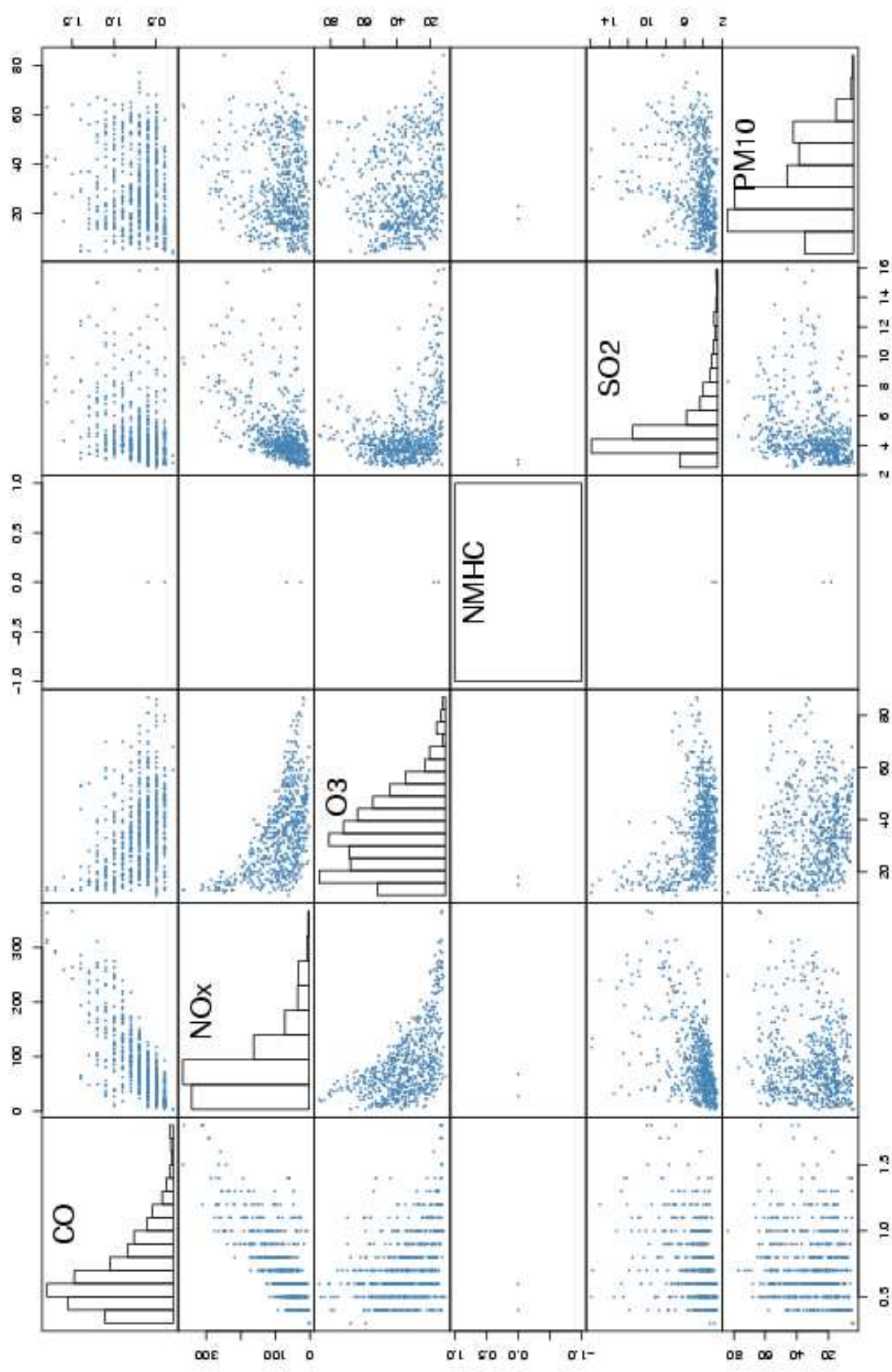
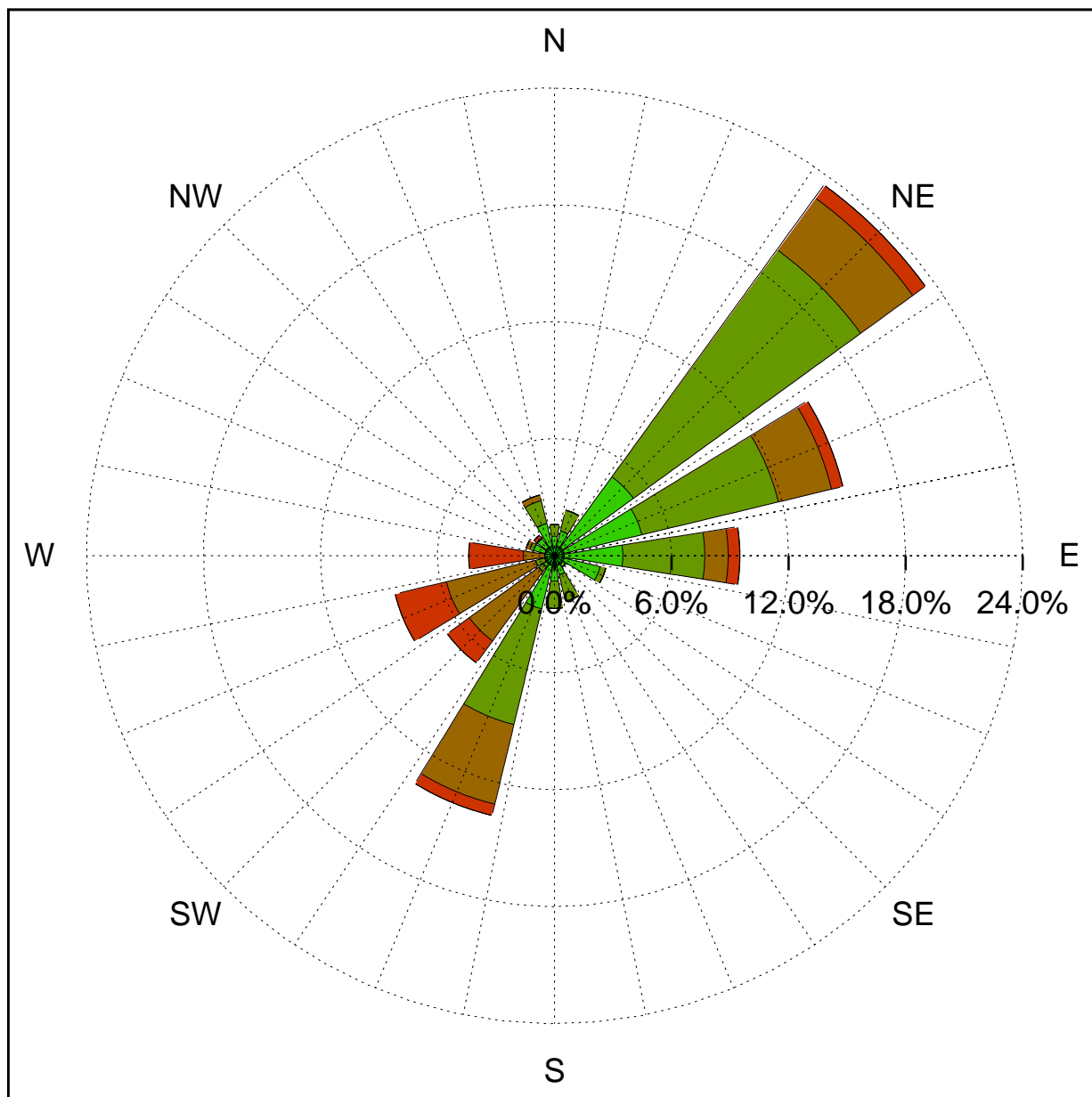


Figura 33.11: Campagna di misura a Ala (21/04/05-18/05/05). Distribuzioni in frequenza e correlazioni.

Sito di misura: Ala



Legenda - velocità [m/s]	
v ≥ 5.0	
3.0 ≤ v < 5.0	
2.0 ≤ v < 3.0	
1.0 ≤ v < 2.0	
0.5 ≤ v < 1.0	
calma (v < 0.5)	

Figura 33.12: Campagna di misura a Ala (21/04/05-18/05/05). Rosa dei venti.

## 34 Campagna di misura a Ala

**Campagna di misura** dal 20/05/05 al 22/06/05

**Inquinanti rilevati:**  $CO$ ,  $NO_x$ ,  $SO_2$ ,  $PM_{10}$

**Parametri meteorologici misurati:** velocità del vento, direzione del vento, temperatura, umidità relativa, pioggia, radiazione globale

**Note:** Dai dati forniti da questa campagna di misure non si ottengono comportamenti significativi, si nota un picco nel comportamento giornaliero degli  $NO_x$  tra le 6 e le 7 del mattino e l'andamento giornaliero tipico dell'ozono, che presenta il minimo intorno alle 6 del mattino e i valori massimi di concentrazione nel pomeriggio.

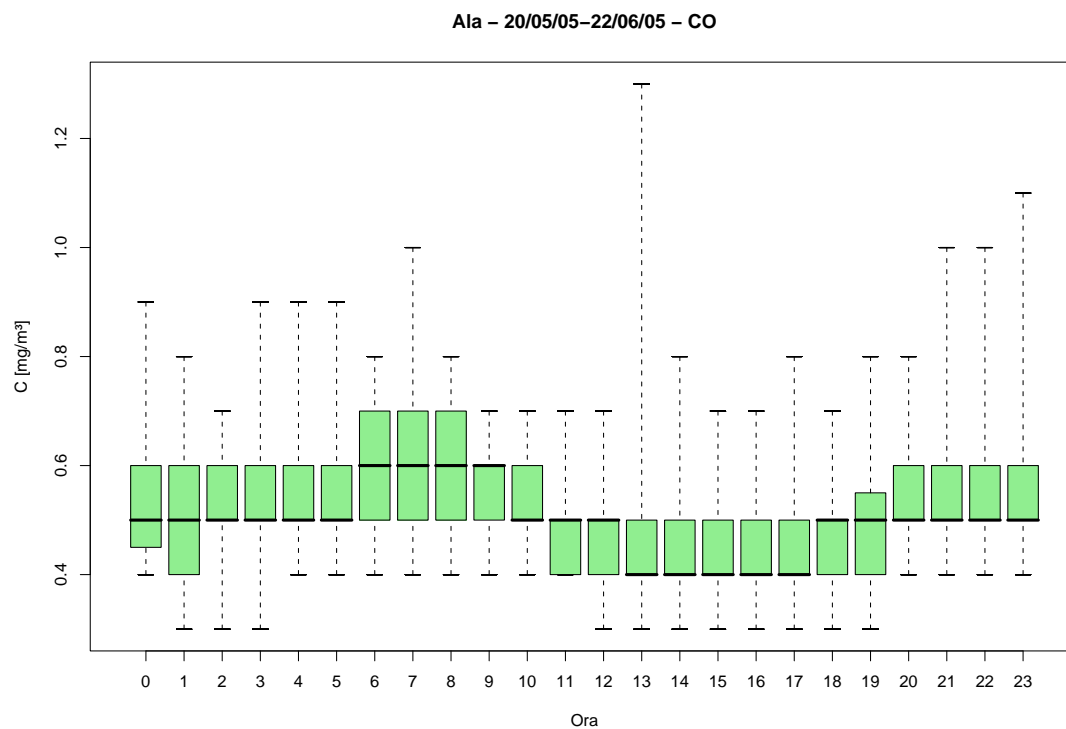


Figura 34.1: Campagna di misura a Ala (20/05/05-22/06/05), inquinante: *CO*. Box-plot relativo all'ora del giorno.

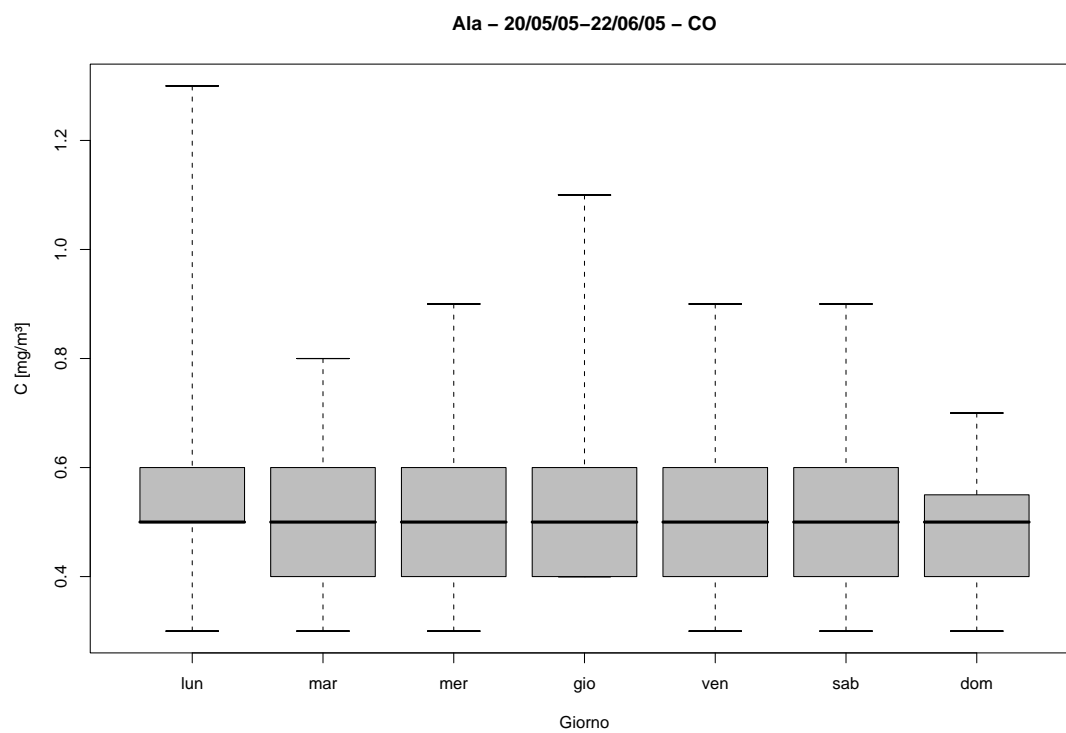


Figura 34.2: Campagna di misura a Ala (20/05/05-22/06/05), inquinante: *CO*. Box-plot relativo al giorno della settimana.

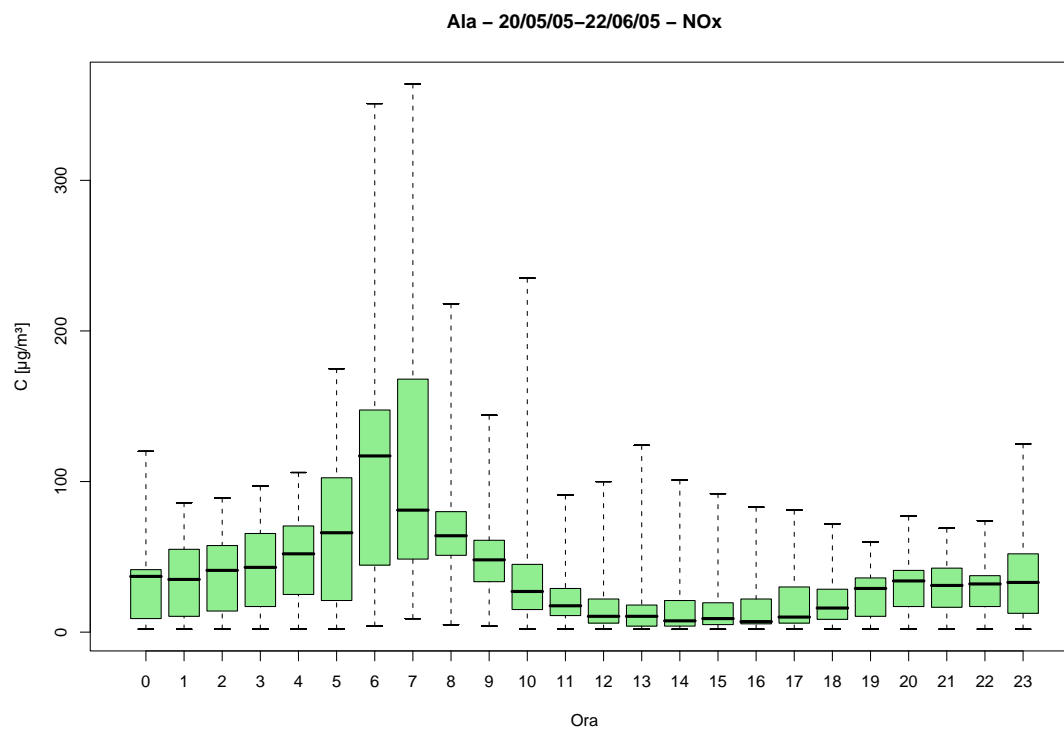


Figura 34.3: Campagna di misura a Ala (20/05/05-22/06/05), inquinante:  $NO_x$ . Box-plot relativo all'ora del giorno.

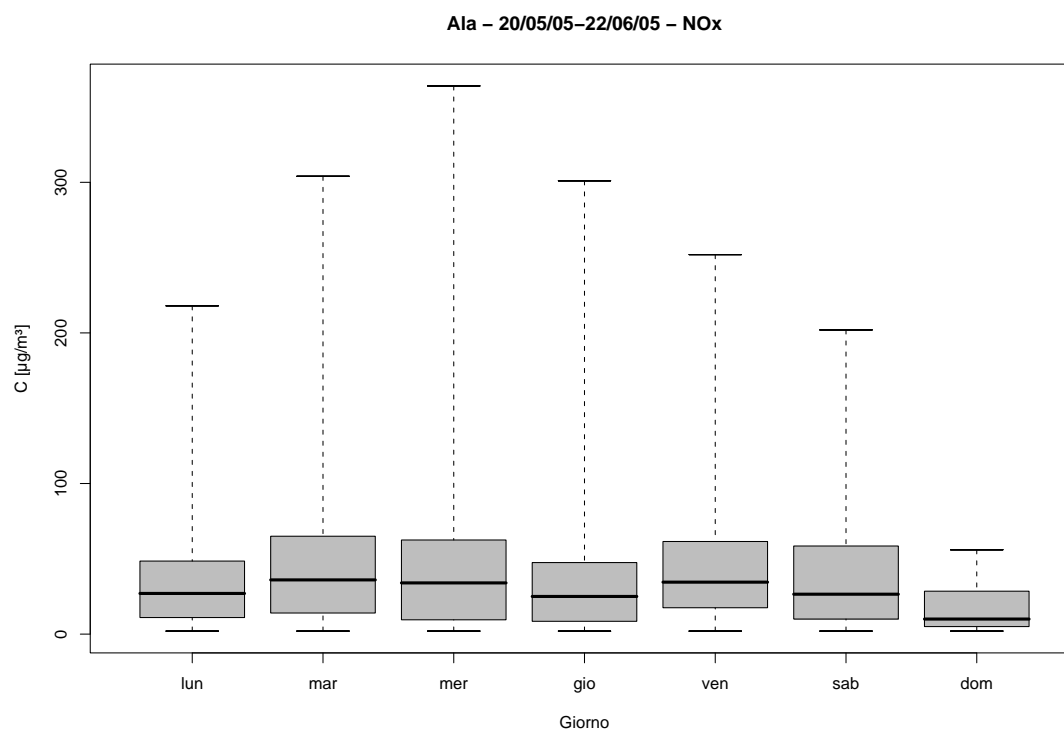


Figura 34.4: Campagna di misura a Ala (20/05/05-22/06/05), inquinante:  $NO_x$ . Box-plot relativo al giorno della settimana.

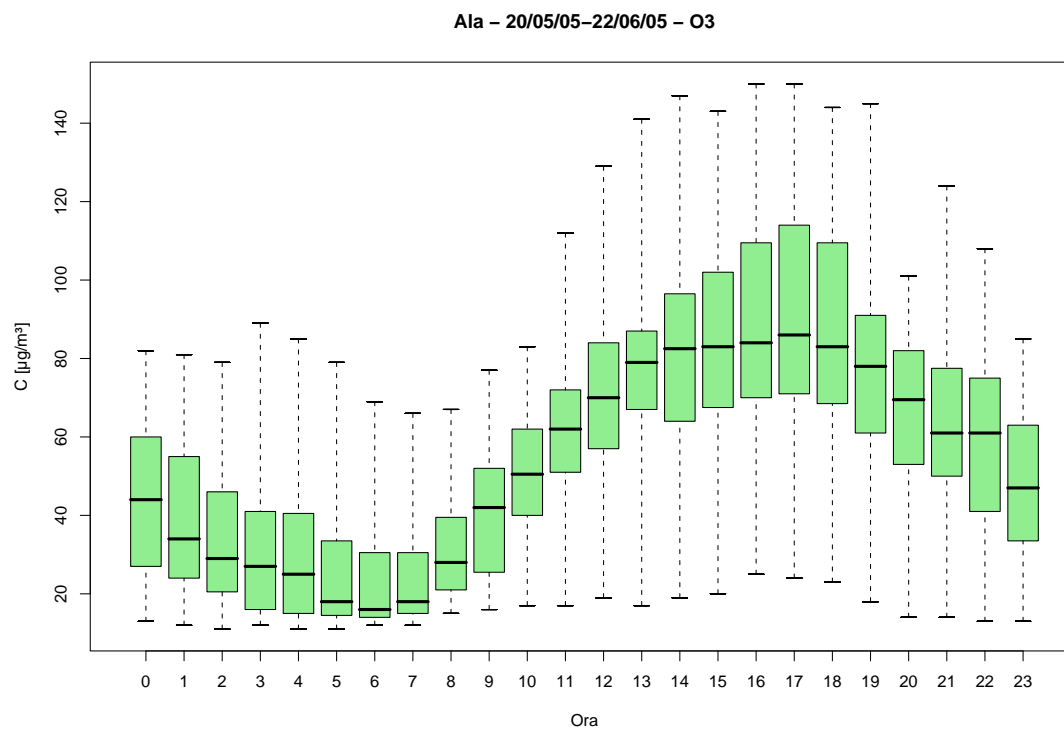


Figura 34.5: Campagna di misura a Ala (20/05/05-22/06/05), inquinante:  $O_3$ . Box-plot relativo all'ora del giorno.

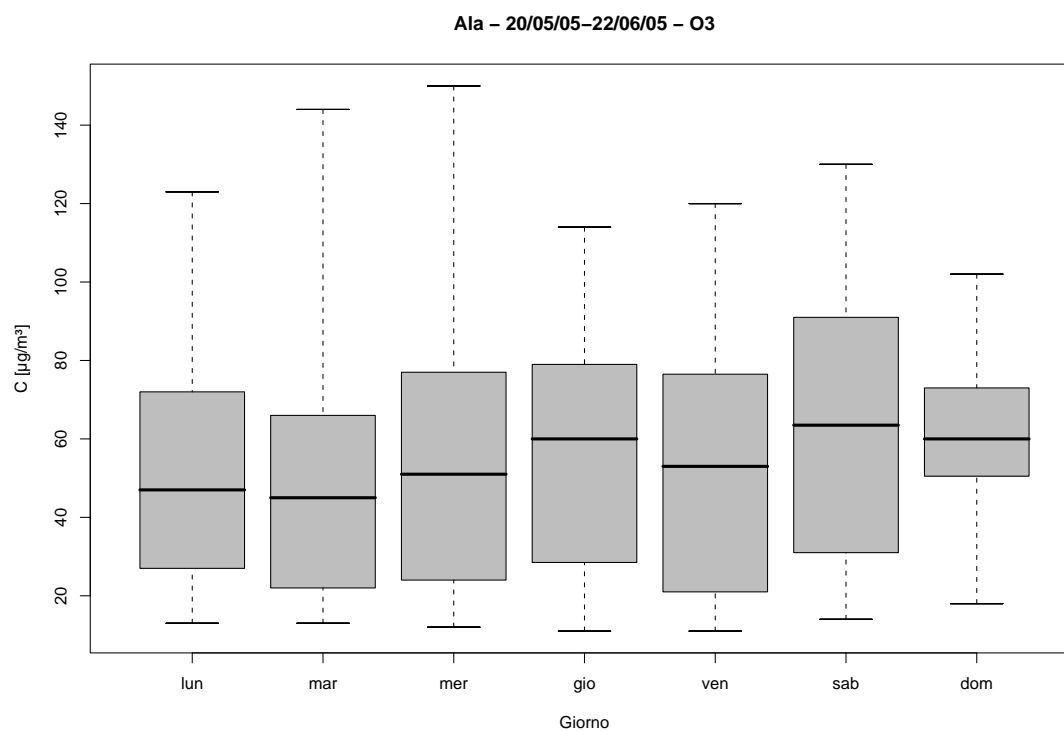


Figura 34.6: Campagna di misura a Ala (20/05/05-22/06/05), inquinante:  $O_3$ . Box-plot relativo al giorno della settimana.

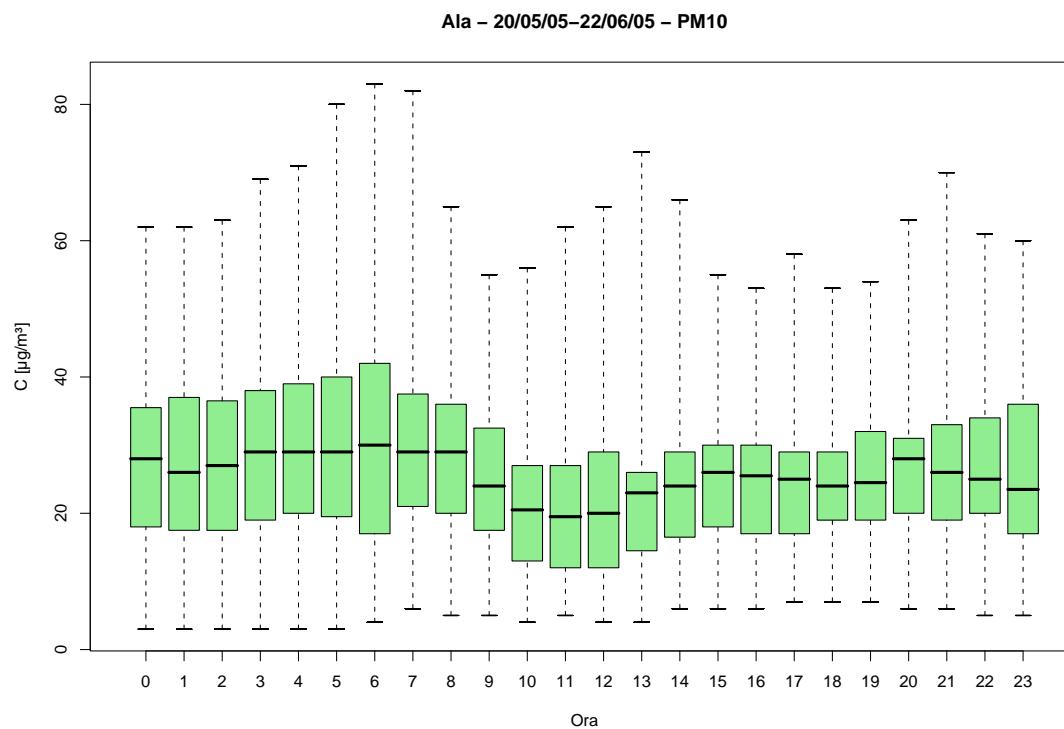


Figura 34.7: Campagna di misura a Ala (20/05/05-22/06/05), inquinante:  $PM_{10}$ . Box-plot relativo all'ora del giorno.

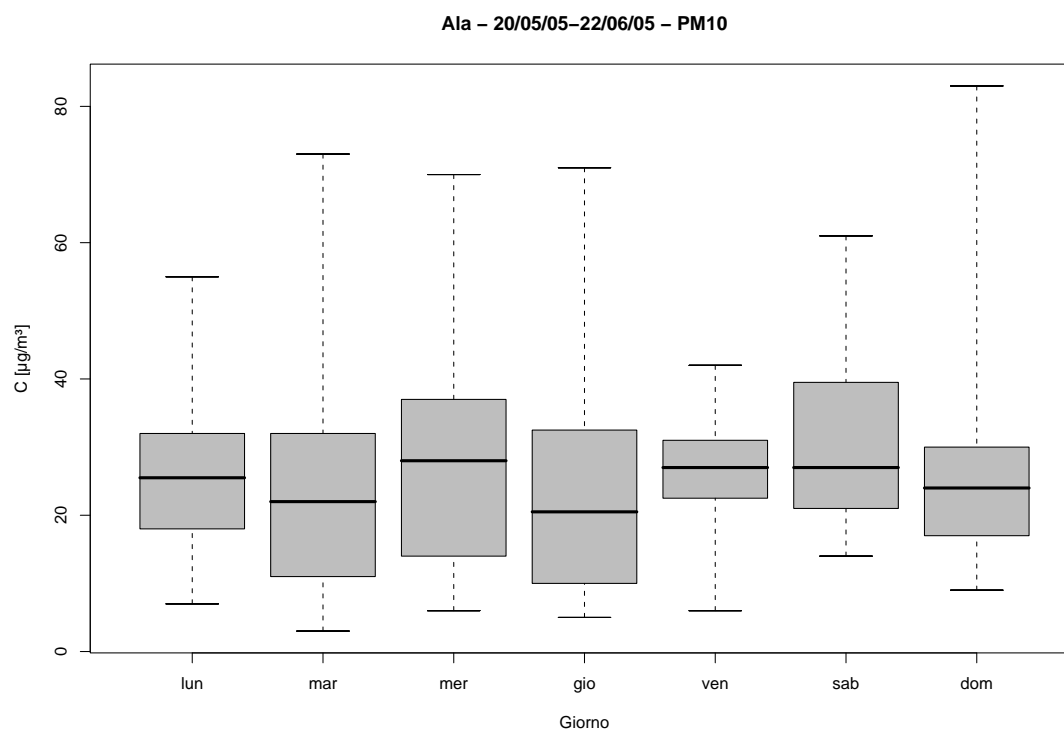


Figura 34.8: Campagna di misura a Ala (20/05/05-22/06/05), inquinante:  $PM_{10}$ . Box-plot relativo al giorno della settimana.

Ala - 20/05/05-22/06/05  
distribuzioni in frequenza e correlazioni

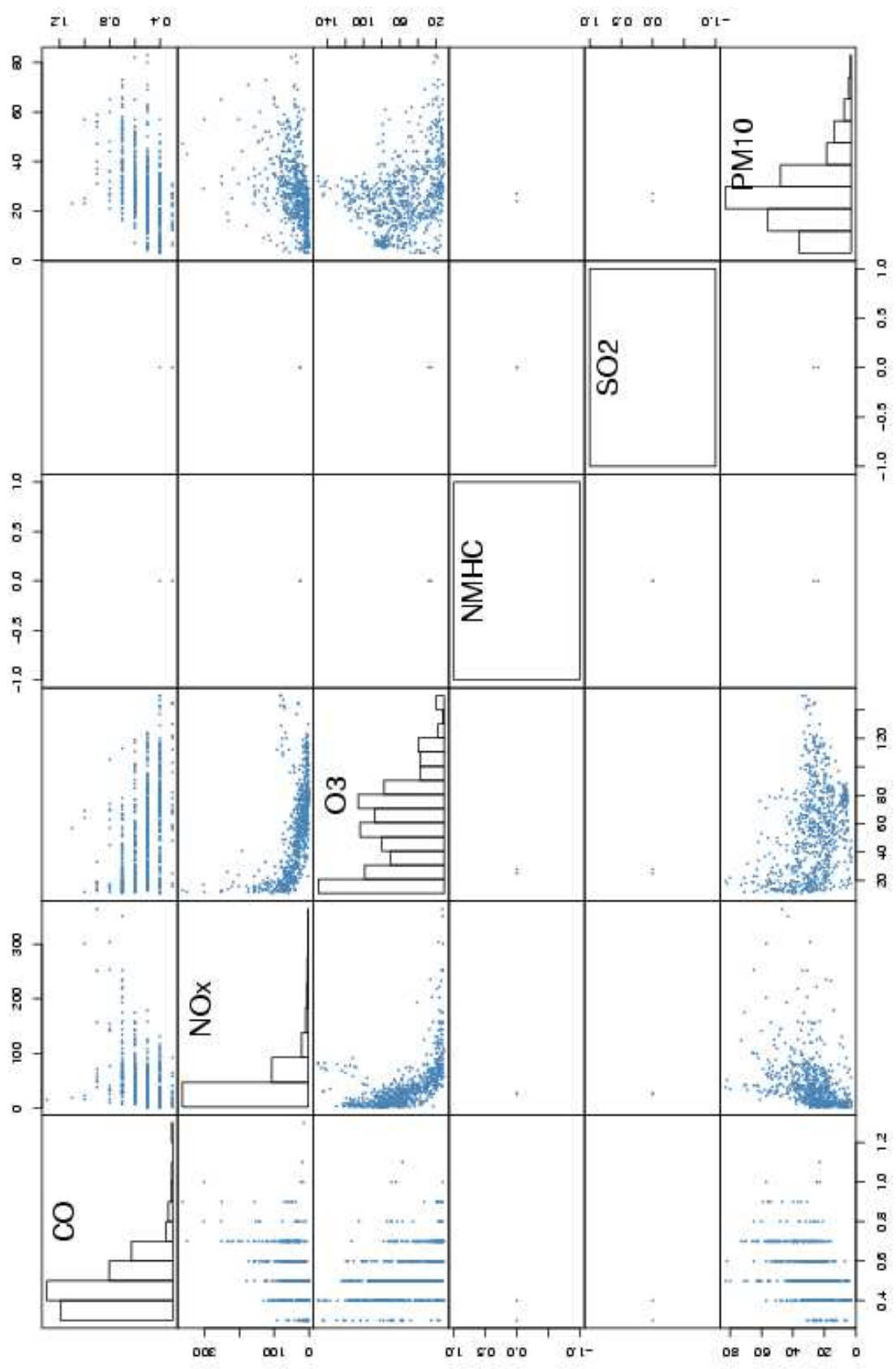
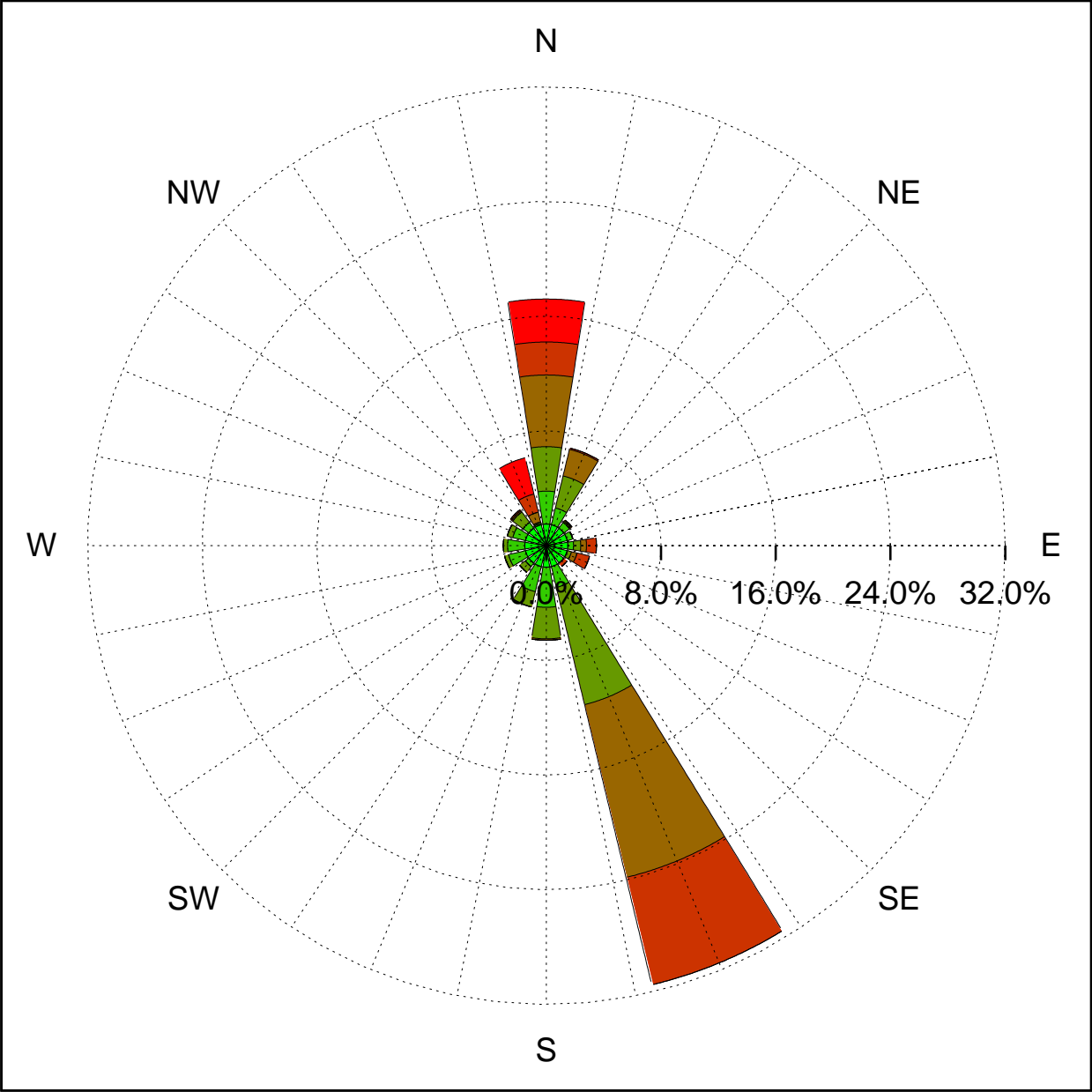


Figura 34.9: Campagna di misura a Ala (20/05/05-22/06/05). Distribuzioni in frequenza e correlazioni.



Sito di misura: Ala



Legenda - velocità [m/s]

$v \geq 5.0$	Red
$3.0 \leq v < 5.0$	Orange
$2.0 \leq v < 3.0$	Brown
$1.0 \leq v < 2.0$	Light Green
$0.5 \leq v < 1.0$	Green
calma ( $v < 0.5$ )	Light Green

Figura 34.10: Campagna di misura a Ala (20/05/05-22/06/05). Rosa dei venti.

## 35 Campagna di misura a Ala

**Campagna di misura** dal 28/06/05 al 28/07/05

**Inquinanti rilevati:**  $CO$ ,  $NO_x$ ,  $SO_2$ ,  $PM_{10}$

**Parametri meteorologici misurati:** velocità del vento, direzione del vento, temperatura, umidità relativa, pioggia, radiazione globale

**Note:** Dai dati forniti da questa campagna di misure non si ottengono comportamenti significativi, si nota un picco nel comportamento giornaliero degli  $NO_x$  tra le 6 e le 7 del mattino e l'andamento giornaliero tipico dell'ozono, che presenta il minimo intorno alle 6 del mattino e i valori massimi di concentrazione nel pomeriggio. Si nota un andamento settimanale per gli inquinanti che prevede valori minimi di concentrazione la domenica.

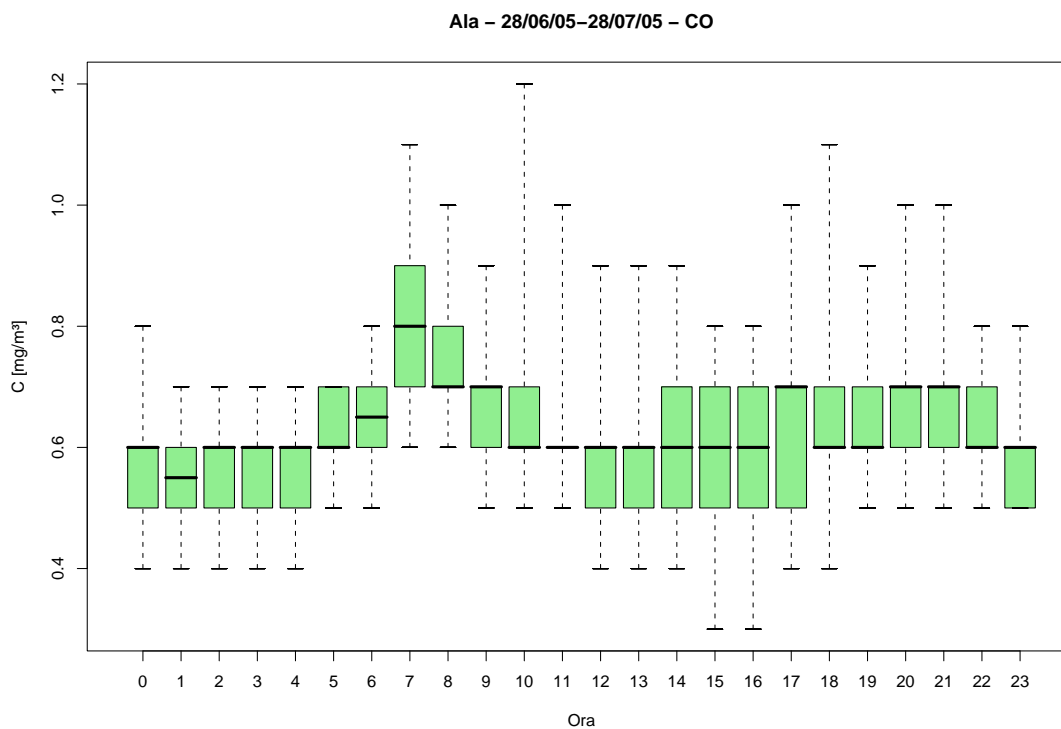


Figura 35.1: Campagna di misura a Ala (28/06/05-28/07/05), inquinante: *CO*. Box-plot relativo all'ora del giorno.

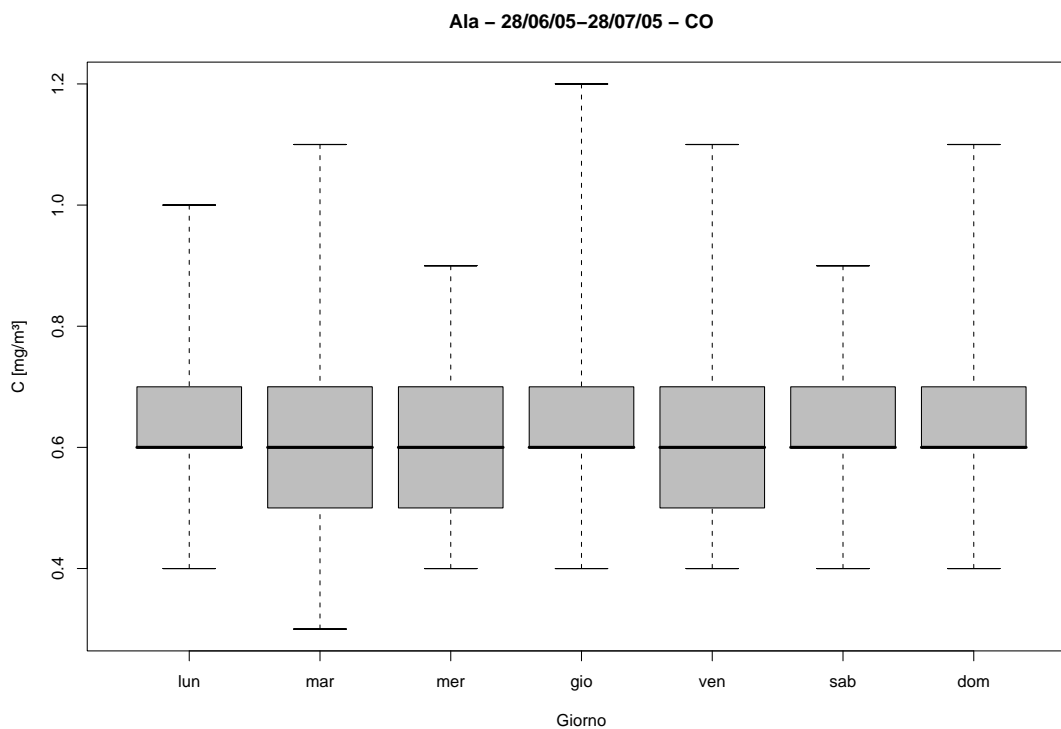


Figura 35.2: Campagna di misura a Ala (28/06/05-28/07/05), inquinante: *CO*. Box-plot relativo al giorno della settimana.

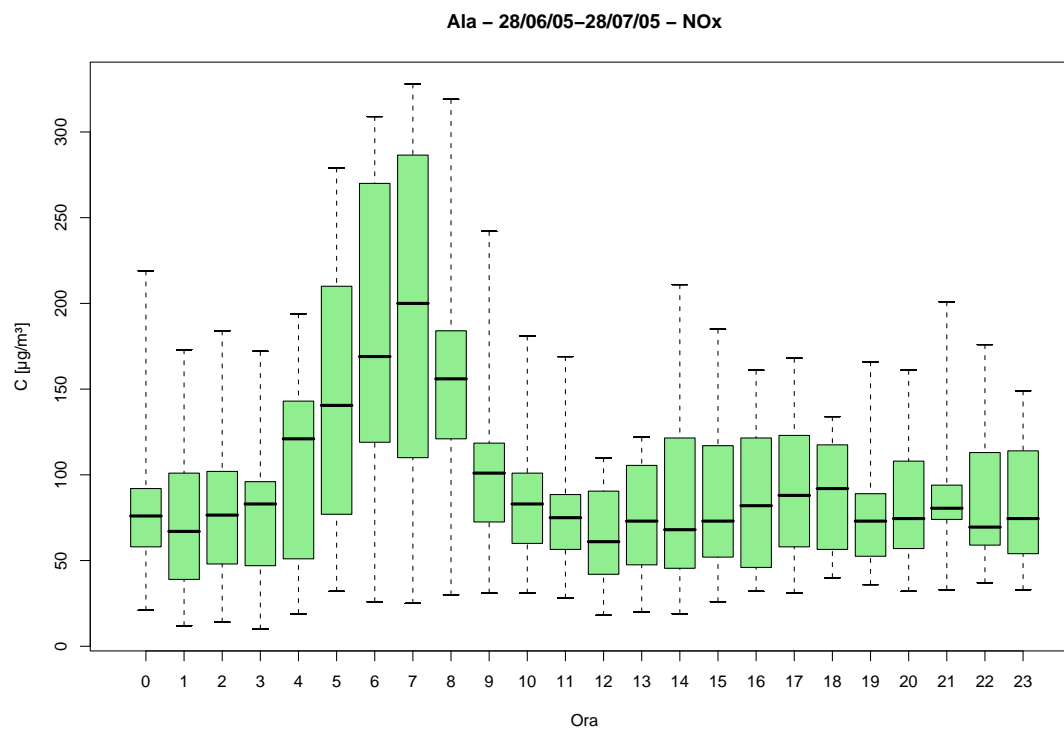


Figura 35.3: Campagna di misura a Ala (28/06/05-28/07/05), inquinante:  $NO_x$ . Box-plot relativo all'ora del giorno.

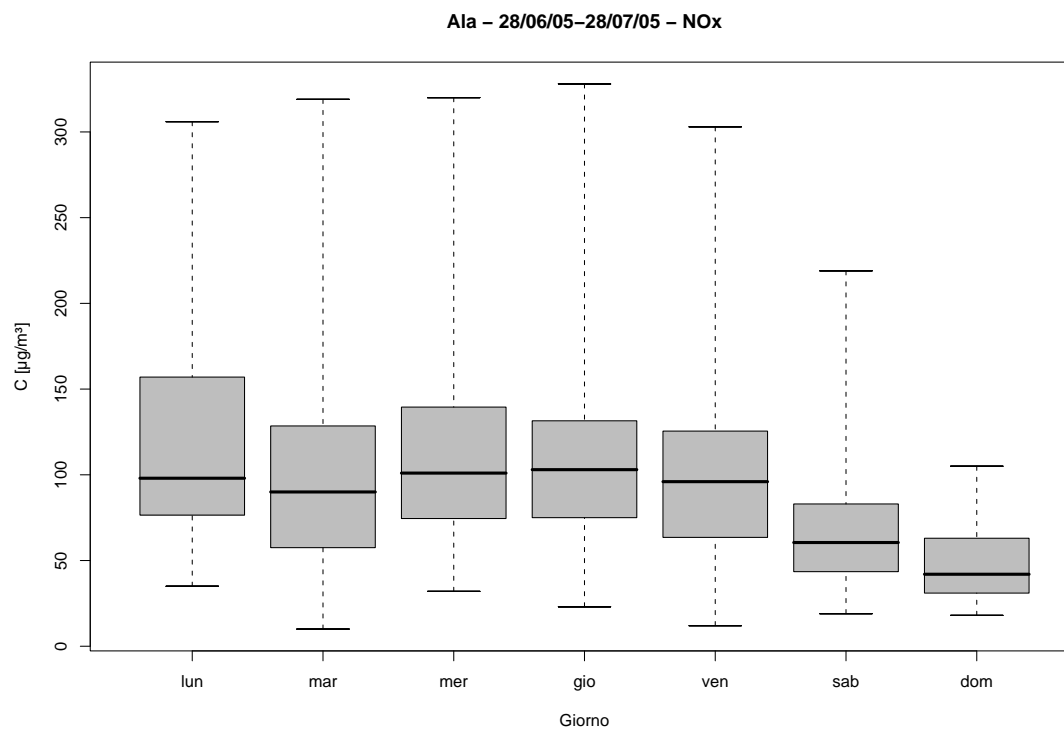


Figura 35.4: Campagna di misura a Ala (28/06/05-28/07/05), inquinante:  $NO_x$ . Box-plot relativo al giorno della settimana.

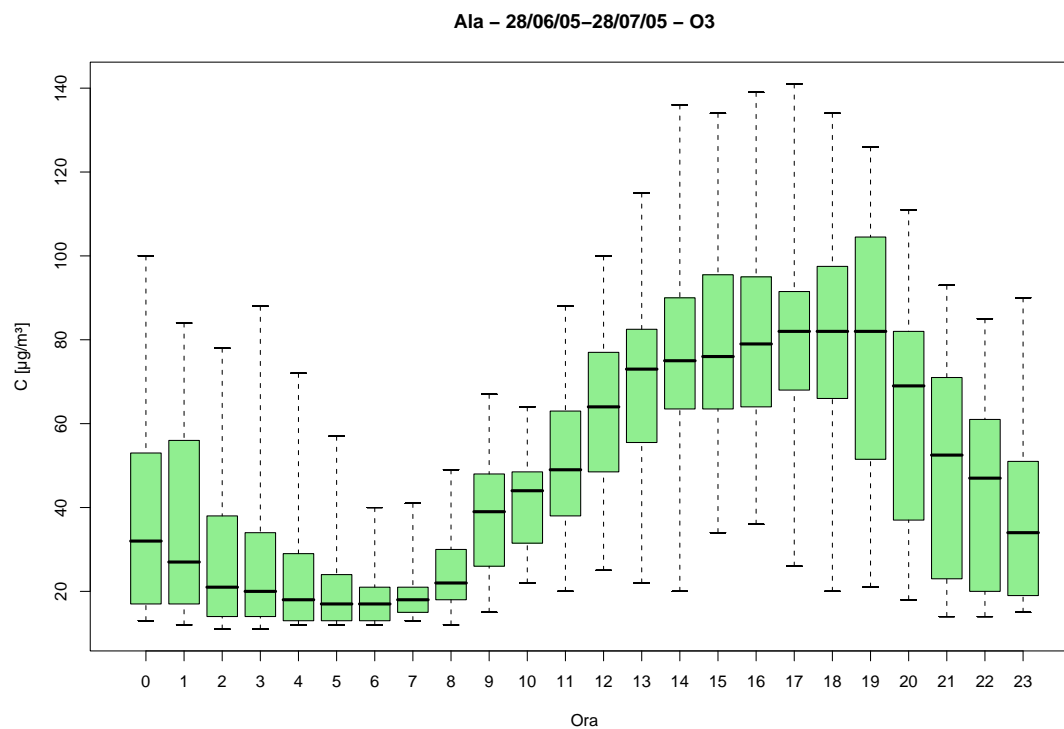


Figura 35.5: Campagna di misura a Ala (28/06/05-28/07/05), inquinante:  $O_3$ . Box-plot relativo all'ora del giorno.

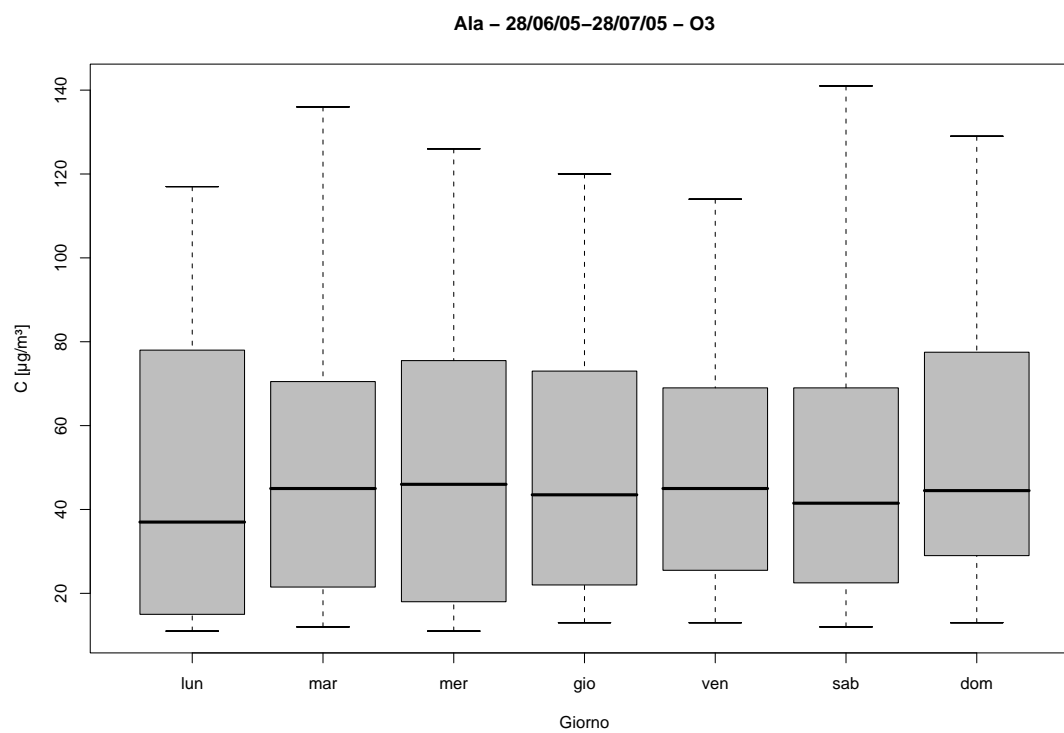


Figura 35.6: Campagna di misura a Ala (28/06/05-28/07/05), inquinante:  $O_3$ . Box-plot relativo al giorno della settimana.

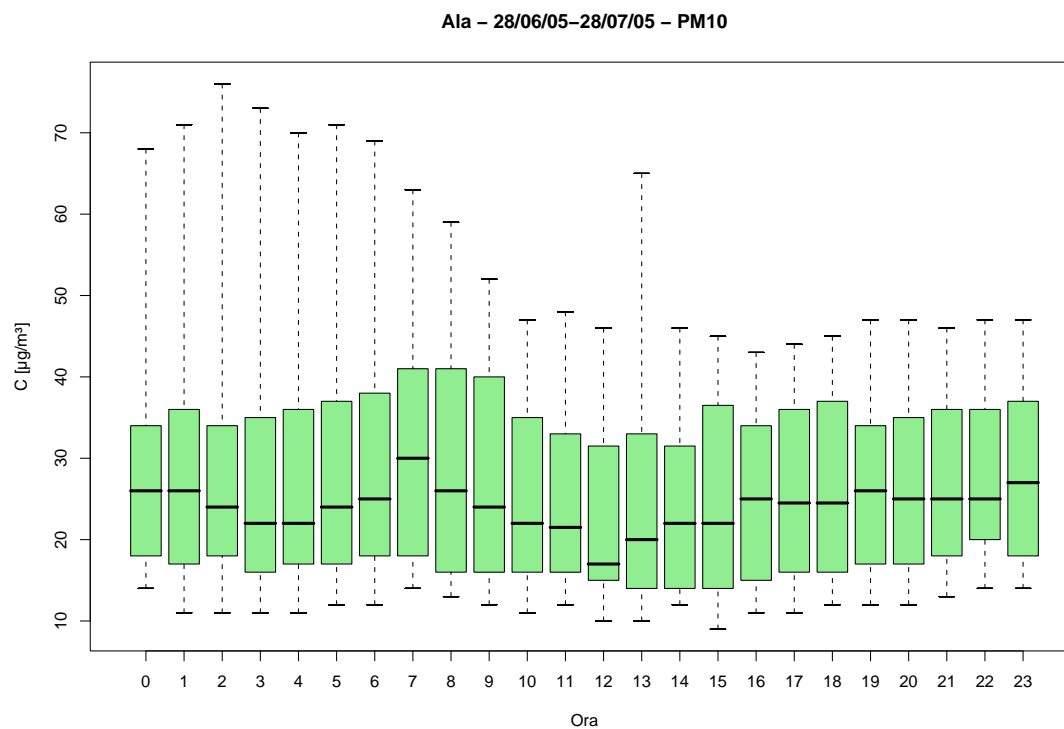


Figura 35.7: Campagna di misura a Ala (28/06/05-28/07/05), inquinante:  $PM_{10}$ . Box-plot relativo all'ora del giorno.

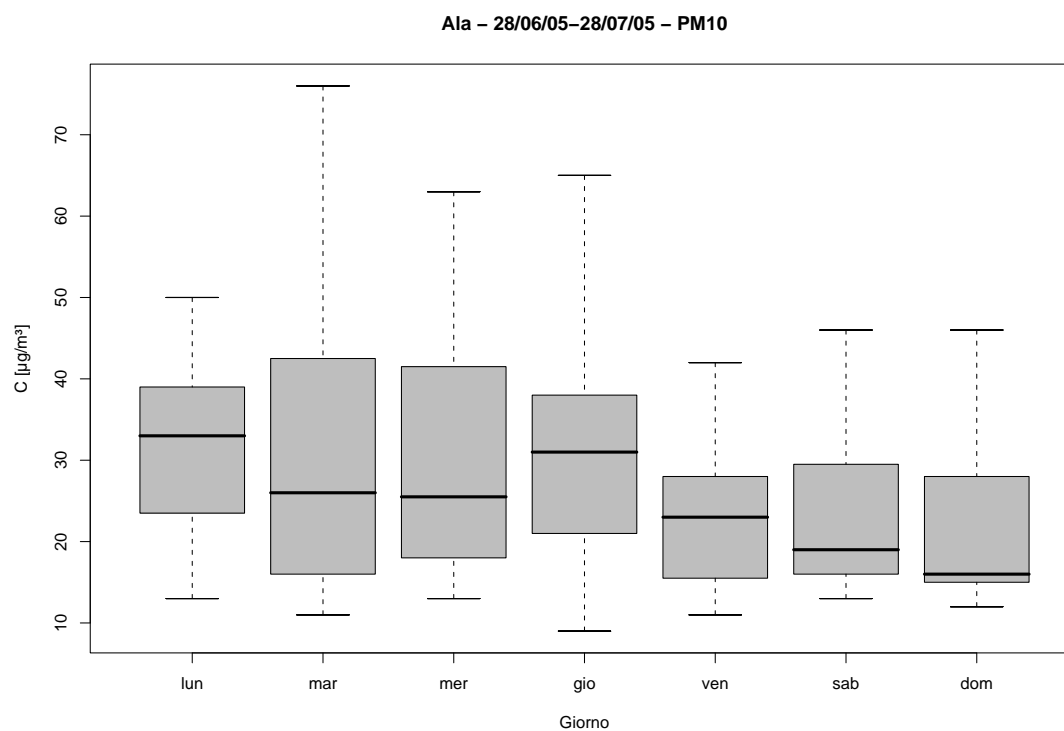


Figura 35.8: Campagna di misura a Ala (28/06/05-28/07/05), inquinante:  $PM_{10}$ . Box-plot relativo al giorno della settimana.

**Ala - 28/06/05-28/07/05**  
**distribuzioni in frequenza e correlazioni**

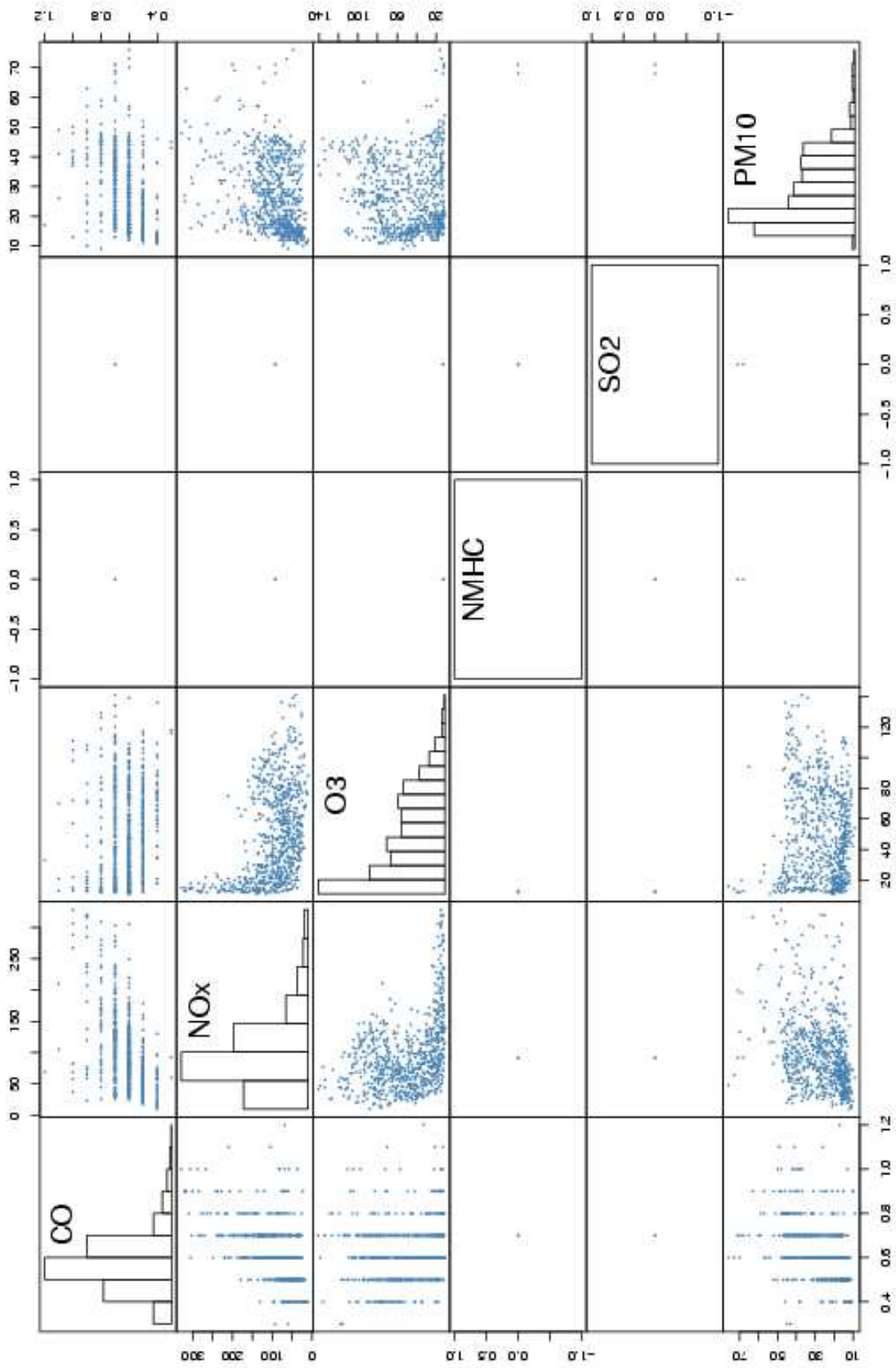
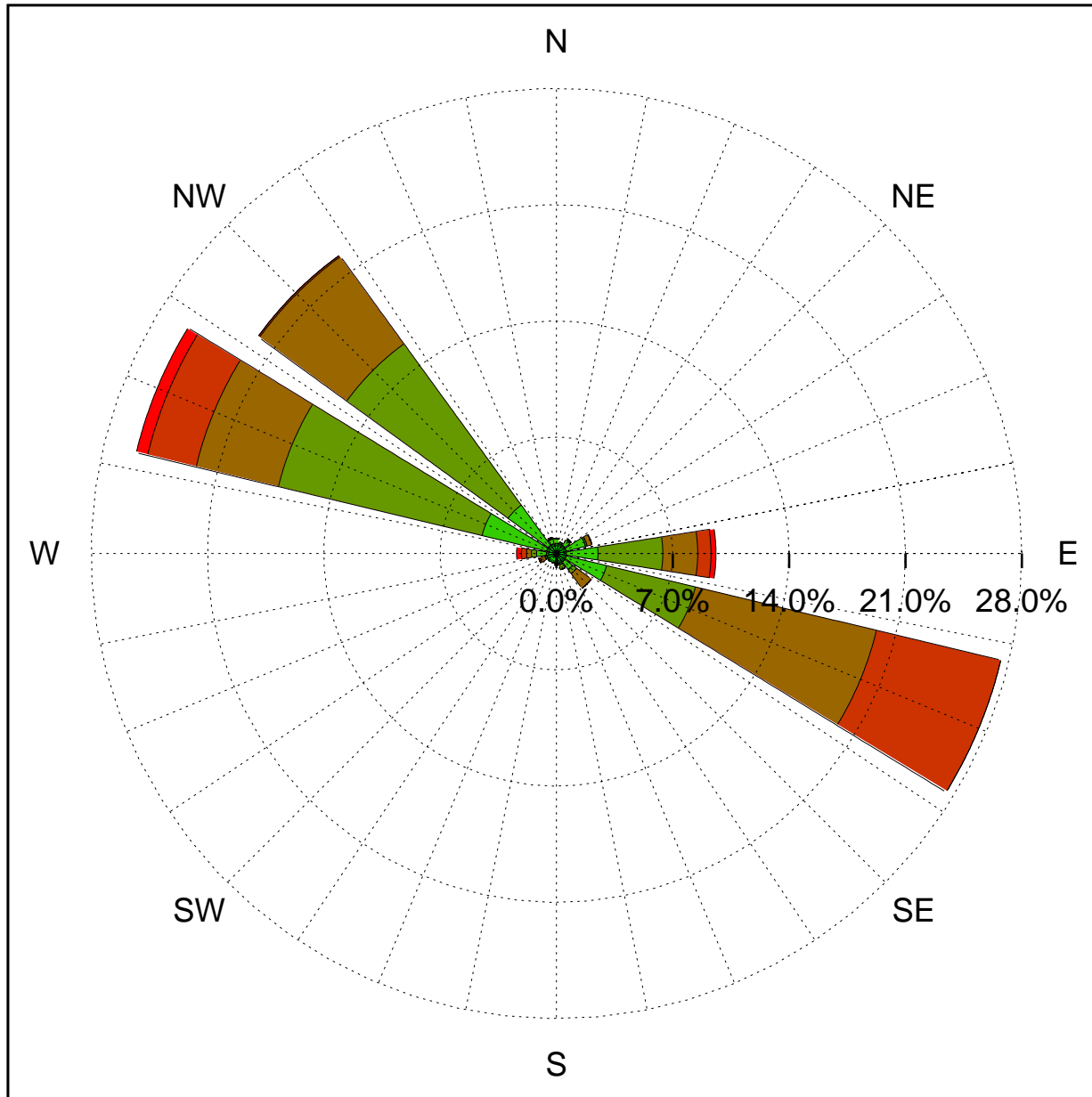


Figura 35.9: Campagna di misura a Ala (28/06/05-28/07/05). Distribuzioni in frequenza e correlazioni.

Sito di misura: Ala



Legenda - velocità [m/s]	
$v \geq 5.0$	
$3.0 \leq v < 5.0$	
$2.0 \leq v < 3.0$	
$1.0 \leq v < 2.0$	
$0.5 \leq v < 1.0$	
calma ( $v < 0.5$ )	

Figura 35.10: Campagna di misura a Ala (28/06/05-28/07/05). Rosa dei venti.



## 36 Campagna di misura a Ala

**Campagna di misura** dal 30/07/05 al 28/08/05

**Inquinanti rilevati:**  $CO$ ,  $NO_x$ ,  $SO_2$ ,  $PM_{10}$

**Parametri meteorologici misurati:** velocità del vento, direzione del vento, temperatura, umidità relativa, pioggia, radiazione globale

**Note:** Dai dati forniti da questa campagna di misure non si ottengono comportamenti significativi, si nota un picco nel comportamento giornaliero degli  $NO_x$  tra le 6 e le 7 del mattino e l'andamento giornaliero tipico dell'ozono, che presenta il minimo intorno alle 7 del mattino e i valori massimi di concentrazione nel pomeriggio.

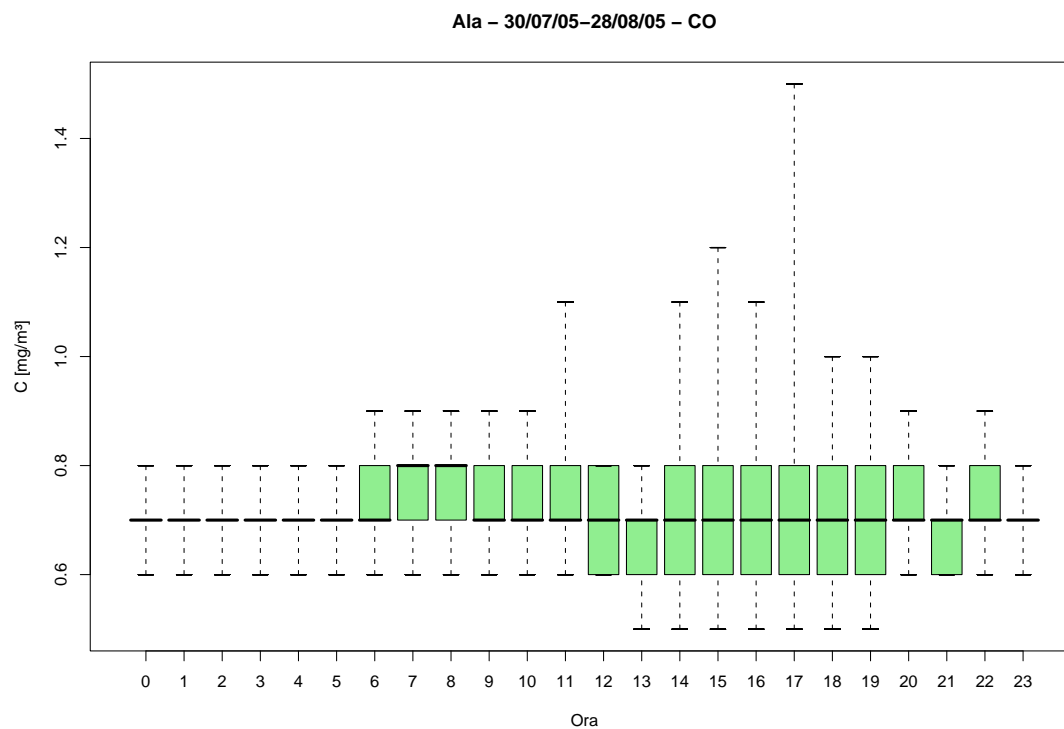


Figura 36.1: Campagna di misura a Ala (30/07/05-28/08/05), inquinante: *CO*. Box-plot relativo all'ora del giorno.

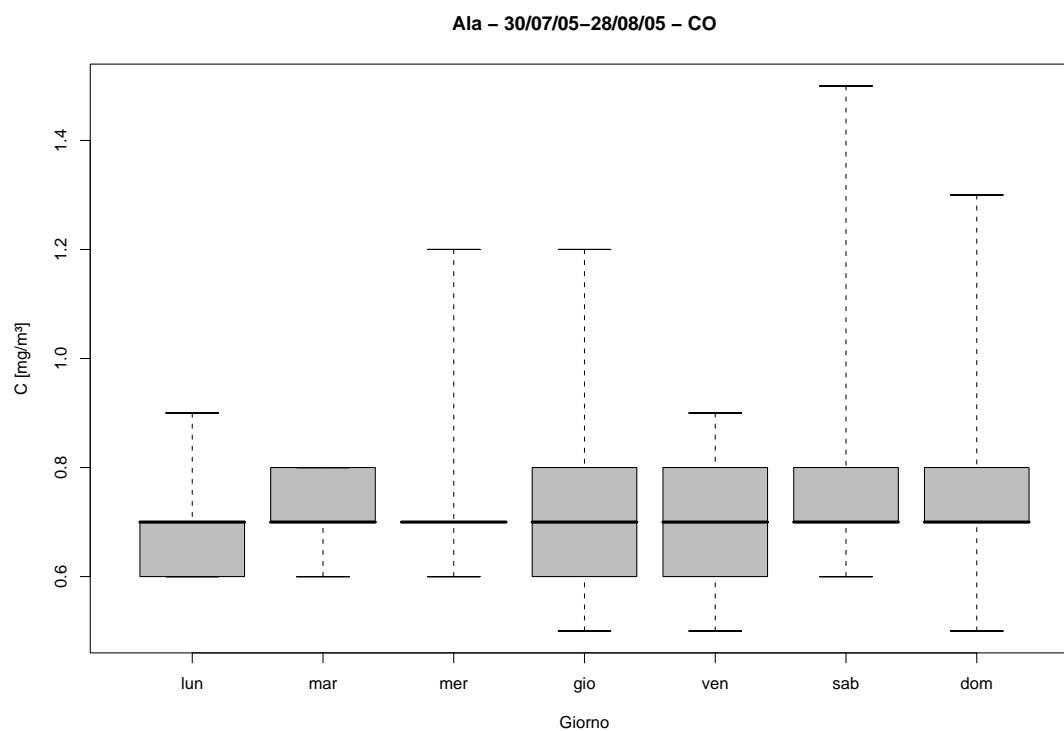


Figura 36.2: Campagna di misura a Ala (30/07/05-28/08/05), inquinante: *CO*. Box-plot relativo al giorno della settimana.

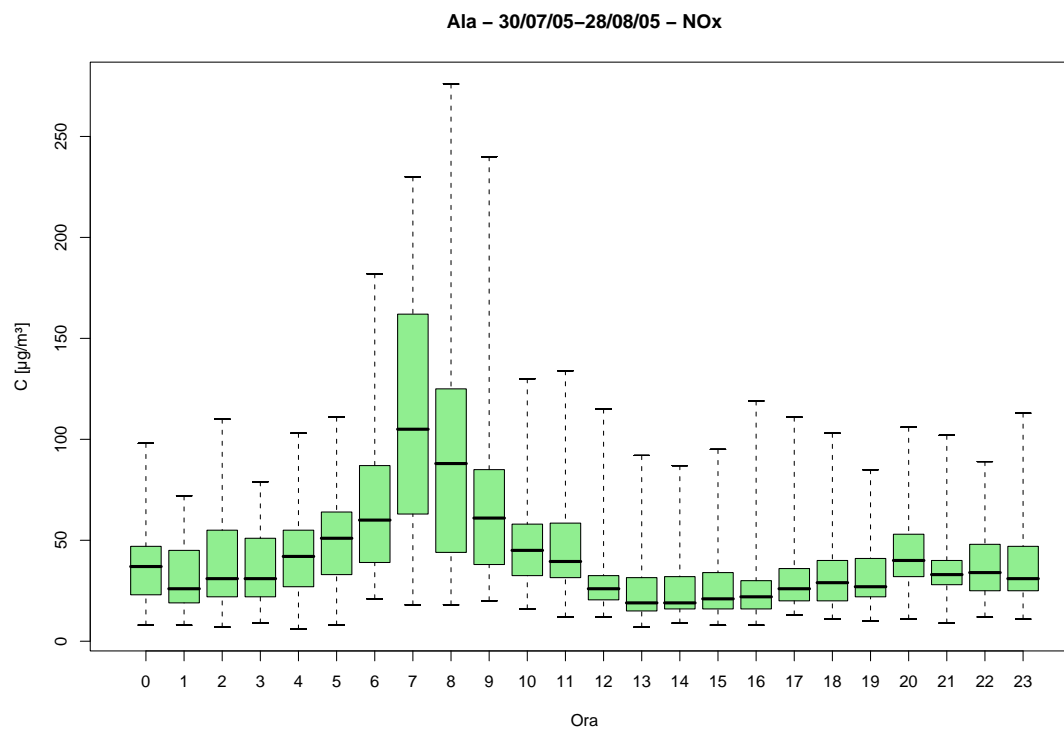


Figura 36.3: Campagna di misura a Ala (30/07/05-28/08/05), inquinante:  $NO_x$ . Box-plot relativo all'ora del giorno.

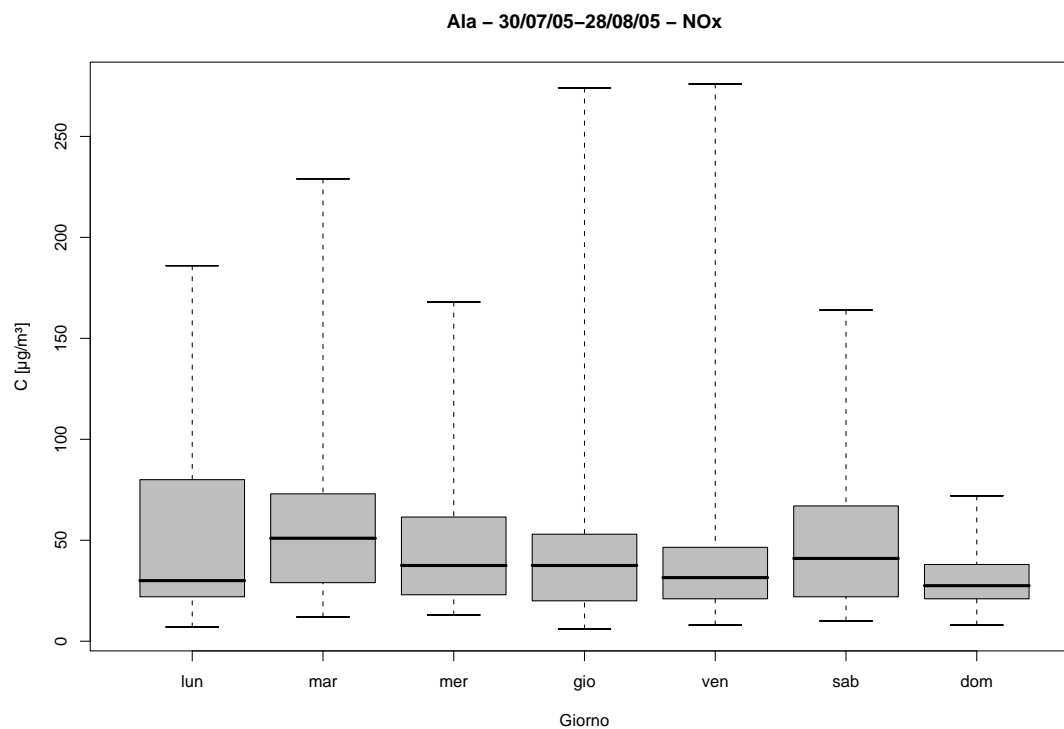


Figura 36.4: Campagna di misura a Ala (30/07/05-28/08/05), inquinante:  $NO_x$ . Box-plot relativo al giorno della settimana.

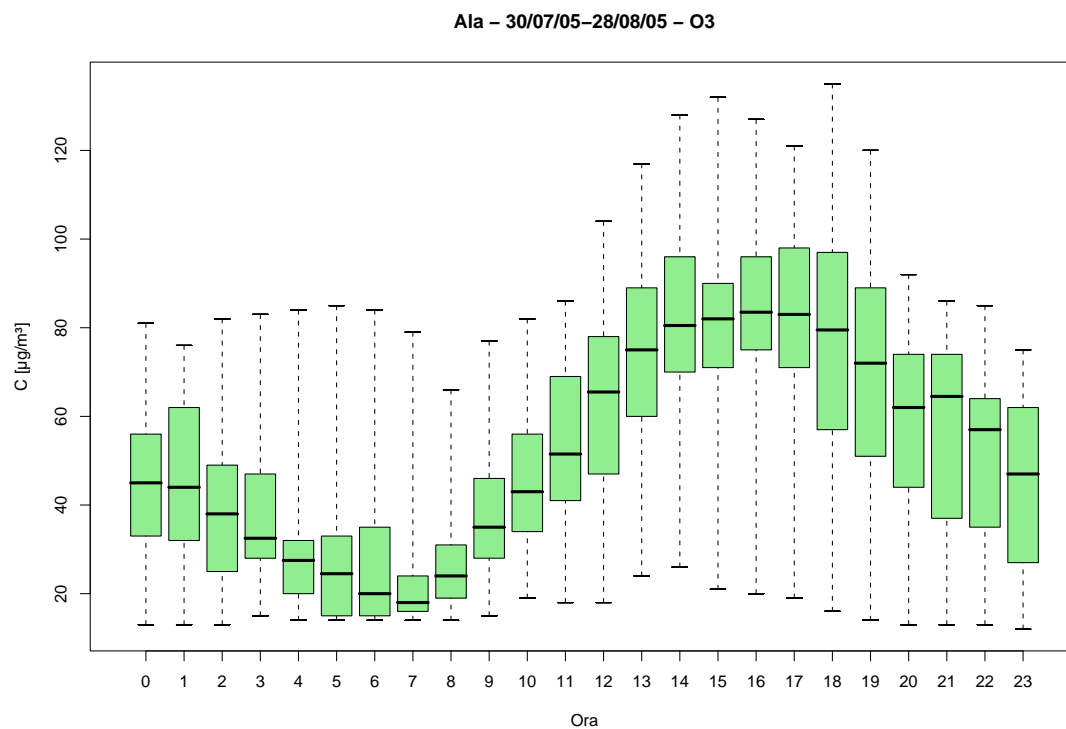


Figura 36.5: Campagna di misura a Ala (30/07/05-28/08/05), inquinante:  $O_3$ . Box-plot relativo all'ora del giorno.

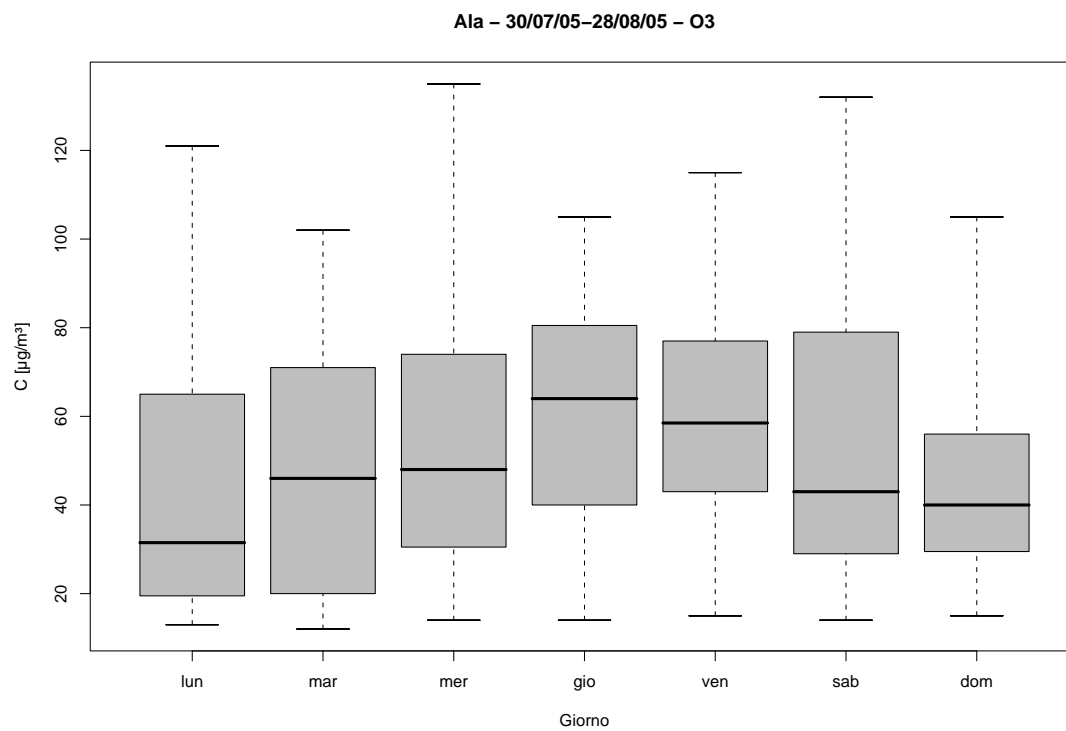


Figura 36.6: Campagna di misura a Ala (30/07/05-28/08/05), inquinante:  $O_3$ . Box-plot relativo al giorno della settimana.

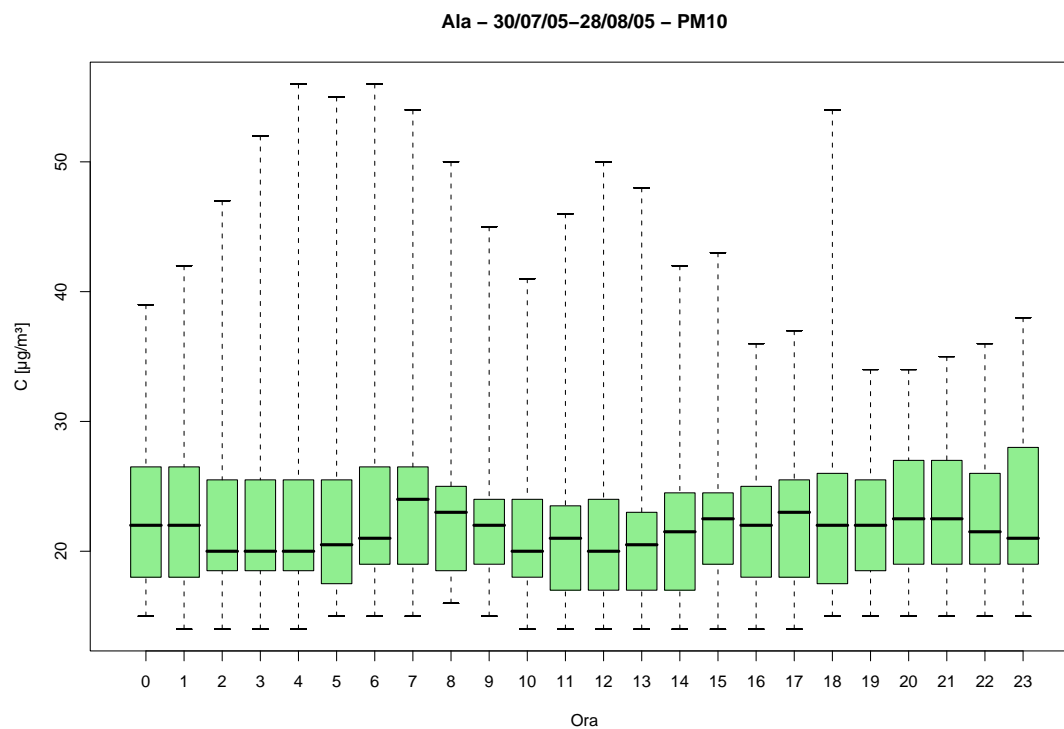


Figura 36.7: Campagna di misura a Ala (30/07/05-28/08/05), inquinante:  $PM_{10}$ . Box-plot relativo all'ora del giorno.

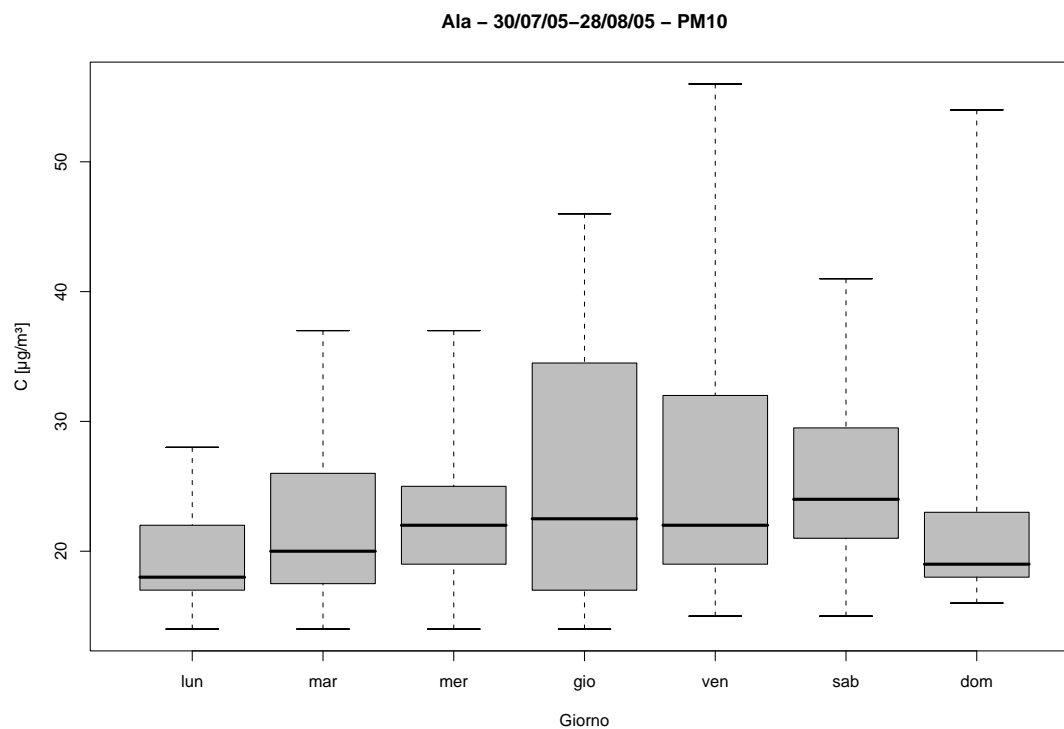


Figura 36.8: Campagna di misura a Ala (30/07/05-28/08/05), inquinante:  $PM_{10}$ . Box-plot relativo al giorno della settimana.

**Ala - 30/07/05-28/08/05**  
**distribuzioni in frequenza e correlazioni**

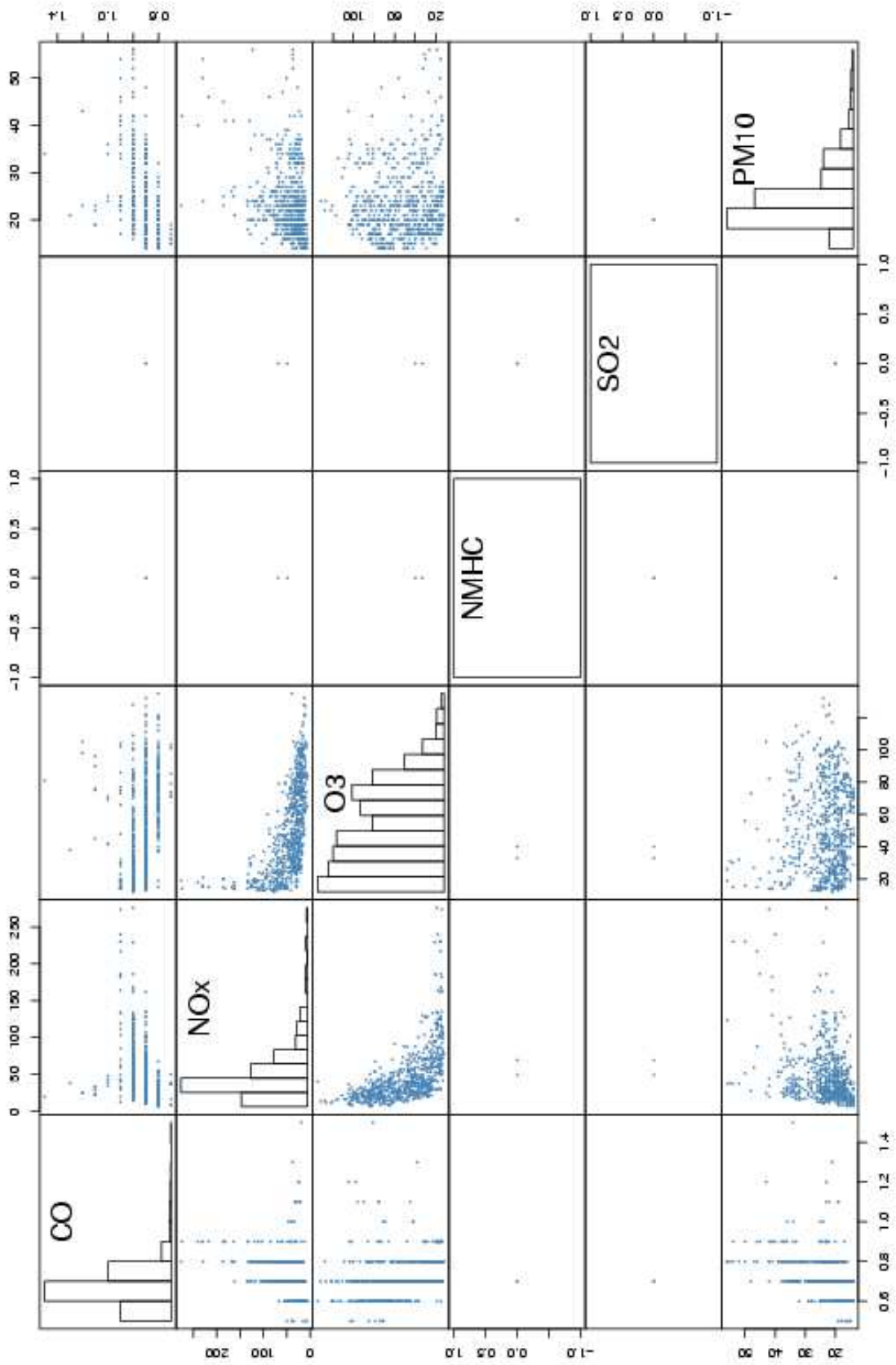


Figura 36.9: Campagna di misura a Ala (30/07/05-28/08/05). Distribuzioni in frequenza e correlazioni.

Sito di misura: Ala

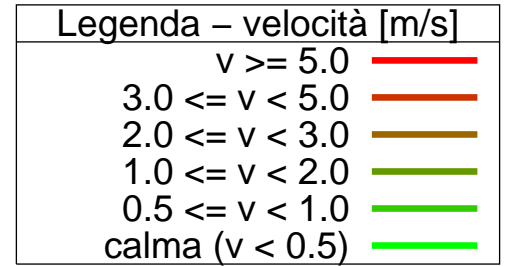
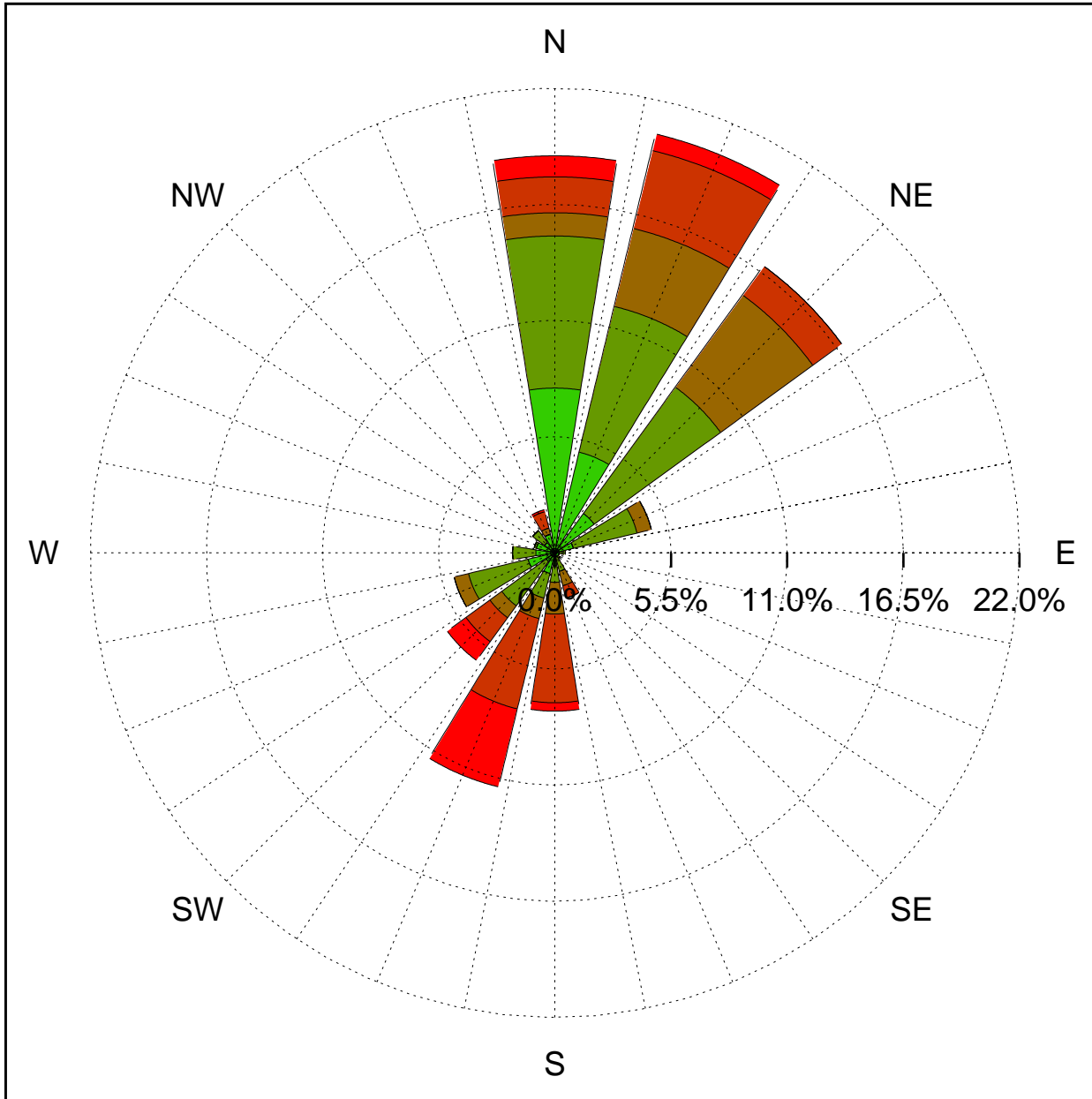


Figura 36.10: Campagna di misura a Ala (30/07/05-28/08/05). Rosa dei venti.

## 37 Campagna di misura a Avio A22

**Campagna di misura** dal 05/11/05 al 30/11/05

**Inquinanti rilevati:**  $CO$ ,  $NO_x$ ,  $O_3$ ,  $SO_2$ ,  $PM_{10}$

**Parametri meteorologici misurati:** velocità del vento, direzione del vento, temperatura, pioggia, radiazione globale

**Note:** I grafici ottenuti dallo studio dei dati ottenuti mostrano per gli  $NO_X$  e l' $SO_2$  un andamento giornaliero simile, con un picco tra le 7 e le 9 del mattino e un picco tra le 18 e le 19. Si nota inoltre un andamento settimanale per tutti gli inquinanti che prevede i valori di concentrazione minimi durante il fine settimana, specialmente la domenica. Particolare attenzione va posta sul grafico riguardante le polveri fini che presenta un comportamento giornaliero anomalo caratterizzato da un picco in tarda serata. Questo non è giustificabile solamente con i cicli giornalieri di traffico in considerazione del fatto che i tracciati relativi a  $SO_2$  e  $NO_X$  presentano il tipico andamento con due massimi relativi. L'ozono presenta il tipico andamento invernale, caratterizzato da valori di concentrazione molto bassi e costanti per tutto il giorno, salvo presentare un picco a cavallo di mezzogiorno.



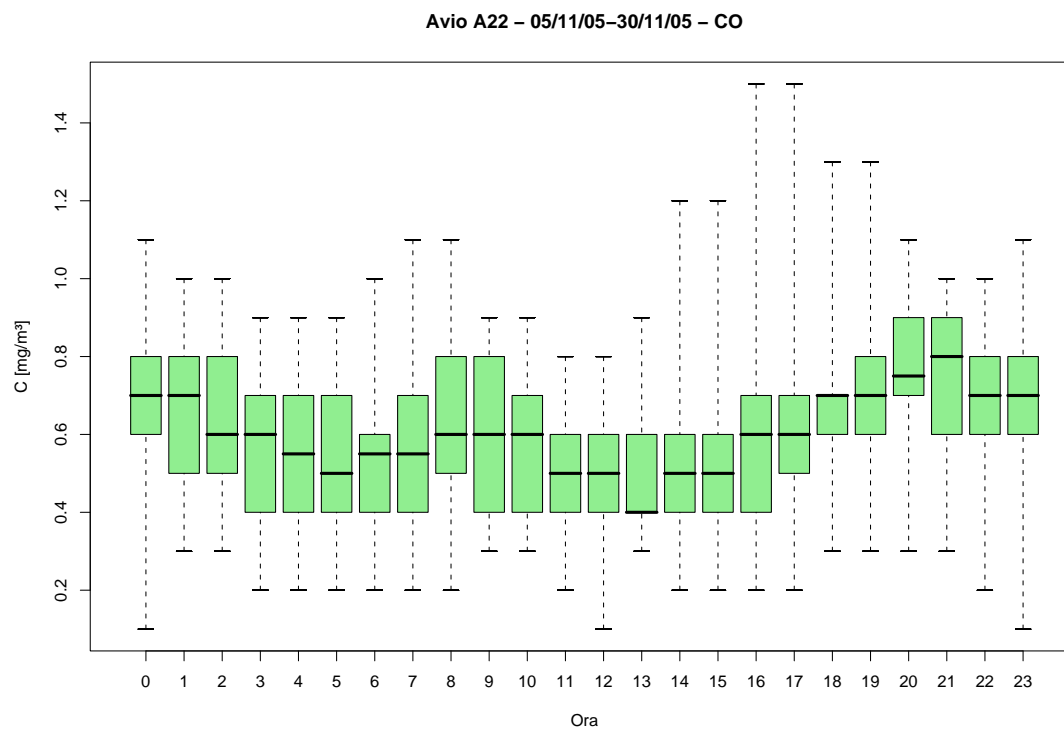


Figura 37.1: Campagna di misura a Avio A22 (05/11/05-30/11/05), inquinante: *CO*. Box-plot relativo all'ora del giorno.

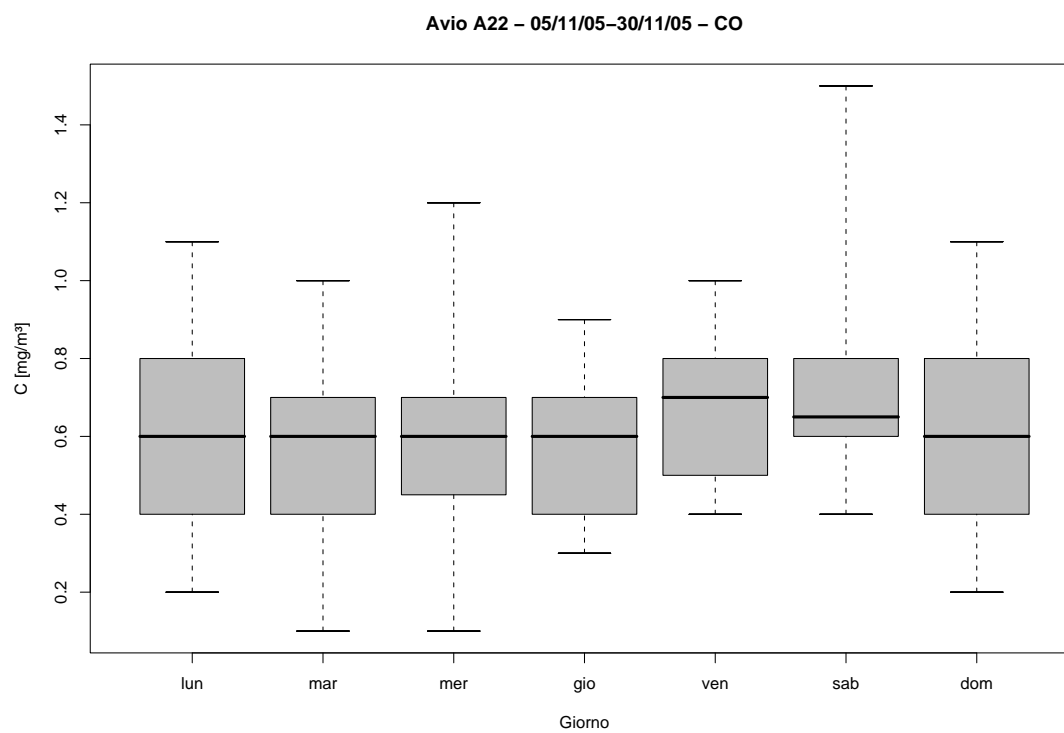


Figura 37.2: Campagna di misura a Avio A22 (05/11/05-30/11/05), inquinante: *CO*. Box-plot relativo al giorno della settimana.

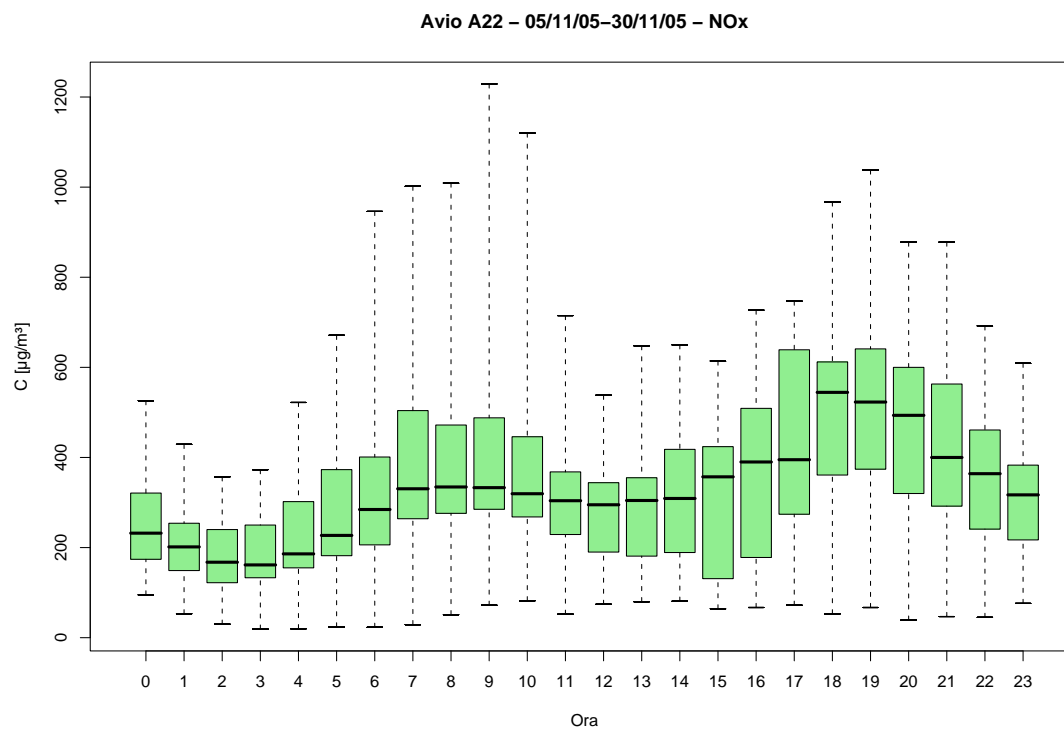


Figura 37.3: Campagna di misura a Avio A22 (05/11/05-30/11/05), inquinante:  $\text{NO}_x$ . Box-plot relativo all'ora del giorno.

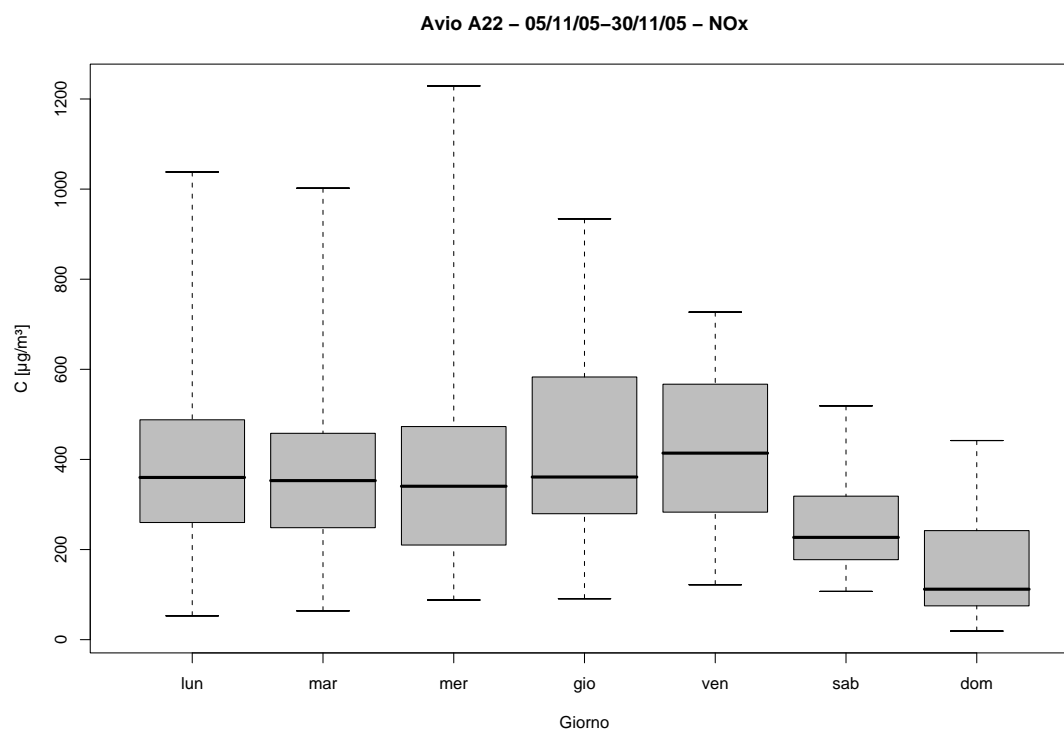


Figura 37.4: Campagna di misura a Avio A22 (05/11/05-30/11/05), inquinante:  $\text{NO}_x$ . Box-plot relativo al giorno della settimana.

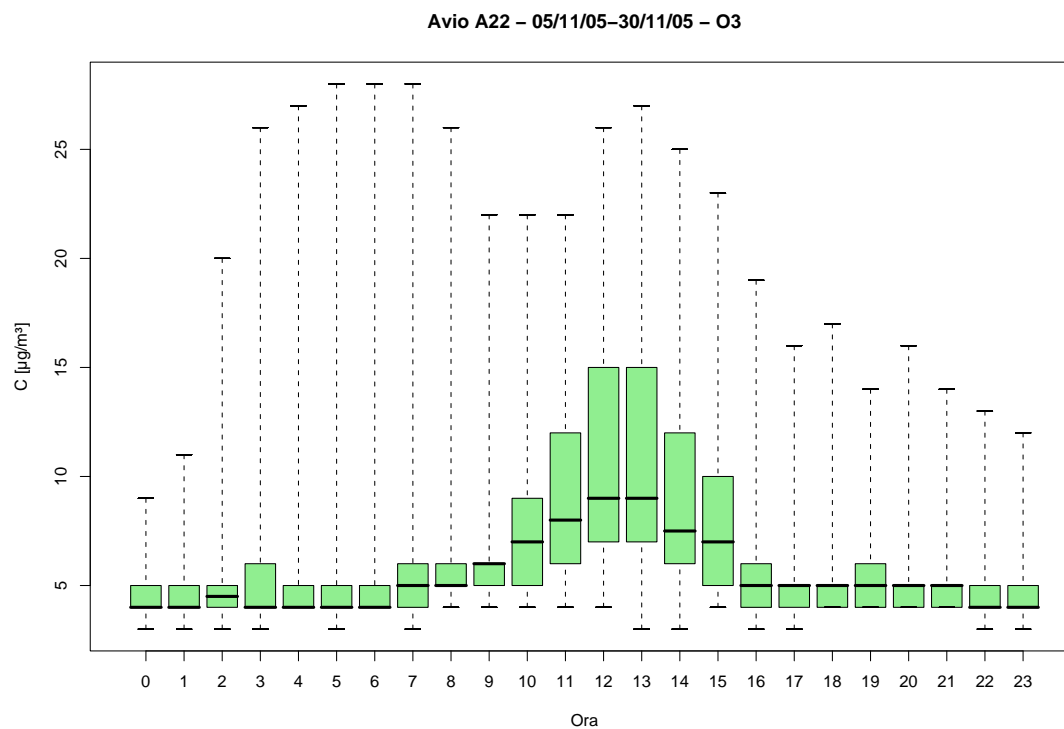


Figura 37.5: Campagna di misura a Avio A22 (05/11/05-30/11/05), inquinante:  $O_3$ . Box-plot relativo all'ora del giorno.

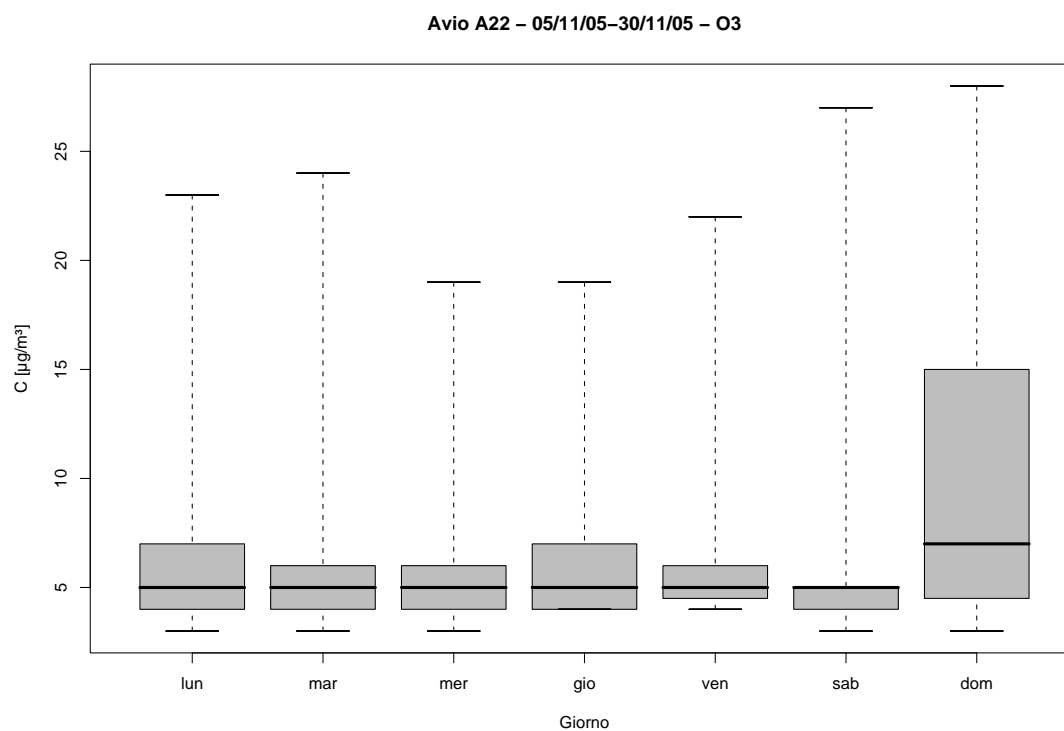


Figura 37.6: Campagna di misura a Avio A22 (05/11/05-30/11/05), inquinante:  $O_3$ . Box-plot relativo al giorno della settimana.

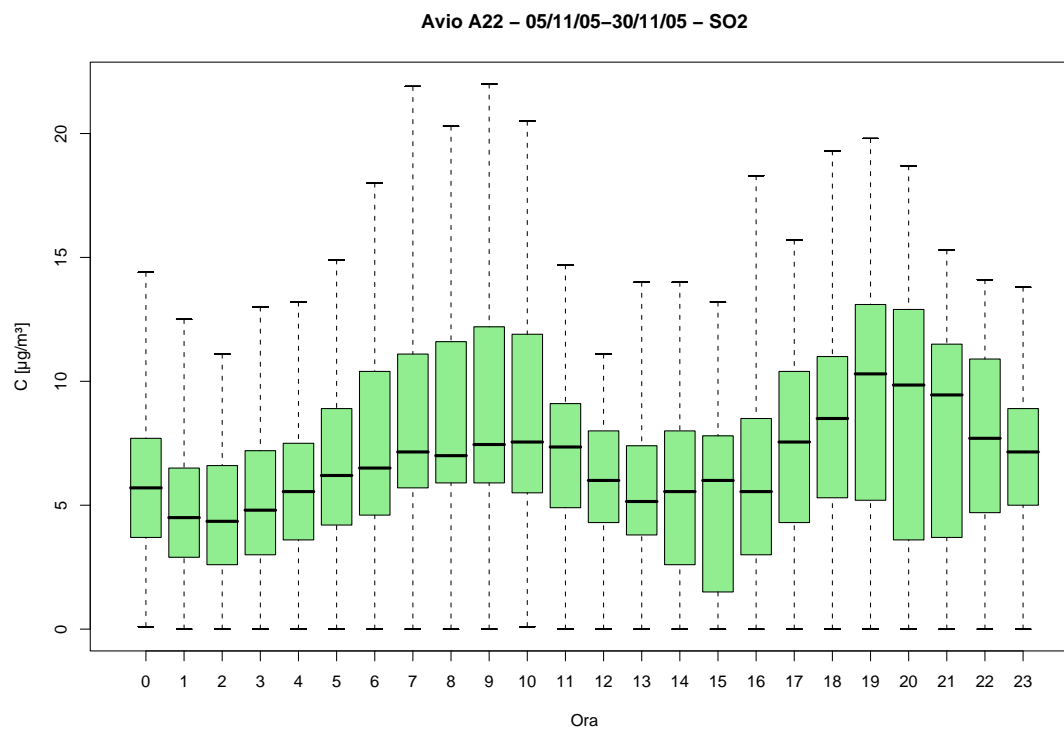


Figura 37.7: Campagna di misura a Avio A22 (05/11/05-30/11/05), inquinante:  $SO_2$ . Box-plot relativo all'ora del giorno.

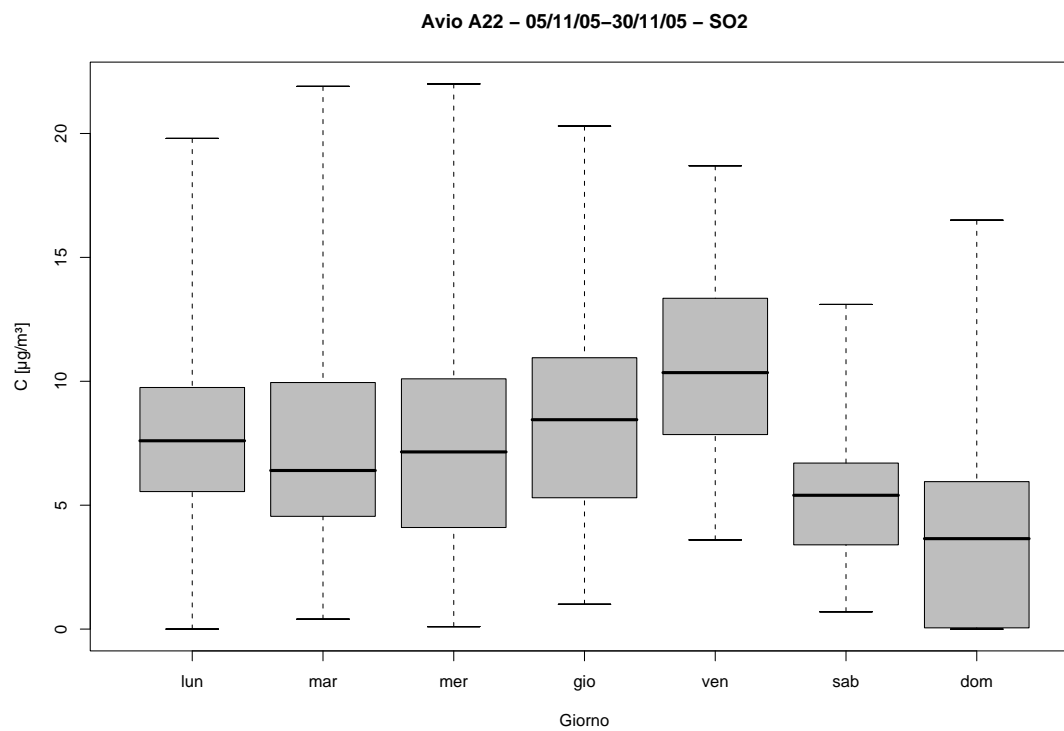


Figura 37.8: Campagna di misura a Avio A22 (05/11/05-30/11/05), inquinante:  $SO_2$ . Box-plot relativo al giorno della settimana.

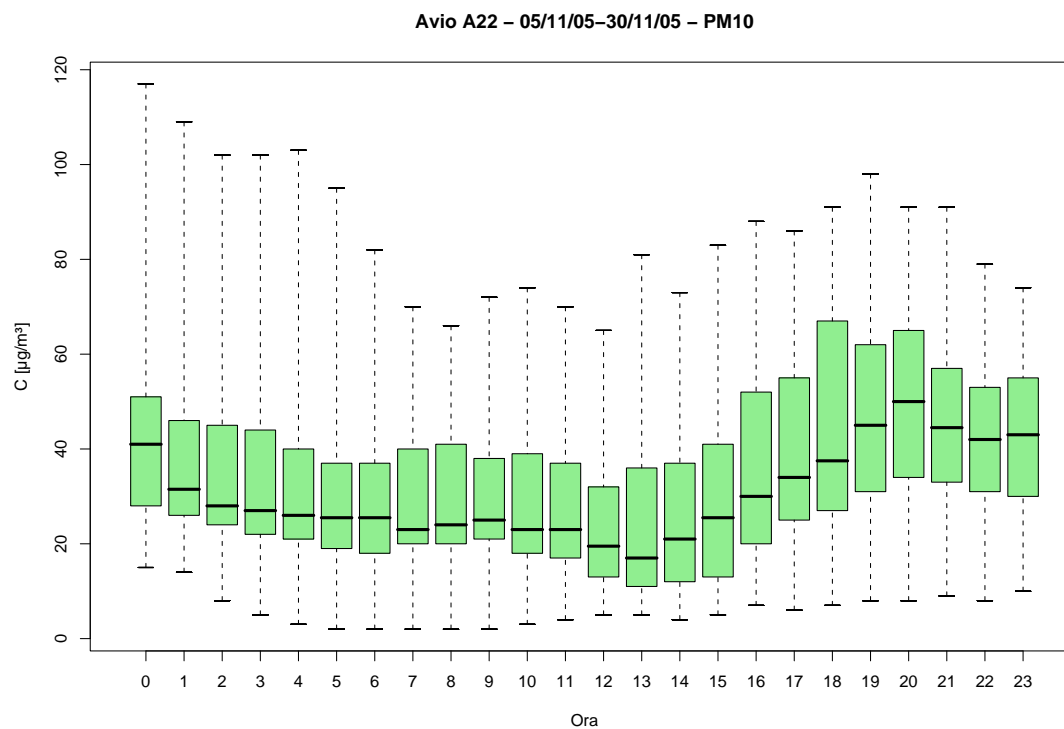


Figura 37.9: Campagna di misura a Avio A22 (05/11/05-30/11/05), inquinante:  $PM_{10}$ . Box-plot relativo all'ora del giorno.

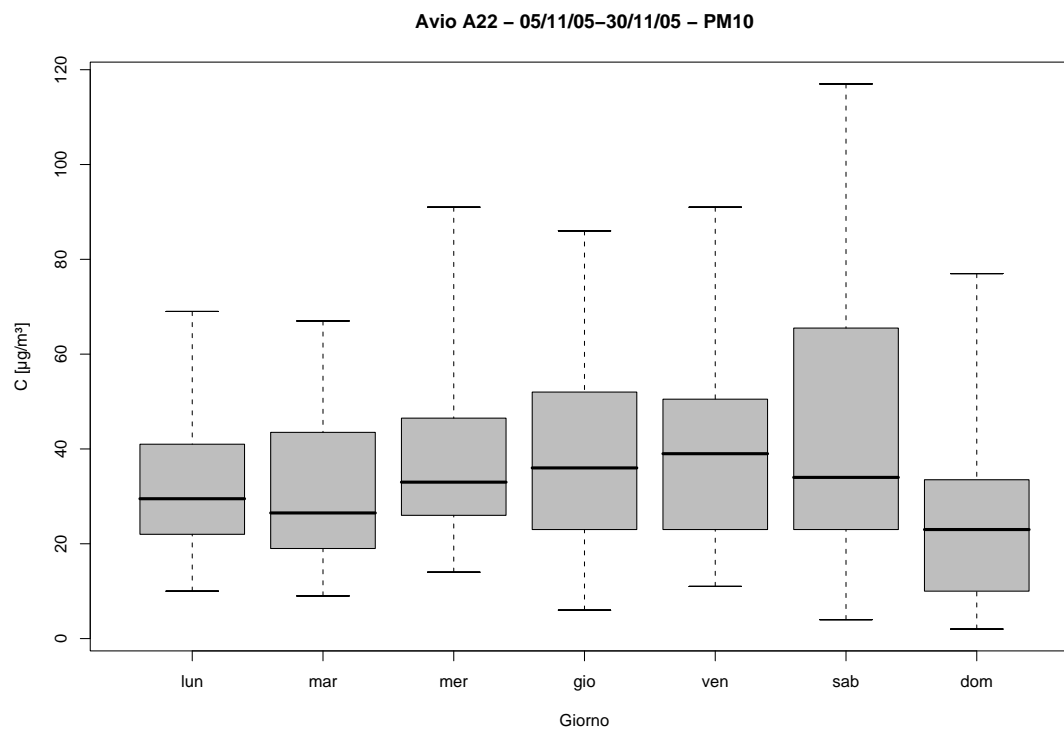


Figura 37.10: Campagna di misura a Avio A22 (05/11/05-30/11/05), inquinante:  $PM_{10}$ . Box-plot relativo al giorno della settimana.

Avio A22 - 05/11/05-30/11/05  
distribuzioni in frequenza e correlazioni

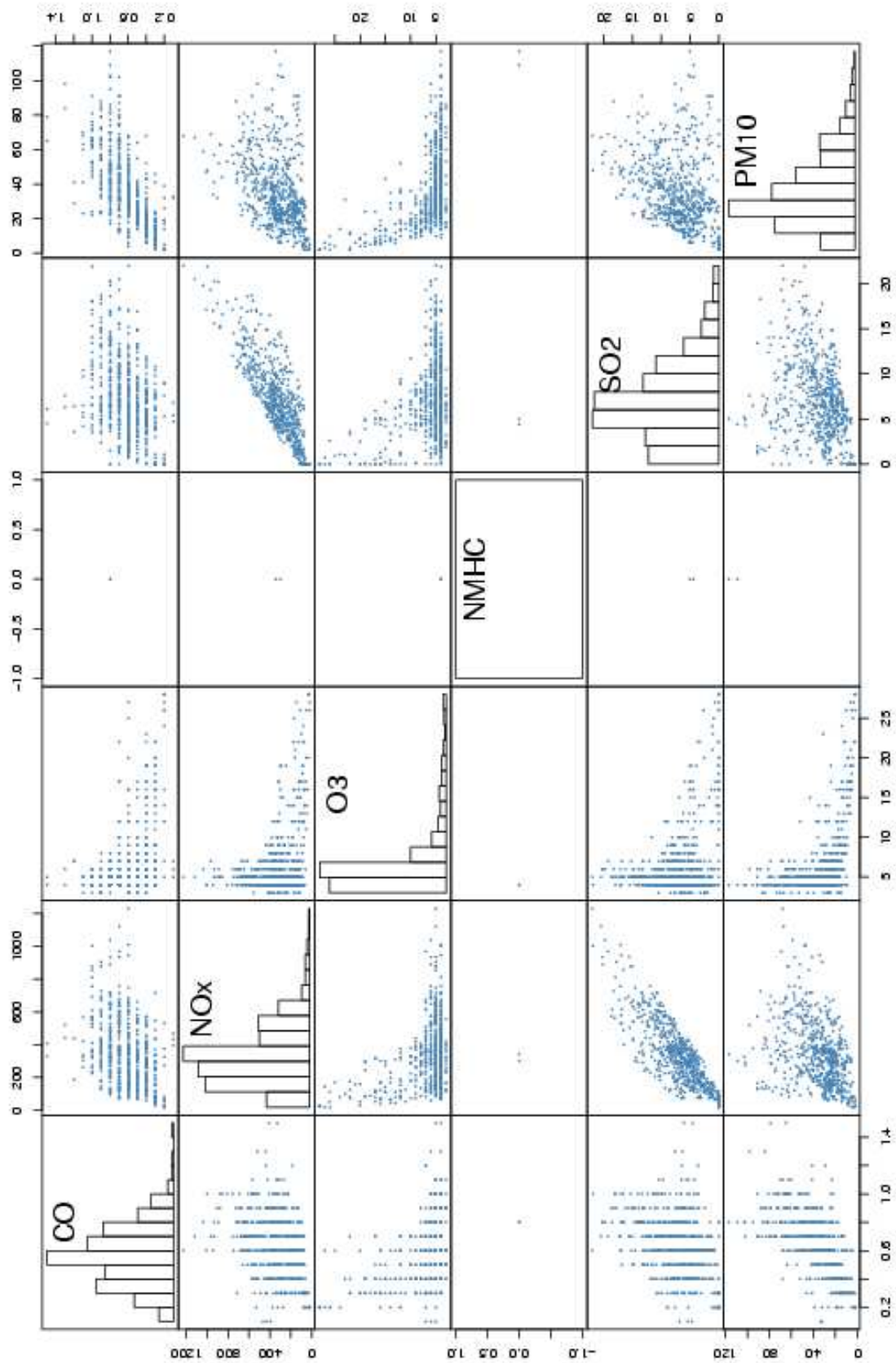
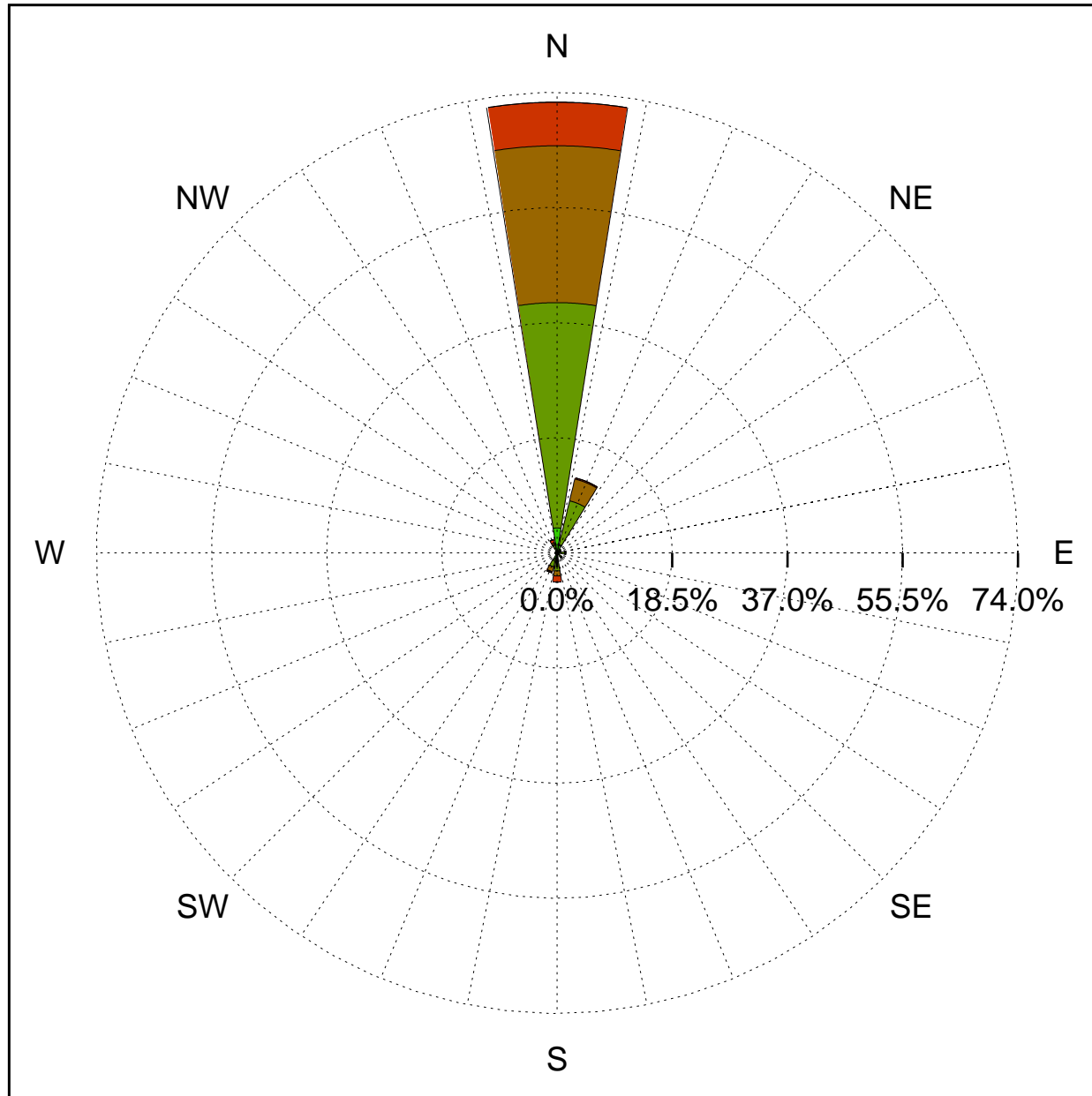


Figura 37.11: Campagna di misura a Avio A22 (05/11/05-30/11/05). Distribuzioni in frequenza e correlazioni.

Sito di misura: Avio A22



Legenda - velocità [m/s]	
$v \geq 5.0$	
$3.0 \leq v < 5.0$	
$2.0 \leq v < 3.0$	
$1.0 \leq v < 2.0$	
$0.5 \leq v < 1.0$	
calma ( $v < 0.5$ )	

Figura 37.12: Campagna di misura a Avio A22 (05/11/05-30/11/05). Rosa dei venti.

## 38 Campagna di misura a Borgo Valsugana SS47

**Campagna di misura** dal 02/12/05 al 02/01/06

**Inquinanti rilevati:**  $CO$ ,  $NO_x$ ,  $O_3$ ,  $SO_2$ ,  $PM_{10}$

**Parametri meteorologici misurati:** velocità del vento, direzione del vento, temperatura, pioggia

**Note:** I grafici mostrano degli andamenti giornalieri per gli ossidi di azoto e per la  $SO_2$  piuttosto anomali se confrontati con l'andamento delle  $PM_{10}$ . Per i primi 2 infatti si nota che i valori di concentrazione restano elevati per tutto il giorno, e solo nelle ore notturne diminuiscono. Le polveri fini invece mostrano il tipico andamento caratterizzato da 2 massimi relativi, il primo in corrispondenza delle ore 10, il secondo in corrispondenza delle ore 20. Gli andamenti settimanali sono anch'essi discordi, mentre  $CO$  e  $PM_{10}$  non mostrano un ciclo settimanale, si nota che le concentrazioni di  $NO_x$  e  $SO_2$  crescono durante tutta la settimana per poi diminuire il sabato e raggiungere il minimo la domenica. I grafici dell'ozono mostrano il tipico ciclo giornaliero che caratterizza i mesi freddi, con concentrazione mediamente costante nell'arco della giornata e un picco evidente tra le 12 e le 14. Altrettanto tipico è il ciclo settimanale che prevede concentrazione costante durante la settimana per poi aumentare nel week-end.



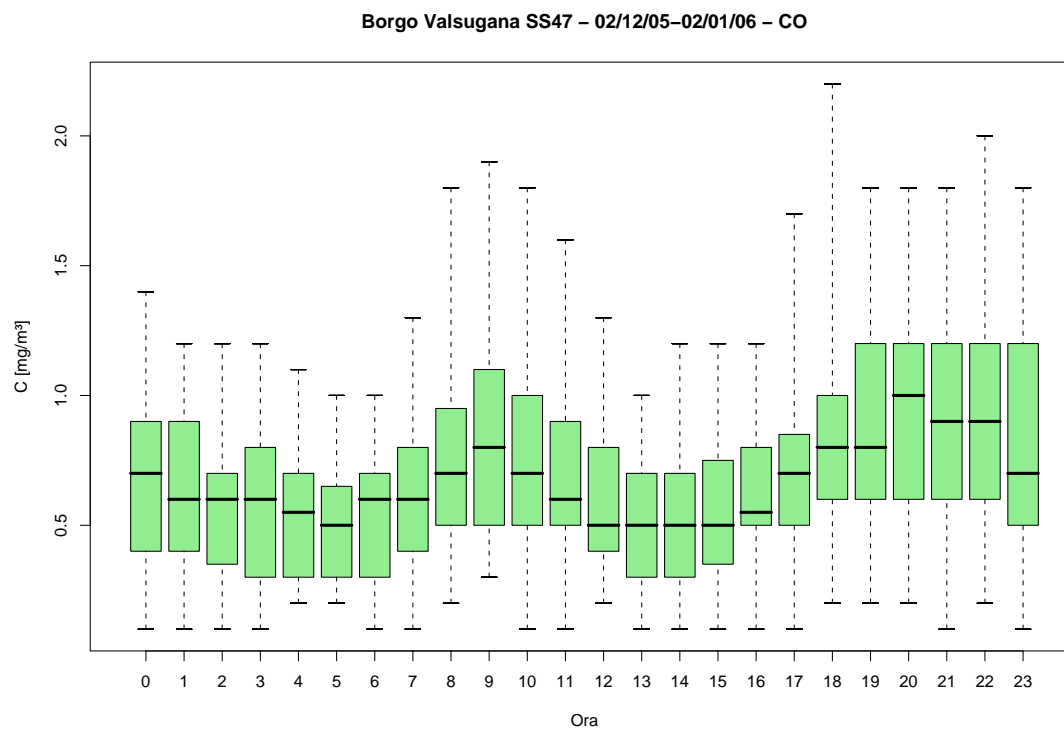


Figura 38.1: Campagna di misura a Borgo Valsugana SS47 (02/12/05-02/01/06), inquinante: CO. Box-plot relativo all'ora del giorno.

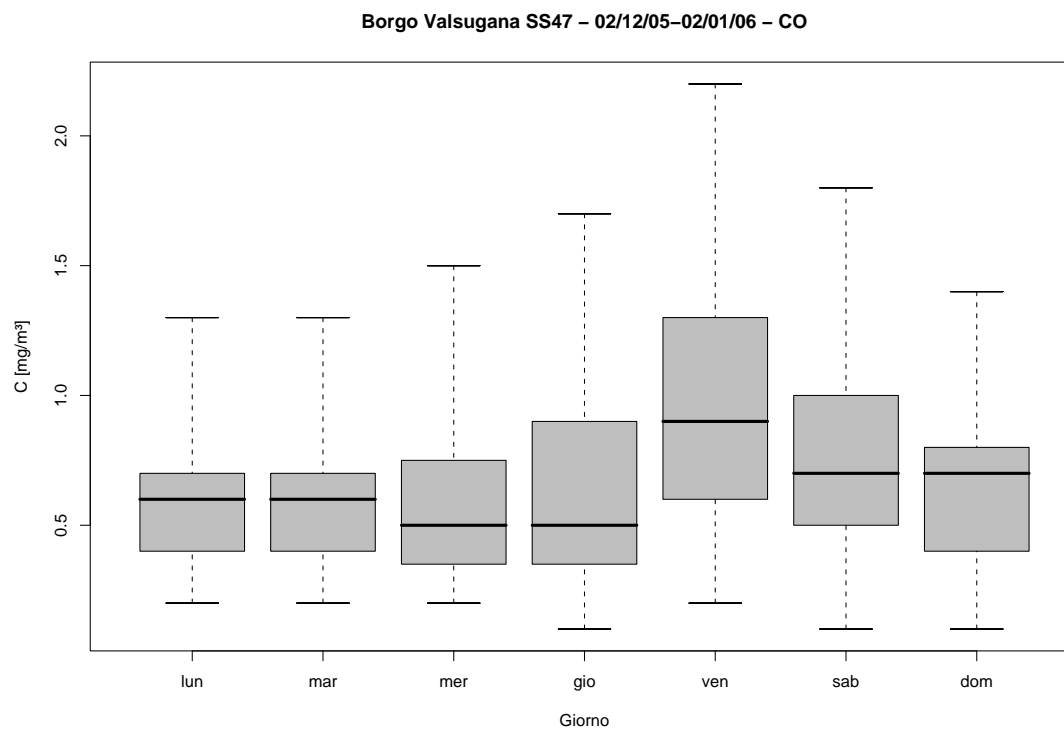


Figura 38.2: Campagna di misura a Borgo Valsugana SS47 (02/12/05-02/01/06), inquinante: CO. Box-plot relativo al giorno della settimana.

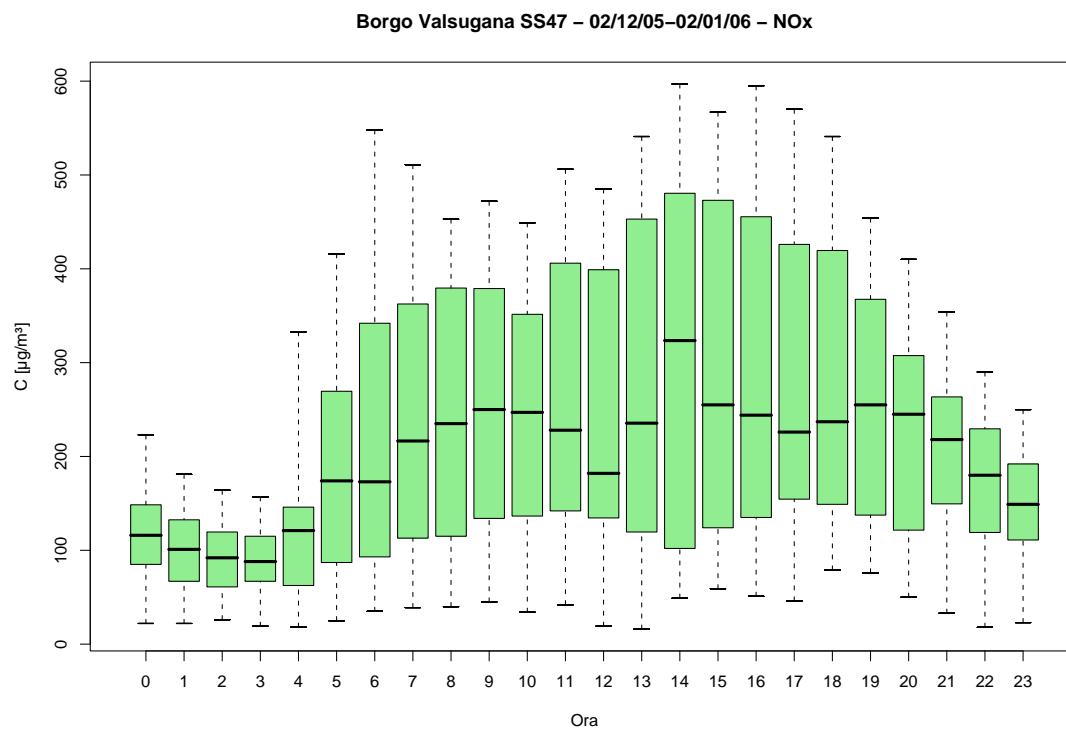


Figura 38.3: Campagna di misura a Borgo Valsugana SS47 (02/12/05-02/01/06), inquinante:  $NO_x$ . Box-plot relativo all'ora del giorno.

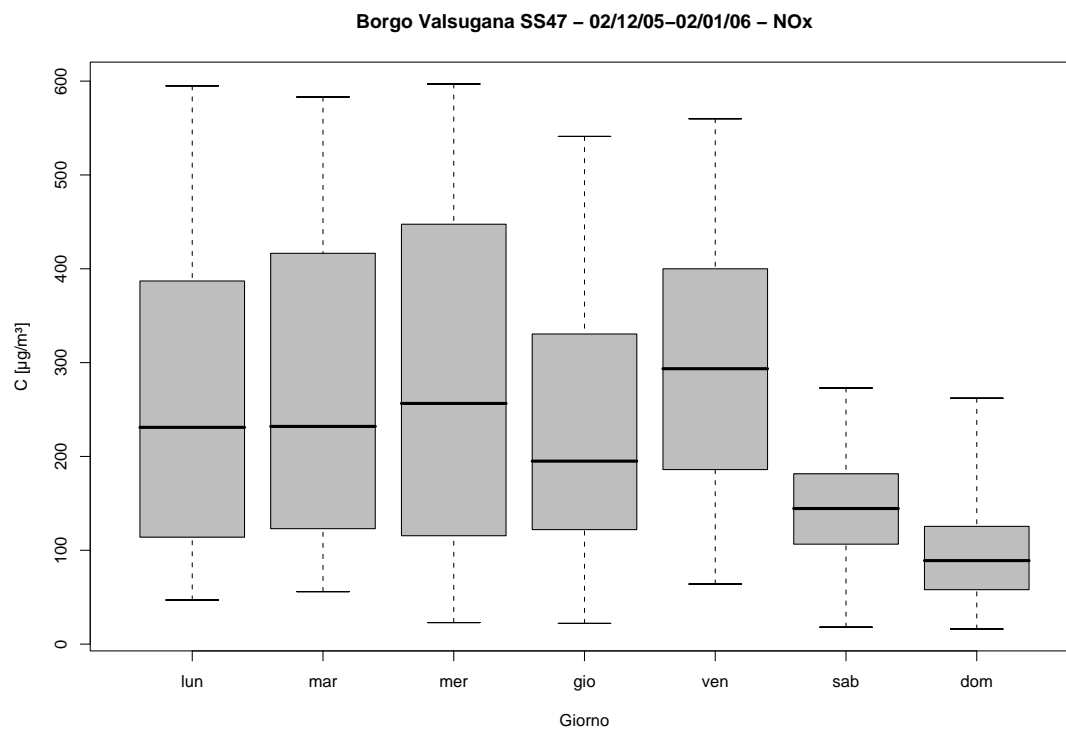


Figura 38.4: Campagna di misura a Borgo Valsugana SS47 (02/12/05-02/01/06), inquinante:  $NO_x$ . Box-plot relativo al giorno della settimana.

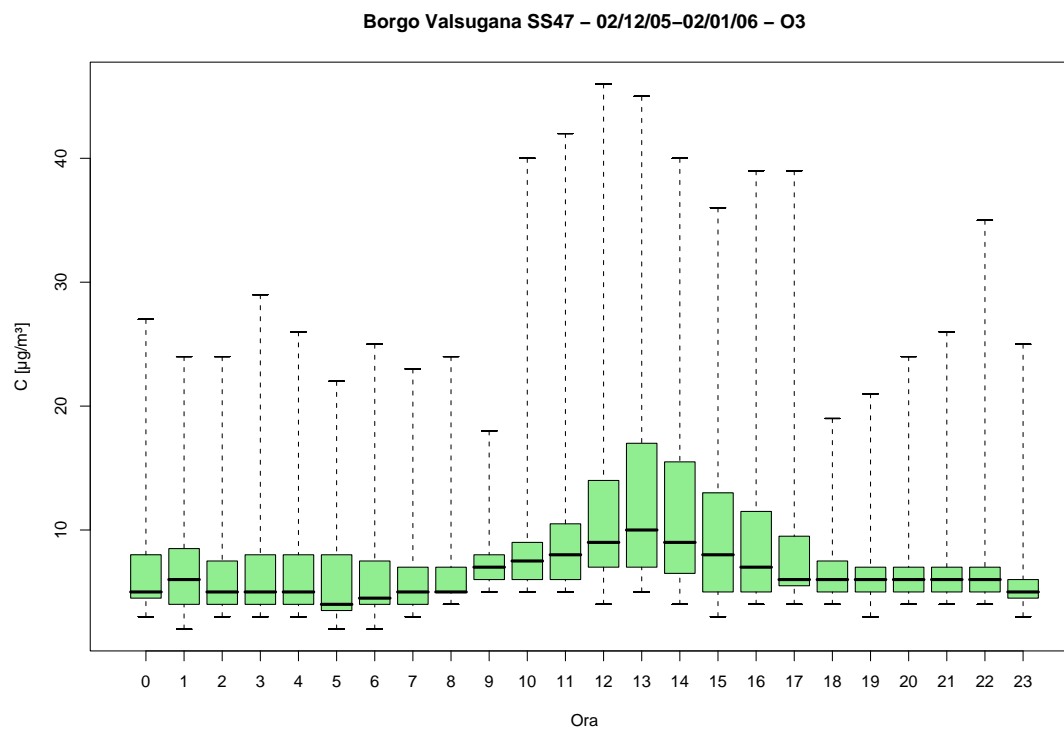


Figura 38.5: Campagna di misura a Borgo Valsugana SS47 (02/12/05-02/01/06), inquinante: O<sub>3</sub>. Box-plot relativo all'ora del giorno.

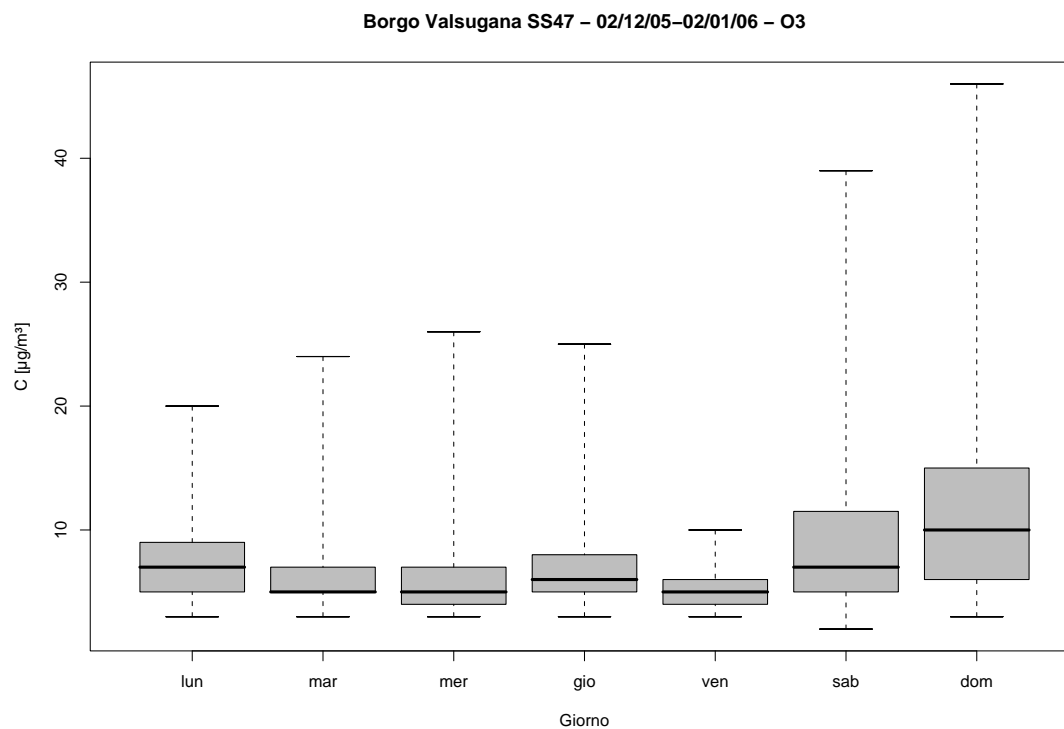


Figura 38.6: Campagna di misura a Borgo Valsugana SS47 (02/12/05-02/01/06), inquinante: O<sub>3</sub>. Box-plot relativo al giorno della settimana.

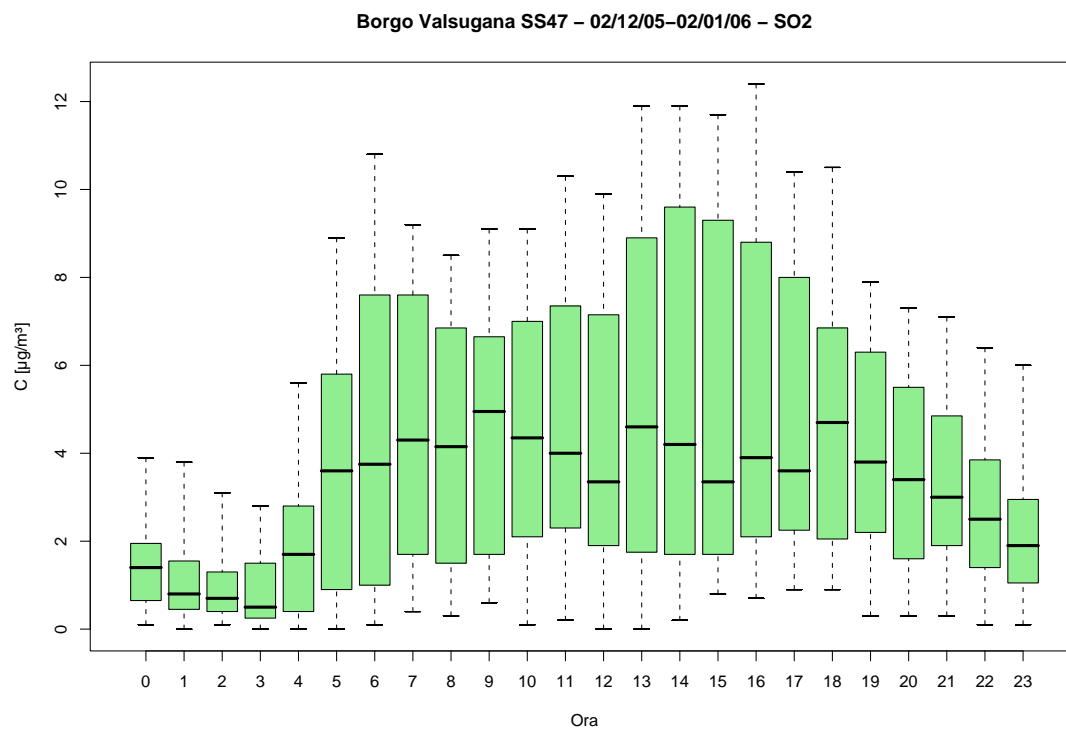


Figura 38.7: Campagna di misura a Borgo Valsugana SS47 (02/12/05-02/01/06), inquinante:  $SO_2$ . Box-plot relativo all'ora del giorno.

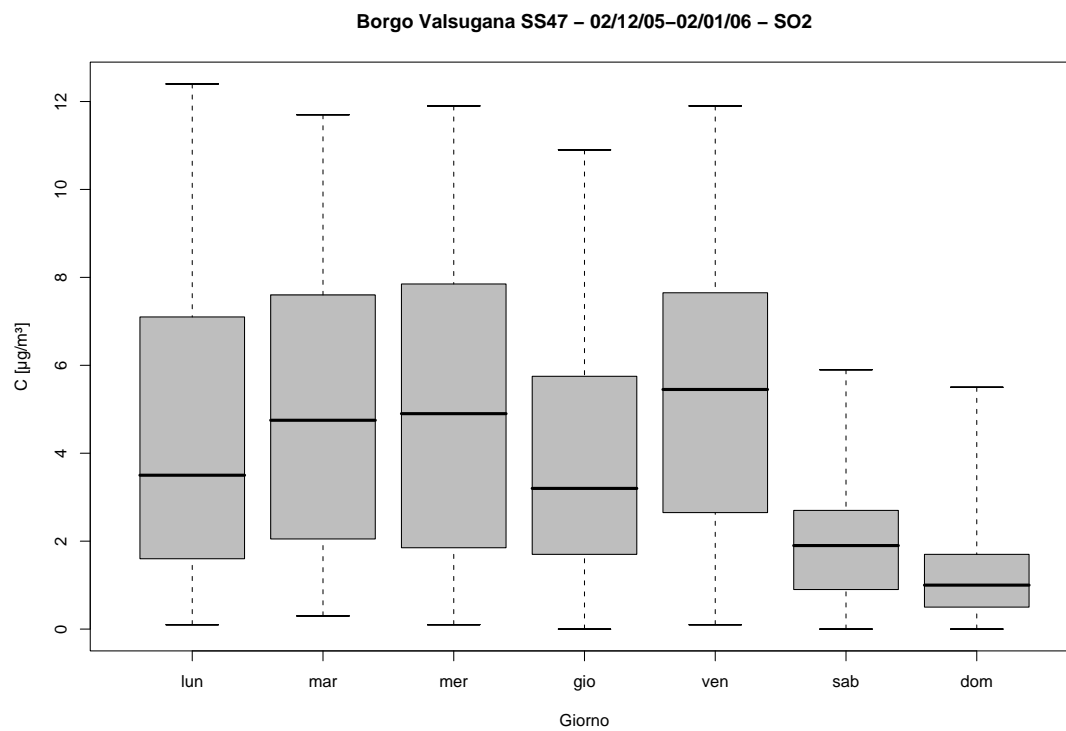


Figura 38.8: Campagna di misura a Borgo Valsugana SS47 (02/12/05-02/01/06), inquinante:  $SO_2$ . Box-plot relativo al giorno della settimana.

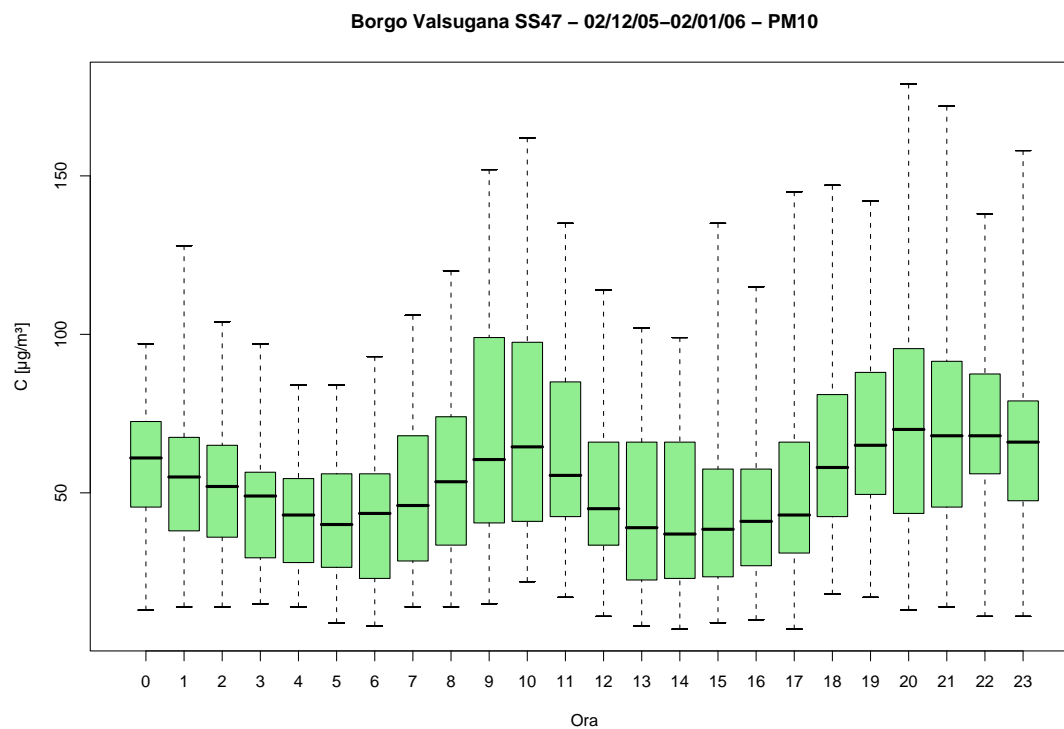


Figura 38.9: Campagna di misura a Borgo Valsugana SS47 (02/12/05-02/01/06), inquinante:  $PM_{10}$ . Box-plot relativo all'ora del giorno.

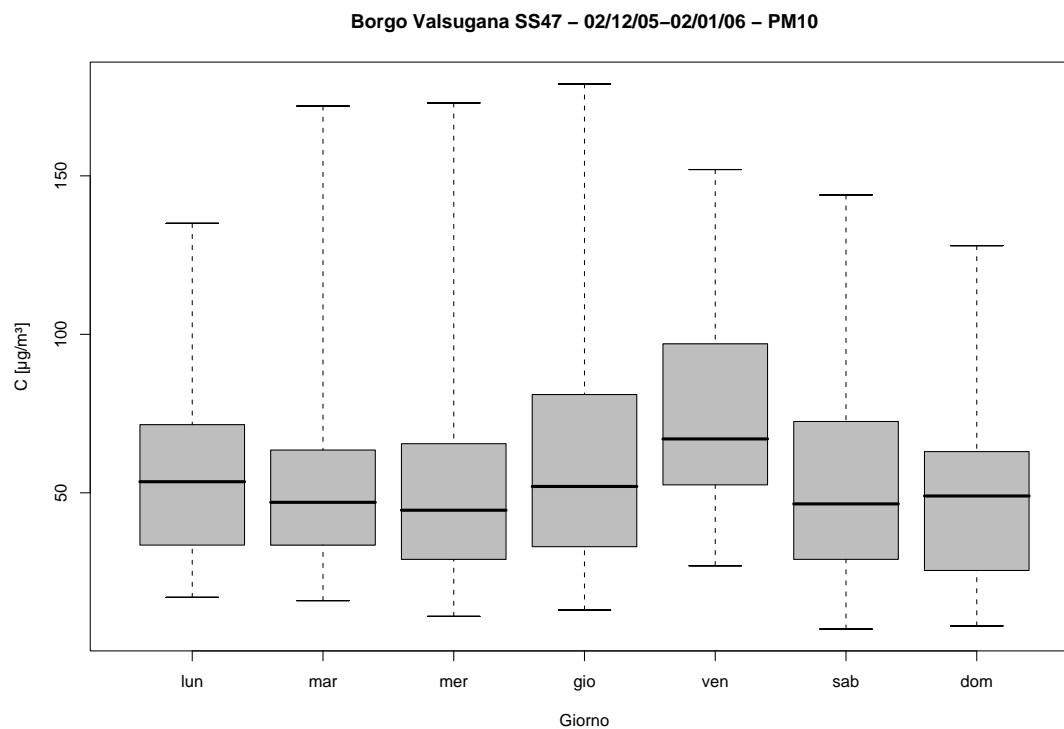


Figura 38.10: Campagna di misura a Borgo Valsugana SS47 (02/12/05-02/01/06), inquinante:  $PM_{10}$ . Box-plot relativo al giorno della settimana.

**Borgo Valsugana SS47 – 02/12/05–02/01/06**  
**distribuzioni in frequenza e correlazioni**

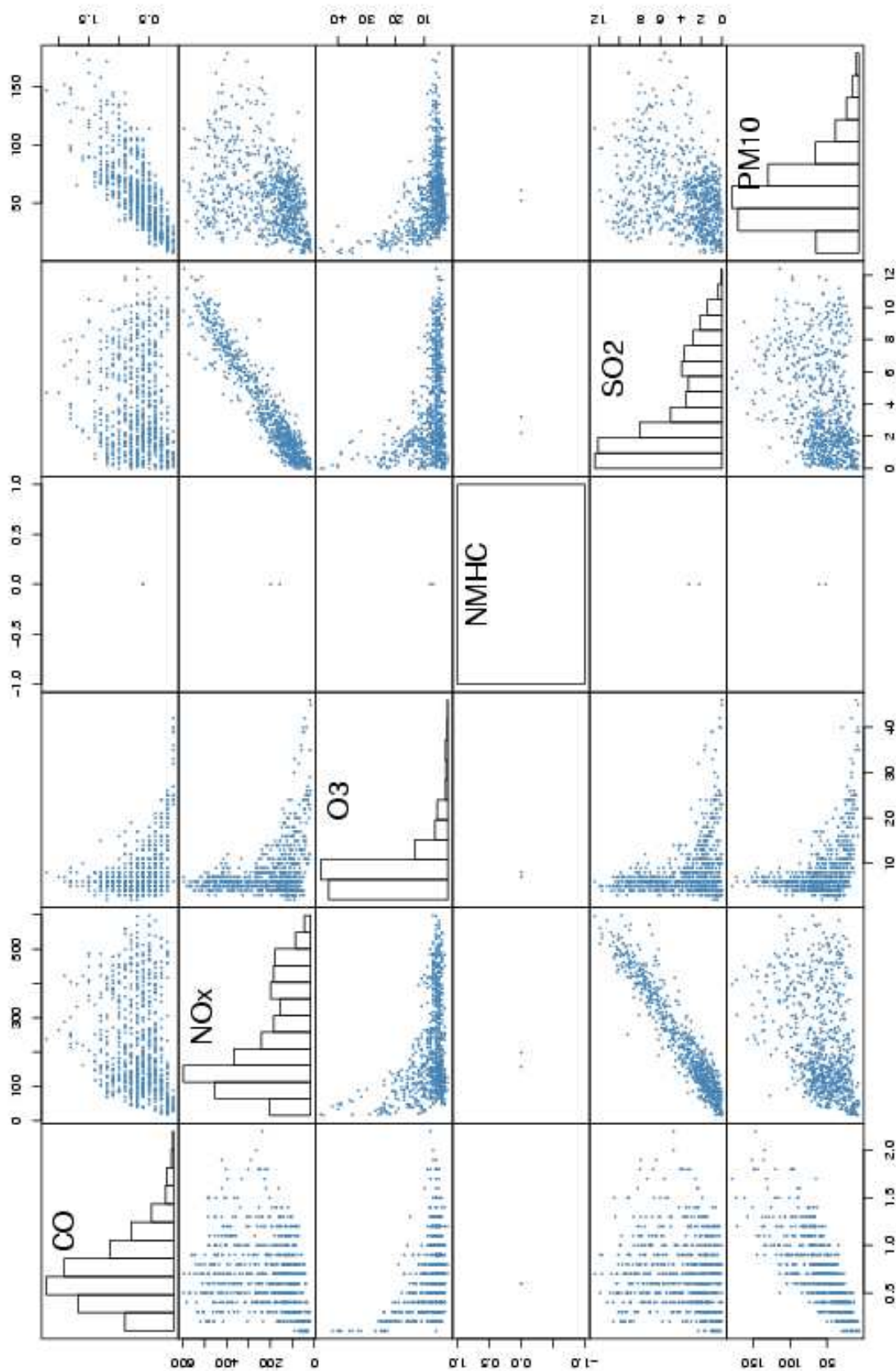
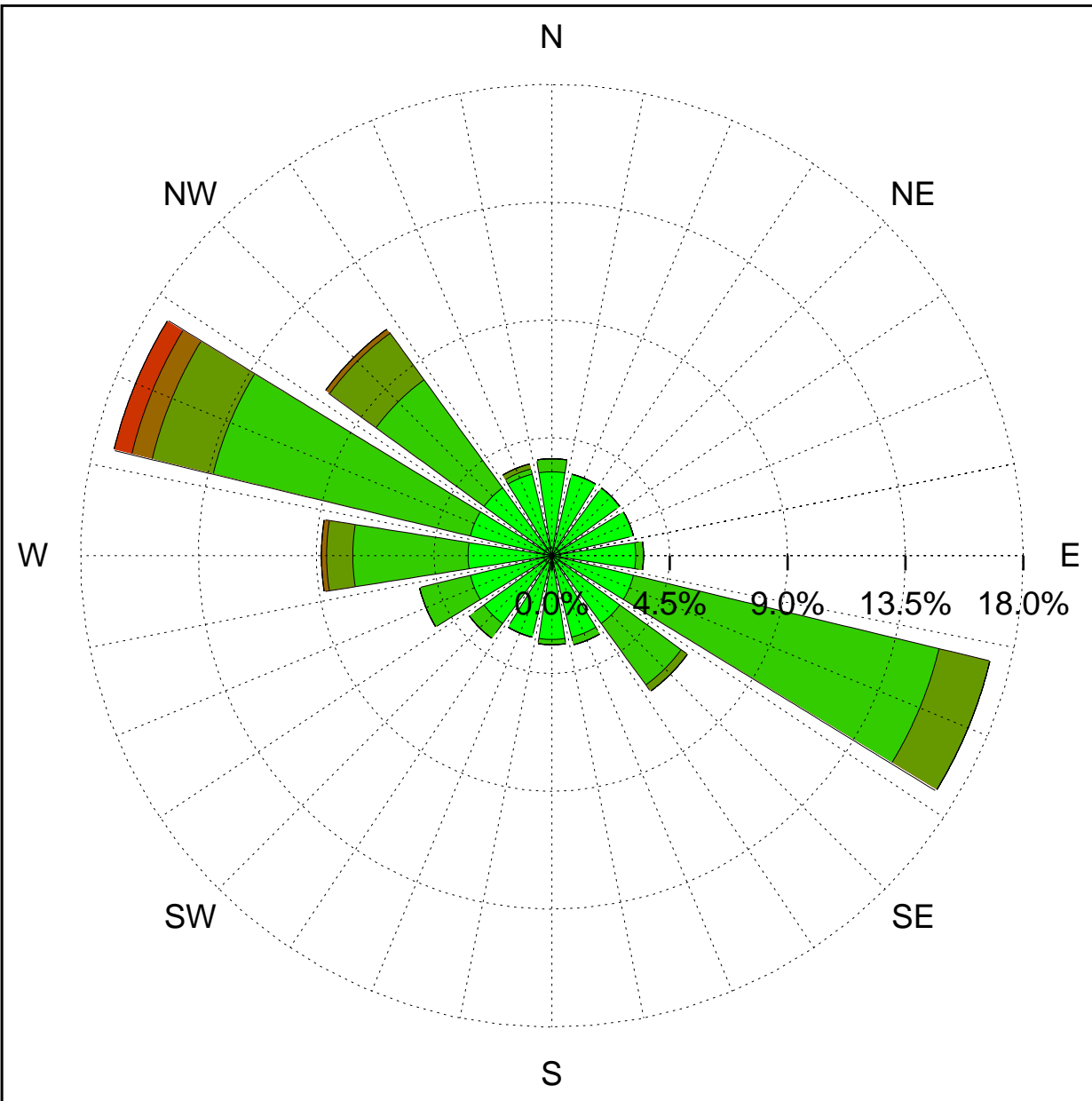


Figura 38.11: Campagna di misura a Borgo Valsugana SS47 (02/12/05-02/01/06). Distribuzioni in frequenza e correlazioni.

Sito di misura: Borgo Valsugana SS47



Legenda - velocità [m/s]	
$v \geq 5.0$	
$3.0 \leq v < 5.0$	
$2.0 \leq v < 3.0$	
$1.0 \leq v < 2.0$	
$0.5 \leq v < 1.0$	
calma ( $v < 0.5$ )	

Figura 38.12: Campagna di misura a Borgo Valsugana SS47 (02/12/05-02/01/06). Rosa dei venti.

## 39 Campagna di misura a Salorno (ALPNAP)

**Campagna di misura** dal 14/01/06 al 30/01/06

**Inquinanti rilevati:**  $CO$ ,  $NO_x$ ,  $O_3$ ,  $SO_2$ ,  $PM_{10}$

**Parametri meteorologici misurati:** velocità del vento, direzione del vento, temperatura, umidità relativa, radiazione globale

**Note:** Sebbene i grafici riguardanti  $PM_{10}$  e  $CO$  non forniscano indicazioni precise, si nota come per tutti gli inquinanti viene registrato un andamento settimanale piuttosto costante ed un comportamento giornaliero, che mostra un picco nelle concentrazioni nelle ore che vanno dalle 10 alle 12. L'ozono presenta valori piuttosto bassi nel corso del giorno, ad eccezione di poche ore (11-14) bassi spiegati peraltro da elevati valori degli ossidi di azoto. Questo comportamento è spiegato dalla vicinanza del sito di misura all'autostrada del Brennero, fonte consistente di  $NO$  e  $NO_2$ .



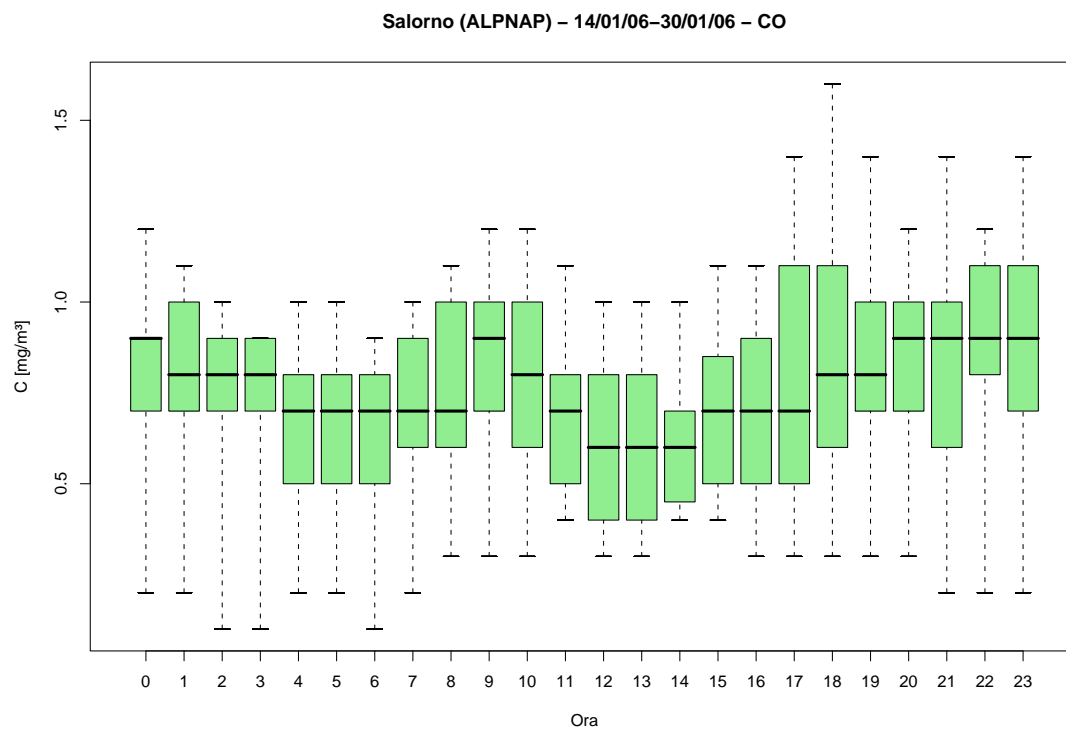


Figura 39.1: Campagna di misura a Salorno (ALPNAP) (14/01/06-30/01/06), inquinante: *CO*. Box-plot relativo all'ora del giorno.

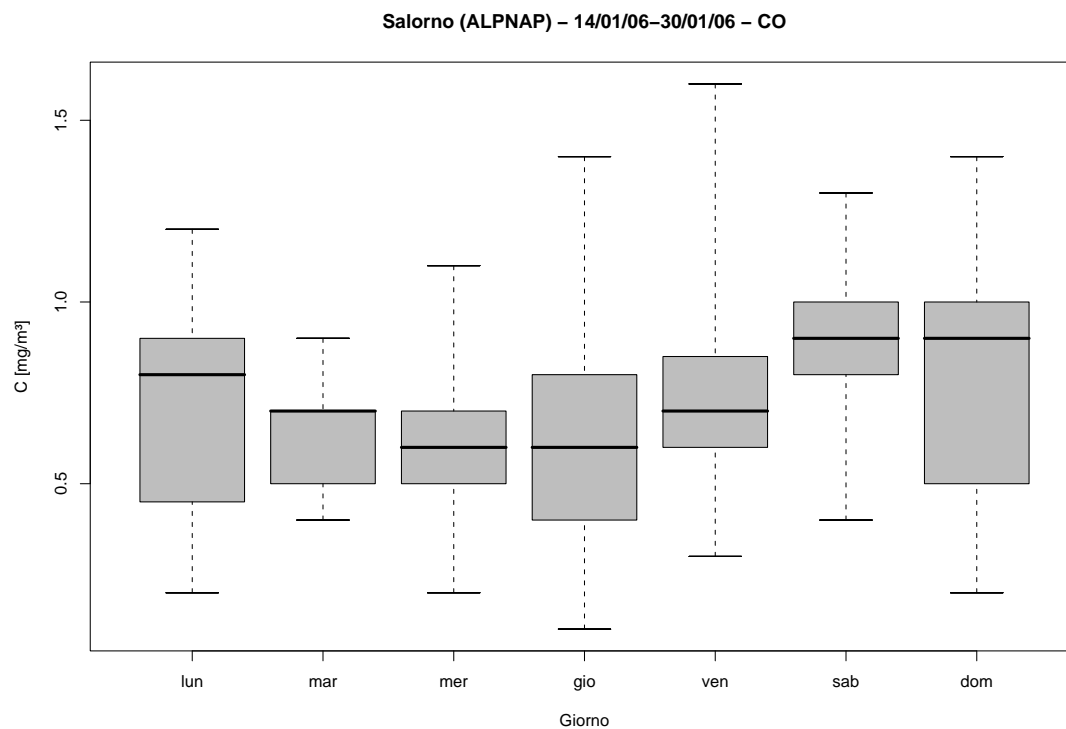


Figura 39.2: Campagna di misura a Salorno (ALPNAP) (14/01/06-30/01/06), inquinante: *CO*. Box-plot relativo al giorno della settimana.

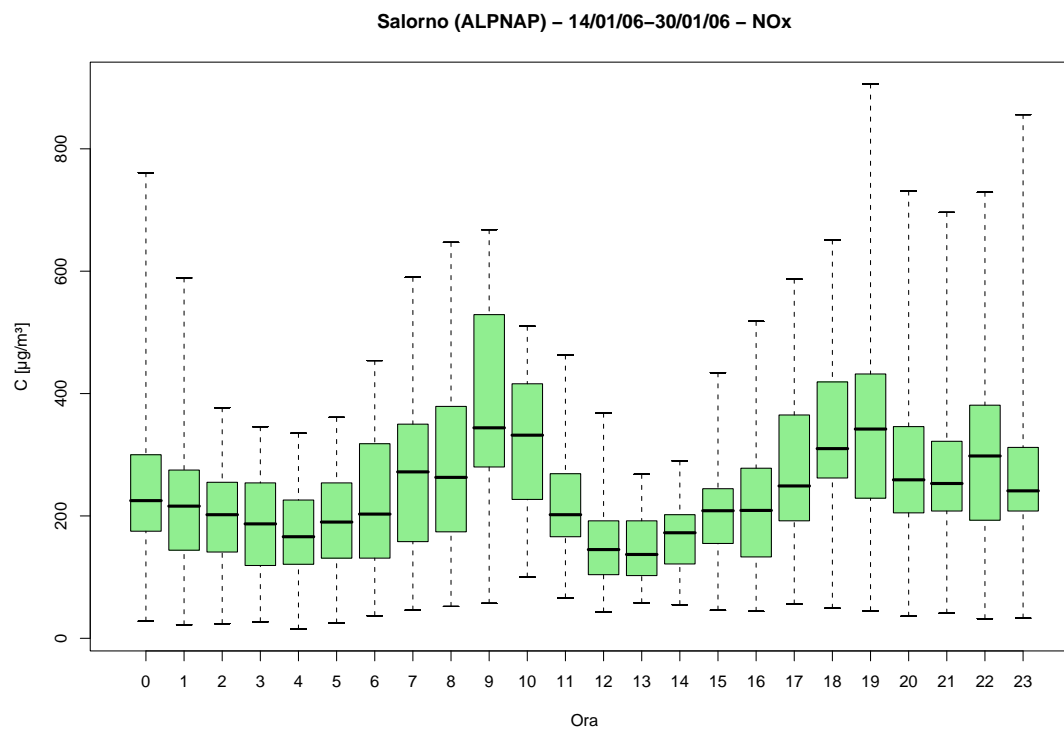


Figura 39.3: Campagna di misura a Salorno (ALPNAP) (14/01/06-30/01/06), inquinante:  $NO_x$ . Box-plot relativo all'ora del giorno.

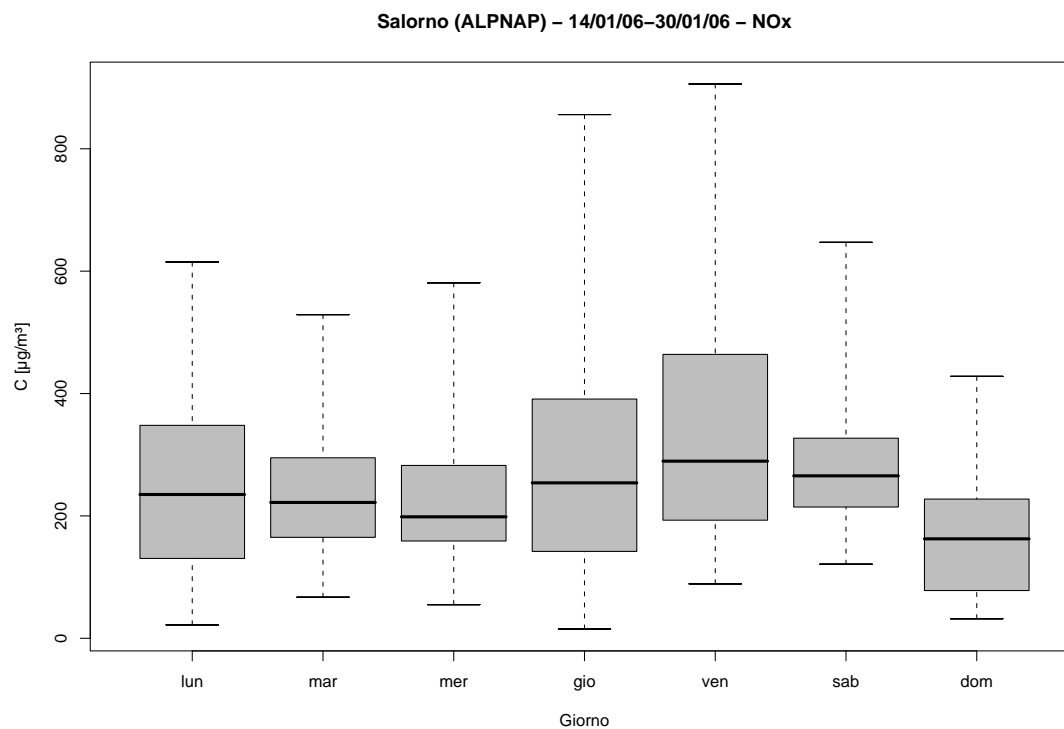


Figura 39.4: Campagna di misura a Salorno (ALPNAP) (14/01/06-30/01/06), inquinante:  $NO_x$ . Box-plot relativo al giorno della settimana.

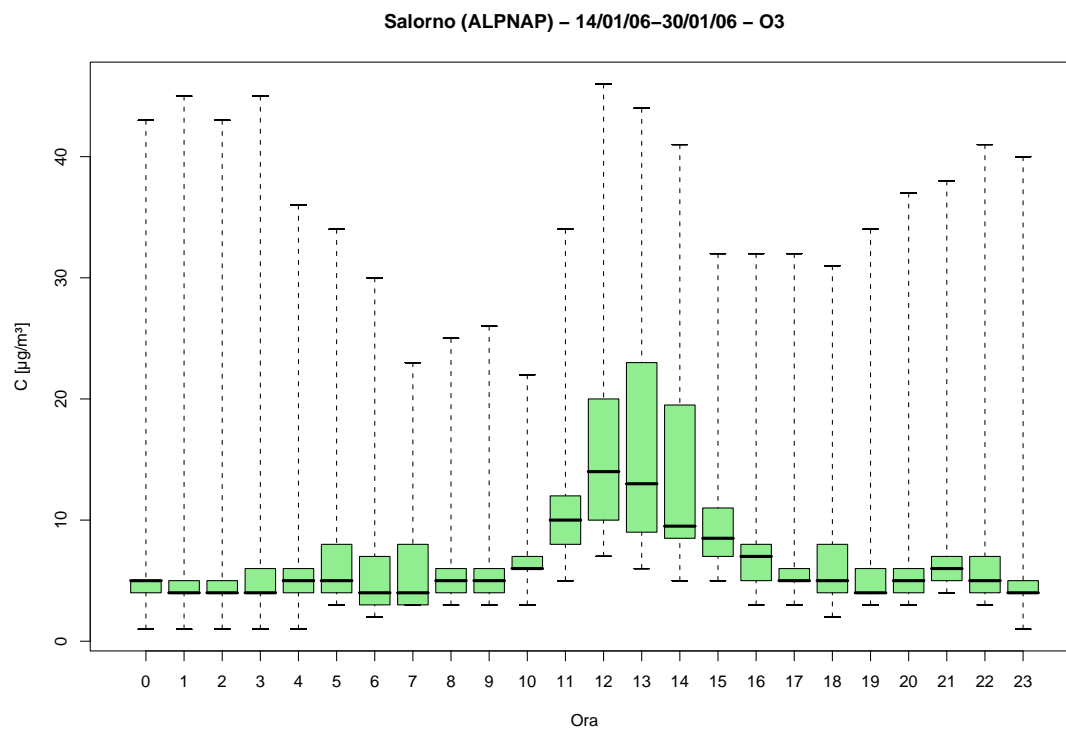


Figura 39.5: Campagna di misura a Salerno (ALPNAP) (14/01/06-30/01/06), inquinante:  $O_3$ . Box-plot relativo all'ora del giorno.

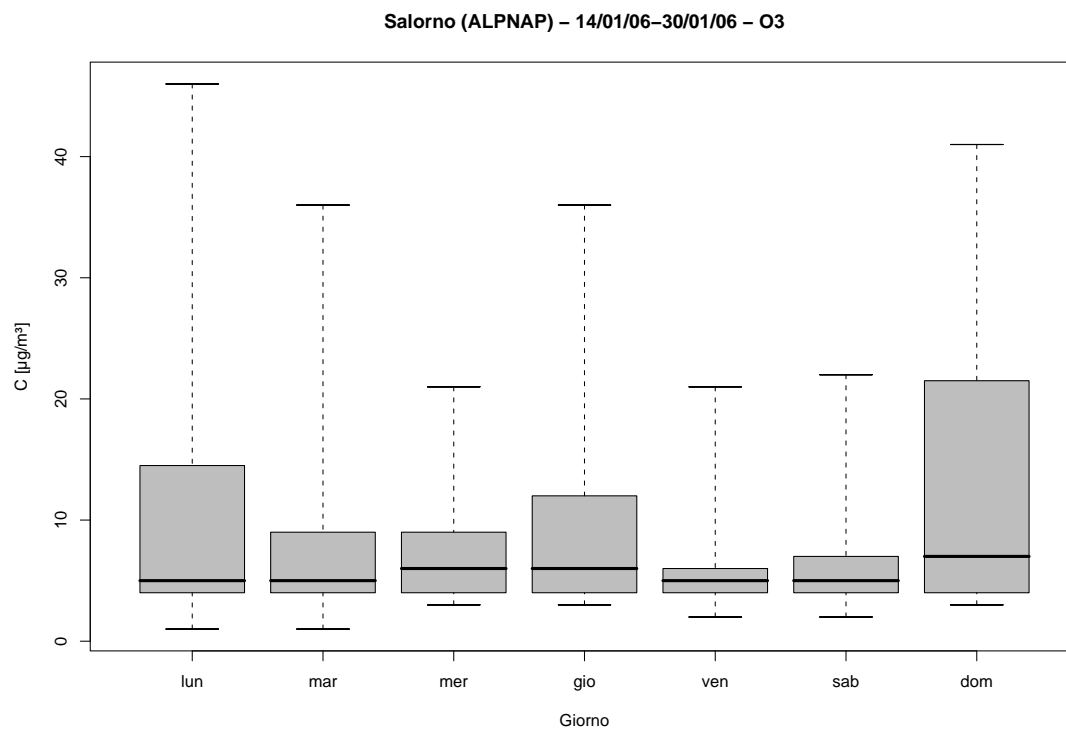


Figura 39.6: Campagna di misura a Salerno (ALPNAP) (14/01/06-30/01/06), inquinante:  $O_3$ . Box-plot relativo al giorno della settimana.

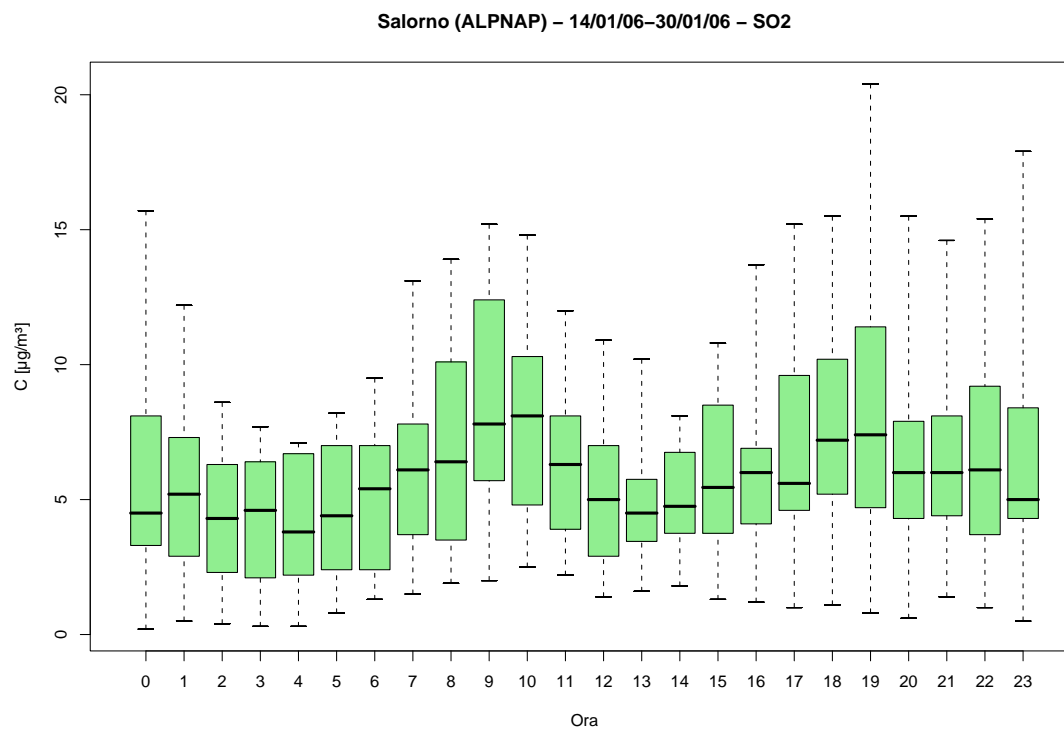


Figura 39.7: Campagna di misura a Salorno (ALPNAP) (14/01/06-30/01/06), inquinante:  $SO_2$ . Box-plot relativo all'ora del giorno.

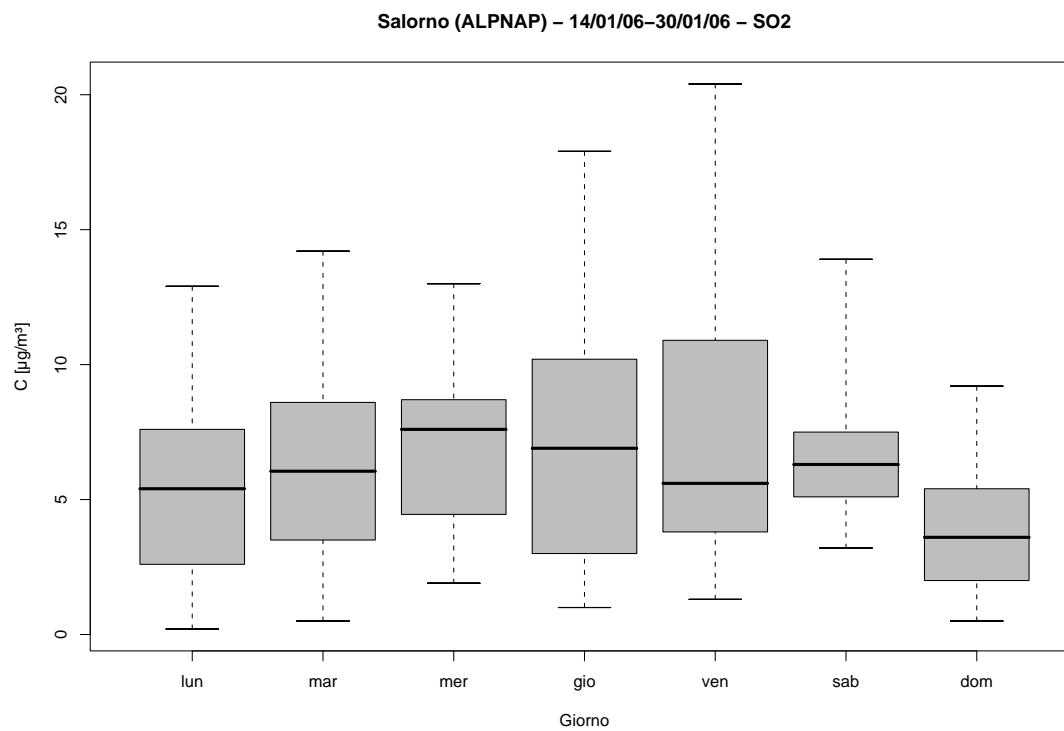


Figura 39.8: Campagna di misura a Salorno (ALPNAP) (14/01/06-30/01/06), inquinante:  $SO_2$ . Box-plot relativo al giorno della settimana.

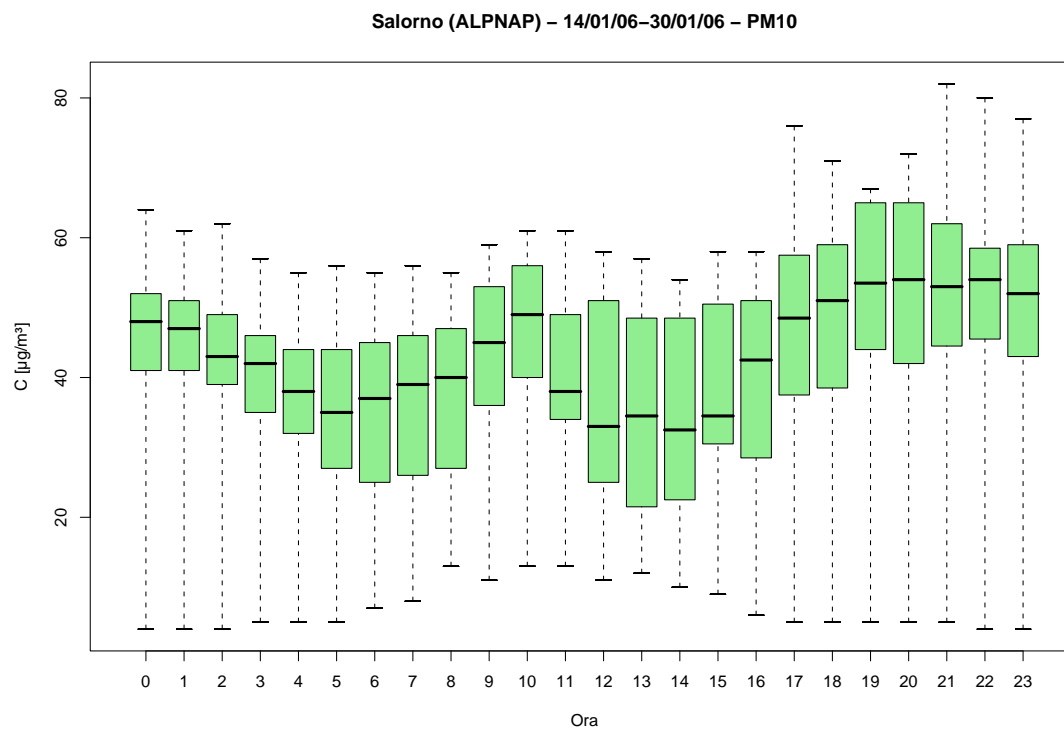


Figura 39.9: Campagna di misura a Salorno (ALPNAP) (14/01/06-30/01/06), inquinante:  $PM_{10}$ . Box-plot relativo all'ora del giorno.

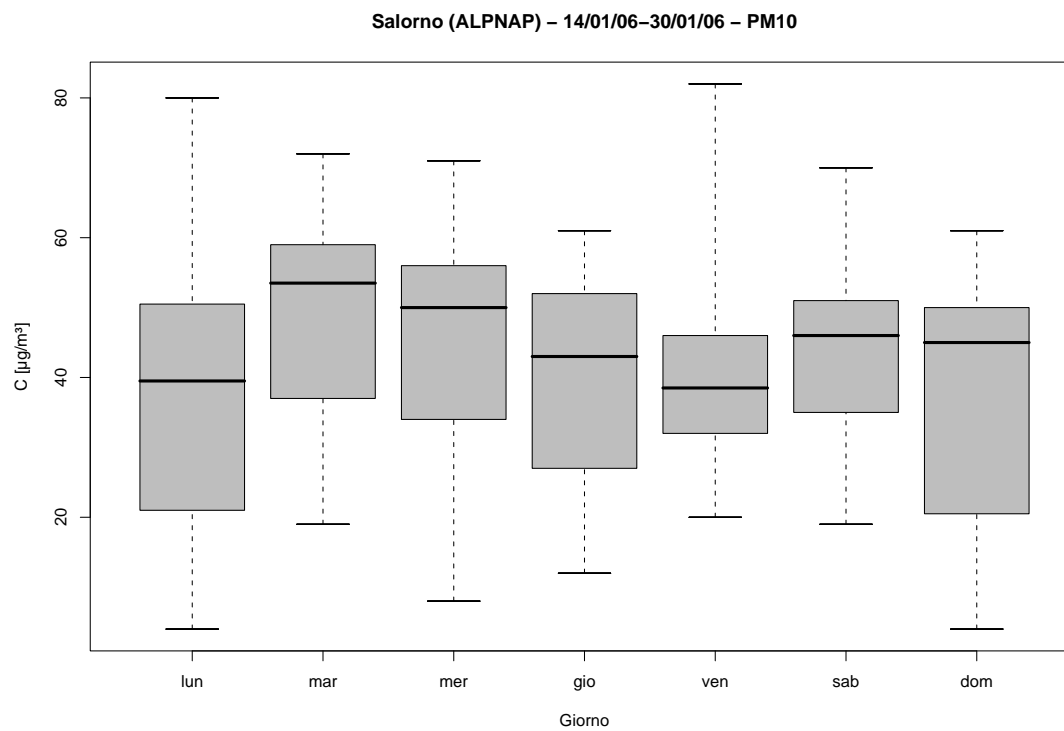


Figura 39.10: Campagna di misura a Salorno (ALPNAP) (14/01/06-30/01/06), inquinante:  $PM_{10}$ . Box-plot relativo al giorno della settimana.

Salorno (ALPNAP) – 14/01/06–30/01/06  
distribuzioni in frequenza e correlazioni

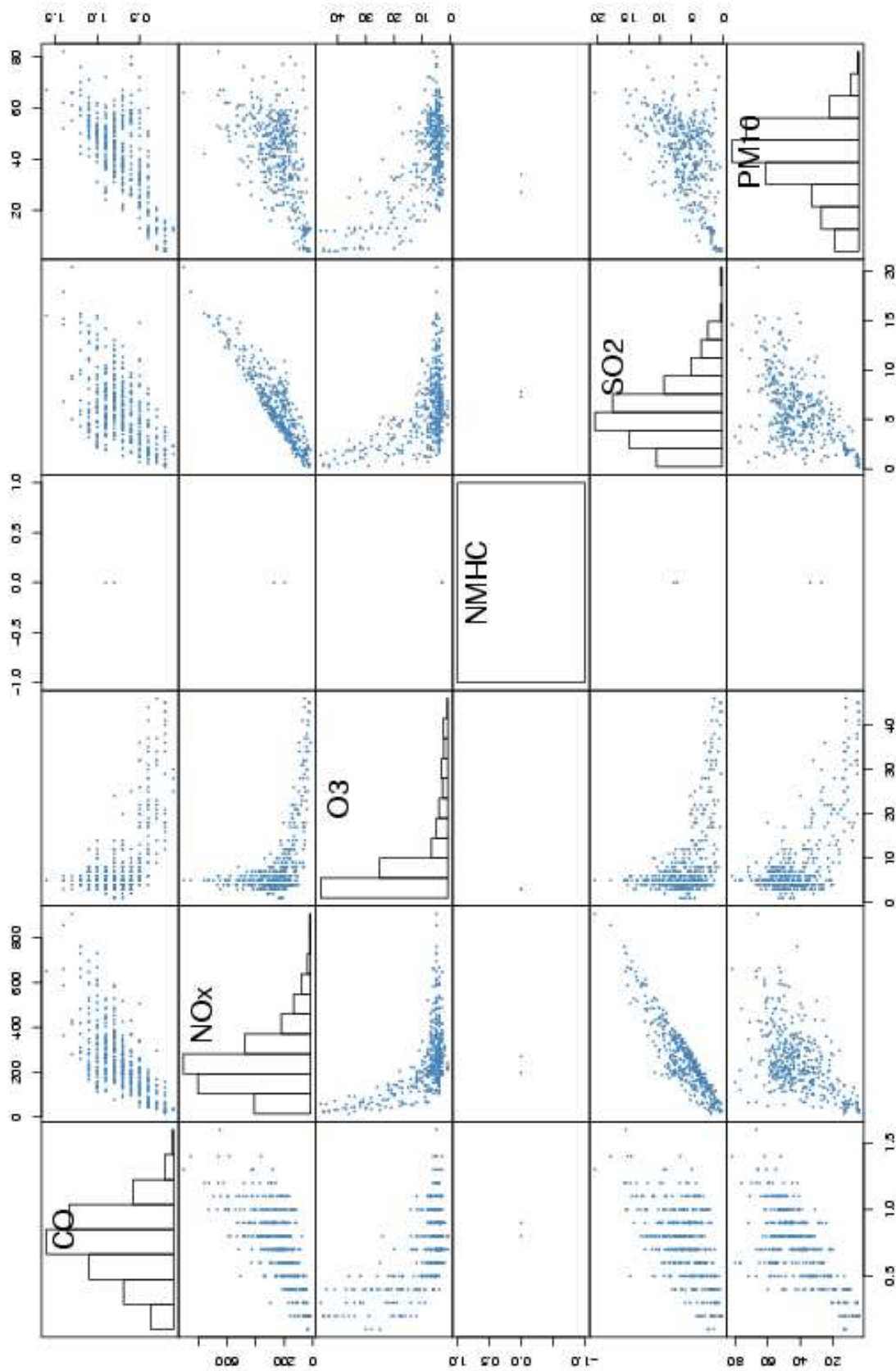
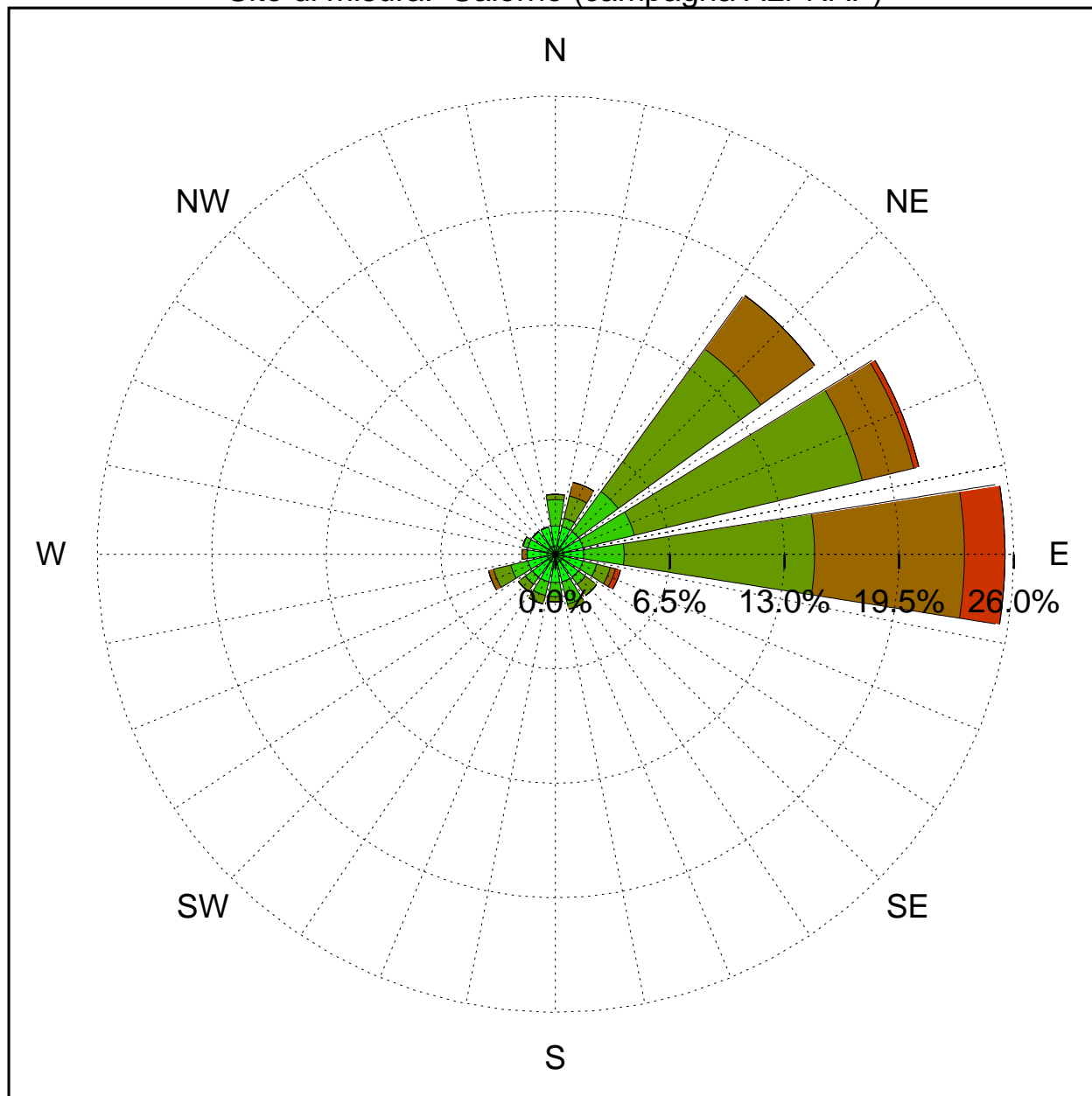


Figura 39.11: Campagna di misura a Salorno (ALPNAP) (14/01/06-30/01/06). Distribuzioni in frequenza e correlazioni.

Sito di misura: Salorno (campagna ALPNAP)



Legenda - velocità [m/s]

$v \geq 5.0$	Red
$3.0 \leq v < 5.0$	Orange
$2.0 \leq v < 3.0$	Brown
$1.0 \leq v < 2.0$	Green
$0.5 \leq v < 1.0$	Light Green
calma ( $v < 0.5$ )	Yellow

Figura 39.12: Campagna di misura a Salorno (ALPNAP) (14/01/06-30/01/06). Rosa dei venti.

# 40 Campagna di misura a Aldeno (ALPNAP1)

**Campagna di misura** dal 01/02/06 al 19/02/06

**Inquinanti rilevati:** *CO*, *NO<sub>x</sub>*, *O<sub>3</sub>*, *SO<sub>2</sub>*, *PM<sub>10</sub>*

**Parametri meteorologici misurati:** velocità del vento, direzione del vento, temperatura, umidità relativa, pioggia, radiazione globale

**Note:** Sebbene i grafici riguardanti *PM<sub>10</sub>* e *CO* non forniscano indicazioni precise, si nota come per tutti gli inquinanti viene registrato un andamento settimanale piuttosto netto che mostra un picco nel mezzo della settimana e i valori più bassi la domenica. Altrettanto evidente sembra il comportamento giornaliero, che mostra un picco nelle concentrazioni nelle ore che vanno dalle 10 alle 12. L'ozono non mostra un andamento giornaliero ben definito, molto netto è invece quello settimanale, che risulta opposto all'andamento settimanale degli inquinanti e gli inquinanti e presenta le concentrazioni minime il mercoledì.



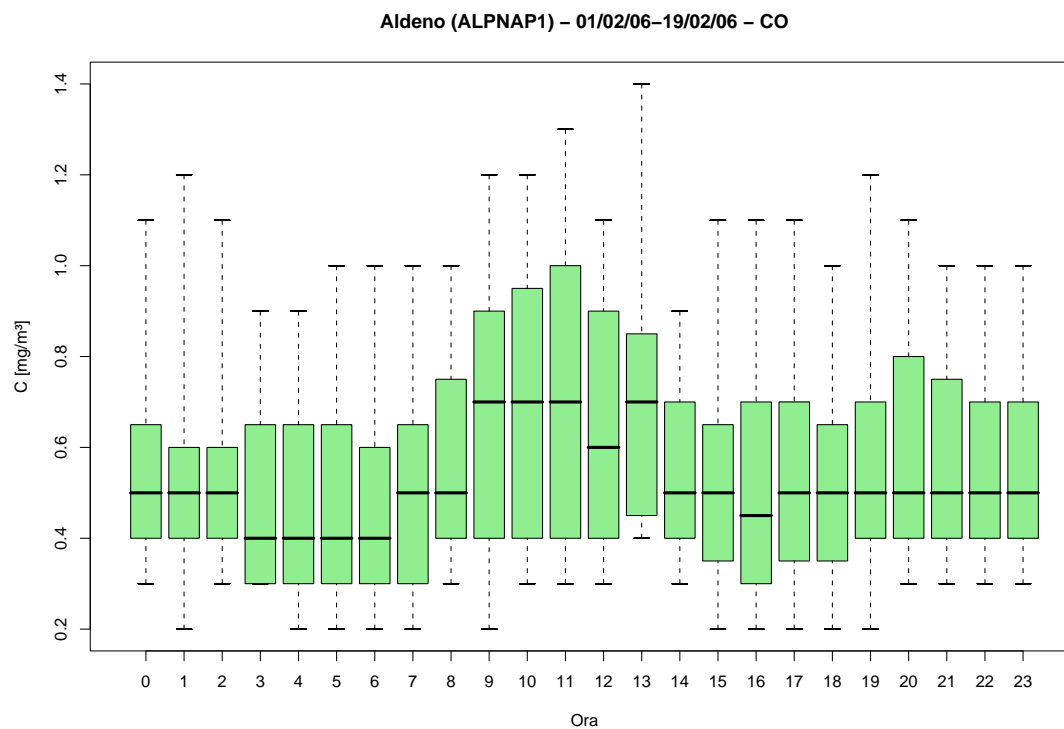


Figura 40.1: Campagna di misura a Aldeno (ALPNAP1) (01/02/06-19/02/06), inquinante: CO. Box-plot relativo all'ora del giorno.

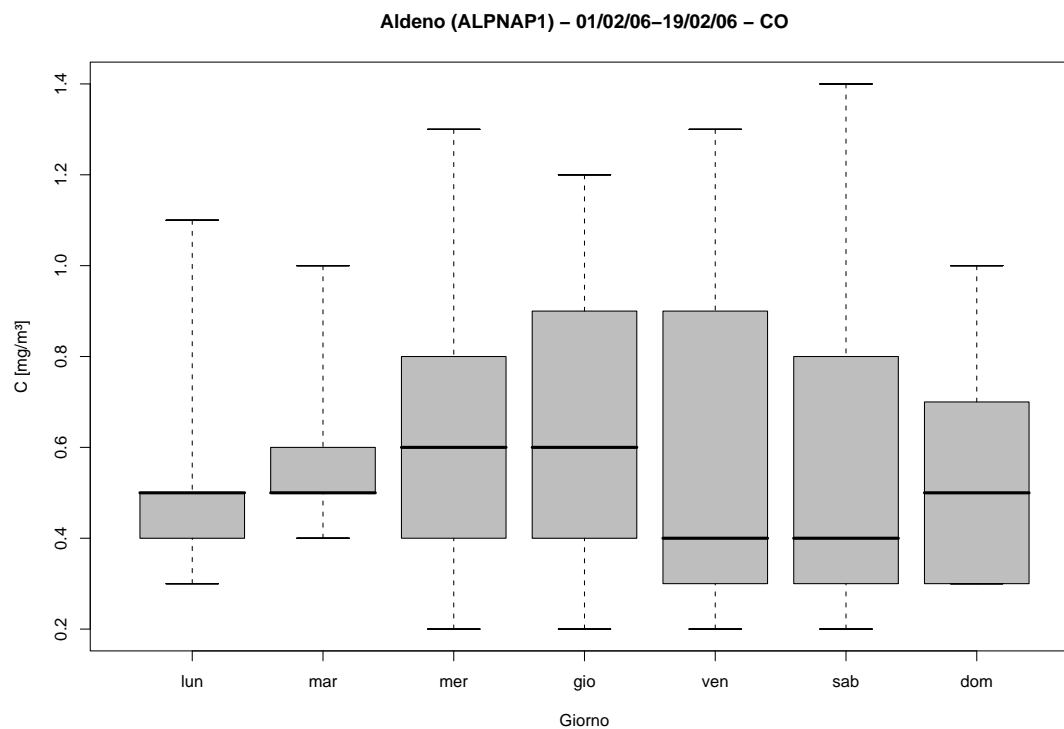


Figura 40.2: Campagna di misura a Aldeno (ALPNAP1) (01/02/06-19/02/06), inquinante: CO. Box-plot relativo al giorno della settimana.

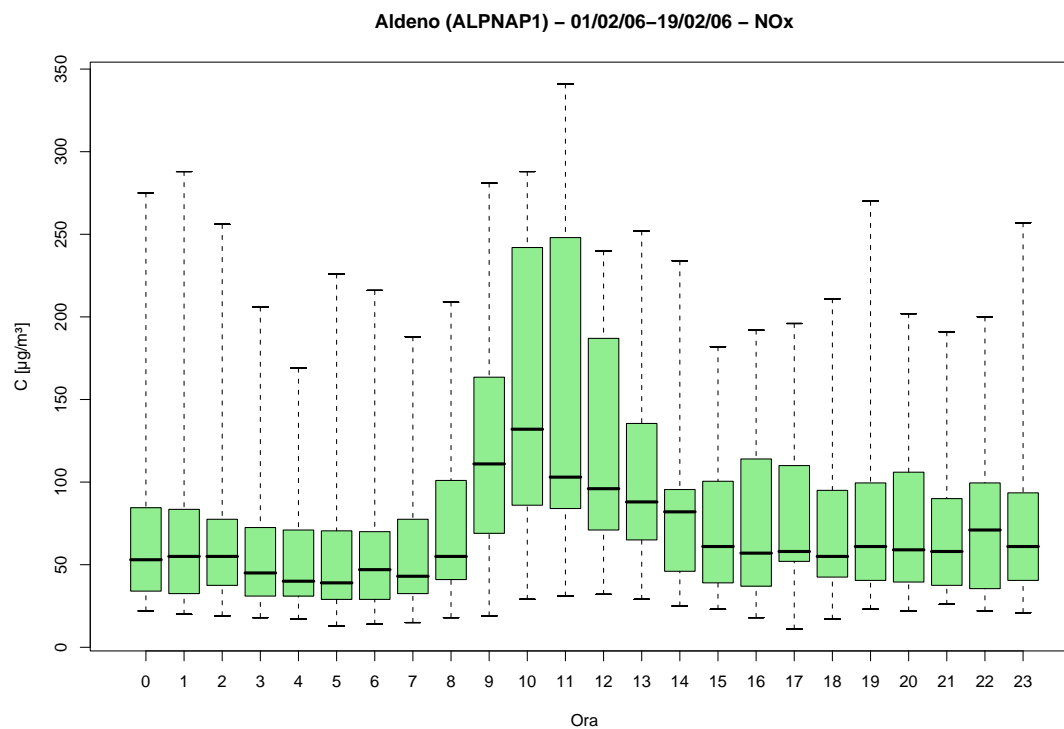


Figura 40.3: Campagna di misura a Aldeno (ALPNAP1) (01/02/06-19/02/06), inquinante:  $\text{NO}_x$ . Box-plot relativo all'ora del giorno.

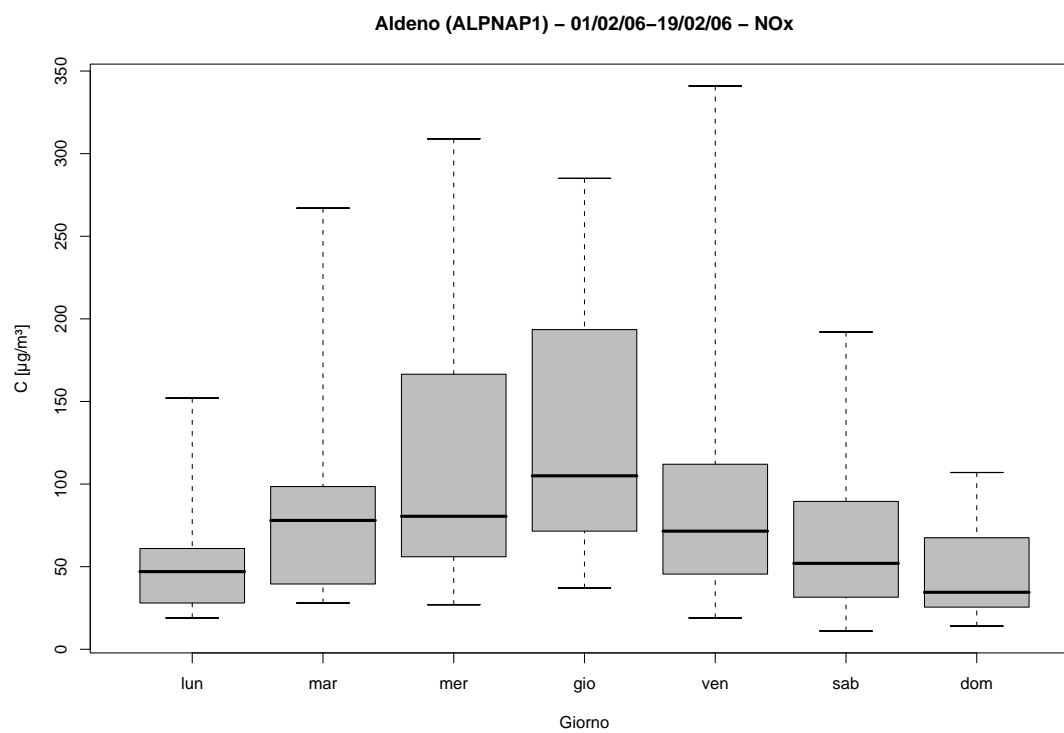


Figura 40.4: Campagna di misura a Aldeno (ALPNAP1) (01/02/06-19/02/06), inquinante:  $\text{NO}_x$ . Box-plot relativo al giorno della settimana.

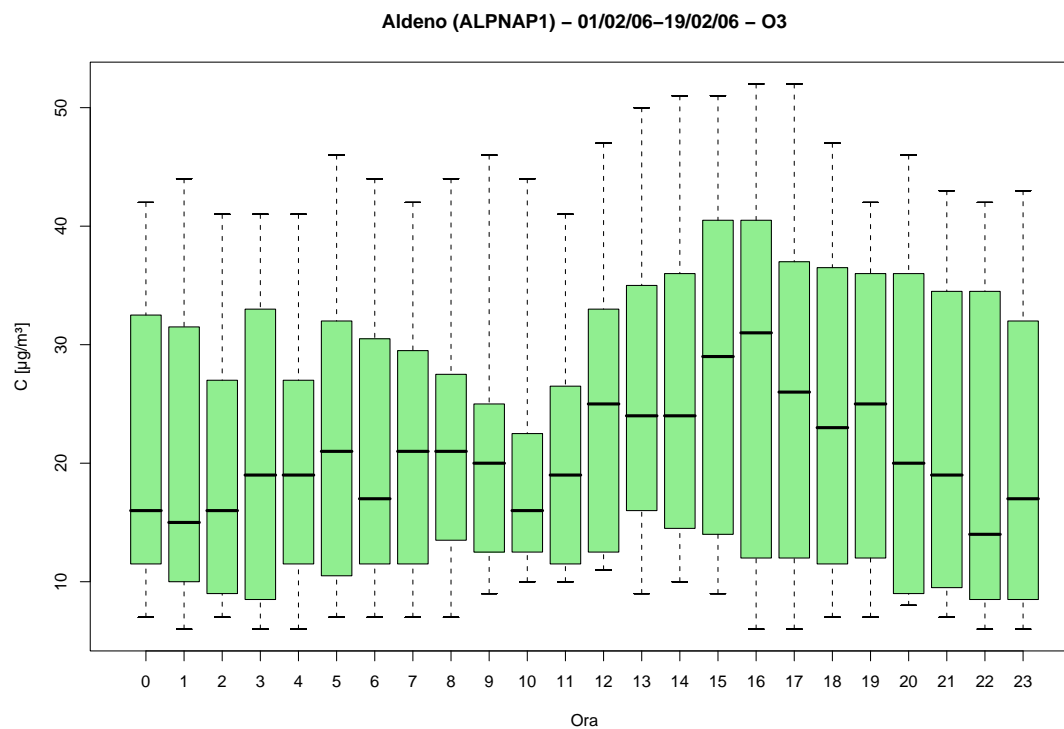


Figura 40.5: Campagna di misura a Aldeno (ALPNAP1) (01/02/06-19/02/06), inquinante:  $O_3$ . Box-plot relativo all'ora del giorno.

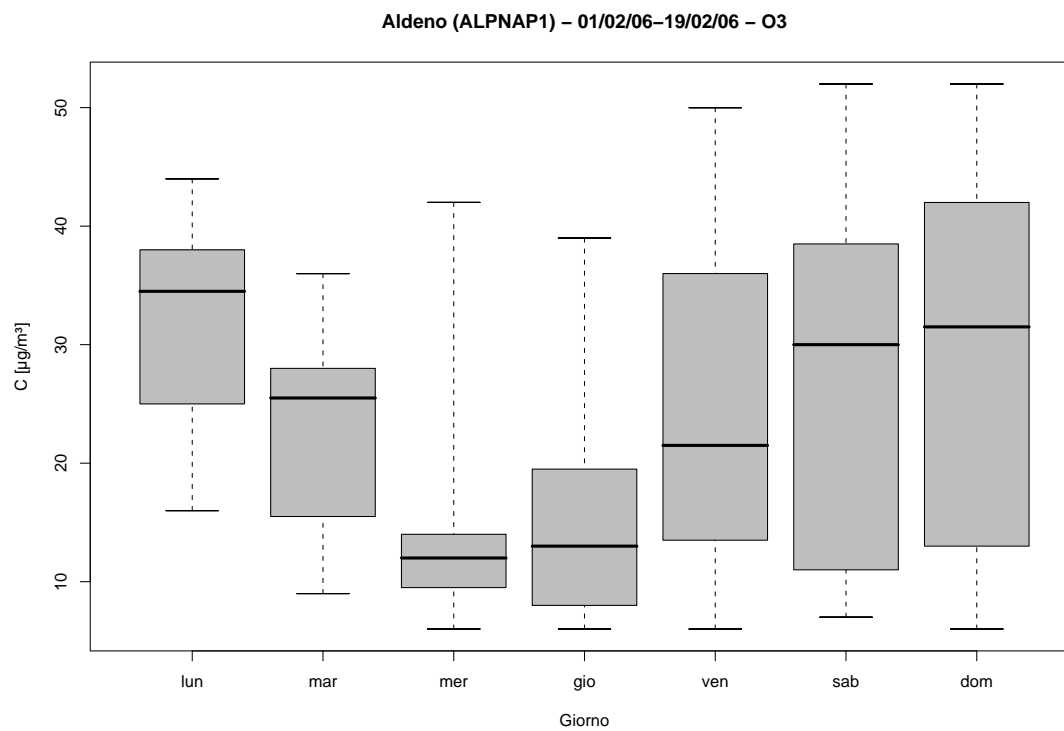


Figura 40.6: Campagna di misura a Aldeno (ALPNAP1) (01/02/06-19/02/06), inquinante:  $O_3$ . Box-plot relativo al giorno della settimana.

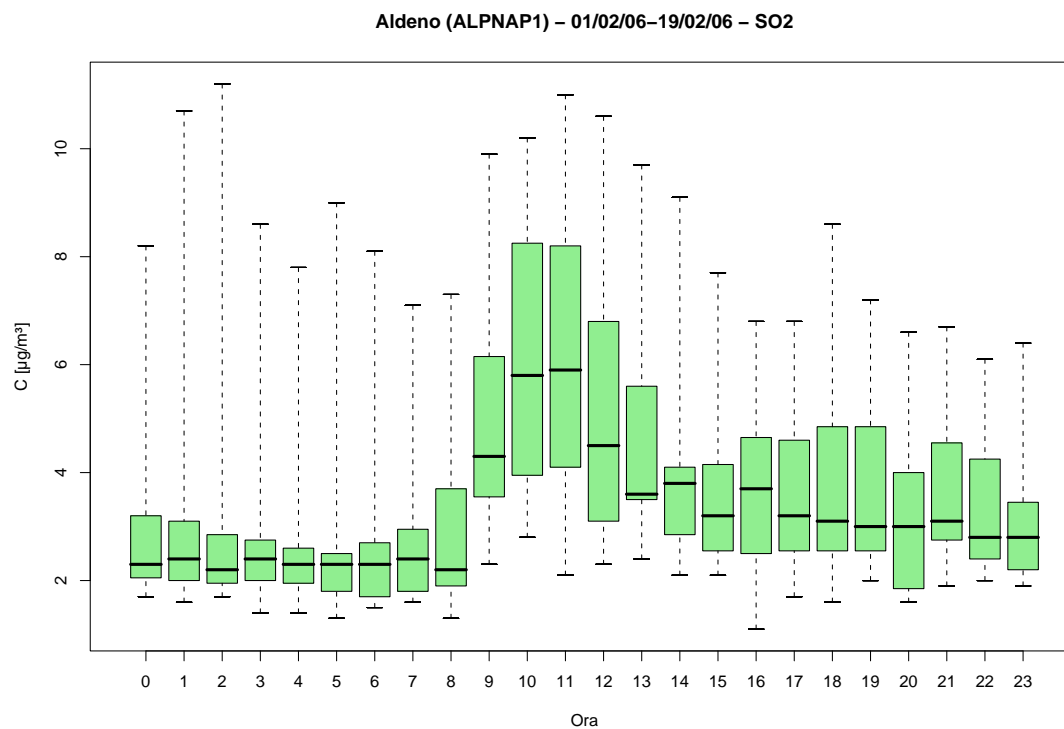


Figura 40.7: Campagna di misura a Aldeno (ALPNAP1) (01/02/06-19/02/06), inquinante: SO<sub>2</sub>. Box-plot relativo all'ora del giorno.

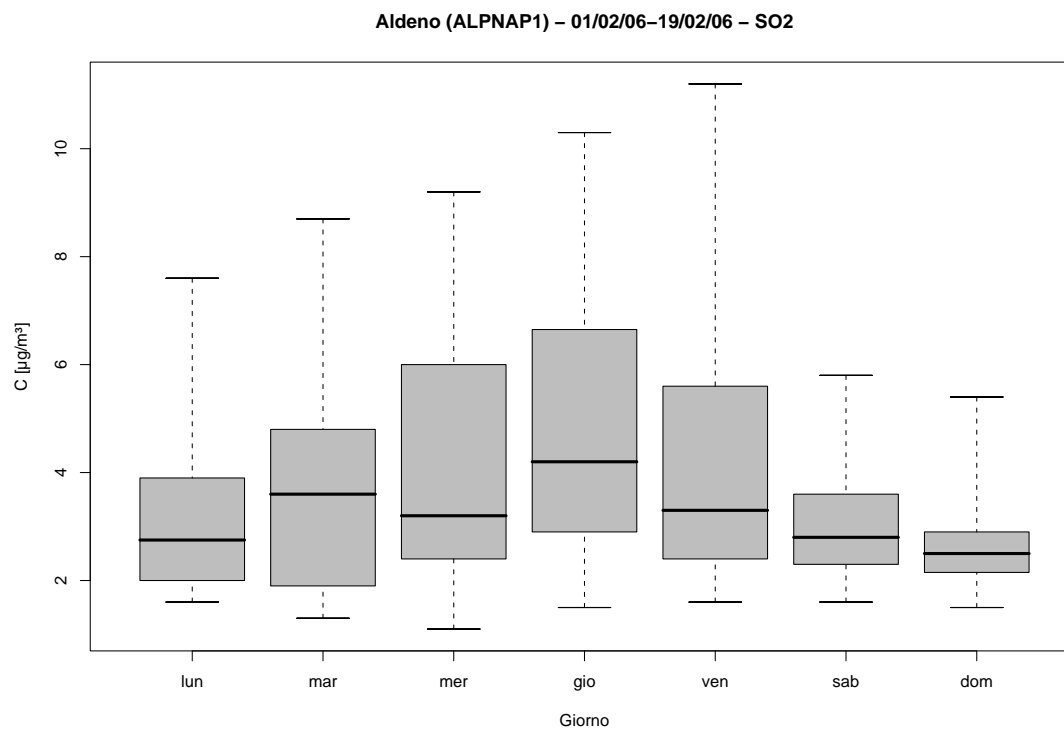


Figura 40.8: Campagna di misura a Aldeno (ALPNAP1) (01/02/06-19/02/06), inquinante: SO<sub>2</sub>. Box-plot relativo al giorno della settimana.

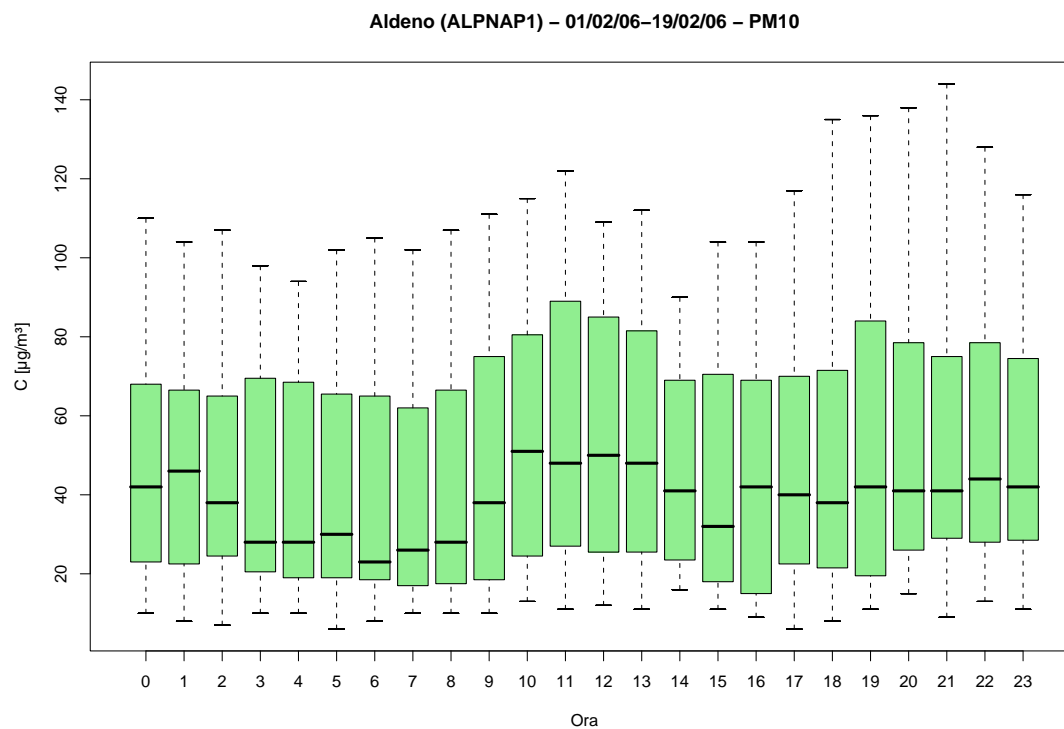


Figura 40.9: Campagna di misura a Aldeno (ALPNAP1) (01/02/06-19/02/06), inquinante:  $PM_{10}$ . Box-plot relativo all'ora del giorno.

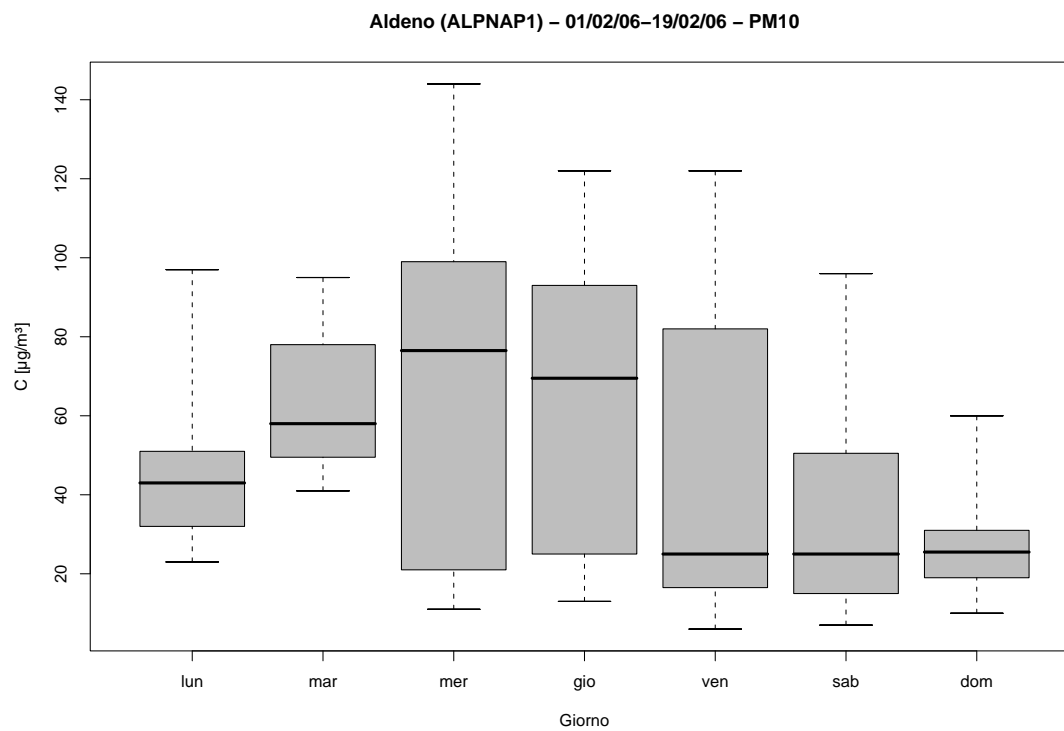


Figura 40.10: Campagna di misura a Aldeno (ALPNAP1) (01/02/06-19/02/06), inquinante:  $PM_{10}$ . Box-plot relativo al giorno della settimana.

**Aldeno (ALPNAP1) – 01/02/06 – 19/02/06**  
**distribuzioni in frequenza e correlazioni**

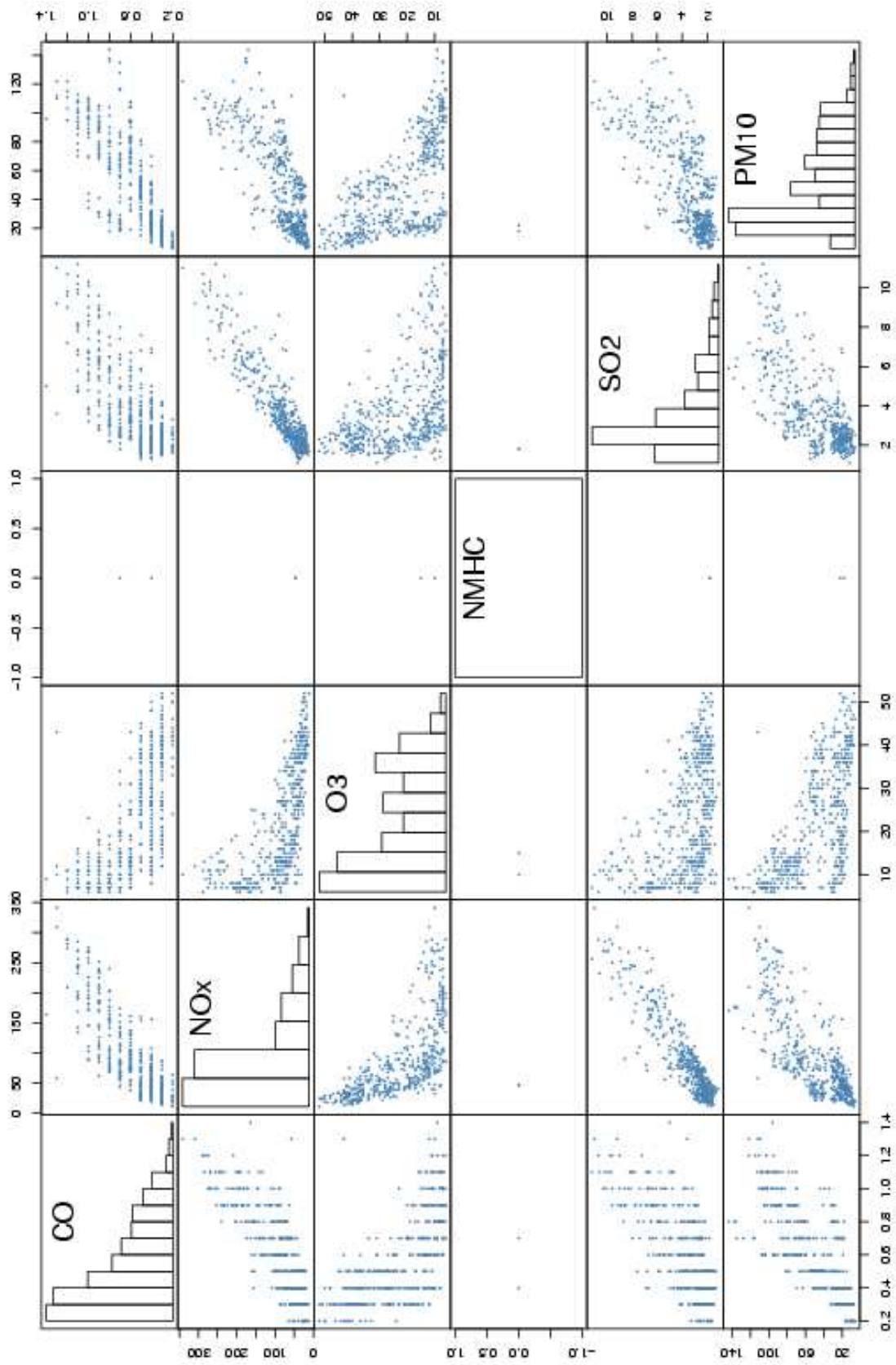
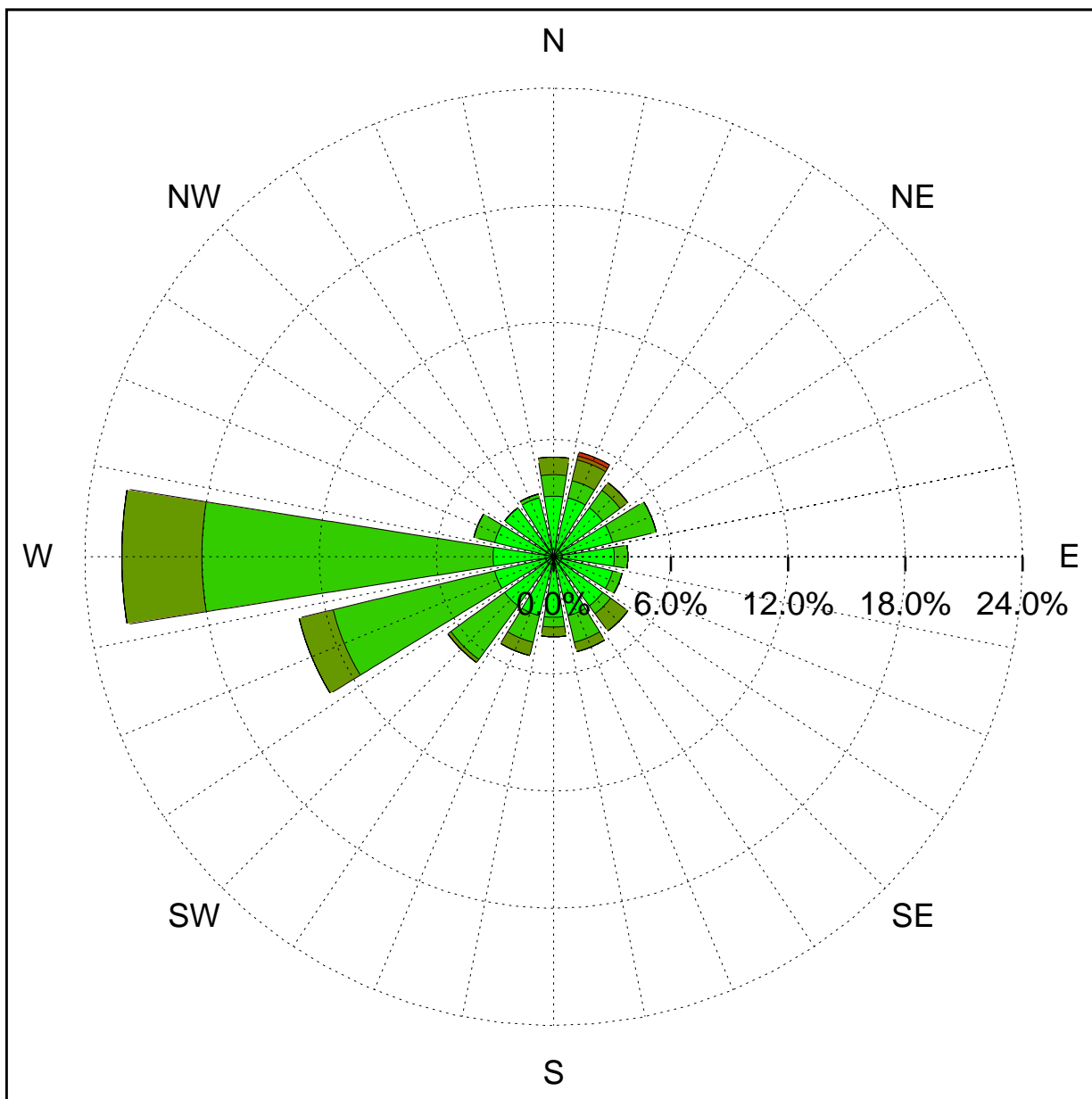


Figura 40.11: Campagna di misura a Aldeno (ALPNAP1) (01/02/06-19/02/06). Distribuzioni in frequenza e correlazioni.

Sito di misura: Aldeno 1 (campagna ALPNAP)



Legenda - velocità [m/s]	
$v \geq 5.0$	Red line
$3.0 \leq v < 5.0$	Orange line
$2.0 \leq v < 3.0$	Brown line
$1.0 \leq v < 2.0$	Olive line
$0.5 \leq v < 1.0$	Light green line
calma ( $v < 0.5$ )	Light green line

Figura 40.12: Campagna di misura a Aldeno (ALPNAP1) (01/02/06-19/02/06). Rosa dei venti.

# 41 Campagna di misura a Aldeno (ALPNAP2)

**Campagna di misura** dal 01/02/06 al 19/02/06

**Inquinanti rilevati:** *CO, NO<sub>x</sub>, O<sub>3</sub>, SO<sub>2</sub>, PM<sub>10</sub>*

**Parametri meteorologici misurati:** velocità del vento, direzione del vento, temperatura

**Note:** Dai dati raccolti durante la campagna si nota un andamento settimanale concorde per tutti gli inquinanti anche se meno evidente nel caso del monossido di carbonio. I valori di concentrazione crescono durante la settimana e raggiungono i valori massimi nei giorni centrali, mercoledì e giovedì, per poi diminuire e raggiungere i valori minimi la domenica. Opposto è il comportamento settimanale dell'ozono che trova i suoi valori minimi nel mezzo della settimana. I cicli settimanali non sono concordi tra gli inquinanti, mentre il *CO* mostra un picco alle ore 9 e un picco alle ore 18, ossidi di azoto e biossido di zolfo mostrano un andamento ad un solo picco, che si registra nel mazzo della mattinata. Simile ma solo per ciò che riguarda i valori medi è il comportamento delle polveri fini. L'ozono fa registra valori bassi e costanti durante tutta la mattina, la concentrazione incomincia a salire a mezzogiorno e raggiunge i massimi verso le ore 3 per poi tornare a diminuire.



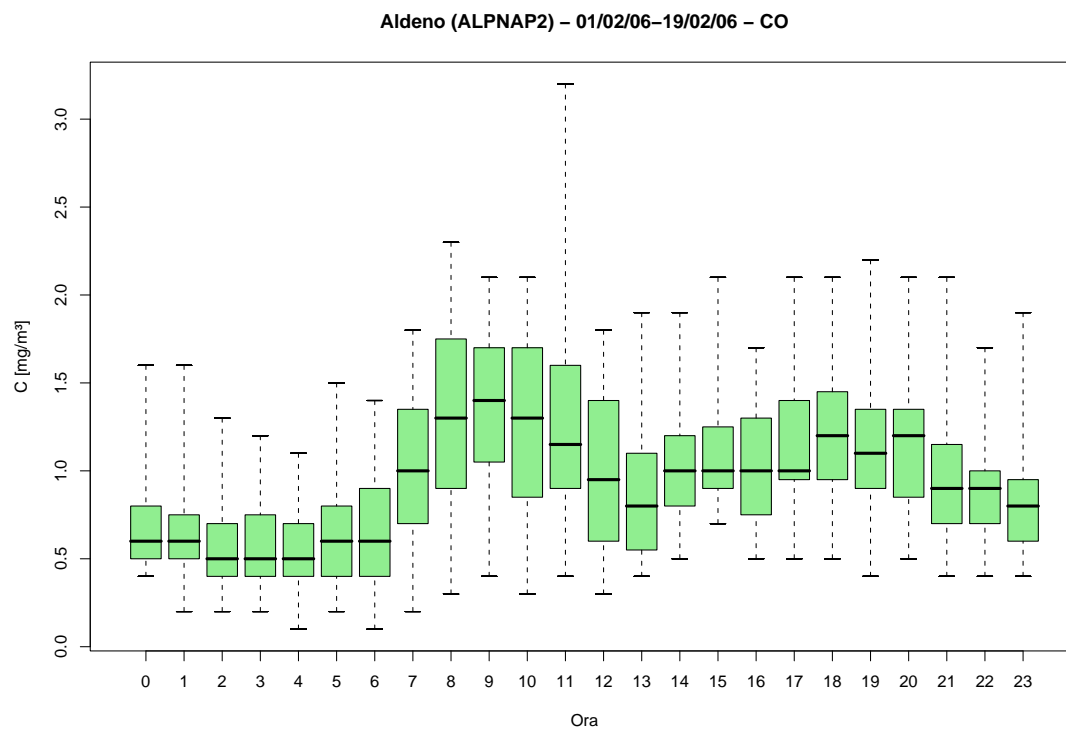


Figura 41.1: Campagna di misura a Aldeno (ALPNAP2) (01/02/06-19/02/06), inquinante: CO. Box-plot relativo all'ora del giorno.

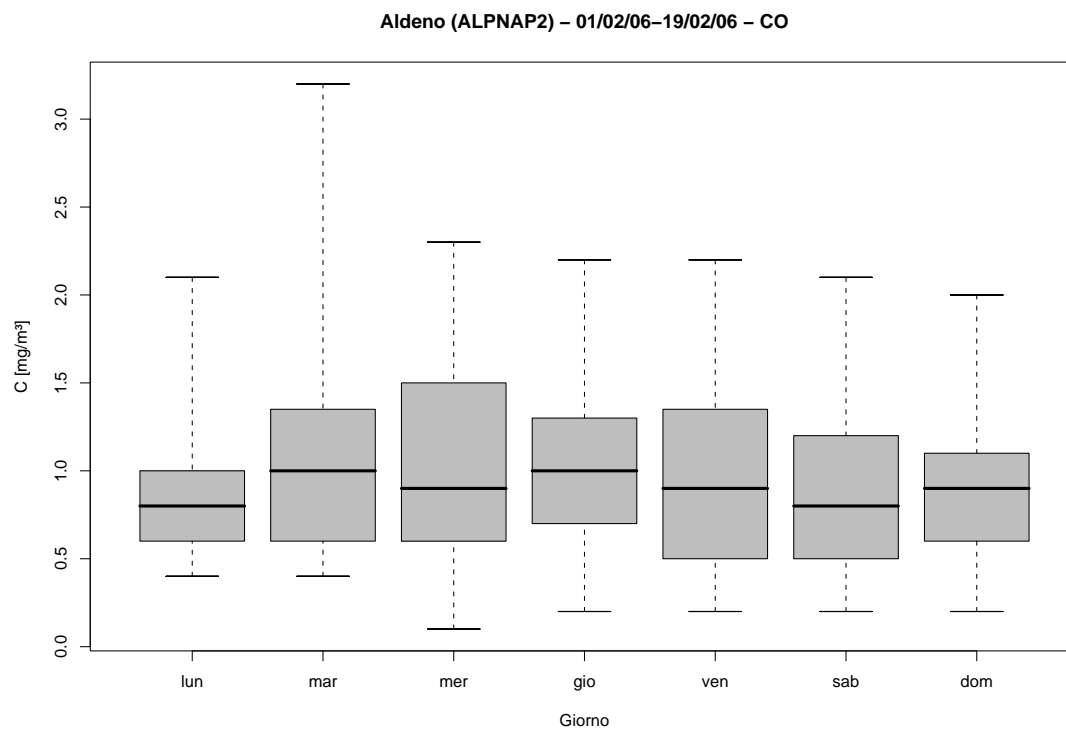


Figura 41.2: Campagna di misura a Aldeno (ALPNAP2) (01/02/06-19/02/06), inquinante: CO. Box-plot relativo al giorno della settimana.

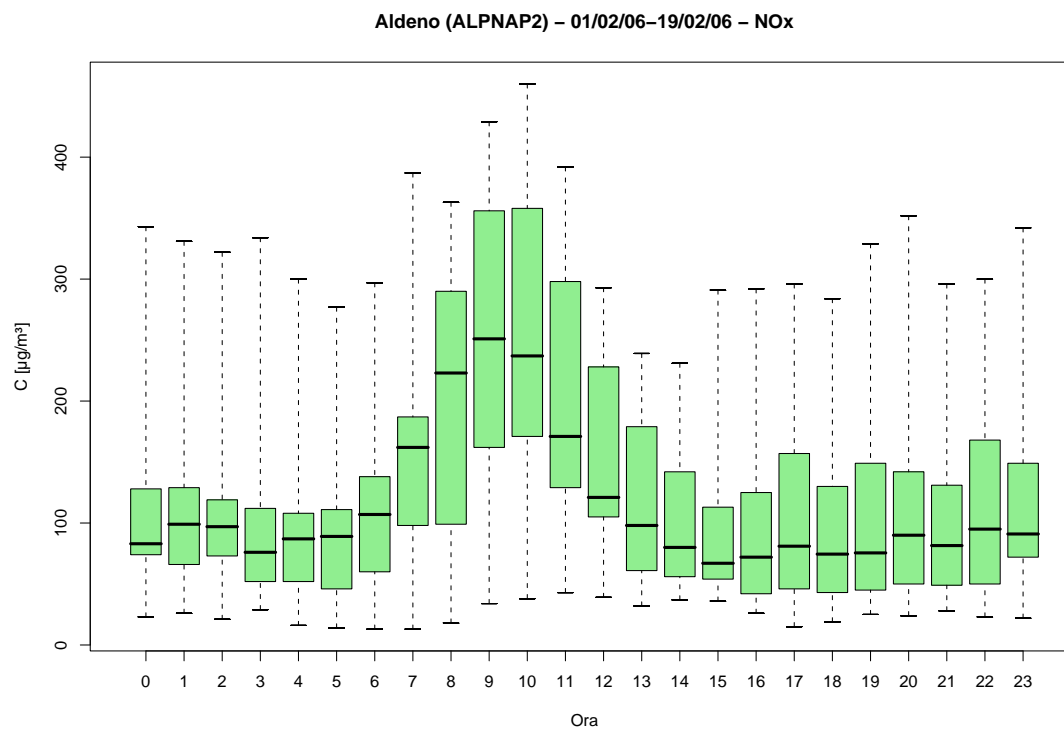


Figura 41.3: Campagna di misura a Aldeno (ALPNAP2) (01/02/06-19/02/06), inquinante:  $\text{NO}_x$ . Box-plot relativo all'ora del giorno.

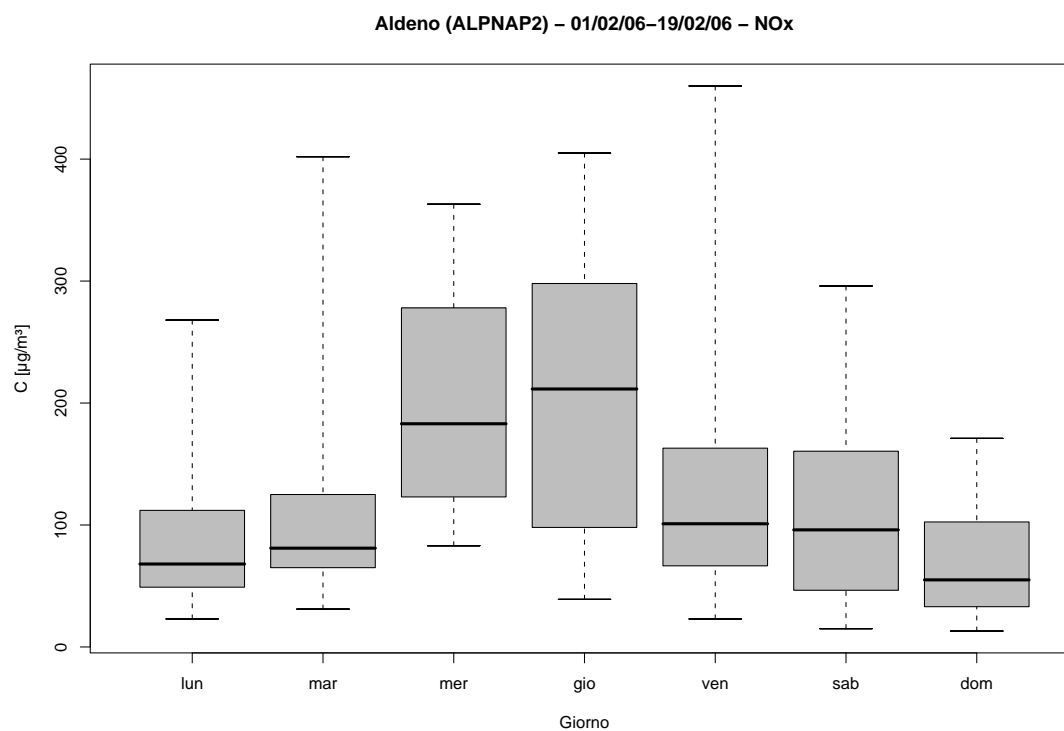


Figura 41.4: Campagna di misura a Aldeno (ALPNAP2) (01/02/06-19/02/06), inquinante:  $\text{NO}_x$ . Box-plot relativo al giorno della settimana.

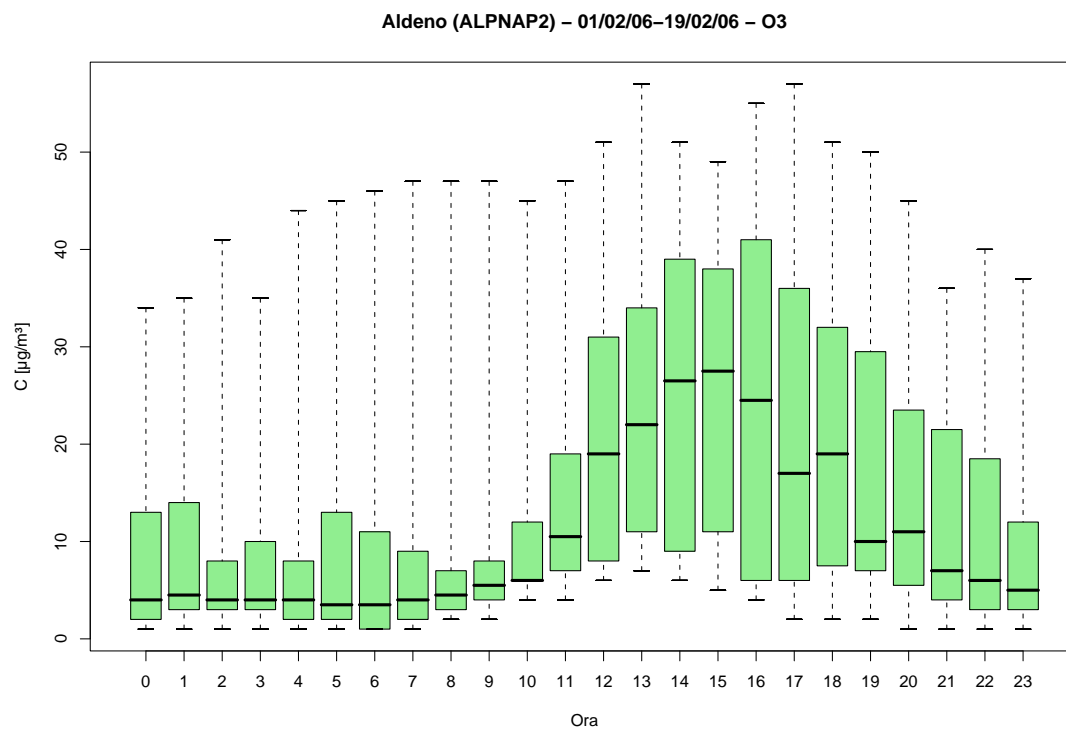


Figura 41.5: Campagna di misura a Aldeno (ALPNAP2) (01/02/06-19/02/06), inquinante:  $O_3$ . Box-plot relativo all'ora del giorno.

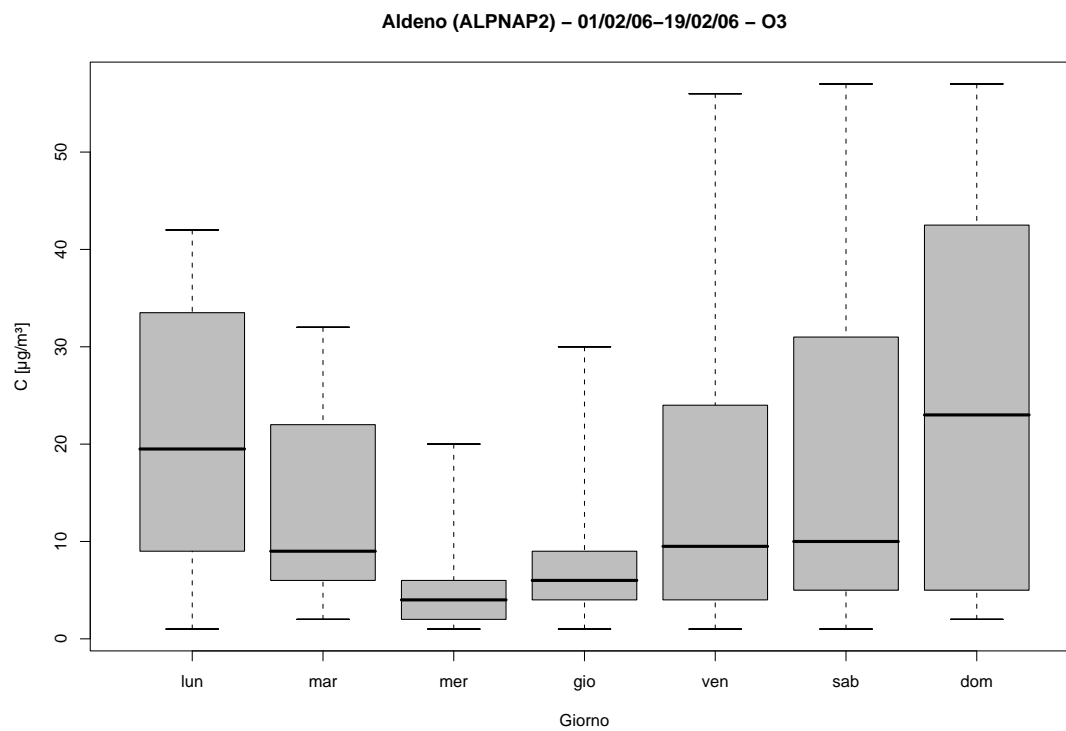


Figura 41.6: Campagna di misura a Aldeno (ALPNAP2) (01/02/06-19/02/06), inquinante:  $O_3$ . Box-plot relativo al giorno della settimana.

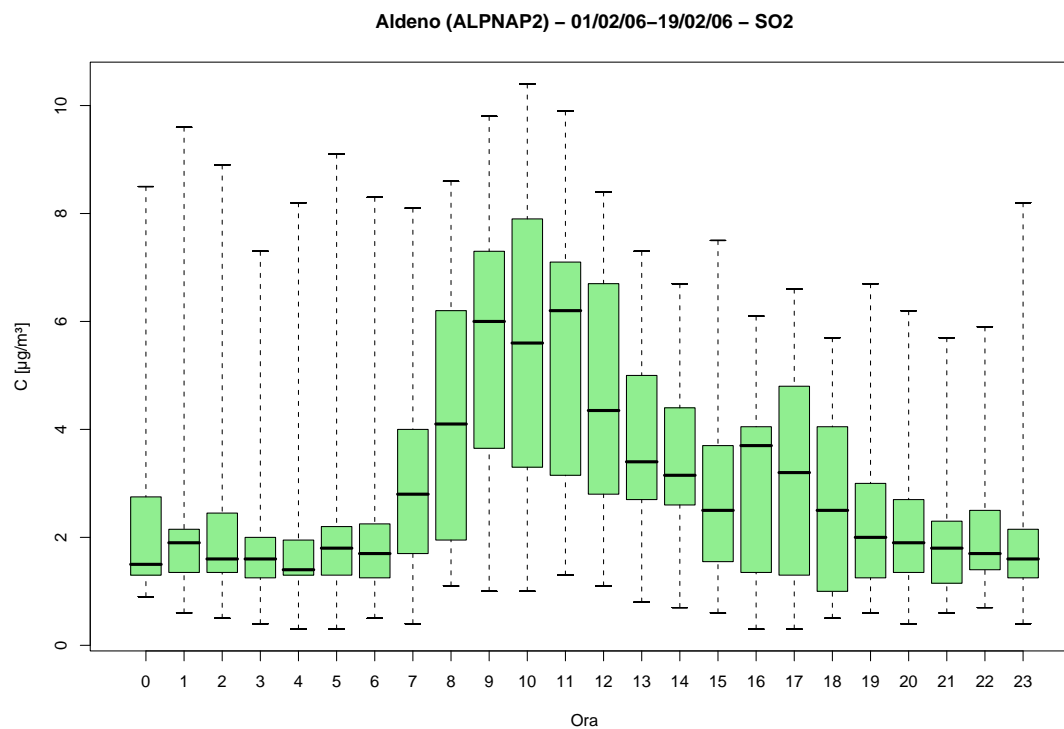


Figura 41.7: Campagna di misura a Aldeno (ALPNAP2) (01/02/06-19/02/06), inquinante: SO<sub>2</sub>. Box-plot relativo all'ora del giorno.

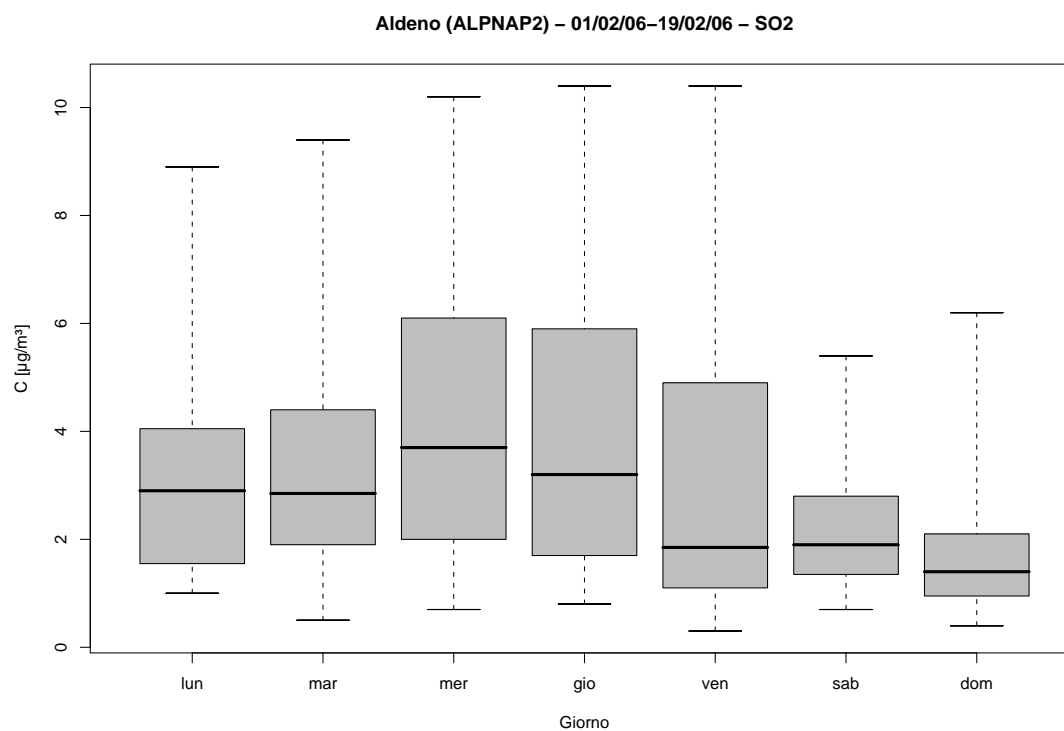


Figura 41.8: Campagna di misura a Aldeno (ALPNAP2) (01/02/06-19/02/06), inquinante: SO<sub>2</sub>. Box-plot relativo al giorno della settimana.

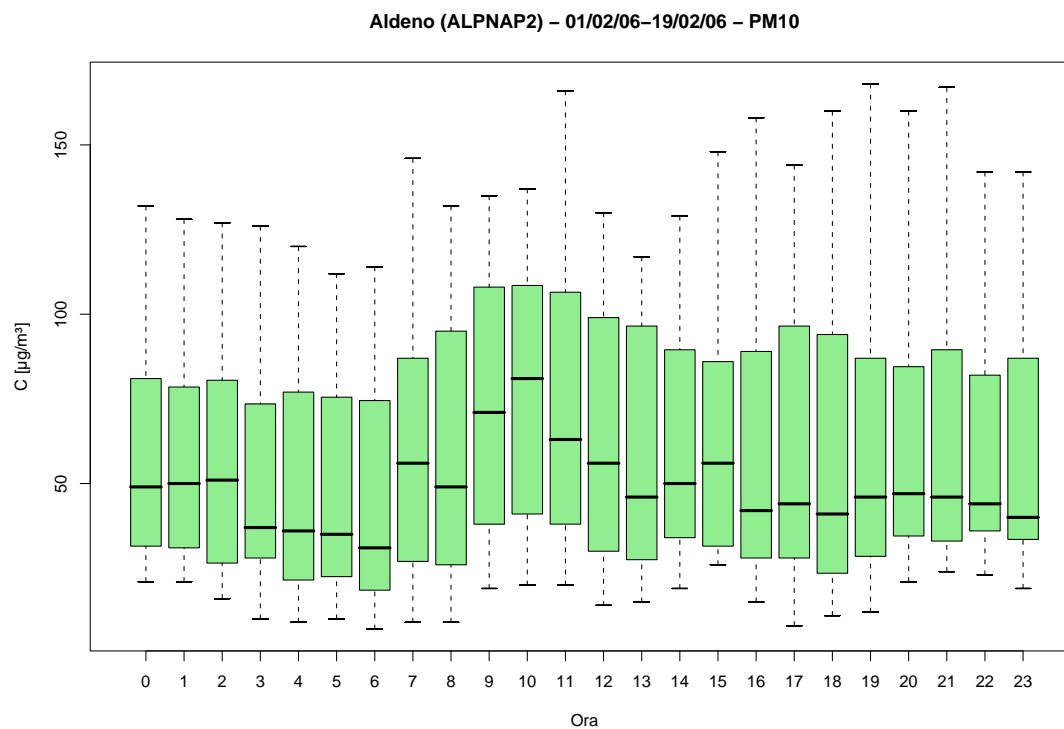


Figura 41.9: Campagna di misura a Aldeno (ALPNAP2) (01/02/06-19/02/06), inquinante:  $PM_{10}$ . Box-plot relativo all'ora del giorno.

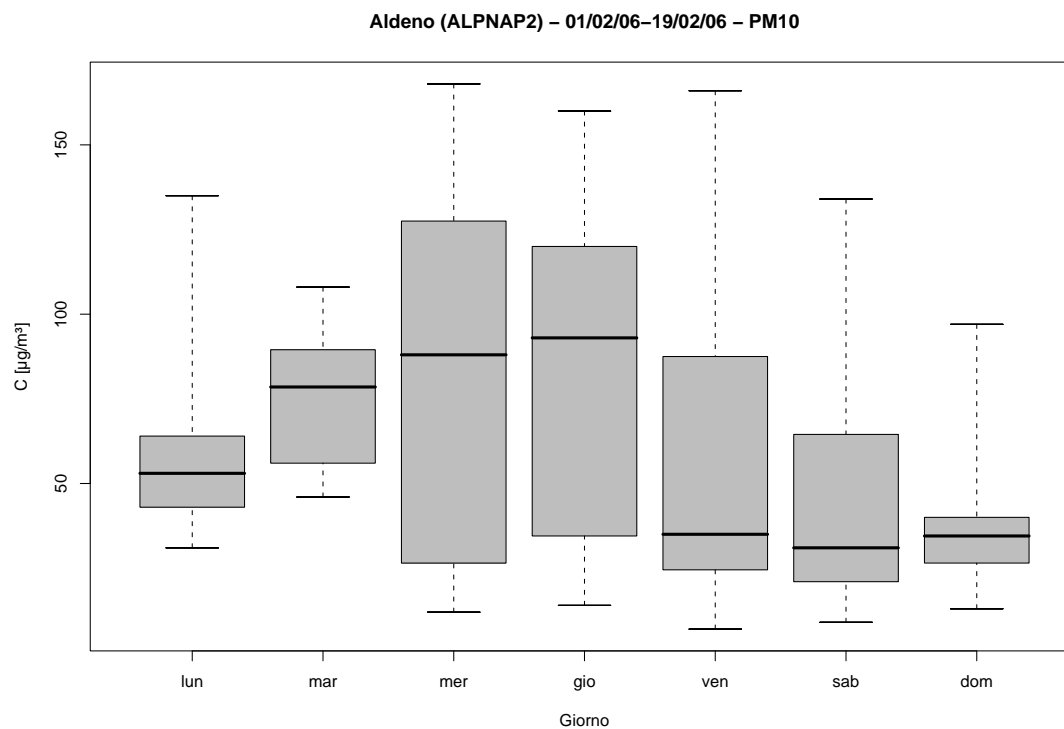


Figura 41.10: Campagna di misura a Aldeno (ALPNAP2) (01/02/06-19/02/06), inquinante:  $PM_{10}$ . Box-plot relativo al giorno della settimana.

**Aldeno (ALPNAP2) – 01/02/06 – 19/02/06  
distribuzioni in frequenza e correlazioni**

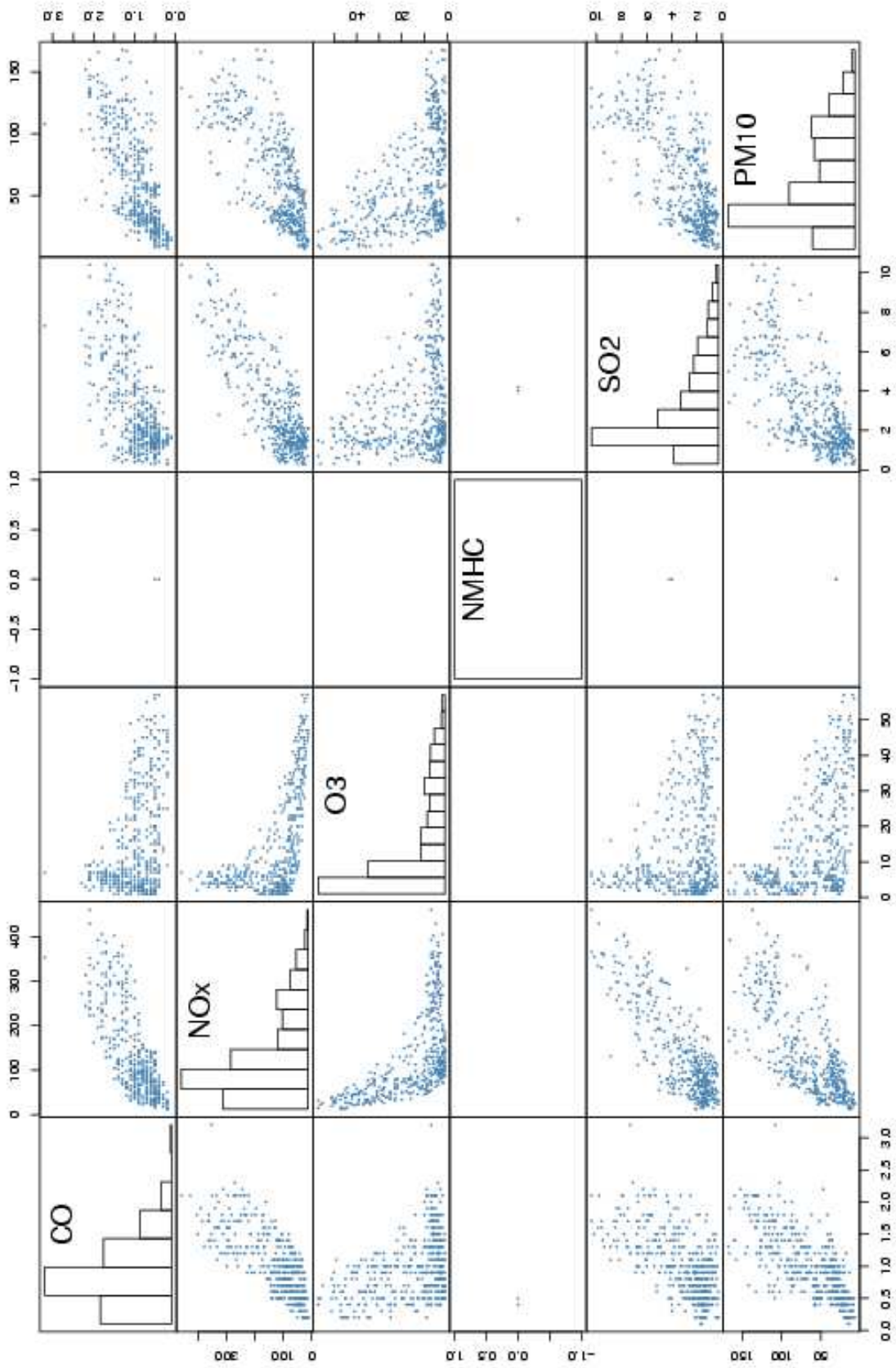
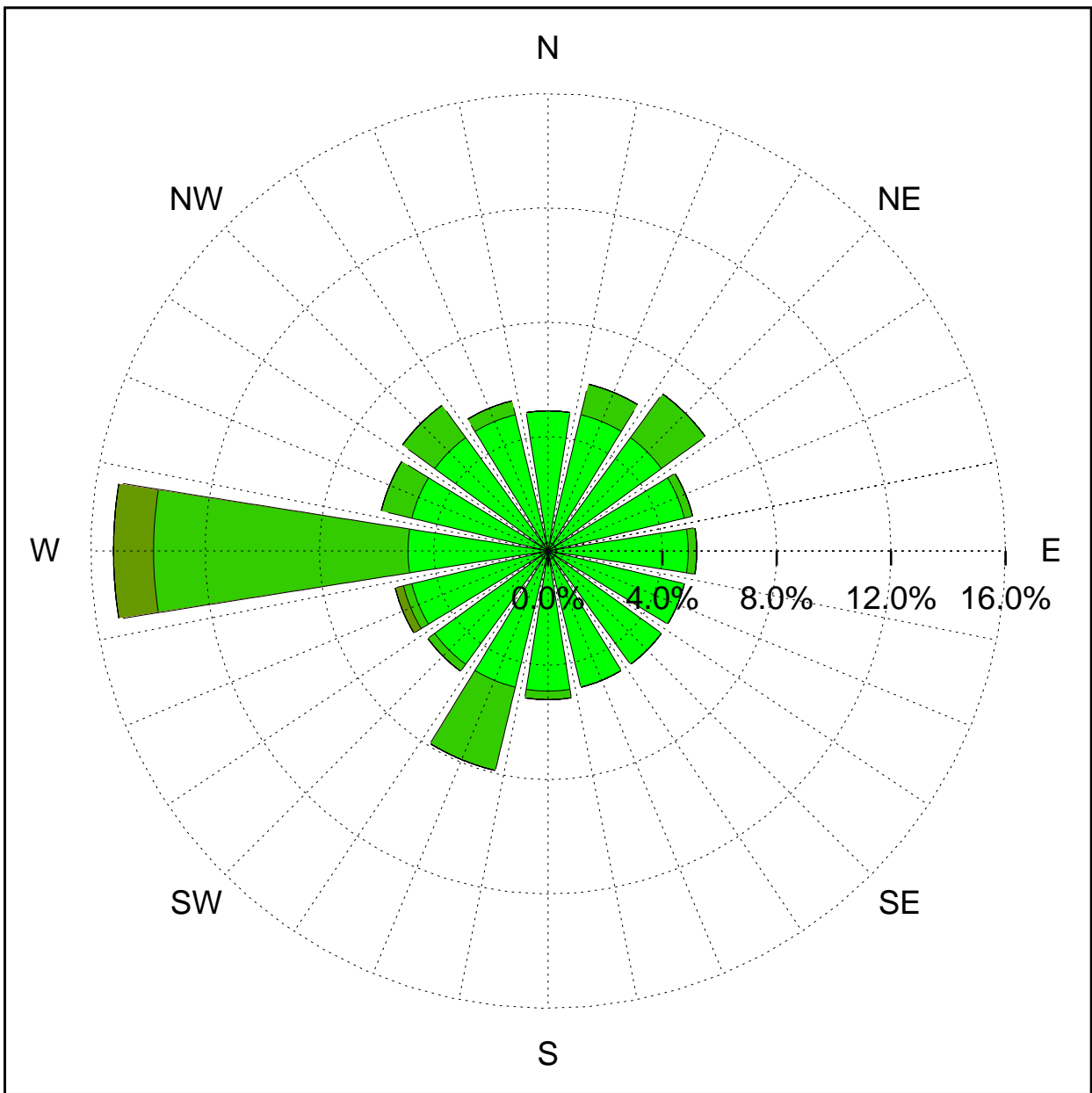


Figura 41.11: Campagna di misura a Aldeno (ALPNAP2) (01/02/06-19/02/06). Distribuzioni in frequenza e correlazioni.

Sito di misura: Aldeno 2 (campagna ALPNAP)



Legenda - velocità [m/s]	
v >= 5.0	Red
3.0 <= v < 5.0	Orange
2.0 <= v < 3.0	Brown
1.0 <= v < 2.0	Yellow-Green
0.5 <= v < 1.0	Green
calma (v < 0.5)	Light Green

Figura 41.12: Campagna di misura a Aldeno (ALPNAP2) (01/02/06-19/02/06). Rosa dei venti.

## 42 Campagna di misura a Rivalta (ALPNAP)

**Campagna di misura** dal 21/02/06 al 12/03/06

**Inquinanti rilevati:**  $CO$ ,  $NO_x$ ,  $O_3$ ,  $SO_2$ ,  $PM_{10}$

**Parametri meteorologici misurati:** velocità del vento, direzione del vento, temperatura, umidità relativa, pioggia, radiazione globale

**Note:** Dall'esame dei dati si nota che per gli inquinanti i valori di concentrazione più elevati si riscontrano durante la notte, sebbene il valore medio non differisca di molto rispetto alle ore diurne. Il ciclo settimanale di  $NO_X$  e  $SO_2$  mostra che le concentrazioni di questi due inquinanti crescono durante la settimana fino a raggiungere il massimo il venerdì. La stessa cosa non si può dire per il monossido di carbonio e le polveri. L'ozono mostra un andamento giornaliero a campana con picco tra le 13 e le 15, mentre settimanalmente diminuisce costantemente fino a fare registrare il minimo di sabato, per poi crescere rapidamente domenica e lunedì.



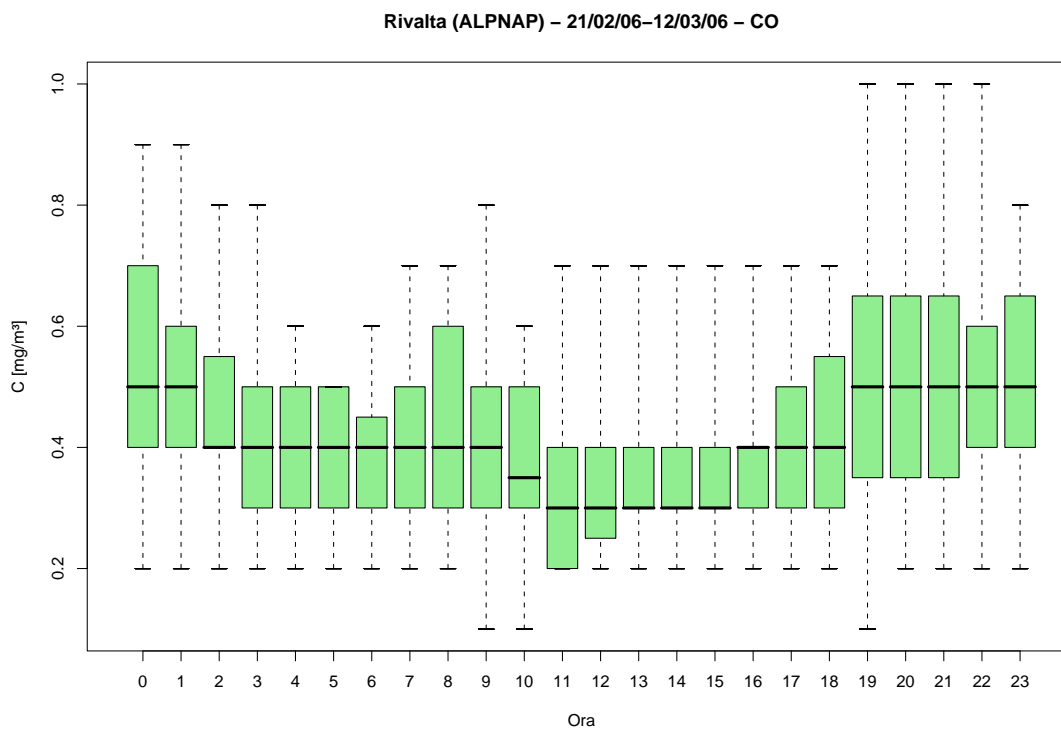


Figura 42.1: Campagna di misura a Rivalta (ALPNAP) (21/02/06-12/03/06), inquinante: *CO*. Box-plot relativo all'ora del giorno.

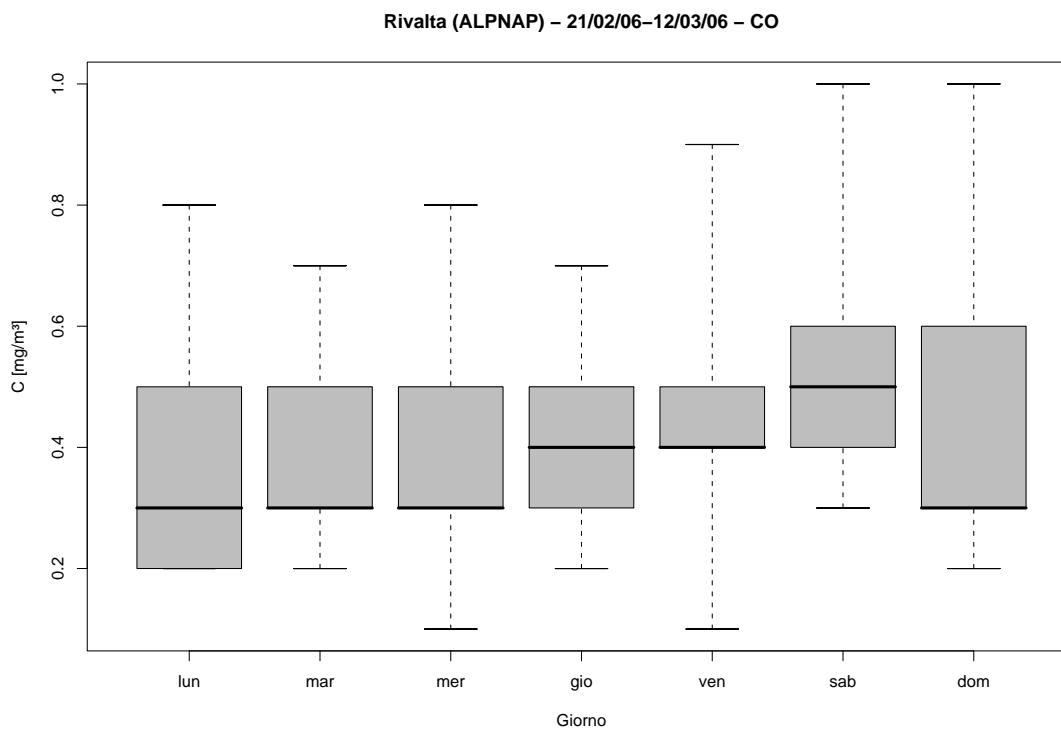


Figura 42.2: Campagna di misura a Rivalta (ALPNAP) (21/02/06-12/03/06), inquinante: *CO*. Box-plot relativo al giorno della settimana.

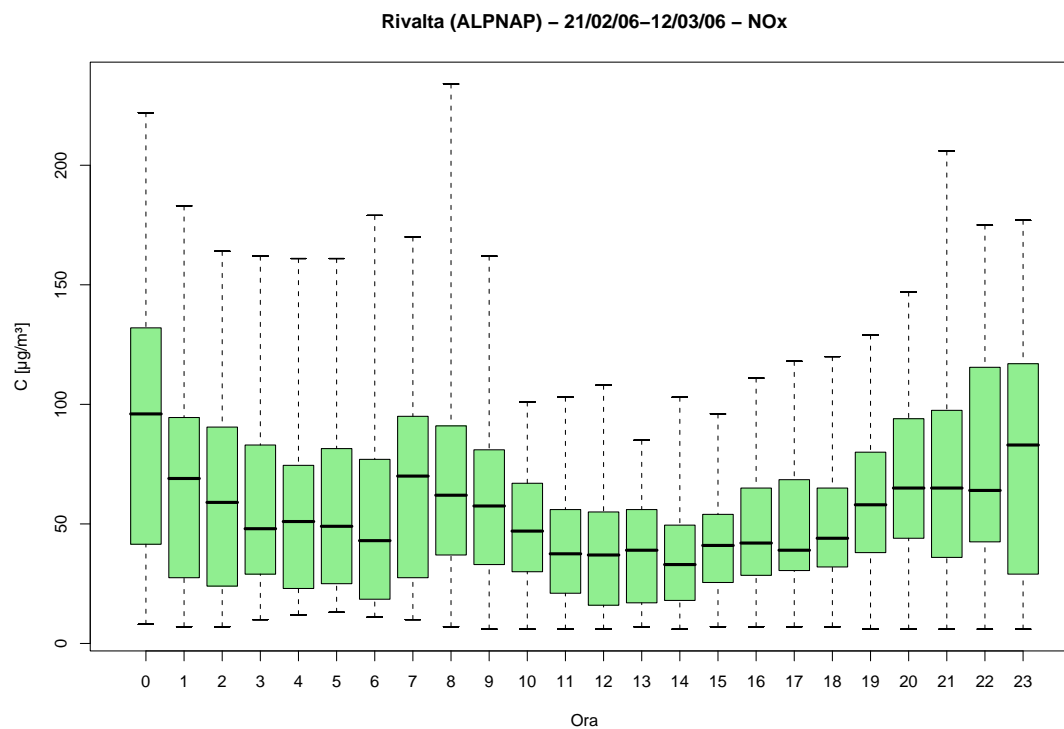


Figura 42.3: Campagna di misura a Rivalta (ALPNAP) (21/02/06-12/03/06), inquinante:  $NO_x$ . Box-plot relativo all'ora del giorno.

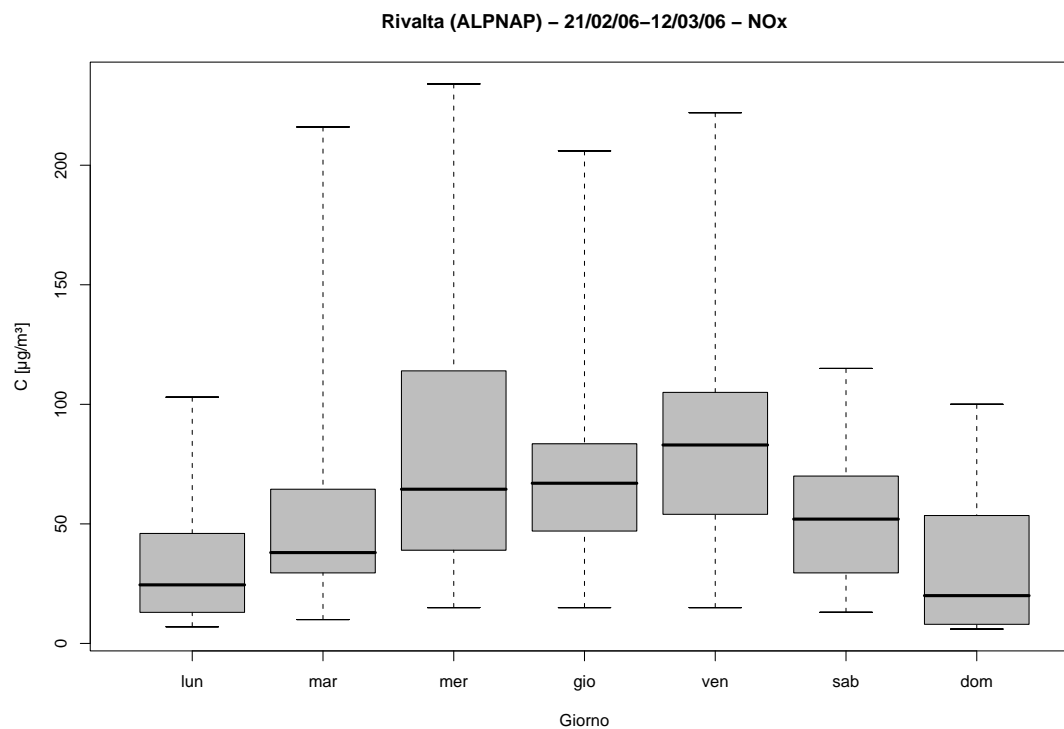


Figura 42.4: Campagna di misura a Rivalta (ALPNAP) (21/02/06-12/03/06), inquinante:  $NO_x$ . Box-plot relativo al giorno della settimana.

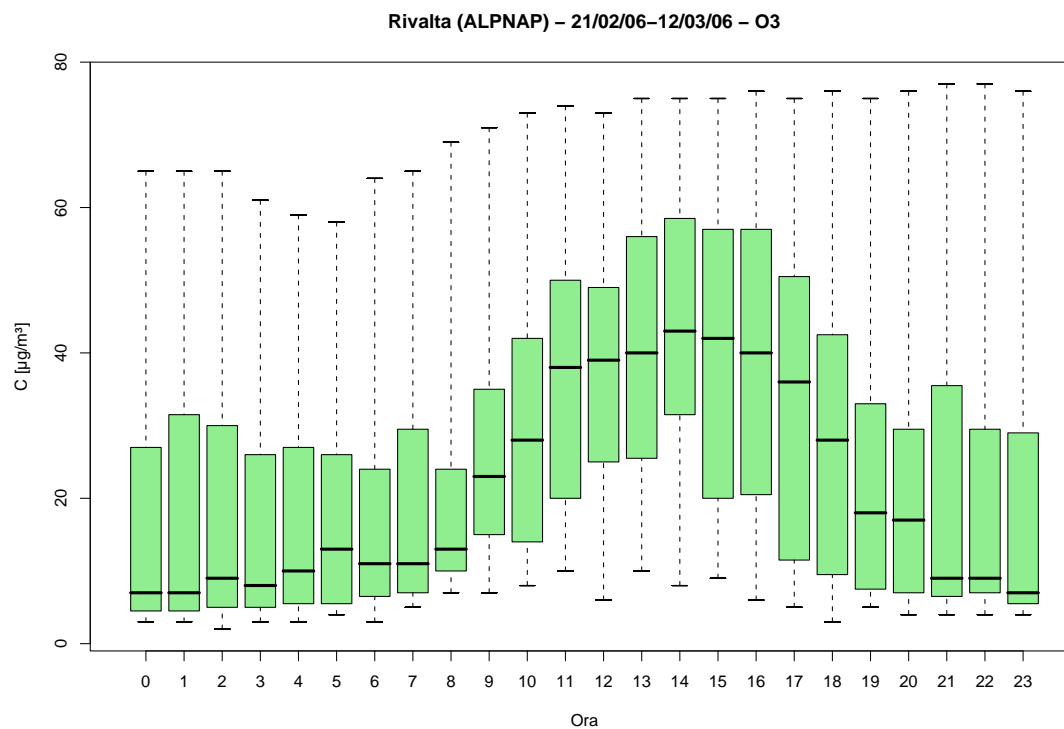


Figura 42.5: Campagna di misura a Rivalta (ALPNAP) (21/02/06-12/03/06), inquinante: O<sub>3</sub>. Box-plot relativo all'ora del giorno.

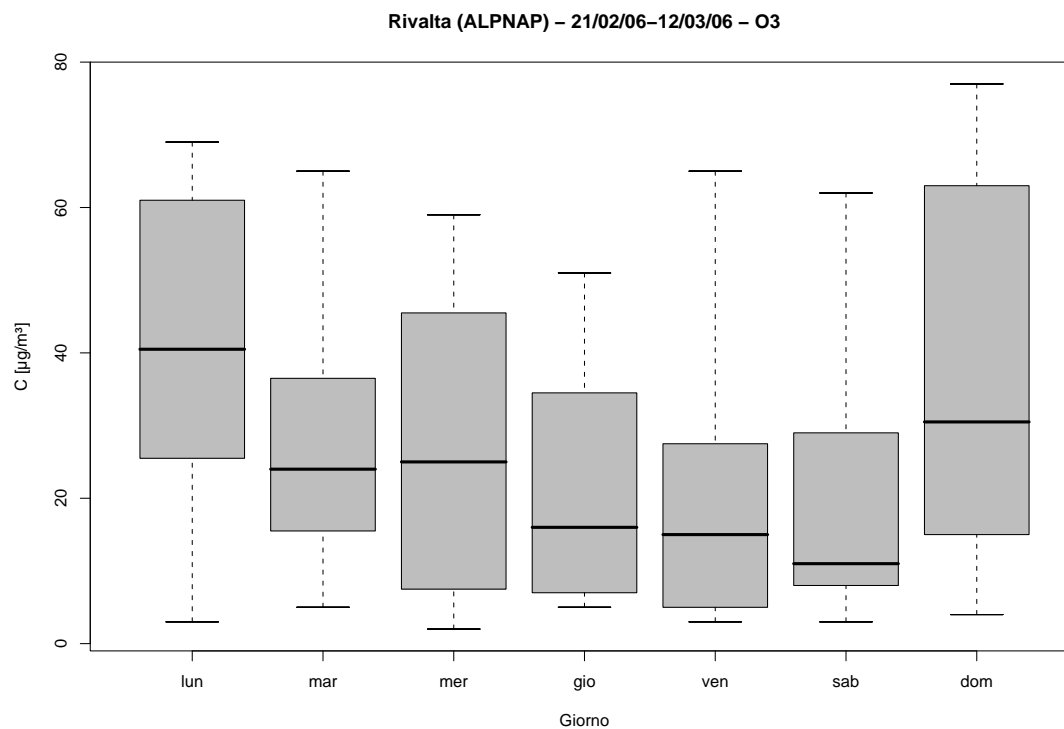


Figura 42.6: Campagna di misura a Rivalta (ALPNAP) (21/02/06-12/03/06), inquinante: O<sub>3</sub>. Box-plot relativo al giorno della settimana.

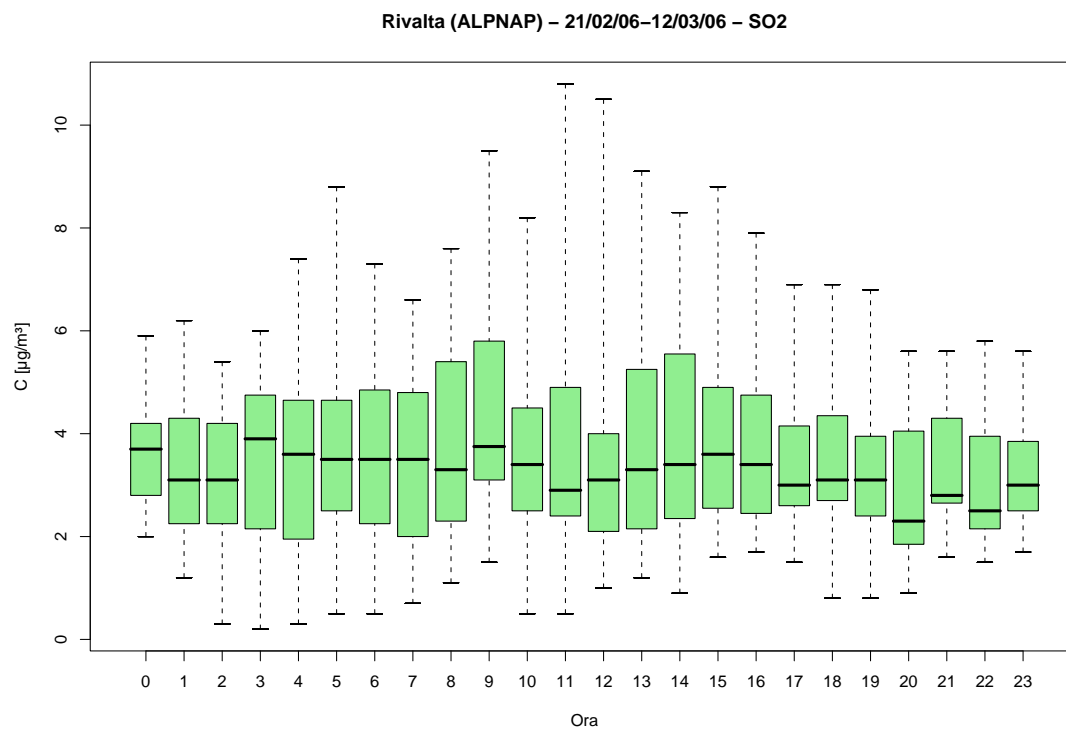


Figura 42.7: Campagna di misura a Rivalta (ALPNAP) (21/02/06-12/03/06), inquinante:  $SO_2$ . Box-plot relativo all'ora del giorno.

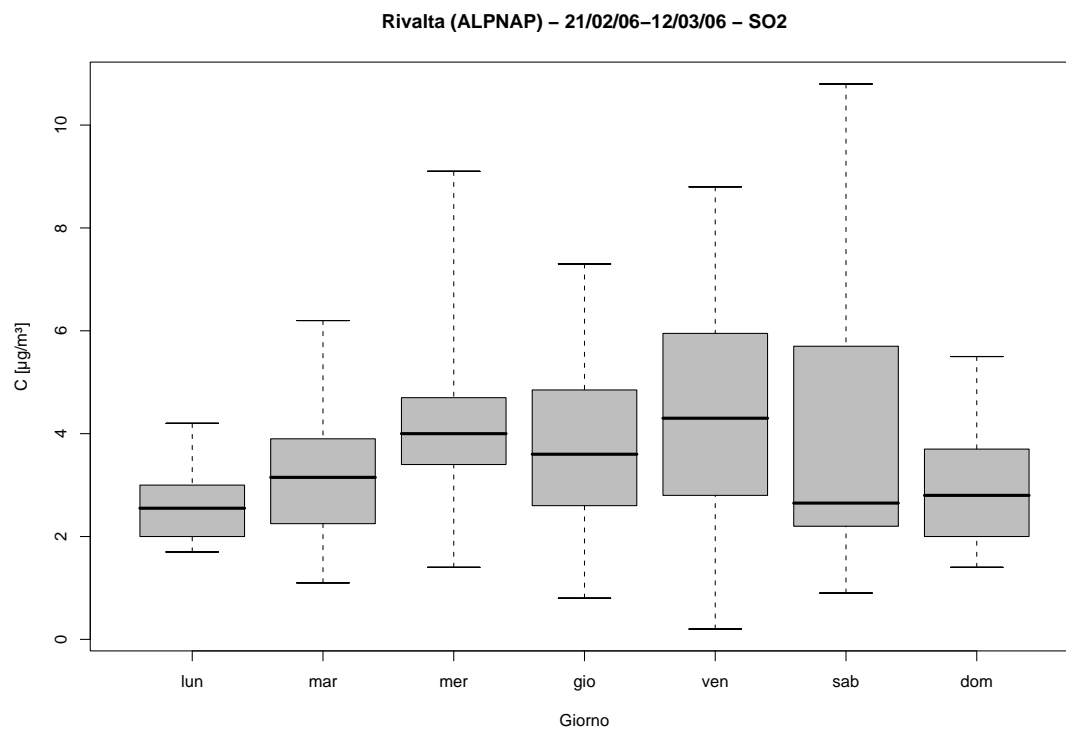


Figura 42.8: Campagna di misura a Rivalta (ALPNAP) (21/02/06-12/03/06), inquinante:  $SO_2$ . Box-plot relativo al giorno della settimana.

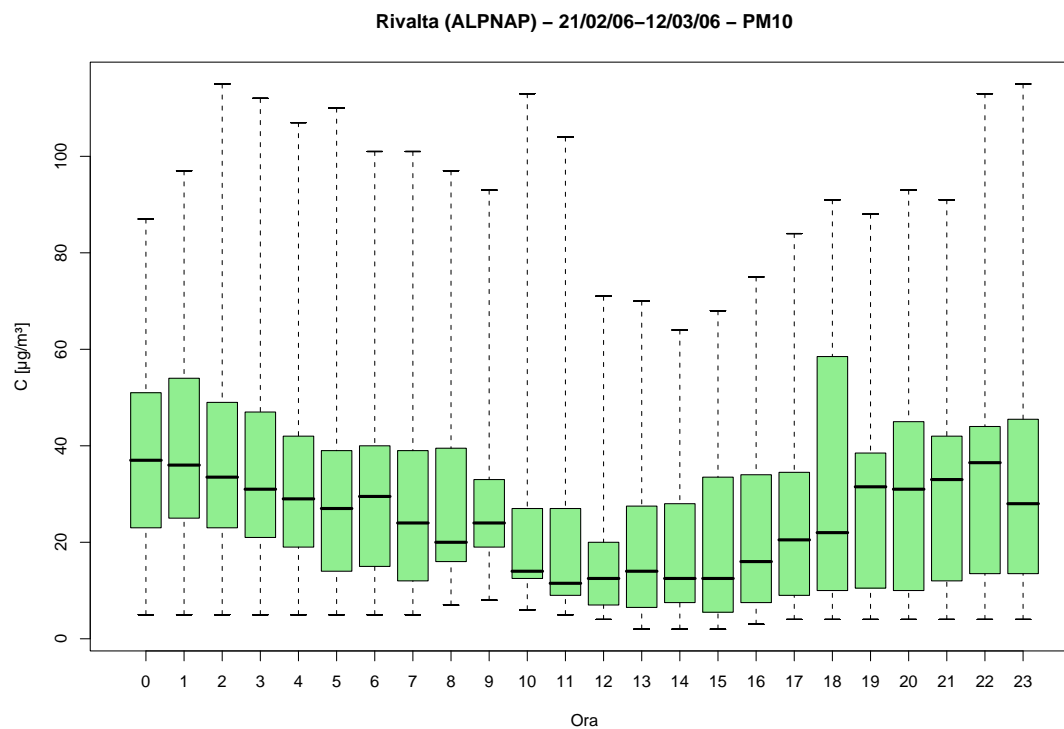


Figura 42.9: Campagna di misura a Rivalta (ALPNAP) (21/02/06-12/03/06), inquinante:  $PM_{10}$ . Box-plot relativo all'ora del giorno.

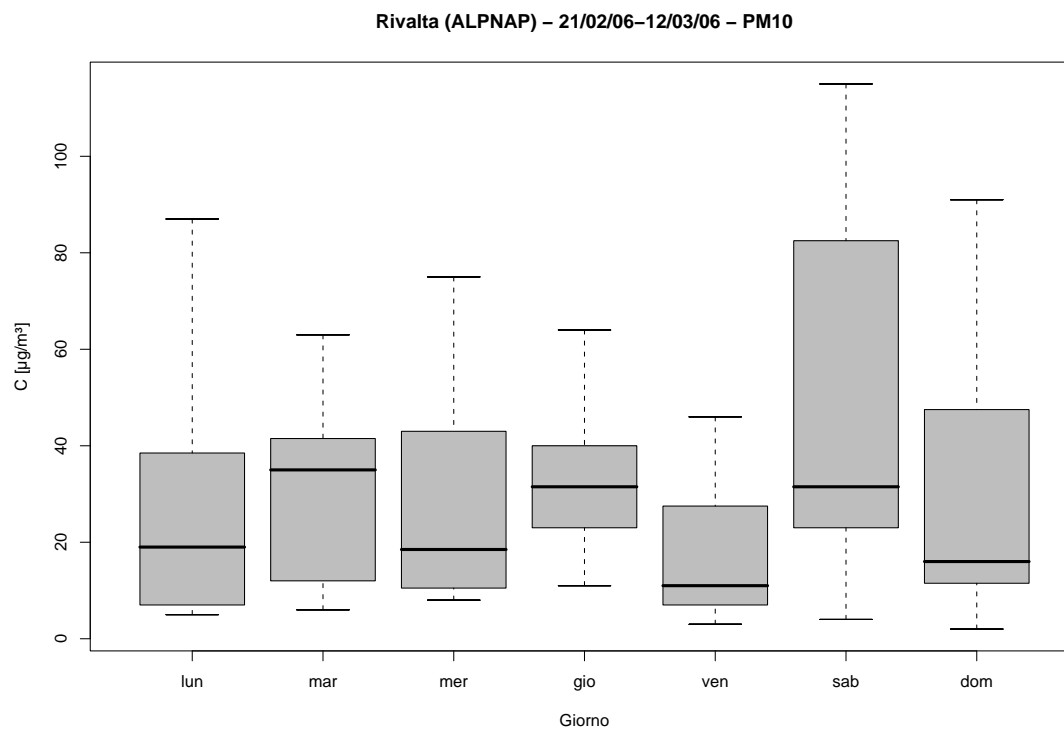


Figura 42.10: Campagna di misura a Rivalta (ALPNAP) (21/02/06-12/03/06), inquinante:  $PM_{10}$ . Box-plot relativo al giorno della settimana.

Rivalta (ALPNAP) – 21/02/06–12/03/06  
distribuzioni in frequenza e correlazioni

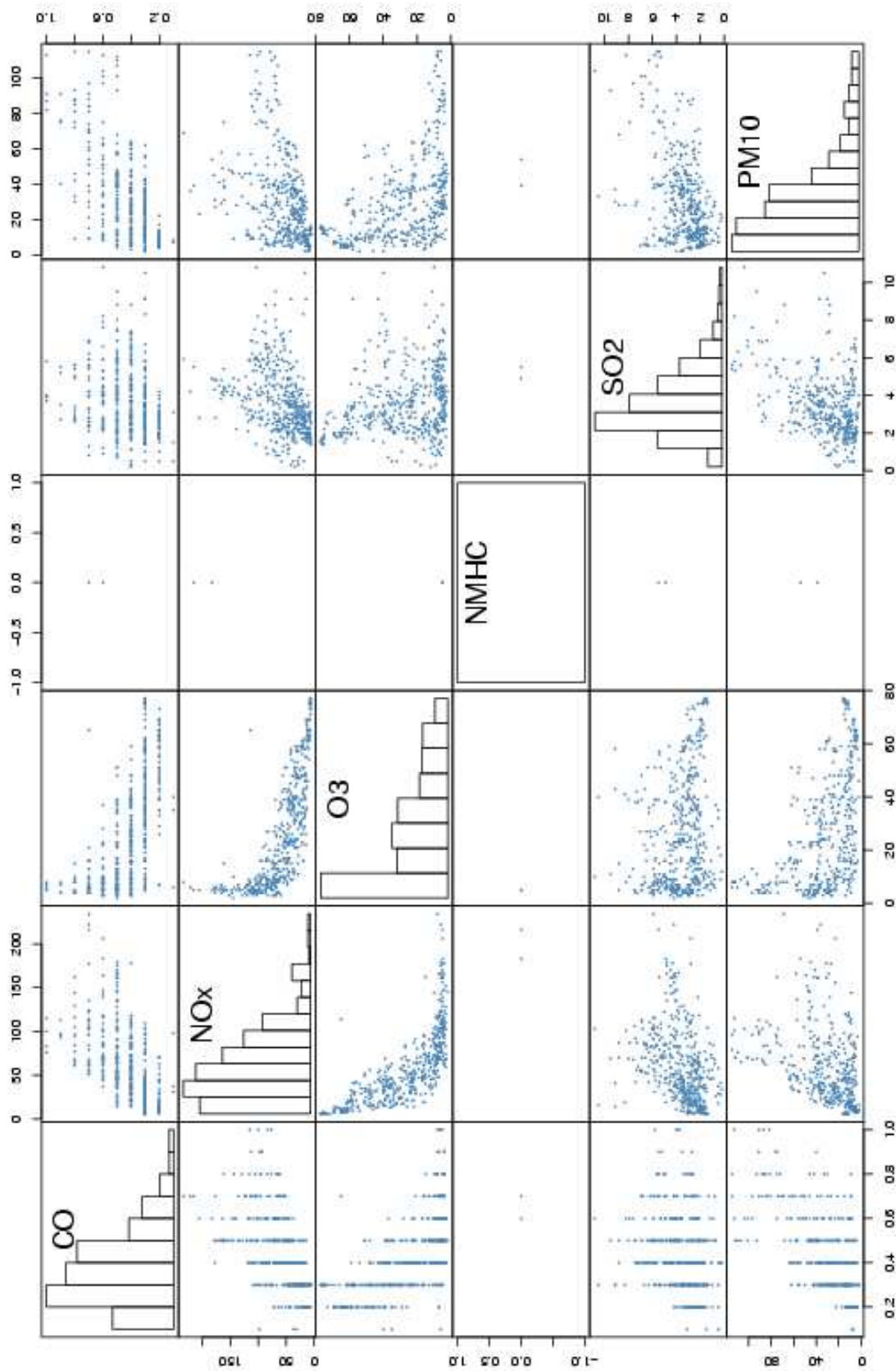
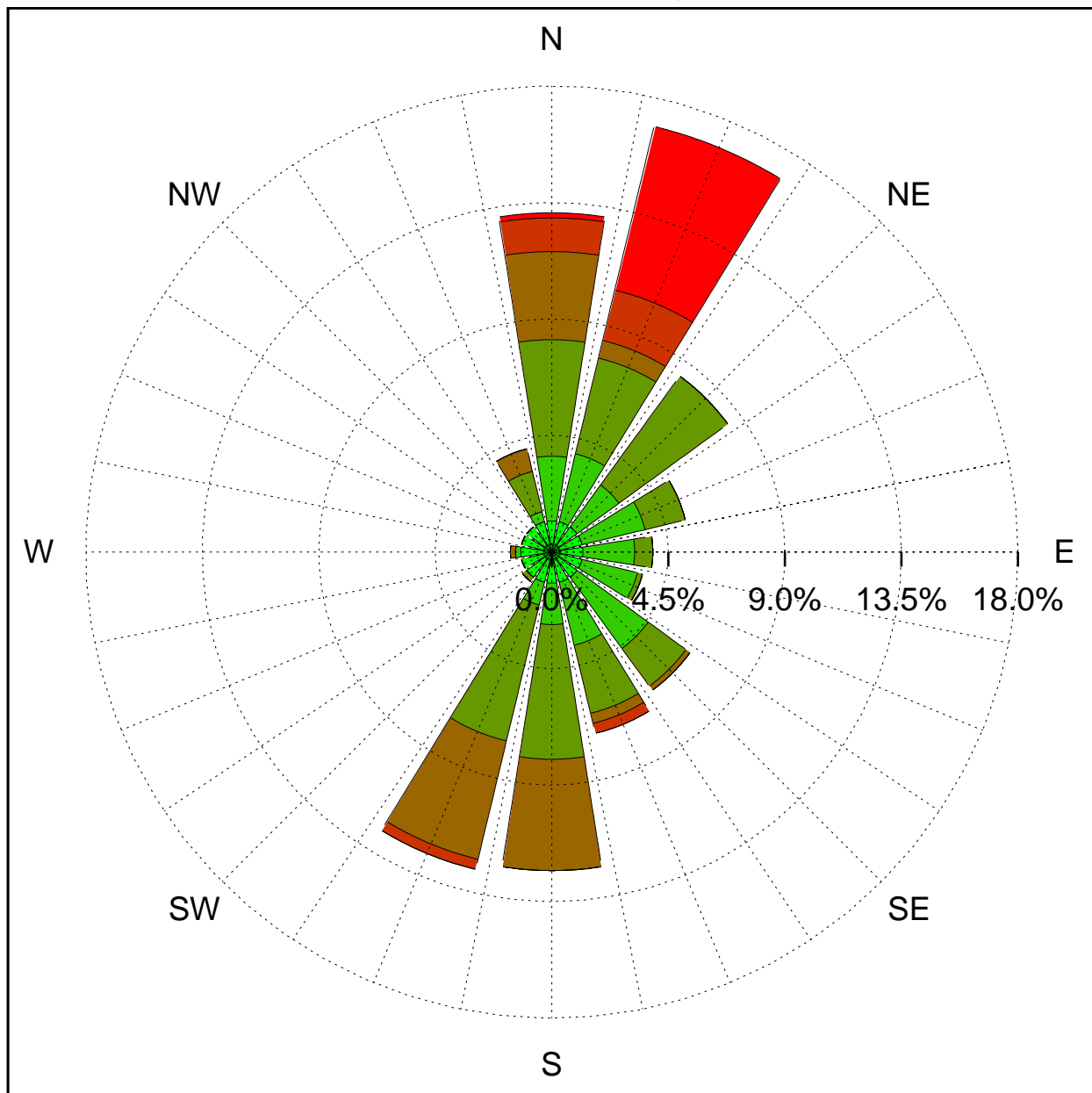


Figura 42.11: Campagna di misura a Rivalta (ALPNAP) (21/02/06-12/03/06). Distribuzioni in frequenza e correlazioni.

Sito di misura: Rivalta (campagna ALPNAP)



Legenda - velocità [m/s]	
$v \geq 5.0$	
$3.0 \leq v < 5.0$	
$2.0 \leq v < 3.0$	
$1.0 \leq v < 2.0$	
$0.5 \leq v < 1.0$	
calma ( $v < 0.5$ )	

Figura 42.12: Campagna di misura a Rivalta (ALPNAP) (21/02/06-12/03/06). Rosa dei venti.

## 43 Campagna di misura a Storo

**Campagna di misura** dal 02/03/06 al 25/04/06

**Inquinanti rilevati:**  $CO$ ,  $NO_x$ ,  $O_3$ ,  $SO_2$ ,  $PM_{10}$

**Parametri meteorologici misurati:** velocità del vento, direzione del vento, temperatura

**Note:** I grafici mostrano un andamento giornaliero simile per tutti gli inquinanti caratterizzato da un picco intorno alle ore 8 del mattino e un altro picco intorno alle ore 20 della sera. Anche l'andamento settimanale è simile per tutti tranne che per le polveri fini, si nota che le concentrazioni salgono durante la settimana per poi scendere nel week-end e raggiungere il minimo la domenica. Le  $PM_{10}$  invece fanno registrare le concentrazioni più basse il martedì e il mercoledì. L'ozono segue un andamento giornaliero caratterizzato da una valore costante per tutta la notte, che scende fino a raggiungere il minimo attorno alle ore 8 per poi crescere e raggiungere i valori più elevati tra le 12 e le 16.



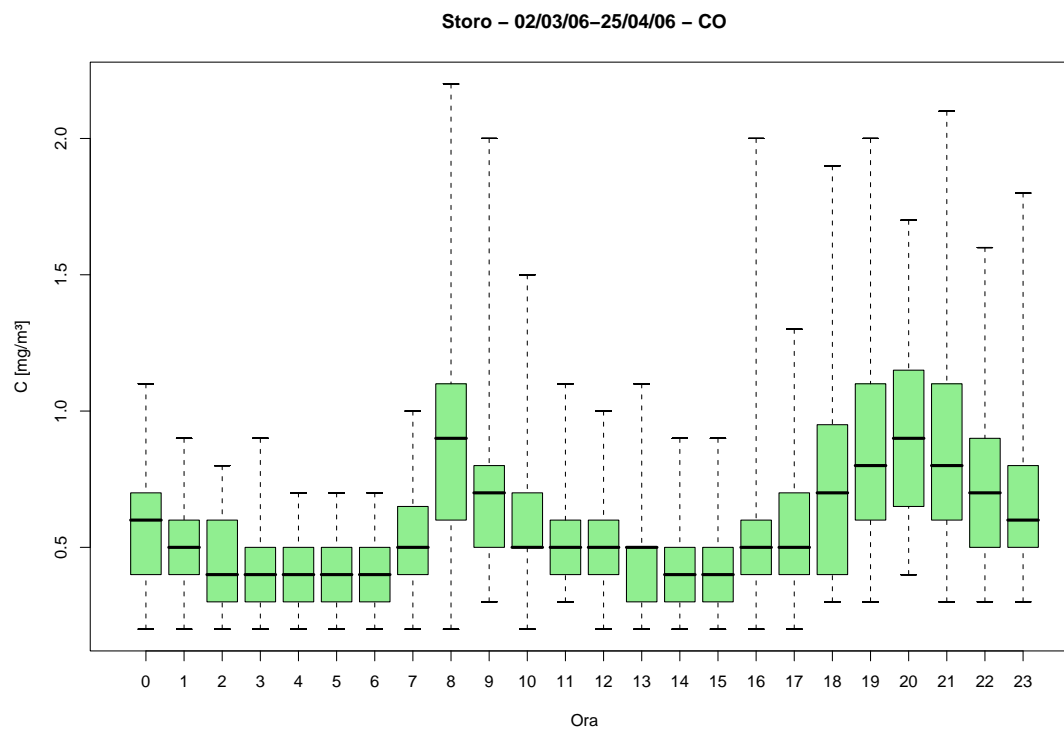


Figura 43.1: Campagna di misura a Storo (02/03/06-25/04/06), inquinante: *CO*. Box-plot relativo all'ora del giorno.

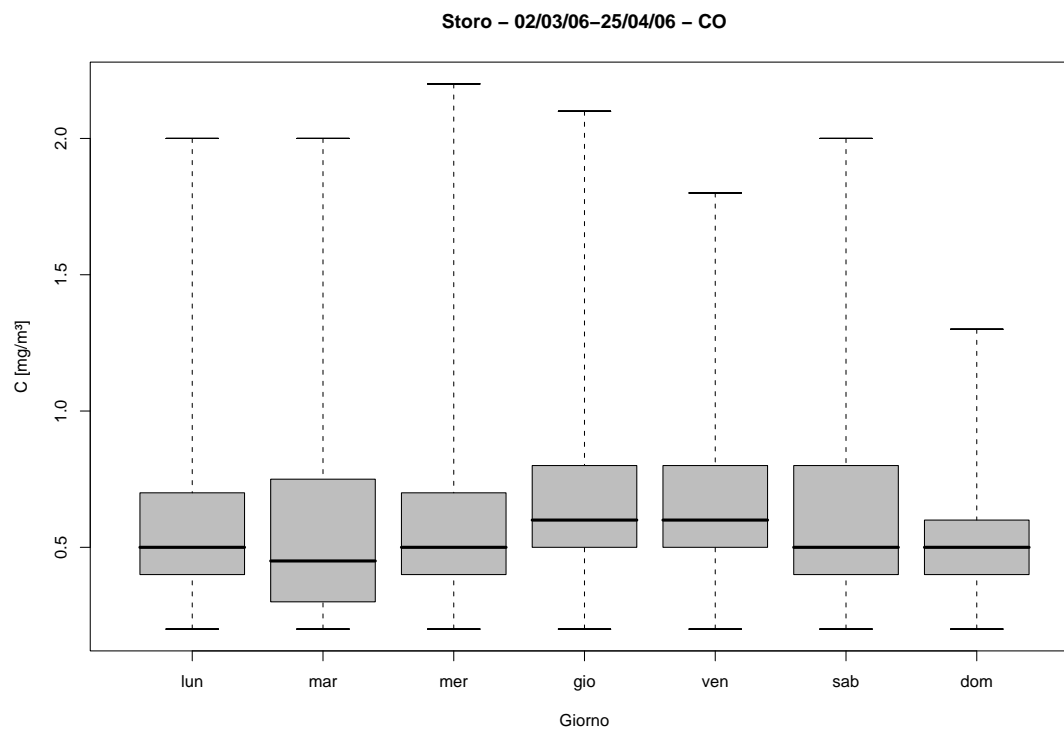


Figura 43.2: Campagna di misura a Storo (02/03/06-25/04/06), inquinante: *CO*. Box-plot relativo al giorno della settimana.

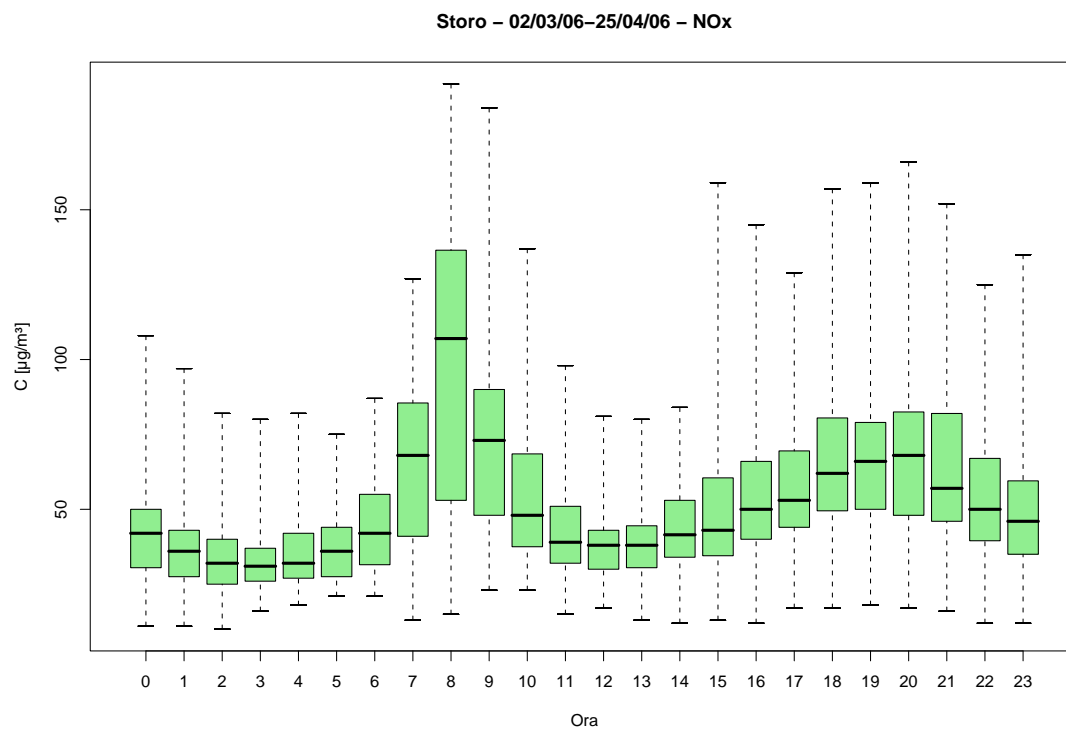


Figura 43.3: Campagna di misura a Storo (02/03/06-25/04/06), inquinante:  $NO_x$ . Box-plot relativo all'ora del giorno.

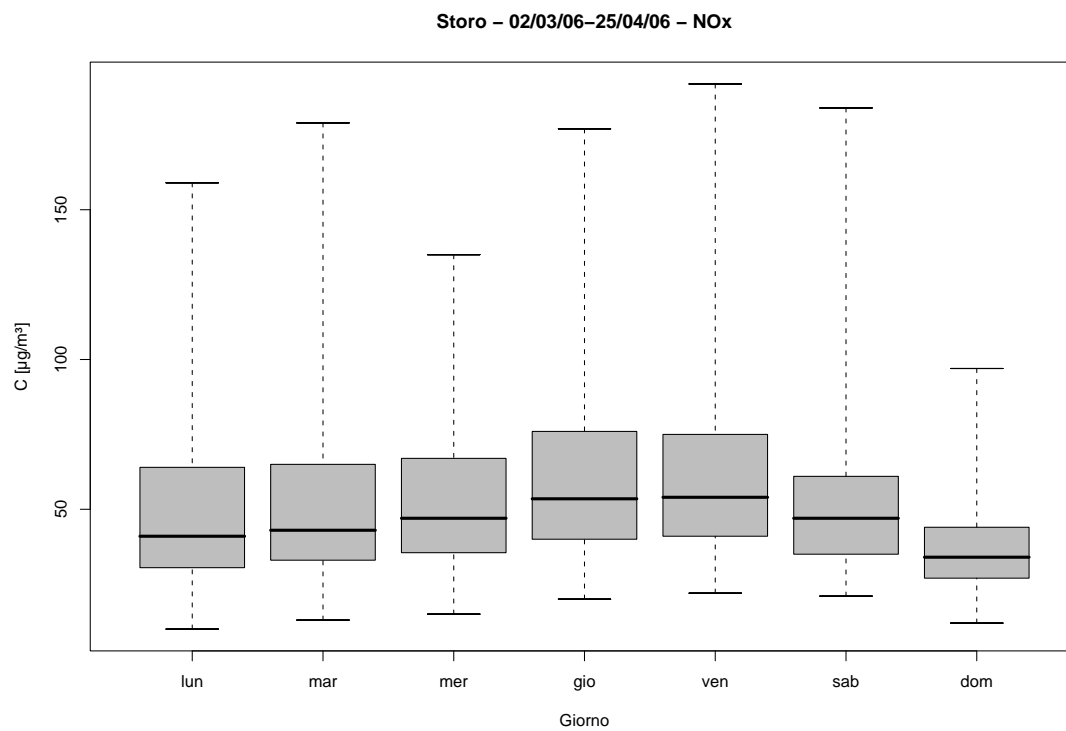


Figura 43.4: Campagna di misura a Storo (02/03/06-25/04/06), inquinante:  $NO_x$ . Box-plot relativo al giorno della settimana.

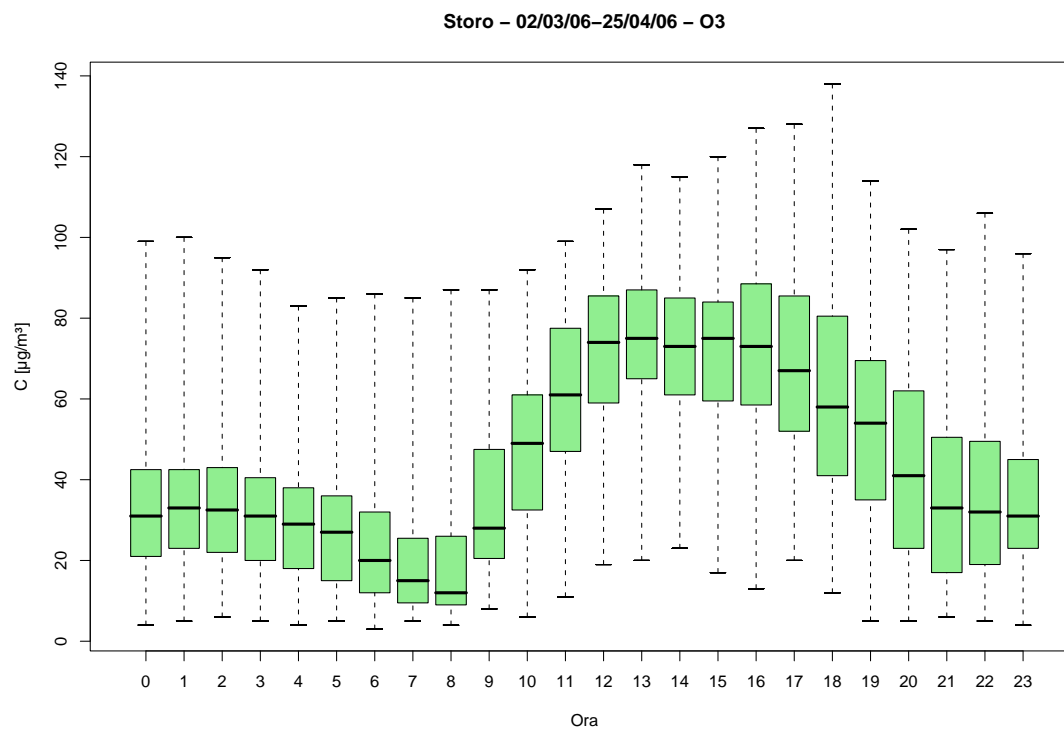


Figura 43.5: Campagna di misura a Storo (02/03/06-25/04/06), inquinante:  $O_3$ . Box-plot relativo all'ora del giorno.

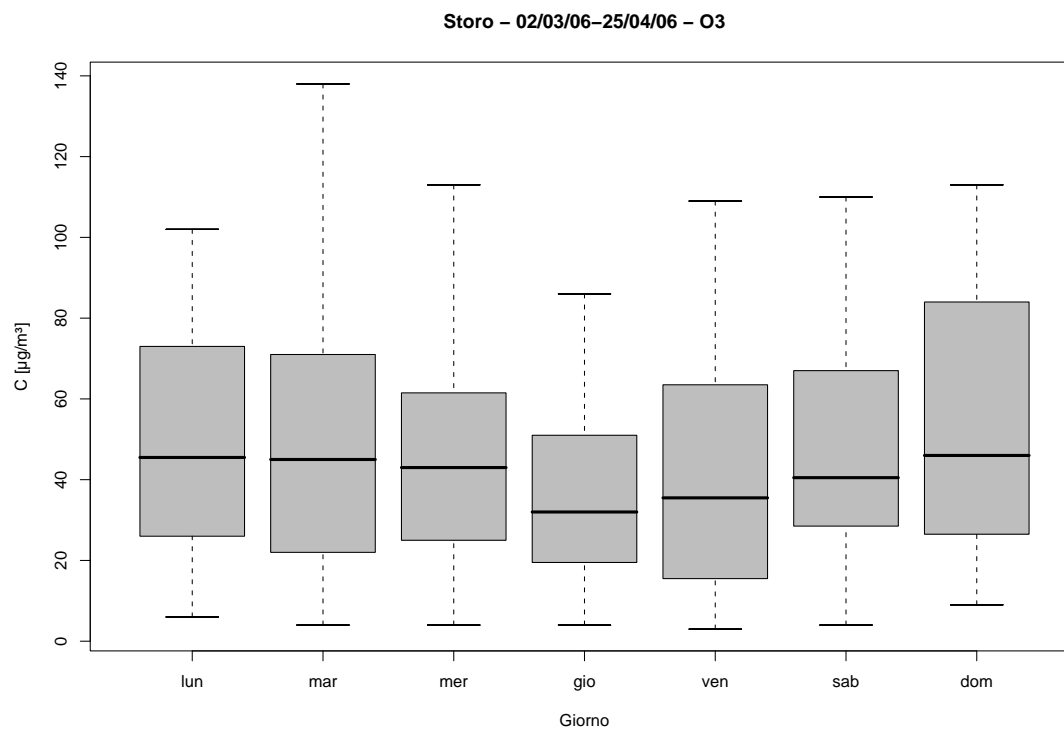


Figura 43.6: Campagna di misura a Storo (02/03/06-25/04/06), inquinante:  $O_3$ . Box-plot relativo al giorno della settimana.

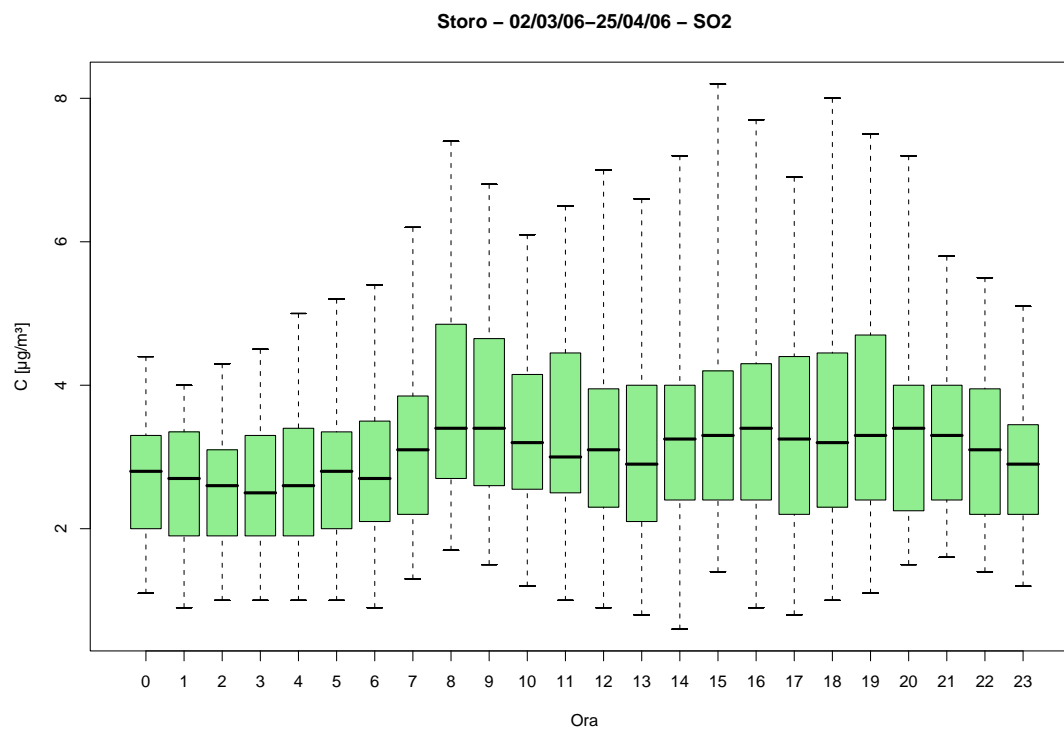


Figura 43.7: Campagna di misura a Storo (02/03/06-25/04/06), inquinante:  $SO_2$ . Box-plot relativo all'ora del giorno.

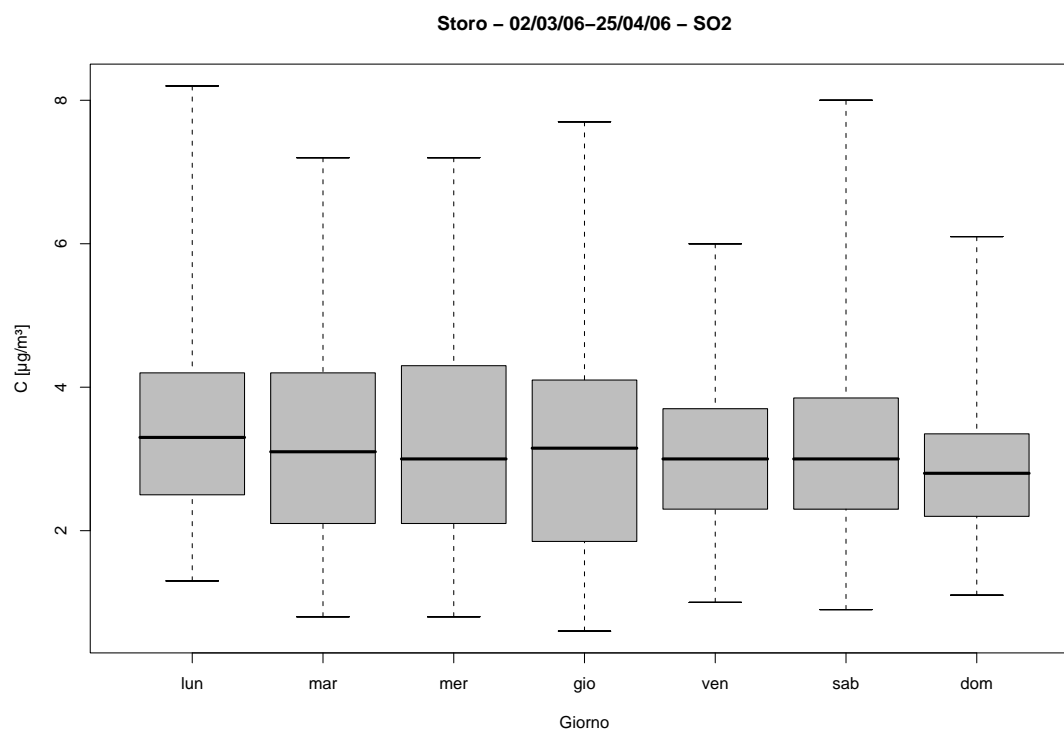


Figura 43.8: Campagna di misura a Storo (02/03/06-25/04/06), inquinante:  $SO_2$ . Box-plot relativo al giorno della settimana.

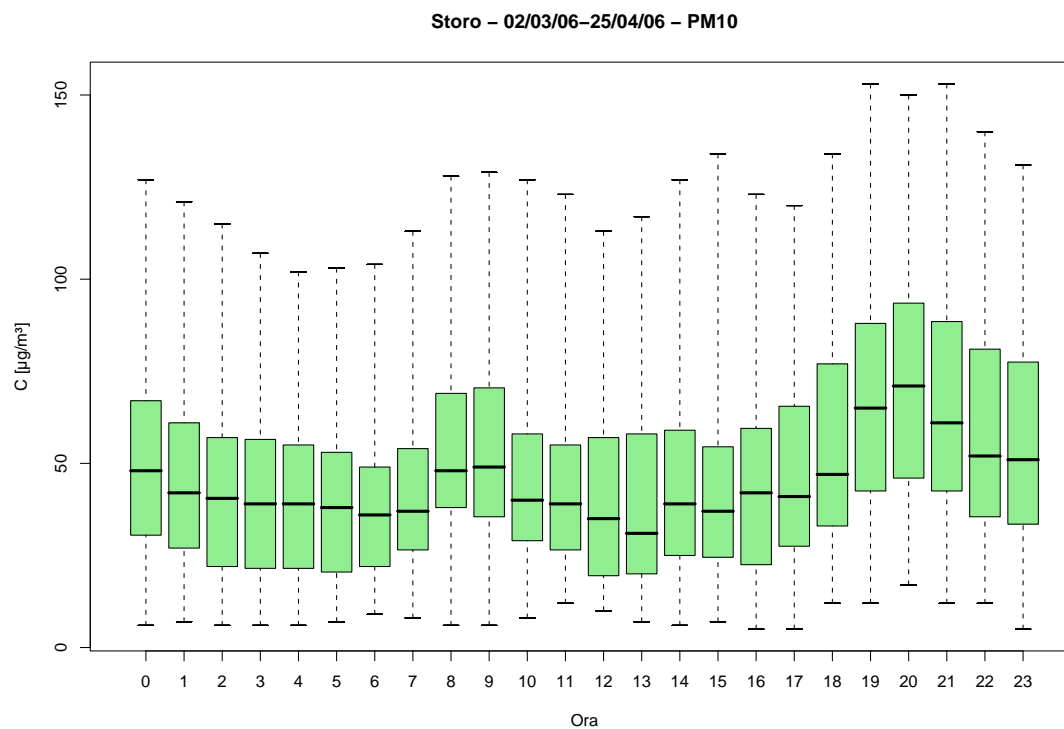


Figura 43.9: Campagna di misura a Storo (02/03/06-25/04/06), inquinante:  $PM_{10}$ . Box-plot relativo all'ora del giorno.

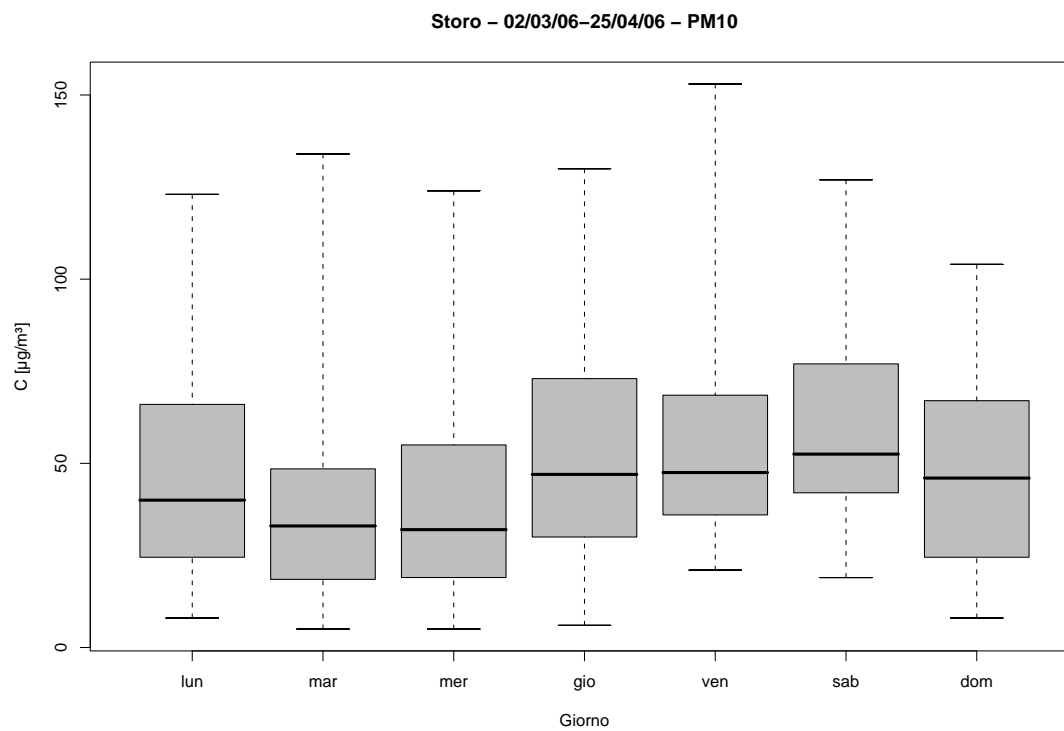


Figura 43.10: Campagna di misura a Storo (02/03/06-25/04/06), inquinante:  $PM_{10}$ . Box-plot relativo al giorno della settimana.

Storo - 02/03/06-25/04/06  
distribuzioni in frequenza e correlazioni

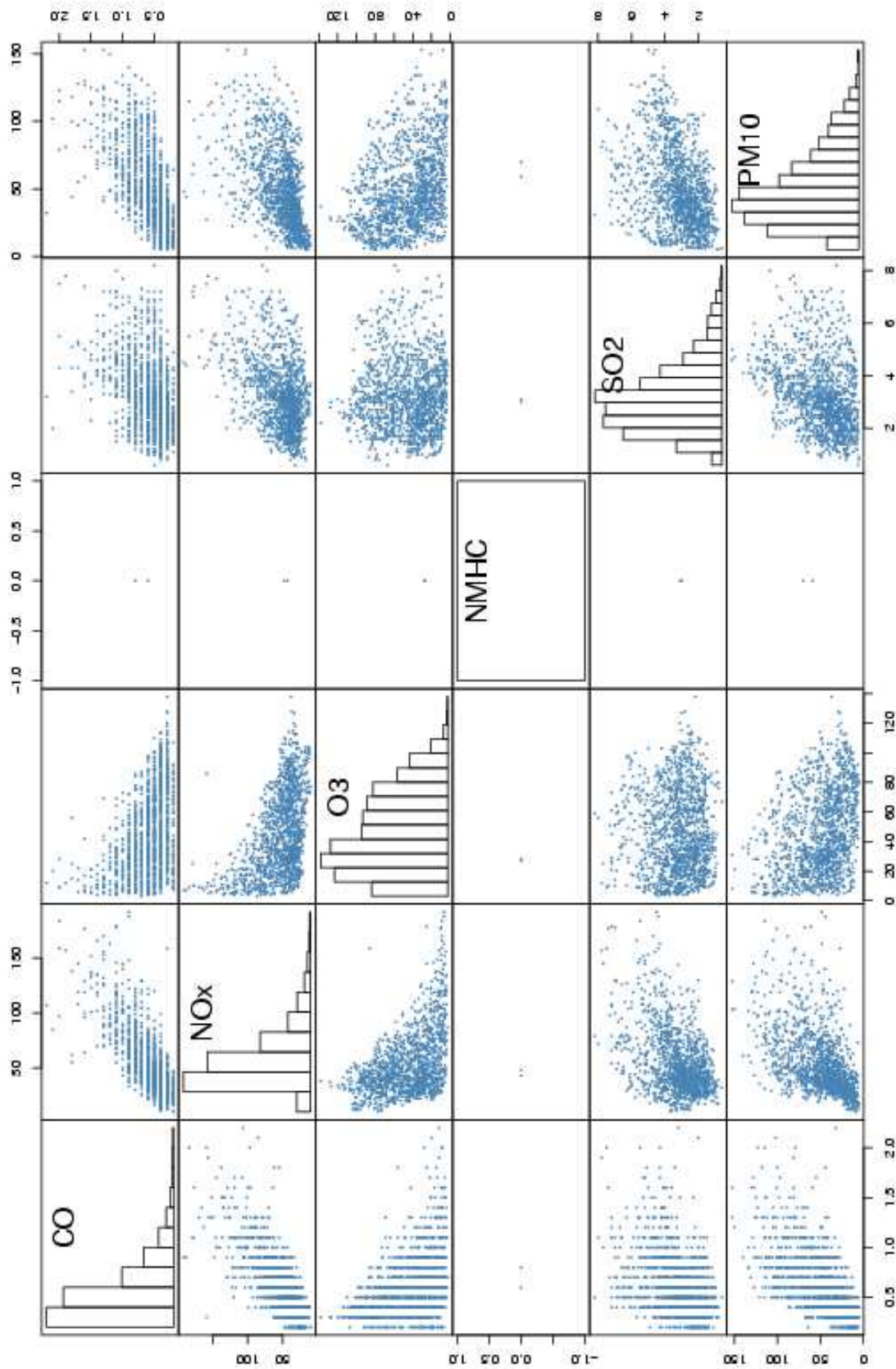
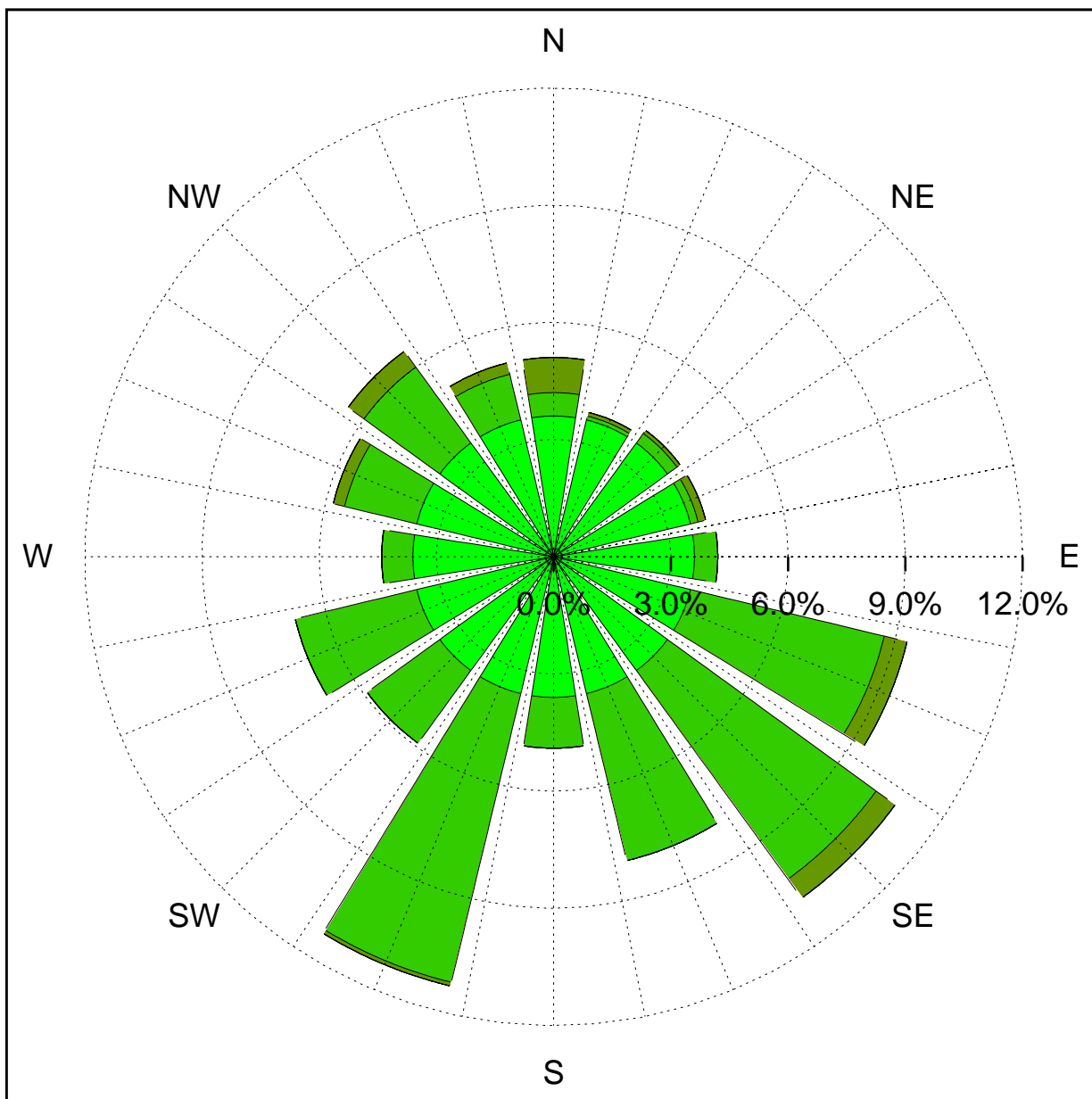


Figura 43.11: Campagna di misura a Storo (02/03/06-25/04/06). Distribuzioni in frequenza e correlazioni.

Sito di misura: Storo



Legenda - velocità [m/s]	
$v \geq 5.0$	
$3.0 \leq v < 5.0$	
$2.0 \leq v < 3.0$	
$1.0 \leq v < 2.0$	
$0.3 \leq v < 1.0$	
calma ( $v < 0.3$ )	

Figura 43.12: Campagna di misura a Storo (02/03/06-25/04/06). Rosa dei venti.

## 44 Campagna di misura a Zambana

**Campagna di misura** dal 23/03/06 al 25/04/06

**Inquinanti rilevati:**  $CO$ ,  $NO_x$ ,  $O_3$ ,  $SO_2$ ,  $PM_{10}$

**Parametri meteorologici misurati:** velocità del vento, direzione del vento, temperatura, umidità relativa, pioggia, radiazione globale

**Note:** I vari inquinanti presentano un andamento giornaliero caratterizzato da un solo picco che si registra intorno alle ore 7. Le polveri fini presentano questo comportamento anche se in maniera meno marcata, e presentano un picco nei valori medi anche intorno alle 20. I dati non mostrano poi comportamenti settimanali chiaramente identificabili, solo le  $PM_{10}$  fanno registrare i valori minimi nel mezzo della settimana. L'ozono segue un ciclo giornaliero caratterizzato dai valori minimi tra le 6 e le 7 del mattino (si noti la bassissima dispersione dei dati). La concentrazione di  $O_3$  tende poi a salire e a mantenersi su valori elevati durante tutto il pomeriggio.



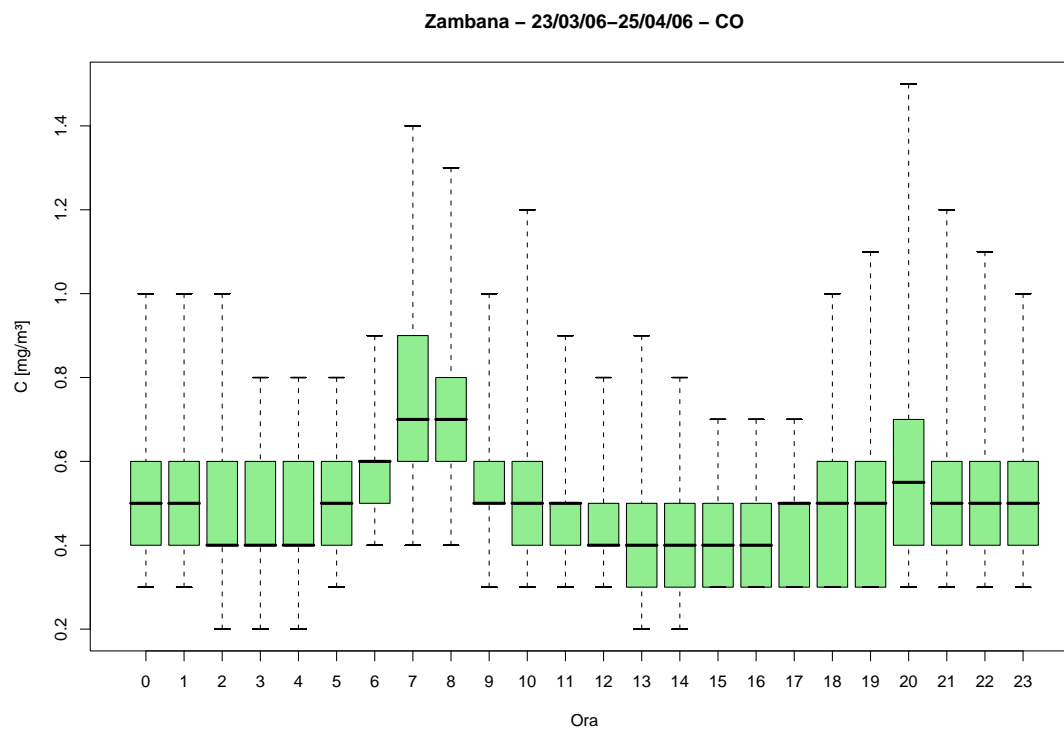


Figura 44.1: Campagna di misura a Zambana (23/03/06-25/04/06), inquinante: *CO*. Box-plot relativo all'ora del giorno.

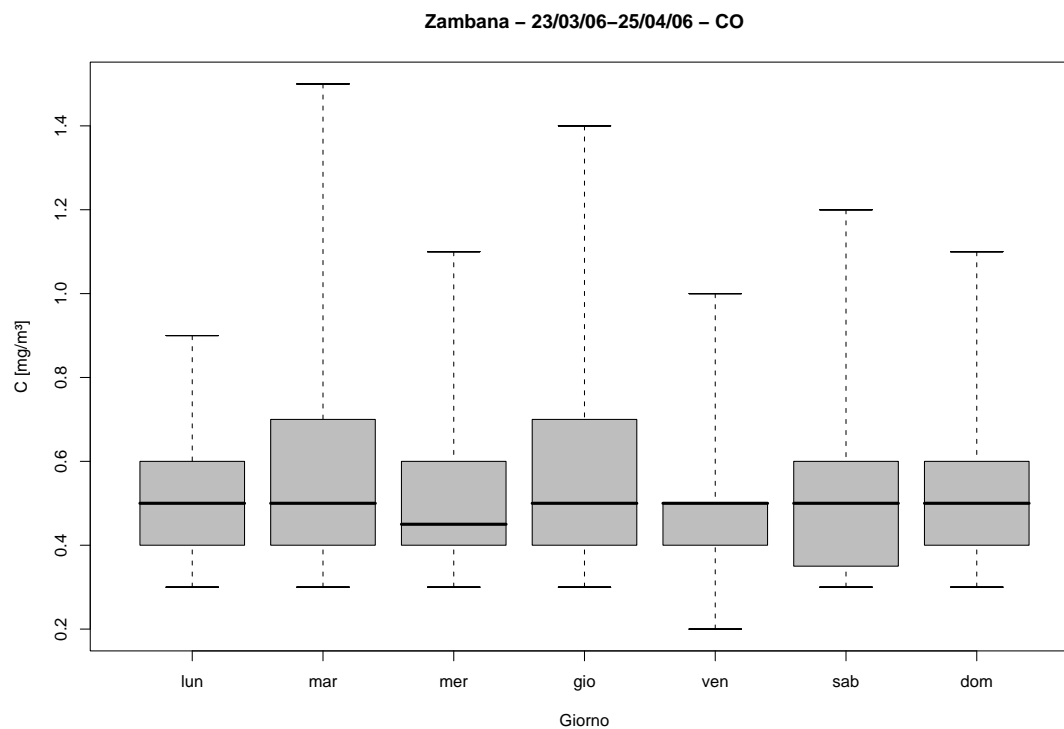


Figura 44.2: Campagna di misura a Zambana (23/03/06-25/04/06), inquinante: *CO*. Box-plot relativo al giorno della settimana.

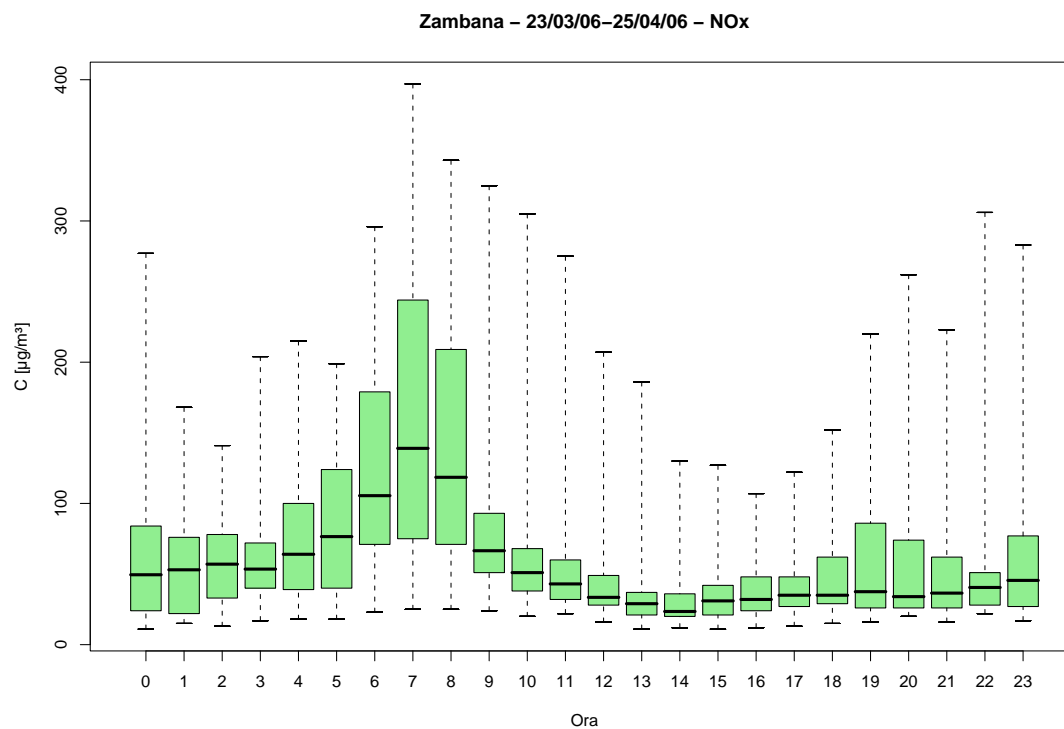


Figura 44.3: Campagna di misura a Zambana (23/03/06-25/04/06), inquinante:  $NO_x$ . Box-plot relativo all'ora del giorno.

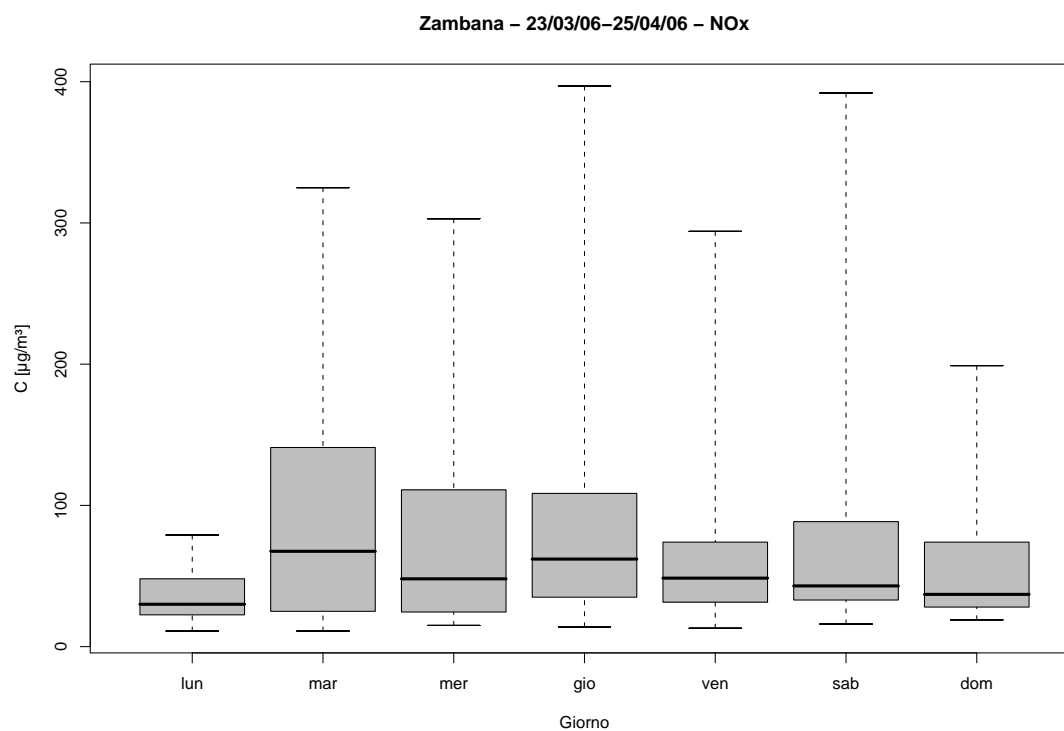


Figura 44.4: Campagna di misura a Zambana (23/03/06-25/04/06), inquinante:  $NO_x$ . Box-plot relativo al giorno della settimana.

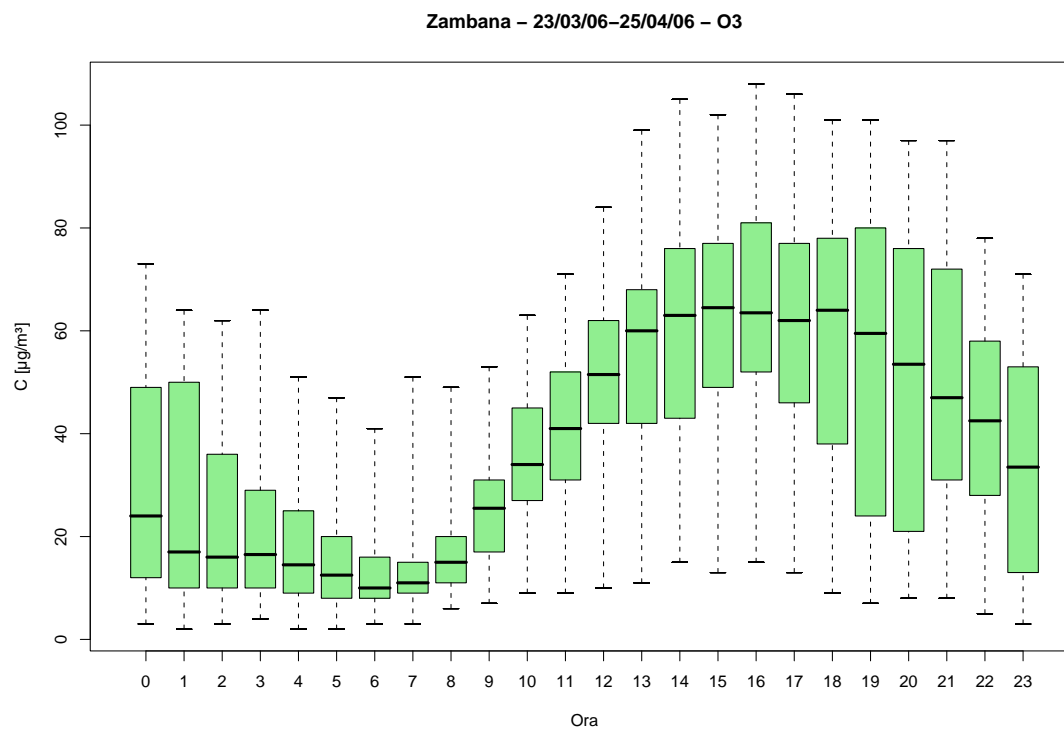


Figura 44.5: Campagna di misura a Zambana (23/03/06-25/04/06), inquinante:  $O_3$ . Box-plot relativo all'ora del giorno.

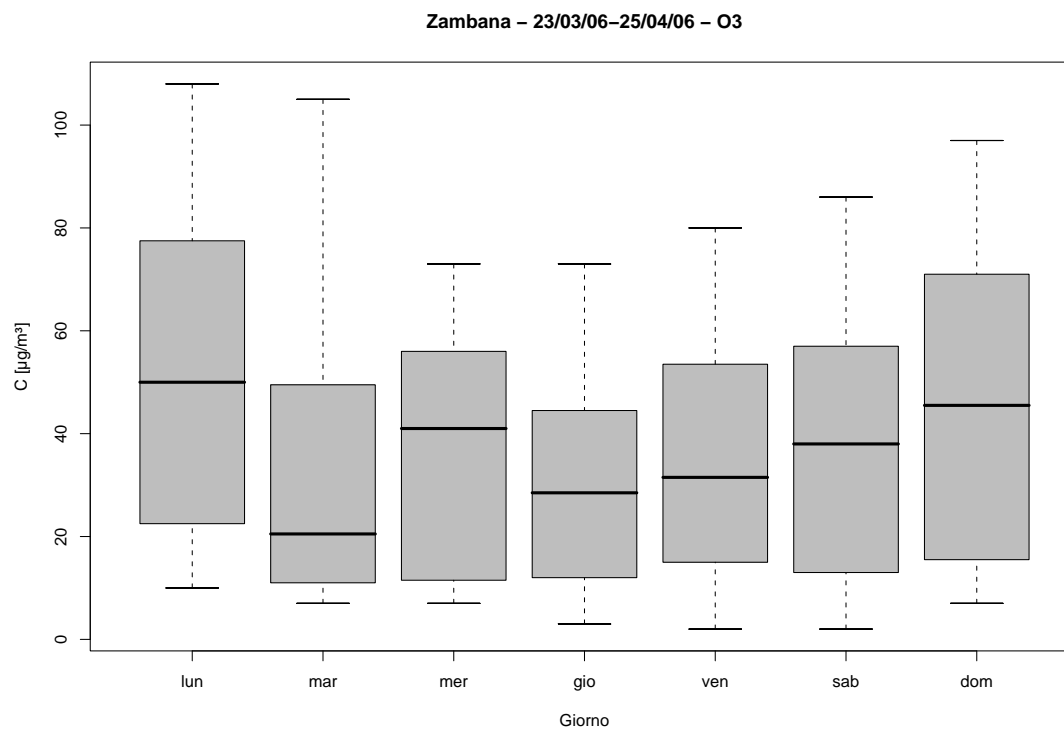


Figura 44.6: Campagna di misura a Zambana (23/03/06-25/04/06), inquinante:  $O_3$ . Box-plot relativo al giorno della settimana.

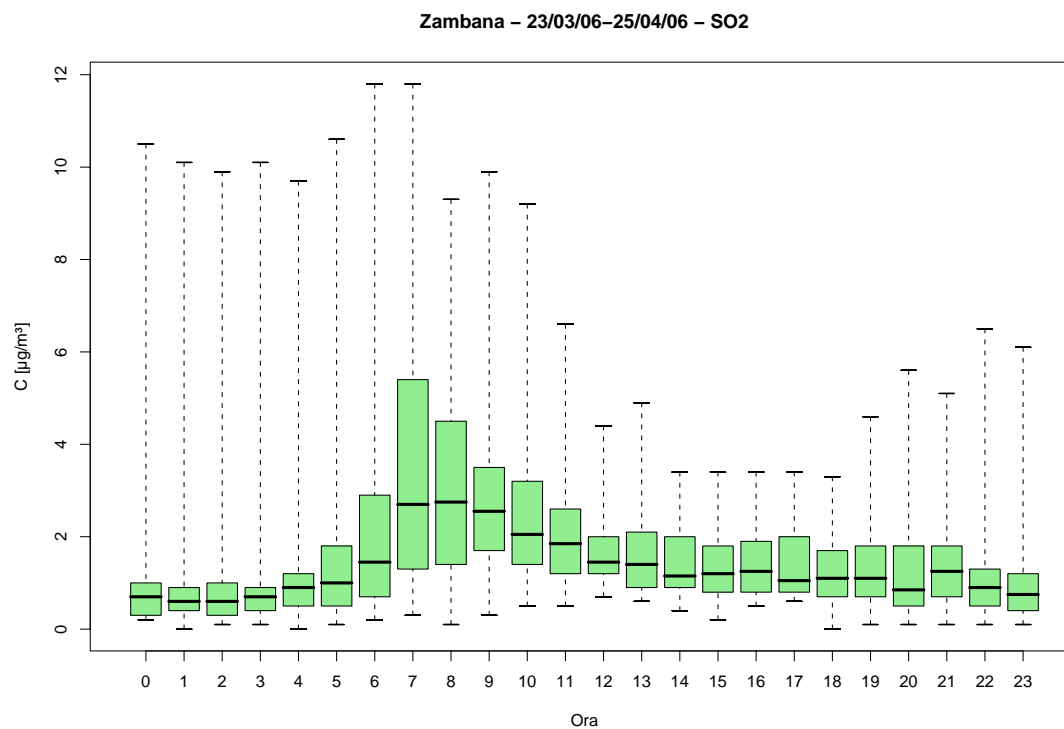


Figura 44.7: Campagna di misura a Zambana (23/03/06-25/04/06), inquinante:  $\text{SO}_2$ . Box-plot relativo all'ora del giorno.

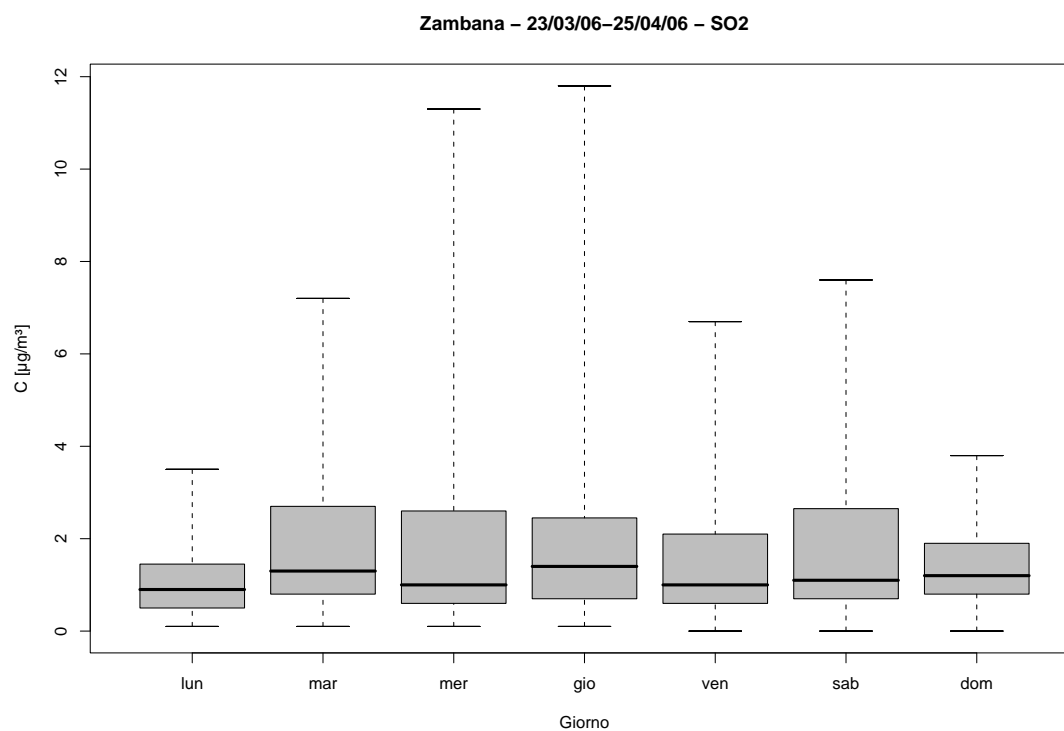


Figura 44.8: Campagna di misura a Zambana (23/03/06-25/04/06), inquinante:  $\text{SO}_2$ . Box-plot relativo al giorno della settimana.

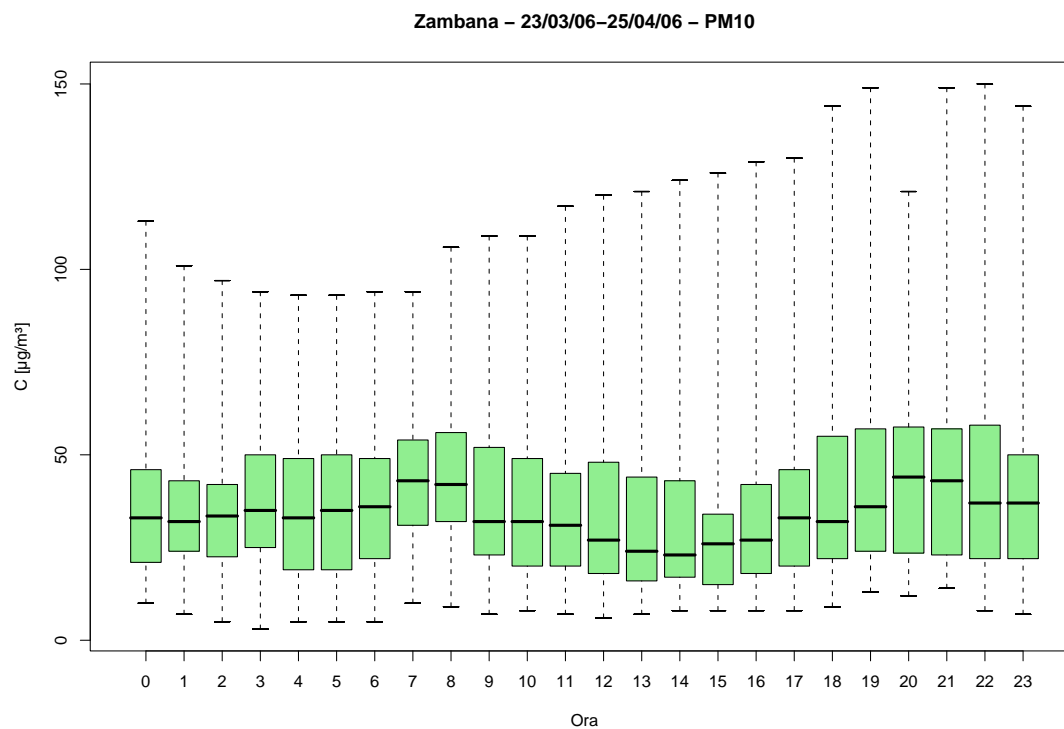


Figura 44.9: Campagna di misura a Zambana (23/03/06-25/04/06), inquinante:  $PM_{10}$ . Box-plot relativo all'ora del giorno.

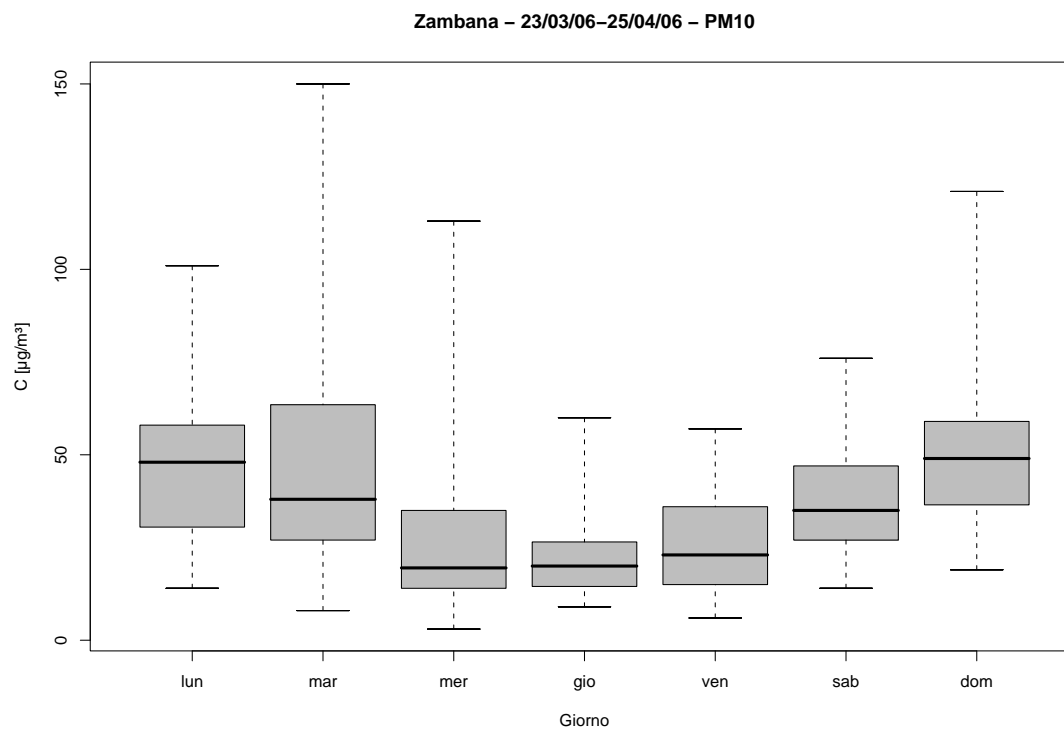


Figura 44.10: Campagna di misura a Zambana (23/03/06-25/04/06), inquinante:  $PM_{10}$ . Box-plot relativo al giorno della settimana.

Zambana - 23/03/06 - 25/04/06  
distribuzioni in frequenza e correlazioni

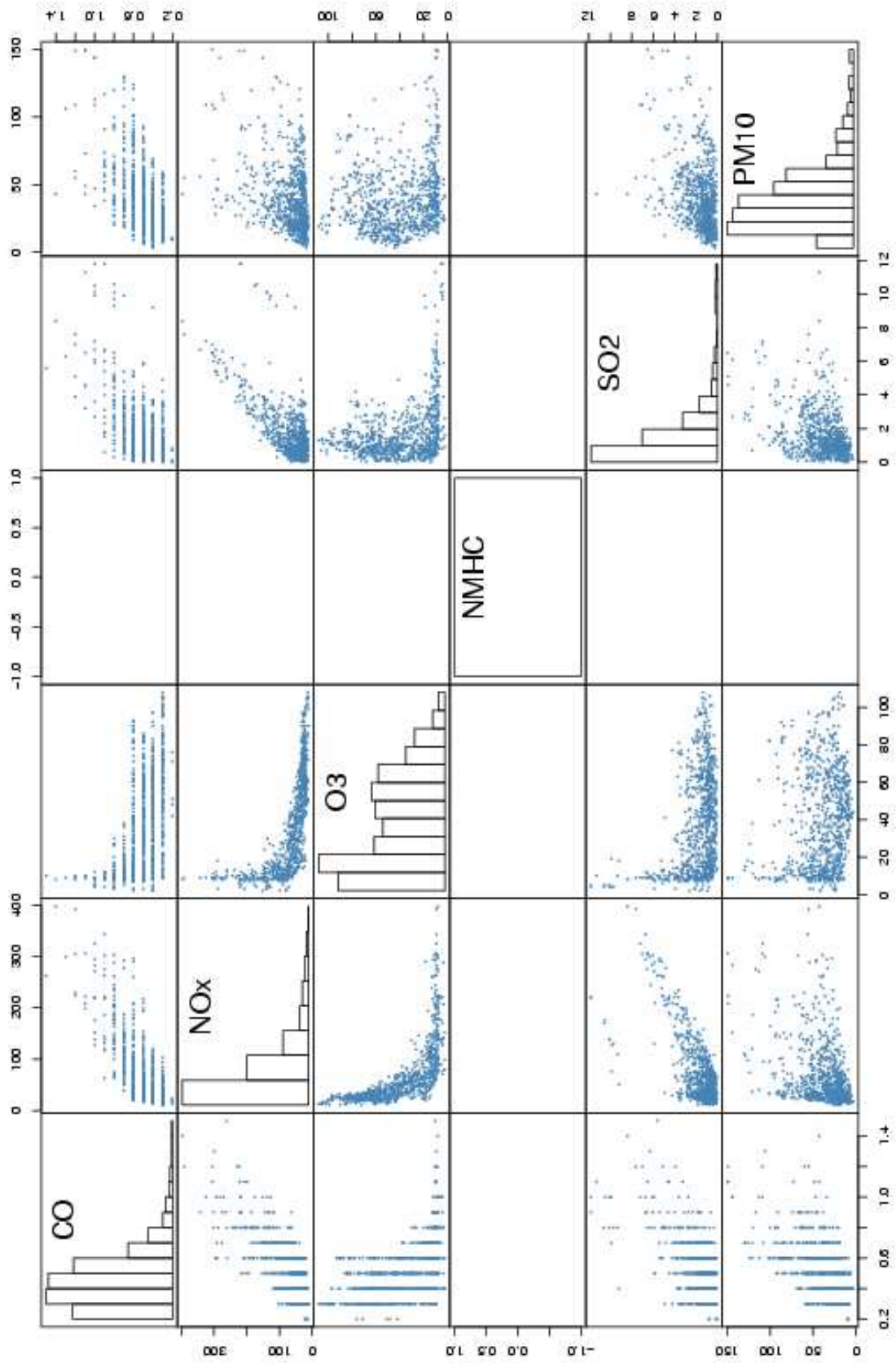
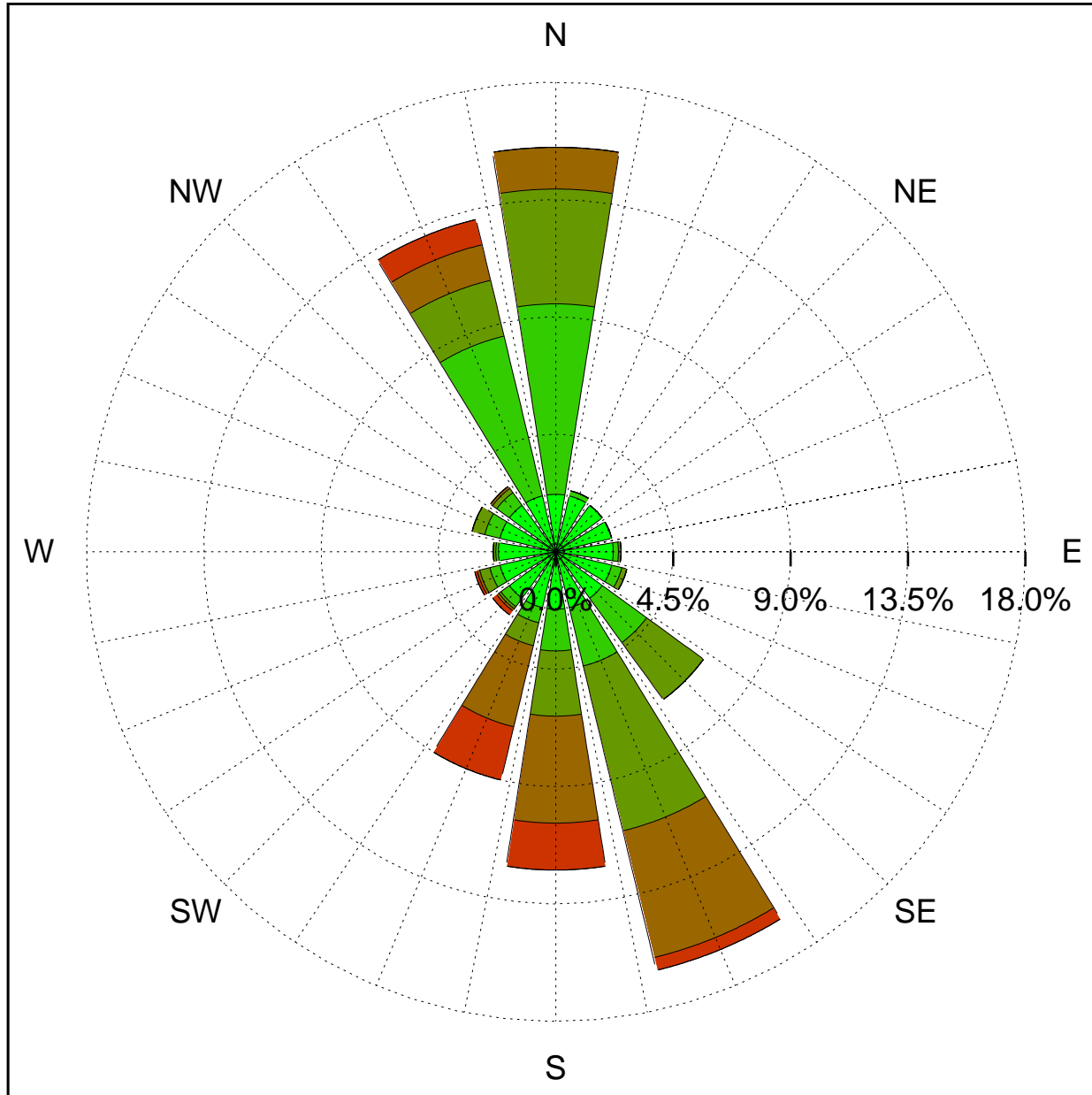


Figura 44.11: Campagna di misura a Zambana (23/03/06-25/04/06). Distribuzioni in frequenza e correlazioni.

Sito di misura: Zambana



Legenda - velocità [m/s]	
v ≥ 5.0	
3.0 ≤ v < 5.0	
2.0 ≤ v < 3.0	
1.0 ≤ v < 2.0	
0.5 ≤ v < 1.0	
calma (v < 0.5)	

Figura 44.12: Campagna di misura a Zambana (23/03/06-25/04/06). Rosa dei venti.

# Indice

1	Campagna di misura a Rovereto via Saibanti	4
2	Campagna di misura a Rovereto via Paoli	12
3	Campagna di misura a Lavis via Filzi	20
4	Campagna di misura a Lavis via Nazionale	27
5	Campagna di misura a Rovereto via Saibanti	35
6	Campagna di misura a Cavalese piazza Dante	43
7	Campagna di misura a Rovereto zona industriale via Marconi	51
8	Campagna di misura a Tesero località Lago	59
9	Campagna di misura a Cavalese piazza Dante	67
10	Campagna di misura a Tesero località Lago	75
11	Campagna di misura a Villalagarina	83
12	Campagna di misura a Rovereto Lizzana via Livenza	91
13	Campagna di misura a Tesero località Lago	99
14	Campagna di misura a Imer discarica comprensoriale	107
15	Campagna di misura a Mezzolombardo piazza Vittoria	115
16	Campagna di misura a Mezzolombardo bivio Fai	123
17	Campagna di misura a Mezzolombardo via Rupe	131
18	Campagna di misura a Mori	139
19	Campagna di misura a Riva del Garda Monte Oro	147
20	Campagna di misura a Riva del Garda Inviolata	155
21	Campagna di misura a Lavis via Filzi	162
22	Campagna di misura a Castelnuovo	170
23	Campagna di misura a Roncegno località Maso Dordi	178



24 Campagna di misura a Tesero località Lago	187
25 Campagna di misura a Val Canali	196
26 Campagna di misura a Pergine	205
27 Campagna di misura a Meano di Trento	214
28 Campagna di misura a Rovereto Lizzana	223
29 Campagna di misura a Rovereto Lizzana	232
30 Campagna di misura a Pergine	241
31 Campagna di misura a Cles	250
32 Campagna di misura a Moena	259
33 Campagna di misura a Ala	267
34 Campagna di misura a Ala	275
35 Campagna di misura a Ala	282
36 Campagna di misura a Ala	289
37 Campagna di misura a Avio A22	296
38 Campagna di misura a Borgo Valsugana SS47	304
39 Campagna di misura a Salorno (ALPNAP)	312
40 Campagna di misura a Aldeno (ALPNAP1)	320
41 Campagna di misura a Aldeno (ALPNAP2)	328
42 Campagna di misura a Rivalta (ALPNAP)	336
43 Campagna di misura a Storo	344
44 Campagna di misura a Zambana	352

# Elenco delle figure

1.1	Campagna di misura a Rovereto via Saibanti (07/02/01-20/02/01), inquinante: $CO$ . Box-plot relativo all'ora del giorno. . . . .	5
1.2	Campagna di misura a Rovereto via Saibanti (07/02/01-20/02/01), inquinante: $CO$ . Box-plot relativo al giorno della settimana. . . . .	5
1.3	Campagna di misura a Rovereto via Saibanti (07/02/01-20/02/01), inquinante: $NO_x$ . Box-plot relativo all'ora del giorno. . . . .	6
1.4	Campagna di misura a Rovereto via Saibanti (07/02/01-20/02/01), inquinante: $NO_x$ . Box-plot relativo al giorno della settimana. . . . .	6
1.5	Campagna di misura a Rovereto via Saibanti (07/02/01-20/02/01), inquinante: $O_3$ . Box-plot relativo all'ora del giorno. . . . .	7
1.6	Campagna di misura a Rovereto via Saibanti (07/02/01-20/02/01), inquinante: $O_3$ . Box-plot relativo al giorno della settimana. . . . .	7
1.7	Campagna di misura a Rovereto via Saibanti (07/02/01-20/02/01), inquinante: $NMHC$ . Box-plot relativo all'ora del giorno. . . . .	8
1.8	Campagna di misura a Rovereto via Saibanti (07/02/01-20/02/01), inquinante: $NMHC$ . Box-plot relativo al giorno della settimana. . . . .	8
1.9	Campagna di misura a Rovereto via Saibanti (07/02/01-20/02/01), inquinante: $SO_2$ . Box-plot relativo all'ora del giorno. . . . .	9
1.10	Campagna di misura a Rovereto via Saibanti (07/02/01-20/02/01), inquinante: $SO_2$ . Box-plot relativo al giorno della settimana. . . . .	9
1.11	Campagna di misura a Rovereto via Saibanti (07/02/01-20/02/01). Distribuzioni in frequenza e correlazioni. . . . .	10
1.12	Campagna di misura a Rovereto via Saibanti (07/02/01-20/02/01). Rosa dei venti. . . . .	11
2.1	Campagna di misura a Rovereto via Paoli (24/02/01-09/05/01), inquinante: $CO$ . Box-plot relativo all'ora del giorno. . . . .	13
2.2	Campagna di misura a Rovereto via Paoli (24/02/01-09/05/01), inquinante: $CO$ . Box-plot relativo al giorno della settimana. . . . .	13
2.3	Campagna di misura a Rovereto via Paoli (24/02/01-09/05/01), inquinante: $NO_x$ . Box-plot relativo all'ora del giorno. . . . .	14
2.4	Campagna di misura a Rovereto via Paoli (24/02/01-09/05/01), inquinante: $NO_x$ . Box-plot relativo al giorno della settimana. . . . .	14
2.5	Campagna di misura a Rovereto via Paoli (24/02/01-09/05/01), inquinante: $O_3$ . Box-plot relativo all'ora del giorno. . . . .	15
2.6	Campagna di misura a Rovereto via Paoli (24/02/01-09/05/01), inquinante: $O_3$ . Box-plot relativo al giorno della settimana. . . . .	15
2.7	Campagna di misura a Rovereto via Paoli (24/02/01-09/05/01), inquinante: $NMHC$ . Box-plot relativo all'ora del giorno. . . . .	16
2.8	Campagna di misura a Rovereto via Paoli (24/02/01-09/05/01), inquinante: $NMHC$ . Box-plot relativo al giorno della settimana. . . . .	16
2.9	Campagna di misura a Rovereto via Paoli (24/02/01-09/05/01), inquinante: $SO_2$ . Box-plot relativo all'ora del giorno. . . . .	17

2.10	Campagna di misura a Rovereto via Paoli (24/02/01-09/05/01), inquinante: $SO_2$ . Box-plot relativo al giorno della settimana. . . . .	17
2.11	Campagna di misura a Rovereto via Paoli (24/02/01-09/05/01). Distribuzioni in frequenza e correlazioni. . . . .	18
2.12	Campagna di misura a Rovereto via Paoli (24/02/01-09/05/01). Rosa dei venti. . . . .	19
3.1	Campagna di misura a Lavis via Filzi (07/03/01-20/03/01), inquinante: $CO$ . Box-plot relativo all'ora del giorno. . . . .	21
3.2	Campagna di misura a Lavis via Filzi (07/03/01-20/03/01), inquinante: $CO$ . Box-plot relativo al giorno della settimana. . . . .	21
3.3	Campagna di misura a Lavis via Filzi (07/03/01-20/03/01), inquinante: $NO_x$ . Box-plot relativo all'ora del giorno. . . . .	22
3.4	Campagna di misura a Lavis via Filzi (07/03/01-20/03/01), inquinante: $NO_x$ . Box-plot relativo al giorno della settimana. . . . .	22
3.5	Campagna di misura a Lavis via Filzi (07/03/01-20/03/01), inquinante: $NMHC$ . Box-plot relativo all'ora del giorno. . . . .	23
3.6	Campagna di misura a Lavis via Filzi (07/03/01-20/03/01), inquinante: $NMHC$ . Box-plot relativo al giorno della settimana. . . . .	23
3.7	Campagna di misura a Lavis via Filzi (07/03/01-20/03/01), inquinante: $SO_2$ . Box-plot relativo all'ora del giorno. . . . .	24
3.8	Campagna di misura a Lavis via Filzi (07/03/01-20/03/01), inquinante: $SO_2$ . Box-plot relativo al giorno della settimana. . . . .	24
3.9	Campagna di misura a Lavis via Filzi (07/03/01-20/03/01). Distribuzioni in frequenza e correlazioni. . . . .	25
3.10	Campagna di misura a Lavis via Filzi (07/03/01-20/03/01). Rosa dei venti. . . . .	26
4.1	Campagna di misura a Lavis via Nazionale (22/03/01-17/04/01), inquinante: $CO$ . Box-plot relativo all'ora del giorno. . . . .	28
4.2	Campagna di misura a Lavis via Nazionale (22/03/01-17/04/01), inquinante: $CO$ . Box-plot relativo al giorno della settimana. . . . .	28
4.3	Campagna di misura a Lavis via Nazionale (22/03/01-17/04/01), inquinante: $NO_x$ . Box-plot relativo all'ora del giorno. . . . .	29
4.4	Campagna di misura a Lavis via Nazionale (22/03/01-17/04/01), inquinante: $NO_x$ . Box-plot relativo al giorno della settimana. . . . .	29
4.5	Campagna di misura a Lavis via Nazionale (22/03/01-17/04/01), inquinante: $O_3$ . Box-plot relativo all'ora del giorno. . . . .	30
4.6	Campagna di misura a Lavis via Nazionale (22/03/01-17/04/01), inquinante: $O_3$ . Box-plot relativo al giorno della settimana. . . . .	30
4.7	Campagna di misura a Lavis via Nazionale (22/03/01-17/04/01), inquinante: $NMHC$ . Box-plot relativo all'ora del giorno. . . . .	31
4.8	Campagna di misura a Lavis via Nazionale (22/03/01-17/04/01), inquinante: $NMHC$ . Box-plot relativo al giorno della settimana. . . . .	31
4.9	Campagna di misura a Lavis via Nazionale (22/03/01-17/04/01), inquinante: $SO_2$ . Box-plot relativo all'ora del giorno. . . . .	32
4.10	Campagna di misura a Lavis via Nazionale (22/03/01-17/04/01), inquinante: $SO_2$ . Box-plot relativo al giorno della settimana. . . . .	32
4.11	Campagna di misura a Lavis via Nazionale (22/03/01-17/04/01). Distribuzioni in frequenza e correlazioni. . . . .	33
4.12	Campagna di misura a Lavis via Nazionale (22/03/01-17/04/01). Rosa dei venti. . . . .	34

5.1	Campagna di misura a Rovereto via Saibanti (11/05/01-24/05/01), inquinante: <i>CO</i> . Box-plot relativo all'ora del giorno. . . . .	36
5.2	Campagna di misura a Rovereto via Saibanti (11/05/01-24/05/01), inquinante: <i>CO</i> . Box-plot relativo al giorno della settimana. . . . .	36
5.3	Campagna di misura a Rovereto via Saibanti (11/05/01-24/05/01), inquinante: <i>NO<sub>x</sub></i> . Box-plot relativo all'ora del giorno. . . . .	37
5.4	Campagna di misura a Rovereto via Saibanti (11/05/01-24/05/01), inquinante: <i>NO<sub>x</sub></i> . Box-plot relativo al giorno della settimana. . . . .	37
5.5	Campagna di misura a Rovereto via Saibanti (11/05/01-24/05/01), inquinante: <i>O<sub>3</sub></i> . Box-plot relativo all'ora del giorno. . . . .	38
5.6	Campagna di misura a Rovereto via Saibanti (11/05/01-24/05/01), inquinante: <i>O<sub>3</sub></i> . Box-plot relativo al giorno della settimana. . . . .	38
5.7	Campagna di misura a Rovereto via Saibanti (11/05/01-24/05/01), inquinante: <i>NMHC</i> . Box-plot relativo all'ora del giorno. . . . .	39
5.8	Campagna di misura a Rovereto via Saibanti (11/05/01-24/05/01), inquinante: <i>NMHC</i> . Box-plot relativo al giorno della settimana. . . . .	39
5.9	Campagna di misura a Rovereto via Saibanti (11/05/01-24/05/01), inquinante: <i>SO<sub>2</sub></i> . Box-plot relativo all'ora del giorno. . . . .	40
5.10	Campagna di misura a Rovereto via Saibanti (11/05/01-24/05/01), inquinante: <i>SO<sub>2</sub></i> . Box-plot relativo al giorno della settimana. . . . .	40
5.11	Campagna di misura a Rovereto via Saibanti (11/05/01-24/05/01). Distribuzioni in frequenza e correlazioni. . . . .	41
5.12	Campagna di misura a Rovereto via Saibanti (11/05/01-24/05/01). Rosa dei venti. . . . .	42
6.1	Campagna di misura a Cavalese piazza Dante (22/05/01-04/06/01), inquinante: <i>CO</i> . Box-plot relativo all'ora del giorno. . . . .	44
6.2	Campagna di misura a Cavalese piazza Dante (22/05/01-04/06/01), inquinante: <i>CO</i> . Box-plot relativo al giorno della settimana. . . . .	44
6.3	Campagna di misura a Cavalese piazza Dante (22/05/01-04/06/01), inquinante: <i>NO<sub>x</sub></i> . Box-plot relativo all'ora del giorno. . . . .	45
6.4	Campagna di misura a Cavalese piazza Dante (22/05/01-04/06/01), inquinante: <i>NO<sub>x</sub></i> . Box-plot relativo al giorno della settimana. . . . .	45
6.5	Campagna di misura a Cavalese piazza Dante (22/05/01-04/06/01), inquinante: <i>O<sub>3</sub></i> . Box-plot relativo all'ora del giorno. . . . .	46
6.6	Campagna di misura a Cavalese piazza Dante (22/05/01-04/06/01), inquinante: <i>O<sub>3</sub></i> . Box-plot relativo al giorno della settimana. . . . .	46
6.7	Campagna di misura a Cavalese piazza Dante (22/05/01-04/06/01), inquinante: <i>NMHC</i> . Box-plot relativo all'ora del giorno. . . . .	47
6.8	Campagna di misura a Cavalese piazza Dante (22/05/01-04/06/01), inquinante: <i>NMHC</i> . Box-plot relativo al giorno della settimana. . . . .	47
6.9	Campagna di misura a Cavalese piazza Dante (22/05/01-04/06/01), inquinante: <i>SO<sub>2</sub></i> . Box-plot relativo all'ora del giorno. . . . .	48
6.10	Campagna di misura a Cavalese piazza Dante (22/05/01-04/06/01), inquinante: <i>SO<sub>2</sub></i> . Box-plot relativo al giorno della settimana. . . . .	48
6.11	Campagna di misura a Cavalese piazza Dante (22/05/01-04/06/01). Distribuzioni in frequenza e correlazioni. . . . .	49
6.12	Campagna di misura a Cavalese piazza Dante (22/05/01-04/06/01). Rosa dei venti. . . . .	50

7.1	Campagna di misura a Rovereto zona industriale via Marconi (01/06/01-06/11/01), inquinante: $CO$ . Box-plot relativo all'ora del giorno. . . . .	52
7.2	Campagna di misura a Rovereto zona industriale via Marconi (01/06/01-06/11/01), inquinante: $CO$ . Box-plot relativo al giorno della settimana. . . . .	52
7.3	Campagna di misura a Rovereto zona industriale via Marconi (01/06/01-06/11/01), inquinante: $NO_x$ . Box-plot relativo all'ora del giorno. . . . .	53
7.4	Campagna di misura a Rovereto zona industriale via Marconi (01/06/01-06/11/01), inquinante: $NO_x$ . Box-plot relativo al giorno della settimana. . . . .	53
7.5	Campagna di misura a Rovereto zona industriale via Marconi (01/06/01-06/11/01), inquinante: $O_3$ . Box-plot relativo all'ora del giorno. . . . .	54
7.6	Campagna di misura a Rovereto zona industriale via Marconi (01/06/01-06/11/01), inquinante: $O_3$ . Box-plot relativo al giorno della settimana. . . . .	54
7.7	Campagna di misura a Rovereto zona industriale via Marconi (01/06/01-06/11/01), inquinante: $NMHC$ . Box-plot relativo all'ora del giorno. . . . .	55
7.8	Campagna di misura a Rovereto zona industriale via Marconi (01/06/01-06/11/01), inquinante: $NMHC$ . Box-plot relativo al giorno della settimana. . . . .	55
7.9	Campagna di misura a Rovereto zona industriale via Marconi (01/06/01-06/11/01), inquinante: $SO_2$ . Box-plot relativo all'ora del giorno. . . . .	56
7.10	Campagna di misura a Rovereto zona industriale via Marconi (01/06/01-06/11/01), inquinante: $SO_2$ . Box-plot relativo al giorno della settimana. . . . .	56
7.11	Campagna di misura a Rovereto zona industriale via Marconi (01/06/01-06/11/01). Distribuzioni in frequenza e correlazioni. . . . .	57
7.12	Campagna di misura a Rovereto zona industriale via Marconi (01/06/01-06/11/01). Rosa dei venti. . . . .	58
8.1	Campagna di misura a Tesero località Lago (06/06/01-19/06/01), inquinante: $CO$ . Box-plot relativo all'ora del giorno. . . . .	60
8.2	Campagna di misura a Tesero località Lago (06/06/01-19/06/01), inquinante: $CO$ . Box-plot relativo al giorno della settimana. . . . .	60
8.3	Campagna di misura a Tesero località Lago (06/06/01-19/06/01), inquinante: $NO_x$ . Box-plot relativo all'ora del giorno. . . . .	61
8.4	Campagna di misura a Tesero località Lago (06/06/01-19/06/01), inquinante: $NO_x$ . Box-plot relativo al giorno della settimana. . . . .	61
8.5	Campagna di misura a Tesero località Lago (06/06/01-19/06/01), inquinante: $O_3$ . Box-plot relativo all'ora del giorno. . . . .	62
8.6	Campagna di misura a Tesero località Lago (06/06/01-19/06/01), inquinante: $O_3$ . Box-plot relativo al giorno della settimana. . . . .	62
8.7	Campagna di misura a Tesero località Lago (06/06/01-19/06/01), inquinante: $NMHC$ . Box-plot relativo all'ora del giorno. . . . .	63
8.8	Campagna di misura a Tesero località Lago (06/06/01-19/06/01), inquinante: $NMHC$ . Box-plot relativo al giorno della settimana. . . . .	63
8.9	Campagna di misura a Tesero località Lago (06/06/01-19/06/01), inquinante: $SO_2$ . Box-plot relativo all'ora del giorno. . . . .	64
8.10	Campagna di misura a Tesero località Lago (06/06/01-19/06/01), inquinante: $SO_2$ . Box-plot relativo al giorno della settimana. . . . .	64
8.11	Campagna di misura a Tesero località Lago (06/06/01-19/06/01). Distribuzioni in frequenza e correlazioni. . . . .	65
8.12	Campagna di misura a Tesero località Lago (06/06/01-19/06/01). Rosa dei venti. . . . .	66

9.1	Campagna di misura a Cavalese piazza Dante (18/07/01-01/08/01), inquinante: <i>CO</i> . Box-plot relativo all'ora del giorno. . . . .	68
9.2	Campagna di misura a Cavalese piazza Dante (18/07/01-01/08/01), inquinante: <i>CO</i> . Box-plot relativo al giorno della settimana. . . . .	68
9.3	Campagna di misura a Cavalese piazza Dante (18/07/01-01/08/01), inquinante: <i>NO<sub>x</sub></i> . Box-plot relativo all'ora del giorno. . . . .	69
9.4	Campagna di misura a Cavalese piazza Dante (18/07/01-01/08/01), inquinante: <i>NO<sub>x</sub></i> . Box-plot relativo al giorno della settimana. . . . .	69
9.5	Campagna di misura a Cavalese piazza Dante (18/07/01-01/08/01), inquinante: <i>O<sub>3</sub></i> . Box-plot relativo all'ora del giorno. . . . .	70
9.6	Campagna di misura a Cavalese piazza Dante (18/07/01-01/08/01), inquinante: <i>O<sub>3</sub></i> . Box-plot relativo al giorno della settimana. . . . .	70
9.7	Campagna di misura a Cavalese piazza Dante (18/07/01-01/08/01), inquinante: <i>NMHC</i> . Box-plot relativo all'ora del giorno. . . . .	71
9.8	Campagna di misura a Cavalese piazza Dante (18/07/01-01/08/01), inquinante: <i>NMHC</i> . Box-plot relativo al giorno della settimana. . . . .	71
9.9	Campagna di misura a Cavalese piazza Dante (18/07/01-01/08/01), inquinante: <i>SO<sub>2</sub></i> . Box-plot relativo all'ora del giorno. . . . .	72
9.10	Campagna di misura a Cavalese piazza Dante (18/07/01-01/08/01), inquinante: <i>SO<sub>2</sub></i> . Box-plot relativo al giorno della settimana. . . . .	72
9.11	Campagna di misura a Cavalese piazza Dante (18/07/01-01/08/01). Distribuzioni in frequenza e correlazioni. . . . .	73
9.12	Campagna di misura a Cavalese piazza Dante (18/07/01-01/08/01). Rosa dei venti. . . . .	74
10.1	Campagna di misura a Tesero località Lago (03/08/01-20/08/01), inquinante: <i>CO</i> . Box-plot relativo all'ora del giorno. . . . .	76
10.2	Campagna di misura a Tesero località Lago (03/08/01-20/08/01), inquinante: <i>CO</i> . Box-plot relativo al giorno della settimana. . . . .	76
10.3	Campagna di misura a Tesero località Lago (03/08/01-20/08/01), inquinante: <i>NO<sub>x</sub></i> . Box-plot relativo all'ora del giorno. . . . .	77
10.4	Campagna di misura a Tesero località Lago (03/08/01-20/08/01), inquinante: <i>NO<sub>x</sub></i> . Box-plot relativo al giorno della settimana. . . . .	77
10.5	Campagna di misura a Tesero località Lago (03/08/01-20/08/01), inquinante: <i>O<sub>3</sub></i> . Box-plot relativo all'ora del giorno. . . . .	78
10.6	Campagna di misura a Tesero località Lago (03/08/01-20/08/01), inquinante: <i>O<sub>3</sub></i> . Box-plot relativo al giorno della settimana. . . . .	78
10.7	Campagna di misura a Tesero località Lago (03/08/01-20/08/01), inquinante: <i>NMHC</i> . Box-plot relativo all'ora del giorno. . . . .	79
10.8	Campagna di misura a Tesero località Lago (03/08/01-20/08/01), inquinante: <i>NMHC</i> . Box-plot relativo al giorno della settimana. . . . .	79
10.9	Campagna di misura a Tesero località Lago (03/08/01-20/08/01), inquinante: <i>SO<sub>2</sub></i> . Box-plot relativo all'ora del giorno. . . . .	80
10.10	Campagna di misura a Tesero località Lago (03/08/01-20/08/01), inquinante: <i>SO<sub>2</sub></i> . Box-plot relativo al giorno della settimana. . . . .	80
10.11	Campagna di misura a Tesero località Lago (03/08/01-20/08/01). Distribuzioni in frequenza e correlazioni. . . . .	81
10.12	Campagna di misura a Tesero località Lago (03/08/01-20/08/01). Rosa dei venti. . . . .	82

11.1	Campagna di misura a Villalagarina (06/10/01-11/11/01), inquinante: $CO$ . Box-plot relativo all'ora del giorno. . . . .	84
11.2	Campagna di misura a Villalagarina (06/10/01-11/11/01), inquinante: $CO$ . Box-plot relativo al giorno della settimana. . . . .	84
11.3	Campagna di misura a Villalagarina (06/10/01-11/11/01), inquinante: $NO_x$ . Box-plot relativo all'ora del giorno. . . . .	85
11.4	Campagna di misura a Villalagarina (06/10/01-11/11/01), inquinante: $NO_x$ . Box-plot relativo al giorno della settimana. . . . .	85
11.5	Campagna di misura a Villalagarina (06/10/01-11/11/01), inquinante: $O_3$ . Box- plot relativo all'ora del giorno. . . . .	86
11.6	Campagna di misura a Villalagarina (06/10/01-11/11/01), inquinante: $O_3$ . Box- plot relativo al giorno della settimana. . . . .	86
11.7	Campagna di misura a Villalagarina (06/10/01-11/11/01), inquinante: $NMHC$ . Box-plot relativo all'ora del giorno. . . . .	87
11.8	Campagna di misura a Villalagarina (06/10/01-11/11/01), inquinante: $NMHC$ . Box-plot relativo al giorno della settimana. . . . .	87
11.9	Campagna di misura a Villalagarina (06/10/01-11/11/01), inquinante: $SO_2$ . Box-plot relativo all'ora del giorno. . . . .	88
11.10	Campagna di misura a Villalagarina (06/10/01-11/11/01), inquinante: $SO_2$ . Box-plot relativo al giorno della settimana. . . . .	88
11.11	Campagna di misura a Villalagarina (06/10/01-11/11/01). Distribuzioni in fre- quenza e correlazioni. . . . .	89
11.12	Campagna di misura a Villalagarina (06/10/01-11/11/01). Rosa dei venti. . . .	90
12.1	Campagna di misura a Rovereto Lizzana via Livenza (08/11/01-03/03/02), in- quinante: $CO$ . Box-plot relativo all'ora del giorno. . . . .	92
12.2	Campagna di misura a Rovereto Lizzana via Livenza (08/11/01-03/03/02), in- quinante: $CO$ . Box-plot relativo al giorno della settimana. . . . .	92
12.3	Campagna di misura a Rovereto Lizzana via Livenza (08/11/01-03/03/02), in- quinante: $NO_x$ . Box-plot relativo all'ora del giorno. . . . .	93
12.4	Campagna di misura a Rovereto Lizzana via Livenza (08/11/01-03/03/02), in- quinante: $NO_x$ . Box-plot relativo al giorno della settimana. . . . .	93
12.5	Campagna di misura a Rovereto Lizzana via Livenza (08/11/01-03/03/02), in- quinante: $O_3$ . Box-plot relativo all'ora del giorno. . . . .	94
12.6	Campagna di misura a Rovereto Lizzana via Livenza (08/11/01-03/03/02), in- quinante: $O_3$ . Box-plot relativo al giorno della settimana. . . . .	94
12.7	Campagna di misura a Rovereto Lizzana via Livenza (08/11/01-03/03/02), in- quinante: $NMHC$ . Box-plot relativo all'ora del giorno. . . . .	95
12.8	Campagna di misura a Rovereto Lizzana via Livenza (08/11/01-03/03/02), in- quinante: $NMHC$ . Box-plot relativo al giorno della settimana. . . . .	95
12.9	Campagna di misura a Rovereto Lizzana via Livenza (08/11/01-03/03/02), in- quinante: $SO_2$ . Box-plot relativo all'ora del giorno. . . . .	96
12.10	Campagna di misura a Rovereto Lizzana via Livenza (08/11/01-03/03/02), in- quinante: $SO_2$ . Box-plot relativo al giorno della settimana. . . . .	96
12.11	Campagna di misura a Rovereto Lizzana via Livenza (08/11/01-03/03/02). Di- stribuzioni in frequenza e correlazioni. . . . .	97
12.12	Campagna di misura a Rovereto Lizzana via Livenza (08/11/01-03/03/02). Rosa dei venti. . . . .	98

13.1	Campagna di misura a Tesero località Lago (28/12/01-14/01/02), inquinante: <i>CO</i> . Box-plot relativo all'ora del giorno. . . . .	100
13.2	Campagna di misura a Tesero località Lago (28/12/01-14/01/02), inquinante: <i>CO</i> . Box-plot relativo al giorno della settimana. . . . .	100
13.3	Campagna di misura a Tesero località Lago (28/12/01-14/01/02), inquinante: <i>NO<sub>x</sub></i> . Box-plot relativo all'ora del giorno. . . . .	101
13.4	Campagna di misura a Tesero località Lago (28/12/01-14/01/02), inquinante: <i>NO<sub>x</sub></i> . Box-plot relativo al giorno della settimana. . . . .	101
13.5	Campagna di misura a Tesero località Lago (28/12/01-14/01/02), inquinante: <i>O<sub>3</sub></i> . Box-plot relativo all'ora del giorno. . . . .	102
13.6	Campagna di misura a Tesero località Lago (28/12/01-14/01/02), inquinante: <i>O<sub>3</sub></i> . Box-plot relativo al giorno della settimana. . . . .	102
13.7	Campagna di misura a Tesero località Lago (28/12/01-14/01/02), inquinante: <i>NMHC</i> . Box-plot relativo all'ora del giorno. . . . .	103
13.8	Campagna di misura a Tesero località Lago (28/12/01-14/01/02), inquinante: <i>NMHC</i> . Box-plot relativo al giorno della settimana. . . . .	103
13.9	Campagna di misura a Tesero località Lago (28/12/01-14/01/02), inquinante: <i>SO<sub>2</sub></i> . Box-plot relativo all'ora del giorno. . . . .	104
13.10	Campagna di misura a Tesero località Lago (28/12/01-14/01/02), inquinante: <i>SO<sub>2</sub></i> . Box-plot relativo al giorno della settimana. . . . .	104
13.11	Campagna di misura a Tesero località Lago (28/12/01-14/01/02). Distribuzioni in frequenza e correlazioni. . . . .	105
13.12	Campagna di misura a Tesero località Lago (28/12/01-14/01/02). Rosa dei venti. . . . .	106
14.1	Campagna di misura a Imer discarica comprensoriale (15/01/02-28/01/02), inquinante: <i>CO</i> . Box-plot relativo all'ora del giorno. . . . .	108
14.2	Campagna di misura a Imer discarica comprensoriale (15/01/02-28/01/02), inquinante: <i>CO</i> . Box-plot relativo al giorno della settimana. . . . .	108
14.3	Campagna di misura a Imer discarica comprensoriale (15/01/02-28/01/02), inquinante: <i>NO<sub>x</sub></i> . Box-plot relativo all'ora del giorno. . . . .	109
14.4	Campagna di misura a Imer discarica comprensoriale (15/01/02-28/01/02), inquinante: <i>NO<sub>x</sub></i> . Box-plot relativo al giorno della settimana. . . . .	109
14.5	Campagna di misura a Imer discarica comprensoriale (15/01/02-28/01/02), inquinante: <i>O<sub>3</sub></i> . Box-plot relativo all'ora del giorno. . . . .	110
14.6	Campagna di misura a Imer discarica comprensoriale (15/01/02-28/01/02), inquinante: <i>O<sub>3</sub></i> . Box-plot relativo al giorno della settimana. . . . .	110
14.7	Campagna di misura a Imer discarica comprensoriale (15/01/02-28/01/02), inquinante: <i>NMHC</i> . Box-plot relativo all'ora del giorno. . . . .	111
14.8	Campagna di misura a Imer discarica comprensoriale (15/01/02-28/01/02), inquinante: <i>NMHC</i> . Box-plot relativo al giorno della settimana. . . . .	111
14.9	Campagna di misura a Imer discarica comprensoriale (15/01/02-28/01/02), inquinante: <i>SO<sub>2</sub></i> . Box-plot relativo all'ora del giorno. . . . .	112
14.10	Campagna di misura a Imer discarica comprensoriale (15/01/02-28/01/02), inquinante: <i>SO<sub>2</sub></i> . Box-plot relativo al giorno della settimana. . . . .	112
14.11	Campagna di misura a Imer discarica comprensoriale (15/01/02-28/01/02). Distribuzioni in frequenza e correlazioni. . . . .	113
14.12	Campagna di misura a Imer discarica comprensoriale (15/01/02-28/01/02). Rosa dei venti. . . . .	114



15.1	Campagna di misura a Mezzolombardo piazza Vittoria (20/02/02-16/04/02), inquinante: $CO$ . Box-plot relativo all'ora del giorno. . . . .	116
15.2	Campagna di misura a Mezzolombardo piazza Vittoria (20/02/02-16/04/02), inquinante: $CO$ . Box-plot relativo al giorno della settimana. . . . .	116
15.3	Campagna di misura a Mezzolombardo piazza Vittoria (20/02/02-16/04/02), inquinante: $NO_x$ . Box-plot relativo all'ora del giorno. . . . .	117
15.4	Campagna di misura a Mezzolombardo piazza Vittoria (20/02/02-16/04/02), inquinante: $NO_x$ . Box-plot relativo al giorno della settimana. . . . .	117
15.5	Campagna di misura a Mezzolombardo piazza Vittoria (20/02/02-16/04/02), inquinante: $O_3$ . Box-plot relativo all'ora del giorno. . . . .	118
15.6	Campagna di misura a Mezzolombardo piazza Vittoria (20/02/02-16/04/02), inquinante: $O_3$ . Box-plot relativo al giorno della settimana. . . . .	118
15.7	Campagna di misura a Mezzolombardo piazza Vittoria (20/02/02-16/04/02), inquinante: $NMHC$ . Box-plot relativo all'ora del giorno. . . . .	119
15.8	Campagna di misura a Mezzolombardo piazza Vittoria (20/02/02-16/04/02), inquinante: $NMHC$ . Box-plot relativo al giorno della settimana. . . . .	119
15.9	Campagna di misura a Mezzolombardo piazza Vittoria (20/02/02-16/04/02), inquinante: $SO_2$ . Box-plot relativo all'ora del giorno. . . . .	120
15.10	Campagna di misura a Mezzolombardo piazza Vittoria (20/02/02-16/04/02), inquinante: $SO_2$ . Box-plot relativo al giorno della settimana. . . . .	120
15.11	Campagna di misura a Mezzolombardo piazza Vittoria (20/02/02-16/04/02). Distribuzioni in frequenza e correlazioni. . . . .	121
15.12	Campagna di misura a Mezzolombardo piazza Vittoria (20/02/02-16/04/02). Rosa dei venti. . . . .	122
16.1	Campagna di misura a Mezzolombardo bivio Fai (18/04/02-07/05/02), inquinante: $CO$ . Box-plot relativo all'ora del giorno. . . . .	124
16.2	Campagna di misura a Mezzolombardo bivio Fai (18/04/02-07/05/02), inquinante: $CO$ . Box-plot relativo al giorno della settimana. . . . .	124
16.3	Campagna di misura a Mezzolombardo bivio Fai (18/04/02-07/05/02), inquinante: $NO_x$ . Box-plot relativo all'ora del giorno. . . . .	125
16.4	Campagna di misura a Mezzolombardo bivio Fai (18/04/02-07/05/02), inquinante: $NO_x$ . Box-plot relativo al giorno della settimana. . . . .	125
16.5	Campagna di misura a Mezzolombardo bivio Fai (18/04/02-07/05/02), inquinante: $O_3$ . Box-plot relativo all'ora del giorno. . . . .	126
16.6	Campagna di misura a Mezzolombardo bivio Fai (18/04/02-07/05/02), inquinante: $O_3$ . Box-plot relativo al giorno della settimana. . . . .	126
16.7	Campagna di misura a Mezzolombardo bivio Fai (18/04/02-07/05/02), inquinante: $NMHC$ . Box-plot relativo all'ora del giorno. . . . .	127
16.8	Campagna di misura a Mezzolombardo bivio Fai (18/04/02-07/05/02), inquinante: $NMHC$ . Box-plot relativo al giorno della settimana. . . . .	127
16.9	Campagna di misura a Mezzolombardo bivio Fai (18/04/02-07/05/02), inquinante: $SO_2$ . Box-plot relativo all'ora del giorno. . . . .	128
16.10	Campagna di misura a Mezzolombardo bivio Fai (18/04/02-07/05/02), inquinante: $SO_2$ . Box-plot relativo al giorno della settimana. . . . .	128
16.11	Campagna di misura a Mezzolombardo bivio Fai (18/04/02-07/05/02). Distribuzioni in frequenza e correlazioni. . . . .	129
16.12	Campagna di misura a Mezzolombardo bivio Fai (18/04/02-07/05/02). Rosa dei venti. . . . .	130

17.1	Campagna di misura a Mezzolombardo via Rupe (18/04/02-07/05/02), inquinante: $CO$ . Box-plot relativo all'ora del giorno. . . . .	132
17.2	Campagna di misura a Mezzolombardo via Rupe (18/04/02-07/05/02), inquinante: $CO$ . Box-plot relativo al giorno della settimana. . . . .	132
17.3	Campagna di misura a Mezzolombardo via Rupe (18/04/02-07/05/02), inquinante: $NO_x$ . Box-plot relativo all'ora del giorno. . . . .	133
17.4	Campagna di misura a Mezzolombardo via Rupe (18/04/02-07/05/02), inquinante: $NO_x$ . Box-plot relativo al giorno della settimana. . . . .	133
17.5	Campagna di misura a Mezzolombardo via Rupe (18/04/02-07/05/02), inquinante: $O_3$ . Box-plot relativo all'ora del giorno. . . . .	134
17.6	Campagna di misura a Mezzolombardo via Rupe (18/04/02-07/05/02), inquinante: $O_3$ . Box-plot relativo al giorno della settimana. . . . .	134
17.7	Campagna di misura a Mezzolombardo via Rupe (18/04/02-07/05/02), inquinante: $NMHC$ . Box-plot relativo all'ora del giorno. . . . .	135
17.8	Campagna di misura a Mezzolombardo via Rupe (18/04/02-07/05/02), inquinante: $NMHC$ . Box-plot relativo al giorno della settimana. . . . .	135
17.9	Campagna di misura a Mezzolombardo via Rupe (18/04/02-07/05/02), inquinante: $SO_2$ . Box-plot relativo all'ora del giorno. . . . .	136
17.10	Campagna di misura a Mezzolombardo via Rupe (18/04/02-07/05/02), inquinante: $SO_2$ . Box-plot relativo al giorno della settimana. . . . .	136
17.11	Campagna di misura a Mezzolombardo via Rupe (18/04/02-07/05/02). Distribuzioni in frequenza e correlazioni. . . . .	137
17.12	Campagna di misura a Mezzolombardo via Rupe (18/04/02-07/05/02). Rosa dei venti. . . . .	138
18.1	Campagna di misura a Mori (06/06/02-03/12/02), inquinante: $CO$ . Box-plot relativo all'ora del giorno. . . . .	140
18.2	Campagna di misura a Mori (06/06/02-03/12/02), inquinante: $CO$ . Box-plot relativo al giorno della settimana. . . . .	140
18.3	Campagna di misura a Mori (06/06/02-03/12/02), inquinante: $NO_x$ . Box-plot relativo all'ora del giorno. . . . .	141
18.4	Campagna di misura a Mori (06/06/02-03/12/02), inquinante: $NO_x$ . Box-plot relativo al giorno della settimana. . . . .	141
18.5	Campagna di misura a Mori (06/06/02-03/12/02), inquinante: $O_3$ . Box-plot relativo all'ora del giorno. . . . .	142
18.6	Campagna di misura a Mori (06/06/02-03/12/02), inquinante: $O_3$ . Box-plot relativo al giorno della settimana. . . . .	142
18.7	Campagna di misura a Mori (06/06/02-03/12/02), inquinante: $NMHC$ . Box-plot relativo all'ora del giorno. . . . .	143
18.8	Campagna di misura a Mori (06/06/02-03/12/02), inquinante: $NMHC$ . Box-plot relativo al giorno della settimana. . . . .	143
18.9	Campagna di misura a Mori (06/06/02-03/12/02), inquinante: $SO_2$ . Box-plot relativo all'ora del giorno. . . . .	144
18.10	Campagna di misura a Mori (06/06/02-03/12/02), inquinante: $SO_2$ . Box-plot relativo al giorno della settimana. . . . .	144
18.11	Campagna di misura a Mori (06/06/02-03/12/02). Distribuzioni in frequenza e correlazioni. . . . .	145
18.12	Campagna di misura a Mori (06/06/02-03/12/02). Rosa dei venti. . . . .	146

19.1	Campagna di misura a Riva del Garda Monte Oro (29/07/02-13/08/02), inquinante: <i>CO</i> . Box-plot relativo all'ora del giorno. . . . .	148
19.2	Campagna di misura a Riva del Garda Monte Oro (29/07/02-13/08/02), inquinante: <i>CO</i> . Box-plot relativo al giorno della settimana. . . . .	148
19.3	Campagna di misura a Riva del Garda Monte Oro (29/07/02-13/08/02), inquinante: <i>NO<sub>x</sub></i> . Box-plot relativo all'ora del giorno. . . . .	149
19.4	Campagna di misura a Riva del Garda Monte Oro (29/07/02-13/08/02), inquinante: <i>NO<sub>x</sub></i> . Box-plot relativo al giorno della settimana. . . . .	149
19.5	Campagna di misura a Riva del Garda Monte Oro (29/07/02-13/08/02), inquinante: <i>O<sub>3</sub></i> . Box-plot relativo all'ora del giorno. . . . .	150
19.6	Campagna di misura a Riva del Garda Monte Oro (29/07/02-13/08/02), inquinante: <i>O<sub>3</sub></i> . Box-plot relativo al giorno della settimana. . . . .	150
19.7	Campagna di misura a Riva del Garda Monte Oro (29/07/02-13/08/02), inquinante: <i>NMHC</i> . Box-plot relativo all'ora del giorno. . . . .	151
19.8	Campagna di misura a Riva del Garda Monte Oro (29/07/02-13/08/02), inquinante: <i>NMHC</i> . Box-plot relativo al giorno della settimana. . . . .	151
19.9	Campagna di misura a Riva del Garda Monte Oro (29/07/02-13/08/02), inquinante: <i>SO<sub>2</sub></i> . Box-plot relativo all'ora del giorno. . . . .	152
19.10	Campagna di misura a Riva del Garda Monte Oro (29/07/02-13/08/02), inquinante: <i>SO<sub>2</sub></i> . Box-plot relativo al giorno della settimana. . . . .	152
19.11	Campagna di misura a Riva del Garda Monte Oro (29/07/02-13/08/02). Distribuzioni in frequenza e correlazioni. . . . .	153
19.12	Campagna di misura a Riva del Garda Monte Oro (29/07/02-13/08/02). Rosa dei venti. . . . .	154
20.1	Campagna di misura a Riva del Garda Inviolata (14/08/02-10/09/02), inquinante: <i>CO</i> . Box-plot relativo all'ora del giorno. . . . .	156
20.2	Campagna di misura a Riva del Garda Inviolata (14/08/02-10/09/02), inquinante: <i>CO</i> . Box-plot relativo al giorno della settimana. . . . .	156
20.3	Campagna di misura a Riva del Garda Inviolata (14/08/02-10/09/02), inquinante: <i>NO<sub>x</sub></i> . Box-plot relativo all'ora del giorno. . . . .	157
20.4	Campagna di misura a Riva del Garda Inviolata (14/08/02-10/09/02), inquinante: <i>NO<sub>x</sub></i> . Box-plot relativo al giorno della settimana. . . . .	157
20.5	Campagna di misura a Riva del Garda Inviolata (14/08/02-10/09/02), inquinante: <i>O<sub>3</sub></i> . Box-plot relativo all'ora del giorno. . . . .	158
20.6	Campagna di misura a Riva del Garda Inviolata (14/08/02-10/09/02), inquinante: <i>O<sub>3</sub></i> . Box-plot relativo al giorno della settimana. . . . .	158
20.7	Campagna di misura a Riva del Garda Inviolata (14/08/02-10/09/02), inquinante: <i>SO<sub>2</sub></i> . Box-plot relativo all'ora del giorno. . . . .	159
20.8	Campagna di misura a Riva del Garda Inviolata (14/08/02-10/09/02), inquinante: <i>SO<sub>2</sub></i> . Box-plot relativo al giorno della settimana. . . . .	159
20.9	Campagna di misura a Riva del Garda Inviolata (14/08/02-10/09/02). Distribuzioni in frequenza e correlazioni. . . . .	160
20.10	Campagna di misura a Riva del Garda Inviolata (14/08/02-10/09/02). Rosa dei venti. . . . .	161
21.1	Campagna di misura a Lavis via Filzi (15/11/02-15/01/03), inquinante: <i>CO</i> . Box-plot relativo all'ora del giorno. . . . .	163
21.2	Campagna di misura a Lavis via Filzi (15/11/02-15/01/03), inquinante: <i>CO</i> . Box-plot relativo al giorno della settimana. . . . .	163

21.3	Campagna di misura a Lavis via Filzi (15/11/02-15/01/03), inquinante: $NO_x$ . Box-plot relativo all'ora del giorno. . . . .	164
21.4	Campagna di misura a Lavis via Filzi (15/11/02-15/01/03), inquinante: $NO_x$ . Box-plot relativo al giorno della settimana. . . . .	164
21.5	Campagna di misura a Lavis via Filzi (15/11/02-15/01/03), inquinante: $O_3$ . Box-plot relativo all'ora del giorno. . . . .	165
21.6	Campagna di misura a Lavis via Filzi (15/11/02-15/01/03), inquinante: $O_3$ . Box-plot relativo al giorno della settimana. . . . .	165
21.7	Campagna di misura a Lavis via Filzi (15/11/02-15/01/03), inquinante: $NMHC$ . Box-plot relativo all'ora del giorno. . . . .	166
21.8	Campagna di misura a Lavis via Filzi (15/11/02-15/01/03), inquinante: $NMHC$ . Box-plot relativo al giorno della settimana. . . . .	166
21.9	Campagna di misura a Lavis via Filzi (15/11/02-15/01/03), inquinante: $SO_2$ . Box-plot relativo all'ora del giorno. . . . .	167
21.10	Campagna di misura a Lavis via Filzi (15/11/02-15/01/03), inquinante: $SO_2$ . Box-plot relativo al giorno della settimana. . . . .	167
21.11	Campagna di misura a Lavis via Filzi (15/11/02-15/01/03). Distribuzioni in frequenza e correlazioni. . . . .	168
21.12	Campagna di misura a Lavis via Filzi (15/11/02-15/01/03). Rosa dei venti. . . . .	169
22.1	Campagna di misura a Castelnuovo (05/12/02-20/01/03), inquinante: $CO$ . Box- plot relativo all'ora del giorno. . . . .	171
22.2	Campagna di misura a Castelnuovo (05/12/02-20/01/03), inquinante: $CO$ . Box- plot relativo al giorno della settimana. . . . .	171
22.3	Campagna di misura a Castelnuovo (05/12/02-20/01/03), inquinante: $NO_x$ . Box-plot relativo all'ora del giorno. . . . .	172
22.4	Campagna di misura a Castelnuovo (05/12/02-20/01/03), inquinante: $NO_x$ . Box-plot relativo al giorno della settimana. . . . .	172
22.5	Campagna di misura a Castelnuovo (05/12/02-20/01/03), inquinante: $O_3$ . Box- plot relativo all'ora del giorno. . . . .	173
22.6	Campagna di misura a Castelnuovo (05/12/02-20/01/03), inquinante: $O_3$ . Box- plot relativo al giorno della settimana. . . . .	173
22.7	Campagna di misura a Castelnuovo (05/12/02-20/01/03), inquinante: $NMHC$ . Box-plot relativo all'ora del giorno. . . . .	174
22.8	Campagna di misura a Castelnuovo (05/12/02-20/01/03), inquinante: $NMHC$ . Box-plot relativo al giorno della settimana. . . . .	174
22.9	Campagna di misura a Castelnuovo (05/12/02-20/01/03), inquinante: $SO_2$ . Box- plot relativo all'ora del giorno. . . . .	175
22.10	Campagna di misura a Castelnuovo (05/12/02-20/01/03), inquinante: $SO_2$ . Box- plot relativo al giorno della settimana. . . . .	175
22.11	Campagna di misura a Castelnuovo (05/12/02-20/01/03). Distribuzioni in fre- quenza e correlazioni. . . . .	176
22.12	Campagna di misura a Castelnuovo (05/12/02-20/01/03). Rosa dei venti. . . . .	177
23.1	Campagna di misura a Roncegno località Maso Dordi (28/01/03-24/02/03), inquinante: $CO$ . Box-plot relativo all'ora del giorno. . . . .	179
23.2	Campagna di misura a Roncegno località Maso Dordi (28/01/03-24/02/03), inquinante: $CO$ . Box-plot relativo al giorno della settimana. . . . .	179
23.3	Campagna di misura a Roncegno località Maso Dordi (28/01/03-24/02/03), inquinante: $NO_x$ . Box-plot relativo all'ora del giorno. . . . .	180

23.4	Campagna di misura a Roncegno località Maso Dordi (28/01/03-24/02/03), inquinante: $NO_x$ . Box-plot relativo al giorno della settimana. . . . .	180
23.5	Campagna di misura a Roncegno località Maso Dordi (28/01/03-24/02/03), inquinante: $O_3$ . Box-plot relativo all'ora del giorno. . . . .	181
23.6	Campagna di misura a Roncegno località Maso Dordi (28/01/03-24/02/03), inquinante: $O_3$ . Box-plot relativo al giorno della settimana. . . . .	181
23.7	Campagna di misura a Roncegno località Maso Dordi (28/01/03-24/02/03), inquinante: $NMHC$ . Box-plot relativo all'ora del giorno. . . . .	182
23.8	Campagna di misura a Roncegno località Maso Dordi (28/01/03-24/02/03), inquinante: $NMHC$ . Box-plot relativo al giorno della settimana. . . . .	182
23.9	Campagna di misura a Roncegno località Maso Dordi (28/01/03-24/02/03), inquinante: $SO_2$ . Box-plot relativo all'ora del giorno. . . . .	183
23.10	Campagna di misura a Roncegno località Maso Dordi (28/01/03-24/02/03), inquinante: $SO_2$ . Box-plot relativo al giorno della settimana. . . . .	183
23.11	Campagna di misura a Roncegno località Maso Dordi (28/01/03-24/02/03), inquinante: $PM_{10}$ . Box-plot relativo all'ora del giorno. . . . .	184
23.12	Campagna di misura a Roncegno località Maso Dordi (28/01/03-24/02/03), inquinante: $PM_{10}$ . Box-plot relativo al giorno della settimana. . . . .	184
23.13	Campagna di misura a Roncegno località Maso Dordi (28/01/03-24/02/03). Distribuzioni in frequenza e correlazioni. . . . .	185
23.14	Campagna di misura a Roncegno località Maso Dordi (28/01/03-24/02/03). Rosa dei venti. . . . .	186
24.1	Campagna di misura a Tesero località Lago (14/02/03-03/03/03), inquinante: $CO$ . Box-plot relativo all'ora del giorno. . . . .	188
24.2	Campagna di misura a Tesero località Lago (14/02/03-03/03/03), inquinante: $CO$ . Box-plot relativo al giorno della settimana. . . . .	188
24.3	Campagna di misura a Tesero località Lago (14/02/03-03/03/03), inquinante: $NO_x$ . Box-plot relativo all'ora del giorno. . . . .	189
24.4	Campagna di misura a Tesero località Lago (14/02/03-03/03/03), inquinante: $NO_x$ . Box-plot relativo al giorno della settimana. . . . .	189
24.5	Campagna di misura a Tesero località Lago (14/02/03-03/03/03), inquinante: $O_3$ . Box-plot relativo all'ora del giorno. . . . .	190
24.6	Campagna di misura a Tesero località Lago (14/02/03-03/03/03), inquinante: $O_3$ . Box-plot relativo al giorno della settimana. . . . .	190
24.7	Campagna di misura a Tesero località Lago (14/02/03-03/03/03), inquinante: $NMHC$ . Box-plot relativo all'ora del giorno. . . . .	191
24.8	Campagna di misura a Tesero località Lago (14/02/03-03/03/03), inquinante: $NMHC$ . Box-plot relativo al giorno della settimana. . . . .	191
24.9	Campagna di misura a Tesero località Lago (14/02/03-03/03/03), inquinante: $SO_2$ . Box-plot relativo all'ora del giorno. . . . .	192
24.10	Campagna di misura a Tesero località Lago (14/02/03-03/03/03), inquinante: $SO_2$ . Box-plot relativo al giorno della settimana. . . . .	192
24.11	Campagna di misura a Tesero località Lago (14/02/03-03/03/03), inquinante: $PM_{10}$ . Box-plot relativo all'ora del giorno. . . . .	193
24.12	Campagna di misura a Tesero località Lago (14/02/03-03/03/03), inquinante: $PM_{10}$ . Box-plot relativo al giorno della settimana. . . . .	193
24.13	Campagna di misura a Tesero località Lago (14/02/03-03/03/03). Distribuzioni in frequenza e correlazioni. . . . .	194

24.14	Campagna di misura a Tesero località Lago (14/02/03-03/03/03). Rosa dei venti.	195
25.1	Campagna di misura a Val Canali (05/03/03-06/08/03), inquinante: $CO$ . Box-plot relativo all'ora del giorno.	197
25.2	Campagna di misura a Val Canali (05/03/03-06/08/03), inquinante: $CO$ . Box-plot relativo al giorno della settimana.	197
25.3	Campagna di misura a Val Canali (05/03/03-06/08/03), inquinante: $NO_x$ . Box-plot relativo all'ora del giorno.	198
25.4	Campagna di misura a Val Canali (05/03/03-06/08/03), inquinante: $NO_x$ . Box-plot relativo al giorno della settimana.	198
25.5	Campagna di misura a Val Canali (05/03/03-06/08/03), inquinante: $O_3$ . Box-plot relativo all'ora del giorno.	199
25.6	Campagna di misura a Val Canali (05/03/03-06/08/03), inquinante: $O_3$ . Box-plot relativo al giorno della settimana.	199
25.7	Campagna di misura a Val Canali (05/03/03-06/08/03), inquinante: $NMHC$ . Box-plot relativo all'ora del giorno.	200
25.8	Campagna di misura a Val Canali (05/03/03-06/08/03), inquinante: $NMHC$ . Box-plot relativo al giorno della settimana.	200
25.9	Campagna di misura a Val Canali (05/03/03-06/08/03), inquinante: $SO_2$ . Box-plot relativo all'ora del giorno.	201
25.10	Campagna di misura a Val Canali (05/03/03-06/08/03), inquinante: $SO_2$ . Box-plot relativo al giorno della settimana.	201
25.11	Campagna di misura a Val Canali (05/03/03-06/08/03), inquinante: $PM_{10}$ . Box-plot relativo all'ora del giorno.	202
25.12	Campagna di misura a Val Canali (05/03/03-06/08/03), inquinante: $PM_{10}$ . Box-plot relativo al giorno della settimana.	202
25.13	Campagna di misura a Val Canali (05/03/03-06/08/03). Distribuzioni in frequenza e correlazioni.	203
25.14	Campagna di misura a Val Canali (05/03/03-06/08/03). Rosa dei venti.	204
26.1	Campagna di misura a Pergine (18/03/03-13/05/03), inquinante: $CO$ . Box-plot relativo all'ora del giorno.	206
26.2	Campagna di misura a Pergine (18/03/03-13/05/03), inquinante: $CO$ . Box-plot relativo al giorno della settimana.	206
26.3	Campagna di misura a Pergine (18/03/03-13/05/03), inquinante: $NO_x$ . Box-plot relativo all'ora del giorno.	207
26.4	Campagna di misura a Pergine (18/03/03-13/05/03), inquinante: $NO_x$ . Box-plot relativo al giorno della settimana.	207
26.5	Campagna di misura a Pergine (18/03/03-13/05/03), inquinante: $O_3$ . Box-plot relativo all'ora del giorno.	208
26.6	Campagna di misura a Pergine (18/03/03-13/05/03), inquinante: $O_3$ . Box-plot relativo al giorno della settimana.	208
26.7	Campagna di misura a Pergine (18/03/03-13/05/03), inquinante: $NMHC$ . Box-plot relativo all'ora del giorno.	209
26.8	Campagna di misura a Pergine (18/03/03-13/05/03), inquinante: $NMHC$ . Box-plot relativo al giorno della settimana.	209
26.9	Campagna di misura a Pergine (18/03/03-13/05/03), inquinante: $SO_2$ . Box-plot relativo all'ora del giorno.	210
26.10	Campagna di misura a Pergine (18/03/03-13/05/03), inquinante: $SO_2$ . Box-plot relativo al giorno della settimana.	210

26.11	Campagna di misura a Pergine (18/03/03-13/05/03), inquinante: $PM_{10}$ . Box-plot relativo all'ora del giorno. . . . .	211
26.12	Campagna di misura a Pergine (18/03/03-13/05/03), inquinante: $PM_{10}$ . Box-plot relativo al giorno della settimana. . . . .	211
26.13	Campagna di misura a Pergine (18/03/03-13/05/03). Distribuzioni in frequenza e correlazioni. . . . .	212
26.14	Campagna di misura a Pergine (18/03/03-13/05/03). Rosa dei venti. . . . .	213
27.1	Campagna di misura a Meano di Trento (21/05/03-23/06/03), inquinante: $CO$ . Box-plot relativo all'ora del giorno. . . . .	215
27.2	Campagna di misura a Meano di Trento (21/05/03-23/06/03), inquinante: $CO$ . Box-plot relativo al giorno della settimana. . . . .	215
27.3	Campagna di misura a Meano di Trento (21/05/03-23/06/03), inquinante: $NO_x$ . Box-plot relativo all'ora del giorno. . . . .	216
27.4	Campagna di misura a Meano di Trento (21/05/03-23/06/03), inquinante: $NO_x$ . Box-plot relativo al giorno della settimana. . . . .	216
27.5	Campagna di misura a Meano di Trento (21/05/03-23/06/03), inquinante: $O_3$ . Box-plot relativo all'ora del giorno. . . . .	217
27.6	Campagna di misura a Meano di Trento (21/05/03-23/06/03), inquinante: $O_3$ . Box-plot relativo al giorno della settimana. . . . .	217
27.7	Campagna di misura a Meano di Trento (21/05/03-23/06/03), inquinante: $NMHC$ . Box-plot relativo all'ora del giorno. . . . .	218
27.8	Campagna di misura a Meano di Trento (21/05/03-23/06/03), inquinante: $NMHC$ . Box-plot relativo al giorno della settimana. . . . .	218
27.9	Campagna di misura a Meano di Trento (21/05/03-23/06/03), inquinante: $SO_2$ . Box-plot relativo all'ora del giorno. . . . .	219
27.10	Campagna di misura a Meano di Trento (21/05/03-23/06/03), inquinante: $SO_2$ . Box-plot relativo al giorno della settimana. . . . .	219
27.11	Campagna di misura a Meano di Trento (21/05/03-23/06/03), inquinante: $PM_{10}$ . Box-plot relativo all'ora del giorno. . . . .	220
27.12	Campagna di misura a Meano di Trento (21/05/03-23/06/03), inquinante: $PM_{10}$ . Box-plot relativo al giorno della settimana. . . . .	220
27.13	Campagna di misura a Meano di Trento (21/05/03-23/06/03). Distribuzioni in frequenza e correlazioni. . . . .	221
27.14	Campagna di misura a Meano di Trento (21/05/03-23/06/03). Rosa dei venti. . . . .	222
28.1	Campagna di misura a Rovereto Lizzana (24/06/03-17/11/03), inquinante: $CO$ . Box-plot relativo all'ora del giorno. . . . .	224
28.2	Campagna di misura a Rovereto Lizzana (24/06/03-17/11/03), inquinante: $CO$ . Box-plot relativo al giorno della settimana. . . . .	224
28.3	Campagna di misura a Rovereto Lizzana (24/06/03-17/11/03), inquinante: $NO_x$ . Box-plot relativo all'ora del giorno. . . . .	225
28.4	Campagna di misura a Rovereto Lizzana (24/06/03-17/11/03), inquinante: $NO_x$ . Box-plot relativo al giorno della settimana. . . . .	225
28.5	Campagna di misura a Rovereto Lizzana (24/06/03-17/11/03), inquinante: $O_3$ . Box-plot relativo all'ora del giorno. . . . .	226
28.6	Campagna di misura a Rovereto Lizzana (24/06/03-17/11/03), inquinante: $O_3$ . Box-plot relativo al giorno della settimana. . . . .	226
28.7	Campagna di misura a Rovereto Lizzana (24/06/03-17/11/03), inquinante: $NMHC$ . Box-plot relativo all'ora del giorno. . . . .	227

28.8	Campagna di misura a Rovereto Lizzana (24/06/03-17/11/03), inquinante: $NMHC$ . Box-plot relativo al giorno della settimana. . . . .	227
28.9	Campagna di misura a Rovereto Lizzana (24/06/03-17/11/03), inquinante: $SO_2$ . Box-plot relativo all'ora del giorno. . . . .	228
28.10	Campagna di misura a Rovereto Lizzana (24/06/03-17/11/03), inquinante: $SO_2$ . Box-plot relativo al giorno della settimana. . . . .	228
28.11	Campagna di misura a Rovereto Lizzana (24/06/03-17/11/03), inquinante: $PM_{10}$ . Box-plot relativo all'ora del giorno. . . . .	229
28.12	Campagna di misura a Rovereto Lizzana (24/06/03-17/11/03), inquinante: $PM_{10}$ . Box-plot relativo al giorno della settimana. . . . .	229
28.13	Campagna di misura a Rovereto Lizzana (24/06/03-17/11/03). Distribuzioni in frequenza e correlazioni. . . . .	230
28.14	Campagna di misura a Rovereto Lizzana (24/06/03-17/11/03). Rosa dei venti. .	231
29.1	Campagna di misura a Rovereto Lizzana (19/11/03-09/02/04), inquinante: $CO$ . Box-plot relativo all'ora del giorno. . . . .	233
29.2	Campagna di misura a Rovereto Lizzana (19/11/03-09/02/04), inquinante: $CO$ . Box-plot relativo al giorno della settimana. . . . .	233
29.3	Campagna di misura a Rovereto Lizzana (19/11/03-09/02/04), inquinante: $NO_x$ . Box-plot relativo all'ora del giorno. . . . .	234
29.4	Campagna di misura a Rovereto Lizzana (19/11/03-09/02/04), inquinante: $NO_x$ . Box-plot relativo al giorno della settimana. . . . .	234
29.5	Campagna di misura a Rovereto Lizzana (19/11/03-09/02/04), inquinante: $O_3$ . Box-plot relativo all'ora del giorno. . . . .	235
29.6	Campagna di misura a Rovereto Lizzana (19/11/03-09/02/04), inquinante: $O_3$ . Box-plot relativo al giorno della settimana. . . . .	235
29.7	Campagna di misura a Rovereto Lizzana (19/11/03-09/02/04), inquinante: $NMHC$ . Box-plot relativo all'ora del giorno. . . . .	236
29.8	Campagna di misura a Rovereto Lizzana (19/11/03-09/02/04), inquinante: $NMHC$ . Box-plot relativo al giorno della settimana. . . . .	236
29.9	Campagna di misura a Rovereto Lizzana (19/11/03-09/02/04), inquinante: $SO_2$ . Box-plot relativo all'ora del giorno. . . . .	237
29.10	Campagna di misura a Rovereto Lizzana (19/11/03-09/02/04), inquinante: $SO_2$ . Box-plot relativo al giorno della settimana. . . . .	237
29.11	Campagna di misura a Rovereto Lizzana (19/11/03-09/02/04), inquinante: $PM_{10}$ . Box-plot relativo all'ora del giorno. . . . .	238
29.12	Campagna di misura a Rovereto Lizzana (19/11/03-09/02/04), inquinante: $PM_{10}$ . Box-plot relativo al giorno della settimana. . . . .	238
29.13	Campagna di misura a Rovereto Lizzana (19/11/03-09/02/04). Distribuzioni in frequenza e correlazioni. . . . .	239
29.14	Campagna di misura a Rovereto Lizzana (19/11/03-09/02/04). Rosa dei venti. .	240
30.1	Campagna di misura a Pergine (11/02/04-13/04/04), inquinante: $CO$ . Box-plot relativo all'ora del giorno. . . . .	242
30.2	Campagna di misura a Pergine (11/02/04-13/04/04), inquinante: $CO$ . Box-plot relativo al giorno della settimana. . . . .	242
30.3	Campagna di misura a Pergine (11/02/04-13/04/04), inquinante: $NO_x$ . Box-plot relativo all'ora del giorno. . . . .	243
30.4	Campagna di misura a Pergine (11/02/04-13/04/04), inquinante: $NO_x$ . Box-plot relativo al giorno della settimana. . . . .	243



30.5	Campagna di misura a Pergine (11/02/04-13/04/04), inquinante: $O_3$ . Box-plot relativo all'ora del giorno. . . . .	244
30.6	Campagna di misura a Pergine (11/02/04-13/04/04), inquinante: $O_3$ . Box-plot relativo al giorno della settimana. . . . .	244
30.7	Campagna di misura a Pergine (11/02/04-13/04/04), inquinante: $NMHC$ . Box-plot relativo all'ora del giorno. . . . .	245
30.8	Campagna di misura a Pergine (11/02/04-13/04/04), inquinante: $NMHC$ . Box-plot relativo al giorno della settimana. . . . .	245
30.9	Campagna di misura a Pergine (11/02/04-13/04/04), inquinante: $SO_2$ . Box-plot relativo all'ora del giorno. . . . .	246
30.10	Campagna di misura a Pergine (11/02/04-13/04/04), inquinante: $SO_2$ . Box-plot relativo al giorno della settimana. . . . .	246
30.11	Campagna di misura a Pergine (11/02/04-13/04/04), inquinante: $PM_{10}$ . Box-plot relativo all'ora del giorno. . . . .	247
30.12	Campagna di misura a Pergine (11/02/04-13/04/04), inquinante: $PM_{10}$ . Box-plot relativo al giorno della settimana. . . . .	247
30.13	Campagna di misura a Pergine (11/02/04-13/04/04). Distribuzioni in frequenza e correlazioni. . . . .	248
30.14	Campagna di misura a Pergine (11/02/04-13/04/04). Rosa dei venti. . . . .	249
31.1	Campagna di misura a Cles (30/06/04-17/08/04), inquinante: $CO$ . Box-plot relativo all'ora del giorno. . . . .	251
31.2	Campagna di misura a Cles (30/06/04-17/08/04), inquinante: $CO$ . Box-plot relativo al giorno della settimana. . . . .	251
31.3	Campagna di misura a Cles (30/06/04-17/08/04), inquinante: $NO_x$ . Box-plot relativo all'ora del giorno. . . . .	252
31.4	Campagna di misura a Cles (30/06/04-17/08/04), inquinante: $NO_x$ . Box-plot relativo al giorno della settimana. . . . .	252
31.5	Campagna di misura a Cles (30/06/04-17/08/04), inquinante: $O_3$ . Box-plot relativo all'ora del giorno. . . . .	253
31.6	Campagna di misura a Cles (30/06/04-17/08/04), inquinante: $O_3$ . Box-plot relativo al giorno della settimana. . . . .	253
31.7	Campagna di misura a Cles (30/06/04-17/08/04), inquinante: $NMHC$ . Box-plot relativo all'ora del giorno. . . . .	254
31.8	Campagna di misura a Cles (30/06/04-17/08/04), inquinante: $NMHC$ . Box-plot relativo al giorno della settimana. . . . .	254
31.9	Campagna di misura a Cles (30/06/04-17/08/04), inquinante: $SO_2$ . Box-plot relativo all'ora del giorno. . . . .	255
31.10	Campagna di misura a Cles (30/06/04-17/08/04), inquinante: $SO_2$ . Box-plot relativo al giorno della settimana. . . . .	255
31.11	Campagna di misura a Cles (30/06/04-17/08/04), inquinante: $PM_{10}$ . Box-plot relativo all'ora del giorno. . . . .	256
31.12	Campagna di misura a Cles (30/06/04-17/08/04), inquinante: $PM_{10}$ . Box-plot relativo al giorno della settimana. . . . .	256
31.13	Campagna di misura a Cles (30/06/04-17/08/04). Distribuzioni in frequenza e correlazioni. . . . .	257
31.14	Campagna di misura a Cles (30/06/04-17/08/04). Rosa dei venti. . . . .	258
32.1	Campagna di misura a Moena (30/07/04-31/08/04), inquinante: $CO$ . Box-plot relativo all'ora del giorno. . . . .	260

32.2	Campagna di misura a Moena (30/07/04-31/08/04), inquinante: $CO$ . Box-plot relativo al giorno della settimana. . . . .	260
32.3	Campagna di misura a Moena (30/07/04-31/08/04), inquinante: $NO_x$ . Box-plot relativo all'ora del giorno. . . . .	261
32.4	Campagna di misura a Moena (30/07/04-31/08/04), inquinante: $NO_x$ . Box-plot relativo al giorno della settimana. . . . .	261
32.5	Campagna di misura a Moena (30/07/04-31/08/04), inquinante: $O_3$ . Box-plot relativo all'ora del giorno. . . . .	262
32.6	Campagna di misura a Moena (30/07/04-31/08/04), inquinante: $O_3$ . Box-plot relativo al giorno della settimana. . . . .	262
32.7	Campagna di misura a Moena (30/07/04-31/08/04), inquinante: $SO_2$ . Box-plot relativo all'ora del giorno. . . . .	263
32.8	Campagna di misura a Moena (30/07/04-31/08/04), inquinante: $SO_2$ . Box-plot relativo al giorno della settimana. . . . .	263
32.9	Campagna di misura a Moena (30/07/04-31/08/04), inquinante: $PM_{10}$ . Box-plot relativo all'ora del giorno. . . . .	264
32.10	Campagna di misura a Moena (30/07/04-31/08/04), inquinante: $PM_{10}$ . Box-plot relativo al giorno della settimana. . . . .	264
32.11	Campagna di misura a Moena (30/07/04-31/08/04). Distribuzioni in frequenza e correlazioni. . . . .	265
32.12	Campagna di misura a Moena (30/07/04-31/08/04). Rosa dei venti. . . . .	266
33.1	Campagna di misura a Ala (21/04/05-18/05/05), inquinante: $CO$ . Box-plot relativo all'ora del giorno. . . . .	268
33.2	Campagna di misura a Ala (21/04/05-18/05/05), inquinante: $CO$ . Box-plot relativo al giorno della settimana. . . . .	268
33.3	Campagna di misura a Ala (21/04/05-18/05/05), inquinante: $NO_x$ . Box-plot relativo all'ora del giorno. . . . .	269
33.4	Campagna di misura a Ala (21/04/05-18/05/05), inquinante: $NO_x$ . Box-plot relativo al giorno della settimana. . . . .	269
33.5	Campagna di misura a Ala (21/04/05-18/05/05), inquinante: $O_3$ . Box-plot relativo all'ora del giorno. . . . .	270
33.6	Campagna di misura a Ala (21/04/05-18/05/05), inquinante: $O_3$ . Box-plot relativo al giorno della settimana. . . . .	270
33.7	Campagna di misura a Ala (21/04/05-18/05/05), inquinante: $SO_2$ . Box-plot relativo all'ora del giorno. . . . .	271
33.8	Campagna di misura a Ala (21/04/05-18/05/05), inquinante: $SO_2$ . Box-plot relativo al giorno della settimana. . . . .	271
33.9	Campagna di misura a Ala (21/04/05-18/05/05), inquinante: $PM_{10}$ . Box-plot relativo all'ora del giorno. . . . .	272
33.10	Campagna di misura a Ala (21/04/05-18/05/05), inquinante: $PM_{10}$ . Box-plot relativo al giorno della settimana. . . . .	272
33.11	Campagna di misura a Ala (21/04/05-18/05/05). Distribuzioni in frequenza e correlazioni. . . . .	273
33.12	Campagna di misura a Ala (21/04/05-18/05/05). Rosa dei venti. . . . .	274
34.1	Campagna di misura a Ala (20/05/05-22/06/05), inquinante: $CO$ . Box-plot relativo all'ora del giorno. . . . .	276
34.2	Campagna di misura a Ala (20/05/05-22/06/05), inquinante: $CO$ . Box-plot relativo al giorno della settimana. . . . .	276

34.3	Campagna di misura a Ala (20/05/05-22/06/05), inquinante: $NO_x$ . Box-plot relativo all'ora del giorno. . . . .	277
34.4	Campagna di misura a Ala (20/05/05-22/06/05), inquinante: $NO_x$ . Box-plot relativo al giorno della settimana. . . . .	277
34.5	Campagna di misura a Ala (20/05/05-22/06/05), inquinante: $O_3$ . Box-plot relativo all'ora del giorno. . . . .	278
34.6	Campagna di misura a Ala (20/05/05-22/06/05), inquinante: $O_3$ . Box-plot relativo al giorno della settimana. . . . .	278
34.7	Campagna di misura a Ala (20/05/05-22/06/05), inquinante: $PM_{10}$ . Box-plot relativo all'ora del giorno. . . . .	279
34.8	Campagna di misura a Ala (20/05/05-22/06/05), inquinante: $PM_{10}$ . Box-plot relativo al giorno della settimana. . . . .	279
34.9	Campagna di misura a Ala (20/05/05-22/06/05). Distribuzioni in frequenza e correlazioni. . . . .	280
34.10	Campagna di misura a Ala (20/05/05-22/06/05). Rosa dei venti. . . . .	281
35.1	Campagna di misura a Ala (28/06/05-28/07/05), inquinante: $CO$ . Box-plot relativo all'ora del giorno. . . . .	283
35.2	Campagna di misura a Ala (28/06/05-28/07/05), inquinante: $CO$ . Box-plot relativo al giorno della settimana. . . . .	283
35.3	Campagna di misura a Ala (28/06/05-28/07/05), inquinante: $NO_x$ . Box-plot relativo all'ora del giorno. . . . .	284
35.4	Campagna di misura a Ala (28/06/05-28/07/05), inquinante: $NO_x$ . Box-plot relativo al giorno della settimana. . . . .	284
35.5	Campagna di misura a Ala (28/06/05-28/07/05), inquinante: $O_3$ . Box-plot relativo all'ora del giorno. . . . .	285
35.6	Campagna di misura a Ala (28/06/05-28/07/05), inquinante: $O_3$ . Box-plot relativo al giorno della settimana. . . . .	285
35.7	Campagna di misura a Ala (28/06/05-28/07/05), inquinante: $PM_{10}$ . Box-plot relativo all'ora del giorno. . . . .	286
35.8	Campagna di misura a Ala (28/06/05-28/07/05), inquinante: $PM_{10}$ . Box-plot relativo al giorno della settimana. . . . .	286
35.9	Campagna di misura a Ala (28/06/05-28/07/05). Distribuzioni in frequenza e correlazioni. . . . .	287
35.10	Campagna di misura a Ala (28/06/05-28/07/05). Rosa dei venti. . . . .	288
36.1	Campagna di misura a Ala (30/07/05-28/08/05), inquinante: $CO$ . Box-plot relativo all'ora del giorno. . . . .	290
36.2	Campagna di misura a Ala (30/07/05-28/08/05), inquinante: $CO$ . Box-plot relativo al giorno della settimana. . . . .	290
36.3	Campagna di misura a Ala (30/07/05-28/08/05), inquinante: $NO_x$ . Box-plot relativo all'ora del giorno. . . . .	291
36.4	Campagna di misura a Ala (30/07/05-28/08/05), inquinante: $NO_x$ . Box-plot relativo al giorno della settimana. . . . .	291
36.5	Campagna di misura a Ala (30/07/05-28/08/05), inquinante: $O_3$ . Box-plot relativo all'ora del giorno. . . . .	292
36.6	Campagna di misura a Ala (30/07/05-28/08/05), inquinante: $O_3$ . Box-plot relativo al giorno della settimana. . . . .	292
36.7	Campagna di misura a Ala (30/07/05-28/08/05), inquinante: $PM_{10}$ . Box-plot relativo all'ora del giorno. . . . .	293

36.8	Campagna di misura a Ala (30/07/05-28/08/05), inquinante: $PM_{10}$ . Box-plot relativo al giorno della settimana. . . . .	293
36.9	Campagna di misura a Ala (30/07/05-28/08/05). Distribuzioni in frequenza e correlazioni. . . . .	294
36.10	Campagna di misura a Ala (30/07/05-28/08/05). Rosa dei venti. . . . .	295
37.1	Campagna di misura a Avio A22 (05/11/05-30/11/05), inquinante: $CO$ . Box-plot relativo all'ora del giorno. . . . .	297
37.2	Campagna di misura a Avio A22 (05/11/05-30/11/05), inquinante: $CO$ . Box-plot relativo al giorno della settimana. . . . .	297
37.3	Campagna di misura a Avio A22 (05/11/05-30/11/05), inquinante: $NO_x$ . Box-plot relativo all'ora del giorno. . . . .	298
37.4	Campagna di misura a Avio A22 (05/11/05-30/11/05), inquinante: $NO_x$ . Box-plot relativo al giorno della settimana. . . . .	298
37.5	Campagna di misura a Avio A22 (05/11/05-30/11/05), inquinante: $O_3$ . Box-plot relativo all'ora del giorno. . . . .	299
37.6	Campagna di misura a Avio A22 (05/11/05-30/11/05), inquinante: $O_3$ . Box-plot relativo al giorno della settimana. . . . .	299
37.7	Campagna di misura a Avio A22 (05/11/05-30/11/05), inquinante: $SO_2$ . Box-plot relativo all'ora del giorno. . . . .	300
37.8	Campagna di misura a Avio A22 (05/11/05-30/11/05), inquinante: $SO_2$ . Box-plot relativo al giorno della settimana. . . . .	300
37.9	Campagna di misura a Avio A22 (05/11/05-30/11/05), inquinante: $PM_{10}$ . Box-plot relativo all'ora del giorno. . . . .	301
37.10	Campagna di misura a Avio A22 (05/11/05-30/11/05), inquinante: $PM_{10}$ . Box-plot relativo al giorno della settimana. . . . .	301
37.11	Campagna di misura a Avio A22 (05/11/05-30/11/05). Distribuzioni in frequenza e correlazioni. . . . .	302
37.12	Campagna di misura a Avio A22 (05/11/05-30/11/05). Rosa dei venti. . . . .	303
38.1	Campagna di misura a Borgo Valsugana SS47 (02/12/05-02/01/06), inquinante: $CO$ . Box-plot relativo all'ora del giorno. . . . .	305
38.2	Campagna di misura a Borgo Valsugana SS47 (02/12/05-02/01/06), inquinante: $CO$ . Box-plot relativo al giorno della settimana. . . . .	305
38.3	Campagna di misura a Borgo Valsugana SS47 (02/12/05-02/01/06), inquinante: $NO_x$ . Box-plot relativo all'ora del giorno. . . . .	306
38.4	Campagna di misura a Borgo Valsugana SS47 (02/12/05-02/01/06), inquinante: $NO_x$ . Box-plot relativo al giorno della settimana. . . . .	306
38.5	Campagna di misura a Borgo Valsugana SS47 (02/12/05-02/01/06), inquinante: $O_3$ . Box-plot relativo all'ora del giorno. . . . .	307
38.6	Campagna di misura a Borgo Valsugana SS47 (02/12/05-02/01/06), inquinante: $O_3$ . Box-plot relativo al giorno della settimana. . . . .	307
38.7	Campagna di misura a Borgo Valsugana SS47 (02/12/05-02/01/06), inquinante: $SO_2$ . Box-plot relativo all'ora del giorno. . . . .	308
38.8	Campagna di misura a Borgo Valsugana SS47 (02/12/05-02/01/06), inquinante: $SO_2$ . Box-plot relativo al giorno della settimana. . . . .	308
38.9	Campagna di misura a Borgo Valsugana SS47 (02/12/05-02/01/06), inquinante: $PM_{10}$ . Box-plot relativo all'ora del giorno. . . . .	309
38.10	Campagna di misura a Borgo Valsugana SS47 (02/12/05-02/01/06), inquinante: $PM_{10}$ . Box-plot relativo al giorno della settimana. . . . .	309

38.11	Campagna di misura a Borgo Valsugana SS47 (02/12/05-02/01/06). Distribuzioni in frequenza e correlazioni. . . . .	310
38.12	Campagna di misura a Borgo Valsugana SS47 (02/12/05-02/01/06). Rosa dei venti. . . . .	311
39.1	Campagna di misura a Salerno (ALPNAP) (14/01/06-30/01/06), inquinante: <i>CO</i> . Box-plot relativo all'ora del giorno. . . . .	313
39.2	Campagna di misura a Salerno (ALPNAP) (14/01/06-30/01/06), inquinante: <i>CO</i> . Box-plot relativo al giorno della settimana. . . . .	313
39.3	Campagna di misura a Salerno (ALPNAP) (14/01/06-30/01/06), inquinante: <i>NO<sub>x</sub></i> . Box-plot relativo all'ora del giorno. . . . .	314
39.4	Campagna di misura a Salerno (ALPNAP) (14/01/06-30/01/06), inquinante: <i>NO<sub>x</sub></i> . Box-plot relativo al giorno della settimana. . . . .	314
39.5	Campagna di misura a Salerno (ALPNAP) (14/01/06-30/01/06), inquinante: <i>O<sub>3</sub></i> . Box-plot relativo all'ora del giorno. . . . .	315
39.6	Campagna di misura a Salerno (ALPNAP) (14/01/06-30/01/06), inquinante: <i>O<sub>3</sub></i> . Box-plot relativo al giorno della settimana. . . . .	315
39.7	Campagna di misura a Salerno (ALPNAP) (14/01/06-30/01/06), inquinante: <i>SO<sub>2</sub></i> . Box-plot relativo all'ora del giorno. . . . .	316
39.8	Campagna di misura a Salerno (ALPNAP) (14/01/06-30/01/06), inquinante: <i>SO<sub>2</sub></i> . Box-plot relativo al giorno della settimana. . . . .	316
39.9	Campagna di misura a Salerno (ALPNAP) (14/01/06-30/01/06), inquinante: <i>PM<sub>10</sub></i> . Box-plot relativo all'ora del giorno. . . . .	317
39.10	Campagna di misura a Salerno (ALPNAP) (14/01/06-30/01/06), inquinante: <i>PM<sub>10</sub></i> . Box-plot relativo al giorno della settimana. . . . .	317
39.11	Campagna di misura a Salerno (ALPNAP) (14/01/06-30/01/06). Distribuzioni in frequenza e correlazioni. . . . .	318
39.12	Campagna di misura a Salerno (ALPNAP) (14/01/06-30/01/06). Rosa dei venti. . . . .	319
40.1	Campagna di misura a Aldeno (ALPNAP1) (01/02/06-19/02/06), inquinante: <i>CO</i> . Box-plot relativo all'ora del giorno. . . . .	321
40.2	Campagna di misura a Aldeno (ALPNAP1) (01/02/06-19/02/06), inquinante: <i>CO</i> . Box-plot relativo al giorno della settimana. . . . .	321
40.3	Campagna di misura a Aldeno (ALPNAP1) (01/02/06-19/02/06), inquinante: <i>NO<sub>x</sub></i> . Box-plot relativo all'ora del giorno. . . . .	322
40.4	Campagna di misura a Aldeno (ALPNAP1) (01/02/06-19/02/06), inquinante: <i>NO<sub>x</sub></i> . Box-plot relativo al giorno della settimana. . . . .	322
40.5	Campagna di misura a Aldeno (ALPNAP1) (01/02/06-19/02/06), inquinante: <i>O<sub>3</sub></i> . Box-plot relativo all'ora del giorno. . . . .	323
40.6	Campagna di misura a Aldeno (ALPNAP1) (01/02/06-19/02/06), inquinante: <i>O<sub>3</sub></i> . Box-plot relativo al giorno della settimana. . . . .	323
40.7	Campagna di misura a Aldeno (ALPNAP1) (01/02/06-19/02/06), inquinante: <i>SO<sub>2</sub></i> . Box-plot relativo all'ora del giorno. . . . .	324
40.8	Campagna di misura a Aldeno (ALPNAP1) (01/02/06-19/02/06), inquinante: <i>SO<sub>2</sub></i> . Box-plot relativo al giorno della settimana. . . . .	324
40.9	Campagna di misura a Aldeno (ALPNAP1) (01/02/06-19/02/06), inquinante: <i>PM<sub>10</sub></i> . Box-plot relativo all'ora del giorno. . . . .	325
40.10	Campagna di misura a Aldeno (ALPNAP1) (01/02/06-19/02/06), inquinante: <i>PM<sub>10</sub></i> . Box-plot relativo al giorno della settimana. . . . .	325

40.11	Campagna di misura a Aldeno (ALPNAP1) (01/02/06-19/02/06). Distribuzioni in frequenza e correlazioni. . . . .	326
40.12	Campagna di misura a Aldeno (ALPNAP1) (01/02/06-19/02/06). Rosa dei venti.	327
41.1	Campagna di misura a Aldeno (ALPNAP2) (01/02/06-19/02/06), inquinante: <i>CO</i> . Box-plot relativo all'ora del giorno. . . . .	329
41.2	Campagna di misura a Aldeno (ALPNAP2) (01/02/06-19/02/06), inquinante: <i>CO</i> . Box-plot relativo al giorno della settimana. . . . .	329
41.3	Campagna di misura a Aldeno (ALPNAP2) (01/02/06-19/02/06), inquinante: <i>NO<sub>x</sub></i> . Box-plot relativo all'ora del giorno. . . . .	330
41.4	Campagna di misura a Aldeno (ALPNAP2) (01/02/06-19/02/06), inquinante: <i>NO<sub>x</sub></i> . Box-plot relativo al giorno della settimana. . . . .	330
41.5	Campagna di misura a Aldeno (ALPNAP2) (01/02/06-19/02/06), inquinante: <i>O<sub>3</sub></i> . Box-plot relativo all'ora del giorno. . . . .	331
41.6	Campagna di misura a Aldeno (ALPNAP2) (01/02/06-19/02/06), inquinante: <i>O<sub>3</sub></i> . Box-plot relativo al giorno della settimana. . . . .	331
41.7	Campagna di misura a Aldeno (ALPNAP2) (01/02/06-19/02/06), inquinante: <i>SO<sub>2</sub></i> . Box-plot relativo all'ora del giorno. . . . .	332
41.8	Campagna di misura a Aldeno (ALPNAP2) (01/02/06-19/02/06), inquinante: <i>SO<sub>2</sub></i> . Box-plot relativo al giorno della settimana. . . . .	332
41.9	Campagna di misura a Aldeno (ALPNAP2) (01/02/06-19/02/06), inquinante: <i>PM<sub>10</sub></i> . Box-plot relativo all'ora del giorno. . . . .	333
41.10	Campagna di misura a Aldeno (ALPNAP2) (01/02/06-19/02/06), inquinante: <i>PM<sub>10</sub></i> . Box-plot relativo al giorno della settimana. . . . .	333
41.11	Campagna di misura a Aldeno (ALPNAP2) (01/02/06-19/02/06). Distribuzioni in frequenza e correlazioni. . . . .	334
41.12	Campagna di misura a Aldeno (ALPNAP2) (01/02/06-19/02/06). Rosa dei venti.	335
42.1	Campagna di misura a Rivalta (ALPNAP) (21/02/06-12/03/06), inquinante: <i>CO</i> . Box-plot relativo all'ora del giorno. . . . .	337
42.2	Campagna di misura a Rivalta (ALPNAP) (21/02/06-12/03/06), inquinante: <i>CO</i> . Box-plot relativo al giorno della settimana. . . . .	337
42.3	Campagna di misura a Rivalta (ALPNAP) (21/02/06-12/03/06), inquinante: <i>NO<sub>x</sub></i> . Box-plot relativo all'ora del giorno. . . . .	338
42.4	Campagna di misura a Rivalta (ALPNAP) (21/02/06-12/03/06), inquinante: <i>NO<sub>x</sub></i> . Box-plot relativo al giorno della settimana. . . . .	338
42.5	Campagna di misura a Rivalta (ALPNAP) (21/02/06-12/03/06), inquinante: <i>O<sub>3</sub></i> . Box-plot relativo all'ora del giorno. . . . .	339
42.6	Campagna di misura a Rivalta (ALPNAP) (21/02/06-12/03/06), inquinante: <i>O<sub>3</sub></i> . Box-plot relativo al giorno della settimana. . . . .	339
42.7	Campagna di misura a Rivalta (ALPNAP) (21/02/06-12/03/06), inquinante: <i>SO<sub>2</sub></i> . Box-plot relativo all'ora del giorno. . . . .	340
42.8	Campagna di misura a Rivalta (ALPNAP) (21/02/06-12/03/06), inquinante: <i>SO<sub>2</sub></i> . Box-plot relativo al giorno della settimana. . . . .	340
42.9	Campagna di misura a Rivalta (ALPNAP) (21/02/06-12/03/06), inquinante: <i>PM<sub>10</sub></i> . Box-plot relativo all'ora del giorno. . . . .	341
42.10	Campagna di misura a Rivalta (ALPNAP) (21/02/06-12/03/06), inquinante: <i>PM<sub>10</sub></i> . Box-plot relativo al giorno della settimana. . . . .	341
42.11	Campagna di misura a Rivalta (ALPNAP) (21/02/06-12/03/06). Distribuzioni in frequenza e correlazioni. . . . .	342

42.12	Campagna di misura a Rivalta (ALPNAP) (21/02/06-12/03/06). Rosa dei venti.	343
43.1	Campagna di misura a Storo (02/03/06-25/04/06), inquinante: $CO$ . Box-plot relativo all'ora del giorno.	345
43.2	Campagna di misura a Storo (02/03/06-25/04/06), inquinante: $CO$ . Box-plot relativo al giorno della settimana.	345
43.3	Campagna di misura a Storo (02/03/06-25/04/06), inquinante: $NO_x$ . Box-plot relativo all'ora del giorno.	346
43.4	Campagna di misura a Storo (02/03/06-25/04/06), inquinante: $NO_x$ . Box-plot relativo al giorno della settimana.	346
43.5	Campagna di misura a Storo (02/03/06-25/04/06), inquinante: $O_3$ . Box-plot relativo all'ora del giorno.	347
43.6	Campagna di misura a Storo (02/03/06-25/04/06), inquinante: $O_3$ . Box-plot relativo al giorno della settimana.	347
43.7	Campagna di misura a Storo (02/03/06-25/04/06), inquinante: $SO_2$ . Box-plot relativo all'ora del giorno.	348
43.8	Campagna di misura a Storo (02/03/06-25/04/06), inquinante: $SO_2$ . Box-plot relativo al giorno della settimana.	348
43.9	Campagna di misura a Storo (02/03/06-25/04/06), inquinante: $PM_{10}$ . Box-plot relativo all'ora del giorno.	349
43.10	Campagna di misura a Storo (02/03/06-25/04/06), inquinante: $PM_{10}$ . Box-plot relativo al giorno della settimana.	349
43.11	Campagna di misura a Storo (02/03/06-25/04/06). Distribuzioni in frequenza e correlazioni.	350
43.12	Campagna di misura a Storo (02/03/06-25/04/06). Rosa dei venti.	351
44.1	Campagna di misura a Zambana (23/03/06-25/04/06), inquinante: $CO$ . Box-plot relativo all'ora del giorno.	353
44.2	Campagna di misura a Zambana (23/03/06-25/04/06), inquinante: $CO$ . Box-plot relativo al giorno della settimana.	353
44.3	Campagna di misura a Zambana (23/03/06-25/04/06), inquinante: $NO_x$ . Box-plot relativo all'ora del giorno.	354
44.4	Campagna di misura a Zambana (23/03/06-25/04/06), inquinante: $NO_x$ . Box-plot relativo al giorno della settimana.	354
44.5	Campagna di misura a Zambana (23/03/06-25/04/06), inquinante: $O_3$ . Box-plot relativo all'ora del giorno.	355
44.6	Campagna di misura a Zambana (23/03/06-25/04/06), inquinante: $O_3$ . Box-plot relativo al giorno della settimana.	355
44.7	Campagna di misura a Zambana (23/03/06-25/04/06), inquinante: $SO_2$ . Box-plot relativo all'ora del giorno.	356
44.8	Campagna di misura a Zambana (23/03/06-25/04/06), inquinante: $SO_2$ . Box-plot relativo al giorno della settimana.	356
44.9	Campagna di misura a Zambana (23/03/06-25/04/06), inquinante: $PM_{10}$ . Box-plot relativo all'ora del giorno.	357
44.10	Campagna di misura a Zambana (23/03/06-25/04/06), inquinante: $PM_{10}$ . Box-plot relativo al giorno della settimana.	357
44.11	Campagna di misura a Zambana (23/03/06-25/04/06). Distribuzioni in frequenza e correlazioni.	358
44.12	Campagna di misura a Zambana (23/03/06-25/04/06). Rosa dei venti.	359